



UNIVERSIDAD NACIONAL AUTÓNOMA DE MÉXICO

FACULTAD DE INGENIERÍA

**Análisis de la afluencia de un corredor de
servicio de transporte concesionado en la
Ciudad de México**

TESIS

Que para obtener el título de

Ingeniero Industrial

P R E S E N T A:

Heber Guillermo González Quiroga

DIRECTORA DE TESIS

Dra. Esther Segura Pérez



Ciudad Universitaria, Cd. Mx., 2021



Universidad Nacional
Autónoma de México

Dirección General de Bibliotecas de la UNAM

Biblioteca Central



UNAM – Dirección General de Bibliotecas
Tesis Digitales
Restricciones de uso

DERECHOS RESERVADOS ©
PROHIBIDA SU REPRODUCCIÓN TOTAL O PARCIAL

Todo el material contenido en esta tesis esta protegido por la Ley Federal del Derecho de Autor (LFDA) de los Estados Unidos Mexicanos (México).

El uso de imágenes, fragmentos de videos, y demás material que sea objeto de protección de los derechos de autor, será exclusivamente para fines educativos e informativos y deberá citar la fuente donde la obtuvo mencionando el autor o autores. Cualquier uso distinto como el lucro, reproducción, edición o modificación, será perseguido y sancionado por el respectivo titular de los Derechos de Autor.

Tabla de contenido

CAPÍTULO I: RESUMEN Y ANTECEDENTES	10
I.1 Resumen Ejecutivo	11
I.2 Introducción	12
I.2.1 La demanda del servicio de transporte	14
1.2.1.1 El transporte público concesionado en la CDMX	16
I.3 Objetivo General	19
I.4 Acerca del corredor a analizar	20
1.4.1 Protección de datos privados	20
1.4.2 Especificación de datos	21
I.5 Importancia de un análisis a la afluencia (demanda)	22
1.5.1 Planeación de la demanda	23
I.6 Problemática	25
I.6.1 VOC Y CTQ'S	26
I.7 Áreas de Oportunidad	29
I.7.1 LA IMPORTANCIA DE UN ANÁLISIS ESTADÍSTICO A LA DEMANDA DE UN SERVICIO	30
CAPÍTULO II: ANÁLISIS DE LA SERIE DE TIEMPO	32
II.1 SERIES DE TIEMPO	33
II.1.1 Obtención de una serie de tiempo	33
II.1.2 Afluencia del sistema de transporte concesionado	36
II.1.2.1 Tipos de Datos	38
II.1.2.2 Análisis inicial de una serie de tiempo	39
II.1.2.2.1 Patrones	39
II.1.2.2.2 Irregularidades	41
II.1.2.3 Observaciones de la Gráfica de Afluencia Diaria	43
II.1.2.4 Comprobación Matemática de las observaciones de la Gráfica de Afluencia Diaria	45
II.1.2.4.1 Prueba de Normalidad	45
II.1.2.4.1.1 Prueba Kolmogorov-Smirnov	46
II.1.2.4.1.2 Prueba Jarque-Bera	48
II.1.2.4.2 Tendencia y Estacionalidad	53
II.1.2.4.2.1 Regresión Lineal para Tendencia	53
II.1.2.4.2.2 Estacionalidad de la serie	58



CAPÍTULO III: PRONÓSTICOS DE LA SERIE DE TIEMPO.....	68
III.1 Pronósticos	69
III.1.1 Determinando el modelo de pronóstico	69
III.1.1.1 Suavizamiento exponencial doble (Modelo Holt-Winters).....	72
III.1.2 Preparando la serie de tiempo para pronosticar.....	74
III.1.2.1 Cambios estructurales en series de tiempo.....	74
II.2.1.4.2.1 Test de Chow	76
III.1.3 Pronósticos por Holt-Winters.....	80
III.1.3.1 Cálculo del componente estacional.....	80
III.1.3.2 Suavizamiento y pronóstico del siguiente periodo.....	82
III.1.3.4 Cálculo de los errores de pronóstico	85
III.1.3.3 Medición de error de pronóstico	85
III.1.3.3.1 Error de pronóstico (Et)	86
III.1.3.3.2 Desviación estándar.....	87
III.1.3.3.4 Porcentaje de error medio absoluto ($MAPE$)	88
III.1.3.4 Minimización errores y nuevos valores para los parámetros a, b y c	89
III.1.3.5 Suavizamiento y pronóstico del siguiente periodo usando valores α, β y γ actualizados...93	
III.1.3.6 Pronósticos a Futuro	96
III.1.3.6.1 Horizonte de Planeación.....	96
III.1.3.6.2 Pronósticos a k periodos futuros	97
CAPÍTULO IV: MODELADO ESTADÍSTICO	100
IV.1 ¿Qué es modelado estadístico?	101
IV.1.1 Modelo Econométrico	102
IV.1.1.1 Estructura de los datos econométricos	102
IV.1.1.2 Modelo de regresión lineal múltiple	103
IV.1.1.2 Determinando las variables explicativas a incluir en el modelo	105
IV.1.1.2.1 Camiones.....	109
IV.1.1.2.2 Asaltos.....	110
V.1.1.2.3 Accidentes	119
IV.1.1.2.4 Precio del Servicio	126
IV.1.1.2.5 Competencia directa.....	127
IV.1.1.2.6 Variables Dummy	129
IV.1.1.2.7 Variables Adicionales	131



IV.1.1.4 Solución al Modelo de regresión lineal múltiple construido.....	131
IV.1.1.4.1 Análisis de los coeficientes previo a la prueba de significancia	138
IV.1.1.4.1.1 Prueba de causalidad Granger a variables con coeficientes no esperados ..	142
IV.1.1.4.2 Prueba de significancia	146
IV.1.1.5 Solución al Modelo de regresión lineal múltiple con variables significativas	150
IV.1.1.5.1 Análisis de los coeficientes posterior a la prueba de significancia	150
IV.1.1.5.2 Análisis de las estadísticas de la regresión.....	154
CAPÍTULO V: PREPARÁNDOSE PARA EL FUTURO	156
V.1 Control de los factores críticos de la serie de tiempo y sus pronósticos.....	157
V.1.1 Control de elementos críticos de la serie de tiempo.....	158
V.1.1.1 Control de los máximos y mínimos.....	158
V.1.1.1.1 Control de los máximos anuales y mensuales	158
V.1.1.1.2 Control de los mínimos anuales y mensuales.....	166
V.1.2 Control de elementos críticos de los pronósticos	172
V.1.2.1 Control de los máximos y mínimos pronosticados.....	172
V.1.2.1.1 Control de los máximos mensuales	172
V.1.2.1.2 Control de los mínimos mensuales pronosticado	177
V.1.2.2 Control de la tendencia pronosticada	182
V.1.2.3 Control de la estacionalidad crítica pronosticada.....	184
V.2 Control las variables del modelo de regresión	187
V.2.1 Control de la variable <i>xCamiones</i>	187
V.2.2 Control de la variable <i>xAsaltos</i>	194
V.2.3 Control de la variable <i>xAccidentes</i>	195
V.2.4 Control de la variable <i>xPrecio</i>	196
V.2.5 Control de la variable <i>xCompetencia</i>	197
V.3 Optimización de los recursos	198
V.4 Conclusiones Generales	200
REFERENCIAS.....	204
CAPÍTULO VI: ANEXOS	209



Índice de Tablas

Tabla 1.-Métodos de análisis y previsión de la demanda (PyCP, DIMEI).....	24
Tabla 2. Tomado del Sistema Internacional de Unidades SI, 8a Edición, 2006.	34
Tabla 3. Unidades de medida con base en hora.	35
Tabla 4. Primeros cinco datos de la serie de tiempo Afluencia, acomodados por Número de dato, fecha de registro y número de pasajeros (afluencia)	38
Tabla 5. Prueba de ji-cuadrado, también llamado chi cuadrado. Fuente: MEDWAVE.....	52
Tabla 6. Acomodo de los componentes estacionales.	61
Tabla 7. Acomodo de los valores estacionales de la serie de tiempo.....	62
Tabla 8. Promedio de todos los componentes estacionales por día de la semana	62
Tabla 9. Promedio de todos los componentes estacionales por día de la semana dividido entre el promedio total.	62
Tabla 10. Factor estacional.....	63
Tabla 11. Componentes estacionales diarios ajustados de la serie de tiempo Afluencia.	63
Tabla 12. Tabla de variaciones del componente estacional diario de toda la serie de afluencia.	64
Tabla 13. Tabla de variaciones mensuales del componente estacional de toda la serie de afluencia.	65
Tabla 14. Tabla de variación anual del componente estacional de toda la serie de afluencia.....	66
Tabla 15. Valores máximos, medias y mínimos anuales	75
Tabla 16. Especificación de los datos con posible cambio de nivel determinante.....	76
Tabla 17. Resultados de la regresión con valores del 1 - 1519.	77
Tabla 18. Resultados de las regresiones 1 - 307 y 307 - 885.	78
Tabla 19.. Reacomodo del tiempo t.....	81
Tabla 20. Valores de la regresión lineal de los datos de la afluencia recortados.	81
Tabla 21. Cálculo de la afluencia con y sin tendencia de los datos de la afluencia recortados.....	82
Tabla 22. Tabla de los factores estacionales en función de t y el periodo.	83
Tabla 23. Todavía no es posible pronosticar a futuro hasta estar seguros de que el error MAPE es mínimo.	90
Tabla 24. Valores de los errores promedios resultantes usando los componentes minimizados.	95
Tabla 25. Cálculo del pronóstico a k periodos futuros.....	97
Tabla 26. Terminología de la regresión lineal múltiple. (Tomada de "Introducción a la econometría: un enfoque moderno" de Jeffrey M. Wooldridge, pp 72)	105



Tabla 27. Los datos atípicos se deben de eliminar del análisis.	109
Tabla 28. Datos de asaltos agregados mensualmente.....	111
Tabla 29. Tabla del enero del 2015 de los datos desagregados de asaltos.	113
Tabla 30. Asaltos agregados por día de la semana.....	114
Tabla 31. Asaltos agregados por día de la semana recortada a partir del 2017.....	115
Tabla 32. Variaciones anuales diarias de asaltos	117
Tabla 33. Datos desagregados del mes de enero del año 2017.	118
Tabla 34. Accidentes por mes desde 2015 - 2019.....	120
Tabla 35. Datos de Accidentes agregados por día.....	121
Tabla 36. Proporción de Accidentes por día de la semana.....	122
Tabla 37. Cálculo de la variación anual diaria del 2017 - 2019.	125
Tabla 38. Costo del pasaje diario de enero del 2015.....	127
Tabla 39. Acomodo de las variables dummy binarias.....	130
Tabla 40. Acomodo de la variable secuencial N.....	131
Tabla 41. Resultados de las estadísticas de la regresión.	137
Tabla 42. Resultados del ANOVA.....	137
Tabla 43. Resultado de los coeficientes β de la regresión.	137
Tabla 44. Ecuación de regresión lineal múltiple construida con los coeficientes β sustituidos.	138
Tabla 45. De la tabla resultado de regresión se toma la columna Probabilidad.	148
Tabla 46. Coeficientes resultantes de la regresión lineal múltiple con variables significativas.....	151
Tabla 47. Estadísticas de la regresión lineal múltiple con variables significativas.	154
Tabla 48. Primeros 50 valores máximos de la serie de tiempo Afluencia.....	161
Tabla 49. Número de máximos obtenidos por año del muestreo de los primeros 50 datos.	161
Tabla 50. Número de máximos obtenidos por año del muestreo de los primeros 100 datos	162
Tabla 51. Valores máximos de años futuros.	163
Tabla 52. Variación de los máximos por año.....	163
Tabla 53. Valores máximos futuros en un escenario conservador.	164
Tabla 54. Valores máximos futuros en un escenario optimista.....	164
Tabla 55. 50 valores máximos acomodados mensualmente.....	165
Tabla 56. 50 valores máximos acomodados por día de la semana.....	165
Tabla 57. Valores máximos filtrados por el mes de abril, estas fechas se obtienen de la muestra de 50 valores máximos.....	166
Tabla 58. Variaciones de los valores mínimos por año.....	167
Tabla 59. Disminución anual de la afluencia promedio.....	168



Tabla 60. Muestra de los 50 datos cercanos al mínimo máximo.....	170
Tabla 61. Muestra de los 50 datos más aproximados al mínimo máximo agregados por año.	170
Tabla 62. Muestra de los 50 datos más aproximados al mínimo máximo agregados por mes.....	171
Tabla 63. Muestra de los 50 datos más aproximados al mínimo agregados por día de la semana...	171
Tabla 64. Fechas con los valores de enero más cercanos al mínimo total.	171
Tabla 65 Media, máximo y mínimo anual de los pronósticos.....	172
Tabla 66. 50 datos más cercanos al máximo valor total de los pronósticos.	174
Tabla 67. 50 datos más cercanos al máximo valor del total de los pronósticos, agregado por mes.	174
Tabla 68. Valores máximos de agosto, septiembre y octubre.	176
Tabla 69. 50 valores máximos agregados por día de la semana.....	177
Tabla 70. Los 50 valores más cercanos al mínimo.....	179
Tabla 71. Cantidad de los 50 valores más cercanos al mínimo agregados mensualmente.....	179
Tabla 72. Valores máximos de marzo, abril, julio, mayo, noviembre, septiembre, agosto y octubre.	181
Tabla 73. Muestra de los 50 datos más aproximados al mínimo, agregados por día de la semana.	182
Tabla 74. Coeficientes de la regresión lineal de los valores pronosticados.	183
Tabla 75. Fechas de solicitud de reabastecimiento del tanque estacionario, junto con el costo.	193



Índice de Ilustraciones

Ilustración 1. Logo SEMOVI	13
Ilustración 2-Ejemplo de VOC referida al servicio de transporte (Creación propia)	27
Ilustración 3. La CDMX busca estandarizar el servicio del transporte público concesionado, esto incluye el Diseño. Fuente: el universal	28
Ilustración 4. Idea tomada de la clase de Planeación y Control de la Producción	29
Ilustración 5. La Secgob CDMX y Semovi anuncian Programa Integral de Mejora del Transporte Público concesionado con 1,000 mdp adicionales para este 2020. Fuente: Centrourbano	31
Ilustración 6. Gráfica de los patrones que se pueden presentar en una serie de tiempo. Fuente: Lucas, J., (2017), Apuntes complementarios de Planeación y Control de la Producción	41
Ilustración 7. Gráfica de la afluencia total, La línea azul divide exactamente a la serie de tiempo por la mitad.....	44
Ilustración 8. Gráfico de Distribución normal. Fuente: Calculo.cc.....	46
Ilustración 9. Ventana de configuración de la Prueba de Normalidad. Minitab permite realizar las tres más famosas.	47
Ilustración 10. Gráfica final de la prueba de normalidad realizada por Kolmogorov-Smirnov	47
Ilustración 11. Gráfica de la forma de los datos con respecto a la moda.	49
Ilustración 12. Ventana de Minitab: Mostrar Estadísticos descriptivos	50
Ilustración 13. Selección de la Asimetría y Curtosis como estadísticos	50
Ilustración 14. Resultados de Asimetría y Curtosis dados por Minitab	51
Ilustración 15. Histograma de los datos poblacionales	51
Ilustración 16. Datos para la Gráfica de dispersión (Minitab)	54
Ilustración 17. Gráfica de dispersión (Minitab)	54
Ilustración 18. Gráfica de la recta de regresión lineal simple, señalando el primer valor.....	57
Ilustración 19. Gráfica de la recta de regresión lineal simple, señalando el último valor.....	58
Ilustración 20. Estacionalidad presentada durante el último trimestre de cada año marcado con circunferencias rojas.....	58
Ilustración 21. Gráfica de variaciones del componente estacional diario de toda la serie de afluencia	64
Ilustración 22. Gráfica de variaciones del componente estacional mensual de toda la serie de afluencia.	65



Ilustración 23. Gráfica de la afluencia, los círculos rojos muestran la estacionalidad anual de los últimos dos meses de cada año, las líneas rojas cambios de nivel y la línea azul la mitad de la gráfica total.....	75
Ilustración 24. Posibles cambios de nivel marcados con línea roja.	76
Ilustración 25. Gráfica de la afluencia recortada.....	84
Ilustración 26. Gráfica de la afluencia pronosticada sin periodos futuros.	84
Ilustración 27. Gráfica comparativa entre el histórico y el pronóstico sin periodos futuros.....	85
Ilustración 28. Configurando parámetros de s3lver buscando minimizar la funci3n objetivo Z.	90
Ilustraci3n 29. Constantes de los componentes del pron3stico.	91
Ilustraci3n 30. Configurando las restricciones de las constantes.	91
Ilustraci3n 31. Constantes de los componentes del pron3stico que permitir3n tener el m3nimo error de pron3stico.	92
Ilustraci3n 32. Gr3fica de los pron3sticos no a futuro, recortados y con el m3nimo error de pron3stico.....	94
Ilustraci3n 33. Afluencia real vs Pron3sticos no a futuro.	95
Ilustraci3n 34. Gr3fica de los pron3sticos a futuro.	99
Ilustraci3n 35. Gr3fica de la afluencia real y su pron3stico a futuro (ft).....	99
Ilustraci3n 36. El modelado estad3stico es la manera de reflejar matem3ticamente la realidad que viven los usuarios diariamente en el transporte p3blico. (Fuente: lasillarota.com)	101
Ilustraci3n 37. Gr3fica de camiones (unidades).....	110
Ilustraci3n 38. Comportamiento escalonado de los valores desagregados.....	113
Ilustraci3n 39. Funci3n para an3lisis por regresi3n del an3lisis de datos de Excel.....	136
Ilustraci3n 40. Configuraci3n de la regresi3n lineal, cuando el Rango X de entrada es m3s de una columna, ser3 regresi3n lineal m3ltiple.....	136
Ilustraci3n 41. Ingreso de datos de Afluencia, Accidentes y Competencia a EViews.....	145
Ilustraci3n 42. Resultados de EViews de la prueba de Granger.....	146
Ilustraci3n 43. Diagrama de Pareto de los meses en el a3o 2019 que contendr3n la mayor cantidad de datos cercanos al m3ximo valor del total de los pron3sticos.....	175
Ilustraci3n 44. Diagrama de Pareto de los meses en el a3o 2019 que contendr3n la mayor cantidad de datos cercanos al m3nimo valor del total de los pron3sticos.	180
Ilustraci3n 45. Gr3fica de la afluencia pronosticada.	184
Ilustraci3n 46. Estacionalidad semanal remarcada en la gr3fica de afluencia pronosticada.	184
Ilustraci3n 47. Tanque estacionario (Fuente Italmex).....	192
Ilustraci3n 48. Elementos del calendario anual, tomados del an3lisis de los cap3tulos anteriores..	199



CAPÍTULO I: RESUMEN Y ANTECEDENTES



I.1 Resumen Ejecutivo

La presente tesis tiene como objetivo el implementar los conocimientos obtenidos de la materia de Procesos y Control de la Producción, impartida por la **Dra. Esther Segura Pérez** dentro de las actividades que desarrolla cierta empresa de transporte público concesionado en la ciudad de México. De igual manera aplicar conocimientos sobre demanda de transporte generalizados a un corredor de servicio de transporte concesionado.

Siendo más específicos, hablando con el *Gerente General* de cierta empresa, se acordó inicialmente la implementación de métodos estadísticos de pronósticos para la estimación de la afluencia que tendrán desde inicios hasta finales del año 2019. Cabe señalar que se proporcionó información de la afluencia de pasajeros diaria que la empresa tuvo desde el año 2015, en la que, no sólo se proporcionó el número de usuarios que usaron el servicio, sino que, se proporcionó la cantidad de unidades de transporte de la compañía que estuvieron en servicio, por lo que se propuso hacer un pronóstico que permita conocer cuántas unidades se usarán en lo que resta del año 2019 y conocer las causas determinantes que impactan en el aumento o disminución de dicha afluencia. Al lograrse pronosticar dicha demanda de servicio (afluencia), se pueden lograr mejoras de optimización en diversas áreas, atendiendo a las causas principales que impacten en la demanda del servicio. Asimismo, se tuvo acceso a las paradas que realiza la ruta para mejorar el análisis de rutas más concurridas.

Para lograr un análisis importante del impacto que tienen algunos factores en la demanda del servicio, esta tesis pretende desarrollar modelos causales de pronóstico para determinar las variables explicativas y su impacto sobre la afluencia del servicio ofrecido por



la compañía, y así enfocar medidas de prevención, corrección y control sobre aquellas que tengan alto impacto en la demanda del servicio.

I.2 Introducción

Los **pronósticos** son necesarios en toda empresa para estimar el comportamiento futuro de alguna variable ya sea a corto, mediano o largo plazo, es el punto de partida para la planeación. Dentro del ciclo Deming o PHVA, en el que encontramos la secuencia generalizada de todos los ciclos de calidad, tiene como primer eslabón la Planeación, eso quiere decir que, para lograr implementar círculos de calidad en cualquier empresa de cualquier giro, es necesario buscar una Planeación efectiva, derivada de una gestión efectiva. Para que una empresa sea exitosa, eficiente y logre sus metas y objetivos es necesario que lleve una correcta planeación.

Los pronósticos fungen como punto de partida en la toma de decisiones empresariales tanto a corto como a largo plazo. Funcionan como indicadores que permitirán a la empresa una valorización de las propuestas de mejora por parte del consenso empresarial.

El pronóstico de la demanda consiste en estimar las ventas de un producto durante un determinado periodo (futuro). Los pronósticos, además, no sólo permiten estimar productos (bienes), también permiten estimar servicios.

Los servicios son todas aquellas actividades que buscan satisfacer las distintas necesidades que puede tener un cliente. Para ofrecer un buen nivel de servicio, se requiere de buena administración de la demanda y de pronósticos sustentados en información confiable.



Uno de los servicios más requeridos en la actualidad es el servicio de transporte, por lo que, para hablar de un buen servicio de transporte es necesario hablar de servicios eficientes que satisfagan considerablemente las necesidades de los clientes.

Ahora, refiriéndonos a servicio de transporte nacional en México, más específicamente en la capital de la nación: La Ciudad de México (CDMX), se sabe que:

“El servicio de transporte de la Ciudad de México es una compleja red de infraestructura pública y privada de sistemas de transporte con amplias conexiones que cubren a dicha urbe y a la Zona Metropolitana del Valle de México (ZMVM)”¹.

Debido a la alta demanda del servicio de transporte “Al ser la cuarta ciudad más grande del mundo y la zona metropolitana más grande de México” se ha buscado la ampliación del servicio buscando la mejora de la calidad del servicio al promover la variación de las opciones de oferta del servicio de transporte, es decir, las opciones de transporte se han vuelto variadas. Hablando del transporte público existen, entre sus opciones, el servicio de microbuses, metro, bús suburbano, RTP, Metrobús, entre otros, a esto se le conoce como el Sistema Integrado de Transporte. La SEMOVI (Secretaría de Movilidad de la Ciudad de México) regula todas las opciones que ofrece el servicio de transporte de la ciudad de México.



Ilustración 1. Logo SEMOVI

¹ Tomado de: “Transporte en la Ciudad de México. (2020, 21 de octubre). Wikipedia, La enciclopedia libre”.



I.2.1 La demanda del servicio de transporte

El servicio de transporte con una amplia y compleja red de infraestructura surge por la necesidad creciente que la población manifiesta ante el hacinamiento y centralización en la CDMX. Se sabe que más de 2/3 de los 22 millones de viajes diarios en la Ciudad de México se realizan en transporte público con 14.8 millones de usuarios que demandan un servicio de calidad.²

Un servicio de calidad se refiere a aquel servicio que cumple plenamente con las expectativas del cliente y satisface todas sus necesidades esperadas. Para la planeación de la demanda del servicio de transporte es necesario conocer cuáles son las expectativas del cliente y, mediante métodos estadísticos, conocer cuáles de esas expectativas tienen valoración superior, para poder enfocar la mejora continua en los pocos vitales.

Existe una desarticulación del Sistema Integrado de Transporte en la Ciudad de México, lo que:

“impide atender adecuadamente la transportación de una parte importante de la población. La desarticulación institucional, normativa y operativa del transporte público

² Tomado de: Tarriba, G., Alarcón, G., (2012), Instituto Mexicano para la Competitividad, Movilidad competitiva en la Zona Metropolitana de la Ciudad de México: diagnóstico y soluciones factibles. El Instituto Mexicano para la Competitividad, como lo explican en su página imco.org.mx/quienes-somos/, es un centro de investigación en política pública y acción ciudadana que propone soluciones efectivas a los desafíos más importantes de México. Apartidistas y sin fines de lucro, proponemos política pública para transformar la vida de las personas y promover el libre ejercicio de sus derechos.



*dificulta, no solamente el servicio, sino también la planeación, regulación y control de estándares de calidad del sistema”.*³

La calidad del servicio de transporte se traduce en cuán satisfechos están los clientes con dicho servicio, es decir, el cliente tiene necesidades que necesitan ser satisfechas. Hablando un poco acerca del concepto de satisfacción, según el Diccionario de la Lengua Española es: “*la acción y efecto de satisfacer y por satisfacer se entiende: Cumplir, llenar ciertos requisitos o exigencias. Ser alguna cantidad, magnitud, etcétera la que hace que se cumplan las condiciones expresadas en un problema y, por tanto, ser su solución*”. En el estricto sentido de la palabra, la satisfacción que debe producir el servicio de transporte a sus clientes es cumplir o llenar sus requisitos o exigencias que en cuestiones de Sistemas de Calidad se denominan VOC (voice of customer).

Hablando acerca de la satisfacción del cliente se sabe que los usuarios están insatisfechos con el transporte público en la ciudad. Según el *Estudio de El Poder del Consumidor, encuesta a usuarios del transporte público*, se revela que:

- 65% de los usuarios considera que la calidad del servicio es pésima o mala.
- 8 de cada 10 piensan que es inseguro
- 9 de cada 10 creen que es incómodo
- 7 de cada 10 creen que es lento

³ Tomado de “Diagnóstico de movilidad en la Ciudad en México: El impacto del crecimiento vehicular (problemas, estadísticas y evaluación de políticas)” del link <http://aldf.gob.mx/archivo-9f6f5328e0f0853d4453d481cbffa2b6.pdf>. Este documento fue elaborado por El Instituto de Investigaciones Parlamentarias perteneciente a la asamblea legislativa del anteriormente llamado Distrito Federal.



Esto nos indica que:

1. No existen programas de medición y seguimiento del nivel de satisfacción de usuarios de transporte público en la ZMVM, con la excepción del Metrobús.
2. Existe la Necesidad de coordinar e integrar los distintos sistemas de transporte: STC Metro, RTP/Metrobús, STE, transporte concesionado.
3. Un diseño del transporte centrado en el usuario (DCU)⁴



1.2.1.1 El transporte público concesionado en la CDMX

Con motivo de satisfacer la creciente demanda de servicio de transporte dentro de la CDMX, el gobierno de la ciudad optó por permitir el transporte público concesionado.

*“Los Sistemas de transporte concesionados, son unidades que utilizan la infraestructura operada y mantenida por el Estado, que cuentan con un título de concesión que les autoriza el usufructo de los vehículos para otorgar un servicio de transporte; este es el caso de los microbuses, las vagonetas, autobuses, taxis y el Tren Suburbano”.*⁵

Según el Diccionario de la Lengua Española una **concesión** es un: *“Negocio jurídico por el cual la Administración cede a una persona facultades de uso privativo de una pertenencia del dominio público o la gestión de un servicio público en plazo determinado*

⁴ Listado tomado de: Movilidad competitiva en la Zona Metropolitana de la Ciudad de México: diagnóstico y soluciones factibles Resumen ejecutivo Instituto Mexicano para la Competitividad. El Instituto Mexicano para la Competitividad, como lo explican en su página imco.org.mx/quienes-somos/, es un centro de investigación en política pública y acción ciudadana que propone soluciones efectivas a los desafíos más importantes de México. Apartidistas y sin fines de lucro, proponemos política pública para transformar la vida de las personas y promover el libre ejercicio de sus derechos.

⁵ Tomado de <http://aldf.gob.mx/archivo-9f6f5328e0f0853d4453d481cbffa2b6.pdf> pág 71. Este documento fue elaborado por El Instituto de Investigaciones Parlamentarias perteneciente a la asamblea legislativa del anteriormente llamado Distrito Federal.



bajo ciertas condiciones”⁶. En el caso de la Ciudad de México entenderemos a la Administración como el Gobierno de la Ciudad que cede a una persona (Empresa de Servicio de Transporte), el uso privativo de un corredor de transporte perteneciente al Gobierno de la Ciudad, a ese uso también se le conoce como usufructo. El **usufructo** según la R.A.E. es el: *“Derecho a disfrutar bienes ajenos con la obligación de conservarlos, salvo que la ley autorice otra cosa”*. El usufructo como derecho permite que los servicios de transporte privado puedan acceder a ofrecer su servicio en corredores públicos cumpliendo con pautas o condiciones en pro de la mejora de la calidad del servicio. El usufructo también permite que se satisfaga la demanda real del servicio en corredores públicos con infraestructura privada, lo que permitirá al gobierno satisfacer la demanda del servicio mediante servicios privados capaces de satisfacer la demanda en todos los sentidos cumpliendo con el Artículo 2 punto I en el que se menciona que:

I. “La prestación de los servicios públicos de transporte en el Distrito Federal, cuya obligación original de proporcionarlos corresponde a la Administración Pública, ya sea en forma directa o mediante concesiones a particulares, en los términos de este ordenamiento y demás disposiciones jurídicas y administrativas aplicables”.

El transporte concesionado permite cubrir en gran parte las deficiencias infraestructurales, de vehículos, equipos e instalaciones en materia de transporte público que la Administración Pública no puede mediante la inversión privada de terceros, buscando siempre la satisfacción de la demanda del transporte.

⁶ Tomado de <https://dle.rae.es/srv/search?m=30&w=concesi%C3%B3n>, de la página oficial de la RAE www.rae.es. La Real Academia Española (RAE) es una institución cultural dedicada a la regularización lingüística entre el mundo hispanohablante (Tomado de su página).



“Con respecto a la participación de cada uno de los sistemas en la movilidad de la población de la Ciudad de México, según los resultados de la Encuesta Origen Destino 2007, el servicio concesionado de transporte colectivo, prestado en vagonetas tipo combi, microbuses y en mucho menor medida autobuses, posibilitan la mayor proporción de los tramos de viajes de la metrópoli, 46.2 por ciento de los mismos”.⁷

En el Artículo 73 del Capítulo III de la Ley de Movilidad del Distrito Federal se nos dice:

“Artículo 73.- La Administración Pública dispondrá lo necesario para que la Ciudad de México, cuente con un Sistema Integrado de Transporte Público que permita la incorporación gradual la articulación física, operacional, informativa, de imagen y del medio de pago del servicio de transporte público concesionado y los servicios de transporte proporcionados por la Administración Pública, el cual deberá considerar el Programa Integral de Movilidad, así como prever su funcionamiento en caso de contingencias por caso fortuito o fuerza mayor”.⁸ El transporte público concesionado en EL VAL suma diariamente 11.5 millones de viajes diarios, lo que representa ⁹un importante y demandado sistema de servicio de transporte.

⁷ Tomado de: <http://aldf.gob.mx/archivo-9f6f5328e0f0853d4453d481cbffa2b6.pdf> pag 72. Este documento fue elaborado por El Instituto de Investigaciones Parlamentarias perteneciente a la asamblea legislativa del anteriormente llamado Distrito Federal.

⁸ Tomado de la ley de movilidad del Distrito Federal con fecha de elaboración al 28 de de noviembre del 2014. La SEDEMA (Secretaría del Medio Ambiente de la Ciudad de México), una dependencia de la administración pública del Gobierno de la Ciudad de México dependiente del Jefe de Gobierno, que tiene a su cargo la formulación, ejecución y evaluación de la política del Distrito Federal en materia ambiental y de recursos naturales.

<https://www.sedema.cdmx.gob.mx/storage/app/uploads/public/5a6/78d/fd9/5a678dfd96d28237463389.pdf>

⁹ Tomado del artículo “Transporte concesionado; invertir para chatarrizar” del periodista Jonás López, columnista del periódico Excelsior.

<https://www.excelsior.com.mx/comunidad/transporte-concesionado-invertir-para-chatarrizar/1292756>



I.3 Objetivo General

Para definir el objetivo general es necesario plantear estas preguntas: ¿Qué se va a realizar?, ¿Cómo se va a realizar? Y, por último, ¿Para qué se va a realizar?, lo anterior con base en el análisis de la afluencia de un corredor de servicio de transporte concesionado en la Ciudad de México.

¿Qué se va a realizar?

- Analizar la afluencia de pasajeros (usuarios) del servicio de transporte público ofrecido por una empresa de transporte concesionado dedicada al giro y con base en un análisis primario determinar los métodos estadísticos correspondientes que den conclusiones confiables con el fin de buscar las causas de la variación de la afluencia y así buscar mejoras empresariales.
- Pronosticar la demanda de la afluencia con el método más confiable, obteniendo conclusiones para ofrecer puntos de mejora reales.

¿Cómo?

- Mediante el uso de datos históricos similares a los ofrecidos por la empresa, usar métodos de pronósticos que permitan estimar los datos y realizar comparaciones para su análisis.
- Mediante el uso de técnicas de análisis estadístico y tratamientos de series de tiempo obtener valores determinantes para obtener conclusiones puntuales.



¿Para qué?

- Reducir costos relacionados al uso de camiones y mejorar la calidad del servicio a los usuarios atendiendo a la VOC y a los CTQ's obtenidos del análisis.
- Ofrecer una metodología de análisis de series de tiempo y sus pronósticos con un ejemplo lo más real posible para servir como apoyo en futuros análisis, explotando los métodos de pronóstico y probando sus resultados.

Generalidad: Analizar la afluencia de usuarios de un corredor de transporte concesionado para la mejora del servicio a pasajeros y administrativos de la empresa.

Como se mencionó, es necesario atender a dos grupos o entes principales involucrados en la operación del servicio de transporte. Por un lado, se pretende analizar la operación del servicio por parte de los prestadores del servicio o empresa concesionada y por otro lado analizar factores de satisfacción de los usuarios del servicio (Afluencia).

I.4 Acerca del corredor a analizar

1.4.1 Protección de datos privados

En esta tesis no se pretende dar información que no esté autorizada a compartir, así como datos privados de cierta empresa dedicada al giro del transporte concesionado. Muchos de los datos que se utilizarán en esta tesis serán muy parecidos a los datos proporcionados por un corredor de transporte concesionado, aunque por respeto y evitando infringir alguna



ley de privacidad y protección a la información serán cambiados y se usarán datos hipotéticos, promoviendo un análisis lo más real posible.

1.4.2 Especificación de datos

Los datos para usar en esta tesis se especificarán a continuación:

- El corredor de transporte público concesionado usa como flota 200 autobuses con capacidad de 80 pasajeros cada uno.
- Longitud del corredor: 30 kilómetros
- El corredor cuenta con 70 paradas.
- El costo del servicio actualmente es de \$7.00, el cual se debe pagar exacto puesto que el sistema de cobranza es por alcancía, la cual no da cambio.
- El 50% de los ingresos están destinados a gasto de combustible
- El litro de diésel está a \$21.11¹⁰
- Se cuenta con un tanque interno estacionario de 50,000 lts. de diésel
- La marca de los camiones es Mercedes Benz 12-592

¹⁰ Dato del litro de diésel domado de Intermodal México (IMEX). IMEX es una empresa que pertenece a la división de transportes de Grupo México.

<http://www.intermodalmexico.com.mx/Portal/AjusteCombustible/Historico a 29/07/2019>



I.5 Importancia de un análisis a la afluencia (demanda)

Como se mencionó anteriormente, la planeación, como punto de partida del Ciclo Deming de control de calidad, así como de cualquier sistema de productos o servicios es fundamental para alcanzar los objetivos propuestos por la empresa. Si no hay planeación no hay forma de encaminar los esfuerzos productivos hacia los objetivos. Planeación se refiere a establecer objetivos generales y específicos que, junto con acciones preestablecidas con base a dichos objetivos, se alcancen las metas buscando la eficiencia y productividad.

Dentro de cualquier empresa de productos o servicios es posible planear una gran variedad de variables que intervienen dentro del sistema, es decir, se anticipa el comportamiento de dichas variables y se establecen acciones en pro de la mejora de dicho comportamiento.

Una de las variables que es determinante dentro de la planeación y control de cualquier sistema productivo o de servicios es la demanda.

*“La demanda tiene que ver con lo que los consumidores desean adquirir. Demandar significa estar dispuesto a comprar, mientras que comprar es efectuar realmente la adquisición. La demanda refleja una intención, mientras que la compra constituye una acción”.*¹¹

¹¹ Tomado de la página de McGrawHillEducation. McGraw Hill es una empresa estadounidense de aprendizaje de matemáticas y una de las "tres grandes" editoriales educativas que ofrece contenido educativo, software y servicios personalizados para la educación preescolar hasta la educación de posgrado. El archivo consultado es la unidad 4. “La oferta, la demanda y el mercado”.

<https://www.mheducation.es/bcv/guide/capitulo/8448181042.pdf>



La demanda es un proceso estocástico, eso quiere decir que la variable de decisión cambia a lo largo del tiempo. Por ello cuando se realiza una planeación de la producción se busca Planear la producción (¿Cuánto vas a producir?) para posteriormente Controlar la Producción (¿Cuánto vas a tener de inventario?). Se planea para no desperdiciar, para ahorrar, no gastar y aumentar la competitividad.

Lo anterior mencionado se aplica de igual manera a la demanda de transporte.

“La demanda de transporte puede definirse como la disposición a pagar que tienen los consumidores por hacer uso de una determinada infraestructura o servicio de transporte.

*Esta disposición a pagar, que refleja la valoración que hacen los usuarios de dichos servicios, se obtiene a partir de sus preferencias sobre las distintas características de estos en comparación con otros bienes que puedan adquirir. En el caso del transporte público, la demanda de transporte muestra el número de pasajeros deseando utilizar el servicio a diferentes precios y/o tarifas entre un sitio de origen y uno de destino”.*¹²

1.5.1 Planeación de la demanda

Es determinante planear la demanda mediante métodos estadísticos que permitan un análisis cuantitativo de la misma y la planeación de la demanda de transporte no es la excepción. Agregando a lo anterior mencionado, la demanda es lo que se requiere de un

¹² Tomado de los *Apuntes de clase – introducción a la economía de transporte. La teoría de la demanda de transporte urbano* del profesor Juan Carlos Mendieta de la Facultad de Economía de la universidad de los Andes.

<https://es.slideshare.net/VirtualEsumer/demanda-de-transporte>



mercado, por ello la planeación es necesaria para estimar lo que el mercado está pidiendo, en este caso dirigido al servicio de transporte.

“Es necesario que para llevar una correcta planeación se controlen las acciones presentes para prever las futuras, si no se planea hay merma y disminución de superávit”.

¹³Dentro de esta previsión y estimación es necesario hacer un análisis de las variables involucradas dentro de nuestro sistema. Estos métodos de análisis y previsión de la demanda son:

Enfoque Cualitativo	Método DELPHI
	Opinión de Expertos
	Juicios Personales o en la Institución
Enfoque Cuantitativo	Series de Tiempo
	Modelos Causales o asociativos
Enfoque de investigación de Mercado	Test de compra
	Test de concepto y producto
	Test de Mercado

Tabla 1.-Métodos de análisis y previsión de la demanda (PyCP, DIMEI)

En la presente tesis se usará un análisis y previsión de la demanda con un enfoque cuantitativo. A diferencia del enfoque de investigación de mercado o un enfoque cualitativo, para la presente tesis sí se tienen suficientes datos proporcionados por la empresa de servicio de transporte concesionado para su correcto análisis, además de tener como objetivo mostrar los beneficios de un enfoque cuantitativo explicados en la sección final.

¹³ Tomado de la clase Planeación y Control de la Producción dada por la Dra. Esther Segura Pérez para la Facultad de Ingeniería, Universidad Nacional Autónoma de México.



Como toda planeación de la demanda, el horizonte de planeación será para lo que resta del año 2019, es decir, desde el jueves 28 de febrero de 2019 al martes 31 de diciembre de 2019, con un total de 307 periodos futuros.

I.6 Problemática

La Ciudad de México presenta una crisis urbana relacionada a la afluencia o hacinamiento de personas provocada por la centralización y constitución de la principal región socioeconómica del país. La crisis urbana en la Ciudad de México presenta consecuencias directas en la movilidad, por ejemplo: una creciente y excesiva demanda de servicio de transporte, vías de tránsito saturadas, aumento de parque vehicular, generación de contaminación (aire, agua, auditiva, visual, etc.), aumento de accidentes vehiculares, entre otras problemáticas de índole social.

Miguel Alejandro López Olvera menciona que: *“El transporte es uno de los factores que más contribuyen a la crisis urbana que atraviesan nuestras ciudades”*.¹⁴ Para atender dicha crisis, los sistemas de transporte en la ciudad deben de ser gestionados eficientemente, creando metodologías y planes entre los prestadores del servicio (empresas gubernamentales y empresas concesionadas), satisfaciendo a los usuarios de dicho servicio, derivando en una reducción del impacto por una mala gestión del transporte que incentivaría, aún más, la crisis

¹⁴ Tomado del documento “El transporte de pasajeros y el sistema vial en la Ciudad de México”, escrito por Miguel Alejandro López Olvera. La consulta fue realizada en el portal www.juridicas.unam.mx portal perteneciente al acervo cultural de la Biblioteca Jurídica Virtual del Instituto de Investigaciones Jurídicas de la UNAM: <https://archivos.juridicas.unam.mx/www/bjv/libros/6/2735/12.pdf>



urbana. La empresa por analizar en esta tesis se encuentra en el giro de transporte concesionado.

Con base en la metodología DMAIC de la mejora de procesos SIX SIGMA, se busca definir el problema principal y problemas secundarios enfocados en dos enfoques principales:

- El enfoque de la Empresa
- El enfoque del Cliente (VOC)

Es fácil ver las consecuencias de la mala gestión del transporte en la ciudad, pero encontrar las causas que lo producen y mediante un análisis matemático requiere de herramientas y métodos específicos.

I.6.1 VOC Y CTQ'S

La Voz del Cliente ó VOC por sus siglas en inglés (Voice of Customer) es un proceso para capturar los requisitos de los clientes. Eso produce un conjunto detallado de deseos y necesidades del cliente que se organizan en una estructura jerárquica, y luego se prioriza en términos de importancia relativa y satisfacción con las alternativas actuales.¹⁵ Con los requisitos o características definidas que busca el cliente o usuario se pretende definir problemas objetivos cuantificables que la empresa pueda atender. A estas características definibles se les conoce como CTQ por sus siglas en inglés (Critical to Quality) y se refiere

¹⁵ Tomado del Abstract del documento "VOICE OF THE CUSTOMER" disponible en el portal del Massachusetts Institute of Technology (MIT). El documento tiene las colaboraciones de Steven P. Gaskin, Abbie Griffin, John R. Hauser, Gerald M. Katz y Robert L. Klein. https://www.mit.edu/~hauser/Papers/Gaskin_Griffin_Hauser_et_al%20VOC%20Encyclopedia%202011.pdf



a una “crítica para la calidad”, es decir, un atributo o característica de calidad del servicio de transporte que es significativo para la expectativa que tiene el cliente.¹⁶

La VOC que podemos definir con relación a las expectativas que tiene el cliente respecto a lo que ellos consideran como un buen servicio de transporte¹⁷. El Artículo 87 del Capítulo III de la Ley de Movilidad del Distrito Federal nos menciona que:

“La acreditación de la capacidad técnica, administrativa y financiera para la prestación del servicio de corredores de transporte, deberá asegurar la prestación del servicio en condiciones de calidad, seguridad, oportunidad y permanencia”

La cita anterior refleja que la normativa de la ciudad contempla, aunque subjetivamente, los VOC como variables determinantes de un buen o mal servicio.

Dando un ejemplo de algunas VOC referidas al servicio del transporte público que se mencionan en algunos documentos consultados por la presente tesis pueden ser:



Ilustración 2-Ejemplo de VOC referida al servicio de transporte (Creación propia)

¹⁶ http://www.bib.uia.mx/tesis/pdf/014873/014873_02.pdf

¹⁷ <http://www.scielo.org.mx/pdf/est/v10n32/v10n32a2.pdf>



Es decir, el cliente o usuario del servicio busca que el servicio sea Seguro, rápido, limpio, cómodo, barato y que en general sea un buen servicio con buena atención. Aunque hay muchas otras variables que algún cliente tome como primordiales.

Ante estas voc's que tenemos, es difícil atender a tales peticiones del cliente puesto que no están definidas para su atención por parte de la empresa prestadora del servicio, por lo que se busca convertirlas en CTQ's que permitan que la

empresa pueda atenderlas cuantitativamente y con eso solucionar los problemas de calidad. Cada una de ellas se definirán más adelante en el análisis por Modelos Causales.

Hablando matemáticamente cada una de estas VOC son variables que se pueden modelar dependiendo del tipo de datos que se tengan. Óscar Sánchez-Flores y Javier Romero-Torres en su trabajo *"Factores de calidad del servicio en el transporte público de pasajeros: estudio de caso de la ciudad de Toluca, México"* en el capítulo 2.1 *Identificación de factores que definen la calidad de servicio* optaron por elegir las variables de interés a partir de revisión de la literatura. Como algunas de las variables que eligieron no tenían información

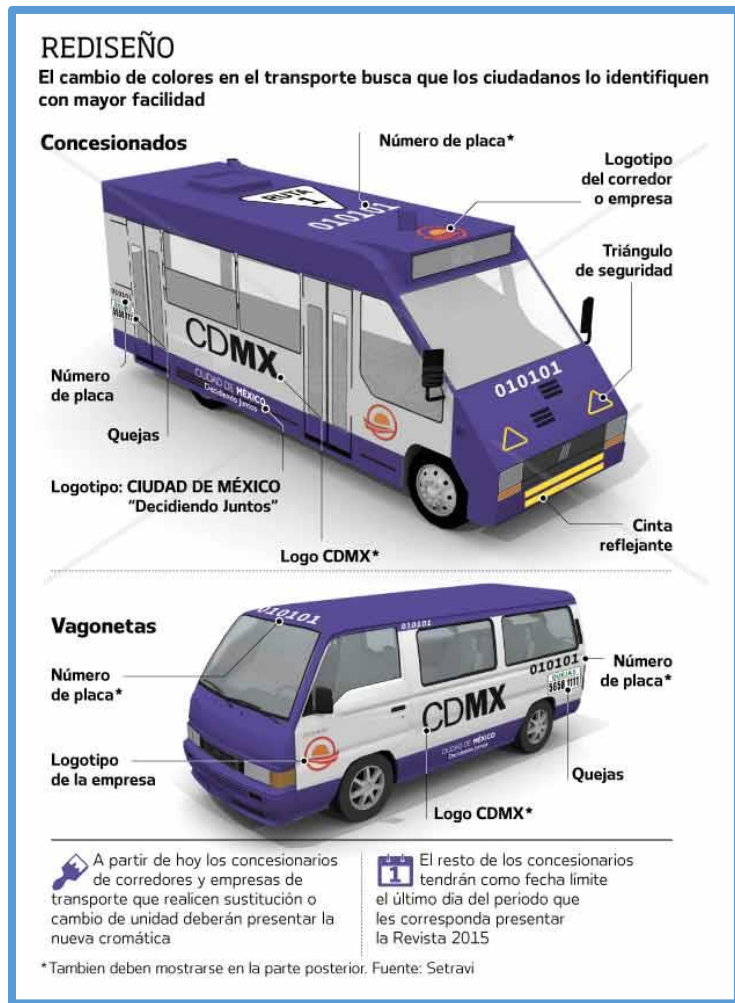


Ilustración 3. La CDMX busca estandarizar el servicio del transporte público concesionado, esto incluye el Diseño. Fuente: el universal



histórica decidieron realizar tarea de investigación y toma de datos. Estas tareas pueden ser tanto encuestas como mediciones ponderadas arbitrariamente.

En la presente tesis, a pesar de tener la posibilidad para realizar todo un amplio trabajo de investigación, categorización y ponderación de las variables, se optó por consultar si la empresa tenía datos históricos. Esto trajo beneficios puesto que se tenían datos históricos que la directiva considera importantes, es decir, para esta tesis se trabaja directamente con CTQ's ya recopilados.

I.7 Áreas de Oportunidad

Los mayores beneficios que se buscan con los pronósticos del presente trabajo son dos principalmente:

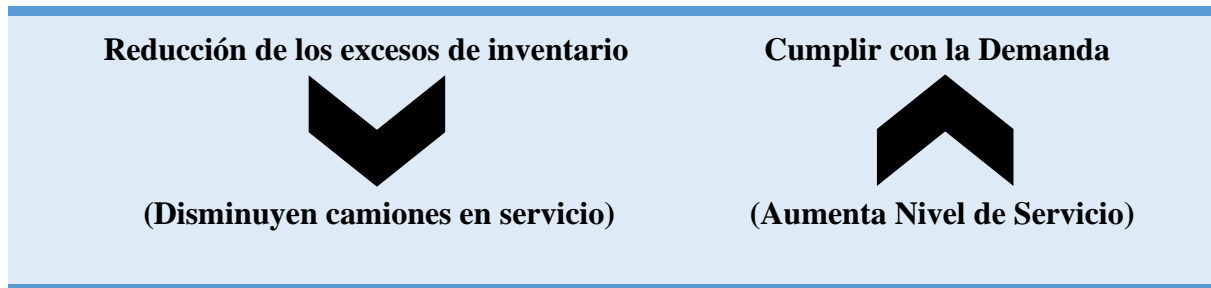


Ilustración 4. Idea tomada de la clase de Planeación y Control de la Producción

Al tener una reunión con el Gerente General de dicha empresa se llegó a la conclusión de que existe la necesidad de poder estimar la afluencia o demanda que existe del servicio de transporte de unidades, esto para poder planificar mejoras, estas áreas de oportunidad son:

- Si es que hay estimaciones negativas o positivas sobre la demanda del servicio prepararse para lo que puede suceder en un futuro.



- Estimar el número de unidades que circularán durante el año, para poder llevar un correcto control en el suministro de diésel (combustible principal de los camiones) y que no haya gastos innecesarios al enviar más unidades cuando la demanda es poca y gastar de más en combustible. Al igual que saber el número de personal interno suficiente para realizar las actividades necesarias que requiera la demanda.
- Incentivar el uso del corredor por usuarios cuando se estime que sea baja la demanda del servicio.
- Conocer qué variables impactan sobre la baja o alta demanda del servicio de transporte y, una vez conociéndolas, realizar las acciones pertinentes en pro de la mejora del servicio.
- Realizar encuestas para obtener datos de corte transversal.

I.7.1 LA IMPORTANCIA DE UN ANÁLISIS ESTADÍSTICO A LA DEMANDA DE UN SERVICIO

A diferencia de cualquier análisis que se puede usar con fin de obtener estimaciones futuras de la demanda de un producto o un servicio, el análisis estadístico permitirá definir factores matemáticos con determinado nivel de confianza que sean útiles como punto de partida para entender el comportamiento real de cierta variable.

Sabemos que hay técnicas de análisis que caen en lo empírico, siendo el punto de partida el pasado visto desde determinado ángulo. Por ejemplo, es bien sabido que en México los métodos de pronóstico son poco usados y, cuando se pretenden hacer estimaciones futuras,



el factor “experiencia” tiene mayor peso. Muchos encargados de abastecer determinado negocio o proceso hacen pedidos de materia prima o solicitudes de insumos con base en el empirismo, solicitan determinada cantidad de material porque es lo que ellos consideran que es lo necesario.

El análisis estadístico permitirá obtener exactitud matemática de nuestras estimaciones, además de que el tratamiento a los datos abre una amplia posibilidad a otros tipos de análisis matemáticos que aportan información muy valiosa y determinante para la toma de decisiones.



Ilustración 5. La Secgob CDMX y Semovi anuncian Programa Integral de Mejora del Transporte Público concesionado con 1,000 mdp adicionales para este 2020. Fuente: Centrourbano



CAPÍTULO II: ANÁLISIS DE LA SERIE DE TIEMPO



II.1 SERIES DE TIEMPO

Una serie de tiempo es una secuencia de observaciones de una variable que se mide en puntos sucesivos en el tiempo o sobre un periodo sucesivo (hora, día, semana, mes).

Los modelos de series de tiempo tienen el objetivo de analizar exclusivamente datos históricos de la variable para encontrar patrones predecibles y repetibles en los datos pasados para después extrapolar el modelo al futuro.¹⁸

Estos métodos analizan exclusivamente datos históricos y patrones predecibles a futuro. “Los datos de series de tiempo pueden entenderse como una película de la variable en cuestión, en la cual podemos vislumbrar escenas acontecidas en momentos anteriores y estimar (con cierto margen de error) lo que acontecerá después”.¹⁹ Los datos de las series de tiempo alimentan a los modelos de pronósticos para la estimación de datos futuros.

II.1.1 Obtención de una serie de tiempo

Para obtener una serie de tiempo útil para cualquier tipo de análisis estadístico es necesario llevar el conteo de datos definido por la variable “tiempo”, siendo esta una variable continua con indicaciones de tiempo definidos como un sistema de medición.

¹⁸ Consultado de la tesis “Apuntes complementarios de Planeación y Control de la Producción” de la Ing. Juana Lucas García.

<http://www.ptolomeo.unam.mx:8080/jspui/bitstream/132.248.52.100/12857/1/Apuntes%20complementarios%20de%20Planeaci%C3%B3n%20y%20Control%20de%20la%20Producci%C3%B3n.pdf>

¹⁹ Consultado de la tesis “Propuesta metodológica para cuantificar el impacto de las instituciones educativas en el rendimiento académico” del ing. Gabriel Gaspar Galindo.

<http://132.248.52.100:8080/xmlui/bitstream/handle/132.248.52.100/15076/Tesis.pdf?sequence=1>



²⁰Conocemos que el tiempo es una magnitud física variable siendo su unidad, según el Sistema Internacional de Unidades, el segundo (s).²¹Aunque el segundo es la unidad perteneciente al SI, también acepta otro tipo de agrupaciones como se ve en la siguiente tabla:

Tabla 6. Unidades no pertenecientes al SI cuyo uso con el SI está aceptado

Magnitud	Nombre de la unidad	Símbolo de la unidad	Valor en unidades SI
tiempo	minuto	min	1 min = 60 s
	hora ^(a)	h	1 h = 60 min = 3600 s
	día	d	1 d = 24 h = 86 400 s
ángulo plano	grado ^(b, c)	°	1° = (π/180) rad
	minuto	'	1' = (1/60)° = (π/10 800) rad
	segundo ^(d)	''	1'' = (1/60)' = (π/648 000) rad
área	hectárea ^(e)	ha	1 ha = 1 hm ² = 10 ⁴ m ²
volumen	litro ^(f)	L, l	1 L = 1 l = 1 dm ³ = 10 ³ cm ³ = 10 ⁻³ m ³
masa	tonelada ^(g)	t	1 t = 10 ³ kg

Tabla 2. Tomado del Sistema Internacional de Unidades SI, 8a Edición, 2006.

Siendo aceptadas las unidades de minuto, hora, día, entre otras, por el SI, se pueden utilizar como punto de partida para la recolección de datos. Es decir, para poder tener una serie de tiempo la recolección de los datos estará determinada por la unidad a analizar.

²⁰ El Sistema Internacional de Unidades se fundamenta en siete unidades de base correspondientes a las magnitudes de longitud, masa, tiempo, corriente eléctrica, temperatura, cantidad de materia, e intensidad luminosa. Estas unidades son conocidas como el metro, el kilogramo, el segundo, el ampere, el kelvin, el mol y la candela, respectivamente. A partir de estas siete unidades de base se establecen las demás unidades de uso práctico, conocidas como unidades derivadas, asociadas a magnitudes tales como velocidad, aceleración, fuerza, presión, energía, tensión, resistencia eléctrica, etc. (CENAM.MX en cenam.mx/siu.aspx).

<https://www.cem.es/sites/default/files/siu8edes.pdf> página 35

²¹ <http://www.cenam.mx/siu.aspx>: El segundo (s) se define como la duración de 9 192 631 770 períodos de la radiación correspondiente a la transición entre los dos niveles hiperfinos del estado base del átomo de cesio 133 (13ª Conferencia General de Pesas y Medidas, 1967).



Por ejemplo, para hacer un análisis del incremento o disminución de la afluencia en determinada hora de un día, como estamos definiendo la unidad como “hora”, nuestro intervalo de tiempo de un dato a otro deberá ser en la hora determinada. Dicho dato inherentemente será afectado por la variación que ocurra en él en determinados minutos, segundos, milisegundos, etc. pero sólo tomaremos en cuenta el dato en unidad de “hora”. En otras palabras, el dato recolectado explicará la variación en horas y no en unidades menores.

Para que la serie de tiempo sea útil para análisis precisos todos los datos deben ser tomados en el mismo intervalo de tiempo y bajo condiciones iniciales definidas para todas las tomas.

Es importante mencionar que es diferente la unidad de medida del intervalo de tiempo de nuestras lecturas que la unidad de medida de las lecturas, esto se explica en la siguiente tabla:

t	Unidad de Medida Tiempo	Intervalo de toma de lectura	Afluencia	Unidad de Medida de la Lectura
1	hora	Lectura 1 en hora 1	101	Personas
2	hora	Lectura 2 en hora 2	97	Personas
3	hora	Lectura 3 en hora 3	98	Personas
4	hora	Lectura 4 en hora 4	103	Personas
5	hora	Lectura 5 en hora 5	80	Personas

Tabla 3. Unidades de medida con base en hora.

Como se ve en esta tabla ejemplo, la unidad de medida del tiempo es referida a una hora, es decir, el periodo está en “hora”, aunque puede variar dependiendo del análisis que buscamos.



Por ejemplo, si buscamos analizar la hora con mayor afluencia del día, buscamos un periodo para cada dato de 1 hora o menor. Cuando utilizamos lecturas con intervalos menores de tiempo, por ejemplo, en minutos, la suma de estas lecturas las podemos convertir en el periodo de tiempo que deseamos. A este dato, resultado de la suma de lecturas con periodos de tiempo menores, se le conoce como: dato agregado.

En realidad, podemos considerar a cualquier dato como agregado dependiendo del análisis que buscamos. Por ejemplo, si buscamos analizar el día con mayor afluencia del año, pero nuestra serie de tiempo está con periodo anual, cada dato de la serie de tiempo se le considerará como agregado, debido a que dentro de sí está la suma, no especificada, de todas las lecturas diarias del número de afluencia.

II.1.2 Afluencia del sistema de transporte concesionado

La Afluencia de pasajeros la podemos definir como la cantidad de personas que utilizan el servicio del transporte (A) en función del tiempo (t), es decir, la afluencia de pasajeros dentro del servicio de transporte (A_t) muestra la concurrencia de usuarios o llegada de usuarios que demandan la utilización del servicio de transporte y **hacen uso de él**. Por ello podemos definir que nuestra afluencia de pasajeros es igual a la demanda del servicio de transporte en función del tiempo o $A_t = D_t$. Por consiguiente, la afluencia será vista como la demanda del servicio de transporte concesionado en el sistema a analizar.

Los datos proporcionados por la empresa que denominaremos EMPRESA CONCESIONADA DE TRANSPORTE fueron datos de afluencia (demanda) que usaron sus



unidades durante un día, es decir, se proporcionaron datos diarios de la afluencia (demanda) que tuvo dicha empresa. Son datos diarios a partir del **1 de enero del 2015** al **27 de febrero del 2019** siendo un total de 1519 datos. Respetando el punto 1.4.1 de la presente tesis dichos datos serán alterados por cuestiones de privacidad pero que no cambiarán la utilidad del análisis de la afluencia de la EMPRESA CONCESIONADA DE TRANSPORTE.

Los datos proporcionados los podemos ver en las tablas del ANEXO 1. Los datos están en una hoja de cálculo de Microsoft® Office Excel. Los datos están clasificados por: **[Dato]**, **[Fecha]** y **[Afluencia]**.

La columna **[Dato]** es el conteo de datos que se tienen, comienza en 1 y termina en el dato 1519, siendo el conteo unitario (1, 2, 3, 4, ..., 1519).

La columna **[Fecha]** es la fecha diaria del dato correspondiente, comienza en el día **[jueves, 1 de enero de 2015]** y termina en el día **[miércoles, 27 de febrero de 2019]**. La fecha es el formato “fecha larga” predeterminada de Microsoft® Office Excel.

La columna **[Afluencia]** es el número de pasajeros o demanda que se ha tenido durante la Fecha y Dato correspondientes.

Las tablas de todos los datos están en el **ANEXO I: Serie de Tiempo de la Afluencia Diaria desde el jueves 1 enero del 2015 hasta jueves 27 de febrero del 2019.**



II.1.2.1 Tipos de Datos

Los tipos de datos que se tienen en la serie de tiempo en análisis son denominados Datos Panel o longitudinales. Estos consisten en una serie de tiempo por cada unidad de corte transversal (Wooldridge, 2015). También se pueden entender como datos o muestras que son temporales. Estos tipos de datos tienen la característica que los intervalos de tiempo (Días, Meses, Años, etc.) son constantes y consecutivos (Día 1, Día 2, Día 3, ó Enero, Febrero, Marzo, ó año 2000, año 2001, año 2002) y los registros en cada una de las marcas de tiempo se realizan con las mismas unidades.

En los datos a analizar estas características están presentes, puesto que los datos son diarios (**jueves, 1 de enero de 2015, viernes, 2 de enero de 2015, ..., miércoles, 27 de febrero de 2019**) y las unidades son las mismas en cada registro [**Usuarios**].

Es importante definir que 1 [Usuario] está definido como una persona que pagó individualmente el servicio de transporte, es decir, su pasaje.

Los primeros cinco datos de nuestra serie de tiempo se presentan a continuación:

Dato	Fecha	Afluencia
1	jueves, 1 de enero de 2015	18569
2	viernes, 2 de enero de 2015	46541
3	sábado, 3 de enero de 2015	39694
4	domingo, 4 de enero de 2015	24777
5	lunes, 5 de enero de 2015	61415

Tabla 4. Primeros cinco datos de la serie de tiempo Afluencia, acomodados por Número de dato, fecha de registro y número de pasajeros (afluencia)





II.1.2.2 Análisis inicial de una serie de tiempo

De la gráfica de la Afluencia que observaremos a continuación se obtiene información importante, por lo que antes de realizar cualquier análisis matemático, es necesario graficar nuestra serie de tiempo para lograr encontrar peculiaridades observables y a partir de ahí comenzar con un análisis inicial.

Pero en este punto surge una pregunta: ¿En qué comportamientos de la gráfica nos debemos fijar?, y aquí es donde entramos en los tipos de análisis que podemos realizar de una serie de tiempo. Hay una gran variedad de análisis que nos permitirán definir qué información de la serie de tiempo es importante y cuál no.



II.1.2.2.1 Patrones

Dentro de los datos de interés que podemos observar en nuestra serie de tiempo, lo primero que debemos buscar son patrones. Un patrón es todo aquel valor o comportamiento similar que se presenta con frecuencia a través del tiempo a lo largo de nuestra serie de tiempo.

Las siguientes explicaciones fueron tomadas de Lucas, J., (2017), *Apuntes complementarios de Planeación y Control de la Producción*. Hay distintos tipos de Patrones que se pueden presentar en nuestra serie de tiempo y son los siguientes:



- Patrón horizontal: Se presenta cuando los datos fluctúan alrededor de una media constante aun cuando la variabilidad aleatoria se encuentra presente, es decir, cuando los valores de una variable oscilan a través del tiempo alrededor de un nivel. (TEC)²²
- Patrón con Tendencia: Se presenta cuando las series de tiempo muestran cambios o movimientos graduales (estables) crecientes o decrecientes durante un periodo. Este patrón puede tener naturaleza lineal o no lineal .Las series que muestran tendencia están influenciadas por la actividad económica. (TEC)²³
- Patrón con Estacionalidad: Se presenta cuando las variaciones se repiten en alguna temporada del año. Por ejemplo, la venta de juguetes aumenta en ciertas temporadas del año, como navidad, día de reyes o día del niño.
- Patrón con Ciclicidad: Se presenta cuando las variaciones tienen forma de onda alrededor de la tendencia que se ve afectada por las condiciones económicas (ciclo de negocios).²⁴
- Patrón con irregularidad: Se presenta cuando las variaciones no presentan componentes de estacionalidad ni tendencia y son provocadas por factores no previsibles.

²² Tomado de “Métodos de pronósticos para negocios – Patrones de una serie de tiempo” de J. Enrique Montemayor Gallegos”, Editorial Digital, Tecnológico de Monterrey.
http://www.editorialdigitaltecdemonterrey.com/materialadicional/id196/cap1/patrones_tiempo.pdf

²⁴ Consultado de la tesis “Apuntes complementarios de Planeación y Control de la Producción” de la Ing. Juana Lucas García. La Ing. Juana hace un resumen muy completo sobre los comportamientos de cada patrón.
<http://www.ptolomeo.unam.mx:8080/jspui/bitstream/132.248.52.100/12857/1/Apuntes%20complementarios%20de%20Planeaci%C3%B3n%20y%20Control%20de%20la%20Producci%C3%B3n.pdf>



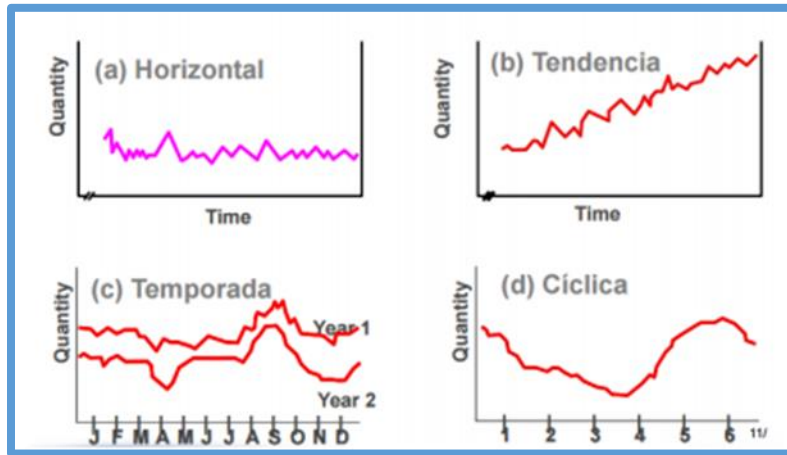


Ilustración 6. Gráfica de los patrones que se pueden presentar en una serie de tiempo. Fuente: Lucas, J., (2017), Apuntes complementarios de Planeación y Control de la Producción

Las series de tiempo nos permiten analizar nuestros datos (demanda) a lo largo del tiempo, debido a que dichos datos fueron recabados a lo largo del tiempo. Este dato se puede escribir como (D_t) , siendo (D) el dato recabado referente a la demanda y (t) el tiempo en el que ese dato fue registrado, puede estar en días, semanas, meses, bimestres, trimestres, semestres, años, etc.), en otras palabras (D_t) es la demanda en el periodo (t) .



II.1.2.2 Irregularidades

Las irregularidades, a diferencia de un patrón, son todos aquellos datos que, por causas externas al proceso, tienen un comportamiento diferente de los datos de su misma clasificación.

Es importante no confundir datos irregulares con la variación del proceso. Es lógico que existe variación en todas las series de tiempo, puesto que las lecturas tomadas son diferentes



una de otra, pero, en algunas ocasiones, hay datos que están fuera de los valores esperados normalmente y esto debido a muchas causas como son:

- **Registro erróneo:** Los errores de registro de datos son, la mayoría de las veces, por causas de errores humanos. Si hay un dato que sea irregular debido a que se registró erróneamente se deberá, si existe la posibilidad, volver a registrar.

p.e. sí tenemos una serie de tiempo acerca de las ventas de automóviles mensuales de cierta empresa, y conociendo que el mes pasado produjeron 100 automóviles, pero vendieron 5,000; esa inconsistencia en la relación autos producidos – autos vendidos es inverosímil, por lo que podría ser un error de registro.

- **Evento o causa fuera de lo común:** Este tipo de datos se explican por eventos o causas que no son esperadas.

Retomando el ejemplo anterior, podemos suponer que cierta empresa productora de automóviles fabricó 100 el mes pasado y solo vendió 1. Esta venta es claramente posible, pero improbable y se puede deber, por ejemplo, a que hubo crisis económica en la población y nadie pudo comprar. El valor de este dato mensual, si se considera, afectará el análisis de toda la serie en conjunto, por lo que se recomienda eliminarlo.



II.1.2.3 Observaciones de la Gráfica de Afluencia Diaria

Se graficará la serie de tiempo de la afluencia de transporte concesionado para realizar un análisis primario o inicial que determinará los análisis posteriores. De la gráfica de la Afluencia que observaremos a continuación se obtiene información importante, por lo que antes de realizar cualquier análisis matemático, es necesario graficar nuestra serie de tiempo para lograr encontrar peculiaridades observables y a partir de ahí comenzar con un análisis inicial.

Como se vio anteriormente, lo que se debe de buscar primeramente en la serie serán tanto patrones como irregularidades, la gráfica que se obtiene es la siguiente:



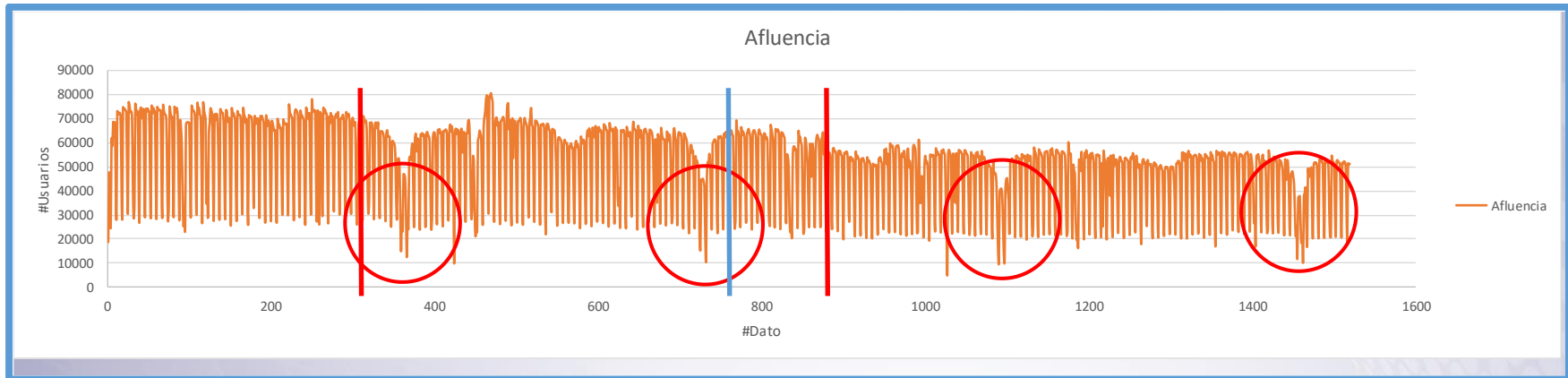


Ilustración 7. Gráfica de la afluencia total, La línea azul divide exactamente a la serie de tiempo por la mitad.

OBSERVACIONES

1. Se observa que la gráfica tiene comportamiento (patrón) estacional y tendencia a la baja, es decir un decrecimiento en la afluencia.
2. La Primera parte de la gráfica los datos casi alcanzan un valor de 80,000 usuarios, mientras que, en la parte final de la gráfica, los datos se acercan apenas a 60,000 usuarios, esto, además de confirmarnos la primera observación, nos puede indicar la existencia de cambio estructural en la serie de tiempo. El primero sucede cercano a la observación 307, y el segundo alrededor de la observación 885, (ambos cambios están ilustrados con una línea vertical ROJA).
3. Existe estacionalidad anual, mensual, semanal y diaria. La más prominente es la mensual, en la que cada año, en los meses de diciembre y enero, la afluencia disminuye. (Dichos cambios están encerrados con un círculo ROJO). La estacionalidad semanal se observa en los picos y caídas que constantemente tiene la serie.

Estas caídas se deben a que cada fin de semana, comenzando desde el viernes, hay un decremento muy pronunciado en la afluencia de usuarios del servicio, pero de lunes a jueves dicha caída se recupera en cantidad.

II.1.2.4 Comprobación Matemática de las observaciones de la Gráfica de Afluencia Diaria

De las tres principales observaciones se tiene que efectuar un análisis matemático que respalde dichas afirmaciones. Esto es importante puesto que el análisis propuesto en esta tesis debe de ser estadístico.



II.1.2.4.1 Prueba de Normalidad

Es necesario que antes de efectuar cualquier prueba estadística nuestra serie de tiempo pase por algunas pruebas que justifiquen los procedimientos estadísticos que ocuparemos.

²⁵Nuestra serie de tiempo es continua y puede presentar distribución normal, distribución que aparece con mayor frecuencia en los fenómenos naturales.

En este caso la función de densidad $f(x)$ de una distribución normal tiene como gráfica la campana de Gauss o gráfico de distribución gaussiana que a su vez se determina al calcular la media μ y la desviación estándar σ , por ello la distribución normal se denota como $N(\mu, \sigma)$.²⁶

²⁵ Tomado de calculo.cc: http://calculo.cc/temas/temas_estadistica/binomial_normal/teoria/normal.html

²⁶ Idea tomada del artículo "La Distribución Normal" de IES Leopoldo Queipo. Departamento de Matemáticas. Su consulta se hizo en la Red Universitaria de Aprendizaje (rua mx): <https://www.rua.unam.mx/portal/recursos/ficha/80357/la-distribucion-normal>

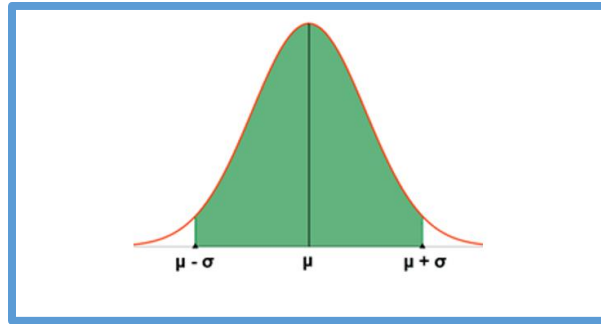


Ilustración 8. Gráfico de Distribución normal. Fuente: Calculo.cc

Esto es importante puesto que nuestros cálculos estadísticos posteriores dependerán de la distribución que tenga nuestra serie de tiempo. Para conocer entonces si nuestra serie de tiempo tiene una distribución normal o no, es necesario hacer una prueba de distribución.



II.1.2.4.1.1 Prueba Kolmogorov-Smirnov

La prueba de distribución que se ocupará en esta sección será la prueba **Kolmogorov Smirnov** puesto que esta prueba es para series con número de datos mayor a 50 como nuestra serie de tiempo que tiene 1519 datos. En caso contrario que se tuviera una serie de tiempo con tamaño menor a 50 se utilizaría la prueba **Shapiro Wilk**.

La regla para cumplir en esta prueba es:

Si $p >$ (mayor) a 0.05 la distribución es normal

Si $p \leq$ (menor o igual) a 0.05 la distribución no es normal

Con la regla ya definida se procede a realizar la prueba de hipótesis donde:

H_0 : La distribución de la variable aleatoria no es distinta a la distribución normal

H_1 : La distribución de la variable aleatoria es distinta a la distribución normal



Para esta prueba haremos uso del software Minitab en la opción Estadísticas > Estadísticas Básicas > Prueba de Normalidad, donde se configurará la variable “afluencia” como el objetivo del análisis. Una vez copiados los datos de “Dato” y “Afluencia” en el software la prueba se configura para realizarse por **Kolmogorov-Smirnov** y se usará el título “Prueba Normalidad de Afluencia”

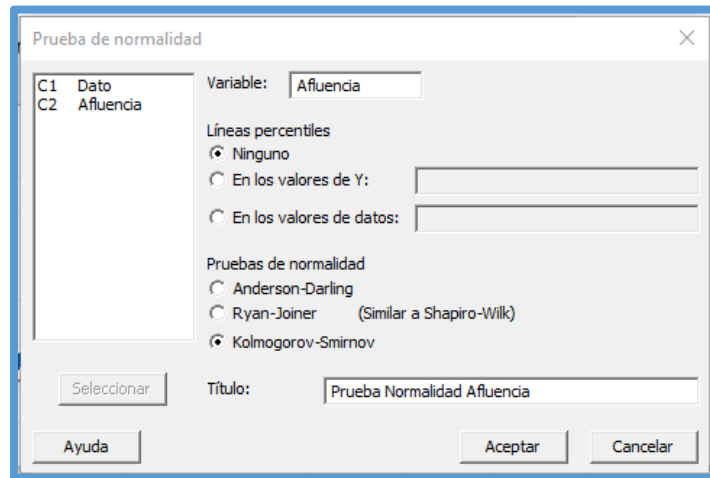


Ilustración 9. Ventana de configuración de la Prueba de Normalidad. Minitab permite realizar las tres más famosas.

Los resultados obtenidos de la prueba son los siguientes:

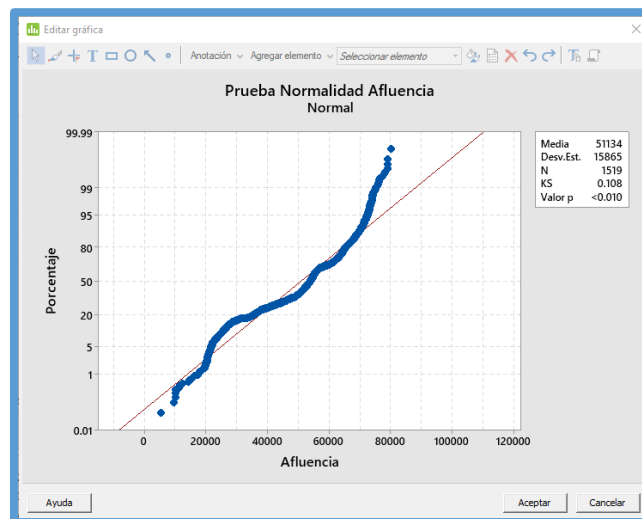


Ilustración 10. Gráfica final de la prueba de normalidad realizada por Kolmogorov-Smirnov



De esto comparamos el valor p siendo $<$ que 0.010 se acepta H_1 y nuestra serie de tiempo no es normal. Esto resulta un problema puesto que los análisis de regresión, t de student, correlación y ANOVA son análisis para series de tiempo con distribución normal; además, la mayoría de las pruebas de hipótesis, como el caso de las demostrativas de significancia estadística, son para distribuciones normales.



II.1.2.4.1.2 Prueba Jarque-Bera

Es necesario realizar una segunda y última prueba que confirme que los datos no siguen una distribución normal y es que algunas veces al hacer pruebas de normalidad para series muy grandes, como la de la presente tesis con 1519 datos, la normalidad se presenta en otro tipo de observaciones como la forma de la campana de los datos y ver si esta se ajusta a la de la gaussiana. Para ello se usará una novedosa manera de cuantificar dicha observación y es el test de Jarque-Bera.

“El estadístico **Jarque-Bera** se usa para el contraste de Normalidad²⁷. La hipótesis nula es la normalidad de la perturbación aleatoria. Este test se distribuye como una χ^2 con 2 grados de libertad.

$$\text{Test de Jarque – Bera} = \text{JB} = N \left[\left(\frac{m_3^2}{6} \right) + \left(\frac{m_4 - 3}{24} \right)^2 \right]$$

Ecuación 1. Test de Jarque-Bera. Prueba de bondad de ajuste observando la asimetría y la curtosis, la prueba recibe el nombre de Carlos Jarque y Anil K. Bera.

²⁷ Tomado de: Sancho, A., Serrano, G., (2004-2005), *Casos 1 y 3. Análisis de diferentes formas funcionales en un modelo de Comercio Exterior. El problema de la heterocedasticidad*. Recuperado de <https://www.uv.es/sancho/caso1y3.pdf>



Donde N es el número de observaciones; m_3 es el coeficiente de asimetría y m_4 es el coeficiente de curtosis”.

Como se mencionó el estadístico busca comparar mediante dos valores como lo son el coeficiente de asimetría de Pearson y el coeficiente de curtosis de Fisher.

El **coeficiente de asimetría de Pearson** es poblacional y se calcula como:

$$\text{Coeficiente de Asimetría } A_S = g_1 = m_3 = \frac{3(N - Me)}{\sigma}$$

Ecuación 2. Coeficiente de Asimetría de Pearson creada por el británico Karl Pearson.

Donde N es la Población; Me es la mediana y σ es la desviación estándar de la población. Los valores de g_1 pueden presentar que la distribución de nuestros datos presente las siguientes formas:

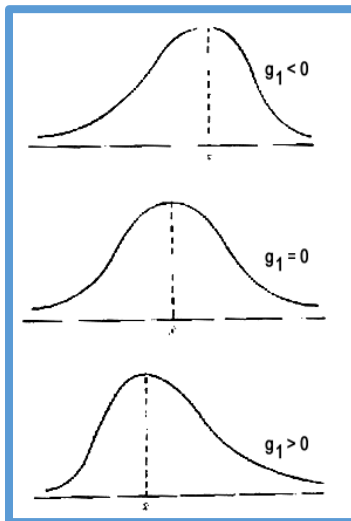


Ilustración 11. Gráfica de la forma de los datos con respecto a la moda.

Nuevamente mientras más esté cercano al 0 el coeficiente de curtosis tomará la forma de la distribución normal.



Entonces se procede a realizar la obtención de los coeficientes por Minitab, usando la columna llamada “Afluencia” se selecciona la opción **Estadísticas > Estadísticas Básicas > Mostrar estadísticos descriptivos**. Seleccionamos solamente que nos arroje los coeficientes de interés:

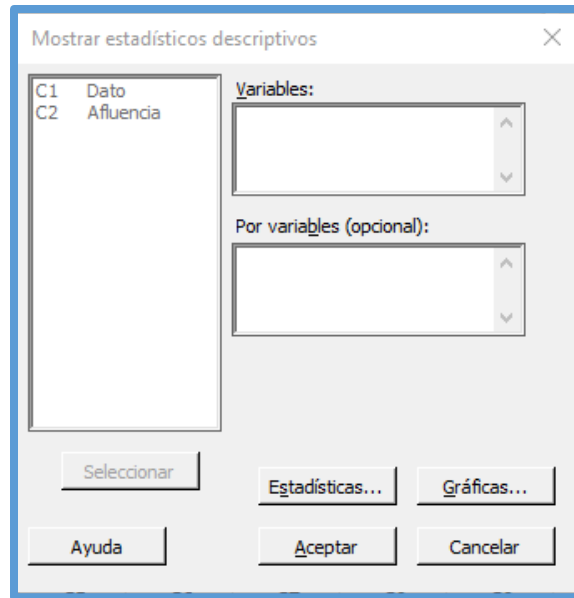


Ilustración 12. Ventana de Minitab: Mostrar Estadísticos descriptivos

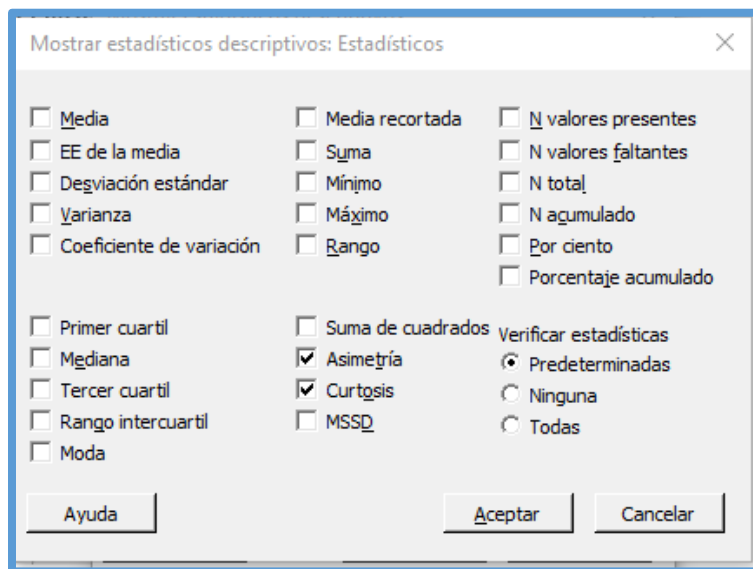


Ilustración 13. Selección de la Asimetría y Curtosis como estadísticos



Los resultados y la gráfica son los siguientes:

Estadísticas		
Variable	Asimetría	Curtosis
Afluencia	-0.55	-0.67

Ilustración 14. Resultados de Asimetría y Curtosis dados por Minitab

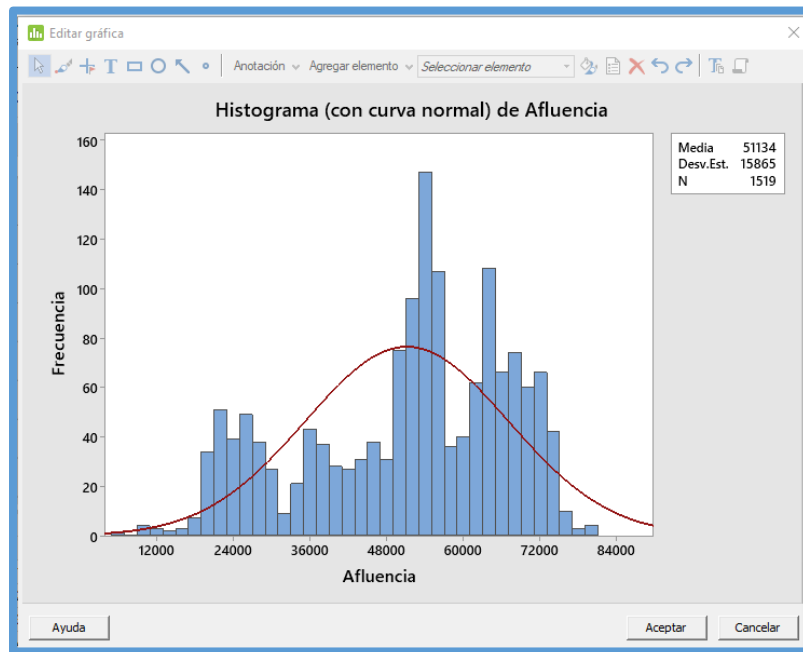


Ilustración 15. Histograma de los datos poblacionales

Se procede a sustituir los coeficientes en el test Jarque-Bera:

$$\text{Test de Jarque - Bera} = JB = N \left[\left(\frac{m_3^2}{6} \right) + \left(\frac{m_4 - 3}{24} \right)^2 \right]$$

$$JB = 1519 \left[\left(\frac{-0.55^2}{6} \right) + \left(\frac{-0.67 - 3}{24} \right)^2 \right] = 112.10$$

Escogiendo un nivel de significancia α de 0.05 con gl (grados de libertad) =2. En la tabla de distribución χ^2 el valor de referencia será 5.992 como se observa a continuación:



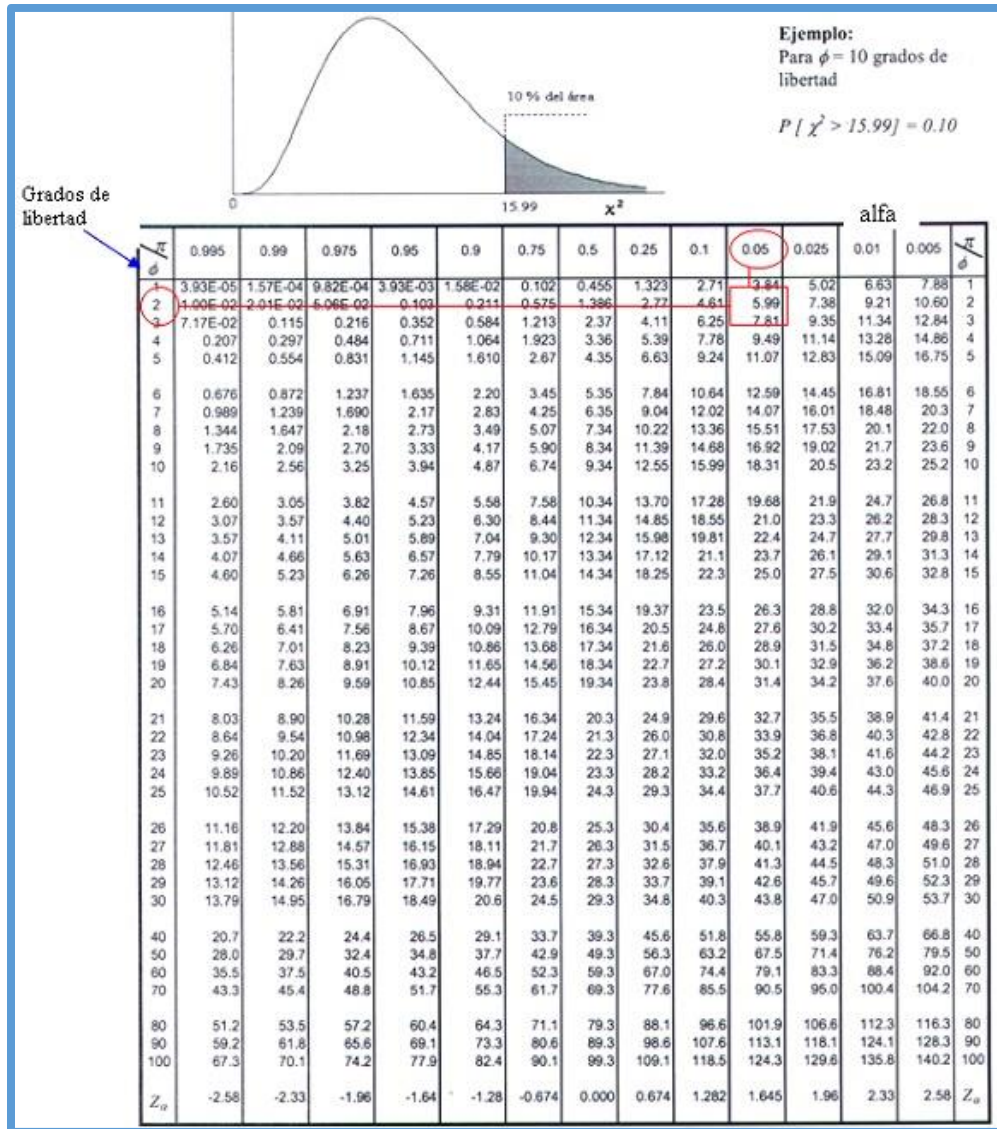


Tabla 5. Prueba de ji-cuadrado, también llamado chi cuadrado. Fuente: MEDWAVE²⁸

La conclusión a la que se llega es que nuestro coeficiente JB, al no ser menor que nuestro nivel de significancia α , nuestra serie de datos no es normal. Con esto se comprueba totalmente que nuestros datos no tienen comportamiento normal.

²⁸ Prueba de Ji -cuadrado tomada de MED WAVE, Estadística aplicada a la investigación en salud. <https://www.medwave.cl/link.cgi/Medwave/Series/MBE04/5266>





II.1.2.4.2 Tendencia y Estacionalidad



II.1.2.4.2.1 Regresión Lineal para Tendencia

Para poder comprobar estadísticamente que existe una tendencia en nuestra serie de tiempo es necesario recurrir a una Regresión Lineal. Un modelo de Regresión Lineal Simple permite encontrar la relación entre dos variables, una dependiente y y una independiente x . Esta relación permitirá que la variable independiente funja como explicativa del comportamiento de la variable dependiente.²⁹

Para entender la explicación que da una regresión lineal simple a la tendencia de una serie de tiempo es necesario explicar de dónde se obtiene la regresión lineal.

La regresión lineal parte de lo que se conoce como Diagrama de Dispersión en el que se acomodan los datos tomados de nuestra serie de tiempo tomando en cuenta los dos ejes del plano cartesiano (x,y) .

Al realizar el Diagrama de Dispersión de la serie de tiempo de la afluencia con Minitab se obtiene el gráfico siguiente:

²⁹ Idea tomada de la siguiente tesis:

Cruz, D., (2012), *Un análisis parcial en las preparatorias de la BUAP en las materias de matemáticas en el 2010*, (Tesis de titulación, Benemérita Universidad Autónoma de Puebla, Puebla). Recuperado de <https://www.fcfm.buap.mx/assets/docs/docencia/tesis/matematicas/DianaJazminCruzArmenta.pdf>



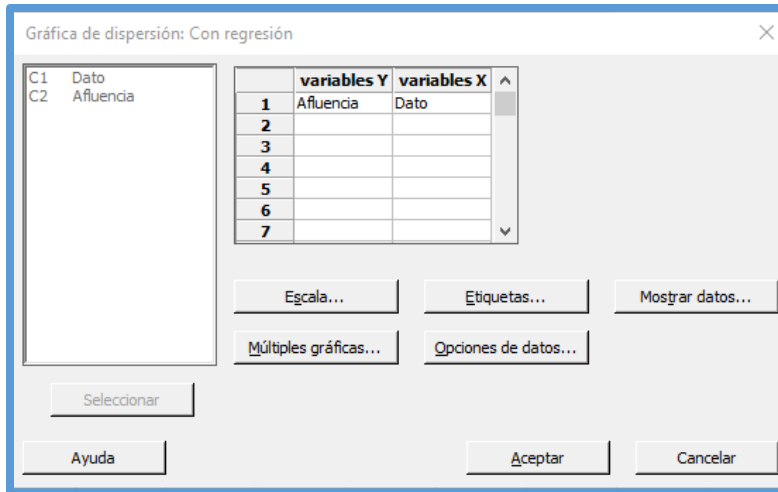


Ilustración 16. Datos para la Gráfica de dispersión (Minitab)

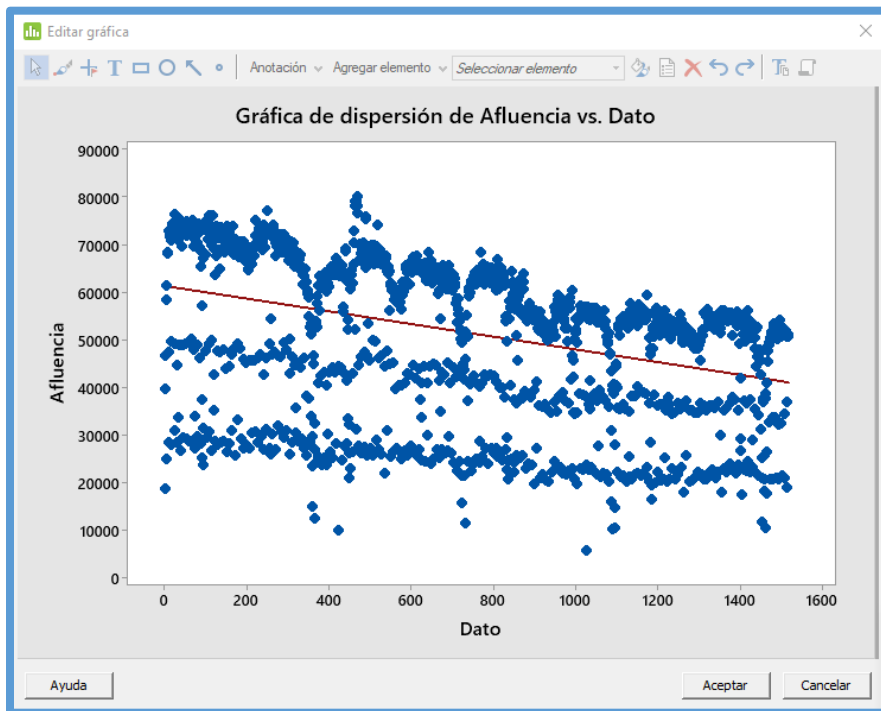


Ilustración 17. Gráfica de dispersión (Minitab)

Para realizar este diagrama se tomó como variable y o variable explicada a la afluencia y como variable x o variable explicativa al número de dato. En esta gráfica es evidente la variación que existe entre un dato y otro, por ello la Regresión Lineal Simple



busca una recta que represente la variación mínima entre la variación de todos los puntos de la serie.

La línea roja es una línea recta resultado de la Regresión Lineal Simple. Es necesario recordar la ecuación de una recta $y = mx + b$ donde m representa la pendiente de la recta y b la ordenada al origen o la intercepción con el eje. El modelo de Regresión Lineal, como se verá a continuación, es similar a la ecuación de la recta.

El modelo de regresión lineal simple es el siguiente:

$$y = \beta_0 + \beta_1 x + \varepsilon$$

Ecuación 3. Ecuación de regresión lineal simple

Donde:

y : Es una variable aleatoria dependiente

x : Es una variable aleatoria independiente y explicativa de la variable dependiente

β_0 : Es la ordenada al origen de la recta de regresión lineal.

β_1 : Es la pendiente de la recta de regresión lineal.

ε : Es el término de error determinado por $y_i - \hat{y}_i$ siendo y_i el valor observado y \hat{y}_i el valor ajustado por la ecuación de la recta en ese punto $\hat{y}_i = mx + b$.

Al igual que en la ecuación de la recta, el valor que multiplica a la variable independiente x , β_1 es la pendiente de la recta, en este caso la recta de la regresión lineal. Tanto en nuestra gráfica de la serie de tiempo es clara la presencia de tendencia negativa de los datos y en nuestro Diagrama de Dispersión con la recta de regresión lineal se hace más evidente. Entonces la forma que comprobaremos la presencia de dicha tendencia negativa en nuestra serie de tiempo será obteniendo primero el signo de nuestra pendiente de la regresión lineal simple β_1 y posteriormente su valor para conocer el grado de disminución de la afluencia determinada por la variable explicativa x que la multiplica.



Entonces se realiza la regresión lineal en Minitab para conocer dichos valores de la ecuación de la recta de regresión lineal simple.

La ecuación de nuestra recta de regresión lineal es la siguiente:

Ecuación de regresión

$$\mathbf{Afluencia = 61304 - 13.382 Dato}$$

Ecuación 4. Ecuación de regresión lineal simple de la afluencia

Siendo

$$y = \text{Afluencia}, \beta_0 = 61304, \beta_1 = -13.382, x = \text{Dato}$$

Tanto la variable y [Afluencia] como la variable x [Dato] representan una serie de datos que se le conocen como **datos tipo panel**. Los **datos tipo panel** combinan transversalmente una serie de datos con otra. Si se pudiera representar de alguna forma para poder entender este concepto sería de la siguiente manera. Tomando en cuenta los primeros cinco datos de nuestra serie de tiempo en la columna Dato y Afluencia, la representación es la siguiente:

$$\mathbf{Afluencia = 61304 - 13.382 Dato}$$

A_1	n_1
A_2	n_2
A_3	n_3
\vdots	\vdots
A_{1519}	n_{1519}

Es decir que los valores de la Afluencia ajustados por la ecuación de la regresión lineal serán, por ejemplo, en el caso del uso del Dato $n_{t=1}$, la Afluencia ajustada por la regresión lineal será:

$$A_1 = 61304 - 13.382 (1)$$

$$A_1 = 61290.2 \text{ [Pasajeros]}$$



La interpretación de este resultado es que la Afluencia en el periodo 1 de nuestra serie de tiempo es de 61290.2 pasajeros.

Este valor se observa en la gráfica de la regresión lineal con $t = 1$:

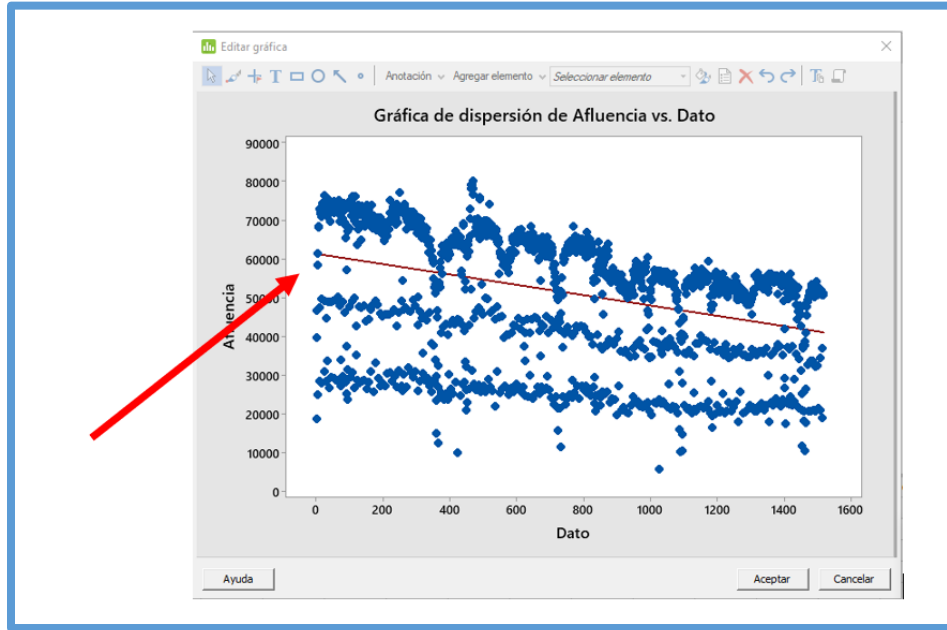


Ilustración 18. Gráfica de la recta de regresión lineal simple, señalando el primer valor.

Usando $t = 1519$ el valor del modelo de afluencia A_t ajustada por la regresión lineal será:

$$A_{1519} = 61304 - 13.382 (1519)$$

$$A_{1519} = 40976.7 \text{ [Pasajeros]}$$

La interpretación de este resultado es que la Afluencia en el periodo 1519 de nuestra serie de tiempo es de 40876.7 pasajeros.

Este valor se observa en la gráfica de la regresión lineal con $t = 1519$:



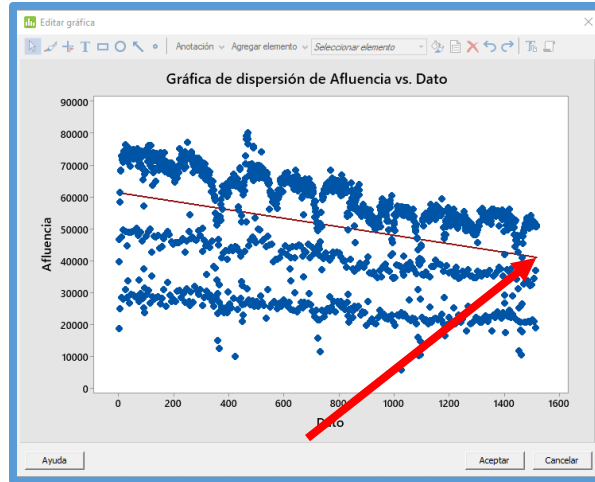


Ilustración 19. Gráfica de la recta de regresión lineal simple, señalando el último valor.

Esta disminución en los datos de la afluencia ajustada por la regresión lineal de 20313.5 pasajeros cobra sentido puesto que el valor de la pendiente de la ecuación de regresión lineal $\beta_1 = -13.382$. El coeficiente β_1 es negativo, es decir, la pendiente o tendencia es negativa. Con el signo del coeficiente β_1 podemos comprobar entonces que la tendencia a la baja de la afluencia observada en la gráfica de la afluencia es, en efecto, negativa.



II.1.2.4.2 Estacionalidad de la serie

En la gráfica es evidente la presencia de estacionalidad debido a las similitudes con los usuales patrones estacionales encerrada por los círculos rojos:

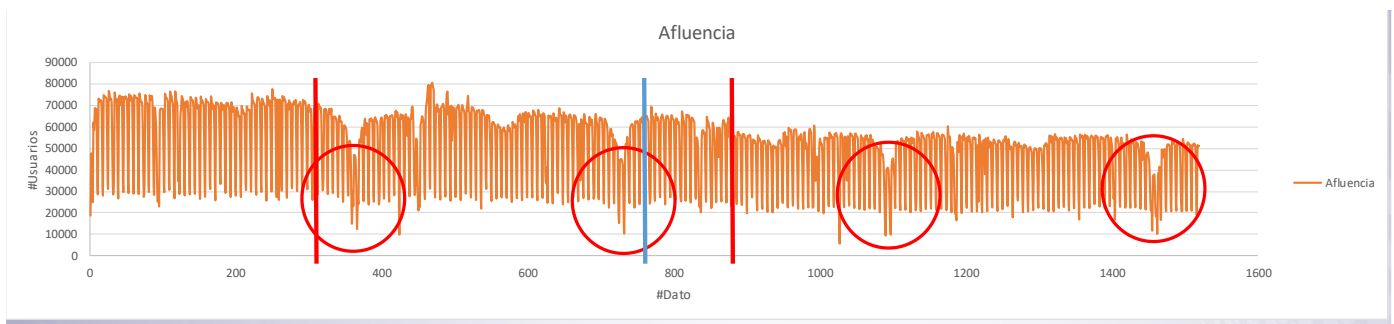


Ilustración 20. Estacionalidad presentada durante el último trimestre de cada año marcado con circunferencias rojas.



Los valores que están encerrados en los círculos rojos son los recabados durante los meses de noviembre, diciembre y enero.

Aunque podemos dar por hecho la presencia de estacionalidad en la serie es importante poder demostrar matemáticamente si existe estacionalidad en una serie de tiempo. Para ello es necesario recordar que una serie de tiempo tiene un patrón denominado “Estacionalidad” (ver II.2.1.2.1 Patrones de la presente tesis). La estacionalidad se denomina también como temporalidad, en la que, dependiendo de cierto periodo de tiempo del año, la gráfica tiene comportamientos particulares. La forma de determinar si existe estacionalidad en nuestra serie de tiempo es mediante el cálculo de **componentes estacionales** (C_t).

Un **componente estacional** (C_t) es aquella parte de la serie de tiempo que le da la variación al dato por temporadas. Las temporadas o estaciones generalmente son anuales, mensuales o diarias. Si los componentes tienen una variación alta con respecto a la unidad (1), entonces podemos decir que existe estacionalidad en nuestra serie de tiempo.

El **componente estacional** (C_t) es uno de los tres componentes básicos de una serie de tiempo junto con el **componente de tendencia** (B_t) y el **componente de aleatoriedad** (ϵ_t). En algunas series de tiempo también se presenta el **componente constante** o también llamado **componente de nivel** (S_t).

Para obtener los **componentes estacionales** (C_t) de la serie de tiempo es necesario obtener la ecuación de la regresión lineal simple de nuestros datos. Dicha ecuación se calculó en el punto II.2.1.4.1.1 de la presente tesis y es la siguiente.

$$\text{Afluencia} = 61304 - 13.382 \text{ Dato}$$

Ecuación 5. Ecuación de regresión lineal simple resuelta.



O mejor expresada como:

$$A_t = 61304 - 13.382 x_t$$

Con $t = 1 \dots 1519$

Ecuación 6. Ecuación de regresión lineal simple resuelta para la serie de datos de la afluencia con variación en el tiempo t .

De esta ecuación se puede calcular cada valor de la afluencia contemplando la ecuación de la recta de regresión lineal observando la tendencia que esta promueve. Y es así como calculamos cada valor de la afluencia con tendencia sustituyendo el valor de t con el del número de dato correspondiente siendo $t = 1, t = 2, t = 3, \dots, t = 1519$. También sustituimos el valor de la afluencia tomada en el periodo t , siendo $x_{t=1} = 18569, x_{t=2} = 46541, x_{t=3} = 39694, \dots, x_{t=1519} = 50966$.

Sustituyendo en la ecuación de regresión lineal quedaría de la siguiente manera los resultados de la afluencia con tendencia:

Con $t = 1$	61654.128 = 61304 - 13.382 (1)
Con $t = 2$	61640.313 = 61304 - 13.382 (2)
Con $t = 3$	61626.498 = 61304 - 13.382 (3)
	⋮
Con $t = 1519$	40682.735 = 61304 - 13.382 (1519)

Cada uno de los valores de la Afluencia con tendencia se encuentra en el **ANEXO II**.

La afluencia con tendencia permite observar la recta de decrecimiento de nuestra serie de tiempo, eso permitirá que sea más sencillo eliminar el componente de tendencia de nuestra serie de tiempo puesto que sólo se deberá dividir el valor de la afluencia con tendencia entre



el valor de nuestra serie normal. Es decir, dividiremos tendremos en nuestro cociente los siguientes componentes:

$$C_t = \frac{\text{(Componente Tendencia)}}{\text{(Componente Tendencia, Componente Estacionalidad, Componente Aleatoriedad)}}$$

Ecuación 7. Visualización de los componentes del componente estacional.

Al dividir el componente de tendencia desaparecerá y sólo quedará en nuestra serie de tiempo el **componente de Estacionalidad** y en su defecto el **componente de aleatoriedad** o de error como se ejemplifica a continuación:

$$C_t = \frac{\text{Componente Tendencia}}{\text{Componente Tendencia, Componente Estacionalidad, Componente Aleatoriedad}}$$

Quedando como resultado la serie de tiempo en sus componentes restantes, que en su caso será el **componente estacional** (C_t):

$$C_t = \text{(Componente Estacionalidad, Componente Aleatoriedad)}$$

La realización de estas operaciones se encuentra en las tablas del **ANEXO III**.

Cabe señalar que debido a que el componente de estacionalidad es diario y se ajusta a cada uno de los días de la semana, se podrá calcular la estacionalidad diaria de la serie, e incluso la estacionalidad mensual y anual. Esto se realiza acomodando cada **componente estacional** del valor de afluencia en su día correspondiente como se ve a continuación:

Fecha	Afluencia sin/Tendencia	Lunes	Martes	Miércoles
lunes, 5 de enero de 2015	0.997	0.99700696		
martes, 6 de enero de 2015	0.948		0.948225218	
miércoles, 7 de enero de 2015	1.111			1.11077839

Tabla 6. Acomodo de los componentes estacionales.



Se acomodan los datos de la afluencia sin tendencia que es el valor del **componente estacional** de acuerdo con el día de la semana en que fue tomado el valor de la afluencia.

Fecha	Afluencia	Afluencia con/Tendencia	Afluencia sin/Tendencia	Lunes	Martes	Miércoles	Jueves	Viernes	Sábado	Domingo
jueves, 1 de enero de 2015	18560	61654.138	0.301				0.30117205			
viernes, 2 de enero de 2015	45541	61649.313	0.755					0.75503348		
sábado, 3 de enero de 2015	35024	61628.458	0.644						0.644106046	
domingo, 4 de enero de 2015	24777	61612.683	0.402							0.402141228
lunes, 5 de enero de 2015	62425	61598.888	0.997	0.99700696						

Tabla 7. Acomodo de los valores estacionales de la serie de tiempo

Estos componentes estacionales se promedian de acuerdo con el día. Se obtiene un promedio de todos los componentes estacionales de los lunes, el promedio de todos los componentes estacionales de los martes, etc.

	LUNES	MARTES	MIÉRCOLES	JUEVES	VIERNES	SÁBADO	DOMINGO
PROMEDIO	1.14704986	1.17436392	1.16406635	1.14401217	1.11684855	0.77850579	0.47548363

Tabla 8. Promedio de todos los componentes estacionales por día de la semana

El promedio de todos los componentes estacionales deberá tener un valor de 1 exactamente, dando un valor de:

PROMEDIOS 1.00010084

Para corregir esta variación es necesario dividir cada promedio individual entre el promedio total. Para el promedio del componente estacional del lunes, por ejemplo, se debe dividir el valor $\frac{1.14704986}{1.00010084}$. Los nuevos valores son los siguientes:

LUNES	MARTES	MIÉRCOLES	JUEVES	VIERNES	SÁBADO	DOMINGO
1.14693421	1.17424551	1.16394897	1.14389682	1.11673593	0.77842729	0.47543569

Tabla 9. Promedio de todos los componentes estacionales por día de la semana dividido entre el promedio total.

La suma de cada uno de los promedios debe de dar exactamente 7, por la cantidad de días a la semana. Se suman los promedios con el primer ajuste dando como resultado el factor estacional:



FE	6.999624423
----	-------------

Tabla 10. Factor estacional

Es necesario entonces comparar con los valores que se esperan. Para ello realizamos una regla de 3 simple teniendo los siguientes valores:

6.999624423	→	7
x	→	1

$\frac{6.999624423 \times 1}{7} = 0.999946346$
--

Con los valores tenidos nuevamente dividimos cada uno de los promedios diarios con el primer ajuste entre el valor recientemente obtenido. Para el promedio del componente estacional del lunes, por ejemplo, se debe dividir el valor $\frac{1.14693421}{0.999946346}$ Los nuevos con el ajuste final son los siguientes:

LUNES	MARTES	MIÉRCOLES	JUEVES	VIERNES	SÁBADO	DOMINGO
1.14699575	1.17430851	1.16401143	1.1439582	1.11679585	0.77846906	0.4754612

Tabla 11. Componentes estacionales diarios ajustados de la serie de tiempo Afluencia.

Estos factores estacionales diarios nos permitirán analizar matemáticamente la variación promedio de toda la serie de un día a otro simplemente realizando una resta del día posterior menos el próximo anterior. Por ejemplo, la variación del factor estacional del lunes al martes está definida por $1.174308515 - 1.146995746$, siendo el cambio un cambio porcentual del 2.73%, siendo este porcentaje positivo o incremental.

DIA	FE	CAMBIO	CAMBIO %
Lunes	1.146995746	L-M	2.73%
Martes	1.174308515	M-Mi	-1.03%
Miércoles	1.164011425	M-J	-2.01%



Jueves	1.143958201	J-V	-2.72%
Viernes	1.116795854	V-S	-33.83%
Sábado	0.778469061	S-D	-30.30%
Domingo	0.475461199	D-L	67.15%

Tabla 12. Tabla de variaciones del componente estacional diario de toda la serie de afluencia.

De la tabla anterior podemos tener observaciones importantes. Se puede observar que del lunes al martes hay un incremento en la demanda del servicio de -1.03%. Del martes al miércoles se ha presentado un decremento del -1.03% en la demanda del servicio. Del miércoles al jueves y del jueves al viernes nuevamente se presentan decrementos de -2.01% y -2.72% respectivamente. Para el fin de semana, del viernes al sábado hay un decremento en la demanda del servicio al igual que del sábado al domingo, de -33.83% y -33.30%. Hasta este punto se tienen 5 decrementos continuos, con un total de -69.88%, situación que cambia puesto que del domingo al lunes se presenta un incremento del 67.16% y, sumado al incremento del lunes al martes de 2.73%, nos da un incremento de dos días consecutivos de 69.88%, recuperando los decrementos en la demanda de días anteriores.

La representación gráfica de esos incrementos y decrementos es la siguiente:

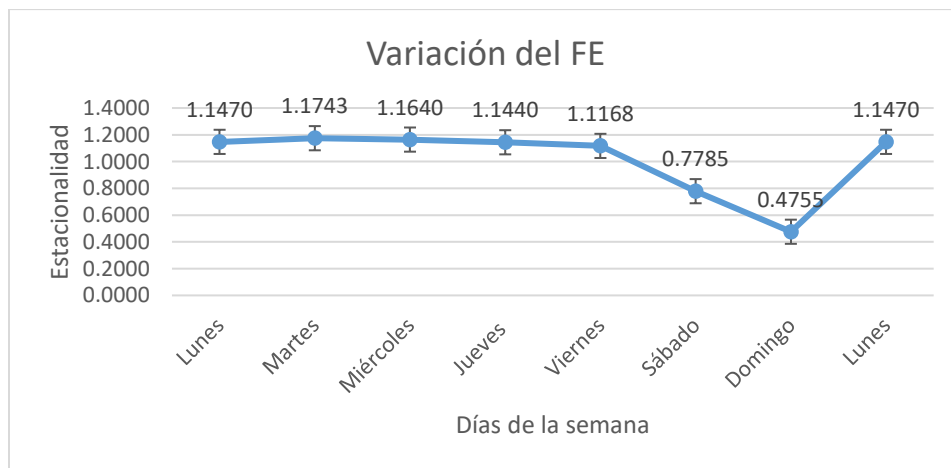


Ilustración 21. Gráfica de variaciones del componente estacional diario de toda la serie de afluencia



El mismo procedimiento de acomodo de los componentes estacionales dependiendo el día correspondiente se repite, pero ahora acomodando, dependiendo el mes y el año que contenga el dato. Así se generan las siguientes tablas de resultados:

MES	FE	CAMBIO	CAMBIO %	
ENERO	0.91848304	91.85%	ENE-FEB	7.40%
FEBRERO	0.99246828	99.25%	FEB-MAR	-2.98%
MARZO	0.96262668	96.26%	MAR-ABR	8.66%
ABRIL	1.04927557	104.93%	ABR-MAY	-2.24%
MAYO	1.02688542	102.69%	MAY-JUN	3.60%
JUNIO	1.06286572	106.29%	JUN-JUL	-7.86%
JULIO	0.98421949	98.42%	JUL-AGO	5.66%
AGOSTO	1.04082333	104.08%	AGO-SEP	-0.19%
SEPTIEMBRE	1.0389169	103.89%	SEP-OCT	1.04%
OCTUBRE	1.04928749	104.93%	OCT-NOV	-5.01%
NOVIEMBRE	0.9991926	99.92%	NOV-DIC	-12.42%
DICIEMBRE	0.87495547	87.50%	DIC-ENE	4.35%

Tabla 13. Tabla de variaciones mensuales del componente estacional de toda la serie de afluencia.

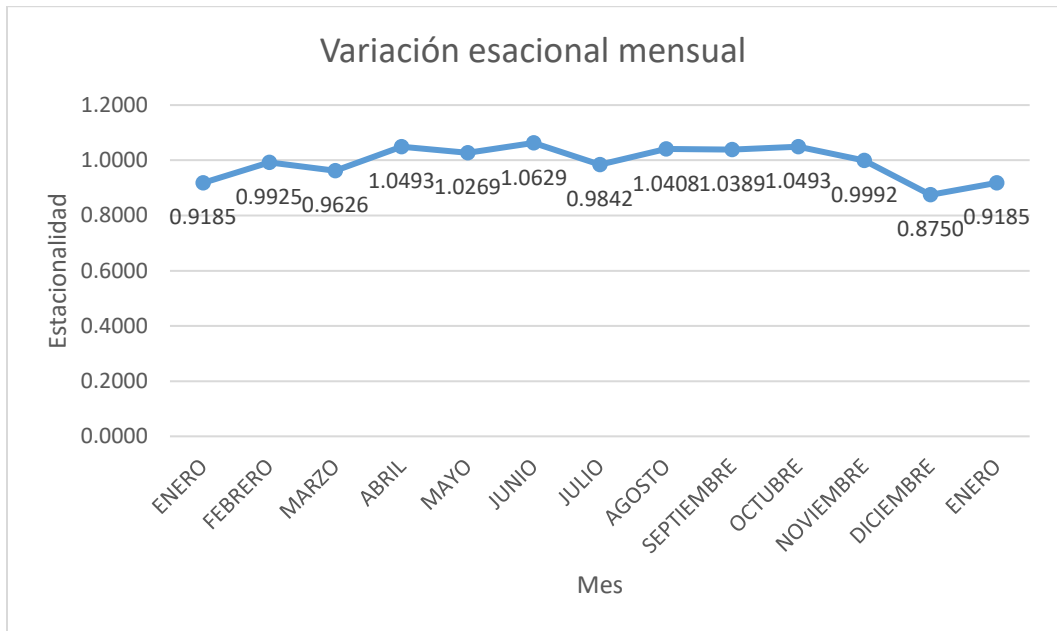


Ilustración 22. Gráfica de variaciones del componente estacional mensual de toda la serie de afluencia.



Como resultados importantes de las variaciones estacionales por mes es que en promedio de noviembre a diciembre existe la peor caída en la demanda del servicio con un decremento del -12.42%. El mayor aumento en la demanda del servicio se da en promedio de marzo a abril con un alza del 8.66%. También es importante señalar que las alzas y bajas son en su mayoría alternadas, casi no hay consecutividad en los aumentos o variaciones porcentuales de la estacionalidad solamente en los meses octubre-noviembre donde empieza a haber un decremento y en noviembre el decremento aumenta, siendo una caída total de la demanda del servicio de 17.43%, demanda que no se recupera hasta el mes de abril, lo que confirma la observación inicial acerca de la presencia de estacionalidad en la serie debido a las caídas en cada fin de año similares en todos los años.

Para el caso del análisis anual de los datos la forma de análisis cambia puesto que los datos del año 2019 sólo se tienen hasta el mes de febrero, por lo que solamente se toman en cuenta los componentes estacionales desde año 2015 hasta el año 2018. Para esos años los datos diarios están completos. Los resultados del análisis de las variaciones estacionales anuales son las siguientes:

AÑO	FE	FE	CAMBIO
2015	0.998394818	0.62%	2015-2016
2016	1.004622651	-2.62%	2016-2017
2017	0.978400723	3.98%	2017-2018
2018	1.018178484	0.46%	2018-2019

Tabla 14. Tabla de variación anual del componente estacional de toda la serie de afluencia.

Es importante señalar que la estacionalidad tiene un funcionamiento diferente para el acomodo anual debido a que, diferente a los análisis anteriores (diario y mensual), no se repiten cíclicamente los datos, es decir, es imposible que los años se cuenten 2015, 2016,



2017, 2018, 2015, 2016, [...], por lo que es de vital importancia señalar que para visualizar la variación de la afluencia anualmente, el análisis de Tendencia es más preciso y correcto.

Las mejoras se plantearán en capítulos finales de la presente tesis, usando los resultados del capítulo actual.



CAPÍTULO III: PRONÓSTICOS DE LA SERIE DE TIEMPO

III.1 Pronósticos

Un pronóstico de la demanda, como se vio en el punto *I.2 Introducción* de la presente tesis: “*consiste en estimar las ventas de un producto durante un determinado periodo (futuro). Los pronósticos, además, no sólo permiten estimar productos (bienes), también permiten estimar servicios*”.

Una vez realizado el análisis estadístico usando herramientas como pruebas de normalidad, de tendencia y obtención de componentes estacionales, así como una correcta identificación, categorización y observaciones de la serie de tiempo, es posible realizar métodos de pronósticos usando la serie de tiempo y determinados tanto por las características intrínsecas de la misma serie de tiempo como de los demás análisis efectuados.

Existen dos tipos de métodos para pronosticar la demanda: Series de Tiempo y Métodos Causales. En la presente tesis se realizó un análisis de los datos como Serie de Tiempo en el tema *II.2.1.2. Análisis inicial de una serie de tiempo*, por lo que en este capítulo se retomarán algunos conceptos ya esclarecidos, se consultarán resultados y observaciones mencionados en capítulos anteriores con respecto al uso de los datos de la Afluencia diaria como serie de tiempo. También se presenta el potencial y exactitud que tiene el pronosticar usando métodos de Series de Tiempo.

III.1.1 Determinando el modelo de pronóstico

Es necesario señalar que, en el método de Series de Tiempo, específicamente el modelo de pronóstico (*forecast*) está formado por los siguientes elementos:



$$F_t = \text{Patrones} + \text{Aleatoriedad}$$

Ecuación 8. Componentes de un pronóstico (forecast).

Donde el Patrón es el histórico de los datos y la aleatoriedad es el término de error del modelo de pronóstico.

En la especificación del modelo es necesario representar el término F en función del tiempo t, donde F_{t+1} es la demanda del siguiente periodo. Como F_{t+1} es el pronóstico a un periodo posterior, el pronóstico del periodo actual sería F_t .

Acerca de los tipos de patrones existentes, se aborda en el tema *II.2.1.2.1 Patrones* de la presente tesis. La serie de tiempo usada en este trabajo tiene correctamente analizados sus patrones. En el capítulo II se tuvieron observaciones de la gráfica total de la afluencia y se respaldaron matemáticamente. Los patrones que presenta la serie de tiempo son:

1. Una constante fundamental del proceso, la literatura la denomina **constante a** o **α** .
2. Una componente de **tendencia** negativa o positiva, la literatura la denomina componente **b** o **β** .
3. Un factor de **estacionalidad**, la literatura lo denomina componente **C** o **γ** .

El acomodo del modelo del proceso que presenta la serie de tiempo con relación a la demanda es el siguiente:

$$D_t = (\alpha + b_t)C_t$$

Ecuación 9. Ecuación de pronóstico de la demanda en el tiempo t.



Completando el modelo de pronóstico con todos sus elementos queda de la siguiente manera:

$$D_t = (\alpha + b_t)C_t + \varepsilon$$

Ecuación 10. Ecuación de pronóstico de la demanda en el tiempo t con el error sumado.

Siendo el elemento $(\alpha + b_t)C_t$ determinado por los patrones presentados en la serie de tiempo y ε el término de error o aleatoriedad.

Diferente al modelo de pronóstico, uno de los Métodos de Pronóstico de Series de Tiempo se logra mediante el suavizamiento exponencial de la serie de tiempo. El suavizamiento exponencial es el método por el cual se logra que la serie de tiempo disminuya sus irregularidades y variaciones que impactan negativamente en la previsualización de valores futuros. Se puede ejemplificar comparativamente como la disminución del ruido o perturbaciones de una señal. Si no se utilizara un suavizamiento exponencial a la serie de tiempo como pronóstico, las irregularidades influirían en los pronósticos futuros dando valores de error muy altos. Los métodos de suavizamiento exponencial son recomendados cuando en la serie de tiempo hay componentes tanto de tendencia como de estacionalidad. Si no existieran, quiere decir que el proceso tiene un comportamiento constante con su respectiva aleatoriedad, y puede pronosticarse con métodos simples como Último Dato, Promedio Simple, Promedio Móvil Simple o Promedio Móvil Ponderado.



III.1.1.1 Suavizamiento exponencial doble (Modelo Holt-Winters)

Existen algunos modelos para suavizar las series de tiempo, entre ellas se encuentran el Suavizamiento Exponencial Simple y Suavizamiento Exponencial Doble. El Suavizamiento Exponencial Simple se utiliza cuando en la serie de tiempo se presenta un componente de tendencia.

Daniel Sipper y *Robert L. Bulfin Jr.* en el capítulo 4: *Pronósticos*³⁰ de su libro *Planeación y Control de la Producción*, explican el suavizamiento exponencial simple como una evolución del promedio móvil ponderado haciendo uso de los datos actuales y la estimación anterior de la media del proceso. El suavizamiento es definido por dos ecuaciones, una relacionada con el nivel (componente *a*):

$$s_t = a * d_t + (1 - a)(S_{t-1} + T_{t-1})$$

Ecuación 11. Cálculo del componente de nivel en el tiempo t del suavizado exponencial simple. Es necesario recordar que d_t es la demanda en el periodo actual.

Y otra relacionada con la tendencia (componente *b*)

$$T_t = b(S_t - S_{t-1}) + (1 - b)T_{t-1}$$

Ecuación 12. Cálculo del componente de tendencia en el tiempo t del suavizado exponencial simple..

Por último, el pronóstico será la suma de ambos componentes:

$$F_{t+1} = S_t + T_t$$

Ecuación 13. El pronóstico del suavizado exponencial simple.

³⁰ Consultado de la página 127 del libro *Planeación y Control de la Producción* de Daniel Sipper y Robert L. Bulfin Jr.



Tanto los valores de a como de b tendrán ponderación entre 0 y 1.

Como la serie que se está analizando en la presente tesis contiene un componente adicional llamado componente de estacionalidad, se usa un método Suavizamiento exponencial de triple suavizado o simplemente conocido como Modelo Holt-Winters, el cual incluye los tres componentes (nivel, tendencia y estacionalidad) que presenta la serie de tiempo en cuestión.

A diferencia del Suavizamiento Exponencial Simple que solo contenía dos ecuaciones cada una referida al componente presentado en la serie de tiempo, el método Holt-Winters presenta una más, siendo estas:

Para el componente de **Nivel** suavizado:

$$s_t = a * \frac{d_t}{I_{t-L}} + (1 - a)(S_{t-1} + T_{t-1})$$

Ecuación 14. Cálculo del componente de nivel por suavizamiento exponencial de Holt-Winters.

Para el componente de **Tendencia** suavizada:

$$T_t = b(S_t - S_{t-1}) + (1 - b)T_{t-1}$$

Ecuación 15. . Cálculo del componente de tendencia por suavizamiento exponencial de Holt-Winters.

Para el componente de **Estacionalidad** suavizada:

$$I_t = C \frac{d_t}{S_t} + (1 - C)I_{t-L}$$

Ecuación 16. . Cálculo del componente de estacional por suavizamiento exponencial de Holt-Winters.

Siendo $\frac{d_t}{S_t}$ un índice estacional resultado de la eliminación de los otros componentes en el

cociente: $\frac{d_t(\text{Estacionalidad, nivel}(\overline{\text{horizontalidad, tendencia}}))}{S_t(\text{nivel}(\overline{\text{horizontalidad, tendencia}}))}$ quedando solamente la

parte de estacionalidad.



L es la duración de la estacionalidad (Trimestral, mensual, etcétera). La estacionalidad tiene como límite 1 año.

Por último, el pronóstico queda como:

$$F_{t+1} = (S_t + T_t) I_t$$

Ecuación 17. Cálculo del pronóstico por el método de Holt-Winters.

III.1.2 Preparando la serie de tiempo para pronosticar

III.1.2.1 Cambios estructurales en series de tiempo

Antes de realizar los pronósticos a la serie de tiempo se deben verificar ciertos puntos que determinarán si los resultados de los pronósticos están adaptados a la realidad del proceso histórico de los datos. Uno de estos puntos es verificar si existen cambios estructurales en la serie de tiempo en estudio. En el punto II.1.2.3 Observaciones de la Gráfica la segunda observación menciona el supuesto siguiente:

2. *La Primera parte de la gráfica los datos casi alcanzan un valor de 80,000 usuarios, mientras que, en la parte final de la gráfica, los datos se acercan apenas a 60,000 usuarios, esto, además de confirmarnos la primera observación, nos puede indicar la existencia de cambio estructural en la serie de tiempo. El primero sucede cercano a la observación 307, y el segundo alrededor de la observación 885, (ambos cambios están ilustrados con una línea vertical ROJA).*



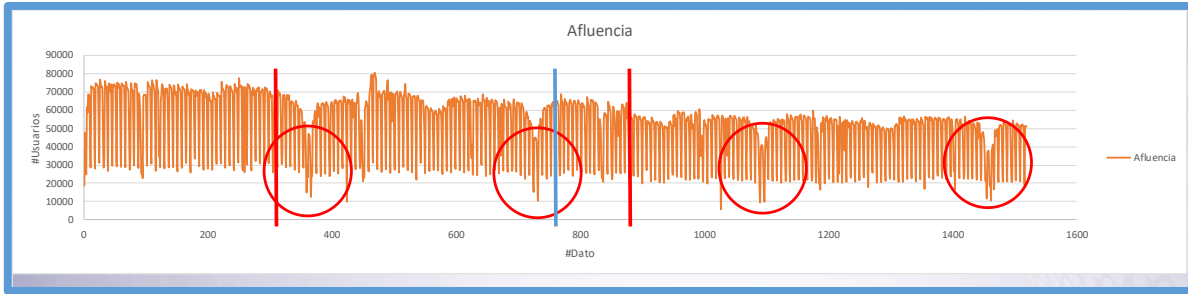


Ilustración 23. Gráfica de la afluencia, los círculos rojos muestran la estacionalidad anual de los últimos dos meses de cada año, las líneas rojas cambios de nivel y la línea azul la mitad de la gráfica total.

Una de las observaciones de nuestra gráfica fue la posible existencia de cambios estructurales en los datos de afluencia. “Frecuentemente, la especificación del modelo de la serie se ve afectada por la presencia de perturbaciones o cambios en la estructura de dicha serie, los cuales modifican las propiedades estadísticas de esta, y conducen a especificaciones inadecuadas en su modelo, al representar pobremente su comportamiento y, por ende, a conclusiones incorrectas o inexactas en su interpretación (Tsay, 1988) y (Junttila, 2001)”³¹.

Realizando un breve análisis del rango de los valores de la serie de tiempo se tienen los siguientes resultados:

2015	2016	2017	2018	2019	PROMEDIOS
Media Anual 2015	Media Anual 2016	Media Anual 2017	Media Anual 2018	Media Anual 2019	Media Total
58971	54251	47967	44714	42478	49676
Máximo Anual 2015	Máximo Anual 2016	Máximo Anual 2017	Máximo Anual 2018	Máximo Anual 2019	Promedio Máximo Total
77311	80280	68551	59522	54184	67969
Mínimo Anual 2015	Mínimo Anual 2016	Mínimo Anual 2017	Mínimo Anual 2018	Mínimo Anual 2019	Promedio Mínimo Total
14727	9661	5515	10219.5	10307	10086

Tabla 15. Valores máximos, medias y mínimos anuales

³¹ Tomado de “Cambios estructurales en series de tiempo: una revisión del estado del arte” escrito por Paola Sánchez en el año 2008 en la *Revista Ingenierías Universidad de Medellín*. Paola menciona que los cambios estructurales, donde su presencia a menudo afecta de manera importante el análisis de la serie. Un cambio estructural en una serie de tiempo se presenta cuando hay modificaciones instantáneas o permanentes, invariables e inesperadas en uno o más componentes estructurales, debido a eventos específicos <http://www.scielo.org.co/pdf/rium/v7n12/v7n12a07.pdf>



Los resultados de la media anual de la demanda del servicio de cada año disminuyen considerablemente siendo la media anual del año 2015 una demanda de 58,971 usuarios y para el año 2018 de 44,714 usuarios. Esto puede ser explicado por la tendencia negativa, pero también puede indicar que la media disminuyó por un cambio de nivel, como pasara por un escalón negativo. El análisis gráfico nos indica lo segundo, puesto que se observan dos posibles cambios de nivel marcados con líneas rojas:

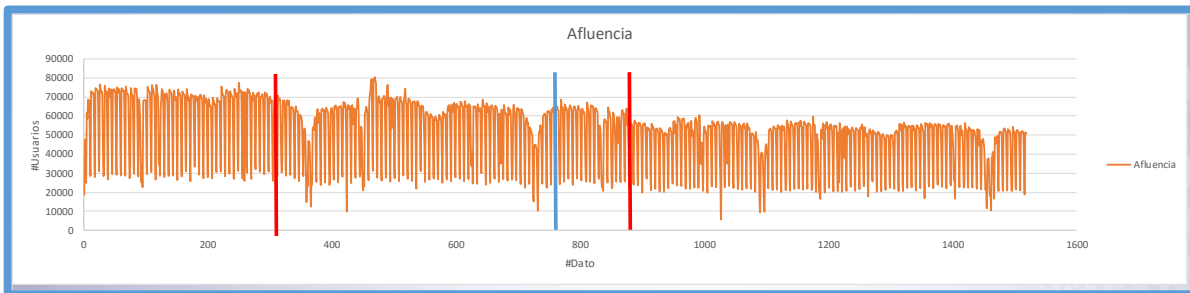


Ilustración 24. Posibles cambios de nivel marcados con línea roja.

El primero se da en el registro 307 y el segundo en el registro 885.

Dato	Fecha	Afluencia
307	martes, 3 de noviembre de 2015	66804
885	sábado, 3 de junio de 2017	38456

Tabla 16. Especificación de los datos con posible cambio de nivel determinante.

Aunque en la gráfica es posible la existencia de cambios estacionales es necesario realizar comprobación matemática.



II.2.1.4.2.1 Test de Chow

Para conocer si efectivamente existe un cambio estructural en la serie de tiempo se hará uso del test de Chow. “En la literatura de cambios estructurales, numerosos estudios han



side realizados con diferentes orientaciones. Chow (1960) fue el primero en evaluar los efectos de cambios estructurales en modelos de regresión, considerando para esto la presencia de cambios simples conocidos”³².

Realizando el test de Chow es necesario realizar una regresión total de la serie de tiempo, dato 1 hasta el dato 1519. El resultado de la regresión es la siguiente:

La ecuación de regresión es
Afluencia = 61304 - 13.38 Dato

Resumen del modelo

S	R-cuad.	R-cuad. (ajustado)
14743.7	13.69%	13.63%

Análisis de Varianza

Fuente	GL	SC	MC	F	P
Regresión	1	5.23034E+10	5.23034E+10	240.61	0.000
Error	1517	3.29760E+11	2.17376E+08		
Total	1518	3.82063E+11			

Tabla 17. Resultados de la regresión con valores del 1 - 1519.

Posteriormente se realizan dos subregresiones una con los datos de la afluencia desde dato 1 al 307 y otra con los datos de la afluencia desde el 307 al 885. Los resultados son los siguientes:

³² Tomado de “Cambios estructurales en series de tiempo: una revisión del estado del arte” escrito por Paola Sánchez en el año 2008 en la Revista Ingenierías Universidad de Medellín.

³²idem



<p>La ecuación de regresión es Afluencia = 59768 + 2.79 Dato</p> <p>Resumen del modelo</p> <table border="1"> <thead> <tr> <th>S</th> <th>R-cuad.</th> <th>R-cuad. (ajustado)</th> </tr> </thead> <tbody> <tr> <td>16749.4</td> <td>0.02%</td> <td>0.00%</td> </tr> </tbody> </table> <p>Análisis de Varianza</p> <table border="1"> <thead> <tr> <th>Fuente</th> <th>GL</th> <th>SC</th> <th>MC</th> <th>F</th> <th>P</th> </tr> </thead> <tbody> <tr> <td>Regresión</td> <td>1</td> <td>1.87287E+07</td> <td>18728670</td> <td>0.07</td> <td>0.796</td> </tr> <tr> <td>Error</td> <td>305</td> <td>8.55658E+10</td> <td>280543574</td> <td></td> <td></td> </tr> <tr> <td>Total</td> <td>306</td> <td>8.55845E+10</td> <td></td> <td></td> <td></td> </tr> </tbody> </table>	S	R-cuad.	R-cuad. (ajustado)	16749.4	0.02%	0.00%	Fuente	GL	SC	MC	F	P	Regresión	1	1.87287E+07	18728670	0.07	0.796	Error	305	8.55658E+10	280543574			Total	306	8.55845E+10				<p>La ecuación de regresión es Afluencia = 57708 - 7.427 Dato</p> <p>Resumen del modelo</p> <table border="1"> <thead> <tr> <th>S</th> <th>R-cuad.</th> <th>R-cuad. (ajustado)</th> </tr> </thead> <tbody> <tr> <td>15474.7</td> <td>0.64%</td> <td>0.47%</td> </tr> </tbody> </table> <p>Análisis de Varianza</p> <table border="1"> <thead> <tr> <th>Fuente</th> <th>GL</th> <th>SC</th> <th>MC</th> <th>F</th> <th>P</th> </tr> </thead> <tbody> <tr> <td>Regresión</td> <td>1</td> <td>8.87696E+08</td> <td>887695568</td> <td>3.71</td> <td>0.055</td> </tr> <tr> <td>Error</td> <td>576</td> <td>1.37933E+11</td> <td>239467708</td> <td></td> <td></td> </tr> <tr> <td>Total</td> <td>577</td> <td>1.38821E+11</td> <td></td> <td></td> <td></td> </tr> </tbody> </table>	S	R-cuad.	R-cuad. (ajustado)	15474.7	0.64%	0.47%	Fuente	GL	SC	MC	F	P	Regresión	1	8.87696E+08	887695568	3.71	0.055	Error	576	1.37933E+11	239467708			Total	577	1.38821E+11			
S	R-cuad.	R-cuad. (ajustado)																																																											
16749.4	0.02%	0.00%																																																											
Fuente	GL	SC	MC	F	P																																																								
Regresión	1	1.87287E+07	18728670	0.07	0.796																																																								
Error	305	8.55658E+10	280543574																																																										
Total	306	8.55845E+10																																																											
S	R-cuad.	R-cuad. (ajustado)																																																											
15474.7	0.64%	0.47%																																																											
Fuente	GL	SC	MC	F	P																																																								
Regresión	1	8.87696E+08	887695568	3.71	0.055																																																								
Error	576	1.37933E+11	239467708																																																										
Total	577	1.38821E+11																																																											

Tabla 18. Resultados de las regresiones 1 - 307 y 307 - 885.

Es necesario ver si la suma de estas dos subregresiones en términos de sus residuos es similar a las de toda la serie. Si son diferentes entonces existe cambio estructural.

De las subregresiones se toman los datos de la suma de los errores al cuadrado (SSE). Para la primera subregresión el $SSE_1 = 85565790022$ y para la segunda subregresión $SSE_2 = 137933399839.372$. De la regresión total el $SSE_{TOTAL} = 329759540881.676$.

El SSE_{TOTAL} es también considerado como la sumatoria de residuos al cuadrado restringido. En el caso contrario SSE_{nr} es la sumatoria de residuos al cuadrado no restringidos, calculados por $SSE_{nr} = SSE_1 + SSE_2 = 223499189861.249$.

Otros datos necesarios para el modelo es la constante $k = 1$ y los grados de libertad (nl) de cada subregresión:

$$nl_1 = 305$$

$$nl = 576$$



También se debe contar con el valor de la $F_{crítica} = 1.75680987298501 \times 10^{-50}$.

Realizando el Test de Chow, se establece la siguiente hipótesis nula:

H_0 : si $F_c < F_{crítica}$ existe estabilidad en los parámetros y no hay cambio estacional.

H_1 : si $F_c > F_{crítica}$ no existe estabilidad en los parámetros y hay cambio estacional.

El test de Chow es la siguiente:

$$F_c = \frac{\frac{SSE_{TOTAL} - SSE_{nr}}{1}}{\frac{SSE_{nr}}{(nl_1 + nl_2 - 2(1))}}$$

Ecuación 18. Test de cambio estructural de Chow.

Sustituyendo valores tenemos el valor F:

$$F_c = \frac{329759540881.676 - 223499189861.249}{1} \cdot \frac{223499189861.249}{(305 + 576 - 2(2))}$$
$$F_c = 217.91$$

Si el valor de F_c hubiera sido 0 estaría claro que no existe cambio estructural.

Comparado con el $F_{crítico}$ de la regresión total de $F_{crítica} = 1.75680987298501 \times 10^{-50}$, como $F_{crítica} < F_c$ por lo que se concluye que **sí existe cambio estructural**.

Como existen cambios estructurales durante los años 2015 y 2016, incluyendo casi la mitad del año 2017, se recomienda recortar la serie durante esos años y tomar a partir de la segunda mitad del año 2017. Sin embargo, considerando que para el año 2019 se cuentan con



datos hasta el miércoles 27 de febrero de 2019, por recomendación se toman exactamente los dos años anteriores, recortando la serie y quedando con los datos desde el lunes 27 de febrero de 2017 al miércoles 27 de febrero de 2019. Esto tomando la mayor cantidad de datos posibles sin verse afectados en gran manera por el cambio estructural. Los datos pasan de tener un tamaño de 1519 datos a contar con un tamaño de 731, esto permitirá tener un nivel de confiabilidad alto de los resultados de los pronósticos.

III.1.3 Pronósticos por Holt-Winters

III.1.3.1 Cálculo del componente estacional

El pronóstico usando el método de Holt-Winters necesita ciertos parámetros o constantes que permitirán realizar los cálculos. El primer cálculo que se necesita realizar es la obtención de los componentes estacionales diarios. Para ello inicialmente se necesitan los valores de las constantes de la ecuación de la recta de regresión. La ecuación de la recta de regresión $y = mx + b$ tiene como constantes a m y a b , siendo m la pendiente de la serie de tiempo y b la ordenada al origen. A la pendiente de la serie de tiempo también se le conoce como B_1 y b como B_0 o S_0 . Se necesitan estos valores puesto que para obtener las componentes estacionales como se explica en el tema II.1.2.4.2.2 de la presente tesis, sabiendo que el modelo de Holt-Winters trabaja con los datos de la estacionalidad.

Como la serie de tiempo fue recortada, los datos relacionados a la serie de tiempo se reacomodaron. Por ejemplo, para el primer dato de la serie de tiempo recortada la variable t



vuelve a comenzar desde el valor 1. El periodo cambia de 1 a 58, debido a que como se utiliza una periodicidad diaria, el número de periodos totales es de 365, siendo el 27 de febrero el día 58 del año.

(t)	Día (Periodo)	Fecha	Afluencia diaria
1	58	lunes, 27 de febrero de 2017	63459
2	59	martes, 28 de febrero de 2017	64773
3	60	miércoles, 1 de marzo de 2017	64889
4	61	jueves, 2 de marzo de 2017	63720
5	62	viernes, 3 de marzo de 2017	61823

Tabla 19.. Reacomodo del tiempo t

La pendiente de la recta se obtiene con la columna **Afluencia diaria** y la columna **(t)** utilizando la función =PENDIENTE(;). La ordenada al origen de la recta se obtiene de igual manera con la columna **Afluencia diaria** y la columna **(t)** utilizando la función =INTERSECCIÓN.EJE(;). Los valores son:

Pendiente (m,B1)	Ordenada (S0,B0)
-9.849074419	49203.97464

Tabla 20. Valores de la regresión lineal de los datos de la afluencia recortados.

Siguiendo con el procedimiento explicado en el tema *II.1.2.4.2.2 Estacionalidad de la serie* se procede a obtener los valores de la afluencia con tendencia. Sustituyendo los valores de x de la ecuación de la recta, durante cada periodo con el valor de la afluencia en el periodo actual. Posteriormente se divide ese valor entre el valor de la afluencia en el periodo obteniendo el valor de Afluencia sin/Tendencia del periodo (t) correspondiente o también llamado componente estacional. Las tablas de los componentes estacionales obtenidos se encuentran en el ANEXO IV.



(t)	Día (Periodo)	Fecha	Afluencia diaria	Afluencia con/Tendencia	Afluencia sin/Tendencia
1	58	lunes, 27 de febrero de 2017	63459	49194.126	1.290
2	59	martes, 28 de febrero de 2017	64773	49184.276	1.317
3	60	miércoles, 1 de marzo de 2017	64889	49174.427	1.320
4	61	jueves, 2 de marzo de 2017	63720	49164.578	1.296
5	62	viernes, 3 de marzo de 2017	61823	49154.729	1.258

Tabla 21. Cálculo de la afluencia con y sin tendencia de los datos de la afluencia recortados.

III.1.3.2 Suavizamiento y pronóstico del siguiente periodo

Se desea suavizar los tres componentes (nivel, tendencia y estacionalidad, iniciando por el componente de nivel de la serie de tiempo, por lo que primero se define el tiempo t en el que se va a calcular. Se comienza con $t=1$, sustituyendo el valor de t en el modelo de suavizamiento del componente de nivel:

$$\text{Modelo} \quad S_t = a * \frac{d_t}{I_{t-L}} + (1 - a)(S_{t-1} + T_{t-1})$$

$$\text{Con } t = 1 \quad S_1 = a * \frac{d_1}{I_{1-365}} + (1 - a)(S_0 + T_0)$$

El valor de a aún no está definido, pero usando un valor 0.1 podemos asegurar que se le da mayor importancia a todos los datos de la serie y el suavizamiento es mucho.

(t)	Día (Periodo)	Fecha	Afluencia diaria
1	58	lunes, 27 de febrero de 2017	63459

En la serie de tiempo encontramos el valor de $d_1=63450$, este valor está dividido entre el valor de la componente estacional en el tiempo $t - L$, siendo L el número de periodos. Por lo que el componente estacional es $I_{1-365} = I_{-364}$ este valor se obtiene al acomodar cada uno de los componentes estacionales exactamente 1 año atrás.



(t)	Día (periodo)	Fecha	Afluencia diaria	Componente Estacional (Ct)
-363	-306	lunes, 26 de febrero de 2018	-	1.242
...	-
-5	52	martes, 19 de febrero de 2019	-	1.211
-4	53	miércoles, 20 de febrero de 2019	-	1.236
-3	54	jueves, 21 de febrero de 2019	-	1.230
-2	55	viernes, 22 de febrero de 2019	-	1.204
-1	56	sábado, 23 de febrero de 2019	-	0.875
0	57	domingo, 24 de febrero de 2019	-	0.445
1	58	lunes, 27 de febrero de 2017	63459	1.225

Tabla 22. Tabla de los factores estacionales en función de t y el periodo.

Como valores iniciales recordemos que S_0 es el valor de la ordenada al origen de la regresión lineal de la serie de tiempo, siendo $S_0 = 49203.97464$. El valor T_0 es la pendiente de los datos, siendo $T_0 = -9.849074419$.

Sustituyendo en el modelo con $t=1$:

$$S_1 = (0.1)\left(\frac{63459}{1.242}\right) + (1 - 0.1)(49203.97464 - 9.849074419)$$

$$S_1 = 49386.029$$

De los valores anteriores, es necesario calcular el suavizamiento en el periodo $t = 1$ de la tendencia, eso se realiza con el modelo para tendencia suavizada:

$$T_1 = b(S_1 - S_0) + (1 - b)T_0$$

Ya se cuenta con todas las variables menos b , a quien se le da el valor de 0.1, al igual que a .

$$T_1 = (0.1)(49386.029 - 49203.97464) + (1 - 0.1)(-9.849074419)$$

$$T_1 = 9.341$$

Por último, se calcula la estacionalidad suavizada para el periodo $t = 1$, usando nuevamente una ponderación para $c = 0.1$ al igual que a y b .



$$I_1 = C \frac{d_1}{S_1} + (1 - C)I_{-364} ; I_t = (0.1) \frac{63459}{49386.029} + (1 - 0.1)1.242 ; I_t = 1.240$$

Finalmente, el pronóstico para el siguiente periodo es:

$$F_{t+1} = (S_t + T_t) I_t ; F_2 = (S_1 + T_1) I_1 ; F_2 = (49386.029 + 9.341)(1.240)$$

$$F_2 = 72511.646 \text{ [Usuarios]}$$

El mismo procedimiento se realiza para los siguientes periodos desde $t = 2$ hasta $t = 731$, con una hoja de cálculo estas iteraciones pueden automatizarse.

La gráfica del histórico es la siguiente:

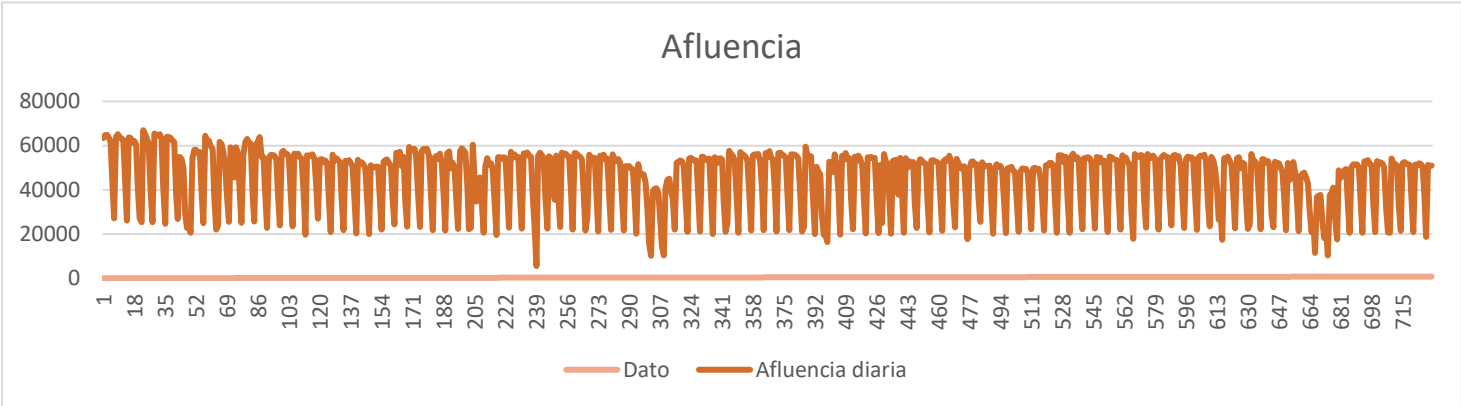


Ilustración 25. Gráfica de la afluencia recortada.

La gráfica de los pronósticos es la siguiente:

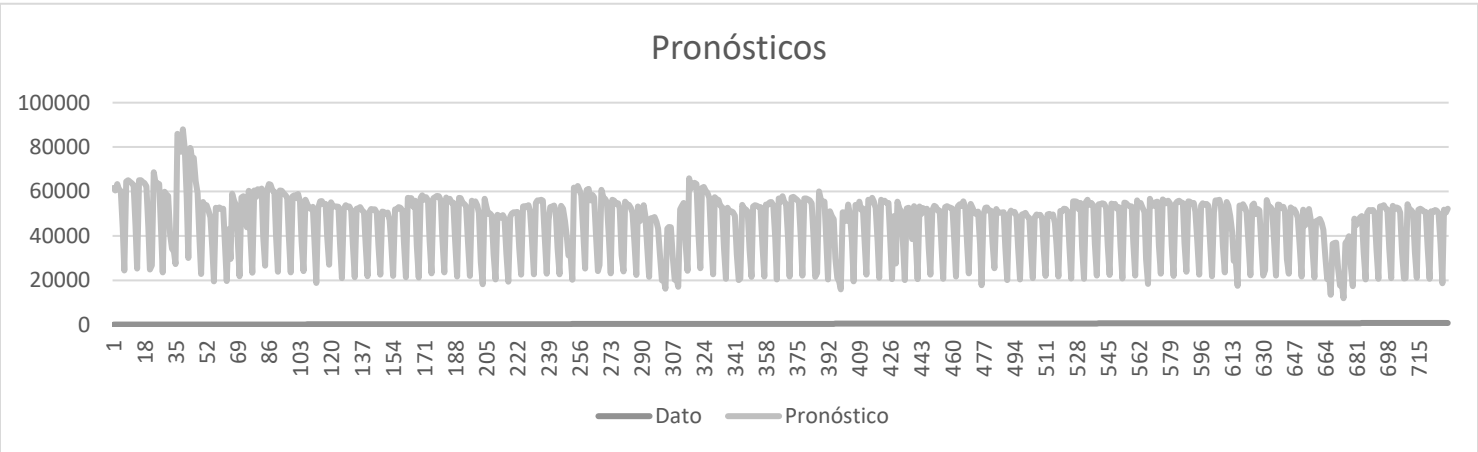


Ilustración 26. Gráfica de la afluencia pronosticada sin periodos futuros.



La gráfica comparativa del histórico y el pronóstico es la siguiente:

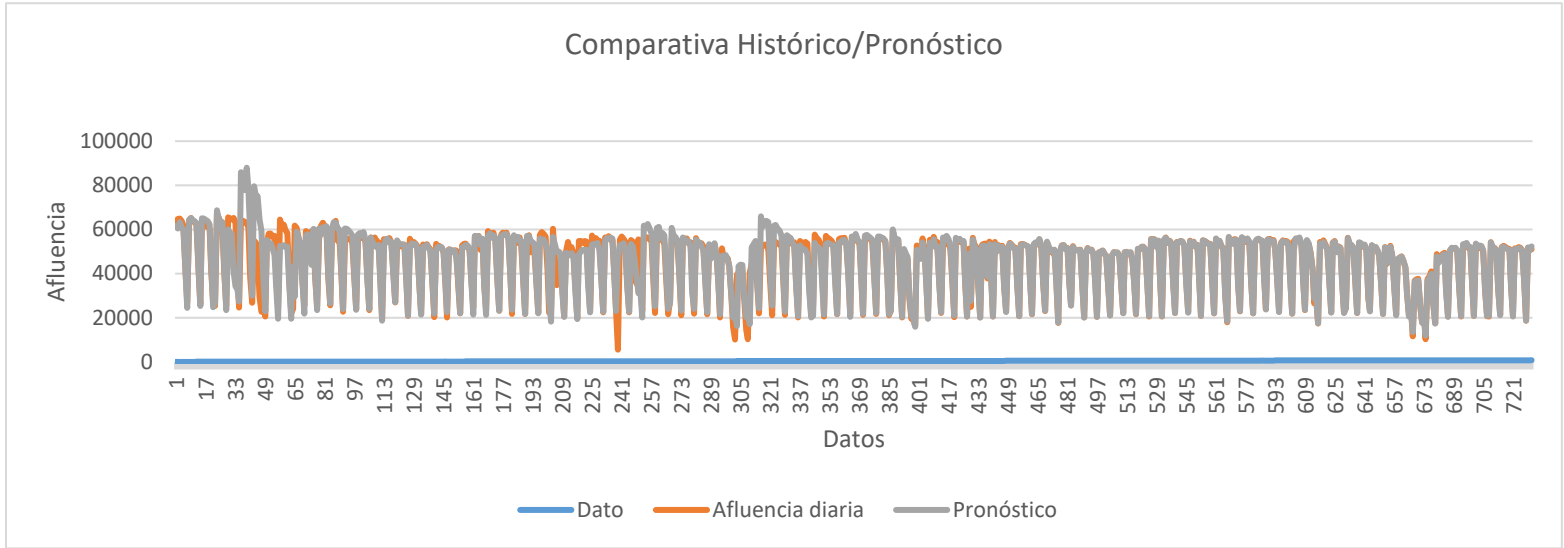


Ilustración 27. Gráfica comparativa entre el histórico y el pronóstico sin periodos futuros.

Como se observa, en un inicio el pronóstico toma un pico muy alto, situación que cambia mientras el pronóstico toma más datos del histórico dándoles una importancia alta al tener con un valor de 0.1 todos los componentes (a , b y c) y esto permite que el pronóstico tenga valores muy similares a la demanda real.

III.1.3.3 Medición de error de pronóstico

Usando como referencia el capítulo 2.7. *Medición de error de pronóstico* de la tesis *Apuntes complementarios de Planeación y Control de la Producción* de Juana Lucas García, se explican los errores que se calculan a partir de los pronósticos obtenidos. Aunque los errores se pueden minimizar, estos no se pueden eliminar, recordando que el pronóstico está compuesto de:

$$F_t = \text{Patrones} + \text{Aleatoriedad}$$





III.1.3.3.1 Error de pronóstico (E_t)

El pronóstico se realiza restando la demanda real (d_t) menos el pronóstico en el mismo periodo (F_t).

$$E_t = d_T - F_t$$

Ecuación 20. Cálculo del error del pronóstico.

Consultando la tabla de registros y pronósticos para $t = 1, 2, 3$ y 4 :

(t)	Día (periodo)	Fecha	Afluencia diaria	Pronóstico
1	58	lunes, 27 de febrero de 2017	63459	61540.282
2	59	martes, 28 de febrero de 2017	64773	60452.592
3	60	miércoles, 1 de marzo de 2017	64889	63342.623
4	61	jueves, 2 de marzo de 2017	63720	60966.861

$$E_1 = 63459 - 61540.282 = 1918.218$$

$$E_2 = 64773 - 60452 = 4320.408$$

$$E_3 = 64889 - 60452.592 = 1546.377$$

$$E_4 = 63720 - 60966.861 = 2752.639$$

Estas mismas iteraciones se realizan hasta E_{731} . Finalmente se promedian todos los valores de E_t , teniendo como resultado:

$$E_{(promedio)} = -343.580$$

Como el signo es negativo significa que el método de pronóstico Holt-Winters sobreestimó el valor real de la demanda.

Con los valores obtenidos también se puede obtener el Error al cuadrado del pronóstico:

$$E^2_t = abs(d_T - F_t)^2$$

Ecuación 20. Ecuación del error al cuadrado del pronóstico.



Con los datos de la columna Error al cuadrado del pronóstico, los Errores al cuadrado del pronóstico para $t = 1,2,3$ y 4 quedan:

$$E^2_1 = 1918.218^2 = 3679559.812$$

$$E^2_2 = 4320.408^2 = 18665911.387$$

$$E^2_3 = 1546.377^2 = 2391282.045$$

$$E^2_4 = 2752.639^2 = 7577020.018$$

También se obtiene el error al cuadrado del pronóstico promedio:

$$E^2_{Promedio} = 24843446.659$$



III.1.3.3.2 Desviación estándar

La desviación estándar de los errores σ se calcula restando el error de pronóstico menos el promedio de todos los errores de pronóstico.

$$\sigma_t = E_t - E_{(promedio)}$$

Ecuación 21. Ecuación desviación estándar.

Con los datos del error de pronóstico y el error de pronóstico promedio I la desviación estándar de los errores para $t = 1,2,3$ y 4 quedan:

$$\sigma_1 = 1918.218 - (-343.580) = 2261.80$$

$$\sigma_2 = 4320.408 - (-343.580) = 4663.99$$

$$\sigma_3 = 1546.377 - (-343.580) = 1889.96$$

$$\sigma_4 = 2752.639 - (-343.580) = 3096.22$$



Con estos valores obtenidos se obtiene también la Desviación Media Absoluta (*MAD*). Se obtiene simplemente obteniendo el absoluto de la σ :

$$MAD = Abs(\sigma_t)$$

Ecuación 22. Cálculo de la Desviación Media Absoluta (MAD).

Nuevamente, con los datos de la desviación estándar las Desviaciones Medias Absolutas para $t = 1, 2, 3$ y 4 quedan:

$$MAD_1 = Abs(\sigma_1) = |1918.218 - (-343.580)| = 2261.80$$

$$MAD_2 = Abs(\sigma_2) = |4320.408 - (-343.580)| = 4663.99$$

$$MAD_3 = Abs(\sigma_3) = |1546.377 - (-343.580)| = 1889.96$$

$$MAD_4 = Abs(\sigma_4) = |2752.639 - (-343.580)| = 3096.22$$

Estos valores son la media de los errores de pronósticos absolutos sobre una serie de periodos sin importar si el error sobreestima el valor real.



III.1.3.3.4 Porcentaje de error medio absoluto (*MAPE*)

El *MAPE* tiene como propósito relacionar las Desviaciones Medias Absolutas (*MAD*) con el valor de la demanda real D_t . Para ello solamente se divide el *MAD* entre la D_t ambos valores del mismo periodo y el resultado, que debe ser absoluto, se multiplican por 100 al ser un porcentaje, quedando la ecuación del *MAPE* de la siguiente manera:

$$MAPE_T = Abs\left(\frac{MAD_t}{D_t}\right) 100$$

Ecuación 23. Cálculo del Porcentaje de error medio absoluto (MAPE).



Con los datos de las desviaciones medias absolutas los porcentajes de error medio absoluto ($MAPE_t$) para $t = 1,2,3$ y 4 quedan:

$$MAPE_1 = Abs\left(\frac{MAD_1}{D_1}\right) 100 = Abs\left(\frac{2261.80}{63459}\right) 100 = 3.02\%$$

$$MAPE_2 = Abs\left(\frac{MAD_2}{D_2}\right) 100 = Abs\left(\frac{4663.99}{64773}\right) 100 = 6.67\%$$

$$MAPE_3 = Abs\left(\frac{MAD_3}{D_3}\right) 100 = Abs\left(\frac{1889.96}{64889}\right) 100 = 2.38\%$$

$$MAPE_4 = Abs\left(\frac{MAD_4}{D_4}\right) 100 = Abs\left(\frac{3096.22}{63720}\right) 100 = 4.32\%$$

Estas iteraciones se repiten hasta $MAPE_{731}$. El promedio de todos los resultados del $MAPE$ indica el porcentaje de error medio absoluto de todos los pronósticos y es usado como referencia de si el pronóstico es bueno o malo.

El $MAPE_{promedio} = 6.04\%$ lo que indica que el pronóstico en general es muy bueno con un porcentaje de error de menos del 10%.

III.1.3.4 Minimización errores y nuevos valores para los parámetros a, b y c .

Como se observa, en los cálculos de los pronósticos, se han estado calculando para periodos conocidos, es decir, se pronostica para un periodo que ya cuenta con el registro de la demanda real en ese periodo. Hasta el momento no se han pronosticado a periodos futuros posteriores al miércoles, 27 de febrero de 2019 que es la fecha que cuenta con el último registro de afluencia, posterior a ese valor no se han calculado los pronósticos.



(t)	Día	Fecha	Afluencia diaria
731	58	miércoles, 27 de febrero de 2019	50966
732	59	jueves, 28 de febrero de 2019	
733	60	viernes, 1 de marzo de 2019	
734	61	sábado, 2 de marzo de 2019	
735	62	domingo, 3 de marzo de 2019	

Tabla 23. Todavía no es posible pronosticar a futuro hasta estar seguros de que el error MAPE es mínimo.

La razón de que todavía no se han calculado los pronósticos para datos con intervalo $[732, \infty)$ es porque es necesario minimizar el Porcentaje de error medio absoluto (MAPE). Si se minimiza el error se asegura que los pronósticos a futuro serán muy buenos. La forma de minimizarlo es dándole valores a la a , b y c buscando que la combinación correcta arroje el mínimo error MAPE. Esto se logra mediante el uso del complemento *solver de Excel*.

En establecer objetivo se selecciona la celda en donde se encuentra el $MAPE_{promedio}$ que es el error que se busca minimizar. Se selecciona la opción Mín que es la opción para minimizar.

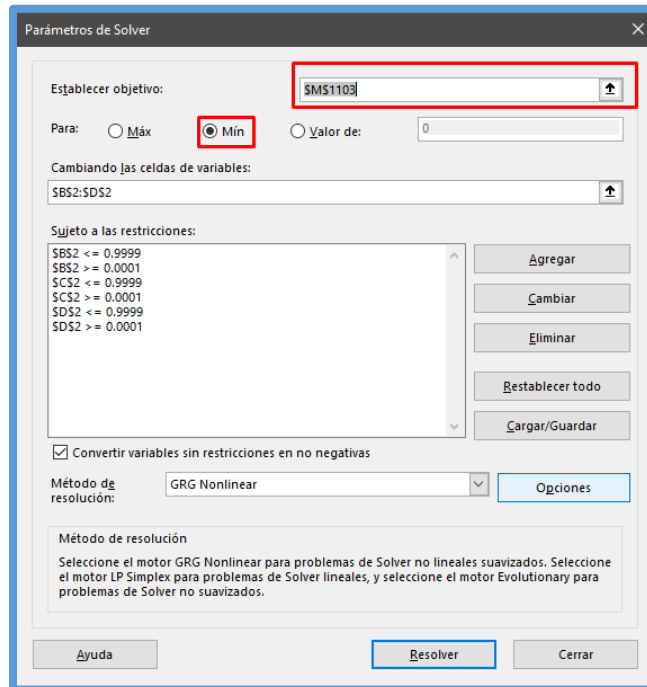


Ilustración 28. Configurando parámetros de solver buscando minimizar la función objetivo Z.



Como celdas variables se seleccionan las celdas que contengan a , b y c con el valor actual de 0.1 cada una. Es necesario recordar que también se les conoce como α , β y γ .

a (α)	b (β)	c (γ)
0.10000	0.10000	0.10000

Ilustración 29. Constantes de los componentes del pronóstico.

Como celdas variables se seleccionan las celdas que contengan a , b y c con el valor actual de 0.1 cada una. Es necesario recordar que también se les conoce como α , β y γ . A cada una de esas celdas se le debe Agregar una restricción debido a que a , b y c deben estar entre 0 y 1, procurando que el límite sea abierto (0,1). Como solver automáticamente coloca el \leq o \geq se coloca la mayor aproximación al 0 y al 1 para respetar el límite abierto. La opción Convertir variables sin restricciones en no negativas se deja seleccionado, aunque todas las celdas en este caso son positivas.

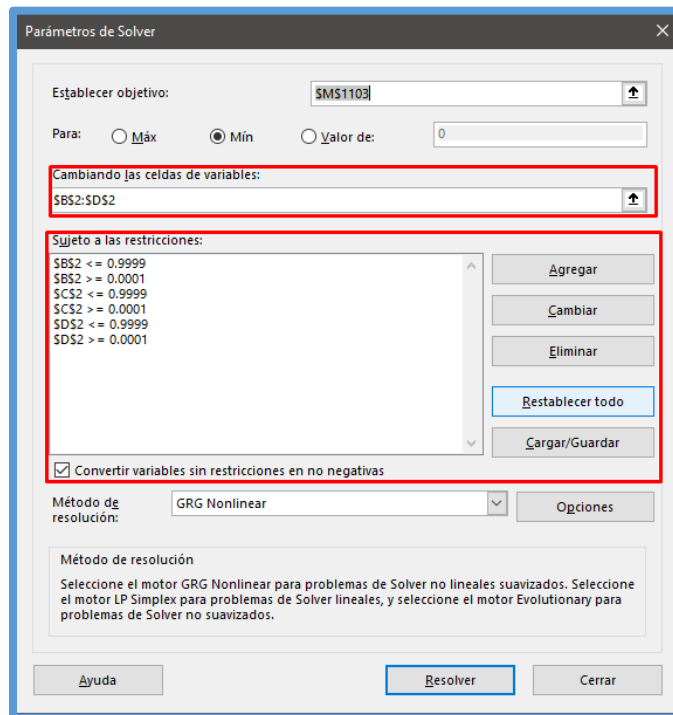


Ilustración 30. Configurando las restricciones de las constantes.



Finalmente se selecciona el método de resolución **GRG Nonlinear** puesto que es un problema no lineal suavizado y se da clic en Resolver. El software realiza todas las iteraciones y cálculos que anteriormente se han realizado dando nuevo y definitivos resultados.

Los nuevos valores para a, b y c quedan de la siguiente manera:

Alpha (α)	Beta (β)	Gamma (γ)
0.00012	0.09082	0.99990

Ilustración 31. Constantes de los componentes del pronóstico que permitirán tener el mínimo error de pronóstico.

Estos valores cambian por completo las formulaciones de la hoja de cálculo, incluyendo la celda objetivo disminuyendo el error porcentual $MAPE_{promedio} = 6.04\%$ a $MAPE_{promedio} = 0.02\%$.

Comparando con los valores iniciales, la minimización por solver nos indica que el método Holt-Winters dará el menor error cuando los parámetros cumplan con:

1. El componente de nivel a debe tener un valor de $a = 0.00012$ dándole importancia a todos los valores de la serie.
2. El componente de tendencia b debe tener un valor de $b = 0.09082$ dándole importancia casi toda el histórico de la serie de tiempo.
3. El componente de estacionalidad c debe tener un valor de $c = 0.99990$ dándole importancia a los últimos datos solamente y no a todos los valores del histórico, debido a que la componente de estacionalidad es sumamente estable.



III.1.3.5 Suavizamiento y pronóstico del siguiente periodo usando valores α, β y γ actualizados.

Una vez teniendo los valores para a , b y c también conocidos como α , β y γ se actualizan todas las fórmulas del método Holt-Winters. Todos los demás parámetros continúan teniendo el mismo valor, solamente en donde intervengan los valores α , β y γ cambiarán. Este es el caso del suavizamiento del nivel, tendencia y estacional.

Recordando que S_0 es el valor de la ordenada al origen de la regresión lineal de la serie de tiempo, siendo $S_0 = 49203.97464$. El valor T_0 es la pendiente de los datos, siendo $T_0 = -9.849074419$, estos valores no cambian.

Sustituyendo en el modelo con $t = 1$ y usando el nuevo valor de $\alpha = 0.00012$

$$S_1 = (0.00012)\left(\frac{63459}{1.242}\right) + (1 - 0.00012)(49203.97464 - 9.849074419)$$
$$S_1 = 49194.362$$

De los valores anteriores, es necesario recalcular el suavizamiento en el periodo $t = 1$ de la tendencia y con el nuevo valor para $\beta = 0.09082$, eso se realiza con el modelo para tendencia suavizada:

$$T_1 = b(S_1 - S_0) + (1 - b)T_0$$
$$T_1 = (0.09082)(49194.362 - 49203.97464) + (1 - 0.09082)(-9.849074419)$$
$$T_1 = -9.828$$



Por último, se calcula nuevamente la estacionalidad suavizada para el periodo $t = 1$, usando el nuevo valor para $\gamma = 0.99990$:

$$I_1 = C \frac{d_1}{S_1} + (1 - C)I_{-364}; I_t = (0.99990) \frac{63459}{49194.362} + (1 - 0.99990)1.242$$

$$I_t = 1.290$$

Finalmente, el pronóstico para el siguiente periodo es:

$$F_{t+1} = (S_t + T_t) I_t; F_2 = (S_1 + T_1) I_1; F_2 = (49194.362 + (-9.828))(1.290)$$

$$F_2 = 63445.585 \text{ [Usuarios]}$$

Estas iteraciones se repiten hasta F_{731} obteniendo nuevos pronósticos, pero asegurando un error mínimo. La gráfica definitiva del pronóstico es la siguiente:

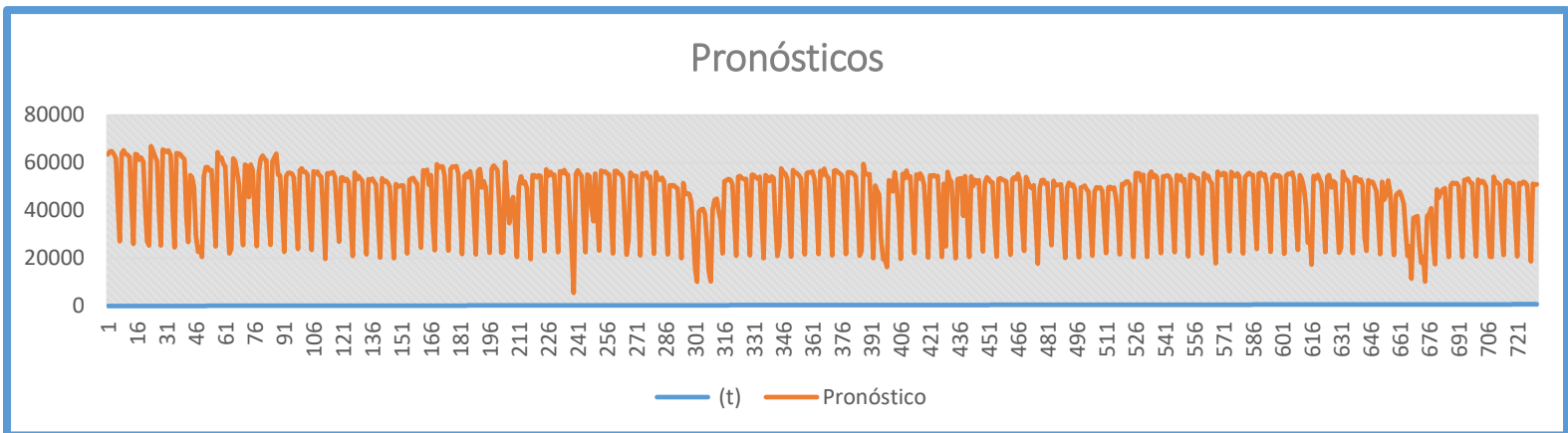


Ilustración 32. Gráfica de los pronósticos no a futuro, recortados y con el mínimo error de pronóstico.

Como se observa nuevamente, mientras más transcurra el tiempo y el método Holt-Winters sea alimentado por el histórico, más confiable será el pronóstico.



La gráfica comparativa entre los pronósticos y los datos reales de la afluencia queda de la siguiente manera:

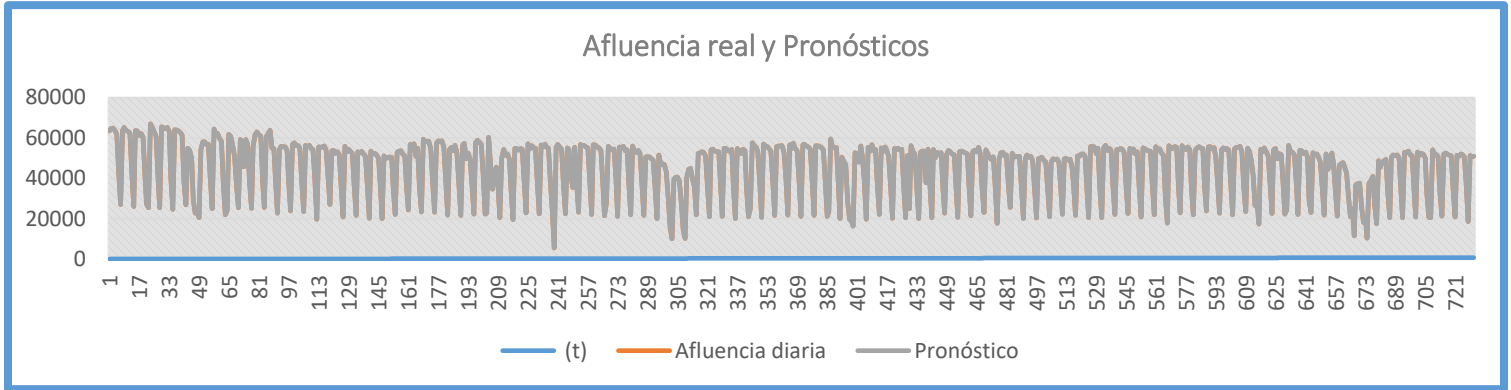


Ilustración 33. Afluencia real vs Pronósticos no a futuro.

Como el pronóstico tiene un error tan pequeño ambas gráficas se superponen y visualmente la diferencia no es notable.

Finalmente, los valores de los errores también disminuyen, teniendo nuevos valores:

$E_{promedio} = 7.984$
$E^2_{promedio} = 86.623$
$MAD_{promedio} = 8.042$
$MAPE_{promedio} = 0.02\%$

Tabla 24. Valores de los errores promedios resultantes usando los componentes minimizados.

Los resultados y tablas de los pronósticos actualizados y homologados están en el ANEXO

V.



III.1.3.6 Pronósticos a Futuro



III.1.3.6.1 Horizonte de Planeación

Con la información obtenida del suavizamiento de los componentes de nivel, tendencia y estacionalidad, así como de los pronósticos y la minimización de sus errores, es posible ahora pronosticar a periodos futuros en los que no se tienen datos de afluencia reales.

Es posible generar pronósticos futuros desde $t = 732$, que es el número de dato a partir del cual no existe registro de afluencia real, hasta $t = \infty$. Evidentemente generar pronósticos muy extensos que tiendan al ∞ no tiene ningún sustento dentro de la planeación de la demanda. Lo que busca la Planeación es definir, con base en los objetivos fijados por la empresa, un horizonte de planeación, es decir, definir el número de datos y periodos futuros a los que se enfocarán los pronósticos. Como se definió en el tema *1.5.1 Planeación de la demanda* de la presente tesis, el horizonte de planeación será de casi un año, calculando pronósticos a futuro desde el jueves, 28 de febrero de 2019 al martes 31 de diciembre de 2019, siendo un cálculo de los pronósticos a 307 valores y periodos futuros.

Juana Lucas García en su tesis *Apuntes complementarios de Planeación y Control de la Producción* menciona lo siguiente:

“El horizonte de planeación puede ser a corto, mediano o largo plazo. A corto plazo se consideran periodos relacionados con operaciones diarias hasta periodos inferiores a tres meses [...].”



[...] A mediano plazo se consideran periodos de más de 3 meses y hasta 1 año. Ejemplos de actividades dentro de este horizonte son la planificación de servicios, de procesos productivos y de presupuesto requerido.

A largo plazo se consideran periodos con una duración mayor a 1 año. Dentro de este horizonte se consideran actividades como la ampliación de la planta o el desarrollo de un nuevo diseño del producto o servicio”.

Con base en esto, podemos definir que el horizonte de planeación elegido es a mediano plazo, y esto nos permitirá planificar los servicios buscando siempre ofrecer un mejor servicio al cliente final.

Es importante especificar que, mientras más lejano sea el horizonte de planeación, los valores del pronóstico se alejarán más de la realidad, generando errores incalculables.



III.1.3.6.2 Pronósticos a k periodos futuros

Juana Lucas García dice que para calcular los pronósticos a periodos futuros es necesario primero definir la relación de k (*periodos futuros a pronosticar*) con el valor L (*número de periodos de la serie de tiempo*). Para estos pronósticos el valor $k = 307$ y $L = 365$, siendo $k < L$ siendo la ecuación del pronóstico a utilizar:

$$F_{t+k} = (S_t + kB_t)C_{t+k-L}$$

Tabla 25. Cálculo del pronóstico a k periodos futuros.



Para el primer periodo futuro $k = 1$, se tiene el último valor $t = 731$, la ecuación queda de la siguiente manera:

$$F_{732} = (S_{731} + (1)(B_{731}))C_{367}$$

Sustituyendo los valores correspondientes el pronóstico a 1 periodo futuro desconocido es:

$$F_{k=1} = F_{732} = (43407.443 + (1)(0.015))(1.250) = 54254.895 \text{ [Usuarios]}$$

Es importante mencionar que tanto los valores S_t y B_t no variarán, puesto que se usará el más actual que es el calculado para el último periodo con registro de demanda real $t = 731$, quedando los valores de $S_{731} = 43407.443$ y $B_{731} = 0.015$. Para el caso de C_t este valor sí cambia y se toma el valor C en el periodo $t + k - L$.

Entonces, para obtener el pronóstico a dos periodos futuros ($k = 2$):

$$F_{k=2} = F_{733} = (43407.443 + (2)(0.015))(1.191) = 51690.185 \text{ [Usuarios]}$$

El resultado nos indica que para el periodo F_{733} con fecha viernes 1 de marzo de 2019 se pronostica una demanda del servicio de transporte para el corredor de servicio concesionado de 51690.185 [usuarios]. El .185 se redondea al número entero más próximo, ya sea el mayor próximo o el menor próximo, debido a que los [usuarios] se cuentan por unidades enteras.

Para el pronóstico a tres periodos futuros ($k = 3$):

$$F_{k=3} = F_{734} = (43407.433 + (3)(0.015))(1.170) = 50789.556 \text{ [Usuarios]}$$



Y así se generan las demás iteraciones hasta $F_{k=307} = F_{1037}$. La gráfica del pronóstico

a futuro es:

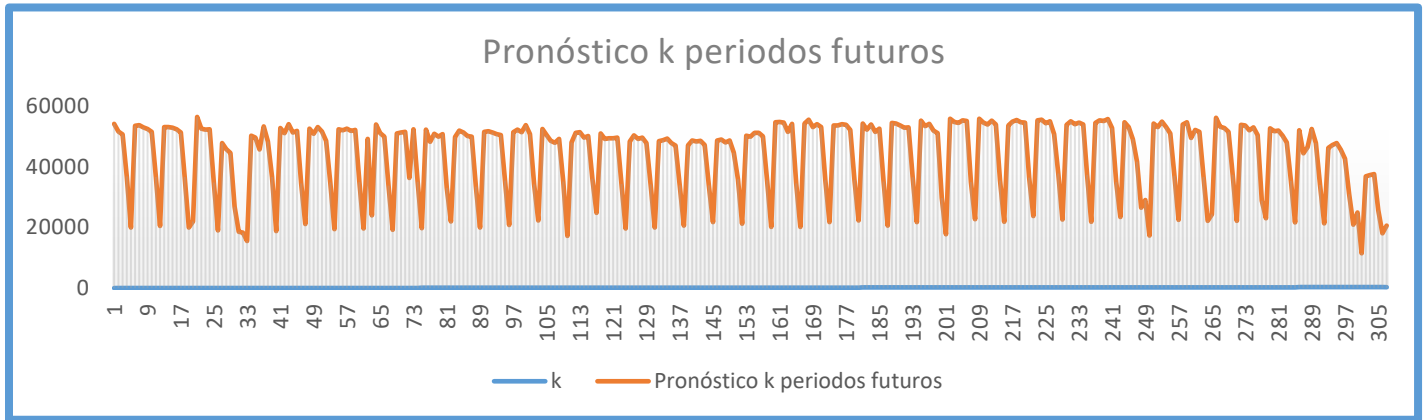


Ilustración 34. Gráfica de los pronósticos a futuro.

Este pronóstico es a mediano plazo y debe tener un error del 0.2%, lo que lo hace un pronóstico muy bueno y confiable. Finalmente se grafica la afluencia real y los pronósticos para todos los periodos, teniendo como resultado la gráfica de pronósticos:

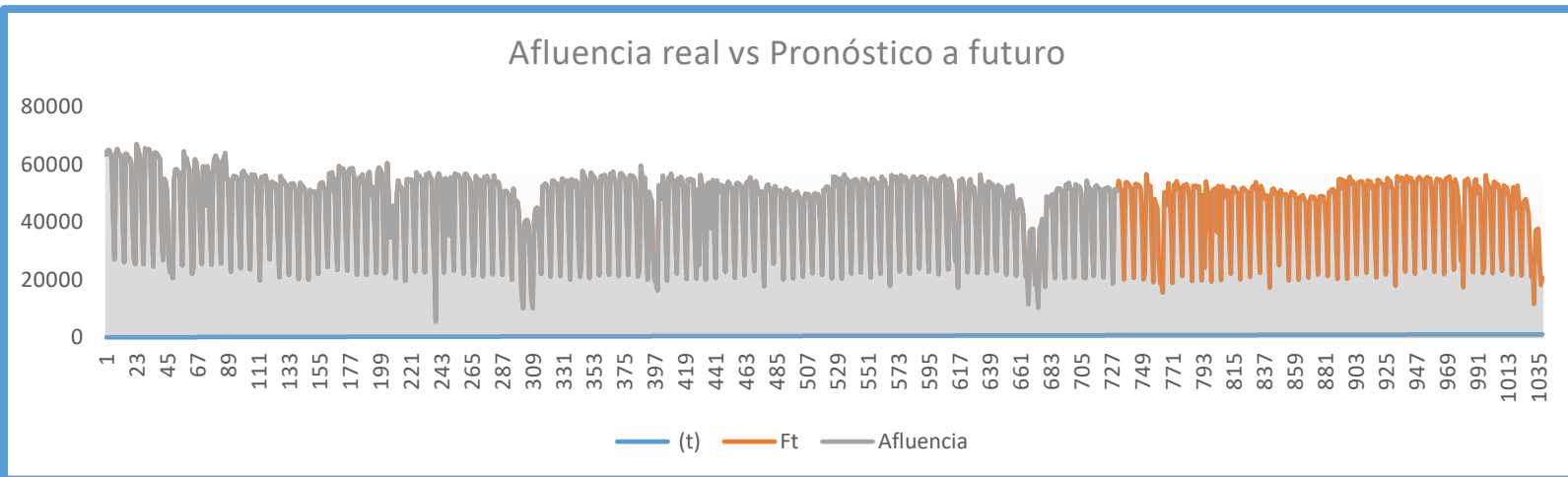


Ilustración 35. Gráfica de la afluencia real y su pronóstico a futuro (ft)

Siendo:

t : El periodo

F_t : El pronóstico para el periodo t

Afluencia: El registro de la afluencia en el periodo t



CAPÍTULO IV: MODELADO ESTADÍSTICO



IV.1 ¿Qué es modelado estadístico?

El modelado estadístico, como su nombre lo indica es una manera de modelar y explicar la realidad mediante variables denominadas variables explicativas (x_i) que, mediante el cálculo de estas, determinan el valor de la variable explicada (y). Dentro de todos los modelados estadísticos, están aquellos construidos relacionados con la prueba de teorías económicas. La construcción de modelos estadísticos permitirá agregar toda la información disponible y factible de recolectar para generar discusiones finales con base en resultados estadísticos acerca de las causas principales del incremento o disminución del comportamiento de la serie de tiempo explicada.

Aunque se realizaron pronósticos muy buenos de la demanda futura, todavía no se han explicado las causas de dichas variaciones tanto de nivel, tendencia o estacionalidad. Lo que el modelado estadístico busca, en este caso, es representar todas las variables involucradas en la variabilidad de la afluencia, encontrar las causas y sus relaciones estadísticas entre todas las variables presentes y consideradas dentro del modelo.



Ilustración 36. El modelado estadístico es la manera de reflejar matemáticamente la realidad que viven los usuarios diariamente en el transporte público. (Fuente: lasillarota.com)



IV.1.1 Modelo Econométrico

El modelo para usarse en la representación de la variación de la afluencia es el modelo econométrico. Jeffrey M. Wooldridge, en su libro *Introducción a la econometría: Un enfoque moderno* menciona:

“La econometría se basa en el desarrollo de métodos estadísticos que se utilizan para estimar relaciones económicas, probar teorías económicas y evaluar e implementar políticas públicas y de negocios. [...] La econometría se ha convertido en una disciplina independiente de la estadística matemática por ocuparse de la recolección y análisis de datos económicos no experimentales”³³.

Wooldridge resalta la característica de los modelos econométricos al trabajar con datos económicos no experimentales, es decir, con datos recolectados reales no controlados, estos describen la realidad económica y social. También menciona que: *“La premisa básica que subyace a estos modelos es la maximización de la utilidad”*.



IV.1.1.1 Estructura de los datos econométricos

Está claro que los modelos econométricos permiten explicar y analizar estadísticamente las causas de la variación de la afluencia. Cada una de estas causas se consideran variables explicativas x_k y la variable explicada y_i . La variable explicada por las variables x_k es la variable dependiente llamada **Afluencia** [usuarios]. Esta variable

³³ Consultado en su capítulo 1.1 ¿Qué es econometría? Párrafo cuarto.



dependiente fue explicada en el tema *II.1.2.1 Tipos de Datos* de la presente tesis. La variable Afluencia son datos del tipo Datos de panel o longitudinales. *Wooldridge*, menciona que: “*Un conjunto de datos de panel (o datos longitudinales) consiste en una serie de tiempo por cada unidad de una base de datos de corte transversal.*”. La serie de tiempo Afluencia tiene frecuencia diaria, teniendo datos desde el jueves 1 de enero de 2015 hasta 27 de febrero de 2019. Como la variable explicada (dependiente) tiene frecuencia diaria, es necesario que las variables explicativas (independientes) tengan la misma frecuencia y así buscar que todas las variables del modelo econométrico tengan la misma estructura.



IV.1.1.2 Modelo de regresión lineal múltiple

El modelo estadístico por usarse para obtener resultados y conclusiones que expliquen el comportamiento de la Afluencia es la Regresión Lineal Múltiple. Anteriormente se hizo uso de la Regresión Lineal Simple en la que se usó solamente una variable explicativa del comportamiento de la Afluencia. El modelo de Regresión Lineal Simple es el siguiente:

$$y = \beta_0 + \beta_1 x + \varepsilon$$

Ecuación 24. Modelo de regresión lineal simple.

Donde:

y : Es una variable aleatoria dependiente

x : Es una variable aleatoria independiente y explicativa de la variable dependiente

β_0 : Es la ordenada al origen de la recta de regresión lineal.

β_1 : Es la pendiente de la recta de regresión lineal.

ε : Es el término de error determinado por $y_i - \hat{y}_i$ siendo y_i el valor observado y \hat{y}_i el valor ajustado por la ecuación de la recta en ese punto $\hat{y}_i = mx + b$.



En la presente tesis se explicó la Regresión Lineal Simple, se puede consultar el tema *II.1.2.4.2.1 Regresión Lineal para Tendencia* para una mejor comprensión del tema. El modelo de regresión lineal simple utilizado tomó como variable dependiente (y) a los valores de la Afluencia y como variable explicativa a los valores de tiempo (t). Pero ¿qué pasa si se cuenta con otras series de tiempo relacionadas y responsables de la variación de la variable explicada Afluencia (y)? ¿Esa información sumamente importante se descartaría? La evolución del modelo de Regresión Lineal Simple responde a estas cuestiones presentando el modelo de Regresión Lineal Múltiple.

$$y_i = \beta_0 + \beta_1 x_1 + \beta_2 x_2 + \dots + \beta_k x_k + \varepsilon$$

Ecuación 25. Modelo de regresión lineal múltiple.

Donde:

y : Es una variable dependiente o explicada por todas las x_k

$x_1, x_2, x_3 \dots x_k$: Son variables aleatorias independientes y explicativas de la variable dependiente

β_0 : Es el intercepto

β_k : es el parámetro asociado a x_k

ε : Es el término de error

El **análisis de regresión múltiple** es más adecuado para un análisis *ceteris paribus*³⁴ debido a que permite controlar de manera explícita muchos otros factores que afectan en forma simultánea a la variable dependiente (Wooldridge).

³⁴ **Ceteris paribus es una expresión en latín que significa «todo lo demás constante». Es recurrente su uso en el análisis económico y financiero.**

El término **ceteris paribus** sirve a un autor o expositor cuando explica el impacto de una variable económica sobre otra. Es una forma de indicar que todos los demás factores permanecen iguales. (Tomado de economipedia.com)



TABLA 3.1	
Terminología de la regresión múltiple	
y	x_1, x_2, \dots, x_k
Variable dependiente	Variabes independientes
Variable explicada	Variabes explicativas
Variable de respuesta	Variabes de control
Variable predicha	Variabes predictoras
Regresando	Regresores

Tabla 26. Terminología de la regresión lineal múltiple. (Tomada de "Introducción a la econometría: un enfoque moderno" de Jeffrey M. Wooldridge, pp 72)



IV.1.1.2 Determinando las variables explicativas a incluir en el modelo

Como se ha comentado, las variables explicativas x_k son todas aquellas que determinan la variabilidad del valor de y_i (Afluencia). Como se comentó en el tema *I.6.1 VOC Y CTQ'S* de la presente tesis, es sencillo suponer cuáles variables son explicativas del comportamiento de los valores de la afluencia. Por ejemplo, se pueden considerar las VOC del cliente como variables que determinan la cantidad de usuarios que usan o no el servicio de transporte.

Del capítulo referenciado retomamos los VOC ejemplo: “usuario del servicio busca que el servicio sea **Seguro, rápido, limpio, cómodo, barato** y que en general sea un **buen servicio con buena atención**”.



Con estas variables se hace un análisis económico empírico y se crea la siguiente

función:

$$y = f(x_1, x_2, x_3, x_4, x_5, x_6)$$

Ecuación 26. Afluencia en función de las variables explicativas x_k .

Donde:

y : Afluencia

x_1 : Servicio seguro

x_2 : Servicio rápido

x_3 : Servicio limpio

x_4 : Servicio cómodo

x_5 : Servicio barato

x_6 : Buena atención

Es casi evidente la función de cada variable explicativa seleccionada empíricamente. Por ejemplo, en el caso de la variable x_1 : Servicio seguro, uno puede pensar lógicamente que, si la variable de servicio disminuye, es decir, se vuelve inseguro el servicio, la demanda tenderá a disminuir debido a que los usuarios no desean usar un servicio de transporte inseguro. O, por ejemplo, si x_2 : servicio rápido es bajo o tiende a la baja, la demanda disminuirá de igual manera. Si se cambia el enfoque de la variable x_1 a Inseguridad, lógicamente si la inseguridad es baja o tiende a disminuir esto provocaría un aumento en la demanda del servicio.

Con estas variables es posible construir el modelo de regresión lineal múltiple:

$$y_{Afluencia} = \beta_0 + \beta_1 x_{Seguro} + \beta_2 x_{Rápido} + \beta_3 x_{limpio} + \beta_4 x_{cómodo} + \beta_5 x_{Barato} + \beta_6 x_{Buena\ atención} + \varepsilon$$

Ecuación 27. Modelo de regresión lineal múltiple considerando 6 variables explicativas arbitrarias.

Las variables explicativas pueden ser definidas tanto por el usuario (VOC) o por la empresa (CTQ). En el caso de buscar definir las variables explicativas ahora por CTQ, por ejemplo, hablando de la VOC “Seguro”, referida a la seguridad pública y delitos cometidos,



la gerencia prestadora del servicio lo puede entender como “Inversión monetaria en seguridad”, “Número de Cámaras de seguridad”, “Inversión en seguridad privada”, “Cantidad de personal de seguridad pública en las rutas concesionadas”, entre otras variables que a la gerencia les resulta factible para atender. Lo que para el cliente solamente es una variable explicativa llamada “ $x_{seguridad}$ ”, para el prestador del servicio pueden ser:

$x_{Inversión monetaria en seguridad}$

$x_{\#cámaras de seguridad}$

$x_{inversión en seguridad privada}$

$x_{cantidad de personal de seguridad pública en las rutas concesionadas}$

Está claro que tanto el enfoque del cliente como el del prestador del servicio pueden encontrar una infinidad de variables que se consideren empíricamente explicativas de la variación en la demanda del servicio (Afluencia), sin embargo, matemáticamente esto no siempre es correcto, debido a que, aunque existan muchas variables dentro del modelo, en general solamente algunas impactan significativamente en la variable dependiente (y) mientras que otras no lo hacen con la misma significancia.

Dentro de la categorización de las variables explicativas existen dos tipos:

1. **Cuantitativas**

2. **Cualitativas**

Retomando el ejemplo de la variable explicativa con enfoque del cliente $x_{servicio seguro}$, esta variable puede tener una versión cuantitativa, por ejemplo, tener registrado el número de asaltos a las unidades diariamente o el número de incidentes reportados. Sin embargo, la variable explicativa con enfoque del cliente $x_{servicio seguro}$ también puede tener una versión cualitativa, por ejemplo, sentimiento de inseguridad del



cliente o corredor con fama de inseguro. A diferencia de la versión cuantitativa que tiene unidades numéricas (1 asalto, 2 asaltos, 3 asaltos, etc.), la versión cuantitativa es más difícil de generar, ya que generalmente se hacen uso de **variables dummy**³⁵ en las que se ponderan las visiones cualitativas y se les asigna un número, por ejemplo, una encuesta que le pregunte a los usuarios si se sienten inseguros o no, usando el transporte, si responden que sí, se le da un valor de 1 a esa respuesta y si responden que no se le da un valor de 0 a la respuesta, de esta manera se generan datos que se pueden cuantificar (1,0).

Es importante enfatizar que antes de realizar cualquier trabajo de investigación o recolecta de datos se recomienda preguntar a la empresa si ya tiene datos recolectados. Para esta tesis se le preguntó a la gerencia cuáles eran las variables que consideran, con base en su experiencia previa, que afectan directamente a la demanda del servicio y si tenían datos recolectados. La empresa proporcionó los siguientes datos:

Camiones: Número exacto de unidades que salen al servicio registrados diariamente desde el domingo 1 de enero de 2017 hasta el miércoles 27 de febrero de 2019.

Asaltos: Número de asaltos registrados mensualmente desde enero del 2017 hasta febrero del 2019.

Accidentes: Número de accidentes registrados mensualmente desde enero del 2017 hasta febrero del 2019.

Precio: Los cambios en el costo unitario del pasaje, específicamente un precio de 5.50\$ desde 1 de enero de 2017 hasta lunes 1 de mayo de 2017 siendo el nuevo costo de 7.00\$.

Competencia: Solamente se especificó la línea del metro más cercana que gerencia considera la competencia que explica la disminución de la demanda en los últimos dos años (2017 y 2018).

³⁵ Las variables dummy son variables ficticias que suelen tomar valores binarios, esto es, 0 o 1. (Fuente: economipedia.com.)



Acomodando las variables como función queda:

$$y = f(x_1, x_2, x_3, x_4, x_5)$$

Donde:

- y: Afluencia
- x_1 : Camiones
- x_2 : Asaltos
- x_3 : Accidentes
- x_4 : Precio
- x_5 : Competencia



IV.1.1.2.1 Camiones



Los datos proporcionados por la empresa fueron datos diarios desde el jueves 1 de enero de 2015 hasta el miércoles 27 de febrero de 2019.

Nuevamente se elimina el dato, 424 por ser un día inusual en el calendario, siendo el año 2016 bisiesto.

Dato	Fecha	Unidades
425	lunes, 29 de febrero de 2016	73

Tabla 27. Los datos atípicos se deben de eliminar del análisis.

Como la variable explicativa tiene un cambio estructural se decidió eliminar todos los valores del año 2015 y 2016. La serie recortada se encuentra en el **ANEXO VII**.



La gráfica de los camiones queda de la siguiente manera:

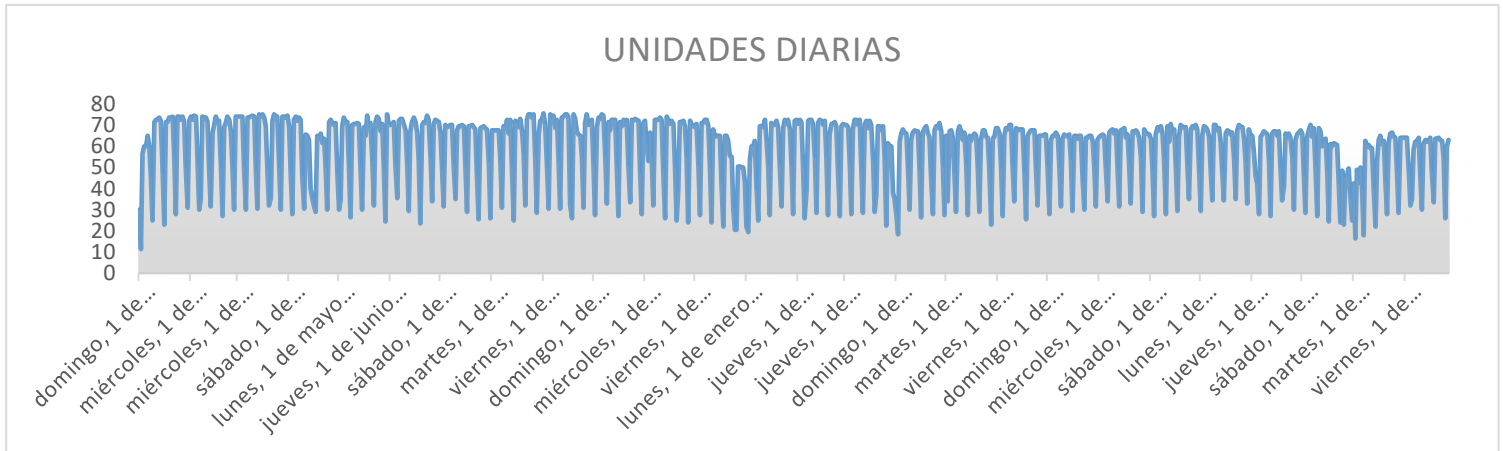
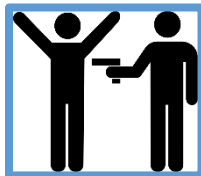


Ilustración 37. Gráfica de camiones (unidades)

Esta serie de tiempo está en las mismas unidades que la afluencia, al igual que posee la misma frecuencia diaria, por lo que la serie no necesita ningún tratamiento o cambio.



IV.1.1.2.2 Asaltos



Los datos de los asaltos que proporcionó la empresa fue la siguiente:

MES	AÑO	ASALTOS MENSUALES
ENERO	2015	6
FEBRERO	2015	2
MARZO	2015	1
ABRIL	2015	0
MAYO	2015	0
JUNIO	2015	0
JULIO	2015	0
AGOSTO	2015	0
SEPTIEMBRE	2015	0
OCTUBRE	2015	0
NOVIEMBRE	2015	0
DICIEMBRE	2015	0



ENERO	2016	1
FEBRERO	2016	2
MARZO	2016	2
ABRIL	2016	0
MAYO	2016	1
JUNIO	2016	1
JULIO	2016	0
AGOSTO	2016	0
SEPTIEMBRE	2016	0
OCTUBRE	2016	0
NOVIEMBRE	2016	0
DICIEMBRE	2016	0
ENERO	2017	3
FEBRERO	2017	5
MARZO	2017	8
ABRIL	2017	4
MAYO	2017	1
JUNIO	2017	2
JULIO	2017	5
AGOSTO	2017	4
SEPTIEMBRE	2017	4
OCTUBRE	2017	1
NOVIEMBRE	2017	1
DICIEMBRE	2017	3
ENERO	2018	2
FEBRERO	2018	3
MARZO	2018	5
ABRIL	2018	9
MAYO	2018	5
JUNIO	2018	5
JULIO	2018	4
AGOSTO	2018	0
SEPTIEMBRE	2018	2
OCTUBRE	2018	4
NOVIEMBRE	2018	4
DICIEMBRE	2018	10
ENERO	2019	6
FEBRERO	2019	5

Tabla 28. Datos de asaltos agregados mensualmente.

De los datos se conoce que desde el 1 enero del 2015 al 27 de febrero del 2019 han ocurrido 121 asaltos a las unidades. Los registros de asaltos contienen los asaltos con y sin violencia. Como se ve en los datos, hay varios meses donde no se registraron asaltos a ninguna de las unidades.



A diferencia de los datos de la afluencia y los datos de camiones en servicio que tienen periodo diario, los asaltos tienen una frecuencia mensual. La frecuencia mensual es una manera de agregación de los datos diarios. Para el modelo econométrico que se busca crear con estas variables se necesita que todas tengan la misma frecuencia y el mismo tamaño de datos. Entonces la forma más sencilla de desagregar un dato acumulado mensualmente y dejarlo con frecuencia diaria es dividir el dato entre la cantidad de días en el mes.

$$Asaltos_{Diarios} = \frac{\text{Número de asaltos en el mes}}{\text{Número de días del mes}}$$

Ecuación 28. Desagregación de datos de asaltos mensuales a diarios.

Por ejemplo, en enero del año 2015 se registraron 6 asaltos en el mes; si enero del 2015 tuvo 31 días, los asaltos diarios desagregados para todos los días del mes serán de:

$$Asaltos_{Diarios} = \frac{\text{Número de asaltos en el mes}}{\text{Número de días del mes}} = \frac{6}{31} = 0.19 \text{ [Asaltos diarios]}$$

Para todos los días de enero del 2015 los valores desagregados quedan:

FECHA	ASALTOS DIARIOS
jueves, 1 de enero de 2015	0.19
viernes, 2 de enero de 2015	0.19
sábado, 3 de enero de 2015	0.19
domingo, 4 de enero de 2015	0.19
lunes, 5 de enero de 2015	0.19
martes, 6 de enero de 2015	0.19
miércoles, 7 de enero de 2015	0.19
jueves, 8 de enero de 2015	0.19
viernes, 9 de enero de 2015	0.19
sábado, 10 de enero de 2015	0.19
domingo, 11 de enero de 2015	0.19
lunes, 12 de enero de 2015	0.19
martes, 13 de enero de 2015	0.19



miércoles, 14 de enero de 2015	0.19
jueves, 15 de enero de 2015	0.19
viernes, 16 de enero de 2015	0.19
sábado, 17 de enero de 2015	0.19
domingo, 18 de enero de 2015	0.19
lunes, 19 de enero de 2015	0.19
martes, 20 de enero de 2015	0.19
miércoles, 21 de enero de 2015	0.19
jueves, 22 de enero de 2015	0.19
viernes, 23 de enero de 2015	0.19
sábado, 24 de enero de 2015	0.19
domingo, 25 de enero de 2015	0.19
lunes, 26 de enero de 2015	0.19
martes, 27 de enero de 2015	0.19
miércoles, 28 de enero de 2015	0.19
jueves, 29 de enero de 2015	0.19
viernes, 30 de enero de 2015	0.19
sábado, 31 de enero de 2015	0.19

Tabla 29. Tabla del enero del 2015 de los datos desagregados de asaltos.

Es evidente que los valores desagregados tienen un comportamiento escalonado, debido a que, durante cada mes, los valores son los mismos, situación que no refleja en gran manera la realidad de los asaltos diarios.



Ilustración 38. Comportamiento escalonado de los valores desagregados.

Estos datos calculados se deben recortar desde el día 1 enero del 2017 al 27 de febrero del 2019 para tener el mismo tamaño que las series de tiempo de Afluencia y Camiones.

Estos nuevos datos desagregados están listos para agregarse al modelo, sin embargo, la empresa proporcionó los siguientes datos valiosos:

DÍA	AÑO	ASALTOS
SÁBADO	2015	1
DOMINGO	2015	1



LUNES	2015	0
MARTES	2015	1
MIÉRCOLES	2015	3
JUEVES	2015	1
VIERNES	2015	2
SÁBADO	2016	0
DOMINGO	2016	1
LUNES	2016	1
MARTES	2016	1
MIÉRCOLES	2016	1
JUEVES	2016	1
VIERNES	2016	2
SÁBADO	2017	9
DOMINGO	2017	8
LUNES	2017	5
MARTES	2017	5
MIÉRCOLES	2017	3
JUEVES	2017	5
VIERNES	2017	6
SÁBADO	2018	14
DOMINGO	2018	20
LUNES	2018	4
MARTES	2018	5
MIÉRCOLES	2018	1
JUEVES	2018	3
VIERNES	2018	6
SÁBADO	2019	4
DOMINGO	2019	3
LUNES	2019	1
MARTES	2019	0
MIÉRCOLES	2019	1
JUEVES	2019	1
VIERNES	2019	1

Tabla 30. Asaltos agregados por día de la semana.

Como se observa, los datos dados es la proporción de los asaltos por día de la semana en la que se registró el asalto. Estos datos tienen una acumulación anual pero filtrada por el día de la semana. Como la serie se recortó, los únicos datos que interesan son a partir del 2017, siendo un total de 105 asaltos:

DÍA	AÑO	ASALTOS
SÁBADO	2017	9
DOMINGO	2017	8
LUNES	2017	5
MARTES	2017	5



MIÉRCOLES	2017	3
JUEVES	2017	5
VIERNES	2017	6
SÁBADO	2018	14
DOMINGO	2018	20
LUNES	2018	4
MARTES	2018	5
MIÉRCOLES	2018	1
JUEVES	2018	3
VIERNES	2018	6
SÁBADO	2019	4
DOMINGO	2019	3
LUNES	2019	1
MARTES	2019	0
MIÉRCOLES	2019	1
JUEVES	2019	1
VIERNES	2019	1

Tabla 31. Asaltos agregados por día de la semana recortada a partir del 2017.

De estos datos se obtiene la variación anual diaria total usando la siguiente ecuación:

$$Variación\ Anual\ Diaria\ Total_d = \frac{\frac{Suma\ de\ asaltos\ totales\ del\ día\ (d)}{Número\ de\ días\ (d)}}{\frac{Número\ total\ de\ asaltos}{Número\ de\ datos\ de\ la\ serie}}$$

Ecuación 29. Cálculo de la Variación anual diaria total.

Siendo:

d: lunes, martes, miércoles, jueves, viernes, sábado o domingo.

Número de días: número de lunes, martes, miércoles, jueves, sábados o domingos de toda la serie con frecuencia diaria.

Número total de asaltos: 105 asaltos

Número de datos de la serie: 778

Para obtener la variación anual diaria total del **sábado** en 2017 los datos a ocuparse de la tabla se remarcan a continuación:

DÍA	AÑO	ASALTOS
SÁBADO	2017	9
DOMINGO	2017	8
LUNES	2017	5
MARTES	2017	5
MIÉRCOLES	2017	3



JUEVES	2017	5
VIERNES	2017	6
SÁBADO	2018	14
DOMINGO	2018	20
LUNES	2018	4
MARTES	2018	5
MIÉRCOLES	2018	1
JUEVES	2018	3
VIERNES	2018	6
SÁBADO	2019	4
DOMINGO	2019	3
LUNES	2019	1
MARTES	2019	0
MIÉRCOLES	2019	1
JUEVES	2019	1
VIERNES	2019	1

Ecuación 30. Los datos en amarillo son los capturados para el sábado. Para obtener la variación anual diaria total es necesario especificar el día de la semana y tomar la cantidad de asaltos en ese día.

Obteniendo la variación anual diaria total del sábado del año 2017 y conociendo que del domingo 1 de enero de 2017 al miércoles 27 de febrero de 2019 se contaron 112 sábados, y que el total de datos son 788, la ecuación queda:

$$Variación\ Anual\ Diaria\ Total_{sábado\ 2017} = \frac{9 + 14 + 4}{\frac{112}{\frac{105}{788}}} = 1.8092$$

Ecuación 31. Cálculo de la variación anual diaria del sábado para el año 2017.

Para los demás días del 2017, las ecuaciones quedan de la siguiente manera:

$$Variación\ Anual\ Diaria\ Total_{domingo\ 2017} = \frac{8 + 20 + 3}{\frac{112}{\frac{105}{788}}} = 2.0772$$

$$Variación\ Anual\ Diaria\ Total_{lunes\ 2017} = \frac{5 + 4 + 1}{\frac{112}{\frac{105}{788}}} = 0.6701$$

$$Variación\ Anual\ Diaria\ Total_{martes\ 2017} = \frac{5 + 5 + 0}{\frac{112}{\frac{105}{788}}} = 0.6701$$



$$\text{Variación Anual Diaria Total}_{\text{miércoles 2017}} = \frac{\frac{3 + 1 + 1}{105}}{\frac{788}{105}} = 0.3350$$

$$\text{Variación Anual Diaria Total}_{\text{jueves 2017}} = \frac{\frac{5 + 3 + 1}{105}}{\frac{788}{105}} = 0.6085$$

$$\text{Variación Anual Diaria Total}_{\text{viernes 2017}} = \frac{\frac{6 + 6 + 1}{105}}{\frac{788}{105}} = 0.8789$$

Para la variación anual diaria total del sábado, pero del 2018, ya no se consideran el valor de la proporción de asaltos del sábado del año anterior 2017. Continuando con las iteraciones de los demás días de los años siguientes, las variaciones anuales diarias totales quedan de la siguiente manera:

DÍA	AÑO	ASALTOS	VARIACIÓN ANUAL DIARIA TOTAL
SÁBADO	2017	9	1.8092
DOMINGO	2017	8	2.0772
LUNES	2017	5	0.6701
MARTES	2017	5	0.6701
MIÉRCOLES	2017	3	0.3350
JUEVES	2017	5	0.6085
VIERNES	2017	6	0.8789
SÁBADO	2018	14	1.2170
DOMINGO	2018	20	1.5550
LUNES	2018	4	0.3381
MARTES	2018	5	0.3381
MIÉRCOLES	2018	1	0.1352
JUEVES	2018	3	0.2729
VIERNES	2018	6	0.4776
SÁBADO	2019	4	0.2729
DOMINGO	2019	3	0.2047
LUNES	2019	1	0.0682
MARTES	2019	0	0.0000
MIÉRCOLES	2019	1	0.0682
JUEVES	2019	1	0.0689
VIERNES	2019	1	0.0689

Tabla 32. Variaciones anuales diarias de asaltos



Para darle mayor verosimilitud a los datos desagregados de los asaltos, y así quitarle el escalonamiento mensual y dar importancia a las variaciones diarias, cada dato se multiplica por la variación anual diaria del día correspondiente.

Por ejemplo, los datos desagregados de enero del 2017 son:

FECHA	ASALTOS DIARIOS
domingo, 1 de enero de 2017	0.10
lunes, 2 de enero de 2017	0.10
martes, 3 de enero de 2017	0.10
miércoles, 4 de enero de 2017	0.10
jueves, 5 de enero de 2017	0.10
viernes, 6 de enero de 2017	0.10
sábado, 7 de enero de 2017	0.10
domingo, 8 de enero de 2017	0.10
lunes, 9 de enero de 2017	0.10
martes, 10 de enero de 2017	0.10
miércoles, 11 de enero de 2017	0.10
jueves, 12 de enero de 2017	0.10
viernes, 13 de enero de 2017	0.10
sábado, 14 de enero de 2017	0.10
domingo, 15 de enero de 2017	0.10
lunes, 16 de enero de 2017	0.10
martes, 17 de enero de 2017	0.10
miércoles, 18 de enero de 2017	0.10
jueves, 19 de enero de 2017	0.10
viernes, 20 de enero de 2017	0.10
sábado, 21 de enero de 2017	0.10
domingo, 22 de enero de 2017	0.10
lunes, 23 de enero de 2017	0.10
martes, 24 de enero de 2017	0.10
miércoles, 25 de enero de 2017	0.10
jueves, 26 de enero de 2017	0.10
viernes, 27 de enero de 2017	0.10
sábado, 28 de enero de 2017	0.10
domingo, 29 de enero de 2017	0.10
lunes, 30 de enero de 2017	0.10
martes, 31 de enero de 2017	0.10

Tabla 33. Datos desagregados del mes de enero del año 2017.

Si multiplicamos el valor 0.10 del día *domingo 1 de enero de 2017* por la *Varación Anual Diaria Total*_{domingo 2017} el resultado nos dará un valor más realista para ese día:



$$(0.10)(2.0772) = 0.2077$$

Ahora a cada valor desagregado se multiplica por la variación anual diaria total correspondiente para obtener valores realistas, quedando la serie y la gráfica de la serie en el ANEXO VIII, siendo esos datos los definitivos de la variable Asaltos del modelo de regresión.



V.1.1.2.3 Accidentes



Los datos de accidentes dados por la empresa fueron los siguientes:

MES	AÑO	ACCIDENTALIDAD MENSUAL
ENERO	2015	74
FEBRERO	2015	89
MARZO	2015	82
ABRIL	2015	84
MAYO	2015	95
JUNIO	2015	97
JULIO	2015	95
AGOSTO	2015	86
SEPTIEMBRE	2015	92
OCTUBRE	2015	108
NOVIEMBRE	2015	87
DICIEMBRE	2015	47
ENERO	2016	76
FEBRERO	2016	67
MARZO	2016	82
ABRIL	2016	83
MAYO	2016	76
JUNIO	2016	81
JULIO	2016	81
AGOSTO	2016	107
SEPTIEMBRE	2016	96



OCTUBRE	2016	84
NOVIEMBRE	2016	84
DICIEMBRE	2016	79
ENERO	2017	78
FEBRERO	2017	72
MARZO	2017	81
ABRIL	2017	64
MAYO	2017	77
JUNIO	2017	74
JULIO	2017	67
AGOSTO	2017	70
SEPTIEMBRE	2017	72
OCTUBRE	2017	87
NOVIEMBRE	2017	90
DICIEMBRE	2017	70
ENERO	2018	68
FEBRERO	2018	60
MARZO	2018	58
ABRIL	2018	57
MAYO	2018	82
JUNIO	2018	66
JULIO	2018	57
AGOSTO	2018	78
SEPTIEMBRE	2018	72
OCTUBRE	2018	74
NOVIEMBRE	2018	63
DICIEMBRE	2018	52
ENERO	2019	50
FEBRERO	2019	47

Tabla 34. Accidentes por mes desde 2015 - 2019

Nuevamente se tienen datos agregados mensualmente, por lo que la manera de desagregarlos con frecuencia diaria será dividiendo el valor mensual entre el número de días del mes:

$$Accidentes_{diarios} = \frac{\text{Número de accidentes en el mes}}{\text{Número de días del mes}}$$

Ecuación 32. Desagregación de datos mensuales a diarios

En enero del 2015, por ejemplo, se tienen registrados 74 accidentes, teniendo el mes 31 días, por lo que el dato del accidente diario del mes de enero del 2015 será:

$$Accidentes_{enero\ 2015} = \frac{\text{Número de accidentes en el mes}}{\text{Número de días del mes}} = \frac{74}{31} = 2.39 \text{ [accidentes]}$$



Por lo que todo el mes queda:

FECHA	ACCIDENTES DIARIOS
jueves, 1 de enero de 2015	2.39
viernes, 2 de enero de 2015	2.39
sábado, 3 de enero de 2015	2.39
domingo, 4 de enero de 2015	2.39
lunes, 5 de enero de 2015	2.39
martes, 6 de enero de 2015	2.39
miércoles, 7 de enero de 2015	2.39
jueves, 8 de enero de 2015	2.39
viernes, 9 de enero de 2015	2.39
sábado, 10 de enero de 2015	2.39
domingo, 11 de enero de 2015	2.39
lunes, 12 de enero de 2015	2.39
martes, 13 de enero de 2015	2.39
miércoles, 14 de enero de 2015	2.39
jueves, 15 de enero de 2015	2.39
viernes, 16 de enero de 2015	2.39
sábado, 17 de enero de 2015	2.39
domingo, 18 de enero de 2015	2.39
lunes, 19 de enero de 2015	2.39
martes, 20 de enero de 2015	2.39
miércoles, 21 de enero de 2015	2.39
jueves, 22 de enero de 2015	2.39
viernes, 23 de enero de 2015	2.39
sábado, 24 de enero de 2015	2.39
domingo, 25 de enero de 2015	2.39
lunes, 26 de enero de 2015	2.39
martes, 27 de enero de 2015	2.39
miércoles, 28 de enero de 2015	2.39
jueves, 29 de enero de 2015	2.39
viernes, 30 de enero de 2015	2.39
sábado, 31 de enero de 2015	2.39

Tabla 35. Datos de Accidentes agregados por día.

Se realiza el mismo procedimiento para todos los días hasta el miércoles 27 de febrero de 2019. También es necesario recordar que será recortada la serie para darle el mismo tamaño que las demás.



La empresa, al igual que con los datos de Asaltos, compartió las proporciones diarias de los Accidentes:

DÍA	AÑO	ACCIDENTES
SÁBADO	2015	95
DOMINGO	2015	45
LUNES	2015	184
MARTES	2015	212
MIÉRCOLES	2015	168
JUEVES	2015	193
VIERNES	2015	139
SÁBADO	2016	89
DOMINGO	2016	37
LUNES	2016	164
MARTES	2016	208
MIÉRCOLES	2016	166
JUEVES	2016	183
VIERNES	2016	149
SÁBADO	2017	81
DOMINGO	2017	54
LUNES	2017	147
MARTES	2017	176
MIÉRCOLES	2017	144
JUEVES	2017	146
VIERNES	2017	154
SÁBADO	2018	69
DOMINGO	2018	37
LUNES	2018	126
MARTES	2018	152
MIÉRCOLES	2018	131
JUEVES	2018	149
VIERNES	2018	123
SÁBADO	2019	15
DOMINGO	2019	6
LUNES	2019	21
MARTES	2019	17
MIÉRCOLES	2019	16
JUEVES	2019	12
VIERNES	2019	10

Tabla 36. Proporción de Accidentes por día de la semana.

Estas proporciones se encuentran agregadas anualmente filtradas por día de la semana. Estos datos son muy valiosos y nos aportan realismo a los valores desagregados que se tienen. Al igual que con los asaltos se calcula la Variación Anual Diaria de los Accidentes:



$$Variación Anual Diaria Total_d = \frac{\frac{Suma de accidentes totales del día (d)}{Número de días (d)}}{\frac{Número total de accidentes}{Número de datos de la serie}}$$

Ecuación 33. Ecuación 29. Cálculo de la Variación anual diaria total.

Siendo:

d: lunes, martes, miércoles, jueves, viernes, sábado o domingo.

Número de días: número de lunes, martes, miércoles, jueves, sábados o domingos de toda la serie con frecuencia diaria.

Número total de accidentes: 3818 accidentes

Número de datos de la serie: 778

En la siguiente tabla se señalan los valores en sábado:

DÍA	AÑO	ACCIDENTES
SÁBADO	2017	81
DOMINGO	2017	54
LUNES	2017	147
MARTES	2017	176
MIÉRCOLES	2017	144
JUEVES	2017	146
VIERNES	2017	154
SÁBADO	2018	69
DOMINGO	2018	37
LUNES	2018	126
MARTES	2018	152
MIÉRCOLES	2018	131
JUEVES	2018	149
VIERNES	2018	123
SÁBADO	2019	15
DOMINGO	2019	6
LUNES	2019	21
MARTES	2019	17
MIÉRCOLES	2019	16
JUEVES	2019	12
VIERNES	2019	10

Obteniendo la variación anual diaria total del **sábado** del año 2017 y conociendo que del domingo 1 de enero de 2017 al miércoles 27 de febrero de 2019 se contaron 112 sábados, y que el total de datos son 788, la ecuación queda:



$$Varación Anual Diaria Total_{sábado 2017} = \frac{\frac{81 + 69 + 15}{112}}{\frac{3818}{788}} = 0.6500$$

Ecuación 34.. Cálculo de la variación anual diaria del sábado para el año 2017.

Para los demás días del 2017, las ecuaciones quedan de la siguiente manera:

$$Varación Anual Diaria Total_{domingo 2017} = \frac{\frac{54 + 37 + 6}{112}}{\frac{3818}{788}} = 0.3787$$

$$Varación Anual Diaria Total_{lunes 2017} = \frac{\frac{147 + 126 + 21}{112}}{\frac{3818}{788}} = 1.1479$$

$$Varación Anual Diaria Total_{martes 2017} = \frac{\frac{176 + 152 + 17}{112}}{\frac{3818}{788}} = 1.3471$$

$$Varación Anual Diaria Total_{miércoles 2017} = \frac{\frac{144 + 131 + 16}{112}}{\frac{3818}{788}} = 1.1362$$

$$Varación Anual Diaria Total_{jueves 2017} = \frac{\frac{146 + 149 + 12}{111}}{\frac{3818}{788}} = 1.2094$$

$$Varación Anual Diaria Total_{viernes 2017} = \frac{\frac{154 + 123 + 10}{111}}{\frac{3818}{788}} = 1.1306$$

Al igual que con los accidentes para la variación anual diaria total del sábado, pero del 2018, ya no se consideran el valor de la proporción de asaltos del sábado del año anterior 2017. Continuando con las iteraciones de los demás días de los años siguientes, las variaciones anuales diarias totales quedan de la siguiente manera:



DÍA	AÑO	ACCIDENTES	VARIACIÓN ANUAL DIARIA
SÁBADO	2017	81	0.6500
DOMINGO	2017	54	0.3787
LUNES	2017	147	1.1479
MARTES	2017	176	1.3471
MIÉRCOLES	2017	144	1.1362
JUEVES	2017	146	1.2094
VIERNES	2017	154	1.1306
SÁBADO	2018	69	0.3339
DOMINGO	2018	37	0.1694
LUNES	2018	126	0.5870
MARTES	2018	152	0.6697
MIÉRCOLES	2018	131	0.5791
JUEVES	2018	149	0.6519
VIERNES	2018	123	0.5485
SÁBADO	2019	15	0.0682
DOMINGO	2019	6	0.0358
LUNES	2019	21	0.7950
MARTES	2019	17	0.3498
MIÉRCOLES	2019	16	1.3674
JUEVES	2019	12	1.6445
VIERNES	2019	10	1.3076

Tabla 37. Cálculo de la variación anual diaria del 2017 - 2019.

Multiplicando el valor 2.52 del día *domingo 1 de enero de 2017* por el valor 0.3787 de la *Varación Anual Diaria Total_{domingo 2017}* el resultado nos dará un valor más realista para ese día:

$$(2.52)(0.3787) = 1.8937$$

Ahora a cada valor desagregado se multiplica por la variación anual diaria total correspondiente para obtener valores realistas, quedando la serie y la gráfica de la serie en el ANEXO IX, siendo esos datos los definitivos de la variable Accidentes del modelo de regresión.





IV.1.1.2.4 Precio del Servicio



El precio del servicio se define como el costo monetario o tarifa del servicio ofrecido aprobada y definida por la Secretaría de Movilidad de la Ciudad de México. El precio del servicio no varía a diario, solamente cuando existan ajustes debido a la fluctuación en el precio del combustible u otros gastos de operación. Los datos que se tienen del servicio son que, desde el 1 enero de 2015 al 30 de abril del 2017 se mantuvo un precio de \$5.50. Del 1 mayo del 2017 al 27 de febrero del 2019 el precio aumentó 33.33% teniendo un precio de \$7.00. Para tener estos datos con el mismo tamaño y frecuencia que las demás variables simplemente se registran los mismos valores hasta registrar el cambio:

FECHA	PRECIOS DIARIOS (\$)
jueves, 1 de enero de 2015	5.50
viernes, 2 de enero de 2015	5.50
sábado, 3 de enero de 2015	5.50
domingo, 4 de enero de 2015	5.50
lunes, 5 de enero de 2015	5.50
martes, 6 de enero de 2015	5.50
miércoles, 7 de enero de 2015	5.50
jueves, 8 de enero de 2015	5.50
viernes, 9 de enero de 2015	5.50
sábado, 10 de enero de 2015	5.50
domingo, 11 de enero de 2015	5.50
lunes, 12 de enero de 2015	5.50
martes, 13 de enero de 2015	5.50
miércoles, 14 de enero de 2015	5.50
jueves, 15 de enero de 2015	5.50
viernes, 16 de enero de 2015	5.50
sábado, 17 de enero de 2015	5.50
domingo, 18 de enero de 2015	5.50
lunes, 19 de enero de 2015	5.50
martes, 20 de enero de 2015	5.50
miércoles, 21 de enero de 2015	5.50
jueves, 22 de enero de 2015	5.50



viernes, 23 de enero de 2015	5.50
sábado, 24 de enero de 2015	5.50
domingo, 25 de enero de 2015	5.50
lunes, 26 de enero de 2015	5.50
martes, 27 de enero de 2015	5.50
miércoles, 28 de enero de 2015	5.50
jueves, 29 de enero de 2015	5.50
viernes, 30 de enero de 2015	5.50
sábado, 31 de enero de 2015	5.50

Tabla 38. Costo del pasaje diario de enero del 2015.

La serie, al igual que las demás se corta desde el 1 de enero del 2017 al 27 de febrero del 2019.



IV.1.1.2.5 Competencia directa



La competencia directa está definida como aquellos servicios de transporte concesionado o no, que ofrecen sus servicios similares simultáneamente a los de la empresa en cuestión. Analizando los principales servicios de **transporte público** que usan la misma ruta de servicio ofreciendo una alternativa a los usuarios potenciales, se encontraron que la principal competencia es el *Sistema de Transporte Colectivo (STC) (Metro)*.

Para obtener datos de la afluencia del STC se buscó en los registros públicos de la página *datos.cdmx.gob.mx* desde el año 2015 al 2019 filtrado por la línea y estación puntuales:



19 conjuntos de datos

Ordenar datos Últimamente modificados

Modificado Popular De A a Z

Filtros activos [Borrar todo](#)

Publicador Secretaría de Movilidad

Filtros

Buscar un conjunto de dato

Vista

- Analizar 18
- Mapa 14
- Vista personalizada 3

Afluencia preliminar en transporte público

Esta base de datos contiene los datos preliminares de la afluencia diaria de pasajeros en el transporte público en la Ciudad de México, reportados por los siguientes organismos: Sistema de Transporte Colectivo Metro (STC), Metrobus, Red de Transporte de Pasajeros (RTP), Sistema de Transporte Eléctrico Tren Ligero (STP-Tren Ligero), Sistema de Transporte Eléctrico Trolebus (STP-Trolebus) y Ecobici.

Publicador Secretaría de Movilidad
Licencia CC BY

transporte público afluencia metro metrobus
tren ligero trolebus ecobici RTP covid-19
covid19 coronavirus

Estaciones del metro Intersecciones seguras

7.380 registros

No hay filtros activos.

Afluencia preliminar en transporte público

Información Tabla Analizar Exportar API

	FECHA	DÍA MES	DÍA SEMANA	MES	AÑO	ORGANISMO	LINEA/SERVICIO	AFLUENCIA TARJETA
1	1 de marzo de 2020	01	Domingo	Marzo 2020	2020	Ecobici	N/A	
2	2 de marzo de 2020	02	Lunes	Marzo 2020	2020	Ecobici	N/A	
3	4 de marzo de 2020	04	Miércoles	Marzo 2020	2020	Ecobici	N/A	
4	5 de marzo de 2020	05	Jueves	Marzo 2020	2020	Ecobici	N/A	
5	6 de marzo de 2020	06	Viernes	Marzo 2020	2020	Ecobici	N/A	
6	7 de marzo de 2020	07	Sábado	Marzo 2020	2020	Ecobici	N/A	
7	19 de marzo de 2020	19	Jueves	Marzo 2020	2020	Ecobici	N/A	
8	20 de marzo de 2020	20	Viernes	Marzo 2020	2020	Ecobici	N/A	
9	22 de marzo de 2020	22	Domingo	Marzo 2020	2020	Ecobici	N/A	
10	23 de marzo de 2020	23	Lunes	Marzo 2020	2020	Ecobici	N/A	
11	27 de marzo de 2020	27	Viernes	Marzo 2020	2020	Ecobici	N/A	
12	1 de abril de 2020	01	Miércoles	Abril 2020	2020	Ecobici	N/A	
13	6 de abril de 2020	06	Lunes	Abril 2020	2020	Ecobici	N/A	

Filtros

Buscar registros...

FECHA

De:
a:

2020 7.380

MES

2020 7.380

ORGANISMO

ORGANISMO

STC	2.460
STE-Trolebús	1.640
Metrobús	1.435
RTP	1.435
Ecobici	205
STE-Tren Ligero	205

Para usar los datos de la competencia en el modelo de regresión se recortan usando desde el 1 de enero del 2017 al 27 de febrero del 2019, para tener el mismo tamaño que las otras variables. Las tablas de la afluencia de la competencia completa están en el ANEXO XII.





IV.1.1.2.6 Variables Dummy

Todas las variables agregadas al modelo de regresión anterior son cuantitativas, resultado del registro frecuente de valores reales ordinales, pero no se están considerando hasta el momento ninguna variable cualitativa, variables que aportan mucha información acerca del comportamiento de la variable dependiente. La pregunta es: ¿cómo agregar información cualitativa al modelo de regresión? Jeffrey M. Wooldridge da una respuesta a esto en su capítulo 7.1 *Descripción de la información cualitativa*:

“Los factores cualitativos surgen casi siempre en forma de información bivariada: una persona es mujer u hombre; una persona tiene o no computadora; una empresa ofrece o no un determinado tipo de plan de pensión a sus empleados; en un estado existe o no la pena de muerte. En todos estos ejemplos, la información que interesa puede ser captada empleando una variable binaria o una variable cero-uno. En econometría a las variables binarias se les suele llamar variables binarias o dummy, aunque este nombre no es especialmente descriptivo”.

Entonces la forma de captar la información cualitativa y agregarla al modelo es registrando la información como variables binarias o dummy. Generalmente la toma de esta información se realiza mediante encuestas respondidas por los usuarios del servicio o mediante observaciones del recolector de datos, abriendo la puerta a innumerables posibilidades de toma de información sobre cualquier variable cuantitativa que se considere importante para el modelo.

Se decidió entonces elegir las variables dummy a agregar al modelo y, aprovechando las fechas diarias de los modelos anteriores se agregan las siguientes variables dummy:



$x_{domingo}, x_{lunes}, x_{martes}, x_{miércoles}, x_{jueves}, x_{viernes}, x_{sábado}$

Estas variables dummy se seleccionaron puesto que, como la frecuencia de los datos es diaria, es importante conocer la variabilidad de la afluencia dependiendo de día de la semana en que se encuentre.

El acomodo de las variables dummy del 1 enero al 10 de enero del año 2015 queda de la siguiente manera:

FECHA	domingo	lunes	martes	miércoles	jueves	viernes	sábado
jueves, 1 de enero de 2015	0	0	0	0	1	0	0
viernes, 2 de enero de 2015	0	0	0	0	0	1	0
sábado, 3 de enero de 2015	0	0	0	0	0	0	1
domingo, 4 de enero de 2015	1	0	0	0	0	0	0
lunes, 5 de enero de 2015	0	1	0	0	0	0	0
martes, 6 de enero de 2015	0	0	1	0	0	0	0
miércoles, 7 de enero de 2015	0	0	0	1	0	0	0
jueves, 8 de enero de 2015	0	0	0	0	1	0	0
viernes, 9 de enero de 2015	0	0	0	0	0	1	0
sábado, 10 de enero de 2015	0	0	0	0	0	0	1

Tabla 39. Acomodo de las variables dummy binarias.

Cada una de las columnas domingo, lunes, martes, miércoles, jueves, viernes y sábado son variables independientes del modelo de regresión y están acomodadas dependiendo el día en el que estén. Como el 1 de enero del 2015 es jueves, en la columna jueves se registra un 1 y los demás tendrán un 0. Como el 2 de enero del 2015 es viernes, en la columna viernes se registra un 1 y las demás tendrán un 0, puesto que no están en viernes. El acomodo es el mismo para los demás valores hasta el día 27 de febrero del 2019.

Las tablas de las variables dummy están en el ANEXO X1.





IV.1.1.2.7 Variables Adicionales

Debido a que existe tendencia en la variable explicada y_t es necesario incluir una variable adicional al modelo. Como la tendencia está en función del número de valor en que se encuentra, se agrega la variable N al modelo de regresión. Dicha variable N tendrá los números secuenciales desde el 1 al 788, esto permitirá explicar la variación de los valores según la secuencia de registro unitaria.

La columna N queda de la siguiente manera:

N_1	1
N_2	1
\vdots	\vdots
N_{788}	1

Tabla 40. Acomodo de la variable secuencial N .

IV.1.1.4 Solución al Modelo de regresión lineal múltiple construido

El MRLM construido queda de la siguiente manera:

$$\begin{aligned}
 y_{Afluencia} = & \beta_0 + \beta_1 x_N + \beta_2 x_{Camiones} + \beta_3 x_{Asaltos} + \beta_4 x_{Accidentes} + \beta_5 x_{Precio} \\
 & + \beta_6 x_{Competencia} + \beta_7 x_{domingo} + \beta_8 x_{lunes} + \beta_9 x_{martes} + \beta_{10} x_{miércoles} \\
 & + \beta_{11} x_{jueves} + \beta_{12} x_{viernes} + \beta_{13} x_{sábado} + \varepsilon
 \end{aligned}$$

Ecuación 35. Modelo de regresión lineal múltiple construido.

Donde:

$y_{Afluencia}$: número de usuarios registrados con frecuencia diaria y $n = 788$

x_N : secuencial del periodo con frecuencia diaria y $n = 788$



$x_{Camiones}$: número de camiones registrados con frecuencia diaria y $n = 788$
 $x_{Asaltos}$: número de asaltos registrados con frecuencia diaria y $n = 788$
 $x_{Accidentes}$: número de accidentes registrados con frecuencia diaria y $n = 788$
 x_{Precio} : precio del servicio con frecuencia diaria y $n = 788$
 $x_{competencia}$: número de usuarios registrados por la competencia directa con frecuencia diaria y $n = 788$
 $x_{domingo}$: valor de 1 si el día es domingo con frecuencia diaria y $n = 788$
 x_{lunes} : valor de 1 si el día es lunes con frecuencia diaria y $n = 788$
 x_{martes} : valor de 1 si el día es martes con frecuencia diaria y $n = 788$
 $x_{miércoles}$: valor de 1 si el día es miércoles con frecuencia diaria y $n = 788$
 x_{jueves} : valor de 1 si el día es jueves con frecuencia diaria y $n = 788$
 $x_{viernes}$: valor de 1 si el día es viernes con frecuencia diaria y $n = 788$
 $x_{sábado}$: valor de 1 si el día es sábado con frecuencia diaria y $n = 788$
 x_{Precio} : precio del servicio con frecuencia diaria y $n = 788$
 β_0 : Es el intercepto
 $\beta_{1,2,3,4,5,6,7,8,9,10,11,12,13}$: es el parámetro asociado al x_k correspondientes.
 ε : Es el término de error

El modelo de regresión lineal múltiple tiene como propósito calcular el valor de los parámetros $\beta_{1,2,3,4,5,6,7,8,9,10,11,12}$ asociado al x_k (variables explicativas) y así determinar cuáles variables explicativas influyen más en la variable dependiente $y_{Afluencia}$. Asimismo, el modelo de regresión lineal múltiple obtiene el valor de $\beta_{1,2,3,4,5,6,7,8,9,10,11,12}$ de manera que la suma de cuadrados entre los valores observados y los pronosticados sea el mínimo.

El modelo de regresión lineal se acomoda matricialmente de la siguiente manera:

$$Y = X\beta + \varepsilon$$

$$\begin{bmatrix} y_1 \\ y_2 \\ \vdots \\ y_n \end{bmatrix} = \begin{bmatrix} 1 & x_{11} & \cdots & x_{1p} \\ 1 & x_{21} & \cdots & x_{2p} \\ \vdots & \vdots & \ddots & \vdots \\ 1 & x_{n1} & \cdots & x_{np} \end{bmatrix} \cdot \begin{bmatrix} \beta_1 \\ \beta_2 \\ \vdots \\ \beta_n \end{bmatrix} + \begin{bmatrix} \varepsilon_1 \\ \varepsilon_2 \\ \vdots \\ \varepsilon_n \end{bmatrix}$$

Ecuación 36. Acomodo matricial de la ecuación de regresión lineal múltiple para su resolución.



Para este modelo se considera que los valores de $y_{Afluencia}$ son resultado de las combinaciones lineales de las variables explicativas x_k y un término aleatorio. Primero se acomodan los valores de y_t :

$$\begin{bmatrix} y_1 \\ y_2 \\ \vdots \\ y_n \end{bmatrix} = \begin{bmatrix} y_{Afluencia_1} \\ y_{Afluencia_2} \\ \vdots \\ y_{Afluencia_{788}} \end{bmatrix} = \begin{bmatrix} 11503 \\ 46111 \\ \vdots \\ 51216 \end{bmatrix}$$

matriz 788 x 1

Ecuación 37. Acomodo matricial de la serie de tiempo Afluencia.

Se acomodan matricialmente los valores de X , en la matriz la primera columna está definida por **unos** únicamente:

$$\begin{bmatrix} 1 & x_{11} & \cdots & x_{1p} \\ 1 & x_{21} & \cdots & x_{2p} \\ \vdots & \vdots & \ddots & \vdots \\ 1 & x_{n1} & \cdots & x_{np} \end{bmatrix} = \dots$$

$$\dots \begin{bmatrix} 1 & x_{N_1} & x_{camiones_1} & x_{Asaltos_1} & x_{Accidentes_1} & x_{precio_1} & x_{Competencia_1} & x_{Domingo_1} & x_{Lunes_1} & x_{Martes_1} & x_{Miércoles_1} & x_{Jueves_1} & x_{Viernes_1} & x_{Sábado_1} \\ 1 & x_{N_2} & x_{camiones_2} & x_{Asaltos_2} & x_{Accidentes_2} & x_{precio_2} & x_{Competencia_2} & x_{Domingo_2} & x_{Lunes_2} & x_{Martes_2} & x_{Miércoles_2} & x_{Jueves_2} & x_{Viernes_2} & x_{Sábado_2} \\ \vdots & \vdots & \vdots & \vdots & \vdots & \vdots & \vdots & \vdots & \vdots & \vdots & \vdots & \vdots & \vdots & \vdots \\ 1 & x_{N_{788}} & x_{camiones_{788}} & x_{Asaltos_{788}} & x_{Accidentes_{788}} & x_{precio_{788}} & x_{Competencia_{788}} & x_{Domingo_{788}} & x_{Lunes_{788}} & x_{Martes_{788}} & x_{Miércoles_{788}} & x_{Jueves_{788}} & x_{Viernes_{788}} & x_{Sábado_{788}} \end{bmatrix} \dots$$

$$\dots \begin{bmatrix} 1 & 1 & 30 & 0.2010 & 1.8936 & 5.5 & 9899 & 1 & 0 & 0 & 0 & 0 & 0 & 0 \\ 1 & 2 & 12 & 0.0648 & 5.7396 & 5.5 & 28642 & 0 & 1 & 0 & 0 & 0 & 0 & 0 \\ \vdots & \vdots & \vdots & \vdots & \vdots & \vdots & \vdots & \vdots & \vdots & \vdots & \vdots & \vdots & \vdots & \vdots \\ 1 & 788 & 63 & 0.0126 & 4.7604 & 7 & 44428 & 0 & 0 & 0 & 1 & 0 & 0 & 0 \end{bmatrix}$$

matriz 788 x 14

Ecuación 38. Acomodo de todas las variables de regresión lineal matricialmente.



Nota: Al tener 7 columnas de variables dummy, el ciclo semanal se completa de la siguiente manera:

$$\begin{bmatrix} 1 & 0 & 0 & 0 & 0 & 0 & 0 \\ 0 & 1 & 0 & 0 & 0 & 0 & 0 \\ 0 & 0 & 1 & 0 & 0 & 0 & 0 \\ 0 & 0 & 0 & 1 & 0 & 0 & 0 \\ 0 & 0 & 0 & 0 & 1 & 0 & 0 \\ 0 & 0 & 0 & 0 & 0 & 1 & 0 \\ 0 & 0 & 0 & 0 & 0 & 0 & 1 \\ \vdots & \vdots & \vdots & \vdots & \vdots & \vdots & \vdots \\ 0 & 0 & 0 & 1 & 0 & 0 & 0 \end{bmatrix}$$

Matriz 788 x 7

Ecuación 39. Matriz formada por las variables dummy, es linealmente dependiente.

Esta matriz es linealmente dependiente, lo que significa que cualquier columna es generada por la combinación lineal de las demás. Esto es un problema, puesto que al realizar operaciones matriciales para determinar los coeficientes β se generarán errores entre las variables, por lo que se elimina una columna (variable) cuyo valor será absorbido por el coeficiente de error β_0 . Para este modelo se elimina la variable $x_{\text{sábado}}$ del modelo, que es la última columna, quedando las variables de la siguiente manera:

$$\begin{bmatrix} 1 & 0 & 0 & 0 & 0 & 0 \\ 0 & 1 & 0 & 0 & 0 & 0 \\ 0 & 0 & 1 & 0 & 0 & 0 \\ 0 & 0 & 0 & 1 & 0 & 0 \\ 0 & 0 & 0 & 0 & 1 & 0 \\ 0 & 0 & 0 & 0 & 0 & 1 \\ 0 & 0 & 0 & 0 & 0 & 0 \\ \vdots & \vdots & \vdots & \vdots & \vdots & \vdots \\ 0 & 0 & 0 & 1 & 0 & 0 \end{bmatrix}$$

Matriz 788 x 6

Ecuación 40. Matriz formada por las variables dummy, exceptuando la columna sábado, es linealmente independiente.

Con este cambio en las variables del modelo teniendo filas $[0,0,0,0,0,0]$ las variables son linealmente independientes y el modelo se puede resolver sin generar errores.



La matriz de variables final X queda de la siguiente manera:

$$X = \begin{bmatrix} 1 & x_{N_1} & x_{camiones_1} & x_{Asaltos_1} & x_{Accidentes_1} & x_{Precio_1} & x_{Competencia_1} & x_{Domingo_1} & x_{Lunes_1} & x_{Martes_1} & x_{Miércoles_1} & x_{Jueves_1} & x_{Viernes_1} \\ 1 & x_{N_2} & x_{camiones_2} & x_{Asaltos_2} & x_{Accidentes_2} & x_{Precio_2} & x_{Competencia_2} & x_{Domingo_2} & x_{Lunes_2} & x_{Martes_2} & x_{Miércoles_2} & x_{Jueves_2} & x_{Viernes_2} \\ \vdots & \vdots & \vdots & \vdots & \vdots & \vdots & \vdots & \vdots & \vdots & \vdots & \vdots & \vdots & \vdots \\ 1 & x_{N_{788}} & x_{camiones_{788}} & x_{Asaltos_{788}} & x_{Accidentes_{788}} & x_{Precio_{788}} & x_{Competencia_{788}} & x_{Domingo_{788}} & x_{Lunes_{788}} & x_{Martes_{788}} & x_{Miércoles_{788}} & x_{Jueves_{788}} & x_{Viernes_{788}} \end{bmatrix}$$

$$X = \begin{bmatrix} 1 & 1 & 30 & 0.2010 & 1.8936 & 5.5 & 9899 & 1 & 0 & 0 & 0 & 0 & 0 \\ 1 & 2 & 12 & 0.0648 & 5.7396 & 5.5 & 28642 & 0 & 1 & 0 & 0 & 0 & 0 \\ \vdots & \vdots & \vdots & \vdots & \vdots & \vdots & \vdots & \vdots & \vdots & \vdots & \vdots & \vdots & \vdots \\ 1 & 788 & 63 & 0.0126 & 4.7604 & 7 & 44428 & 0 & 0 & 0 & 1 & 0 & 0 \end{bmatrix}$$

Matrix 788 x 13

Ecuación 41. Ecuación de regresión lineal múltiple con acomodo matricial.

Se usa el método de mínimos cuadrados dando el siguiente estimadores:

$$\beta = (X^T X)^{-1} X^T Y$$

Ecuación 42. Resolución de la ecuación de regresión lineal múltiple por el método de mínimos cuadrados.

Sabiendo que La matriz X se traspone obteniendo X^T :

$$X^T = \begin{bmatrix} 1 & 1 & \dots & 1 \\ 1 & 2 & \dots & 788 \\ 30 & 12 & \dots & 63 \\ 0.2010 & 0.0648 & \dots & 0.0126 \\ 1.8936 & 5.7396 & \dots & 4.7604 \\ 5.5 & 5.5 & \dots & 7 \\ 9899 & 28642 & \dots & 44428 \\ 1 & 0 & \dots & 0 \\ 0 & 1 & \dots & 0 \\ 0 & 0 & \dots & 0 \\ 0 & 0 & \dots & 1 \\ 0 & 0 & \dots & 0 \\ 0 & 0 & \dots & 0 \end{bmatrix}$$

Matrix 13 x 788

Ecuación 43. Matriz de variables X traspuesta.

Los coeficientes β obtenidos de las operaciones matriciales se calcularon mediante

Análisis de Datos de Excel seleccionando la opción *Regresión*:



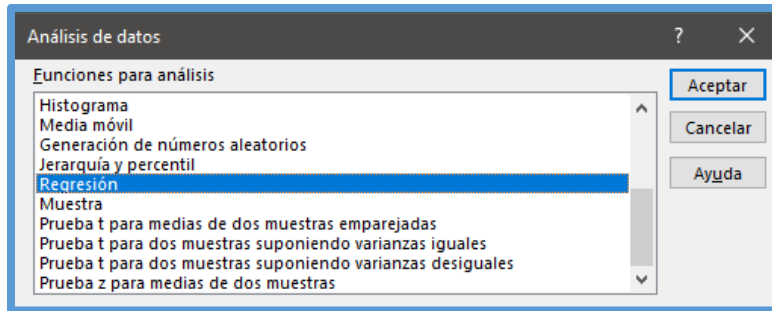


Ilustración 39. Función para análisis por regresión del análisis de datos de Excel.

Se configura la regresión tomando la variable Y con la columna Afluencia y el rango X las columnas N, Camiones, Asaltos, Accidentes, Precio, Competencia, domingo, lunes, martes, miércoles, jueves y viernes, recordando que el sábado no se agrega al modelo.

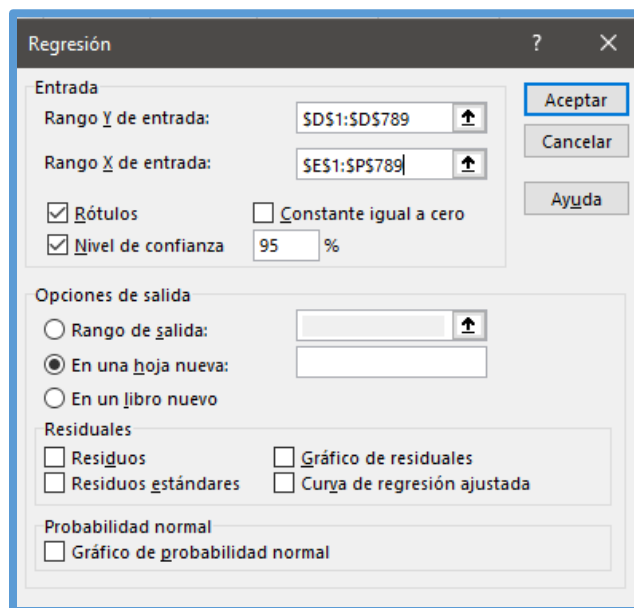


Ilustración 40. Configuración de la regresión lineal, cuando el Rango X de entrada es más de una columna, será regresión lineal múltiple.

También se configura el nivel de confianza de 95%, es decir, se toma un coeficiente $\alpha = 0.05$, debido que el $NC = 1 - \alpha = 1 - 0.05 = 0.95$.



El resultado que arroja el **Análisis de Datos de Excel** son los siguientes:

<i>Estadísticas de la regresión</i>	
Coefficiente de correlación múltiple	0.903174073
Coefficiente de determinación R ²	0.815723406
R ² ajustado	0.812870091
Error típico	5852.756498
Observaciones	788

Tabla 41. Resultados de las estadísticas de la regresión.

ANÁLISIS DE VARIANZA

	<i>Grados de libertad</i>	<i>Suma de cuadrados</i>	<i>Promedio de los cuadrados</i>	<i>F</i>	<i>Valor crítico de F</i>
Regresión	12	1.17516E+11	9792963014	285.8862069	6.4207E-275
Residuos	775	26547437938	34254758.63		
Total	787	1.44063E+11			

Tabla 42. Resultados del ANOVA.

	<i>Coefficientes</i>	<i>Error típico</i>	<i>Estadístico t</i>	<i>Probabilidad</i>	<i>Inferior 95%</i>	<i>Superior 95%</i>	<i>Inferior 95.0%</i>	<i>Superior 95.0%</i>
Intercepción	30798.07067	4097.137	7.51697358	1.55053E-13	22755.2691	38840.87224	22755.26909	38840.87224
N	-6.163428975	1.8116216	-3.4021614	0.000702841	-9.71969587	-2.607162082	-9.719695868	-2.607162082
CAMIONES	295.5046268	31.532621	9.37139446	7.64267E-20	233.605156	357.4040972	233.6051564	357.4040972
ASALTOS	-3772.860379	2997.386	-1.2587169	0.208511639	-9656.81811	2111.097351	-9656.818108	2111.097351
ACCIDENTES	338.9645388	215.84906	1.57037768	0.116735433	-84.7535654	762.682643	-84.75356544	762.682643
PRECIO	-2887.376865	527.34676	-5.4752908	5.90418E-08	-3922.57422	-1852.179512	-3922.574218	-1852.179512
COMPETENCIA	0.295400417	0.0366032	8.07034183	2.66733E-15	0.22354723	0.367253604	0.223547229	0.367253604
domingo	-7152.869605	972.61222	-7.3542872	4.89106E-13	-9062.13627	-5243.602942	-9062.136269	-5243.602942
lunes	24727.97743	1564.0107	15.8106189	5.18499E-49	21657.778	27798.1769	21657.77796	27798.1769
martes	16554.66143	995.31192	16.6326365	2.37544E-53	14600.8346	18508.48828	14600.83458	18508.48828
miércoles	15731.84525	975.80887	16.121851	1.21487E-50	13816.3035	17647.38703	13816.30347	17647.38703
jueves	14560.11607	976.08842	14.9168003	2.01754E-44	12644.0255	16476.20662	12644.02552	16476.20662
viernes	13776.0548	914.55541	15.0631166	3.65716E-45	11980.7554	15571.35422	11980.75538	15571.35422

Tabla 43. Resultado de los coeficientes β de la regresión.

Sustituyendo los coeficientes en el modelo de regresión lineal múltiple y respetando los signos resultantes de la regresión:

$$\begin{aligned}
 y_{\text{Afluencia}} = & \beta_0 + \beta_1 x_N + \beta_2 x_{\text{Camiones}} + \beta_3 x_{\text{Asaltos}} + \beta_4 x_{\text{Accidentes}} + \beta_5 x_{\text{Precio}} \\
 & + \beta_6 x_{\text{Competencia}} + \beta_7 x_{\text{domingo}} + \beta_8 x_{\text{lunes}} + \beta_9 x_{\text{martes}} + \beta_{10} x_{\text{miércoles}} \\
 & + \beta_{11} x_{\text{jueves}} + \beta_{12} x_{\text{viernes}} + \varepsilon
 \end{aligned}$$



$$\begin{aligned} y_{Afluencia} = & 30798.07067 - 6.163428975x_N + 295.5046268x_{Camiones} \\ & - 3772.860379x_{Asaltos} + 338.9645388x_{Accidentes} - 2887.376865x_{Precio} \\ & + 0.295400417x_{Competencia} - 7152.869605x_{domingo} \\ & + 24727.97743x_{lunes} + 16554.66143x_{martes} + 15731.84525x_{miércoles} \\ & + 14560.11607x_{jueves} + 13776.0548x_{viernes} + \varepsilon \end{aligned}$$

Tabla 44. Ecuación de regresión lineal múltiple construida con los coeficientes β sustituidos.



IV.1.1.4.1 Análisis de los coeficientes previo a la prueba de significancia

Realizando el análisis de los coeficientes β obtenidos de la regresión lineal tenemos las siguientes aseveraciones:

Con respecto al término independiente β_0 conociendo que tiene un signo positivo (+) y que contiene el valor del coeficiente del sábado, tenemos que:

“La afluencia aumenta en promedio 30798.07067 usuarios si el día es sábado y todas las demás variables son 0”.

Con respecto al coeficiente β_1 conociendo que tiene un signo negativo (-) y que multiplica a la variable N, que evidencia la tendencia negativa explicada en temas anteriores, tenemos que:



“La afluencia disminuye en promedio 6.163428975 usuarios por cada día que pasa, manteniendo las demás variables constantes”.

Con respecto al coeficiente β_2 conociendo que tiene un signo positivo (+) y que multiplica a la variable CAMIONES, tenemos que:

“La afluencia aumenta en promedio 295.5046268 usuarios por cada aumento de 1 camión en servicio, manteniendo las demás variables constantes”.

Con respecto al coeficiente β_3 relacionada a los asaltos, se espera que el signo sea negativo, puesto que la variable asaltos lógicamente debe reducir la afluencia. Viendo el resultado del coeficiente conociendo que tiene un signo negativo (-) y que multiplica a la variable Asaltos, tenemos que:

“La afluencia disminuye en promedio 3772.860379 usuarios por un aumento de 1 asalto a cualquiera de las unidades, manteniendo las demás variables constantes”.

Con respecto al coeficiente β_4 relacionado a los accidentes, nuevamente se espera que el signo sea negativo (-), puesto que un accidente es contraproducente para un aumento de la afluencia. Del coeficiente obtenido de la regresión, conociendo que tiene un signo positivo (+) y que multiplica a la variable Accidentes, tenemos que:

“La afluencia aumenta en promedio 338.9645388 usuarios por un aumento de 1 Accidente, manteniendo las demás variables constantes”.



Este resultado no es el esperado, por lo que se deberá hacer un análisis posterior para explicar dicho cambio unitario.

Con respecto al coeficiente β_5 relacionado con la variación en el precio, se espera que tenga un signo negativo, puesto que el aumento que ha tenido el precio del servicio lógicamente causará que muchos usuarios opten por otras alternativas menos costosas. Del coeficiente obtenido de la regresión, conociendo que tiene un signo negativo (-) y que multiplica a la variable Precio, tenemos que:

“La afluencia disminuye en promedio -2887.376865 usuarios por cada aumento de 1 peso en el costo del servicio, manteniendo las demás variables constantes”.

Con respecto al coeficiente β_6 relacionado con la variación de la afluencia de la competencia, se espera que tenga un efecto inverso sobre la variación de la afluencia local, es decir, si incrementa la afluencia de la competencia, la afluencia local disminuye teniendo signo negativo (-). Del coeficiente obtenido de la regresión, conociendo que tiene un signo positivo (+) y que multiplica a la variable Competencia, tenemos que:

“La afluencia aumenta en promedio 0.295400417 usuarios por cada aumento de 1 usuario usando el servicio ofrecido por la competencia, esto manteniendo las demás variables constantes”.

Este resultado no es el esperado, por lo que se debe hacer un análisis posterior para explicar dicho cambio unitario.



Con respecto al coeficiente β_7 conociendo que tiene un signo negativo (-) y que multiplica a la variable domingo, tenemos que:

“La afluencia disminuye en promedio 7152.869605 usuarios si el día es domingo, manteniendo las demás variables constantes”.

Con respecto al coeficiente β_8 conociendo que tiene un signo positivo (+) y que multiplica a la variable lunes, tenemos que:

“La afluencia aumento en promedio 24727.97743 usuarios si el día es lunes, manteniendo las demás variables constantes”.

Con respecto al coeficiente β_9 conociendo que tiene un signo positivo (+) y que multiplica a la variable martes, tenemos que:

“La afluencia aumento en promedio 16554.66143 usuarios si el día es martes, manteniendo las demás variables constantes”.

Con respecto al coeficiente β_{10} conociendo que tiene un signo positivo (+) y que multiplica a la variable miércoles, tenemos que:

“La afluencia aumento en promedio 15731.84525 usuarios si el día es miércoles, manteniendo las demás variables constantes”.



Con respecto al coeficiente β_{11} conociendo que tiene un signo positivo (+) y que multiplica a la variable jueves, tenemos que:

“La afluencia aumento en promedio 14560.11607 usuarios si el día es jueves, manteniendo las demás variables constantes”.

Con respecto al coeficiente β_{12} conociendo que tiene un signo positivo (+) y que multiplica a la variable viernes, tenemos que:

“La afluencia aumento en promedio 13776.0548 usuarios si el día es viernes, manteniendo las demás variables constantes”.



IV.1.1.4.1.1 Prueba de causalidad Granger a variables con coeficientes no esperados

Del análisis de los coeficientes previo a la prueba de significancia se tuvieron dos coeficientes con valores no esperados. El primero es el coeficiente β_4 relacionado a los accidentes, ya que el signo que se esperaba era negativo (-), puesto que, como se explicó anteriormente, un accidente es contraproducente para un aumento de la afluencia. Sin embargo, el resultado que se obtuvo fue: *“La afluencia aumenta en promedio 338.9645388 usuarios por un aumento de 1 Asalto, manteniendo las demás variables constantes”.* Esto nos indicaría que la empresa, si desea aumentar la demanda de su servicio, debe aumentar los accidentes, análisis totalmente espurio.



El segundo valor no esperado es el del coeficiente β_6 relacionado con la variación de la afluencia de la competencia puesto que se espera que tenga un efecto inverso sobre la variación de la afluencia local, es decir, si incrementa la afluencia de la competencia, la afluencia local disminuye teniendo signo negativo (-) sin embargo, el coeficiente obtenido de la regresión, tuvo un signo positivo (+) teniendo como resultado: “La afluencia aumenta en promedio 0.295400417 usuarios por cada aumento de 1 usuario usando el servicio ofrecido por la competencia, esto manteniendo las demás variables constantes”. Esto indicaría que la empresa, si desea aumentar la demanda de su servicio, debe propiciar que su competencia directa aumente su demanda de su servicio, situación que nuevamente cae en espuriedad.

Se necesita, entonces, una prueba estadística que explique dicho comportamiento. Por lo que se usa la prueba de causalidad de Granger a ambas variables. Hasta el momento hemos manejado que la afluencia y está en función de $x_{Accidentes}$ y $x_{Competencia}$ de la siguiente manera:

$$y = f(x_{Accidentes}, x_{Competencia})$$

Ecuación 44. Afluencia en función de $x_{Accidentes}$ y $x_{Competencia}$

Es decir, la flecha de causalidad señala que $x_{Accidentes}$ causa la afluencia y ($x_{Accidentes} \rightarrow y$) y que $x_{Competencia}$ causa la afluencia y ($x_{Competencia} \rightarrow y$), sin embargo, como mencionan Damodar N. Gujarati y Dawn C. Porter en su libro *Econometría*, mencionan acerca de la prueba, en su capítulo 17.14 Causalidad en economía: prueba de causalidad de Granger, que es necesario considerar que la flecha de causalidad puede



cambiar de sentido, siendo y causante de $x_{Accidentes}$ ($y \rightarrow x_{Accidentes}$) y y causante de $x_{Competencia}$ ($y \rightarrow x_{Competencia}$) expresada como:

$$x_{Accidentes}, x_{Competencia} = f(y)$$

Ecuación 45. Cambio de la flecha de causalidad.

Para conocer el sentido de la flecha de causalidad se realiza la prueba de Granger, implicando la estimación de las siguientes regresiones:

Para los accidentes:

$$y_{Afluencia_t} = \sum_{i=1}^n \alpha_i x_{Accidentes_{t-i}} + \sum_{j=1}^n \beta_j y_{Afluencia_{t-j}} + u_{1t}$$

$$x_{Accidentes_t} = \sum_{i=1}^n \lambda_i x_{Accidentes_{t-i}} + \sum_{j=1}^n \delta_j y_{Afluencia_{t-j}} + u_{2t}$$

Ecuación 46. Prueba de Granger para Accidentes.

Para la competencia:

$$y_{Afluencia_t} = \sum_{i=1}^n \alpha_i x_{Competencia_{t-i}} + \sum_{j=1}^n \beta_j y_{Afluencia_{t-j}} + u_{1t}$$

$$x_{Competencia_t} = \sum_{i=1}^n \lambda_i x_{Competencia_{t-i}} + \sum_{j=1}^n \beta_j y_{Afluencia_{t-j}} + u_{2t}$$

Ecuación 47. Prueba de Granger para Competencia.

El método de Granger propone realizar la regresión sobre los términos de $y_{afluencia}$ y otras variables, en su caso, pero no incluir las variables $x_{Accidentes}$ ni $x_{Competencia}$ y del resultado obtener la suma de cuadrados residuales restringida SCR_R . Posteriormente,



realizar la regresión, pero solamente con los términos rezagados $x_{Accidentes}$ y $x_{Competencia}$ y obtener la suma de cuadrados residuales no restringida SCR_{NR} .

La prueba de hipótesis es la siguiente:

$$H_0: \alpha_i = 0, i = 1, 2, \dots, n.$$

Esto quiere decir que los términos $x_{Accidentes}$ y $x_{Competencia}$ no pertenecen a la regresión.

Para probar la hipótesis se usa la prueba F:

$$F = \frac{\frac{SCR_R - SCR_{NR}}{m}}{\frac{SCR_{NR}}{n - k}}$$

Ecuación 48. Prueba F de Fisher

Siendo $m = 2$ términos rezagados y $k = 10$ número de parámetros estimados en la regresión no restringida.

Usando el software *EViews* que tiene integrada la opción *Granger Causality* ingresando los datos de Accidentes y Competencia además de la Afluencia de la siguiente

manera:

The screenshot shows the EViews software interface. The main window displays a data entry grid with the following data:

	AFLUENCIA	ACCIDENTES	COMPETEN...
1	11503	1.8937	9899
2	46111	5.7396	28642
3	51951	6.7353	29748
4	51283	5.6811	24846
5	55393	6.0469	13885
6	50780	5.653	28729
7	37444	3.25	23944
8	24590	1.8937	27090
9	59312	5.7396	31027
10	60334	6.7353	12296
11	61173	5.6811	29252
12	61281	6.0469	32467
13	60239	5.653	28220
14	40805	3.25	24158
15	22474	1.8937	15286
16	62588	5.7396	26706
17	62000	6.7353	27000
18	62000	6.7353	27000

Ilustración 41. Ingreso de datos de Afluencia, Accidentes y Competencia a EViews.



Seleccionando la opción *view > Granger Causality*:

Pairwise Granger Causality Tests
Date: 10/11/20 Time: 22:33
Sample: 1 788
Lags: 2

Null Hypothesis:	Obs	F-Statistic	Prob.
ACCIDENTES does not Granger Cause AFLUENCIA	786	38.6211	1.E-16
AFLUENCIA does not Granger Cause ACCIDENTES		97.4577	2.E-38
COMPETENCIA does not Granger Cause AFLUENCIA	786	4.55843	0.0108
AFLUENCIA does not Granger Cause COMPETENCIA		16.5834	9.E-08
COMPETENCIA does not Granger Cause ACCIDENTES	786	57.9037	4.E-24
ACCIDENTES does not Granger Cause COMPETENCIA		35.3460	2.E-15

Path = c:\users\heber.gonzalez\documents DB = none WF = untitled

Ilustración 42. Resultados de EViews de la prueba de Granger.

El mismo software dicta la sentencia de resultados, indicando que tanto los Accidentes como la Competencia no pueden ser causados por la afluencia. Esto es un problema, puesto que ambas variables seguirán sin tener alguna explicación estadística comprobable, sin embargo, se pueden realizar suposiciones y mediante la toma de datos continua se podrán comprobar dichas suposiciones.



IV.1.1.4.2 Prueba de significancia

La significancia estadística pone en evidencia si los efectos de una variable explicativa sobre la variable explicada son debido a eventos fortuitos o no. La causa es improbable que se deba al azar si el efecto es significativo.



William W. Hines y Douglas C. Montgomery, en su libro *Probabilidad y estadística para ingeniería y administración*, en su tema 15-5 *Prueba de hipótesis en la regresión lineal múltiple* menciona:

“En problemas de regresión lineal múltiple, ciertos tipos de hipótesis respecto a los parámetros del modelo son útiles al medir la suficiencia del modelo. En esta sección, describimos varios procedimientos importantes de prueba de hipótesis”.

También describen en su capítulo 15-5.1 *Prueba de significación de regresión* que:

La prueba de significación de regresión es para determinar si hay una relación lineal entre la variable dependiente y y un subconjunto de las variables independientes x_1, x_2, \dots, x_k .

Las hipótesis apropiadas son:

$$H_0: \beta_1 = \beta_2 = \dots = \beta_k = 0$$

$$H_1 = \beta_j \neq 0 \text{ for at least one } j$$

El rechazo de $H_0: \beta_j = 0$ implica que al menos una de las variables independientes x_1, x_2, \dots, x_k contribuye significativamente al modelo.

Para esta tesis se realizará la prueba de hipótesis usando un valor resultado de la regresión: p_valor y usando también el coeficiente $\alpha = 0.05$ del nivel de confianza. Si $\alpha > p_valor$, entonces se rechaza la H_0 y la variable contribuye significativamente al modelo. Por el contrario, Si $\alpha < p_valor$, entonces se acepta la H_0 y la variable no contribuye significativamente al modelo y se recomienda retirarla del modelo.



Tomando el p -valor de la tabla de resultados de la regresión:

	<i>Coefficientes</i>	<i>Error típico</i>	<i>Estadístico t</i>	<i>Probabilidad</i>	<i>Inferior 95%</i>	<i>Superior 95%</i>	<i>Inferior 95.0%</i>	<i>Superior 95.0%</i>
Intercepción	30798.07067	4097.137	7.51697358	1.55053E-13	22755.2691	38840.87224	22755.26909	38840.87224
N	-6.163428975	1.8116216	-3.4021614	0.000702841	-9.71969587	-2.607162082	-9.719695868	-2.607162082
CAMIONES	295.5046268	31.532621	9.37139446	7.64267E-20	233.605156	357.4040972	233.6051564	357.4040972
ASALTOS	-3772.860379	2997.386	-1.2587169	0.208511639	-9656.81811	2111.097351	-9656.818108	2111.097351
ACCIDENTES	338.9645388	215.84906	1.57037768	0.116735433	-84.7535654	762.682643	-84.75356544	762.682643
PRECIO	-2887.376865	527.34676	-5.4752908	5.90418E-08	-3922.57422	-1852.179512	-3922.574218	-1852.179512
COMPETENCIA	0.295400417	0.0366032	8.07034183	2.66733E-15	0.22354723	0.367253604	0.223547229	0.367253604
domingo	-7152.869605	972.61222	-7.3542872	4.89106E-13	-9062.13627	-5243.602942	-9062.136269	-5243.602942
lunes	24727.97743	1564.0107	15.8106189	5.18499E-49	21657.778	27798.1769	21657.77796	27798.1769
martes	16554.66143	995.31192	16.6326365	2.37544E-53	14600.8346	18508.48828	14600.83458	18508.48828
miércoles	15731.84525	975.80887	16.121851	1.21487E-50	13816.3035	17647.38703	13816.30347	17647.38703
jueves	14560.11607	976.08842	14.9168003	2.01754E-44	12644.0255	16476.20662	12644.02552	16476.20662
viernes	13776.0548	914.55541	15.0631166	3.65716E-45	11980.7554	15571.35422	11980.75538	15571.35422

Tabla 45. De la tabla resultado de regresión se toma la columna Probabilidad.

Para la variable **N**, el p -valor = 0.000702841. Como $0.000702841 < 0.05$ se rechaza la H_0 y la variable x_N contribuye significativamente al modelo.

Para la variable **CAMIONES**, el p -valor = 1.55053×10^{-13} . Como $1.55053 \times 10^{-13} < 0.05$ se rechaza la H_0 y la variable $x_{Camiones}$ contribuye significativamente al modelo.

Para la variable **ASALTOS**, el p -valor = 0.208511639. Como $0.208511639 > 0.05$ se acepta la H_0 y la variable $x_{Asaltos}$ no contribuye significativamente al modelo, por lo que se quita esta variable del modelo.

Para la variable **ACCIDENTES**, el p -valor = 0.116735433. Como $0.116735433 > 0.05$ se acepta la H_0 y la variable $x_{Accidentes}$ no contribuye significativamente al modelo, por lo que se quita esta variable del modelo.

Para la variable **PRECIO**, el p -valor = 5.90418×10^{-08} . Como $5.90418 \times 10^{-08} < 0.05$ se rechaza la H_0 y la variable x_{Precio} contribuye significativamente al modelo.



Para la variable **COMPETENCIA**, el $p_valor = 2.66733 \times 10^{-15}$. Como $2.66733 \times 10^{-15} < 0.05$ se rechaza la H_0 y la variable $x_{Competencia}$ contribuye significativamente al modelo.

Para la variable **domingo**, el $p_valor = 4.89106 \times 10^{-13}$. Como $4.89106 \times 10^{-13} < 0.05$ se rechaza la H_0 y la variable $x_{domingo}$ contribuye significativamente al modelo.

Para la variable **lunes**, el $p_valor = 5.18499 \times 10^{-49}$. Como $5.18499 \times 10^{-49} < 0.05$ se rechaza la H_0 y la variable x_{lunes} contribuye significativamente al modelo.

Para la variable **martes**, el $p_valor = 2.37544 \times 10^{-53}$. Como $2.37544 \times 10^{-53} < 0.05$ se rechaza la H_0 y la variable x_{martes} contribuye significativamente al modelo.

Para la variable **miércoles**, el $p_valor = 1.21487 \times 10^{-50}$. Como $1.21487 \times 10^{-50} < 0.05$ se rechaza la H_0 y la variable $x_{miércoles}$ contribuye significativamente al modelo.

Para la variable **jueves**, el $p_valor = 2.01754 \times 10^{-44}$. Como $2.01754 \times 10^{-44} < 0.05$ se rechaza la H_0 y la variable x_{jueves} contribuye significativamente al modelo.

Para la variable **viernes**, el $p_valor = 3.65716 \times 10^{-45}$. Como $3.65716 \times 10^{-45} < 0.05$ se rechaza la H_0 y la variable $x_{viernes}$ contribuye significativamente al modelo.

Con respecto a la variable **sábado**, cuyo valor es contenido por el coeficiente β_0 , como su $p_valor = 1.55053 \times 10^{-13}$ y es < 0.05 , la H_0 es rechazada y la variable $x_{sábado}$ contribuye significativamente al modelo.

Reconstruyendo el modelo de regresión lineal múltiple tomando en cuenta solamente las variables estadísticamente significativas, el modelo queda de la siguiente manera:



$$y_{Afluencia} = \beta_0 + \beta_1 x_N + \beta_2 x_{Camiones} + \beta_3 x_{Precio} + \beta_4 x_{Competencia} + \beta_5 x_{domingo} + \beta_6 x_{lunes} + \beta_7 x_{martes} + \beta_8 x_{miércoles} + \beta_9 x_{jueves} + \beta_{10} x_{viernes} + \varepsilon$$

Ecuación 49. Ecuación de regresión lineal con variables significativas.

Se eliminan las variables $x_{Asaltos}$ y $x_{Accidentes}$ debido a que no son estadísticamente significativas y se reasignan los coeficientes β .

IV.1.1.5 Solución al Modelo de regresión lineal múltiple con variables significativas



IV.1.1.5.1 Análisis de los coeficientes posterior a la prueba de significancia

Con el modelo de regresión lineal múltiple actualizado se realiza nuevamente el cálculo de los coeficientes β usando **análisis de datos de Excel**:

$$y_{Afluencia} = \beta_0 + \beta_1 x_N + \beta_2 x_{Camiones} + \beta_3 x_{Precio} + \beta_4 x_{Competencia} + \beta_5 x_{domingo} + \beta_6 x_{lunes} + \beta_7 x_{martes} + \beta_8 x_{miércoles} + \beta_9 x_{jueves} + \beta_{10} x_{viernes} + \varepsilon$$

Ecuación 50. Ecuación de regresión lineal con variables significativas.

Los resultados de la regresión y los valores de los coeficientes son:

	Coeficientes	Error típico	Estadístico t	Probabilidad	Inferior 95%	Superior 95%	Inferior 95.0%	Superior 95.0%
Intercepción	29276.77898	3735.941053	7.83652059	1.5238E-14	21943.04532	36610.51264	21943.04532	36610.51264
N	-7.912361928	1.362134761	-5.808795247	9.17414E-09	-10.5862621	-5.238461723	-10.58626213	-5.238461723
CAMIONES	300.775675	31.47321061	9.55656157	1.55218E-20	238.9930771	362.558273	238.9930771	362.558273
PRECIO	-2597.144171	505.4677767	-5.13810037	3.51315E-07	-3589.38843	-1604.899915	-3589.388426	-1604.899915
COMPETENCIA	0.293393031	0.036638305	8.007822095	4.25791E-15	0.22147124	0.365314822	0.22147124	0.365314822
domingo	-7530.334738	956.7613931	-7.87065071	1.1841E-14	-9408.47819	-5652.191284	-9408.478192	-5652.191284
lunes	25995.30997	1448.162726	17.95054486	1.54381E-60	23152.535	28838.08495	23152.535	28838.08495
martes	17841.45097	790.3341897	22.57456555	3.67411E-87	16290.00774	19392.8942	16290.00774	19392.8942



miércoles	16934.75353	788.3719605	21.48066444	1.04605E-80	15387.1622	18482.34486	15387.1622	18482.34486
jueves	15777.95593	791.4097669	19.9365191	9.69398E-72	14224.40132	17331.51054	14224.40132	17331.51054
viernes	14750.46379	792.5982672	18.610265	3.27727E-64	13194.57613	16306.35145	13194.57613	16306.35145

Tabla 46. Coeficientes resultantes de la regresión lineal múltiple con variables significativas.

Como se observa en la columna **Probabilidad**, todas las variables son **menores** al valor $\alpha = 0.05$ por lo que todas son significativas para el modelo e impactan en la variable dependiente y . De la tabla de resultados se toman los coeficientes y se agregan al modelo, quedando de la siguiente manera:

$$\begin{aligned}
 y_{Afluencia} = & 29276.77898 - 7.912361928x_N + 300.775675x_{Camiones} \\
 & - 2597.144171x_{Precio} + 0.293393031x_{Competencia} \\
 & + -7530.334738x_{domingo} + 25995.30997x_{lunes} + 17841.45097x_{martes} \\
 & + 16934.75353x_{miércoles} + 15777.95593x_{jueves} + 14750.46379x_{viernes} \\
 & + \varepsilon
 \end{aligned}$$

Ecuación 51. Valores de los coeficientes β en la ecuación de regresión lineal múltiple con variables significativas.

Con respecto al término independiente β_0 conociendo que tiene un signo positivo (+) y que contiene el valor del coeficiente del sábado, tenemos que:

“La afluencia aumenta en promedio 29276.77898 usuarios si el día es sábado y todas las demás variables son 0”.

Con respecto al coeficiente β_1 conociendo que tiene un signo negativo (-) y que multiplica a la variable N , que evidencia la tendencia negativa explicada en temas anteriores, tenemos que:

“La afluencia disminuye en promedio -7.912361928 usuarios por cada día que pasa, manteniendo las demás variables constantes”.



Con respecto al coeficiente β_2 conociendo que tiene un signo positivo (+) y que multiplica a la variable CAMIONES, tenemos que:

“La afluencia aumenta en promedio 300.775675 usuarios por cada aumento de 1 camión en servicio, manteniendo las demás variables constantes”.

Con respecto al coeficiente β_3 relacionado con la variación en el precio. Del coeficiente obtenido de la regresión, conociendo que tiene un signo negativo (-) y que multiplica a la variable Precio, tenemos que:

“La afluencia disminuye en promedio -2597.144171 usuarios por cada aumento de 1 peso en el costo del servicio, manteniendo las demás variables constantes”.

Con respecto al coeficiente β_4 relacionado con la variación de la afluencia de la competencia. Del coeficiente obtenido de la regresión, conociendo que tiene un signo positivo (+) y que multiplica a la variable Competencia, tenemos que:

“La afluencia aumenta en promedio 0.293393031 usuarios por cada aumento de 1 usuario usando el servicio ofrecido por la competencia, esto manteniendo las demás variables constantes”.

Con respecto al coeficiente β_5 conociendo que tiene un signo negativo (-) y que multiplica a la variable domingo, tenemos que:



“La afluencia disminuye en promedio 7530.334738 usuarios si el día es domingo, manteniendo las demás variables constantes”.

Con respecto al coeficiente β_6 conociendo que tiene un signo positivo (+) y que multiplica a la variable lunes, tenemos que:

“La afluencia aumento en promedio 25995.30997 usuarios si el día es lunes, manteniendo las demás variables constantes”.

Con respecto al coeficiente β_7 conociendo que tiene un signo positivo (+) y que multiplica a la variable martes, tenemos que:

“La afluencia aumento en promedio 17841.45097 usuarios si el día es martes, manteniendo las demás variables constantes”.

Con respecto al coeficiente β_8 conociendo que tiene un signo positivo (+) y que multiplica a la variable miércoles, tenemos que:

“La afluencia aumento en promedio 16934.75353 usuarios si el día es miércoles, manteniendo las demás variables constantes”.



Con respecto al coeficiente β_9 conociendo que tiene un signo positivo (+) y que multiplica a la variable jueves, tenemos que:

“La afluencia aumento en promedio 15777.95593 usuarios si el día es jueves, manteniendo las demás variables constantes”.

Con respecto al coeficiente β_{10} conociendo que tiene un signo positivo (+) y que multiplica a la variable viernes, tenemos que:

“La afluencia aumento en promedio 14750.46379 usuarios si el día es viernes, manteniendo las demás variables constantes”.



IV.1.1.5.2 Análisis de las estadísticas de la regresión

Otros valores que arroja la regresión son las estadísticas de la Regresión:

<i>Estadísticas de la regresión</i>	
Coeficiente de correlación múltiple	0.902579362
Coeficiente de determinación R^2	0.814649504
R^2 ajustado	0.812264041
Error típico	5862.226375
Observaciones	788

Tabla 47. Estadísticas de la regresión lineal múltiple con variables significativas.

Para este trabajo se toma en cuenta el valor del Coeficiente de determinación ajustado R^2 ajustado que indica, en resumen, qué tan bueno es el modelo construido. A diferencia del Coeficiente de Determinación no ajustado, la R^2 ajustado sí es confiable puesto que



demuestra la variación de la $y_{Afluencia}$ por las variables explicativas. El valor de R^2 ajustado fue 0.812264041, lo que nos indica que de todas las variables posibles y existentes que pueden explicar la variación en $y_{Afluencia}$, el modelo contiene el 81.22% del total de todas las variables. Solamente 18.77% de las variables explicativas no se contemplan en el modelo y su valor lo toma el término de error del modelo. Por lo que se concluye que el modelo contiene una muy buena cantidad de variables explicando el comportamiento de la afluencia.

El valor de 81.22% considera solamente a las variables x_N , $x_{Camiones}$, x_{Precio} , $x_{Competencia}$, $x_{domingo}$, x_{lunes} , x_{martes} , $x_{miércoles}$, x_{jueves} y $x_{viernes}$. Si se hubiera considerado también a $x_{Accidentes}$ y $x_{Asaltos}$ el R^2 ajustado aumenta muy poco llegando a un 81.28% aumento que nos es importante considerando que ambas variables no son significativas.



CAPÍTULO V: PREPARÁNDOSE PARA EL FUTURO



V.1 Control de los factores críticos de la serie de tiempo y sus pronósticos

En este último capítulo se definirán los controles adecuados con base en los análisis y resultados obtenidos en los capítulos anteriores. En palabras de *Peter F. Drucker*, el mayor filósofo de la administración del siglo pasado: “*Lo que no se mide, no se controla, y lo que no se controla, no se puede mejorar*”, es decir, el punto medular entre la medición y la mejora se encuentra en el control de las variables. En los capítulos pasados se presentaron varios análisis que arrojaron valores determinantes para la toma de decisiones. Para este capítulo se entenderá como **factor crítico** a todo aquel elemento, característica o valor que sea determinante en el aumento o disminución de la afluencia y que pueda ser atendido o controlado mediante planes, acciones o decisiones a nivel gerencial, tomando en cuenta factores como la optimización de tiempos, costos y recursos, buscando satisfacer las VOC planteadas anteriormente.

El control de los valores, elementos o factores críticos es indispensable para lograr mejoras significativas. Las mejoras serán elaboradas con supuestos creados, por lo que, para visualizar la efectividad real, se debe realizar una colecta de datos de la afluencia posterior a las medidas (mejoras) efectuadas.



V.1.1 Control de elementos críticos de la serie de tiempo



V.1.1.1 Control de los máximos y mínimos



V.1.1.1.1 Control de los máximos anuales y mensuales

En el capítulo II de esta tesis se analizó minuciosamente la serie de tiempo $y_{Afluencia}$ también conocida como D_t , midiendo sus características como tamaño, patrones, irregularidades, distribución, entre otras, permitiendo tener suficiente información para actuar a nivel gerencial. El análisis del capítulo II abarcó los datos de la serie desde el jueves 1 de enero de 2015 al miércoles 27 de febrero de 2019 siendo un total de 1519 datos involucrados. Dentro de esos análisis se obtuvo la *Tabla 15. Valores máximos, medias y mínimos anuales*.

2015	2016	2017	2018	2019	PROMEDIOS
Media Anual 2015 58971	Media Anual 2016 54251	Media Anual 2017 47967	Media Anual 2018 44714	Media Anual 2019 42478	Media Total 49676
Máximo Anual 2015 77311	Máximo Anual 2016 80280	Máximo Anual 2017 68551	Máximo Anual 2018 59522	Máximo Anual 2019 54184	Promedio Máximo Total 67969
Mínimo Anual 2015 14727	Mínimo Anual 2016 9661	Mínimo Anual 2017 5515	Mínimo Anual 2018 10219.5	Mínimo Anual 2019 10307	Promedio Mínimo Total 10086

De esta tabla se comprenden los valores de medias, máximos y mínimos anuales. El máximo valor obtenido durante el año 2015 fue el siguiente:

Dato	Fecha	Afluencia
250	lunes, 7 de septiembre de 2015	77311

El máximo valor obtenido del año 2016 fue el siguiente:



Dato	Fecha	Afluencia
469	miércoles, 13 de abril de 2016	80280

El máximo valor obtenido del año 2017 fue el siguiente:

Dato	Fecha	Afluencia
769	martes, 7 de febrero de 2017	68551

El máximo valor obtenido del año 2018 fue el siguiente:

Dato	Fecha	Afluencia
1175	martes, 20 de marzo de 2018	59522

El máximo valor obtenido del año 2019 fue el siguiente:

Dato	Fecha	Afluencia
1497	martes, 5 de febrero de 2019	54184

El valor máximo anual obtenido se presentó el miércoles de la segunda semana de abril del 2016, superando al valor máximo anual obtenido un año antes en lunes de la segunda semana de septiembre, sin embargo, a partir del año 2016 al 2017 los máximos decrecen 11729 usuarios. Del 2017 al 2018 decrece 9029 usuarios y del 2018 al 2019 decrece 5338, siendo este último decremento contando casi los primeros dos meses del año 2019. Lo más probable es que los máximos sigan disminuyendo a futuro y no se alcance un valor como el obtenido en 2018.

El hecho de que la mayoría de los valores máximos haya caído en martes, seguido de lunes y miércoles es que la variación del componente estacional diario aumenta de domingo al lunes 67.15% y de lunes a martes 2.73%. Sin embargo, el hecho de que el máximo valor anual registrado hasta el momento sea en miércoles puede tomarse como un dato inusual, puesto que la variación de martes a miércoles decrece -1.03%.



Acomodando la serie de tiempo por la columna Afluencia de mayor a menor los primeros 50 valores los datos son los siguientes:

Dato	Fecha	Afluencia mayor a menor
469	miércoles, 13 de abril de 2016	80280
464	viernes, 8 de abril de 2016	79225
468	martes, 12 de abril de 2016	79170
467	lunes, 11 de abril de 2016	79045
470	jueves, 14 de abril de 2016	78191
463	jueves, 7 de abril de 2016	78104
250	lunes, 7 de septiembre de 2015	77311
471	viernes, 15 de abril de 2016	76686
26	lunes, 26 de enero de 2015	76443
117	lunes, 27 de abril de 2015	76256
110	lunes, 20 de abril de 2015	76139
490	miércoles, 4 de mayo de 2016	76071
34	martes, 3 de febrero de 2015	75709
489	martes, 3 de mayo de 2016	75439
222	lunes, 10 de agosto de 2015	75326
68	lunes, 9 de marzo de 2015	75286
103	lunes, 13 de abril de 2015	75162
27	martes, 27 de enero de 2015	74882
54	lunes, 23 de febrero de 2015	74876
76	martes, 17 de marzo de 2015	74548
19	lunes, 19 de enero de 2015	74484
82	lunes, 23 de marzo de 2015	74462
61	lunes, 2 de marzo de 2015	74459
41	martes, 10 de febrero de 2015	74343
518	miércoles, 1 de junio de 2016	74163
56	miércoles, 25 de febrero de 2015	74128
243	lunes, 31 de agosto de 2015	74108
264	lunes, 21 de septiembre de 2015	74098
112	miércoles, 22 de abril de 2015	74097
85	jueves, 26 de marzo de 2015	74023
166	lunes, 15 de junio de 2015	73985
20	martes, 20 de enero de 2015	73973
49	miércoles, 18 de febrero de 2015	73960



126	miércoles, 6 de mayo de 2015	73956
152	lunes, 1 de junio de 2015	73861
111	martes, 21 de abril de 2015	73812
21	miércoles, 21 de enero de 2015	73793
47	lunes, 16 de febrero de 2015	73697
138	lunes, 18 de mayo de 2015	73695
35	miércoles, 4 de febrero de 2015	73616
104	martes, 14 de abril de 2015	73605
266	miércoles, 23 de septiembre de 2015	73548
230	martes, 18 de agosto de 2015	73520
63	miércoles, 4 de marzo de 2015	73490
44	viernes, 13 de febrero de 2015	73392
40	lunes, 9 de febrero de 2015	73327
57	jueves, 26 de febrero de 2015	73326
118	martes, 28 de abril de 2015	73321
145	lunes, 25 de mayo de 2015	73262
253	jueves, 10 de septiembre de 2015	73259

Tabla 48. Primeros 50 valores máximos de la serie de tiempo Afluencia.

De esta tabla obtenida se acomodan la cantidad de valores por año de la siguiente manera:

Año	Cantidad mayor a menor
2015	40
2016	10
2017	0
2018	0
2019	0

Tabla 49. Número de máximos obtenidos por año del muestreo de los primeros 50 datos.

Como se observa en la tabla, de los primeros 50 valores máximos, 40 de ellos fueron en el año 2015 y 10 en el año 2016. Esto puede deberse al ínfimo tamaño de muestra que no es muy grande por lo que se toma una muestra más grande de los primeros 100 valores máximos obteniendo la siguiente tabla:

Año	Cantidad mayor a menor
2015	89



2016	11
2017	0
2018	0
2019	0

Tabla 50. Número de máximos obtenidos por año del muestreo de los primeros 100 datos

Nuevamente se vuelve a presentar un total dominio de los valores máximos por el año 2015, seguido del 2016, siendo muy similar a la muestra de tamaño 50. Esto se debe al cambio estructural presente en la serie. Por lo que el cambio estructural debido a algún factor externo puntual o simultáneo impactó en los valores de la Afluencia significativamente, tanto que a partir del año 2017 el valor más alto de ese año siendo el martes 7 de febrero de 2017 con un valor de 68,551 [usuarios] no logró repuntar a los valores más altos de los años 2015 y 2016 de 77311 y 80280 usuarios respectivamente.

Esto hace pensar que para lo que resta del año 2019, conociendo este comportamiento negativo sobre el repunte de valores máximos, no se llegará a un valor máximo igual que los años anteriores. A pesar de que hubo un repunte del valor máximo en el año 2016 teniendo un valor máximo de 80,280 [usuarios] con respecto al año 2015 que alcanzó un valor máximo de 77,311 [usuarios], a partir del año 2016 a febrero del año 2019 el máximo ha ido en decremento, reduciendo en promedio 8,698 [usuarios] lo que nos indica que para este año el valor máximo con respecto a los años anteriores oscilará entre los siguientes valores:

Año	Cantidad
2020	45486
2021	36788
2022	28090
2023	19392
2024	10694
2025	1996
2026	-6702
2027	-15400
2028	-24098



2029	-32796
2030	-41494

Tabla 51. Valores máximos de años futuros.

Como se observa en la tabla, para el año 2025 el valor máximo será de 1996 con la información tenida hasta el momento, contando el año 2019 y además contando solamente los meses en los que el decremento se ha hecho presente (del 2016-2019) este análisis se considera como **escenario pesimista** en el que para el año 2016 ya no habrá máximos positivos y la afluencia no existirá.

Sin embargo, el año 2019 no está finalizado, por lo que, tomando el promedio de los años con información de afluencia completa anual, la variación del máximo de los años 2015, 2016, 2017 y 2018, es:

Año	Variación
2015-2016	2969
2016-2017	-11729
2017-2018	-9029

Tabla 52. Variación de los máximos por año.

En promedio la variación es -5,929.667 [usuarios] anual o -5,930 [usuarios]. Por lo que un **escenario conservador** sería el siguiente considerando el último valor máximo anual registrado:

Año	Cantidad
2018	59522
2019	53592
2020	47662
2021	41732
2022	35802
2023	29872
2024	23942
2025	18012
2026	12082
2027	6152
2028	222



2029	-5708
2030	-11638
2031	-17568
2032	-23498

Tabla 53. Valores máximos futuros en un escenario conservador.

Este escenario es totalmente desagradable nuevamente, por lo que para el año 2029, tomando en cuenta solo el último dato máximo del año anterior y la variación promedio total el valor máximo será negativo con -5,708 [usuarios].

Por último, en un **escenario optimista** tomando en cuenta el promedio de los valores máximos anuales de los años 2015, 2016, 2017 y 2018 y a este valor restarle el promedio de la variación anual de los años 2015-2016, 2016-2017 y 2017-2018 con un valor de -5,930 [usuarios], se tiene que:

Año	Cantidad
Promedio valores máximos de 2015-2018	71416
2019	65486
2020	59556
2021	53626
2022	47696
2023	41766
2024	35836
2025	29906
2026	23976
2027	18046
2028	12116
2029	6186
2030	256
2031	-5674
2032	-11604

Tabla 54. Valores máximos futuros en un escenario optimista.

Este escenario tomando en cuenta solo los valores máximos y su variación anual aun en los escenarios pesimistas nos arroja un futuro carente de buenos resultados teniendo como máximo posible para el año 2031 valores negativos, para el año 2019 y los futuros la



recomendación es no buscar lograr máximos en ciertas fechas puntuales del calendario, sino lograr una consistencia diaria de los datos y reducir la variabilidad diaria.

Para conocer específicamente el día y el mes en el que se presentan con mayor frecuencia los máximos se acomodan por mes y día los máximos obtenidos de la muestra de 50 valores:

Mes	Cantidad
Enero	5
Febrero	10
Marzo	6
Abril	14
Mayo	5
Junio	3
Julio	0
Agosto	3
Septiembre	4
Octubre	0
Noviembre	0
Diciembre	0

Tabla 55. 50 valores máximos acomodados mensualmente.

Día	Cantidad
Domingo	45
Lunes	2
Martes	0
Miércoles	0
Jueves	0
Viernes	1
Sábado	2

Tabla 56. 50 valores máximos acomodados por día de la semana.

De esto puede concluir que la mayor cantidad de valores máximos se encuentran en el mes de abril, seguido el mes de enero, y de esos lo más probable es que los domingos



cuenten con ese valor máximo, por lo que atender este mes y en general todos los domingos con los recursos y servicios óptimos es indispensable. Analizando Abril:

Fecha
lunes, 13 de abril de 2015
martes, 14 de abril de 2015
lunes, 20 de abril de 2015
martes, 21 de abril de 2015
miércoles, 22 de abril de 2015
lunes, 27 de abril de 2015
martes, 28 de abril de 2015
jueves, 7 de abril de 2016
viernes, 8 de abril de 2016
lunes, 11 de abril de 2016
martes, 12 de abril de 2016
miércoles, 13 de abril de 2016
jueves, 14 de abril de 2016
viernes, 15 de abril de 2016

Tabla 57. Valores máximos filtrados por el mes de abril, estas fechas se obtienen de la muestra de 50 valores máximos.

Se observa que en el 2015 y 2016 la segunda y tercera semana de abril obtuvieron los más altos registros de afluencia. Exceptuando los jueves (en el 2015), sábado y domingo, los demás días son importantes para los máximos de la demanda.



V.1.1.1.2 Control de los mínimos anuales y mensuales

Del ANEXO I se conoce que:

El valor mínimo del 2015 fue:

Dato	Fecha	Afluencia
359	viernes, 25 de diciembre de 2015	14727



El valor mínimo del 2016 fue:

Dato	Fecha	Afluencia
424	domingo, 28 de febrero de 2016	9661

El valor mínimo del 2017 fue:

Dato	Fecha	Afluencia
1027	lunes, 23 de octubre de 2017	5515

El valor mínimo del 2018 fue:

Dato	Fecha	Afluencia
1097	lunes, 1 de enero de 2018	10220

El valor mínimo del 2019 hasta 28 de febrero fue:

Dato	Fecha	Afluencia
1462	martes, 1 de enero de 2019	10307

El promedio de estos mínimos también se indica en la *Tabla 15* con un valor de 10,086 usuarios. De la tabla se observa que el valor del mínimo anual cada año disminuye. Del 2015 al 2016 el mínimo disminuyó 5,066 usuarios. Del 2016 al 2017 disminuyó 4146 usuarios. Del 2017 al 2018 aumentó 4,705 usuarios. Del 2018 a lo que va del 2019 aumentó 87 usuarios. Con base en estas variaciones se crea la siguiente tabla:

Año	Mínimo	Año	Variación
2015	14727	2015-2016	-5066
2016	9661	2016-2017	-4146
2017	5515	2017-2018	4705
2018	10220	2018-2019	87
2019	10307	Promedio	-1105

Tabla 58. Variaciones de los valores mínimos por año.



La variación promedio anual fue de -1105 usuarios y se consideró el signo de la variación. Con ese dato a cada año posterior al 2019 se le resta esa variación usando el último dato registrado del año 2019:

Año	Cantidad
Promedio valores máximos de 2015-2018	10307
2019	9202
2020	8097
2021	6992
2022	5887
2023	4782
2024	3677
2025	2572
2026	1467
2027	362
2028	-743
2029	-1848
2030	-2953
2031	-4058
2032	-5163

Tabla 59. Disminución anual de la afluencia promedio.

Con esa disminución se indica que para y a partir del año 2028 el mínimo será negativo.

Acomodando los datos de menor a mayor y tomando los 50 primeros:

Dato	Fecha	Afluencia menor a mayor
1027	lunes, 23 de octubre de 2017	5515
424	domingo, 28 de febrero de 2016	9661
1090	lunes, 25 de diciembre de 2017	10078
1097	lunes, 1 de enero de 2018	10220
1462	martes, 1 de enero de 2019	10307
732	domingo, 1 de enero de 2017	11253
1455	martes, 25 de diciembre de 2018	11490
366	viernes, 1 de enero de 2016	12289



1096	domingo, 31 de diciembre de 2017	14429
359	viernes, 25 de diciembre de 2015	14727
725	domingo, 25 de diciembre de 2016	15556
1089	domingo, 24 de diciembre de 2017	15790
1187	domingo, 1 de abril de 2018	16318
1404	domingo, 4 de noviembre de 2018	17321
1467	domingo, 6 de enero de 2019	17496
1264	domingo, 17 de junio de 2018	17683
1355	domingo, 16 de septiembre de 2018	17883
1460	domingo, 30 de diciembre de 2018	18118
1	jueves, 1 de enero de 2015	18569
1516	domingo, 24 de febrero de 2019	18691
1186	sábado, 31 de marzo de 2018	19229
1185	viernes, 30 de marzo de 2018	19568
1005	domingo, 1 de octubre de 2017	19607
900	domingo, 18 de junio de 2017	19675
1194	domingo, 8 de abril de 2018	19689
935	domingo, 23 de julio de 2017	20030
1124	domingo, 28 de enero de 2018	20045
1180	domingo, 25 de marzo de 2018	20057
1222	domingo, 6 de mayo de 2018	20059
1082	domingo, 17 de diciembre de 2017	20070
1278	domingo, 1 de julio de 2018	20123
928	domingo, 16 de julio de 2017	20254
1208	domingo, 22 de abril de 2018	20272
1285	domingo, 8 de julio de 2018	20406
1215	domingo, 29 de abril de 2018	20478
1313	domingo, 5 de agosto de 2018	20499
1320	domingo, 12 de agosto de 2018	20503
1474	domingo, 13 de enero de 2019	20526
837	domingo, 16 de abril de 2017	20537
998	domingo, 24 de septiembre de 2017	20548
1481	domingo, 20 de enero de 2019	20562
1229	domingo, 13 de mayo de 2018	20572
1496	lunes, 4 de febrero de 2019	20575
1138	domingo, 11 de febrero de 2018	20604
1461	lunes, 31 de diciembre de 2018	20640
1243	domingo, 27 de mayo de 2018	20664
1495	domingo, 3 de febrero de 2019	20709



1488	domingo, 27 de enero de 2019	20794
1509	domingo, 17 de febrero de 2019	20811
1341	domingo, 2 de septiembre de 2018	20821

Tabla 60. Muestra de los 50 datos cercanos al mínimo máximo.

Acercas de los valores mínimos se observa en la *Tabla 61* que, de los 50 valores mínimos ordenados 24 [usuarios] de ellos se encuentran en el año 2018, seguido de 12 [usuarios] en 2017, 9 [usuarios] en lo que va del 2019, 3 en 2016 y 2 [usuarios] en 2015. Esto nos indica que el mejor año, con base en la muestra de 50 datos ordenados, fue 2015, logrando menor cantidad de mínimos, seguido por el 2016 con 3 [usuarios]. Para los años 2017 y 2018 se encontraron la mayor cantidad de mínimos de la muestra, con 12 y 24 valores mínimos.

Año	Cantidad menor a mayor
2015	2
2016	3
2017	12
2018	24
2019	9

Tabla 61. Muestra de los 50 datos más aproximados al mínimo máximo agregados por año.

Especificando los datos y acomodándolos por mes y día se obtienen las siguientes tablas:

Mes	Cantidad
Enero	10
Febrero	6
Marzo	3
Abril	5
Mayo	3
Junio	4
Julio	4
Agosto	2
Septiembre	3
Octubre	2



Noviembre	1
Diciembre	9

Tabla 62. Muestra de los 50 datos más aproximados al mínimo máximo agregados por mes.

Mes	Cantidad
Domingo	38
Lunes	5
Martes	2
Miércoles	0
Jueves	1
Viernes	3
Sábado	1

Tabla 63. Muestra de los 50 datos más aproximados al mínimo agregados por día de la semana.

Se observa que el mes que tuvo la mayor cantidad de mínimos fue enero. Explorando esos datos las fechas son:

Fecha
jueves, 1 de enero de 2015
viernes, 1 de enero de 2016
domingo, 1 de enero de 2017
lunes, 1 de enero de 2018
domingo, 28 de enero de 2018
martes, 1 de enero de 2019
domingo, 6 de enero de 2019
domingo, 13 de enero de 2019
domingo, 20 de enero de 2019
domingo, 27 de enero de 2019

Tabla 64. Fechas con los valores de enero más cercanos al mínimo total.

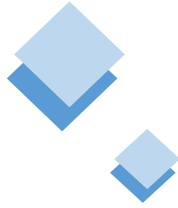
Todos los años el 1 de enero es uno de los valores mínimos por lo que se considera que siga pasando para los siguientes años. A partir de ahí, se observa que **en su mayoría los domingos son los que contienen menor afluencia.**



V.1.2 Control de elementos críticos de los pronósticos

V.1.2.1 Control de los máximos y mínimos pronosticados

V.1.2.1.1 Control de los máximos mensuales



De los pronósticos obtenidos del jueves 28 de febrero de 2019 al martes 31 de diciembre de 2019 se obtiene la siguiente tabla:

2019
Media Anual 2019 43706
Máximo Anual 2019 56519
Mínimo Anual 2019 11495

Tabla 65 Media, máximo y mínimo anual de los pronósticos.

Como se observa en la tabla el máximo anual del año pronosticado es de 56,519 usuarios. Este valor es menor al obtenido en el 2015, 2016, 2017 y 2018. Sin embargo, el mínimo pronosticado es menor mayor que el de los años anteriores. La media anual pronosticada es menor a la de los años anteriores, esto debido a que los pronósticos toman en cuenta la tendencia negativa.

Acomodando los valores de mayor a menor y tomando los máximos más altos de una muestra de 50 datos, se obtiene la siguiente tabla:



(t)	Día	Fecha	Pronóstico	
752	79	miércoles, 20 de marzo de 2019	Pronóstico a periodos Futuros K=21	56519
997	324	miércoles, 20 de noviembre de 2019	Pronóstico a periodos Futuros K=266	56233
933	260	martes, 17 de septiembre de 2019	Pronóstico a periodos Futuros K=202	55917
940	267	martes, 24 de septiembre de 2019	Pronóstico a periodos Futuros K=209	55885
971	298	viernes, 25 de octubre de 2019	Pronóstico a periodos Futuros K=240	55773
899	226	miércoles, 14 de agosto de 2019	Pronóstico a periodos Futuros K=168	55627
955	282	miércoles, 9 de octubre de 2019	Pronóstico a periodos Futuros K=224	55586
949	276	jueves, 3 de octubre de 2019	Pronóstico a periodos Futuros K=218	55533
936	263	viernes, 20 de septiembre de 2019	Pronóstico a periodos Futuros K=205	55410
954	281	martes, 8 de octubre de 2019	Pronóstico a periodos Futuros K=223	55366
969	296	miércoles, 23 de octubre de 2019	Pronóstico a periodos Futuros K=238	55348
943	270	viernes, 27 de septiembre de 2019	Pronóstico a periodos Futuros K=212	55308
926	253	martes, 10 de septiembre de 2019	Pronóstico a periodos Futuros K=195	55254
970	297	jueves, 24 de octubre de 2019	Pronóstico a periodos Futuros K=239	55147
937	264	sábado, 21 de septiembre de 2019	Pronóstico a periodos Futuros K=206	55126
962	289	miércoles, 16 de octubre de 2019	Pronóstico a periodos Futuros K=231	55043
957	284	viernes, 11 de octubre de 2019	Pronóstico a periodos Futuros K=226	55041
984	311	jueves, 7 de noviembre de 2019	Pronóstico a periodos Futuros K=253	54976
948	275	miércoles, 2 de octubre de 2019	Pronóstico a periodos Futuros K=217	54935
892	219	miércoles, 7 de agosto de 2019	Pronóstico a periodos Futuros K=161	54851
934	261	miércoles, 18 de septiembre de 2019	Pronóstico a periodos Futuros K=203	54814
891	218	martes, 6 de agosto de 2019	Pronóstico a periodos Futuros K=160	54807
975	302	martes, 29 de octubre de 2019	Pronóstico a periodos Futuros K=244	54775
990	317	miércoles, 13 de noviembre de 2019	Pronóstico a periodos Futuros K=259	54752
950	277	viernes, 4 de octubre de 2019	Pronóstico a periodos Futuros K=219	54745
964	291	viernes, 18 de octubre de 2019	Pronóstico a periodos Futuros K=233	54680
893	220	jueves, 8 de agosto de 2019	Pronóstico a periodos Futuros K=162	54669
941	268	miércoles, 25 de septiembre de 2019	Pronóstico a periodos Futuros K=210	54623
951	278	sábado, 5 de octubre de 2019	Pronóstico a periodos Futuros K=220	54621
968	295	martes, 22 de octubre de 2019	Pronóstico a periodos Futuros K=237	54565
919	246	martes, 3 de septiembre de 2019	Pronóstico a periodos Futuros K=188	54537
935	262	jueves, 19 de septiembre de 2019	Pronóstico a periodos Futuros K=204	54535
956	283	jueves, 10 de octubre de 2019	Pronóstico a periodos Futuros K=225	54483
898	225	martes, 13 de agosto de 2019	Pronóstico a periodos Futuros K=167	54360
982	309	martes, 5 de noviembre de 2019	Pronóstico a periodos Futuros K=251	54320
912	239	martes, 27 de agosto de 2019	Pronóstico a periodos Futuros K=181	54315
920	247	miércoles, 4 de septiembre de 2019	Pronóstico a periodos Futuros K=189	54283
732	59	jueves, 28 de febrero de 2019	Pronóstico a periodos Futuros K=1	54255
928	255	jueves, 12 de septiembre de 2019	Pronóstico a periodos Futuros K=197	54234
895	222	sábado, 10 de agosto de 2019	Pronóstico a periodos Futuros K=164	54183



963	290	jueves, 17 de octubre de 2019	Pronóstico a periodos Futuros K=232	54154
774	101	jueves, 11 de abril de 2019	Pronóstico a periodos Futuros K=43	54149
901	228	viernes, 16 de agosto de 2019	Pronóstico a periodos Futuros K=170	54147
907	234	jueves, 22 de agosto de 2019	Pronóstico a periodos Futuros K=176	54137
989	316	martes, 12 de noviembre de 2019	Pronóstico a periodos Futuros K=258	54067
944	271	sábado, 28 de septiembre de 2019	Pronóstico a periodos Futuros K=213	54063
942	269	jueves, 26 de septiembre de 2019	Pronóstico a periodos Futuros K=211	54029
914	241	jueves, 29 de agosto de 2019	Pronóstico a periodos Futuros K=183	54012
795	122	jueves, 2 de mayo de 2019	Pronóstico a periodos Futuros K=64	53970
965	292	sábado, 19 de octubre de 2019	Pronóstico a periodos Futuros K=234	53969

Tabla 66. 50 datos más cercanos al máximo valor total de los pronósticos.

De esta tabla se acomoda la cantidad de máximos por mes, obteniendo la siguiente tabla:

Mes	Cantidad
Enero	0
Febrero	1
Marzo	1
Abril	1
Mayo	1
Junio	0
Julio	0
Agosto	10
Septiembre	14
Octubre	17
Noviembre	5
Diciembre	0

Tabla 67. 50 datos más cercanos al máximo valor del total de los pronósticos, agregado por mes.

Octubre tiene la mayor cantidad de máximos de la muestra con $n = 50$, seguido por septiembre y agosto. Realizando un análisis Pareto de los datos:



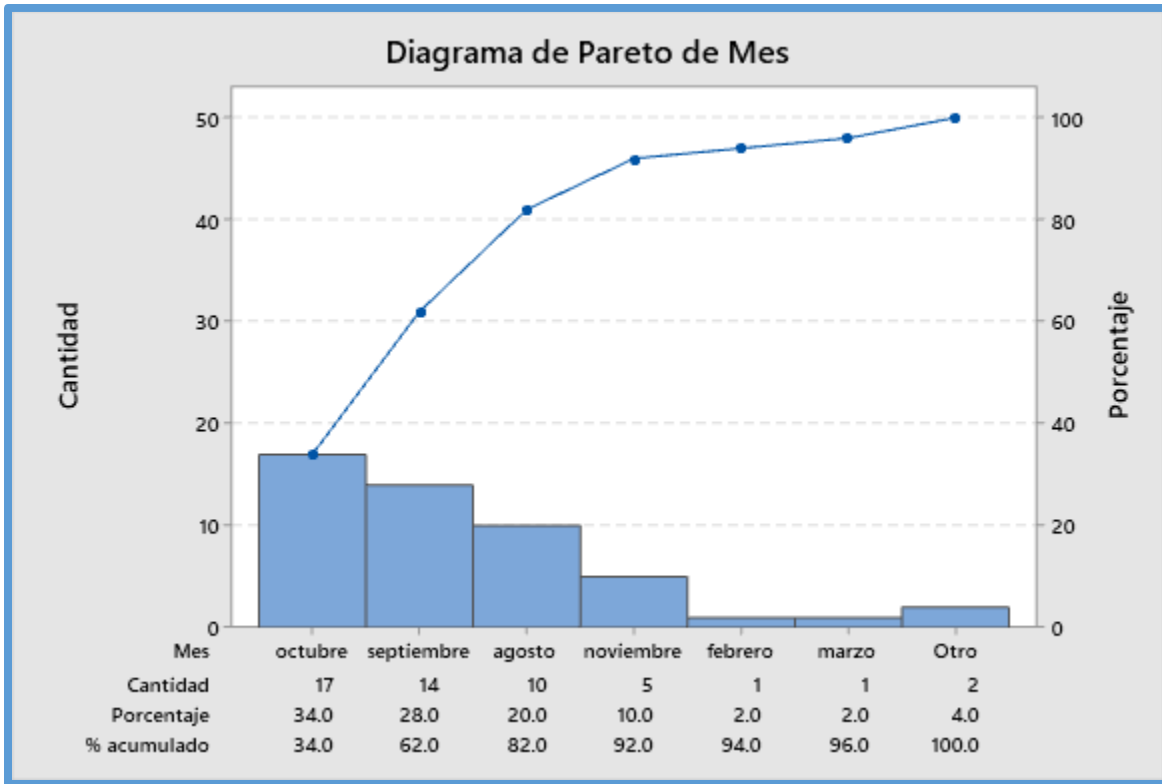


Ilustración 43. Diagrama de Pareto de los meses en el año 2019 que contendrán la mayor cantidad de datos cercanos al máximo valor del total de los pronósticos.

Los valores de la muestra de octubre, septiembre y agosto llegan al 82% del total de valores de la muestra, por lo que es prioritario analizar estos meses puesto que son críticos.

Analizando esos tres meses filtramos sus fechas:

Fecha
martes, 6 de agosto de 2019
miércoles, 7 de agosto de 2019
jueves, 8 de agosto de 2019
sábado, 10 de agosto de 2019
martes, 13 de agosto de 2019
miércoles, 14 de agosto de 2019
viernes, 16 de agosto de 2019
jueves, 22 de agosto de 2019
martes, 27 de agosto de 2019
jueves, 29 de agosto de 2019
martes, 3 de septiembre de 2019
miércoles, 4 de septiembre de 2019



martes, 10 de septiembre de 2019
jueves, 12 de septiembre de 2019
martes, 17 de septiembre de 2019
miércoles, 18 de septiembre de 2019
jueves, 19 de septiembre de 2019
viernes, 20 de septiembre de 2019
sábado, 21 de septiembre de 2019
martes, 24 de septiembre de 2019
miércoles, 25 de septiembre de 2019
jueves, 26 de septiembre de 2019
viernes, 27 de septiembre de 2019
sábado, 28 de septiembre de 2019
miércoles, 2 de octubre de 2019
jueves, 3 de octubre de 2019
viernes, 4 de octubre de 2019
sábado, 5 de octubre de 2019
martes, 8 de octubre de 2019
miércoles, 9 de octubre de 2019
jueves, 10 de octubre de 2019
viernes, 11 de octubre de 2019
miércoles, 16 de octubre de 2019
jueves, 17 de octubre de 2019
viernes, 18 de octubre de 2019
sábado, 19 de octubre de 2019
martes, 22 de octubre de 2019
miércoles, 23 de octubre de 2019
jueves, 24 de octubre de 2019
viernes, 25 de octubre de 2019
martes, 29 de octubre de 2019

Tabla 68. Valores máximos de agosto, septiembre y octubre.

De este filtrado de fechas se observa que ningún domingo y lunes es máximo en los tres meses filtrados. Por lo que a partir del martes y hasta el sábado se recomienda tener unidades suficientes que satisfagan la alta demanda.

Ordenando la cantidad de máximos por el día de la semana se obtiene la siguiente tabla:



Día	Cantidad
domingo	0
lunes	0
martes	12
miércoles	12
jueves	14
viernes	7
sábado	5

Tabla 69. 50 valores máximos agregados por día de la semana.

Se observa que el día que se pronostica que tendrá un mayor número de máximos es el jueves, seguido del martes y el miércoles.



V.1.2.1.2 Control de los mínimos mensuales pronosticado

Nuevamente analizando la siguiente tabla de los pronósticos obtenidos del jueves 28 de febrero de 2019 al martes 31 de diciembre de 2019:

2019
Media Anual 2019 43706
Máximo Anual 2019 56519
Mínimo Anual 2019 11495

Como se mencionó anteriormente el mínimo pronosticado es menor que el de los años anteriores. Realizando un análisis más profundo acerca de los valores mínimos mensuales se



toma una muestra de 50 valores, siendo los mínimos de los pronósticos de afluencia.

Acomodando los valores de menor a mayor se obtiene la siguiente tabla:

(t)	Día	Fecha	Pronóstico
1032	359	miércoles, 25 de diciembre de 2019	Pronóstico a periodos Futuros K=301
764	91	lunes, 1 de abril de 2019	Pronóstico a periodos Futuros K=33
841	168	lunes, 17 de junio de 2019	Pronóstico a periodos Futuros K=110
981	308	lunes, 4 de noviembre de 2019	Pronóstico a periodos Futuros K=250
932	259	lunes, 16 de septiembre de 2019	Pronóstico a periodos Futuros K=201
1037	364	lunes, 30 de diciembre de 2019	Pronóstico a periodos Futuros K=306
763	90	domingo, 31 de marzo de 2019	Pronóstico a periodos Futuros K=32
762	89	sábado, 30 de marzo de 2019	Pronóstico a periodos Futuros K=31
771	98	lunes, 8 de abril de 2019	Pronóstico a periodos Futuros K=40
757	84	lunes, 25 de marzo de 2019	Pronóstico a periodos Futuros K=26
799	126	lunes, 6 de mayo de 2019	Pronóstico a periodos Futuros K=68
785	112	lunes, 22 de abril de 2019	Pronóstico a periodos Futuros K=54
855	182	lunes, 1 de julio de 2019	Pronóstico a periodos Futuros K=124
792	119	lunes, 29 de abril de 2019	Pronóstico a periodos Futuros K=61
806	133	lunes, 13 de mayo de 2019	Pronóstico a periodos Futuros K=75
862	189	lunes, 8 de julio de 2019	Pronóstico a periodos Futuros K=131
820	147	lunes, 27 de mayo de 2019	Pronóstico a periodos Futuros K=89
750	77	lunes, 18 de marzo de 2019	Pronóstico a periodos Futuros K=19
736	63	lunes, 4 de marzo de 2019	Pronóstico a periodos Futuros K=5
890	217	lunes, 5 de agosto de 2019	Pronóstico a periodos Futuros K=159
897	224	lunes, 12 de agosto de 2019	Pronóstico a periodos Futuros K=166
743	70	lunes, 11 de marzo de 2019	Pronóstico a periodos Futuros K=12
918	245	lunes, 2 de septiembre de 2019	Pronóstico a periodos Futuros K=187
869	196	lunes, 15 de julio de 2019	Pronóstico a periodos Futuros K=138
1038	364	martes, 31 de diciembre de 2019	Pronóstico a periodos Futuros K=307
827	154	lunes, 3 de junio de 2019	Pronóstico a periodos Futuros K=96
1030	357	lunes, 23 de diciembre de 2019	Pronóstico a periodos Futuros K=299
778	105	lunes, 15 de abril de 2019	Pronóstico a periodos Futuros K=47
883	210	lunes, 29 de julio de 2019	Pronóstico a periodos Futuros K=152
1023	350	lunes, 16 de diciembre de 2019	Pronóstico a periodos Futuros K=292
1016	343	lunes, 9 de diciembre de 2019	Pronóstico a periodos Futuros K=285
876	203	lunes, 22 de julio de 2019	Pronóstico a periodos Futuros K=145
925	252	lunes, 9 de septiembre de 2019	Pronóstico a periodos Futuros K=194



904	231	lunes, 19 de agosto de 2019	Pronóstico a periodos Futuros K=173	21840
967	294	lunes, 21 de octubre de 2019	Pronóstico a periodos Futuros K=236	21876
946	273	lunes, 30 de septiembre de 2019	Pronóstico a periodos Futuros K=215	21933
751	78	martes, 19 de marzo de 2019	Pronóstico a periodos Futuros K=20	21966
813	140	lunes, 20 de mayo de 2019	Pronóstico a periodos Futuros K=82	21998
1002	329	lunes, 25 de noviembre de 2019	Pronóstico a periodos Futuros K=271	22164
995	322	lunes, 18 de noviembre de 2019	Pronóstico a periodos Futuros K=264	22247
911	238	lunes, 26 de agosto de 2019	Pronóstico a periodos Futuros K=180	22274
834	161	lunes, 10 de junio de 2019	Pronóstico a periodos Futuros K=103	22352
988	315	lunes, 11 de noviembre de 2019	Pronóstico a periodos Futuros K=257	22551
960	287	lunes, 14 de octubre de 2019	Pronóstico a periodos Futuros K=229	22674
939	266	lunes, 23 de septiembre de 2019	Pronóstico a periodos Futuros K=208	22781
1009	336	lunes, 2 de diciembre de 2019	Pronóstico a periodos Futuros K=278	23075
974	301	lunes, 28 de octubre de 2019	Pronóstico a periodos Futuros K=243	23438
953	280	lunes, 7 de octubre de 2019	Pronóstico a periodos Futuros K=222	23824
794	121	miércoles, 1 de mayo de 2019	Pronóstico a periodos Futuros K=63	23975
996	323	martes, 19 de noviembre de 2019	Pronóstico a periodos Futuros K=265	24291

Tabla 70. Los 50 valores más cercanos al mínimo.

Clasificando la cantidad de valores por mes se obtiene la siguiente tabla:

Mes	Cantidad
Enero	0
Febrero	0
Marzo	7
Abril	5
Mayo	5
Junio	3
Julio	5
Agosto	4
Septiembre	5
Octubre	4
Noviembre	5
Diciembre	7

Tabla 71. Cantidad de los 50 valores más cercanos al mínimo agregados mensualmente.

De esta tabla se observa que los meses con mayor cantidad de mínimos son marzo y diciembre.



Realizando un análisis Pareto de los datos de esta tabla se obtiene el siguiente gráfico:

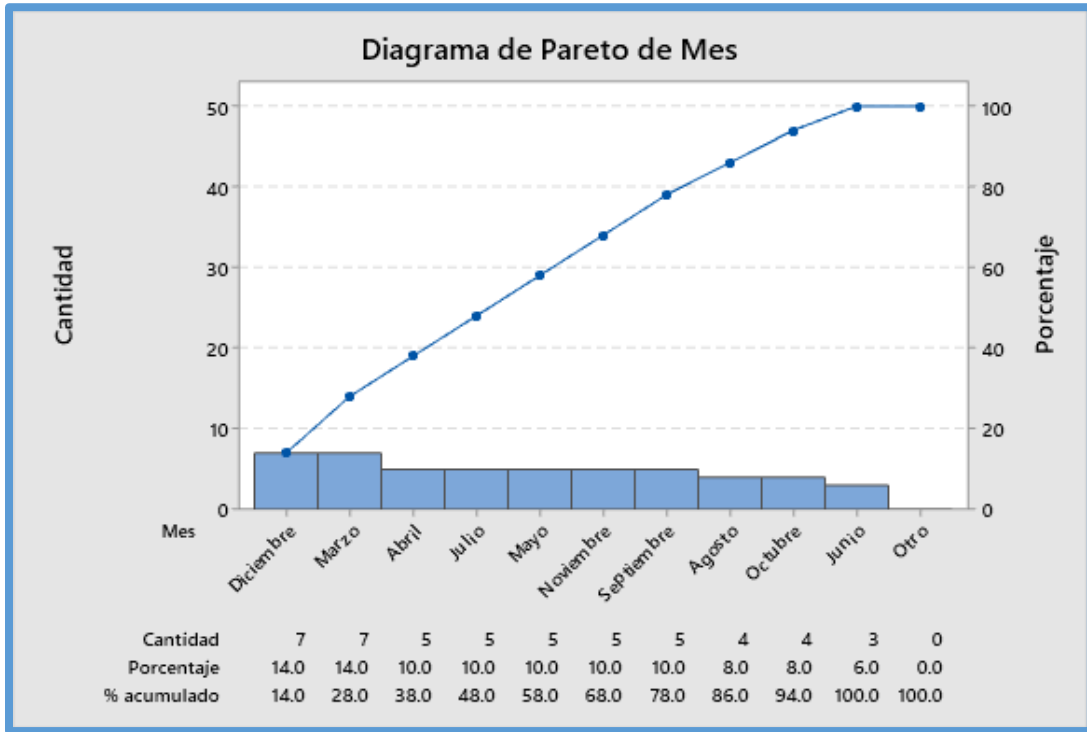


Ilustración 44. Diagrama de Pareto de los meses en el año 2019 que contendrán la mayor cantidad de datos cercanos al mínimo valor del total de los pronósticos.

Los meses críticos que conforman el 80% del total de datos son diciembre, marzo, abril, julio, mayo, noviembre, septiembre, agosto y octubre. Por lo que se analizan las fechas exactas de dichos datos:

Fecha
lunes, 4 de marzo de 2019
lunes, 11 de marzo de 2019
lunes, 18 de marzo de 2019
martes, 19 de marzo de 2019
lunes, 25 de marzo de 2019
sábado, 30 de marzo de 2019
domingo, 31 de marzo de 2019
lunes, 1 de abril de 2019
lunes, 8 de abril de 2019
lunes, 15 de abril de 2019
lunes, 22 de abril de 2019
lunes, 29 de abril de 2019



miércoles, 1 de mayo de 2019
lunes, 6 de mayo de 2019
lunes, 13 de mayo de 2019
lunes, 20 de mayo de 2019
lunes, 27 de mayo de 2019
lunes, 3 de junio de 2019
lunes, 10 de junio de 2019
lunes, 17 de junio de 2019
lunes, 1 de julio de 2019
lunes, 8 de julio de 2019
lunes, 15 de julio de 2019
lunes, 22 de julio de 2019
lunes, 29 de julio de 2019
lunes, 5 de agosto de 2019
lunes, 12 de agosto de 2019
lunes, 19 de agosto de 2019
lunes, 26 de agosto de 2019
lunes, 2 de septiembre de 2019
lunes, 9 de septiembre de 2019
lunes, 16 de septiembre de 2019
lunes, 23 de septiembre de 2019
lunes, 30 de septiembre de 2019
lunes, 7 de octubre de 2019
lunes, 14 de octubre de 2019
lunes, 21 de octubre de 2019
lunes, 28 de octubre de 2019

Tabla 72. Valores máximos de marzo, abril, julio, mayo, noviembre, septiembre, agosto y octubre.

En **marzo** se observa que todos los lunes del mes son mínimos al igual que el martes de la penúltima semana y el sábado y domingo de la última semana. En **abril** se pronostica que todos los lunes del mes sean mínimos valores. En **mayo** se pronostica que el 1 de mayo, conocido por ser festivo en México, tendrá un mínimo, al igual que todos los lunes siguientes de mayo. En **junio** los primeros tres lunes se pronostica que tendrán valores mínimos. En **julio** se pronostica que todos los lunes del mes tendrán valores mínimos. En **agosto**,



septiembre y **octubre** se pronostica que todos los lunes de esos meses tendrán valores mínimos.

La conclusión de este análisis de los mínimos pronosticados es que para todos los lunes se debe tener cuidado en no enviar camiones innecesarios, o al menos no enviar la misma cantidad que en los días máximos. Abundando en este análisis, se agrupan por día la cantidad de valores mínimos pronosticados:

Día	Cantidad
domingo	1
lunes	43
martes	4
miércoles	2
jueves	0
viernes	0
sábado	1

Tabla 73. Muestra de los 50 datos más aproximados al mínimo, agregados por día de la semana.

De esta tabla se observa que los pronósticos indican que los más bajos mínimos de la muestra de 50 caerán en lunes. Con un 86% de probabilidad sobre la muestra de 50, se pronostica que si el día es lunes tendrá un mínimo.

De esto se concluye que, para **todos los lunes del año**, se tomen precauciones sobre el uso de los camiones en servicio, puesto que la afluencia pronosticada disminuirá en este día. Para los demás días se recomienda enviar el número habitual de camiones.



V.1.2.2 Control de la tendencia pronosticada

La tendencia pronosticada se calcula a partir de los valores pronosticados a k periodos futuros, es decir, desde el jueves 28 de febrero de 2019 al martes 31 de diciembre de 2019.



Es conocido que la serie de tiempo presentó tendencia negativa, dicha tendencia se tomó en cuenta a la hora de pronosticar dándole un valor al componente β de tendencia de 0.09082 y así tomar en cuenta la tendencia de la serie casi en su totalidad. Por lo que se espera que la tendencia pronosticada de lo que resta del año 2019 tenga signo negativo.

De la regresión lineal de los valores pronosticados se obtienen los siguientes valores de los coeficientes de tendencia o pendiente:

Coeficientes

Término	Coef	EE del coef.	Valor T	Valor p	FIV
Constante	45921	7098	6.47	0.000	
(t)	-2.50	7.98	-0.31	0.754	1.00

Tabla 74. Coeficientes de la regresión lineal de los valores pronosticados.

La tendencia de los valores pronosticados es -2.50. Esta tendencia pronosticada es menor a la tendencia de la serie de tiempo de -13.382. Eso se debe a que, en los últimos años, aunque los valores máximos han disminuido, el valor de los mínimos ha aumentado. Es una señal optimista que indica que la tendencia para este año disminuirá su negatividad. Aunque anteriormente se analizaba la posibilidad de que a futuro los valores mínimos de la afluencia serán inclusive valores negativos, esto puede cambiar al tomar en cuenta la disminución de la tendencia negativa, y tomar los valores extremos, tanto mínimos como máximos, como valores polarizados que por el factor mes y día se presentan pero que no representan el comportamiento de la mayoría de los datos.

La manera de mitigar la tendencia negativa es analizando aquellos factores que son significativos para el modelo de regresión lineal múltiple y que tienen signo negativo. Estos factores son $-7.912361928x_N$ y $-2597.144171x_{Precio}$. Debido a que x_N no tiene manera



alguna de alterarse, puesto que solamente funge como una columna de números secuenciales. la variable precio tendrá que ser el punto de inflexión.



V.1.2.3 Control de la estacionalidad crítica pronosticada

Graficando los pronósticos se obtiene la siguiente gráfica:

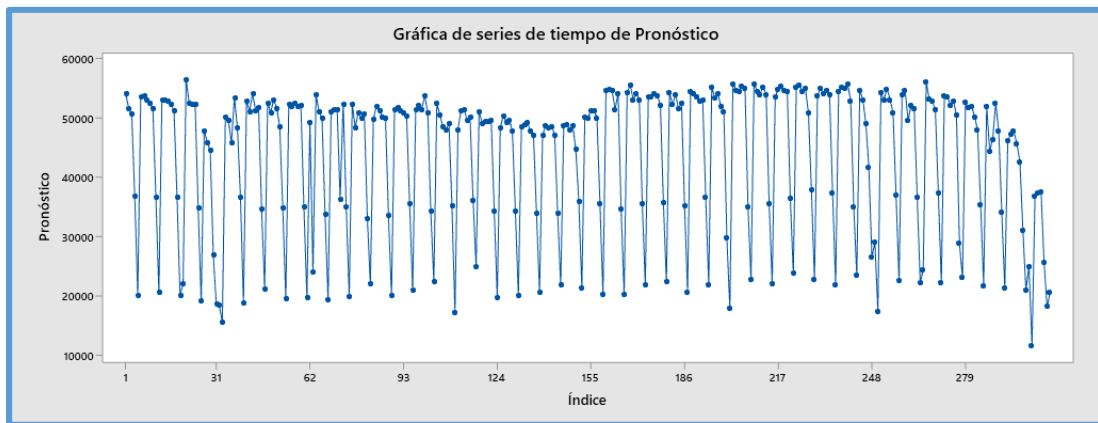


Ilustración 45. Gráfica de la afluencia pronosticada.

La estacionalidad semanal se señala en la parte inferior izquierda del siguiente gráfico:

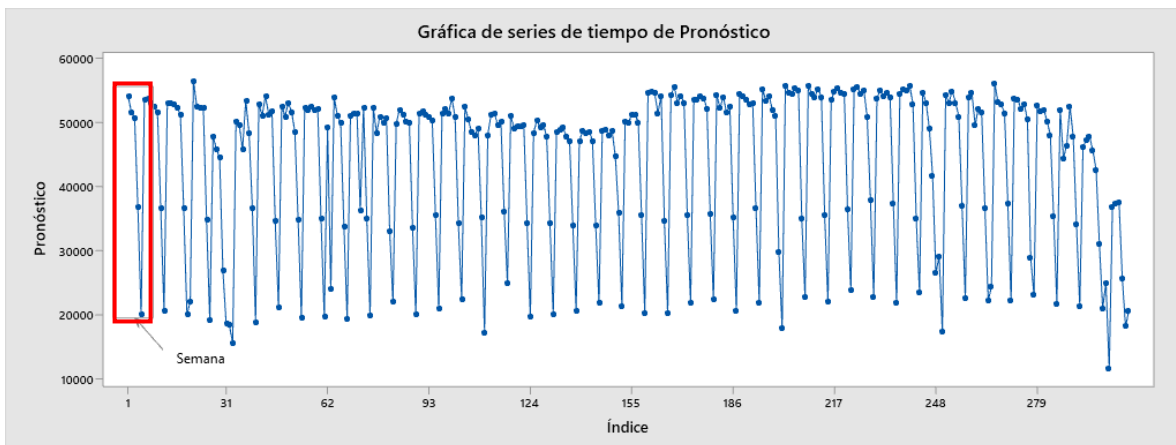
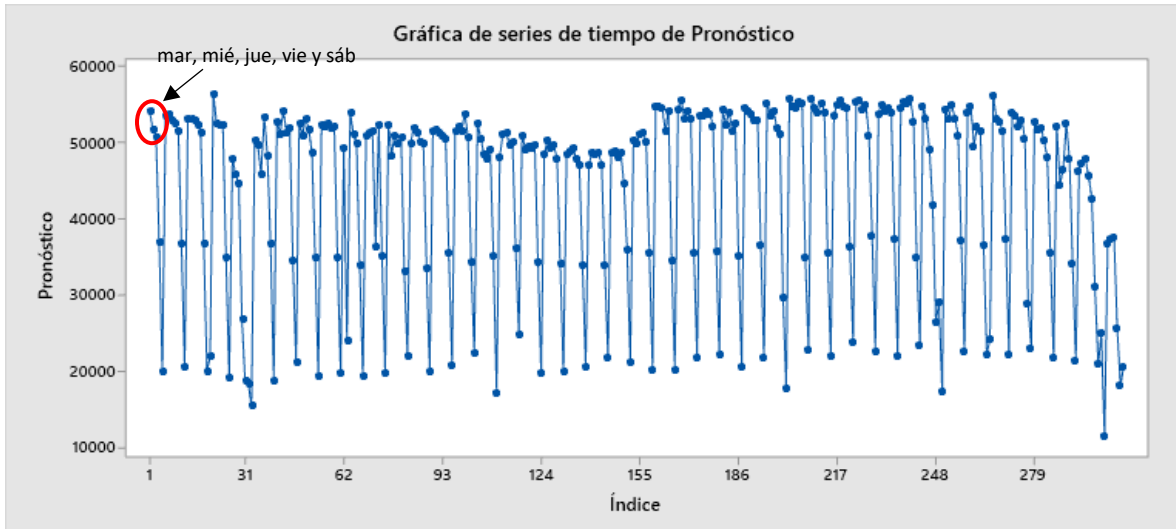


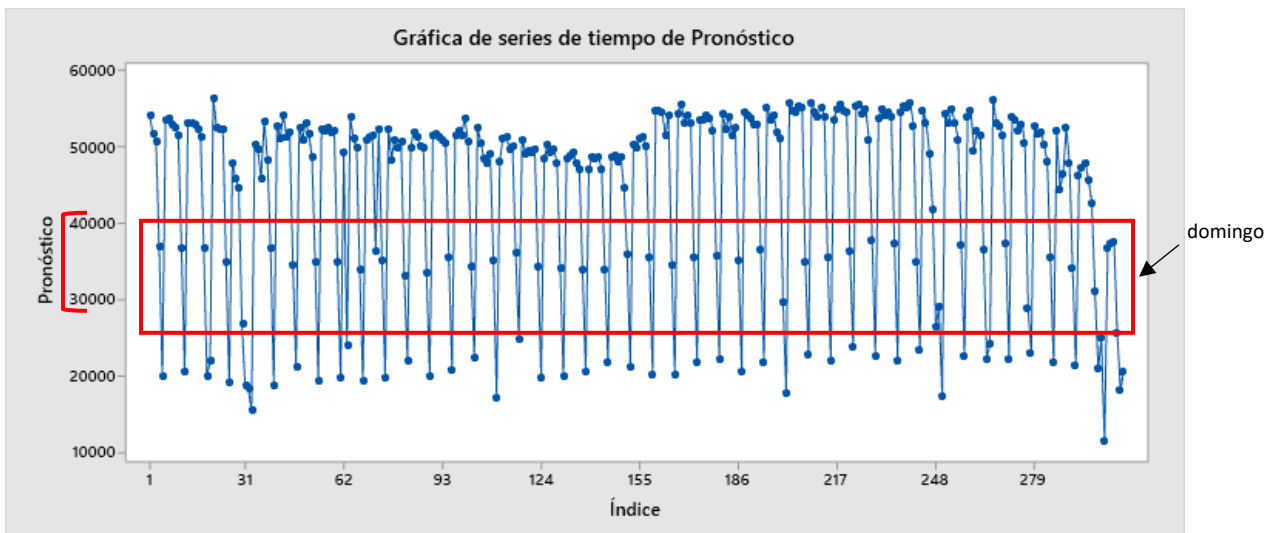
Ilustración 46. Estacionalidad semanal remarcada en la gráfica de afluencia pronosticada.



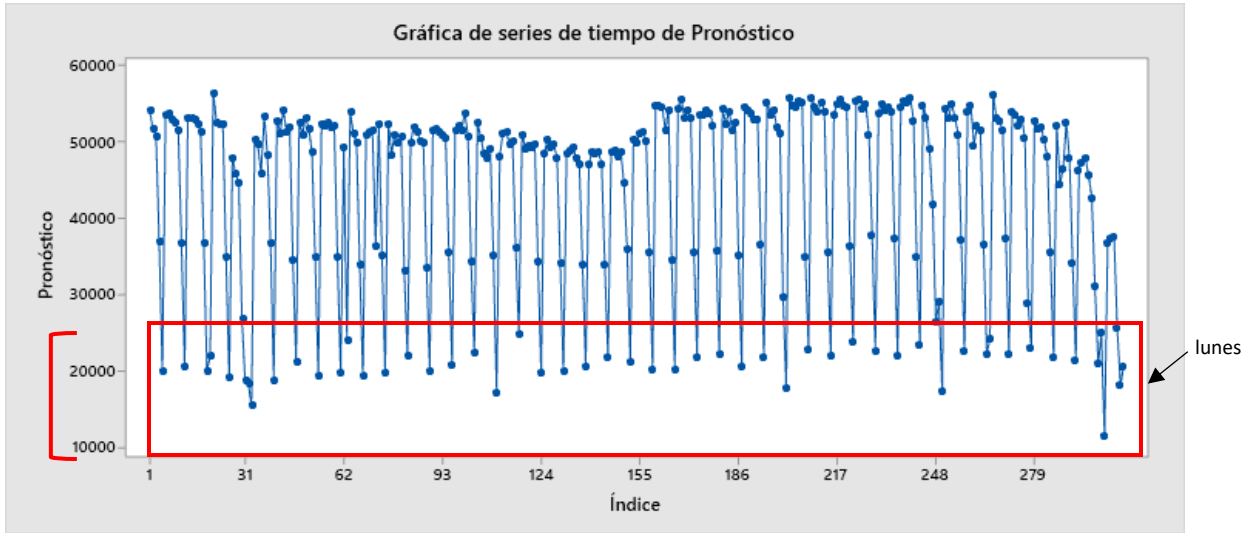
Los elementos más altos de cada semana generalmente son los martes, miércoles, jueves, viernes y sábado:



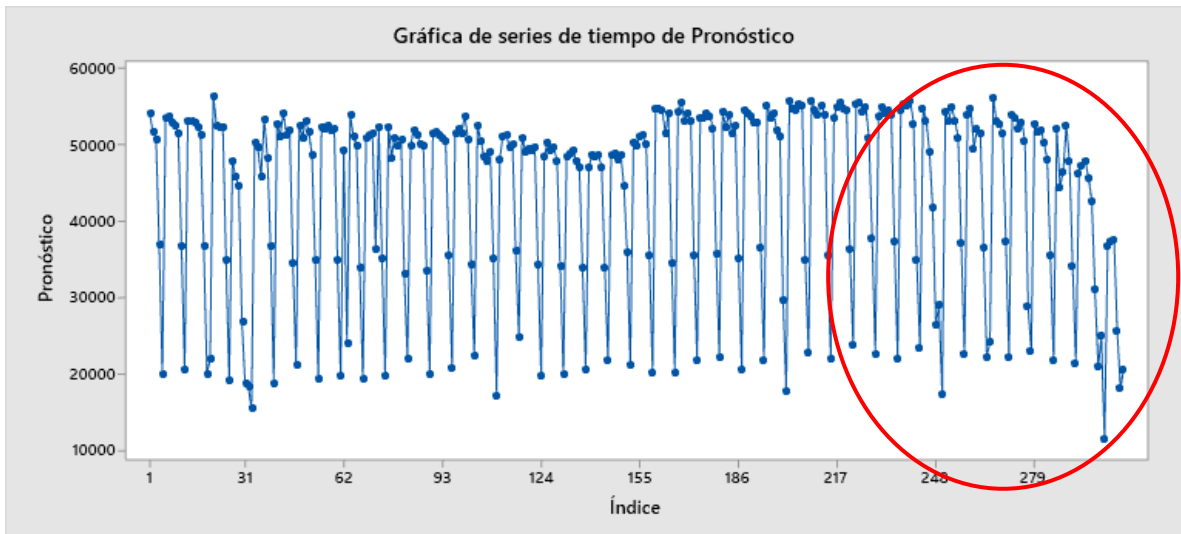
Los elementos centrales que se ven en la gráfica, que en su mayoría varían entre los 30,000 usuarios y 40,000 usuarios, son los **domingos**:



Por último, los valores mínimos son los lunes:



La estacionalidad semanal está presente, por lo que se deberá considerar para todas las semanas del año sin excepciones. También existe estacionalidad mensual explicada previamente, por lo que se recomienda prepararse para los meses de disminución e incremento de la afluencia. Los meses con mayor decremento son:



Este decremento se presenta en noviembre y diciembre del año 2019, por lo que es necesario prepararse para esos meses, considerando también las variaciones diarias.

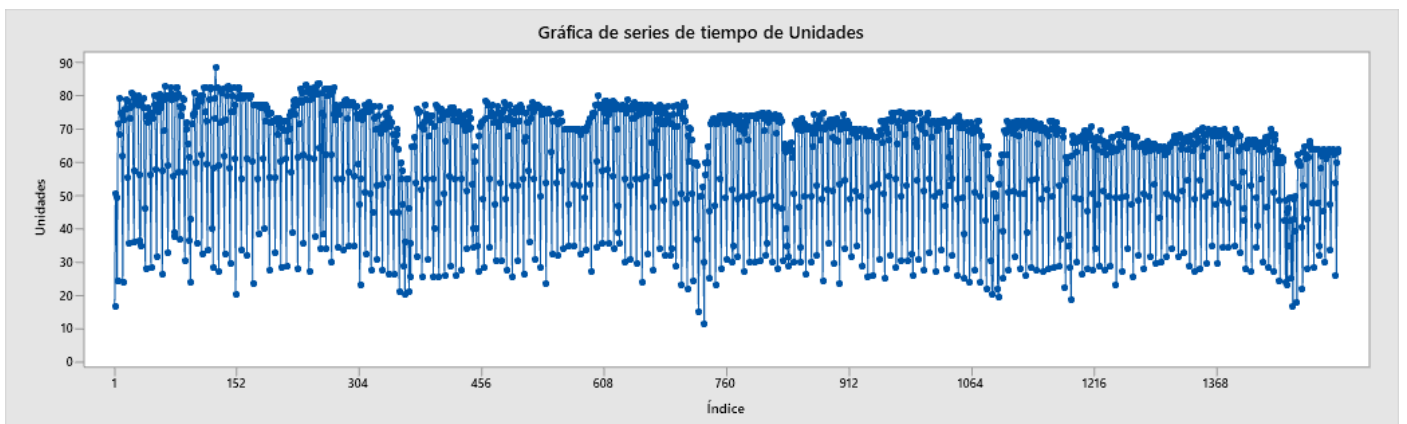


V.2 Control las variables del modelo de regresión

Cada una de las variables del modelo de regresión, sean significativas o no, están compuestas por un valor y un signo. El signo explica si el impacto en la afluencia es positivo o negativo. Es necesario realizar planes de acción que mitiguen el impacto negativo de las variables y propicien el impacto positivo en la afluencia.

V.2.1 Control de la variable $x_{Camiones}$

La variable $x_{Camiones}$ tiene signo positivo con un valor de $300.775675x_{Camiones}$ explicada como: “La afluencia aumenta en promedio **300.775675** usuarios por cada **aumento de 1 camión en servicio, manteniendo las demás variables constantes**”. Los datos de los camiones en uso durante 2015, 2016, 2017, 2018 y lo que va del 2019 es la siguiente:



En promedio total cada camión diariamente transporta 827.56 usuarios. Si se conoce que:

- El corredor de transporte público concesionado usa como flota 200 autobuses con capacidad de 80 pasajeros cada uno.

El promedio general de camiones en servicio es de 61 diarios. Considerando estos promedios totales se conoce que cada camión estuvo lleno 13.4633 veces en un día, considerando que los pasajeros de una vez se bajaran y para la siguiente vez se llenara de nuevo. Considerando que la longitud de todo el corredor es de 30 km y cada conductor de camión realiza 5 vueltas cada uno durante un día laboral. Esto quiere decir que durante cada recorrido del circuito el camión se llenó y se vació totalmente 2.63 veces durante una vuelta. Es decir, un promedio de 215.41 usuarios pagaron su pasaje durante un recorrido del corredor. Considerando el costo del pasaje actual, esto representa un ingreso de \$394,205.5328 muy por encima del generado por el promedio de la afluencia de 51,133.8894 usuarios de \$255,669.447. Esta diferencia de \$138,536.0858 en promedio es aquello que no se está ganando realmente, pero que con el uso de camiones se espera tener. Esto genera afectación a la empresa, puesto que se envían mayor número de camiones que gastan insumos como combustible y elementos de mantenimiento, al igual que gastos como salarios de conductores y gastos de limpieza en camiones que no deberían estar en servicio porque son innecesarios.

Para realizar una optimización sobre cuántos camiones se deben enviar por día y dependiendo del mes del año 2019 que se encuentre, se deben analizar por día la cantidad de usuarios pronosticados y las variaciones que estos tendrán durante todo el año.



Tomando en cuenta el número de vueltas por conductor, la capacidad del camión (definida por personas sentadas como paradas), y el promedio de afluencia por vuelta de 2.63.

Por lo que se tiene la siguiente ecuación:

$$C_{\text{Camiones necesarios}_t} = \frac{D_t}{C_p * n * k} = \frac{A_t [\text{usuarios}]}{80 \left[\frac{\text{usuarios}}{\text{camión}} \right] * 5 \left[\frac{\text{vueltas}}{\text{camión}} \right] * 2.63 \left[\frac{\text{camión}}{\text{vuelta}} \right]}$$

Ecuación 52. Cálculo de los camiones necesarios.

Siendo:

$C_{\text{Camiones necesarios}_t}$: Cantidad de camiones necesarios para el periodo t con $t = 732, 733, 734, \dots, 1038$.

$D_t = A_t$: Afluencia de usuarios en el periodo t , con $t = 732, 733, 734, \dots, 1038$.

C_p : Capacidad de usuarios por unidad de camión.

n : número de vueltas que debe realizar cada camión.

k : constante del promedio de camiones con capacidad total por vuelta.

Realizando esta operación para cada valor pronosticado se obtiene la tabla de camiones necesarios en ANEXO XIII.

El ingreso pronosticado del 28 febrero de 2019 al 31 de diciembre del 2019 con una tarifa de \$6 mxn por pasaje suma un total de:

\$80,506,983.50 mxn

La cantidad óptima promedio de camiones a utilizarse durante ese tiempo es de:

42 camiones al día



Esto nos permite destinar aproximadamente el 50% de las ganancias a los camiones en servicio, que son \$40,253,491.73 pesos del 28 de febrero al 31 de diciembre del 2019. Por día se calculan los egresos de efectivo para combustibles también. Si cada litro de combustible diésel cuesta \$21.11 y se conoce el rendimiento de cada litro de diésel por km se puede calcular cuántos litros se gastarán al día para calcular el punto de reorden del tanque de diésel que cuenta con capacidad para 50,000 lts.

Del documento “Pruebas de campo de autobuses de tecnologías alternativas en la ciudad de México, reporte final, equipo de transporte y cambio climático”³⁶ realizado por la **Región Latinoamericana y caribe publicaciones de desarrollo sustentable** en la Tabla 7.2 *Costos integrales de consumo de combustible y mantenimiento* se encuentra el valor del rendimiento del camión Mercedes Benz 12-592 por cada litro de diésel, siendo de **2.36 km/Lt**. Calculando la cantidad de litros de diésel usados por día por todos los camiones en servicio se usa la siguiente ecuación

$$Diésel_t [lt] = C_{Camiones\ necesarios_t} [Camión] * \frac{TC \left[\frac{km}{vuelta} \right]}{Re \left[\frac{km}{lt} \right]} * n \left[\frac{vueltas}{camión} \right]$$

Ecuación 53. Cálculo de litros de diésel a usar en los camiones necesarios por día.

Siendo:

$Diésel_t$: Litros de diésel para el tiempo t , con $t = 732, 733, 734, \dots, 1038$

$C_{Camiones\ necesarios_t}$: la cantidad de camiones óptima en el tiempo t , con $t = 732, 733, 734, \dots, 1038$

TC : Tamaño del circuito en km por cada vuelta.

³⁶ “Tomado del documento “Pruebas de Campo de Autobuses de Tecnologías Alternativas en la ciudad de México, Reporte Final”. Realizado por el equipo de Transporte y Cambio climático como trabajo para la Secretaría del Medio Ambiente del Gobierno del Distrito Federal.

Link: http://centro.paot.org.mx/documentos/sma/pcata_cm_rfinal.pdf



Re: Rendimiento en km por cada litro de combustible

n: número de vueltas que debe realizar cada camión

Sustituyendo los valores conocidos la ecuación queda:

$$Diésel_t [lt] = C_{Camiones\ necesarios_t} [Camión] * \frac{30 \left[\frac{km}{vuelta} \right]}{2.36 \left[\frac{km}{lt} \right]} * 5 \left[\frac{vueltas}{camión} \right]$$

El resultado la cantidad total por día de combustible se muestra en el ANEXO XIII.

El costo del diésel óptimo del 28 de febrero del 2019 al 31 de diciembre del 2019 será de \$17,178,629.40 y no de \$40,253,491.73 como se consideró anteriormente en los años pasados.

Comparando con el año pasado donde el gasto fue de \$23,708,497.88 el ahorro es de \$5,896,232.93.

Este ahorro del costo en combustible de \$5,896,232.93. corresponde a un 74.45% de lo que se gastaba anteriormente.

Los beneficios con este ahorro además son:

1. Disminución de unidades en servicio, disminución de los salarios de conductores inactivos en un 25%.
2. Ahorro del 25% de gasto en combustible con respecto al 2018.
3. Disminución de la emisión de contaminantes que se producen por la combustión de combustibles en 25.55% con respecto al año anterior.



Los valores de la cantidad total por día de combustible también permiten conocer las fechas en las que el tanque estacionario de diésel con capacidad para almacenar 50,000 lt de diésel deberá ser reabastecido.



Ilustración 47. Tanque estacionario (Fuente Ittalmex).

Suponiendo que el jueves 28 de febrero del 2019 el tanque estacionario estuviera lleno debido a que un día anterior se realizó el reabastecimiento del tanque, y considerando que la solicitud de llenado se realiza un día antes de que ya no se abastezca de combustible a la flota, los días de solicitudes de combustible serán los siguientes:

Fecha de solicitud	Litros para solicitar	Costo
sábado, 16 de marzo de 2019	48427	\$1,022,289.20
sábado, 6 de abril de 2019	49245	\$1,039,567.13
miércoles, 24 de abril de 2019	47837	\$1,009,844.40
lunes, 13 de mayo de 2019	47952	\$1,012,257.84
viernes, 31 de mayo de 2019	49737	\$1,049,955.69
miércoles, 19 de junio de 2019	49979	\$1,055,046.51
lunes, 8 de julio de 2019	49438	\$1,043,635.53
viernes, 26 de julio de 2019	47705	\$1,007,049.00
martes, 13 de agosto de 2019	47908	\$1,011,344.52



viernes, 30 de agosto de 2019	49211	\$1,038,842.28
martes, 17 de septiembre de 2019	48828	\$1,030,766.66
jueves, 3 de octubre de 2019	46890	\$989,840.16
domingo, 20 de octubre de 2019	49164	\$1,037,857.72
jueves, 7 de noviembre de 2019	47809	\$1,009,241.17
lunes, 25 de noviembre de 2019	47477	\$1,002,243.62
viernes, 13 de diciembre de 2019	49905	\$1,053,504.29

Tabla 75. Fechas de solicitud de reabastecimiento del tanque estacionario, junto con el costo.

Esto dará un control muy importante sobre el nivel del tanque estacionario. Estos niveles se observan en el ANEXO IV.

Finalmente, también existen mejoras con respecto al comportamiento de aumentar 1 camión en servicio, puesto que dentro del modelo de regresión lineal múltiple la variable $x_{Camiones}$ explicó el comportamiento de la afluencia de la siguiente manera: **“La afluencia aumenta en promedio 300.775675 usuarios por cada aumento de 1 camión en servicio, manteniendo las demás variables constantes”**. Esta afirmación indicaría que se debe ocupar toda la flota de 200 camiones, e incluso sobrepasarla, para aumentar la afluencia del servicio, pero esto no es correcto y si se realizara de esta manera, existirían pérdidas considerables y los costos de insumos se elevarían innecesariamente. Para entender esta afirmación se recomienda realizar el aumento de camiones en servicio, pero solo en los días que son considerados como máximos, los cuales son los jueves, seguidos de martes y miércoles. También se recomienda realizarlo solo en los meses con mayor cantidad de máximos como lo son octubre, noviembre y septiembre. En esos días, la afluencia aumenta, por lo que se recomienda aumentar el número de camiones y propiciar que exista disponibilidad de camiones.

También se puede considerar aumentar 1 camión en servicio durante el lunes, que es un día con valores mínimos, para que exista disponibilidad de 1 camión más y la gente opte por el servicio, esto considerando los datos estadísticos obtenidos.



V.2.2 Control de la variable $x_{Asaltos}$

Aunque esta variable no es significativa para el modelo de regresión lineal múltiple, los asaltos deben controlarse y evitarse. Hasta el momento se conoce que a los usuarios del servicio no consideran que los asaltos que ha sufrido la ruta sean suficientemente impactantes sobre su decisión de elegir o no el servicio ofrecido por la empresa en cuestión. Esto se afirma porque en la prueba de significancia la variable no resultó significativa.

Sin embargo, es necesario analizarse a finales de año, actualizando los datos del modelo de regresión lineal múltiple y verificar si los usuarios ahora sí les dieron importancia a los asaltos en la ruta como uno de los principales factores para la toma de decisiones.

Las principales razones por las que los usuarios no consideran los asaltos como factor importante pueden ser:

1. No tienen otra opción de transporte con las mismas opciones de direccionamiento.
2. Prefieren ser asaltados a gastar dinero en la competencia, porque el precio es posiblemente más alto.
3. Los asaltos han sido poco frecuentes en comparación con los de la competencia.

En conclusión, esta variable deberá analizarse a lo largo del 2019, por el momento, no es significativa, aunque tenga impacto negativo.



V.2.3 Control de la variable $x_{Accidentes}$

Esta variable, al igual que la variable $x_{Asaltos}$ no es significativa, sin embargo, tiene impacto negativo: “**La afluencia aumenta en promedio 338.9645388 usuarios por un aumento de 1 Accidente, manteniendo las demás variables constantes**”. Este resultado se explica posiblemente por razones similares a las usadas para explicar el comportamiento de la variable $x_{Asaltos}$. Las principales razones por las que los usuarios no consideran los accidentes como factor importante pueden ser:

1. No tienen otra opción de transporte con las mismas opciones de direccionamiento.
2. Los accidentes ocurridos en su mayoría no han sido de gravedad y rápidamente se les asigna otra unidad para recoger y trasladar con normalidad a los usuarios.
3. El precio de la competencia por el servicio es más alto.
4. De los accidentes ocurridos los usuarios se han percatado que no ha sido causado por un acto inseguro de parte del conductor o condición insegura de la unidad (camión) sino por factores externos.

Al igual que en los asaltos, esto no debe ser razón para no seguir promoviendo actos y condiciones seguras en las unidades, por lo que se deberán analizar nuevamente los datos y realizar la regresión lineal múltiple al final del 2020.



V.2.4 Control de la variable x_{precio}

Con respecto a la variable x_{precio} que está definida de la siguiente manera: **“La afluencia disminuye en promedio -2597.144171 usuarios por cada aumento de 1 peso en el costo del servicio, manteniendo las demás variables constantes”**. El precio es muy importante para explicar la tendencia negativa, si el precio en 2015 era de \$4.00 y para el 2019 el precio es \$6.00, y si por cada aumento de 1 peso en el costo del servicio la afluencia disminuye en promedio -2597.133171 usuarios que hasta el momento no se han recuperado. Para el aumento de \$1.50 que se tiene actualmente la disminución diaria es de -3895.699757 usuarios que optaron por otros servicios de transporte. Esto es importante, puesto que si el precio sube por razones externas como: alza en el precio del diésel, aumento de salarios, impuestos o por nivelación gubernamental, esto afectará a la afluencia nuevamente. Para ello es importante no variar el precio y el gasto incrementado pagarlo con los ahorros en combustible. En un escenario donde aumente el precio del pasaje 1 peso, quedando en \$7.00 la reducción será de -2597.133171 usuarios diarios y el ingreso total del 28 de febrero del 2019 al final del 2019 será de \$88,343,575.00 superando el ingreso pronosticado de \$80,506,983.46, sin embargo, los usuarios totales serán 12,620,511. Esta cantidad son 797,320 usuarios menos que los pronosticados con un precio de \$6.00. Esto puede generar pérdidas a largo plazo, puesto que se están dejando 797,320 usuarios listos para optar por otro servicio, por lo que se debe buscar cuidar a esta cantidad de usuarios, solventando y manteniendo el precio.



V.2.5 Control de la variable $x_{Competencia}$

La variable $x_{Competencia}$ está definida de la siguiente manera: **“La afluencia aumenta en promedio 0.293393031 usuarios por cada aumento de 1 usuario usando el servicio ofrecido por la competencia, esto manteniendo las demás variables constantes”**.

Este comportamiento de la afluencia se puede explicar:

1. Los usuarios no tienen otra opción de transporte con las mismas opciones de direccionamiento.
2. El hacinamiento en la ciudad de México ha incrementado. En el 2015 el número de habitantes en la ciudad de México era de 8,918,653³⁷ y como el censo será hasta el 2020, por el momento esta aseveración sólo será una hipótesis.

No hay manera de controlar la competencia, pero sí de volver competitiva a la empresa que ofrece el servicio de transporte, esto se logra mediante el control de las variables explicadas anteriormente: $x_{Camiones}$, $x_{Asaltos}$, $x_{Accidentes}$ y x_{Precio} . Ser competitivo es fundamental para las empresas concesionadas, puesto que el gobierno constantemente licita a nuevas empresas y les otorga concesiones compartidas, por ello el control de las variables, también conocidas como VOC y valoradas como CTQ, será el punto de competitividad vital.

³⁷ Tomado de “cuéntame”, página perteneciente al Instituto Nacional de Estadística y Geografía. <http://cuentame.inegi.org.mx/monografias/informacion/df/poblacion/>



V.3 Optimización de los recursos

Harlod Koontz, Heinz Wihrick y Mark Cannice mencionan en su libro *Administración, una perspectiva global y empresaria*³⁸ lo siguiente:

*“En un sentido muy real, en todo tipo de organizaciones, lucrativas o no, la meta lógica y públicamente deseable de todos los gerentes debe ser el valor agregado. Así, los gerentes establecen un ambiente en el que las personas pueden lograr las metas del grupo con la menor cantidad de tiempo, dinero, materiales e insatisfacción personal, o en el que puedan lograr cuanto sea posible de una meta deseada con **los recursos disponibles**” (Énfasis añadido).*

Los recursos son todos aquellos elementos con los que cuentan las empresas para lograr ofrecer el servicio de su modelo de negocio. El modelo de negocio del servicio de transporte concesionado hace uso de recursos de distintos tipos como lo son:

- Recursos Humanos
- Recursos Materiales
- Recursos Financieros

En el mismo libro *Administración, una perspectiva global*, explica que al uso mínimo de estos recursos logrando alcanzar los objetivos se le conoce como eficiencia. Por otra parte, también define que efectividad es el logro de los objetivos solamente. Existe entonces una

³⁸ Tomado del libro *“Administración, una perspectiva global”, de Harold Koontz, Heinz Wehrich y Mark Cannice.*

https://www.soy502.com/sites/default/files/administracion_una_perspectiva_global_y_empresarial_14_edici_0koontz.pdf



diferencia muy grande entre efectividad y eficiencia, sin embargo, ambas buscan cumplir con los objetivos gerenciales.

Estos objetivos gerenciales se han definido a lo largo de los capítulos de la presente tesis y el principal es ofrecer un servicio de calidad al usuario del servicio. La calidad está definida por los factores de calidad, y los factores de calidad son las variables explicativas del modelo de regresión lineal múltiple ya visto en el capítulo anterior. En esta parte final del capítulo se verá la optimización de los recursos resultado de los análisis estadísticos ya realizados mostrados en un calendario general anual que resume el comportamiento diario de las proyecciones.

El calendario es simple, se toman en cuenta los siguientes elementos:








	Mes o día pronosticado a ser uno de los 50 valores más próximos al máximo anual.
	Día de la semana pronosticado a ser un valor máximo en la semana.
	Día de la semana pronosticado a ser un valor cercano al promedio anual.
	Día de la semana pronosticado a ser un valor menor al promedio anual.
	Día de la semana pronosticado a ser un valor mínimo en la semana.
	Mes o día pronosticado a ser uno de los 50 valores más próximos al mínimo anual.
	Día del mes donde se debe realizar una solicitud de reabastecimiento del tanque estacionario.

Ilustración 48. Elementos del calendario anual, tomados del análisis de los capítulos anteriores.

Se coloca el elemento en el día que corresponde tomando en cuenta cada uno de los análisis del capítulo V de la presente tesis, como lo es el análisis de los máximos y mínimos pronosticados, el análisis de la estacionalidad semanal, promedio anual pronosticado y análisis del reabastecimiento de diésel al tanque estacionario. El calendario para lo que resta del 2019, es decir, del 28 de febrero del 2019 al 31 de diciembre del 2019, se consulta en el an



V.4 Conclusiones Generales

Retomando los objetivos de la presente tesis, se cumplen los objetivos, siguientes:

¿Qué se realizó?

Se analizó la afluencia de pasajeros (usuarios) del servicio de transporte público ofrecido por una empresa de transporte concesionado dedicada al giro. Los análisis estadísticos realizados a la afluencia desde el 1 enero del 2015 al 28 de febrero del 2019 fueron:

- Análisis de los datos como series de tiempo
- Análisis de los patrones
- Análisis de las irregularidades
- Análisis de la normalidad de los datos
 - Prueba Kolmogórov-Smirnov
 - Prueba Jarque-Bera
- Análisis de la tendencia
 - Regresión lineal para tendencia
- Análisis de la estacionalidad de la serie

Todos estos análisis permitieron determinar los métodos estadísticos correspondientes que den conclusiones confiables con el fin de buscar las causas de la variación de la afluencia y así buscar mejoras empresariales. Los modelos estadísticos por usarse fueron los métodos de pronósticos Holt-Winters y el modelo de regresión lineal múltiple.

También se pronosticó la demanda con el método más confiable, siendo este el método de Holt-Winters, determinado por el análisis de la tendencia y estacionalidad de la



serie a mediano plazo, teniendo como horizonte de pronóstico el 31 de diciembre del 2019 obteniendo conclusiones para ofrecer puntos de mejora reales.

El presente trabajo también permitió realizar pronósticos a futuro y determinar las causas, tanto de la variación de los datos históricos, como de los datos pronosticados.

¿CÓMO?

Mediante el uso de datos históricos similares a los ofrecidos por la empresa desde el 1 de enero del 2015 al 28 de febrero del 2019 se usó el método Holt-Winters y se estimaron datos con un error porcentual $MAPE_{promedio} = 0.02\%$, siendo este error muy bajo, propiciando pronósticos muy buenos que estimaron datos y permitieron comparar datos para determinar:

- Cambio estructural
 - Test de Chow
- Cálculo de los componentes estacionales
- Suavizamiento y pronóstico del siguiente periodo
- Cálculo de los errores de los pronósticos
- Pronósticos a futuro

Mediante el uso de técnicas de análisis estadístico como la regresión lineal múltiple y tratamientos de series de tiempo como el suavizamiento y los mismos pronósticos se obtuvieron valores determinantes para obtener conclusiones como:

- Cantidad de camiones óptimos a usarse
- Presupuesto esperado del pronóstico
- Optimización de gasto en combustibles



- Diminución de contaminantes emitidos por los camiones
- Impacto de las variables:
 - $x_{Camiones}$
 - $x_{Asaltos}$
 - $x_{Accidentes}$
 - x_{Precio}
 - $x_{Competencia}$
 - Variables Dummy
 - x_{lunes}
 - x_{martes}
 - $x_{miércoles}$
 - x_{jueves}
 - $x_{viernes}$
 - $x_{sábado}$
 - $x_{domingo}$
- La estacionalidad y tendencia para todo el 2019
- Ingresos monetarios totales del 2019

¿PARA QUÉ?

Con los ajustes realizados se redujo el uso de camiones para mejorar la calidad del servicio a los usuarios atendiendo a la VOC y a los CTQ's obtenidos del análisis

Se ocupó una metodología de análisis de series de tiempo y sus pronósticos con un ejemplo lo más real posible para servir como apoyo en futuros análisis, explotando los métodos de pronóstico y probando sus resultados.



También se cumplió la **Generalidad** ya que se analizó la afluencia de buscando atender a dos grupos o entes principales involucrados en la operación del servicio de transporte. Por un lado, se pretende analizó la operación del servicio por parte de los prestadores del servicio o empresa concesionada en el estado actual de la empresa y por otro lado se analizaron los factores de satisfacción de los usuarios del servicio (Afluencia) buscando que sean cubiertos por la empresa prestadora del servicio.



REFERENCIAS

Asamblea Legislativa del Distrito Federal, (2014), Ley de movilidad del Distrito Federal.

Recuperado de

<https://www.sedema.cdmx.gob.mx/storage/app/uploads/public/5a6/78d/fd9/5a678dfd96d28237463389.pdf>

Calculo.cc, (s.f.), *Distribución normal o de Gauss*. Recuperado de

http://calculo.cc/temas/temas_estadistica/binomial_normal/teoria/normal.html

CENAM, (s.f.), *Sistema Internacional de Unidades*. Recuperado de

<http://www.cenam.mx/siu.aspx>

Coefficiente de asimetría de Fisher, (s.f.), recuperado de

<https://www.eumed.net/cursecon/dic/oc/asifisher.htm>

Cruz, D., (2012), *Un análisis parcial en las preparatorias de la BUAP en las materias de*

matemáticas en el 2010, (Tesis de titulación, Benemérita Universidad Autónoma de

Puebla, Puebla). Recuperado de

<https://www.fcfm.buap.mx/assets/docs/docencia/tesis/matematicas/DianaJazminCruzArmenta.pdf>

Gaskin, S., Griffin, A., Hauser, J., Katz, G. y Klein, R., (s.f.), *Voice of the Customer*, USA.

Recuperado de



https://www.mit.edu/~hauser/Papers/Gaskin_Griffin_Hauser_et_al%20VOC%20Encyclopedia%202011.pdf

Gaspar, G., (2018), *Propuesta metodológica para cuantificar el impacto de las instituciones educativas en el rendimiento académico*, (Tesis de titulación, UNAM, Ciudad de México). Recuperado de <http://132.248.52.100:8080/xmlui/bitstream/handle/132.248.52.100/15076/Tesis.pdf?sequence=1>

Harold Koontz, Heinz Weihrich y Mark Cannice (2008), “*Administración: una perspectiva global*”. Decimocuarta edición, Editorial McGrawHill.

Instituto de Investigaciones Parlamentarias, Diagnóstico de movilidad en la Ciudad en México: El impacto del crecimiento vehicular (problemas, estadísticas y evaluación de políticas). Recuperado de <http://aldf.gob.mx/archivo-9f6f5328e0f0853d4453d481cbffa2b6.pdf>

Intermodal México, (2020), *Ajuste por combustible, Histórico de precios del diesel a 29/07/2019*. Recuperado de <http://www.intermodalmexico.com.mx/Portal/AjusteCombustible/Historico>

La oferta, la demanda y el mercado, (s.f.). Recuperado de <https://www.mheducation.es/bcv/guide/capitulo/8448181042.pdf>

López, J., (27 de enero del 2019), Transporte concesionado; invertir para chatarrizar, *Excelsior*. Recuperado de <https://www.excelsior.com.mx/comunidad/transporte-concesionado-invertir-para-chatarrizar/1292756>



López, M., (s.f.), El Transporte de pasajeros y el sistema vial en la ciudad de México, Instituto de Investigaciones Jurídicas, UNAM, recuperado de <https://archivos.juridicas.unam.mx/www/bjv/libros/6/2735/12.pdf>

Lucas, J., (2017), *Apuntes complementarios de Planeación y Control de la Producción*. (Material didáctico de titulación, UNAM, Ciudad de México). Recuperado de <http://www.ptolomeo.unam.mx:8080/jspui/bitstream/132.248.52.100/12857/1/Apuntes%20complementarios%20de%20Planeaci%C3%B3n%20y%20Control%20de%20la%20Producci%C3%B3n.pdf>

Medidas de curtosis (coeficiente de curtosis), (s.f.), recuperado de <https://www.uv.es/ceaces/base/descriptiva/curtosis.htm>

Mendieta, j., (26 de abril del 2010), La demanda de transporte, Universidad de los Andes, Sildeshare, recuperado de <https://es.slideshare.net/VirtualEsumer/demanda-de-transporte>

Montemayor, J., (2013), Métodos de pronósticos para negocios: Patrones de una serie de Tiempo. Recuperado de http://www.editorialdigitaltecdemonterrey.com/materialadicional/id196/cap1/patrones_tiempo.pdf

Morales, J., (2007), *Aplicación de la metodología seis sigma, en la mejora del desempeño en el consumo de combustible de un vehículo en las condiciones de uso del mismo, Capítulo II: Fase de definición*. (Tesis de Maestría, Universidad Iberoamericana. Ciudad de México). Recuperado de <http://www.bib.uia.mx/tesis/pdf/014873/014873.pdf>



Nesbitt, J., (2016), *Prueba de Chow - Prueba de Estabilidad de Regresión*. Recuperado de <https://support.numxl.com/hc/es/articles/215883383-Prueba-de-Chow-Prueba-de-Estabilidad-de-Regresi%C3%B3n>

Oficina Internacional de Pesas y Medidas, Organización intergubernamental de la Convención del Metro, (2006), *El sistema Internacional de Unidades SI*. Recuperado de <https://www.cem.es/sites/default/files/siu8edes.pdf>

Quevedo, R., (2011), La prueba de ji-cuadrado, the chi-square, *Medwave*, 11(12), doi: 10.5867/medwave.2011.12.5266

Quiapo, L., (s.f.), *La distribución normal*, Red Universitaria de Aprendizaje, UNAM. Recuperado de <https://www.rua.unam.mx/portal/recursos/ficha/80357/la-distribucion-normal>

Real Academia Española. (s.f.). Concesión. En *Diccionario de la lengua española*. Recuperado de <https://dle.rae.es/srv/search?m=30&w=concesi%C3%B3n>

Sánchez, O., Romero, J., (2010) Factores de calidad del servicio en el transporte público de pasajeros: estudio de caso de la ciudad de Toluca, México, *Economía Sociedad y Territorio*, 10(32), 49-80. Recuperado de <http://www.scielo.org.mx/pdf/est/v10n32/v10n32a3.pdf>

Sánchez, P., (2008), Cambios estructurales en series de tiempo: una revisión del estado del arte, *Revista Ingenierías Universidad de Medellín*, 7(12), 115-140. Recuperado de <http://www.scielo.org.co/pdf/rium/v7n12/v7n12a07.pdf>



Sancho, A., Serrano, G., (2004-2005), *Casos 1 y 3. Análisis de diferentes formas funcionales en un modelo de Comercio Exterior. El problema de la heterocedasticidad.*

Recuperado de <https://www.uv.es/sancho/caso1y3.pdf>

Sipper, Daniel y Bulfin Jr., Robert L. (1998), *Planeación y Control de la Producción. 1st ed.*

McGRAW-HILL INTERAMERICANA EDITORES, S.A. DE C.V.

Tarriba, G., Alarcón, G., (2012), Instituto Mexicano para la Competitividad, Movilidad competitiva en la Zona Metropolitana de la Ciudad de México: diagnóstico y

soluciones factibles. Recuperado de https://imco.org.mx/wp-content/uploads/2012/1/costos_congestion_en_zmvm2_final_abril.pdf

Transporte en la Ciudad de México. (2020, 21 de octubre). Wikipedia, La enciclopedia libre.

Fecha de consulta: 05:41, octubre 21, 2020 desde

[https://es.wikipedia.org/w/index.php?title=Transporte en la Ciudad de M%C3%](https://es.wikipedia.org/w/index.php?title=Transporte_en_la_Ciudad_de_M%C3%A9xico&oldid=130232293)

[A9xico&oldid=130232293](https://es.wikipedia.org/w/index.php?title=Transporte_en_la_Ciudad_de_M%C3%A9xico&oldid=130232293)

Wooldridnge, Jeffrey M., (2009), *Introducción a la econometría: un enfoque moderno, 4ª edición.* Michigan State University, Ed. CENGAGE Learning.



CAPÍTULO VI: ANEXOS



ANEXO I: Serie de Tiempo de la Afluencia Diaria desde el jueves 1 enero del 2015 hasta jueves 27 de febrero del 2019.

AFLUENCIA DIARIA 2015-2019	
FECHA	AFLUENCIA DIARIA
jueves, 1 de enero de 2015	18819
viernes, 2 de enero de 2015	46791
sábado, 3 de enero de 2015	39944
domingo, 4 de enero de 2015	25027
lunes, 5 de enero de 2015	61665
martes, 6 de enero de 2015	58647
miércoles, 7 de enero de 2015	68642
jueves, 8 de enero de 2015	68368
viernes, 9 de enero de 2015	68381
sábado, 10 de enero de 2015	47579
domingo, 11 de enero de 2015	28638
lunes, 12 de enero de 2015	73119
martes, 13 de enero de 2015	71945
miércoles, 14 de enero de 2015	71873
jueves, 15 de enero de 2015	72414
viernes, 16 de enero de 2015	71289
sábado, 17 de enero de 2015	49808
domingo, 18 de enero de 2015	28077
lunes, 19 de enero de 2015	74734
martes, 20 de enero de 2015	74223
miércoles, 21 de enero de 2015	74043
jueves, 22 de enero de 2015	73483
viernes, 23 de enero de 2015	72680
sábado, 24 de enero de 2015	49388
domingo, 25 de enero de 2015	31166
lunes, 26 de enero de 2015	76693
martes, 27 de enero de 2015	75132
miércoles, 28 de enero de 2015	72698
jueves, 29 de enero de 2015	73035
viernes, 30 de enero de 2015	71348
sábado, 31 de enero de 2015	44791
domingo, 1 de febrero de 2015	28570
lunes, 2 de febrero de 2015	33838
martes, 3 de febrero de 2015	75959
miércoles, 4 de febrero de 2015	73866
jueves, 5 de febrero de 2015	71648
viernes, 6 de febrero de 2015	72899
sábado, 7 de febrero de 2015	49017
domingo, 8 de febrero de 2015	26764
lunes, 9 de febrero de 2015	73577
martes, 10 de febrero de 2015	74593
miércoles, 11 de febrero de 2015	72398
jueves, 12 de febrero de 2015	69943
viernes, 13 de febrero de 2015	73642
sábado, 14 de febrero de 2015	49170
domingo, 15 de febrero de 2015	29647
lunes, 16 de febrero de 2015	73947
martes, 17 de febrero de 2015	72813
miércoles, 18 de febrero de 2015	74210
jueves, 19 de febrero de 2015	73390
viernes, 20 de febrero de 2015	72880
sábado, 21 de febrero de 2015	49419
domingo, 22 de febrero de 2015	29255
lunes, 23 de febrero de 2015	75126
martes, 24 de febrero de 2015	72092
miércoles, 25 de febrero de 2015	74378
jueves, 26 de febrero de 2015	73576
viernes, 27 de febrero de 2015	72867
sábado, 28 de febrero de 2015	49575
domingo, 1 de marzo de 2015	28958
lunes, 2 de marzo de 2015	74709
martes, 3 de marzo de 2015	73409
miércoles, 4 de marzo de 2015	73740
jueves, 5 de marzo de 2015	73436
viernes, 6 de marzo de 2015	73372
sábado, 7 de marzo de 2015	50360
domingo, 8 de marzo de 2015	28745
lunes, 9 de marzo de 2015	75536
martes, 10 de marzo de 2015	73289
miércoles, 11 de marzo de 2015	71918
jueves, 12 de marzo de 2015	71582
viernes, 13 de marzo de 2015	69843
sábado, 14 de marzo de 2015	48171
domingo, 15 de marzo de 2015	27446
lunes, 16 de marzo de 2015	34039
martes, 17 de marzo de 2015	74798
miércoles, 18 de marzo de 2015	72375

jueves, 19 de marzo de 2015	70896	martes, 28 de abril de 2015	73571
viernes, 20 de marzo de 2015	70717	miércoles, 29 de abril de 2015	71679
sábado, 21 de marzo de 2015	49101	jueves, 30 de abril de 2015	69524
domingo, 22 de marzo de 2015	29719	viernes, 1 de mayo de 2015	35403
lunes, 23 de marzo de 2015	74712	sábado, 2 de mayo de 2015	42949
martes, 24 de marzo de 2015	72677	domingo, 3 de mayo de 2015	28949
miércoles, 25 de marzo de 2015	73125	lunes, 4 de mayo de 2015	63948
jueves, 26 de marzo de 2015	74273	martes, 5 de mayo de 2015	68020
viernes, 27 de marzo de 2015	69758	miércoles, 6 de mayo de 2015	74206
sábado, 28 de marzo de 2015	46434	jueves, 7 de mayo de 2015	73309
domingo, 29 de marzo de 2015	28375	viernes, 8 de mayo de 2015	71645
lunes, 30 de marzo de 2015	69015	sábado, 9 de mayo de 2015	47973
martes, 31 de marzo de 2015	65657	domingo, 10 de mayo de 2015	28146
miércoles, 1 de abril de 2015	57420	lunes, 11 de mayo de 2015	71580
jueves, 2 de abril de 2015	37625	martes, 12 de mayo de 2015	69304
viernes, 3 de abril de 2015	25280	miércoles, 13 de mayo de 2015	71956
sábado, 4 de abril de 2015	31596	jueves, 14 de mayo de 2015	71708
domingo, 5 de abril de 2015	23764	viernes, 15 de mayo de 2015	65155
lunes, 6 de abril de 2015	67332	sábado, 16 de mayo de 2015	47627
martes, 7 de abril de 2015	68383	domingo, 17 de mayo de 2015	28670
miércoles, 8 de abril de 2015	68491	lunes, 18 de mayo de 2015	73945
jueves, 9 de abril de 2015	68272	martes, 19 de mayo de 2015	72897
viernes, 10 de abril de 2015	68285	miércoles, 20 de mayo de 2015	72608
sábado, 11 de abril de 2015	47771	jueves, 21 de mayo de 2015	72233
domingo, 12 de abril de 2015	29641	viernes, 22 de mayo de 2015	68961
lunes, 13 de abril de 2015	75412	sábado, 23 de mayo de 2015	48087
martes, 14 de abril de 2015	73855	domingo, 24 de mayo de 2015	28848
miércoles, 15 de abril de 2015	73430	lunes, 25 de mayo de 2015	73512
jueves, 16 de abril de 2015	72840	martes, 26 de mayo de 2015	73216
viernes, 17 de abril de 2015	71352	miércoles, 27 de mayo de 2015	68760
sábado, 18 de abril de 2015	49421	jueves, 28 de mayo de 2015	68610
domingo, 19 de abril de 2015	30716	viernes, 29 de mayo de 2015	70112
lunes, 20 de abril de 2015	76389	sábado, 30 de mayo de 2015	44201
martes, 21 de abril de 2015	74062	domingo, 31 de mayo de 2015	26491
miércoles, 22 de abril de 2015	74347	lunes, 1 de junio de 2015	74111
jueves, 23 de abril de 2015	71673	martes, 2 de junio de 2015	71148
viernes, 24 de abril de 2015	70255	miércoles, 3 de junio de 2015	72289
sábado, 25 de abril de 2015	50081	jueves, 4 de junio de 2015	71159
domingo, 26 de abril de 2015	26791	viernes, 5 de junio de 2015	69916
lunes, 27 de abril de 2015	76506	sábado, 6 de junio de 2015	44526



Análisis de la afluencia de un corredor de servicio de transporte concesionado en la Ciudad de México | 212

domingo, 7 de junio de 2015	28426
lunes, 8 de junio de 2015	72955
martes, 9 de junio de 2015	71535
miércoles, 10 de junio de 2015	71633
jueves, 11 de junio de 2015	71404
viernes, 12 de junio de 2015	70011
sábado, 13 de junio de 2015	47067
domingo, 14 de junio de 2015	31108
lunes, 15 de junio de 2015	74235
martes, 16 de junio de 2015	71692
miércoles, 17 de junio de 2015	70741
jueves, 18 de junio de 2015	68186
viernes, 19 de junio de 2015	69752
sábado, 20 de junio de 2015	48467
domingo, 21 de junio de 2015	25882
lunes, 22 de junio de 2015	71435
martes, 23 de junio de 2015	71026
miércoles, 24 de junio de 2015	70697
jueves, 25 de junio de 2015	70787
viernes, 26 de junio de 2015	67832
sábado, 27 de junio de 2015	49395
domingo, 28 de junio de 2015	33447
lunes, 29 de junio de 2015	70822
martes, 30 de junio de 2015	67751
miércoles, 1 de julio de 2015	69866
jueves, 2 de julio de 2015	69846
viernes, 3 de julio de 2015	70005
sábado, 4 de julio de 2015	48452
domingo, 5 de julio de 2015	29320
lunes, 6 de julio de 2015	70991
martes, 7 de julio de 2015	71052
miércoles, 8 de julio de 2015	71041
jueves, 9 de julio de 2015	69540
viernes, 10 de julio de 2015	68373
sábado, 11 de julio de 2015	46194
domingo, 12 de julio de 2015	27432
lunes, 13 de julio de 2015	70946
martes, 14 de julio de 2015	66863
miércoles, 15 de julio de 2015	69034
jueves, 16 de julio de 2015	69145

viernes, 17 de julio de 2015	67339
sábado, 18 de julio de 2015	45285
domingo, 19 de julio de 2015	28018
lunes, 20 de julio de 2015	68986
martes, 21 de julio de 2015	68052
miércoles, 22 de julio de 2015	66271
jueves, 23 de julio de 2015	64846
viernes, 24 de julio de 2015	65131
sábado, 25 de julio de 2015	45846
domingo, 26 de julio de 2015	27394
lunes, 27 de julio de 2015	69683
martes, 28 de julio de 2015	67349
miércoles, 29 de julio de 2015	67685
jueves, 30 de julio de 2015	65936
viernes, 31 de julio de 2015	66194
sábado, 1 de agosto de 2015	45849
domingo, 2 de agosto de 2015	30654
lunes, 3 de agosto de 2015	69488
martes, 4 de agosto de 2015	68226
miércoles, 5 de agosto de 2015	67685
jueves, 6 de agosto de 2015	67889
viernes, 7 de agosto de 2015	67899
sábado, 8 de agosto de 2015	45976
domingo, 9 de agosto de 2015	30901
lunes, 10 de agosto de 2015	75576
martes, 11 de agosto de 2015	72294
miércoles, 12 de agosto de 2015	71840
jueves, 13 de agosto de 2015	70642
viernes, 14 de agosto de 2015	70300
sábado, 15 de agosto de 2015	46376
domingo, 16 de agosto de 2015	28480
lunes, 17 de agosto de 2015	71959
martes, 18 de agosto de 2015	73770
miércoles, 19 de agosto de 2015	73415
jueves, 20 de agosto de 2015	72716
viernes, 21 de agosto de 2015	70777
sábado, 22 de agosto de 2015	47141
domingo, 23 de agosto de 2015	29777
lunes, 24 de agosto de 2015	73134
martes, 25 de agosto de 2015	71552



miércoles, 26 de agosto de 2015	71222	lunes, 5 de octubre de 2015	70038
jueves, 27 de agosto de 2015	70351	martes, 6 de octubre de 2015	71167
viernes, 28 de agosto de 2015	69092	miércoles, 7 de octubre de 2015	71979
sábado, 29 de agosto de 2015	42821	jueves, 8 de octubre de 2015	70391
domingo, 30 de agosto de 2015	27081	viernes, 9 de octubre de 2015	72497
lunes, 31 de agosto de 2015	74358	sábado, 10 de octubre de 2015	46650
martes, 1 de septiembre de 2015	72739	domingo, 11 de octubre de 2015	30796
miércoles, 2 de septiembre de 2015	71906	lunes, 12 de octubre de 2015	69976
jueves, 3 de septiembre de 2015	69791	martes, 13 de octubre de 2015	70345
viernes, 4 de septiembre de 2015	72083	miércoles, 14 de octubre de 2015	70011
sábado, 5 de septiembre de 2015	46328	jueves, 15 de octubre de 2015	71575
domingo, 6 de septiembre de 2015	31331	viernes, 16 de octubre de 2015	68716
lunes, 7 de septiembre de 2015	77561	sábado, 17 de octubre de 2015	49713
martes, 8 de septiembre de 2015	72924	domingo, 18 de octubre de 2015	29522
miércoles, 9 de septiembre de 2015	72951	lunes, 19 de octubre de 2015	72491
jueves, 10 de septiembre de 2015	73509	martes, 20 de octubre de 2015	70811
viernes, 11 de septiembre de 2015	73207	miércoles, 21 de octubre de 2015	71460
sábado, 12 de septiembre de 2015	49373	jueves, 22 de octubre de 2015	71870
domingo, 13 de septiembre de 2015	27288	viernes, 23 de octubre de 2015	68562
lunes, 14 de septiembre de 2015	72696	sábado, 24 de octubre de 2015	48049
martes, 15 de septiembre de 2015	54548	domingo, 25 de octubre de 2015	30982
miércoles, 16 de septiembre de 2015	26048	lunes, 26 de octubre de 2015	69390
jueves, 17 de septiembre de 2015	72607	martes, 27 de octubre de 2015	70319
viernes, 18 de septiembre de 2015	71902	miércoles, 28 de octubre de 2015	68374
sábado, 19 de septiembre de 2015	47025	jueves, 29 de octubre de 2015	66899
domingo, 20 de septiembre de 2015	30326	viernes, 30 de octubre de 2015	68360
lunes, 21 de septiembre de 2015	74348	sábado, 31 de octubre de 2015	43203
martes, 22 de septiembre de 2015	72342	domingo, 1 de noviembre de 2015	26045
miércoles, 23 de septiembre de 2015	73798	lunes, 2 de noviembre de 2015	50395
jueves, 24 de septiembre de 2015	72213	martes, 3 de noviembre de 2015	67054
viernes, 25 de septiembre de 2015	72077	miércoles, 4 de noviembre de 2015	69211
sábado, 26 de septiembre de 2015	47507	jueves, 5 de noviembre de 2015	70870
domingo, 27 de septiembre de 2015	27088	viernes, 6 de noviembre de 2015	67704
lunes, 28 de septiembre de 2015	70590	sábado, 7 de noviembre de 2015	46746
martes, 29 de septiembre de 2015	67950	domingo, 8 de noviembre de 2015	28515
miércoles, 30 de septiembre de 2015	72307	lunes, 9 de noviembre de 2015	70779
jueves, 1 de octubre de 2015	70006	martes, 10 de noviembre de 2015	68560
viernes, 2 de octubre de 2015	70989	miércoles, 11 de noviembre de 2015	68403
sábado, 3 de octubre de 2015	46847	jueves, 12 de noviembre de 2015	69131
domingo, 4 de octubre de 2015	32166	viernes, 13 de noviembre de 2015	65713



sábado, 14 de noviembre de 2015	44963	jueves, 24 de diciembre de 2015	34133
domingo, 15 de noviembre de 2015	30536	viernes, 25 de diciembre de 2015	14977
lunes, 16 de noviembre de 2015	35842	sábado, 26 de diciembre de 2015	29891
martes, 17 de noviembre de 2015	68155	domingo, 27 de diciembre de 2015	23587
miércoles, 18 de noviembre de 2015	66545	lunes, 28 de diciembre de 2015	46984
jueves, 19 de noviembre de 2015	68407	martes, 29 de diciembre de 2015	46815
viernes, 20 de noviembre de 2015	65672	miércoles, 30 de diciembre de 2015	45169
sábado, 21 de noviembre de 2015	45457	jueves, 31 de diciembre de 2015	32691
domingo, 22 de noviembre de 2015	28786	viernes, 1 de enero de 2016	12539
lunes, 23 de noviembre de 2015	67035	sábado, 2 de enero de 2016	27009
martes, 24 de noviembre de 2015	68411	domingo, 3 de enero de 2016	24341
miércoles, 25 de noviembre de 2015	67114	lunes, 4 de enero de 2016	53416
jueves, 26 de noviembre de 2015	65856	martes, 5 de enero de 2016	54251
viernes, 27 de noviembre de 2015	68179	miércoles, 6 de enero de 2016	52897
sábado, 28 de noviembre de 2015	44270	jueves, 7 de enero de 2016	57847
domingo, 29 de noviembre de 2015	29250	viernes, 8 de enero de 2016	59455
lunes, 30 de noviembre de 2015	64702	sábado, 9 de enero de 2016	41163
martes, 1 de diciembre de 2015	64771	domingo, 10 de enero de 2016	25493
miércoles, 2 de diciembre de 2015	64645	lunes, 11 de enero de 2016	61664
jueves, 3 de diciembre de 2015	63892	martes, 12 de enero de 2016	63797
viernes, 4 de diciembre de 2015	61903	miércoles, 13 de enero de 2016	56400
sábado, 5 de diciembre de 2015	46402	jueves, 14 de enero de 2016	61803
domingo, 6 de diciembre de 2015	27420	viernes, 15 de enero de 2016	61288
lunes, 7 de diciembre de 2015	63601	sábado, 16 de enero de 2016	42637
martes, 8 de diciembre de 2015	65180	domingo, 17 de enero de 2016	23899
miércoles, 9 de diciembre de 2015	62499	lunes, 18 de enero de 2016	63501
jueves, 10 de diciembre de 2015	62528	martes, 19 de enero de 2016	62953
viernes, 11 de diciembre de 2015	62439	miércoles, 20 de enero de 2016	63957
sábado, 12 de diciembre de 2015	38248	jueves, 21 de enero de 2016	62724
domingo, 13 de diciembre de 2015	25936	viernes, 22 de enero de 2016	63306
lunes, 14 de diciembre de 2015	60506	sábado, 23 de enero de 2016	43328
martes, 15 de diciembre de 2015	60718	domingo, 24 de enero de 2016	25218
miércoles, 16 de diciembre de 2015	60004	lunes, 25 de enero de 2016	63560
jueves, 17 de diciembre de 2015	59261	martes, 26 de enero de 2016	64456
viernes, 18 de diciembre de 2015	55242	miércoles, 27 de enero de 2016	63143
sábado, 19 de diciembre de 2015	37788	jueves, 28 de enero de 2016	62611
domingo, 20 de diciembre de 2015	28578	viernes, 29 de enero de 2016	60466
lunes, 21 de diciembre de 2015	52989	sábado, 30 de enero de 2016	40722
martes, 22 de diciembre de 2015	53563	domingo, 31 de enero de 2016	23927
miércoles, 23 de diciembre de 2015	51334	lunes, 1 de febrero de 2016	30281



martes, 2 de febrero de 2016	62254	lunes, 14 de marzo de 2016	63813
miércoles, 3 de febrero de 2016	64268	martes, 15 de marzo de 2016	63787
jueves, 4 de febrero de 2016	64170	miércoles, 16 de marzo de 2016	68836
viernes, 5 de febrero de 2016	61450	jueves, 17 de marzo de 2016	69337
sábado, 6 de febrero de 2016	43476	viernes, 18 de marzo de 2016	62776
domingo, 7 de febrero de 2016	26677	sábado, 19 de marzo de 2016	41664
lunes, 8 de febrero de 2016	65187	domingo, 20 de marzo de 2016	28316
martes, 9 de febrero de 2016	63921	lunes, 21 de marzo de 2016	33503
miércoles, 10 de febrero de 2016	65661	martes, 22 de marzo de 2016	54363
jueves, 11 de febrero de 2016	64063	miércoles, 23 de marzo de 2016	52515
viernes, 12 de febrero de 2016	64449	jueves, 24 de marzo de 2016	32247
sábado, 13 de febrero de 2016	44274	viernes, 25 de marzo de 2016	21172
domingo, 14 de febrero de 2016	25274	sábado, 26 de marzo de 2016	26248
lunes, 15 de febrero de 2016	64942	domingo, 27 de marzo de 2016	23085
martes, 16 de febrero de 2016	64802	lunes, 28 de marzo de 2016	60868
miércoles, 17 de febrero de 2016	65088	martes, 29 de marzo de 2016	62031
jueves, 18 de febrero de 2016	65419	miércoles, 30 de marzo de 2016	64951
viernes, 19 de febrero de 2016	63845	jueves, 31 de marzo de 2016	63873
sábado, 20 de febrero de 2016	43435	viernes, 1 de abril de 2016	62123
domingo, 21 de febrero de 2016	28247	sábado, 2 de abril de 2016	43056
lunes, 22 de febrero de 2016	64042	domingo, 3 de abril de 2016	26236
martes, 23 de febrero de 2016	67549	lunes, 4 de abril de 2016	66205
miércoles, 24 de febrero de 2016	64601	martes, 5 de abril de 2016	70567
jueves, 25 de febrero de 2016	66866	miércoles, 6 de abril de 2016	73183
viernes, 26 de febrero de 2016	64314	jueves, 7 de abril de 2016	78354
sábado, 27 de febrero de 2016	44628	viernes, 8 de abril de 2016	79475
domingo, 28 de febrero de 2016	9911	sábado, 9 de abril de 2016	52445
martes, 1 de marzo de 2016	65836	domingo, 10 de abril de 2016	31280
miércoles, 2 de marzo de 2016	63612	lunes, 11 de abril de 2016	79295
jueves, 3 de marzo de 2016	65463	martes, 12 de abril de 2016	79420
viernes, 4 de marzo de 2016	64722	miércoles, 13 de abril de 2016	80530
sábado, 5 de marzo de 2016	44407	jueves, 14 de abril de 2016	78441
domingo, 6 de marzo de 2016	24920	viernes, 15 de abril de 2016	76936
lunes, 7 de marzo de 2016	64687	sábado, 16 de abril de 2016	44818
martes, 8 de marzo de 2016	65824	domingo, 17 de abril de 2016	27758
miércoles, 9 de marzo de 2016	56116	lunes, 18 de abril de 2016	67037
jueves, 10 de marzo de 2016	57267	martes, 19 de abril de 2016	70288
viernes, 11 de marzo de 2016	64066	miércoles, 20 de abril de 2016	70334
sábado, 12 de marzo de 2016	43047	jueves, 21 de abril de 2016	67036
domingo, 13 de marzo de 2016	27715	viernes, 22 de abril de 2016	68333



Análisis de la afluencia de un corredor de servicio de transporte concesionado en la Ciudad de México | 216

sábado, 23 de abril de 2016	46632	jueves, 2 de junio de 2016	67281
domingo, 24 de abril de 2016	26203	viernes, 3 de junio de 2016	66526
lunes, 25 de abril de 2016	68921	sábado, 4 de junio de 2016	46399
martes, 26 de abril de 2016	69151	domingo, 5 de junio de 2016	27169
miércoles, 27 de abril de 2016	70041	lunes, 6 de junio de 2016	69116
jueves, 28 de abril de 2016	70647	martes, 7 de junio de 2016	69074
viernes, 29 de abril de 2016	68586	miércoles, 8 de junio de 2016	68778
sábado, 30 de abril de 2016	47682	jueves, 9 de junio de 2016	67668
domingo, 1 de mayo de 2016	27624	viernes, 10 de junio de 2016	66184
lunes, 2 de mayo de 2016	67317	sábado, 11 de junio de 2016	47000
martes, 3 de mayo de 2016	75689	domingo, 12 de junio de 2016	26014
miércoles, 4 de mayo de 2016	76321	lunes, 13 de junio de 2016	67556
jueves, 5 de mayo de 2016	65521	martes, 14 de junio de 2016	67256
viernes, 6 de mayo de 2016	69188	miércoles, 15 de junio de 2016	67448
sábado, 7 de mayo de 2016	46812	jueves, 16 de junio de 2016	67814
domingo, 8 de mayo de 2016	25713	viernes, 17 de junio de 2016	65858
lunes, 9 de mayo de 2016	69453	sábado, 18 de junio de 2016	44525
martes, 10 de mayo de 2016	53577	domingo, 19 de junio de 2016	21990
miércoles, 11 de mayo de 2016	68147	lunes, 20 de junio de 2016	67188
jueves, 12 de mayo de 2016	69104	martes, 21 de junio de 2016	67896
viernes, 13 de mayo de 2016	67628	miércoles, 22 de junio de 2016	67353
sábado, 14 de mayo de 2016	45923	jueves, 23 de junio de 2016	65396
domingo, 15 de mayo de 2016	27440	viernes, 24 de junio de 2016	64686
lunes, 16 de mayo de 2016	68978	sábado, 25 de junio de 2016	47912
martes, 17 de mayo de 2016	69029	domingo, 26 de junio de 2016	31158
miércoles, 18 de mayo de 2016	69286	lunes, 27 de junio de 2016	65589
jueves, 19 de mayo de 2016	70193	martes, 28 de junio de 2016	64275
viernes, 20 de mayo de 2016	66786	miércoles, 29 de junio de 2016	65355
sábado, 21 de mayo de 2016	50210	jueves, 30 de junio de 2016	64556
domingo, 22 de mayo de 2016	25933	viernes, 1 de julio de 2016	56513
lunes, 23 de mayo de 2016	66287	sábado, 2 de julio de 2016	45221
martes, 24 de mayo de 2016	70161	domingo, 3 de julio de 2016	25542
miércoles, 25 de mayo de 2016	68825	lunes, 4 de julio de 2016	61623
jueves, 26 de mayo de 2016	67858	martes, 5 de julio de 2016	62282
viernes, 27 de mayo de 2016	66320	miércoles, 6 de julio de 2016	62018
sábado, 28 de mayo de 2016	49826	jueves, 7 de julio de 2016	61106
domingo, 29 de mayo de 2016	28978	viernes, 8 de julio de 2016	60729
lunes, 30 de mayo de 2016	68067	sábado, 9 de julio de 2016	45428
martes, 31 de mayo de 2016	69967	domingo, 10 de julio de 2016	26683
miércoles, 1 de junio de 2016	74413	lunes, 11 de julio de 2016	58547



martes, 12 de julio de 2016	61169	domingo, 21 de agosto de 2016	27912
miércoles, 13 de julio de 2016	60063	lunes, 22 de agosto de 2016	66019
jueves, 14 de julio de 2016	59690	martes, 23 de agosto de 2016	66465
viernes, 15 de julio de 2016	59787	miércoles, 24 de agosto de 2016	64617
sábado, 16 de julio de 2016	39847	jueves, 25 de agosto de 2016	65295
domingo, 17 de julio de 2016	27274	viernes, 26 de agosto de 2016	64431
lunes, 18 de julio de 2016	58585	sábado, 27 de agosto de 2016	44987
martes, 19 de julio de 2016	58683	domingo, 28 de agosto de 2016	27189
miércoles, 20 de julio de 2016	59737	lunes, 29 de agosto de 2016	67622
jueves, 21 de julio de 2016	57803	martes, 30 de agosto de 2016	67177
viernes, 22 de julio de 2016	57869	miércoles, 31 de agosto de 2016	66598
sábado, 23 de julio de 2016	40737	jueves, 1 de septiembre de 2016	65227
domingo, 24 de julio de 2016	26946	viernes, 2 de septiembre de 2016	64889
lunes, 25 de julio de 2016	58644	sábado, 3 de septiembre de 2016	42089
martes, 26 de julio de 2016	60782	domingo, 4 de septiembre de 2016	25897
miércoles, 27 de julio de 2016	58243	lunes, 5 de septiembre de 2016	67931
jueves, 28 de julio de 2016	59451	martes, 6 de septiembre de 2016	65728
viernes, 29 de julio de 2016	56737	miércoles, 7 de septiembre de 2016	65335
sábado, 30 de julio de 2016	40596	jueves, 8 de septiembre de 2016	64808
domingo, 31 de julio de 2016	25071	viernes, 9 de septiembre de 2016	65698
lunes, 1 de agosto de 2016	62310	sábado, 10 de septiembre de 2016	44182
martes, 2 de agosto de 2016	59650	domingo, 11 de septiembre de 2016	27000
miércoles, 3 de agosto de 2016	60437	lunes, 12 de septiembre de 2016	66362
jueves, 4 de agosto de 2016	61221	martes, 13 de septiembre de 2016	65572
viernes, 5 de agosto de 2016	60474	miércoles, 14 de septiembre de 2016	65024
sábado, 6 de agosto de 2016	41040	jueves, 15 de septiembre de 2016	37716
domingo, 7 de agosto de 2016	26825	viernes, 16 de septiembre de 2016	33735
lunes, 8 de agosto de 2016	61481	sábado, 17 de septiembre de 2016	41187
martes, 9 de agosto de 2016	65113	domingo, 18 de septiembre de 2016	24836
miércoles, 10 de agosto de 2016	62738	lunes, 19 de septiembre de 2016	65222
jueves, 11 de agosto de 2016	65940	martes, 20 de septiembre de 2016	64452
viernes, 12 de agosto de 2016	64483	miércoles, 21 de septiembre de 2016	64611
sábado, 13 de agosto de 2016	43115	jueves, 22 de septiembre de 2016	65264
domingo, 14 de agosto de 2016	25921	viernes, 23 de septiembre de 2016	63815
lunes, 15 de agosto de 2016	66203	sábado, 24 de septiembre de 2016	44518
martes, 16 de agosto de 2016	65937	domingo, 25 de septiembre de 2016	24477
miércoles, 17 de agosto de 2016	66022	lunes, 26 de septiembre de 2016	66311
jueves, 18 de agosto de 2016	62038	martes, 27 de septiembre de 2016	63523
viernes, 19 de agosto de 2016	66482	miércoles, 28 de septiembre de 2016	63286
sábado, 20 de agosto de 2016	42799	jueves, 29 de septiembre de 2016	62634



viernes, 30 de septiembre de 2016	64287	miércoles, 9 de noviembre de 2016	61896
sábado, 1 de octubre de 2016	41099	jueves, 10 de noviembre de 2016	61357
domingo, 2 de octubre de 2016	30146	viernes, 11 de noviembre de 2016	61314
lunes, 3 de octubre de 2016	62561	sábado, 12 de noviembre de 2016	42770
martes, 4 de octubre de 2016	68702	domingo, 13 de noviembre de 2016	26217
miércoles, 5 de octubre de 2016	65457	lunes, 14 de noviembre de 2016	64618
jueves, 6 de octubre de 2016	65525	martes, 15 de noviembre de 2016	63872
viernes, 7 de octubre de 2016	65202	miércoles, 16 de noviembre de 2016	60809
sábado, 8 de octubre de 2016	44733	jueves, 17 de noviembre de 2016	63489
domingo, 9 de octubre de 2016	23986	viernes, 18 de noviembre de 2016	61809
lunes, 10 de octubre de 2016	66827	sábado, 19 de noviembre de 2016	45252
martes, 11 de octubre de 2016	65174	domingo, 20 de noviembre de 2016	26707
miércoles, 12 de octubre de 2016	62105	lunes, 21 de noviembre de 2016	29769
jueves, 13 de octubre de 2016	65242	martes, 22 de noviembre de 2016	63465
viernes, 14 de octubre de 2016	63154	miércoles, 23 de noviembre de 2016	66036
sábado, 15 de octubre de 2016	45075	jueves, 24 de noviembre de 2016	62527
domingo, 16 de octubre de 2016	25006	viernes, 25 de noviembre de 2016	60819
lunes, 17 de octubre de 2016	64949	sábado, 26 de noviembre de 2016	41176
martes, 18 de octubre de 2016	65575	domingo, 27 de noviembre de 2016	26370
miércoles, 19 de octubre de 2016	65692	lunes, 28 de noviembre de 2016	63551
jueves, 20 de octubre de 2016	64191	martes, 29 de noviembre de 2016	64383
viernes, 21 de octubre de 2016	63406	miércoles, 30 de noviembre de 2016	63372
sábado, 22 de octubre de 2016	44778	jueves, 1 de diciembre de 2016	63845
domingo, 23 de octubre de 2016	27193	viernes, 2 de diciembre de 2016	60710
lunes, 24 de octubre de 2016	65430	sábado, 3 de diciembre de 2016	44323
martes, 25 de octubre de 2016	65126	domingo, 4 de diciembre de 2016	24406
miércoles, 26 de octubre de 2016	64831	lunes, 5 de diciembre de 2016	63814
jueves, 27 de octubre de 2016	63664	martes, 6 de diciembre de 2016	63294
viernes, 28 de octubre de 2016	59926	miércoles, 7 de diciembre de 2016	62213
sábado, 29 de octubre de 2016	41591	jueves, 8 de diciembre de 2016	61321
domingo, 30 de octubre de 2016	25446	viernes, 9 de diciembre de 2016	57932
lunes, 31 de octubre de 2016	60602	sábado, 10 de diciembre de 2016	42485
martes, 1 de noviembre de 2016	54734	domingo, 11 de diciembre de 2016	22447
miércoles, 2 de noviembre de 2016	35156	lunes, 12 de diciembre de 2016	54003
jueves, 3 de noviembre de 2016	63398	martes, 13 de diciembre de 2016	58901
viernes, 4 de noviembre de 2016	62292	miércoles, 14 de diciembre de 2016	58994
sábado, 5 de noviembre de 2016	43298	jueves, 15 de diciembre de 2016	55725
domingo, 6 de noviembre de 2016	26955	viernes, 16 de diciembre de 2016	56607
lunes, 7 de noviembre de 2016	65911	sábado, 17 de diciembre de 2016	42772
martes, 8 de noviembre de 2016	63414	domingo, 18 de diciembre de 2016	24471



lunes, 19 de diciembre de 2016	54186	sábado, 28 de enero de 2017	41171
martes, 20 de diciembre de 2016	51870	domingo, 29 de enero de 2017	25155
miércoles, 21 de diciembre de 2016	52499	lunes, 30 de enero de 2017	64984
jueves, 22 de diciembre de 2016	50364	martes, 31 de enero de 2017	64696
viernes, 23 de diciembre de 2016	49719	miércoles, 1 de febrero de 2017	65013
sábado, 24 de diciembre de 2016	21562	jueves, 2 de febrero de 2017	63261
domingo, 25 de diciembre de 2016	15806	viernes, 3 de febrero de 2017	62785
lunes, 26 de diciembre de 2016	44713	sábado, 4 de febrero de 2017	40439
martes, 27 de diciembre de 2016	44664	domingo, 5 de febrero de 2017	24323
miércoles, 28 de diciembre de 2016	45062	lunes, 6 de febrero de 2017	28889
jueves, 29 de diciembre de 2016	43887	martes, 7 de febrero de 2017	68801
viernes, 30 de diciembre de 2016	41844	miércoles, 8 de febrero de 2017	64305
sábado, 31 de diciembre de 2016	21443	jueves, 9 de febrero de 2017	64821
domingo, 1 de enero de 2017	11503	viernes, 10 de febrero de 2017	62850
lunes, 2 de enero de 2017	46111	sábado, 11 de febrero de 2017	41212
martes, 3 de enero de 2017	51951	domingo, 12 de febrero de 2017	25613
miércoles, 4 de enero de 2017	51283	lunes, 13 de febrero de 2017	66188
jueves, 5 de enero de 2017	55393	martes, 14 de febrero de 2017	63132
viernes, 6 de enero de 2017	50780	miércoles, 15 de febrero de 2017	64627
sábado, 7 de enero de 2017	37444	jueves, 16 de febrero de 2017	63899
domingo, 8 de enero de 2017	24590	viernes, 17 de febrero de 2017	61815
lunes, 9 de enero de 2017	59312	sábado, 18 de febrero de 2017	42774
martes, 10 de enero de 2017	60334	domingo, 19 de febrero de 2017	27326
miércoles, 11 de enero de 2017	61173	lunes, 20 de febrero de 2017	63490
jueves, 12 de enero de 2017	61281	martes, 21 de febrero de 2017	64755
viernes, 13 de enero de 2017	60239	miércoles, 22 de febrero de 2017	65729
sábado, 14 de enero de 2017	40805	jueves, 23 de febrero de 2017	63975
domingo, 15 de enero de 2017	22474	viernes, 24 de febrero de 2017	62330
lunes, 16 de enero de 2017	62588	sábado, 25 de febrero de 2017	42638
martes, 17 de enero de 2017	61933	domingo, 26 de febrero de 2017	24016
miércoles, 18 de enero de 2017	62288	lunes, 27 de febrero de 2017	63709
jueves, 19 de enero de 2017	62711	martes, 28 de febrero de 2017	65023
viernes, 20 de enero de 2017	61697	miércoles, 1 de marzo de 2017	65139
sábado, 21 de enero de 2017	42516	jueves, 2 de marzo de 2017	63970
domingo, 22 de enero de 2017	24072	viernes, 3 de marzo de 2017	62073
lunes, 23 de enero de 2017	63601	sábado, 4 de marzo de 2017	42980
martes, 24 de enero de 2017	62124	domingo, 5 de marzo de 2017	27274
miércoles, 25 de enero de 2017	64432	lunes, 6 de marzo de 2017	64054
jueves, 26 de enero de 2017	64088	martes, 7 de marzo de 2017	65476
viernes, 27 de enero de 2017	61967	miércoles, 8 de marzo de 2017	63838



Análisis de la afluencia de un corredor de servicio de transporte concesionado en la Ciudad de México | 220

jueves, 9 de marzo de 2017	63579	martes, 18 de abril de 2017	58383
viernes, 10 de marzo de 2017	62641	miércoles, 19 de abril de 2017	58394
sábado, 11 de marzo de 2017	42624	jueves, 20 de abril de 2017	56900
domingo, 12 de marzo de 2017	26278	viernes, 21 de abril de 2017	57276
lunes, 13 de marzo de 2017	63901	sábado, 22 de abril de 2017	40518
martes, 14 de marzo de 2017	63661	domingo, 23 de abril de 2017	25191
miércoles, 15 de marzo de 2017	61554	lunes, 24 de abril de 2017	64683
jueves, 16 de marzo de 2017	62399	martes, 25 de abril de 2017	61855
viernes, 17 de marzo de 2017	60669	miércoles, 26 de abril de 2017	62453
sábado, 18 de marzo de 2017	41478	jueves, 27 de abril de 2017	59896
domingo, 19 de marzo de 2017	27366	viernes, 28 de abril de 2017	58704
lunes, 20 de marzo de 2017	25635	sábado, 29 de abril de 2017	37507
martes, 21 de marzo de 2017	67208	domingo, 30 de abril de 2017	22234
miércoles, 22 de marzo de 2017	65422	lunes, 1 de mayo de 2017	24217
jueves, 23 de marzo de 2017	63210	martes, 2 de mayo de 2017	61958
viernes, 24 de marzo de 2017	60809	miércoles, 3 de mayo de 2017	60959
sábado, 25 de marzo de 2017	40072	jueves, 4 de mayo de 2017	56538
domingo, 26 de marzo de 2017	25627	viernes, 5 de mayo de 2017	51246
lunes, 27 de marzo de 2017	65706	sábado, 6 de mayo de 2017	36928
martes, 28 de marzo de 2017	65293	domingo, 7 de mayo de 2017	25716
miércoles, 29 de marzo de 2017	64796	lunes, 8 de mayo de 2017	59465
jueves, 30 de marzo de 2017	65391	martes, 9 de mayo de 2017	58763
viernes, 31 de marzo de 2017	63334	miércoles, 10 de mayo de 2017	45910
sábado, 1 de abril de 2017	40171	jueves, 11 de mayo de 2017	59476
domingo, 2 de abril de 2017	24821	viernes, 12 de mayo de 2017	57046
lunes, 3 de abril de 2017	64265	sábado, 13 de mayo de 2017	37917
martes, 4 de abril de 2017	64186	domingo, 14 de mayo de 2017	25375
miércoles, 5 de abril de 2017	63715	lunes, 15 de mayo de 2017	55977
jueves, 6 de abril de 2017	62686	martes, 16 de mayo de 2017	61802
viernes, 7 de abril de 2017	61767	miércoles, 17 de mayo de 2017	63261
sábado, 8 de abril de 2017	38135	jueves, 18 de mayo de 2017	61856
domingo, 9 de abril de 2017	27087	viernes, 19 de mayo de 2017	61173
lunes, 10 de abril de 2017	55098	sábado, 20 de mayo de 2017	37926
martes, 11 de abril de 2017	54104	domingo, 21 de mayo de 2017	25817
miércoles, 12 de abril de 2017	49984	lunes, 22 de mayo de 2017	60810
jueves, 13 de abril de 2017	29656	martes, 23 de mayo de 2017	62427
viernes, 14 de abril de 2017	22927	miércoles, 24 de mayo de 2017	64084
sábado, 15 de abril de 2017	24769	jueves, 25 de mayo de 2017	55179
domingo, 16 de abril de 2017	20787	viernes, 26 de mayo de 2017	54985
lunes, 17 de abril de 2017	54665	sábado, 27 de mayo de 2017	39293



Análisis de la afluencia de un corredor de servicio de transporte concesionado en la Ciudad de México | 221

domingo, 28 de mayo de 2017	22984	viernes, 7 de julio de 2017	52673
lunes, 29 de mayo de 2017	54548	sábado, 8 de julio de 2017	36216
martes, 30 de mayo de 2017	56071	domingo, 9 de julio de 2017	21905
miércoles, 31 de mayo de 2017	55972	lunes, 10 de julio de 2017	53402
jueves, 1 de junio de 2017	55768	martes, 11 de julio de 2017	52763
viernes, 2 de junio de 2017	54127	miércoles, 12 de julio de 2017	53631
sábado, 3 de junio de 2017	38706	jueves, 13 de julio de 2017	52279
domingo, 4 de junio de 2017	24161	viernes, 14 de julio de 2017	51229
lunes, 5 de junio de 2017	57121	sábado, 15 de julio de 2017	36596
martes, 6 de junio de 2017	57820	domingo, 16 de julio de 2017	20504
miércoles, 7 de junio de 2017	56396	lunes, 17 de julio de 2017	53767
jueves, 8 de junio de 2017	56470	martes, 18 de julio de 2017	52286
viernes, 9 de junio de 2017	55221	miércoles, 19 de julio de 2017	52681
sábado, 10 de junio de 2017	38121	jueves, 20 de julio de 2017	51821
domingo, 11 de junio de 2017	23748	viernes, 21 de julio de 2017	50090
lunes, 12 de junio de 2017	56654	sábado, 22 de julio de 2017	35320
martes, 13 de junio de 2017	55765	domingo, 23 de julio de 2017	20280
miércoles, 14 de junio de 2017	56598	lunes, 24 de julio de 2017	51303
jueves, 15 de junio de 2017	54977	martes, 25 de julio de 2017	50309
viernes, 16 de junio de 2017	54467	miércoles, 26 de julio de 2017	50446
sábado, 17 de junio de 2017	39651	jueves, 27 de julio de 2017	50811
domingo, 18 de junio de 2017	19925	viernes, 28 de julio de 2017	50614
lunes, 19 de junio de 2017	55830	sábado, 29 de julio de 2017	34907
martes, 20 de junio de 2017	55436	domingo, 30 de julio de 2017	22299
miércoles, 21 de junio de 2017	55987	lunes, 31 de julio de 2017	53023
jueves, 22 de junio de 2017	56305	martes, 1 de agosto de 2017	53668
viernes, 23 de junio de 2017	54441	miércoles, 2 de agosto de 2017	53924
sábado, 24 de junio de 2017	41393	jueves, 3 de agosto de 2017	52216
domingo, 25 de junio de 2017	27222	viernes, 4 de agosto de 2017	51424
lunes, 26 de junio de 2017	53959	sábado, 5 de agosto de 2017	37186
martes, 27 de junio de 2017	54101	domingo, 6 de agosto de 2017	24639
miércoles, 28 de junio de 2017	52620	lunes, 7 de agosto de 2017	57073
jueves, 29 de junio de 2017	53473	martes, 8 de agosto de 2017	56120
viernes, 30 de junio de 2017	52118	miércoles, 9 de agosto de 2017	57395
sábado, 1 de julio de 2017	36382	jueves, 10 de agosto de 2017	50969
domingo, 2 de julio de 2017	21127	viernes, 11 de agosto de 2017	55141
lunes, 3 de julio de 2017	56087	sábado, 12 de agosto de 2017	35224
martes, 4 de julio de 2017	53275	domingo, 13 de agosto de 2017	23625
miércoles, 5 de julio de 2017	54613	lunes, 14 de agosto de 2017	59580
jueves, 6 de julio de 2017	53640	martes, 15 de agosto de 2017	58274



Análisis de la afluencia de un corredor de servicio de transporte concesionado en la Ciudad de México | 222

miércoles, 16 de agosto de 2017	58635	lunes, 25 de septiembre de 2017	50369
jueves, 17 de agosto de 2017	58715	martes, 26 de septiembre de 2017	54585
viernes, 18 de agosto de 2017	54952	miércoles, 27 de septiembre de 2017	51599
sábado, 19 de agosto de 2017	38286	jueves, 28 de septiembre de 2017	52277
domingo, 20 de agosto de 2017	23396	viernes, 29 de septiembre de 2017	49657
lunes, 21 de agosto de 2017	57737	sábado, 30 de septiembre de 2017	34771
martes, 22 de agosto de 2017	58728	domingo, 1 de octubre de 2017	19857
miércoles, 23 de agosto de 2017	58515	lunes, 2 de octubre de 2017	55031
jueves, 24 de agosto de 2017	58804	martes, 3 de octubre de 2017	54997
viernes, 25 de agosto de 2017	55716	miércoles, 4 de octubre de 2017	54213
sábado, 26 de agosto de 2017	39012	jueves, 5 de octubre de 2017	54948
domingo, 27 de agosto de 2017	21974	viernes, 6 de octubre de 2017	54737
lunes, 28 de agosto de 2017	54675	sábado, 7 de octubre de 2017	38750
martes, 29 de agosto de 2017	55604	domingo, 8 de octubre de 2017	23157
miércoles, 30 de agosto de 2017	54090	lunes, 9 de octubre de 2017	57419
jueves, 31 de agosto de 2017	56642	martes, 10 de octubre de 2017	54872
viernes, 1 de septiembre de 2017	52555	miércoles, 11 de octubre de 2017	56351
sábado, 2 de septiembre de 2017	37476	jueves, 12 de octubre de 2017	55086
domingo, 3 de septiembre de 2017	21897	viernes, 13 de octubre de 2017	55183
lunes, 4 de septiembre de 2017	56778	sábado, 14 de octubre de 2017	38724
martes, 5 de septiembre de 2017	57573	domingo, 15 de octubre de 2017	22735
miércoles, 6 de septiembre de 2017	49891	lunes, 16 de octubre de 2017	56675
jueves, 7 de septiembre de 2017	52557	martes, 17 de octubre de 2017	55859
viernes, 8 de septiembre de 2017	49904	miércoles, 18 de octubre de 2017	57203
sábado, 9 de septiembre de 2017	36823	jueves, 19 de octubre de 2017	55661
domingo, 10 de septiembre de 2017	22586	viernes, 20 de octubre de 2017	55089
lunes, 11 de septiembre de 2017	57774	sábado, 21 de octubre de 2017	38279
martes, 12 de septiembre de 2017	59095	domingo, 22 de octubre de 2017	23784
miércoles, 13 de septiembre de 2017	58216	lunes, 23 de octubre de 2017	5765
jueves, 14 de septiembre de 2017	57022	martes, 24 de octubre de 2017	55616
viernes, 15 de septiembre de 2017	41880	miércoles, 25 de octubre de 2017	57051
sábado, 16 de septiembre de 2017	22479	jueves, 26 de octubre de 2017	55814
domingo, 17 de septiembre de 2017	22980	viernes, 27 de octubre de 2017	54688
lunes, 18 de septiembre de 2017	60590	sábado, 28 de octubre de 2017	36570
martes, 19 de septiembre de 2017	47004	domingo, 29 de octubre de 2017	22725
miércoles, 20 de septiembre de 2017	34927	lunes, 30 de octubre de 2017	55380
jueves, 21 de septiembre de 2017	42475	martes, 31 de octubre de 2017	54508
viernes, 22 de septiembre de 2017	45837	miércoles, 1 de noviembre de 2017	41598
sábado, 23 de septiembre de 2017	34664	jueves, 2 de noviembre de 2017	35688
domingo, 24 de septiembre de 2017	20798	viernes, 3 de noviembre de 2017	55693



sábado, 4 de noviembre de 2017	38109	jueves, 14 de diciembre de 2017	49961
domingo, 5 de noviembre de 2017	23422	viernes, 15 de diciembre de 2017	49474
lunes, 6 de noviembre de 2017	56981	sábado, 16 de diciembre de 2017	36030
martes, 7 de noviembre de 2017	56574	domingo, 17 de diciembre de 2017	20320
miércoles, 8 de noviembre de 2017	56572	lunes, 18 de diciembre de 2017	51749
jueves, 9 de noviembre de 2017	55726	martes, 19 de diciembre de 2017	47096
viernes, 10 de noviembre de 2017	55290	miércoles, 20 de diciembre de 2017	47448
sábado, 11 de noviembre de 2017	38966	jueves, 21 de diciembre de 2017	47140
domingo, 12 de noviembre de 2017	22308	viernes, 22 de diciembre de 2017	43581
lunes, 13 de noviembre de 2017	56858	sábado, 23 de diciembre de 2017	31019
martes, 14 de noviembre de 2017	56795	domingo, 24 de diciembre de 2017	16040
miércoles, 15 de noviembre de 2017	55715	lunes, 25 de diciembre de 2017	10328
jueves, 16 de noviembre de 2017	55303	martes, 26 de diciembre de 2017	39720
viernes, 17 de noviembre de 2017	53940	miércoles, 27 de diciembre de 2017	40706
sábado, 18 de noviembre de 2017	37307	jueves, 28 de diciembre de 2017	40931
domingo, 19 de noviembre de 2017	21783	viernes, 29 de diciembre de 2017	38819
lunes, 20 de noviembre de 2017	27823	sábado, 30 de diciembre de 2017	28125
martes, 21 de noviembre de 2017	56093	domingo, 31 de diciembre de 2017	14679
miércoles, 22 de noviembre de 2017	54795	lunes, 1 de enero de 2018	10470
jueves, 23 de noviembre de 2017	54680	martes, 2 de enero de 2018	40600
viernes, 24 de noviembre de 2017	54707	miércoles, 3 de enero de 2018	44673
sábado, 25 de noviembre de 2017	39666	jueves, 4 de enero de 2018	45225
domingo, 26 de noviembre de 2017	21415	viernes, 5 de enero de 2018	40022
lunes, 27 de noviembre de 2017	55752	sábado, 6 de enero de 2018	35965
martes, 28 de noviembre de 2017	55339	domingo, 7 de enero de 2018	22229
miércoles, 29 de noviembre de 2017	56150	lunes, 8 de enero de 2018	52574
jueves, 30 de noviembre de 2017	53827	martes, 9 de enero de 2018	52767
viernes, 1 de diciembre de 2017	54397	miércoles, 10 de enero de 2018	53475
sábado, 2 de diciembre de 2017	38078	jueves, 11 de enero de 2018	53082
domingo, 3 de diciembre de 2017	22134	viernes, 12 de enero de 2018	51170
lunes, 4 de diciembre de 2017	56314	sábado, 13 de enero de 2018	35678
martes, 5 de diciembre de 2017	53956	domingo, 14 de enero de 2018	21307
miércoles, 6 de diciembre de 2017	53067	lunes, 15 de enero de 2018	54437
jueves, 7 de diciembre de 2017	54056	martes, 16 de enero de 2018	54638
viernes, 8 de diciembre de 2017	52599	miércoles, 17 de enero de 2018	53790
sábado, 9 de diciembre de 2017	37250	jueves, 18 de enero de 2018	53355
domingo, 10 de diciembre de 2017	21860	viernes, 19 de enero de 2018	53473
lunes, 11 de diciembre de 2017	50874	sábado, 20 de enero de 2018	36498
martes, 12 de diciembre de 2017	50874	domingo, 21 de enero de 2018	21454
miércoles, 13 de diciembre de 2017	50874	lunes, 22 de enero de 2018	55228



martes, 23 de enero de 2018	55059	domingo, 4 de marzo de 2018	21447
miércoles, 24 de enero de 2018	54085	lunes, 5 de marzo de 2018	56909
jueves, 25 de enero de 2018	53515	martes, 6 de marzo de 2018	57087
viernes, 26 de enero de 2018	54469	miércoles, 7 de marzo de 2018	56310
sábado, 27 de enero de 2018	35624	jueves, 8 de marzo de 2018	55706
domingo, 28 de enero de 2018	20295	viernes, 9 de marzo de 2018	54781
lunes, 29 de enero de 2018	55060	sábado, 10 de marzo de 2018	38993
martes, 30 de enero de 2018	54278	domingo, 11 de marzo de 2018	21944
miércoles, 31 de enero de 2018	52542	lunes, 12 de marzo de 2018	56344
jueves, 1 de febrero de 2018	54608	martes, 13 de marzo de 2018	56344
viernes, 2 de febrero de 2018	53915	miércoles, 14 de marzo de 2018	56107
sábado, 3 de febrero de 2018	35004	jueves, 15 de marzo de 2018	55543
domingo, 4 de febrero de 2018	21213	viernes, 16 de marzo de 2018	54358
lunes, 5 de febrero de 2018	25554	sábado, 17 de marzo de 2018	38957
martes, 6 de febrero de 2018	57843	domingo, 18 de marzo de 2018	21367
miércoles, 7 de febrero de 2018	56421	lunes, 19 de marzo de 2018	23389
jueves, 8 de febrero de 2018	55571	martes, 20 de marzo de 2018	59772
viernes, 9 de febrero de 2018	53514	miércoles, 21 de marzo de 2018	55656
sábado, 10 de febrero de 2018	38446	jueves, 22 de marzo de 2018	55329
domingo, 11 de febrero de 2018	20854	viernes, 23 de marzo de 2018	55439
lunes, 12 de febrero de 2018	57263	sábado, 24 de marzo de 2018	36944
martes, 13 de febrero de 2018	56293	domingo, 25 de marzo de 2018	20307
miércoles, 14 de febrero de 2018	55937	lunes, 26 de marzo de 2018	50643
jueves, 15 de febrero de 2018	55052	martes, 27 de marzo de 2018	48485
viernes, 16 de febrero de 2018	53711	miércoles, 28 de marzo de 2018	47107
sábado, 17 de febrero de 2018	38463	jueves, 29 de marzo de 2018	28466
domingo, 18 de febrero de 2018	21831	viernes, 30 de marzo de 2018	19818
lunes, 19 de febrero de 2018	55887	sábado, 31 de marzo de 2018	19479
martes, 20 de febrero de 2018	56288	domingo, 1 de abril de 2018	16568
miércoles, 21 de febrero de 2018	56184	lunes, 2 de abril de 2018	52987
jueves, 22 de febrero de 2018	56495	martes, 3 de abril de 2018	52372
viernes, 23 de febrero de 2018	53166	miércoles, 4 de abril de 2018	48259
sábado, 24 de febrero de 2018	40263	jueves, 5 de abril de 2018	56247
domingo, 25 de febrero de 2018	22013	viernes, 6 de abril de 2018	50935
lunes, 26 de febrero de 2018	56875	sábado, 7 de abril de 2018	38690
martes, 27 de febrero de 2018	55046	domingo, 8 de abril de 2018	19939
miércoles, 28 de febrero de 2018	57689	lunes, 9 de abril de 2018	55581
jueves, 1 de marzo de 2018	54959	martes, 10 de abril de 2018	53815
viernes, 2 de marzo de 2018	53992	miércoles, 11 de abril de 2018	56897
sábado, 3 de marzo de 2018	39302	jueves, 12 de abril de 2018	53948



Análisis de la afluencia de un corredor de servicio de transporte concesionado en la Ciudad de México | 225

viernes, 13 de abril de 2018	54575	miércoles, 23 de mayo de 2018	53426
sábado, 14 de abril de 2018	36405	jueves, 24 de mayo de 2018	52211
domingo, 15 de abril de 2018	22373	viernes, 25 de mayo de 2018	51985
lunes, 16 de abril de 2018	55289	sábado, 26 de mayo de 2018	34884
martes, 17 de abril de 2018	53515	domingo, 27 de mayo de 2018	20914
miércoles, 18 de abril de 2018	55775	lunes, 28 de mayo de 2018	53536
jueves, 19 de abril de 2018	54262	martes, 29 de mayo de 2018	53740
viernes, 20 de abril de 2018	51054	miércoles, 30 de mayo de 2018	53270
sábado, 21 de abril de 2018	36651	jueves, 31 de mayo de 2018	52789
domingo, 22 de abril de 2018	20522	viernes, 1 de junio de 2018	52368
lunes, 23 de abril de 2018	54968	sábado, 2 de junio de 2018	36877
martes, 24 de abril de 2018	54585	domingo, 3 de junio de 2018	21749
miércoles, 25 de abril de 2018	55122	lunes, 4 de junio de 2018	53385
jueves, 26 de abril de 2018	54400	martes, 5 de junio de 2018	54173
viernes, 27 de abril de 2018	54676	miércoles, 6 de junio de 2018	53374
sábado, 28 de abril de 2018	36661	jueves, 7 de junio de 2018	55682
domingo, 29 de abril de 2018	20728	viernes, 8 de junio de 2018	52667
lunes, 30 de abril de 2018	51547	sábado, 9 de junio de 2018	35559
martes, 1 de mayo de 2018	25206	domingo, 10 de junio de 2018	23274
miércoles, 2 de mayo de 2018	56419	lunes, 11 de junio de 2018	54326
jueves, 3 de mayo de 2018	53433	martes, 12 de junio de 2018	52306
viernes, 4 de mayo de 2018	52263	miércoles, 13 de junio de 2018	50274
sábado, 5 de mayo de 2018	35448	jueves, 14 de junio de 2018	49648
domingo, 6 de mayo de 2018	20309	viernes, 15 de junio de 2018	50870
lunes, 7 de mayo de 2018	53327	sábado, 16 de junio de 2018	36482
martes, 8 de mayo de 2018	53683	domingo, 17 de junio de 2018	17933
miércoles, 9 de mayo de 2018	53801	lunes, 18 de junio de 2018	49710
jueves, 10 de mayo de 2018	38011	martes, 19 de junio de 2018	52914
viernes, 11 de mayo de 2018	54704	miércoles, 20 de junio de 2018	53127
sábado, 12 de mayo de 2018	36691	jueves, 21 de junio de 2018	51321
domingo, 13 de mayo de 2018	20822	viernes, 22 de junio de 2018	51764
lunes, 14 de mayo de 2018	54544	sábado, 23 de junio de 2018	37355
martes, 15 de mayo de 2018	50410	domingo, 24 de junio de 2018	25790
miércoles, 16 de mayo de 2018	53131	lunes, 25 de junio de 2018	52637
jueves, 17 de mayo de 2018	52075	martes, 26 de junio de 2018	50732
viernes, 18 de mayo de 2018	52889	miércoles, 27 de junio de 2018	51006
sábado, 19 de mayo de 2018	34511	jueves, 28 de junio de 2018	50917
domingo, 20 de mayo de 2018	23035	viernes, 29 de junio de 2018	51159
lunes, 21 de mayo de 2018	51930	sábado, 30 de junio de 2018	35470
martes, 22 de mayo de 2018	54112	domingo, 1 de julio de 2018	20373



lunes, 2 de julio de 2018	49847	sábado, 11 de agosto de 2018	35321
martes, 3 de julio de 2018	51834	domingo, 12 de agosto de 2018	20753
miércoles, 4 de julio de 2018	50712	lunes, 13 de agosto de 2018	55345
jueves, 5 de julio de 2018	51130	martes, 14 de agosto de 2018	56617
viernes, 6 de julio de 2018	49191	miércoles, 15 de agosto de 2018	54103
sábado, 7 de julio de 2018	35250	jueves, 16 de agosto de 2018	55090
domingo, 8 de julio de 2018	20656	viernes, 17 de agosto de 2018	54127
lunes, 9 de julio de 2018	49859	sábado, 18 de agosto de 2018	36330
martes, 10 de julio de 2018	50199	domingo, 19 de agosto de 2018	22354
miércoles, 11 de julio de 2018	50657	lunes, 20 de agosto de 2018	54540
jueves, 12 de julio de 2018	49125	martes, 21 de agosto de 2018	54540
viernes, 13 de julio de 2018	48311	miércoles, 22 de agosto de 2018	55004
sábado, 14 de julio de 2018	34893	jueves, 23 de agosto de 2018	54712
domingo, 15 de julio de 2018	21314	viernes, 24 de agosto de 2018	53017
lunes, 16 de julio de 2018	48312	sábado, 25 de agosto de 2018	36365
martes, 17 de julio de 2018	49980	domingo, 26 de agosto de 2018	22757
miércoles, 18 de julio de 2018	49659	lunes, 27 de agosto de 2018	55121
jueves, 19 de julio de 2018	49842	martes, 28 de agosto de 2018	53108
viernes, 20 de julio de 2018	48367	miércoles, 29 de agosto de 2018	54791
sábado, 21 de julio de 2018	34820	jueves, 30 de agosto de 2018	52357
domingo, 22 de julio de 2018	22434	viernes, 31 de agosto de 2018	53339
lunes, 23 de julio de 2018	49869	sábado, 1 de septiembre de 2018	35816
martes, 24 de julio de 2018	50150	domingo, 2 de septiembre de 2018	21071
miércoles, 25 de julio de 2018	49229	lunes, 3 de septiembre de 2018	55259
jueves, 26 de julio de 2018	49831	martes, 4 de septiembre de 2018	54991
viernes, 27 de julio de 2018	45769	miércoles, 5 de septiembre de 2018	54436
sábado, 28 de julio de 2018	36839	jueves, 6 de septiembre de 2018	53661
domingo, 29 de julio de 2018	21870	viernes, 7 de septiembre de 2018	53727
lunes, 30 de julio de 2018	51381	sábado, 8 de septiembre de 2018	37120
martes, 31 de julio de 2018	51110	domingo, 9 de septiembre de 2018	22205
miércoles, 1 de agosto de 2018	52346	lunes, 10 de septiembre de 2018	55899
jueves, 2 de agosto de 2018	52370	martes, 11 de septiembre de 2018	54123
viernes, 3 de agosto de 2018	51173	miércoles, 12 de septiembre de 2018	54849
sábado, 4 de agosto de 2018	36417	jueves, 13 de septiembre de 2018	52598
domingo, 5 de agosto de 2018	20749	viernes, 14 de septiembre de 2018	51748
lunes, 6 de agosto de 2018	55890	sábado, 15 de septiembre de 2018	30197
martes, 7 de agosto de 2018	55922	domingo, 16 de septiembre de 2018	18133
miércoles, 8 de agosto de 2018	55724	lunes, 17 de septiembre de 2018	56487
jueves, 9 de agosto de 2018	52536	martes, 18 de septiembre de 2018	55368
viernes, 10 de agosto de 2018	55206	miércoles, 19 de septiembre de 2018	55083



Análisis de la afluencia de un corredor de servicio de transporte concesionado en la Ciudad de México | 227

jueves, 20 de septiembre de 2018	55954	martes, 30 de octubre de 2018	53486
viernes, 21 de septiembre de 2018	55659	miércoles, 31 de octubre de 2018	49464
sábado, 22 de septiembre de 2018	35387	jueves, 1 de noviembre de 2018	42092
domingo, 23 de septiembre de 2018	23140	viernes, 2 de noviembre de 2018	26801
lunes, 24 de septiembre de 2018	56393	sábado, 3 de noviembre de 2018	29337
martes, 25 de septiembre de 2018	55115	domingo, 4 de noviembre de 2018	17571
miércoles, 26 de septiembre de 2018	54510	lunes, 5 de noviembre de 2018	54615
jueves, 27 de septiembre de 2018	55786	martes, 6 de noviembre de 2018	53442
viernes, 28 de septiembre de 2018	54527	miércoles, 7 de noviembre de 2018	55268
sábado, 29 de septiembre de 2018	35942	jueves, 8 de noviembre de 2018	53486
domingo, 30 de septiembre de 2018	22263	viernes, 9 de noviembre de 2018	51310
lunes, 1 de octubre de 2018	54082	sábado, 10 de noviembre de 2018	37381
martes, 2 de octubre de 2018	55367	domingo, 11 de noviembre de 2018	22815
miércoles, 3 de octubre de 2018	55958	lunes, 12 de noviembre de 2018	54349
jueves, 4 de octubre de 2018	55158	martes, 13 de noviembre de 2018	55032
viernes, 5 de octubre de 2018	55026	miércoles, 14 de noviembre de 2018	49900
sábado, 6 de octubre de 2018	36798	jueves, 15 de noviembre de 2018	52535
domingo, 7 de octubre de 2018	24134	viernes, 16 de noviembre de 2018	51907
lunes, 8 de octubre de 2018	55745	sábado, 17 de noviembre de 2018	36914
martes, 9 de octubre de 2018	55958	domingo, 18 de noviembre de 2018	22506
miércoles, 10 de octubre de 2018	54843	lunes, 19 de noviembre de 2018	24549
jueves, 11 de octubre de 2018	55394	martes, 20 de noviembre de 2018	56501
viernes, 12 de octubre de 2018	51206	miércoles, 21 de noviembre de 2018	53489
sábado, 13 de octubre de 2018	38170	jueves, 22 de noviembre de 2018	53113
domingo, 14 de octubre de 2018	22956	viernes, 23 de noviembre de 2018	51819
lunes, 15 de octubre de 2018	54174	sábado, 24 de noviembre de 2018	37652
martes, 16 de octubre de 2018	55354	domingo, 25 de noviembre de 2018	22418
miércoles, 17 de octubre de 2018	54454	lunes, 26 de noviembre de 2018	54185
jueves, 18 de octubre de 2018	54973	martes, 27 de noviembre de 2018	53958
viernes, 19 de octubre de 2018	54254	miércoles, 28 de noviembre de 2018	52399
sábado, 20 de octubre de 2018	37691	jueves, 29 de noviembre de 2018	53268
domingo, 21 de octubre de 2018	22133	viernes, 30 de noviembre de 2018	50750
lunes, 22 de octubre de 2018	54895	sábado, 1 de diciembre de 2018	29064
martes, 23 de octubre de 2018	55672	domingo, 2 de diciembre de 2018	23325
miércoles, 24 de octubre de 2018	55469	lunes, 3 de diciembre de 2018	52975
jueves, 25 de octubre de 2018	56094	martes, 4 de diciembre de 2018	52049
viernes, 26 de octubre de 2018	53206	miércoles, 5 de diciembre de 2018	52276
sábado, 27 de octubre de 2018	35305	jueves, 6 de diciembre de 2018	50520
domingo, 28 de octubre de 2018	23715	viernes, 7 de diciembre de 2018	48310
lunes, 29 de octubre de 2018	55087	sábado, 8 de diciembre de 2018	35710



Análisis de la afluencia de un corredor de servicio de transporte concesionado en la Ciudad de México | 228

domingo, 9 de diciembre de 2018	21969	viernes, 18 de enero de 2019	50412
lunes, 10 de diciembre de 2018	52329	sábado, 19 de enero de 2019	33743
martes, 11 de diciembre de 2018	44714	domingo, 20 de enero de 2019	20812
miércoles, 12 de diciembre de 2018	46717	lunes, 21 de enero de 2019	53065
jueves, 13 de diciembre de 2018	52787	martes, 22 de enero de 2019	53073
viernes, 14 de diciembre de 2018	48095	miércoles, 23 de enero de 2019	53659
sábado, 15 de diciembre de 2018	34280	jueves, 24 de enero de 2019	51863
domingo, 16 de diciembre de 2018	21594	viernes, 25 de enero de 2019	51561
lunes, 17 de diciembre de 2018	46565	sábado, 26 de enero de 2019	33861
martes, 18 de diciembre de 2018	47500	domingo, 27 de enero de 2019	21044
miércoles, 19 de diciembre de 2018	48080	lunes, 28 de enero de 2019	53246
jueves, 20 de diciembre de 2018	45867	martes, 29 de enero de 2019	51736
viernes, 21 de diciembre de 2018	42931	miércoles, 30 de enero de 2019	52648
sábado, 22 de diciembre de 2018	31243	jueves, 31 de enero de 2019	52133
domingo, 23 de diciembre de 2018	21175	viernes, 1 de febrero de 2019	50288
lunes, 24 de diciembre de 2018	25233	sábado, 2 de febrero de 2019	32461
martes, 25 de diciembre de 2018	11740	domingo, 3 de febrero de 2019	20959
miércoles, 26 de diciembre de 2018	37087	lunes, 4 de febrero de 2019	20825
jueves, 27 de diciembre de 2018	37611	martes, 5 de febrero de 2019	54434
viernes, 28 de diciembre de 2018	37885	miércoles, 6 de febrero de 2019	52155
sábado, 29 de diciembre de 2018	25950	jueves, 7 de febrero de 2019	51952
domingo, 30 de diciembre de 2018	18368	viernes, 8 de febrero de 2019	50911
lunes, 31 de diciembre de 2018	20890	sábado, 9 de febrero de 2019	32712
martes, 1 de enero de 2019	10557	domingo, 10 de febrero de 2019	21620
miércoles, 2 de enero de 2019	37820	lunes, 11 de febrero de 2019	52256
jueves, 3 de enero de 2019	38953	martes, 12 de febrero de 2019	52796
viernes, 4 de enero de 2019	41228	miércoles, 13 de febrero de 2019	52211
sábado, 5 de enero de 2019	26551	jueves, 14 de febrero de 2019	51601
domingo, 6 de enero de 2019	17746	viernes, 15 de febrero de 2019	51447
lunes, 7 de enero de 2019	49009	sábado, 16 de febrero de 2019	34693
martes, 8 de enero de 2019	45662	domingo, 17 de febrero de 2019	21061
miércoles, 9 de enero de 2019	47826	lunes, 18 de febrero de 2019	51690
jueves, 10 de enero de 2019	49038	martes, 19 de febrero de 2019	51194
viernes, 11 de enero de 2019	49664	miércoles, 20 de febrero de 2019	52232
sábado, 12 de enero de 2019	32862	jueves, 21 de febrero de 2019	51988
domingo, 13 de enero de 2019	20776	viernes, 22 de febrero de 2019	50863
lunes, 14 de enero de 2019	50645	sábado, 23 de febrero de 2019	37051
martes, 15 de enero de 2019	51863	domingo, 24 de febrero de 2019	18941
miércoles, 16 de enero de 2019	51466	lunes, 25 de febrero de 2019	51500
jueves, 17 de enero de 2019	51748	martes, 26 de febrero de 2019	50888



miércoles, 27 de febrero de 2019

51216



ANEXO II: Regresión Lineal (Afluencia sin tendencia) de la Serie de Tiempo de la Afluencia Diaria desde el jueves 1 enero del 2015 hasta jueves 27 de febrero del 2019.

Dato	Fecha	Afluencia	Afluencia con/Tendencia
1	jueves, 1 de enero de 2015	18569	61654.1284
2	viernes, 2 de enero de 2015	46541	61654.1284
3	sábado, 3 de enero de 2015	39694	61654.1284
4	domingo, 4 de enero de 2015	24777	61654.1284
5	lunes, 5 de enero de 2015	61415	61654.1284
6	martes, 6 de enero de 2015	58397	61654.1284
7	miércoles, 7 de enero de 2015	68392	61654.1284
8	jueves, 8 de enero de 2015	68118	61654.1284
9	viernes, 9 de enero de 2015	68131	61654.1284
10	sábado, 10 de enero de 2015	47329	61654.1284
11	domingo, 11 de enero de 2015	28388	61654.1284
12	lunes, 12 de enero de 2015	72869	61654.1284
13	martes, 13 de enero de 2015	71695	61654.1284
14	miércoles, 14 de enero de 2015	71623	61654.1284
15	jueves, 15 de enero de 2015	72164	61654.1284
16	viernes, 16 de enero de 2015	71039	61654.1284
17	sábado, 17 de enero de 2015	49558	61654.1284
18	domingo, 18 de enero de 2015	27827	61654.1284
19	lunes, 19 de enero de 2015	74484	61654.1284
20	martes, 20 de enero de 2015	73973	61654.1284
21	miércoles, 21 de enero de 2015	73793	61654.1284
22	jueves, 22 de enero de 2015	73233	61654.1284
23	viernes, 23 de enero de 2015	72430	61654.1284
24	sábado, 24 de enero de 2015	49138	61654.1284
25	domingo, 25 de enero de 2015	30916	61654.1284
26	lunes, 26 de enero de 2015	76443	61654.1284
27	martes, 27 de enero de 2015	74882	61654.1284
28	miércoles, 28 de enero de 2015	72448	61654.1284
29	jueves, 29 de enero de 2015	72785	61654.1284
30	viernes, 30 de enero de 2015	71098	61654.1284
31	sábado, 31 de enero de 2015	44541	61654.1284
32	domingo, 1 de febrero de 2015	28320	61654.1284
33	lunes, 2 de febrero de 2015	33588	61654.1284
34	martes, 3 de febrero de 2015	75709	61654.1284
35	miércoles, 4 de febrero de 2015	73616	61654.1284
36	jueves, 5 de febrero de 2015	71398	61654.1284
37	viernes, 6 de febrero de 2015	72649	61654.1284
38	sábado, 7 de febrero de 2015	48767	61654.1284
39	domingo, 8 de febrero de 2015	26514	61654.1284
40	lunes, 9 de febrero de 2015	73327	61654.1284
41	martes, 10 de febrero de 2015	74343	61654.1284
42	miércoles, 11 de febrero de 2015	72148	61654.1284
43	jueves, 12 de febrero de 2015	69693	61654.1284
44	viernes, 13 de febrero de 2015	73392	61654.1284
45	sábado, 14 de febrero de 2015	48920	61654.1284
46	domingo, 15 de febrero de 2015	29397	61654.1284
47	lunes, 16 de febrero de 2015	73697	61654.1284
48	martes, 17 de febrero de 2015	72563	61654.1284
49	miércoles, 18 de febrero de 2015	73960	61654.1284
50	jueves, 19 de febrero de 2015	73140	61654.1284
51	viernes, 20 de febrero de 2015	72630	61654.1284
52	sábado, 21 de febrero de 2015	49169	61654.1284
53	domingo, 22 de febrero de 2015	29005	61654.1284
54	lunes, 23 de febrero de 2015	74876	61654.1284
55	martes, 24 de febrero de 2015	71842	61654.1284
56	miércoles, 25 de febrero de 2015	74128	61654.1284
57	jueves, 26 de febrero de 2015	73326	61654.1284
58	viernes, 27 de febrero de 2015	72617	61654.1284
59	sábado, 28 de febrero de 2015	49325	61654.1284
60	domingo, 1 de marzo de 2015	28708	61654.1284
61	lunes, 2 de marzo de 2015	74459	61654.1284
62	martes, 3 de marzo de 2015	73159	61654.1284
63	miércoles, 4 de marzo de 2015	73490	61654.1284
64	jueves, 5 de marzo de 2015	73186	61654.1284
65	viernes, 6 de marzo de 2015	73122	61654.1284
66	sábado, 7 de marzo de 2015	50110	61654.1284
67	domingo, 8 de marzo de 2015	28495	61654.1284
68	lunes, 9 de marzo de 2015	75286	61654.1284
69	martes, 10 de marzo de 2015	73039	61654.1284
70	miércoles, 11 de marzo de 2015	71668	61654.1284
71	jueves, 12 de marzo de 2015	71332	61654.1284
72	viernes, 13 de marzo de 2015	69593	61654.1284
73	sábado, 14 de marzo de 2015	47921	61654.1284
74	domingo, 15 de marzo de 2015	27196	61654.1284
75	lunes, 16 de marzo de 2015	33789	61654.1284
76	martes, 17 de marzo de 2015	74548	61654.1284
77	miércoles, 18 de marzo de 2015	72125	61654.1284
78	jueves, 19 de marzo de 2015	70646	61654.1284
79	viernes, 20 de marzo de 2015	70467	61654.1284
80	sábado, 21 de marzo de 2015	48851	61654.1284
81	domingo, 22 de marzo de 2015	29469	61654.1284
82	lunes, 23 de marzo de 2015	74462	61654.1284
83	martes, 24 de marzo de 2015	72427	61654.1284
84	miércoles, 25 de marzo de 2015	72875	61654.1284
85	jueves, 26 de marzo de 2015	74023	61654.1284
86	viernes, 27 de marzo de 2015	69508	61654.1284
87	sábado, 28 de marzo de 2015	46184	61654.1284
88	domingo, 29 de marzo de 2015	28125	61654.1284
89	lunes, 30 de marzo de 2015	68765	61654.1284
90	martes, 31 de marzo de 2015	65407	61654.1284
91	miércoles, 1 de abril de 2015	57170	61654.1284
92	jueves, 2 de abril de 2015	37375	61654.1284
93	viernes, 3 de abril de 2015	25030	61654.1284
94	sábado, 4 de abril de 2015	31346	61654.1284
95	domingo, 5 de abril de 2015	23514	61654.1284
96	lunes, 6 de abril de 2015	67082	61654.1284
97	martes, 7 de abril de 2015	68133	61654.1284
98	miércoles, 8 de abril de 2015	68241	61654.1284
99	jueves, 9 de abril de 2015	68022	61654.1284
100	viernes, 10 de abril de 2015	68035	61654.1284
101	sábado, 11 de abril de 2015	47521	61654.1284
102	domingo, 12 de abril de 2015	29391	61654.1284
103	lunes, 13 de abril de 2015	75162	61654.1284
104	martes, 14 de abril de 2015	73605	61654.1284
105	miércoles, 15 de abril de 2015	73180	61654.1284
106	jueves, 16 de abril de 2015	72590	61654.1284
107	viernes, 17 de abril de 2015	71102	61654.1284
108	sábado, 18 de abril de 2015	49171	61654.1284
109	domingo, 19 de abril de 2015	30466	61654.1284
110	lunes, 20 de abril de 2015	76139	61654.1284
111	martes, 21 de abril de 2015	73812	61654.1284
112	miércoles, 22 de abril de 2015	74097	61654.1284
113	jueves, 23 de abril de 2015	71423	61654.1284
114	viernes, 24 de abril de 2015	70005	61654.1284
115	sábado, 25 de abril de 2015	49831	61654.1284
116	domingo, 26 de abril de 2015	26541	61654.1284
117	lunes, 27 de abril de 2015	76256	61654.1284
118	martes, 28 de abril de 2015	73321	61654.1284
119	miércoles, 29 de abril de 2015	71429	61654.1284
120	jueves, 30 de abril de 2015	69274	61654.1284
121	viernes, 1 de mayo de 2015	35153	61654.1284
122	sábado, 2 de mayo de 2015	42699	61654.1284
123	domingo, 3 de mayo de 2015	28699	61654.1284
124	lunes, 4 de mayo de 2015	63698	61654.1284
125	martes, 5 de mayo de 2015	67770	61654.1284
126	miércoles, 6 de mayo de 2015	73956	61654.1284
127	jueves, 7 de mayo de 2015	73059	61654.1284
128	viernes, 8 de mayo de 2015	71395	61654.1284
129	sábado, 9 de mayo de 2015	47723	61654.1284
130	domingo, 10 de mayo de 2015	27896	61654.1284
131	lunes, 11 de mayo de 2015	71330	61654.1284
132	martes, 12 de mayo de 2015	69054	61654.1284
133	miércoles, 13 de mayo de 2015	71706	61654.1284
134	jueves, 14 de mayo de 2015	71458	61654.1284
135	viernes, 15 de mayo de 2015	64905	61654.1284
136	sábado, 16 de mayo de 2015	47377	61654.1284
137	domingo, 17 de mayo de 2015	28420	61654.1284
138	lunes, 18 de mayo de 2015	73695	61654.1284
139	martes, 19 de mayo de 2015	72647	61654.1284
140	miércoles, 20 de mayo de 2015	72358	61654.1284
141	jueves, 21 de mayo de 2015	71983	61654.1284



Análisis de la afluencia de un corredor de servicio de transporte concesionado en la Ciudad de México | 231

142	viernes, 22 de mayo de 2015	68711	61654.1284
143	sábado, 23 de mayo de 2015	47837	61654.1284
144	domingo, 24 de mayo de 2015	28598	61654.1284
145	lunes, 25 de mayo de 2015	73262	61654.1284
146	martes, 26 de mayo de 2015	72966	61654.1284
147	miércoles, 27 de mayo de 2015	68510	61654.1284
148	jueves, 28 de mayo de 2015	68360	61654.1284
149	viernes, 29 de mayo de 2015	69862	61654.1284
150	sábado, 30 de mayo de 2015	43951	61654.1284
151	domingo, 31 de mayo de 2015	26241	61654.1284
152	lunes, 1 de junio de 2015	73861	61654.1284
153	martes, 2 de junio de 2015	70898	61654.1284
154	miércoles, 3 de junio de 2015	72039	61654.1284
155	jueves, 4 de junio de 2015	70909	61654.1284
156	viernes, 5 de junio de 2015	69666	61654.1284
157	sábado, 6 de junio de 2015	44276	61654.1284
158	domingo, 7 de junio de 2015	28176	61654.1284
159	lunes, 8 de junio de 2015	72705	61654.1284
160	martes, 9 de junio de 2015	71285	61654.1284
161	miércoles, 10 de junio de 2015	71383	61654.1284
162	jueves, 11 de junio de 2015	71154	61654.1284
163	viernes, 12 de junio de 2015	69761	61654.1284
164	sábado, 13 de junio de 2015	46817	61654.1284
165	domingo, 14 de junio de 2015	30858	61654.1284
166	lunes, 15 de junio de 2015	73985	61654.1284
167	martes, 16 de junio de 2015	71442	61654.1284
168	miércoles, 17 de junio de 2015	70491	61654.1284
169	jueves, 18 de junio de 2015	67936	61654.1284
170	viernes, 19 de junio de 2015	69502	61654.1284
171	sábado, 20 de junio de 2015	48217	61654.1284
172	domingo, 21 de junio de 2015	25632	61654.1284
173	lunes, 22 de junio de 2015	71185	61654.1284
174	martes, 23 de junio de 2015	70776	61654.1284
175	miércoles, 24 de junio de 2015	70447	61654.1284
176	jueves, 25 de junio de 2015	70537	61654.1284
177	viernes, 26 de junio de 2015	67582	61654.1284
178	sábado, 27 de junio de 2015	49145	61654.1284
179	domingo, 28 de junio de 2015	33197	61654.1284
180	lunes, 29 de junio de 2015	70572	61654.1284
181	martes, 30 de junio de 2015	67501	61654.1284
182	miércoles, 1 de julio de 2015	69616	61654.1284
183	jueves, 2 de julio de 2015	69596	61654.1284
184	viernes, 3 de julio de 2015	69755	61654.1284
185	sábado, 4 de julio de 2015	48202	61654.1284
186	domingo, 5 de julio de 2015	29070	61654.1284
187	lunes, 6 de julio de 2015	70741	61654.1284
188	martes, 7 de julio de 2015	70802	61654.1284
189	miércoles, 8 de julio de 2015	70791	61654.1284
190	jueves, 9 de julio de 2015	69290	61654.1284
191	viernes, 10 de julio de 2015	68123	61654.1284
192	sábado, 11 de julio de 2015	45944	61654.1284
193	domingo, 12 de julio de 2015	27182	61654.1284
194	lunes, 13 de julio de 2015	70696	61654.1284
195	martes, 14 de julio de 2015	66613	61654.1284
196	miércoles, 15 de julio de 2015	68784	61654.1284
197	jueves, 16 de julio de 2015	68895	61654.1284
198	viernes, 17 de julio de 2015	67089	61654.1284
199	sábado, 18 de julio de 2015	45035	61654.1284
200	domingo, 19 de julio de 2015	27768	61654.1284
201	lunes, 20 de julio de 2015	68736	61654.1284
202	martes, 21 de julio de 2015	67802	61654.1284
203	miércoles, 22 de julio de 2015	66021	61654.1284
204	jueves, 23 de julio de 2015	64596	61654.1284
205	viernes, 24 de julio de 2015	64881	61654.1284
206	sábado, 25 de julio de 2015	45596	61654.1284
207	domingo, 26 de julio de 2015	27144	61654.1284
208	lunes, 27 de julio de 2015	69433	61654.1284
209	martes, 28 de julio de 2015	67099	61654.1284
210	miércoles, 29 de julio de 2015	67435	61654.1284
211	jueves, 30 de julio de 2015	65686	61654.1284
212	viernes, 31 de julio de 2015	65944	61654.1284

213	sábado, 1 de agosto de 2015	45599	61654.1284
214	domingo, 2 de agosto de 2015	30404	61654.1284
215	lunes, 3 de agosto de 2015	69238	61654.1284
216	martes, 4 de agosto de 2015	67976	61654.1284
217	miércoles, 5 de agosto de 2015	67435	61654.1284
218	jueves, 6 de agosto de 2015	67639	61654.1284
219	viernes, 7 de agosto de 2015	67649	61654.1284
220	sábado, 8 de agosto de 2015	45726	61654.1284
221	domingo, 9 de agosto de 2015	30651	61654.1284
222	lunes, 10 de agosto de 2015	75326	61654.1284
223	martes, 11 de agosto de 2015	72044	61654.1284
224	miércoles, 12 de agosto de 2015	71590	61654.1284
225	jueves, 13 de agosto de 2015	70392	61654.1284
226	viernes, 14 de agosto de 2015	70050	61654.1284
227	sábado, 15 de agosto de 2015	46126	61654.1284
228	domingo, 16 de agosto de 2015	28230	61654.1284
229	lunes, 17 de agosto de 2015	71709	61654.1284
230	martes, 18 de agosto de 2015	73520	61654.1284
231	miércoles, 19 de agosto de 2015	73165	61654.1284
232	jueves, 20 de agosto de 2015	72466	61654.1284
233	viernes, 21 de agosto de 2015	70527	61654.1284
234	sábado, 22 de agosto de 2015	46891	61654.1284
235	domingo, 23 de agosto de 2015	29527	61654.1284
236	lunes, 24 de agosto de 2015	72884	61654.1284
237	martes, 25 de agosto de 2015	71302	61654.1284
238	miércoles, 26 de agosto de 2015	70972	61654.1284
239	jueves, 27 de agosto de 2015	70101	61654.1284
240	viernes, 28 de agosto de 2015	68842	61654.1284
241	sábado, 29 de agosto de 2015	42571	61654.1284
242	domingo, 30 de agosto de 2015	26831	61654.1284
243	lunes, 31 de agosto de 2015	74108	61654.1284
244	martes, 1 de septiembre de 2015	72489	61654.1284
245	miércoles, 2 de septiembre de 2015	71656	61654.1284
246	jueves, 3 de septiembre de 2015	69541	61654.1284
247	viernes, 4 de septiembre de 2015	71833	61654.1284
248	sábado, 5 de septiembre de 2015	46078	61654.1284
249	domingo, 6 de septiembre de 2015	31081	61654.1284
250	lunes, 7 de septiembre de 2015	77311	61654.1284
251	martes, 8 de septiembre de 2015	72674	61654.1284
252	miércoles, 9 de septiembre de 2015	72701	61654.1284
253	jueves, 10 de septiembre de 2015	73259	61654.1284
254	viernes, 11 de septiembre de 2015	72957	61654.1284
255	sábado, 12 de septiembre de 2015	49123	61654.1284
256	domingo, 13 de septiembre de 2015	27038	61654.1284
257	lunes, 14 de septiembre de 2015	72446	61654.1284
258	martes, 15 de septiembre de 2015	54298	61654.1284
259	miércoles, 16 de septiembre de 2015	25798	61654.1284
260	jueves, 17 de septiembre de 2015	72357	61654.1284
261	viernes, 18 de septiembre de 2015	71652	61654.1284
262	sábado, 19 de septiembre de 2015	46775	61654.1284
263	domingo, 20 de septiembre de 2015	30076	61654.1284
264	lunes, 21 de septiembre de 2015	74098	61654.1284
265	martes, 22 de septiembre de 2015	72092	61654.1284
266	miércoles, 23 de septiembre de 2015	73548	61654.1284
267	jueves, 24 de septiembre de 2015	71963	61654.1284
268	viernes, 25 de septiembre de 2015	71827	61654.1284
269	sábado, 26 de septiembre de 2015	47257	61654.1284
270	domingo, 27 de septiembre de 2015	26838	61654.1284
271	lunes, 28 de septiembre de 2015	70340	61654.1284
272	martes, 29 de septiembre de 2015	67700	61654.1284
273	miércoles, 30 de septiembre de 2015	72057	61654.1284
274	jueves, 1 de octubre de 2015	69756	61654.1284
275	viernes, 2 de octubre de 2015	70739	61654.1284
276	sábado, 3 de octubre de 2015	46597	61654.1284
277	domingo, 4 de octubre de 2015	31916	61654.1284
278	lunes, 5 de octubre de 2015	69788	61654.1284
279	martes, 6 de octubre de 2015	70917	61654.1284
280	miércoles, 7 de octubre de 2015	71729	61654.1284
281	jueves, 8 de octubre de 2015	70141	61654.1284
282	viernes, 9 de octubre de 2015	72247	61654.1284
283	sábado, 10 de octubre de 2015	46400	61654.1284



Análisis de la afluencia de un corredor de servicio de transporte concesionado en la Ciudad de México | 232

284	domingo, 11 de octubre de 2015	30546	61654.1284
285	lunes, 12 de octubre de 2015	69726	61654.1284
286	martes, 13 de octubre de 2015	70095	61654.1284
287	miércoles, 14 de octubre de 2015	69761	61654.1284
288	jueves, 15 de octubre de 2015	71325	61654.1284
289	viernes, 16 de octubre de 2015	68466	61654.1284
290	sábado, 17 de octubre de 2015	49463	61654.1284
291	domingo, 18 de octubre de 2015	29272	61654.1284
292	lunes, 19 de octubre de 2015	72241	61654.1284
293	martes, 20 de octubre de 2015	70561	61654.1284
294	miércoles, 21 de octubre de 2015	71210	61654.1284
295	jueves, 22 de octubre de 2015	71620	61654.1284
296	viernes, 23 de octubre de 2015	68312	61654.1284
297	sábado, 24 de octubre de 2015	47799	61654.1284
298	domingo, 25 de octubre de 2015	30732	61654.1284
299	lunes, 26 de octubre de 2015	69140	61654.1284
300	martes, 27 de octubre de 2015	70069	61654.1284
301	miércoles, 28 de octubre de 2015	68124	61654.1284
302	jueves, 29 de octubre de 2015	66649	61654.1284
303	viernes, 30 de octubre de 2015	68110	61654.1284
304	sábado, 31 de octubre de 2015	42953	61654.1284
305	domingo, 1 de noviembre de 2015	25795	61654.1284
306	lunes, 2 de noviembre de 2015	50145	61654.1284
307	martes, 3 de noviembre de 2015	66804	61654.1284
308	miércoles, 4 de noviembre de 2015	68961	61654.1284
309	jueves, 5 de noviembre de 2015	70620	61654.1284
310	viernes, 6 de noviembre de 2015	67454	61654.1284
311	sábado, 7 de noviembre de 2015	46496	61654.1284
312	domingo, 8 de noviembre de 2015	28265	61654.1284
313	lunes, 9 de noviembre de 2015	70529	61654.1284
314	martes, 10 de noviembre de 2015	68310	61654.1284
315	miércoles, 11 de noviembre de 2015	68153	61654.1284
316	jueves, 12 de noviembre de 2015	68881	61654.1284
317	viernes, 13 de noviembre de 2015	65463	61654.1284
318	sábado, 14 de noviembre de 2015	44713	61654.1284
319	domingo, 15 de noviembre de 2015	30286	61654.1284
320	lunes, 16 de noviembre de 2015	35592	61654.1284
321	martes, 17 de noviembre de 2015	67905	61654.1284
322	miércoles, 18 de noviembre de 2015	66295	61654.1284
323	jueves, 19 de noviembre de 2015	68157	61654.1284
324	viernes, 20 de noviembre de 2015	65422	61654.1284
325	sábado, 21 de noviembre de 2015	45207	61654.1284
326	domingo, 22 de noviembre de 2015	28536	61654.1284
327	lunes, 23 de noviembre de 2015	66785	61654.1284
328	martes, 24 de noviembre de 2015	68161	61654.1284
329	miércoles, 25 de noviembre de 2015	66864	61654.1284
330	jueves, 26 de noviembre de 2015	65606	61654.1284
331	viernes, 27 de noviembre de 2015	67929	61654.1284
332	sábado, 28 de noviembre de 2015	44020	61654.1284
333	domingo, 29 de noviembre de 2015	29000	61654.1284
334	lunes, 30 de noviembre de 2015	64452	61654.1284
335	martes, 1 de diciembre de 2015	64521	61654.1284
336	miércoles, 2 de diciembre de 2015	64395	61654.1284
337	jueves, 3 de diciembre de 2015	63642	61654.1284
338	viernes, 4 de diciembre de 2015	61653	61654.1284
339	sábado, 5 de diciembre de 2015	46152	61654.1284
340	domingo, 6 de diciembre de 2015	27170	61654.1284
341	lunes, 7 de diciembre de 2015	63351	61654.1284
342	martes, 8 de diciembre de 2015	64930	61654.1284
343	miércoles, 9 de diciembre de 2015	62249	61654.1284
344	jueves, 10 de diciembre de 2015	62278	61654.1284
345	viernes, 11 de diciembre de 2015	62189	61654.1284
346	sábado, 12 de diciembre de 2015	37998	61654.1284
347	domingo, 13 de diciembre de 2015	25686	61654.1284
348	lunes, 14 de diciembre de 2015	60256	61654.1284
349	martes, 15 de diciembre de 2015	60468	61654.1284
350	miércoles, 16 de diciembre de 2015	59754	61654.1284
351	jueves, 17 de diciembre de 2015	59011	61654.1284
352	viernes, 18 de diciembre de 2015	54992	61654.1284
353	sábado, 19 de diciembre de 2015	37538	61654.1284
354	domingo, 20 de diciembre de 2015	28328	61654.1284

355	lunes, 21 de diciembre de 2015	52739	61654.1284
356	martes, 22 de diciembre de 2015	53313	61654.1284
357	miércoles, 23 de diciembre de 2015	51084	61654.1284
358	jueves, 24 de diciembre de 2015	33883	61654.1284
359	viernes, 25 de diciembre de 2015	14727	61654.1284
360	sábado, 26 de diciembre de 2015	29641	61654.1284
361	domingo, 27 de diciembre de 2015	23337	61654.1284
362	lunes, 28 de diciembre de 2015	46734	61654.1284
363	martes, 29 de diciembre de 2015	46565	61654.1284
364	miércoles, 30 de diciembre de 2015	44919	61654.1284
365	jueves, 31 de diciembre de 2015	32441	61654.1284
366	viernes, 1 de enero de 2016	12289	61654.1284
367	sábado, 2 de enero de 2016	26759	61654.1284
368	domingo, 3 de enero de 2016	24091	61654.1284
369	lunes, 4 de enero de 2016	53166	61654.1284
370	martes, 5 de enero de 2016	54001	61654.1284
371	miércoles, 6 de enero de 2016	52647	61654.1284
372	jueves, 7 de enero de 2016	57597	61654.1284
373	viernes, 8 de enero de 2016	59205	61654.1284
374	sábado, 9 de enero de 2016	40913	61654.1284
375	domingo, 10 de enero de 2016	25243	61654.1284
376	lunes, 11 de enero de 2016	61414	61654.1284
377	martes, 12 de enero de 2016	63547	61654.1284
378	miércoles, 13 de enero de 2016	56150	61654.1284
379	jueves, 14 de enero de 2016	61553	61654.1284
380	viernes, 15 de enero de 2016	61038	61654.1284
381	sábado, 16 de enero de 2016	42387	61654.1284
382	domingo, 17 de enero de 2016	23649	61654.1284
383	lunes, 18 de enero de 2016	63251	61654.1284
384	martes, 19 de enero de 2016	62703	61654.1284
385	miércoles, 20 de enero de 2016	63707	61654.1284
386	jueves, 21 de enero de 2016	62474	61654.1284
387	viernes, 22 de enero de 2016	63056	61654.1284
388	sábado, 23 de enero de 2016	43078	61654.1284
389	domingo, 24 de enero de 2016	24968	61654.1284
390	lunes, 25 de enero de 2016	63310	61654.1284
391	martes, 26 de enero de 2016	64206	61654.1284
392	miércoles, 27 de enero de 2016	62893	61654.1284
393	jueves, 28 de enero de 2016	62361	61654.1284
394	viernes, 29 de enero de 2016	60216	61654.1284
395	sábado, 30 de enero de 2016	40472	61654.1284
396	domingo, 31 de enero de 2016	23677	61654.1284
397	lunes, 1 de febrero de 2016	30031	61654.1284
398	martes, 2 de febrero de 2016	62004	61654.1284
399	miércoles, 3 de febrero de 2016	64018	61654.1284
400	jueves, 4 de febrero de 2016	63920	61654.1284
401	viernes, 5 de febrero de 2016	61200	61654.1284
402	sábado, 6 de febrero de 2016	43226	61654.1284
403	domingo, 7 de febrero de 2016	26427	61654.1284
404	lunes, 8 de febrero de 2016	64937	61654.1284
405	martes, 9 de febrero de 2016	63671	61654.1284
406	miércoles, 10 de febrero de 2016	65411	61654.1284
407	jueves, 11 de febrero de 2016	63813	61654.1284
408	viernes, 12 de febrero de 2016	64199	61654.1284
409	sábado, 13 de febrero de 2016	44024	61654.1284
410	domingo, 14 de febrero de 2016	25024	61654.1284
411	lunes, 15 de febrero de 2016	64692	61654.1284
412	martes, 16 de febrero de 2016	64552	61654.1284
413	miércoles, 17 de febrero de 2016	64838	61654.1284
414	jueves, 18 de febrero de 2016	65169	61654.1284
415	viernes, 19 de febrero de 2016	63595	61654.1284
416	sábado, 20 de febrero de 2016	43185	61654.1284
417	domingo, 21 de febrero de 2016	27997	61654.1284
418	lunes, 22 de febrero de 2016	63792	61654.1284
419	martes, 23 de febrero de 2016	67299	61654.1284
420	miércoles, 24 de febrero de 2016	64351	61654.1284
421	jueves, 25 de febrero de 2016	66616	61654.1284
422	viernes, 26 de febrero de 2016	64064	61654.1284
423	sábado, 27 de febrero de 2016	44378	61654.1284
424	domingo, 28 de febrero de 2016	9661	61654.1284
425	lunes, 29 de febrero de 2016	63850	61654.1284



Análisis de la afluencia de un corredor de servicio de transporte concesionado en la Ciudad de México | 233

426	martes, 1 de marzo de 2016	65586	61654.1284
427	miércoles, 2 de marzo de 2016	63362	61654.1284
428	jueves, 3 de marzo de 2016	65213	61654.1284
429	viernes, 4 de marzo de 2016	64472	61654.1284
430	sábado, 5 de marzo de 2016	44157	61654.1284
431	domingo, 6 de marzo de 2016	24670	61654.1284
432	lunes, 7 de marzo de 2016	64437	61654.1284
433	martes, 8 de marzo de 2016	65574	61654.1284
434	miércoles, 9 de marzo de 2016	55866	61654.1284
435	jueves, 10 de marzo de 2016	57017	61654.1284
436	viernes, 11 de marzo de 2016	63816	61654.1284
437	sábado, 12 de marzo de 2016	42797	61654.1284
438	domingo, 13 de marzo de 2016	27465	61654.1284
439	lunes, 14 de marzo de 2016	63563	61654.1284
440	martes, 15 de marzo de 2016	63537	61654.1284
441	miércoles, 16 de marzo de 2016	68586	61654.1284
442	jueves, 17 de marzo de 2016	69087	61654.1284
443	viernes, 18 de marzo de 2016	62526	61654.1284
444	sábado, 19 de marzo de 2016	41414	61654.1284
445	domingo, 20 de marzo de 2016	28066	61654.1284
446	lunes, 21 de marzo de 2016	33253	61654.1284
447	martes, 22 de marzo de 2016	54113	61654.1284
448	miércoles, 23 de marzo de 2016	52265	61654.1284
449	jueves, 24 de marzo de 2016	31997	61654.1284
450	viernes, 25 de marzo de 2016	20922	61654.1284
451	sábado, 26 de marzo de 2016	25998	61654.1284
452	domingo, 27 de marzo de 2016	22835	61654.1284
453	lunes, 28 de marzo de 2016	60618	61654.1284
454	martes, 29 de marzo de 2016	61781	61654.1284
455	miércoles, 30 de marzo de 2016	64701	61654.1284
456	jueves, 31 de marzo de 2016	63623	61654.1284
457	viernes, 1 de abril de 2016	61873	61654.1284
458	sábado, 2 de abril de 2016	42806	61654.1284
459	domingo, 3 de abril de 2016	26213	61654.1284
460	lunes, 4 de abril de 2016	65955	61654.1284
461	martes, 5 de abril de 2016	70317	61654.1284
462	miércoles, 6 de abril de 2016	72933	61654.1284
463	jueves, 7 de abril de 2016	78104	61654.1284
464	viernes, 8 de abril de 2016	79225	61654.1284
465	sábado, 9 de abril de 2016	52195	61654.1284
466	domingo, 10 de abril de 2016	31030	61654.1284
467	lunes, 11 de abril de 2016	79045	61654.1284
468	martes, 12 de abril de 2016	79170	61654.1284
469	miércoles, 13 de abril de 2016	80280	61654.1284
470	jueves, 14 de abril de 2016	78191	61654.1284
471	viernes, 15 de abril de 2016	76686	61654.1284
472	sábado, 16 de abril de 2016	44568	61654.1284
473	domingo, 17 de abril de 2016	27508	61654.1284
474	lunes, 18 de abril de 2016	66787	61654.1284
475	martes, 19 de abril de 2016	70038	61654.1284
476	miércoles, 20 de abril de 2016	70084	61654.1284
477	jueves, 21 de abril de 2016	66786	61654.1284
478	viernes, 22 de abril de 2016	68083	61654.1284
479	sábado, 23 de abril de 2016	46382	61654.1284
480	domingo, 24 de abril de 2016	25953	61654.1284
481	lunes, 25 de abril de 2016	68671	61654.1284
482	martes, 26 de abril de 2016	68901	61654.1284
483	miércoles, 27 de abril de 2016	69791	61654.1284
484	jueves, 28 de abril de 2016	70397	61654.1284
485	viernes, 29 de abril de 2016	68336	61654.1284
486	sábado, 30 de abril de 2016	47432	61654.1284
487	domingo, 1 de mayo de 2016	27374	61654.1284
488	lunes, 2 de mayo de 2016	67067	61654.1284
489	martes, 3 de mayo de 2016	75439	61654.1284
490	miércoles, 4 de mayo de 2016	76071	61654.1284
491	jueves, 5 de mayo de 2016	65271	61654.1284
492	viernes, 6 de mayo de 2016	68938	61654.1284
493	sábado, 7 de mayo de 2016	46562	61654.1284
494	domingo, 8 de mayo de 2016	25463	61654.1284
495	lunes, 9 de mayo de 2016	69203	61654.1284
496	martes, 10 de mayo de 2016	53327	61654.1284

497	miércoles, 11 de mayo de 2016	67897	61654.1284
498	jueves, 12 de mayo de 2016	68854	61654.1284
499	viernes, 13 de mayo de 2016	67378	61654.1284
500	sábado, 14 de mayo de 2016	45673	61654.1284
501	domingo, 15 de mayo de 2016	27190	61654.1284
502	lunes, 16 de mayo de 2016	68728	61654.1284
503	martes, 17 de mayo de 2016	68779	61654.1284
504	miércoles, 18 de mayo de 2016	69036	61654.1284
505	jueves, 19 de mayo de 2016	69943	61654.1284
506	viernes, 20 de mayo de 2016	66536	61654.1284
507	sábado, 21 de mayo de 2016	49960	61654.1284
508	domingo, 22 de mayo de 2016	25683	61654.1284
509	lunes, 23 de mayo de 2016	66037	61654.1284
510	martes, 24 de mayo de 2016	69911	61654.1284
511	miércoles, 25 de mayo de 2016	68575	61654.1284
512	jueves, 26 de mayo de 2016	67608	61654.1284
513	viernes, 27 de mayo de 2016	66070	61654.1284
514	sábado, 28 de mayo de 2016	49576	61654.1284
515	domingo, 29 de mayo de 2016	28728	61654.1284
516	lunes, 30 de mayo de 2016	67817	61654.1284
517	martes, 31 de mayo de 2016	69717	61654.1284
518	miércoles, 1 de junio de 2016	74163	61654.1284
519	jueves, 2 de junio de 2016	67031	61654.1284
520	viernes, 3 de junio de 2016	66276	61654.1284
521	sábado, 4 de junio de 2016	46149	61654.1284
522	domingo, 5 de junio de 2016	26919	61654.1284
523	lunes, 6 de junio de 2016	68866	61654.1284
524	martes, 7 de junio de 2016	68824	61654.1284
525	miércoles, 8 de junio de 2016	68528	61654.1284
526	jueves, 9 de junio de 2016	67418	61654.1284
527	viernes, 10 de junio de 2016	65934	61654.1284
528	sábado, 11 de junio de 2016	46750	61654.1284
529	domingo, 12 de junio de 2016	25764	61654.1284
530	lunes, 13 de junio de 2016	67306	61654.1284
531	martes, 14 de junio de 2016	67006	61654.1284
532	miércoles, 15 de junio de 2016	67198	61654.1284
533	jueves, 16 de junio de 2016	67564	61654.1284
534	viernes, 17 de junio de 2016	65608	61654.1284
535	sábado, 18 de junio de 2016	44275	61654.1284
536	domingo, 19 de junio de 2016	21740	61654.1284
537	lunes, 20 de junio de 2016	66938	61654.1284
538	martes, 21 de junio de 2016	67646	61654.1284
539	miércoles, 22 de junio de 2016	67103	61654.1284
540	jueves, 23 de junio de 2016	65146	61654.1284
541	viernes, 24 de junio de 2016	64436	61654.1284
542	sábado, 25 de junio de 2016	47662	61654.1284
543	domingo, 26 de junio de 2016	30908	61654.1284
544	lunes, 27 de junio de 2016	65339	61654.1284
545	martes, 28 de junio de 2016	64025	61654.1284
546	miércoles, 29 de junio de 2016	65105	61654.1284
547	jueves, 30 de junio de 2016	64306	61654.1284
548	viernes, 1 de julio de 2016	56263	61654.1284
549	sábado, 2 de julio de 2016	44971	61654.1284
550	domingo, 3 de julio de 2016	25292	61654.1284
551	lunes, 4 de julio de 2016	61373	61654.1284
552	martes, 5 de julio de 2016	62032	61654.1284
553	miércoles, 6 de julio de 2016	61768	61654.1284
554	jueves, 7 de julio de 2016	60856	61654.1284
555	viernes, 8 de julio de 2016	60479	61654.1284
556	sábado, 9 de julio de 2016	45178	61654.1284
557	domingo, 10 de julio de 2016	26433	61654.1284
558	lunes, 11 de julio de 2016	58297	61654.1284
559	martes, 12 de julio de 2016	60919	61654.1284
560	miércoles, 13 de julio de 2016	59813	61654.1284
561	jueves, 14 de julio de 2016	59440	61654.1284
562	viernes, 15 de julio de 2016	59537	61654.1284
563	sábado, 16 de julio de 2016	39597	61654.1284
564	domingo, 17 de julio de 2016	27024	61654.1284
565	lunes, 18 de julio de 2016	58335	61654.1284
566	martes, 19 de julio de 2016	58433	61654.1284
567	miércoles, 20 de julio de 2016	59487	61654.1284



568	jueves, 21 de julio de 2016	57553	61654.1284
569	viernes, 22 de julio de 2016	57619	61654.1284
570	sábado, 23 de julio de 2016	40487	61654.1284
571	domingo, 24 de julio de 2016	26696	61654.1284
572	lunes, 25 de julio de 2016	58394	61654.1284
573	martes, 26 de julio de 2016	60532	61654.1284
574	miércoles, 27 de julio de 2016	57993	61654.1284
575	jueves, 28 de julio de 2016	59201	61654.1284
576	viernes, 29 de julio de 2016	56487	61654.1284
577	sábado, 30 de julio de 2016	40346	61654.1284
578	domingo, 31 de julio de 2016	24821	61654.1284
579	lunes, 1 de agosto de 2016	62060	61654.1284
580	martes, 2 de agosto de 2016	59400	61654.1284
581	miércoles, 3 de agosto de 2016	60187	61654.1284
582	jueves, 4 de agosto de 2016	60971	61654.1284
583	viernes, 5 de agosto de 2016	60224	61654.1284
584	sábado, 6 de agosto de 2016	40790	61654.1284
585	domingo, 7 de agosto de 2016	26575	61654.1284
586	lunes, 8 de agosto de 2016	61231	61654.1284
587	martes, 9 de agosto de 2016	64863	61654.1284
588	miércoles, 10 de agosto de 2016	62488	61654.1284
589	jueves, 11 de agosto de 2016	65690	61654.1284
590	viernes, 12 de agosto de 2016	64233	61654.1284
591	sábado, 13 de agosto de 2016	42865	61654.1284
592	domingo, 14 de agosto de 2016	25671	61654.1284
593	lunes, 15 de agosto de 2016	65953	61654.1284
594	martes, 16 de agosto de 2016	65687	61654.1284
595	miércoles, 17 de agosto de 2016	65772	61654.1284
596	jueves, 18 de agosto de 2016	61788	61654.1284
597	viernes, 19 de agosto de 2016	66232	61654.1284
598	sábado, 20 de agosto de 2016	42549	61654.1284
599	domingo, 21 de agosto de 2016	27662	61654.1284
600	lunes, 22 de agosto de 2016	65769	61654.1284
601	martes, 23 de agosto de 2016	66215	61654.1284
602	miércoles, 24 de agosto de 2016	64367	61654.1284
603	jueves, 25 de agosto de 2016	65045	61654.1284
604	viernes, 26 de agosto de 2016	64181	61654.1284
605	sábado, 27 de agosto de 2016	44737	61654.1284
606	domingo, 28 de agosto de 2016	26939	61654.1284
607	lunes, 29 de agosto de 2016	67372	61654.1284
608	martes, 30 de agosto de 2016	66927	61654.1284
609	miércoles, 31 de agosto de 2016	66348	61654.1284
610	jueves, 1 de septiembre de 2016	64977	61654.1284
611	viernes, 2 de septiembre de 2016	64639	61654.1284
612	sábado, 3 de septiembre de 2016	41839	61654.1284
613	domingo, 4 de septiembre de 2016	25647	61654.1284
614	lunes, 5 de septiembre de 2016	67681	61654.1284
615	martes, 6 de septiembre de 2016	65478	61654.1284
616	miércoles, 7 de septiembre de 2016	65085	61654.1284
617	jueves, 8 de septiembre de 2016	64558	61654.1284
618	viernes, 9 de septiembre de 2016	65448	61654.1284
619	sábado, 10 de septiembre de 2016	43932	61654.1284
620	domingo, 11 de septiembre de 2016	26750	61654.1284
621	lunes, 12 de septiembre de 2016	66112	61654.1284
622	martes, 13 de septiembre de 2016	65322	61654.1284
623	miércoles, 14 de septiembre de 2016	64774	61654.1284
624	jueves, 15 de septiembre de 2016	37466	61654.1284
625	viernes, 16 de septiembre de 2016	33485	61654.1284
626	sábado, 17 de septiembre de 2016	40937	61654.1284
627	domingo, 18 de septiembre de 2016	24586	61654.1284
628	lunes, 19 de septiembre de 2016	64972	61654.1284
629	martes, 20 de septiembre de 2016	64202	61654.1284
630	miércoles, 21 de septiembre de 2016	64361	61654.1284
631	jueves, 22 de septiembre de 2016	65014	61654.1284
632	viernes, 23 de septiembre de 2016	63565	61654.1284
633	sábado, 24 de septiembre de 2016	44268	61654.1284
634	domingo, 25 de septiembre de 2016	24227	61654.1284
635	lunes, 26 de septiembre de 2016	66061	61654.1284
636	martes, 27 de septiembre de 2016	63273	61654.1284
637	miércoles, 28 de septiembre de 2016	63036	61654.1284
638	jueves, 29 de septiembre de 2016	62384	61654.1284

639	viernes, 30 de septiembre de 2016	64037	61654.1284
640	sábado, 1 de octubre de 2016	40849	61654.1284
641	domingo, 2 de octubre de 2016	29896	61654.1284
642	lunes, 3 de octubre de 2016	62311	61654.1284
643	martes, 4 de octubre de 2016	68452	61654.1284
644	miércoles, 5 de octubre de 2016	65207	61654.1284
645	jueves, 6 de octubre de 2016	65275	61654.1284
646	viernes, 7 de octubre de 2016	64952	61654.1284
647	sábado, 8 de octubre de 2016	44483	61654.1284
648	domingo, 9 de octubre de 2016	23736	61654.1284
649	lunes, 10 de octubre de 2016	66577	61654.1284
650	martes, 11 de octubre de 2016	64924	61654.1284
651	miércoles, 12 de octubre de 2016	61855	61654.1284
652	jueves, 13 de octubre de 2016	64992	61654.1284
653	viernes, 14 de octubre de 2016	62904	61654.1284
654	sábado, 15 de octubre de 2016	44825	61654.1284
655	domingo, 16 de octubre de 2016	24756	61654.1284
656	lunes, 17 de octubre de 2016	64699	61654.1284
657	martes, 18 de octubre de 2016	65325	61654.1284
658	miércoles, 19 de octubre de 2016	65442	61654.1284
659	jueves, 20 de octubre de 2016	63941	61654.1284
660	viernes, 21 de octubre de 2016	63156	61654.1284
661	sábado, 22 de octubre de 2016	44528	61654.1284
662	domingo, 23 de octubre de 2016	26943	61654.1284
663	lunes, 24 de octubre de 2016	65180	61654.1284
664	martes, 25 de octubre de 2016	64876	61654.1284
665	miércoles, 26 de octubre de 2016	64581	61654.1284
666	jueves, 27 de octubre de 2016	63414	61654.1284
667	viernes, 28 de octubre de 2016	59676	61654.1284
668	sábado, 29 de octubre de 2016	41341	61654.1284
669	domingo, 30 de octubre de 2016	25196	61654.1284
670	lunes, 31 de octubre de 2016	60352	61654.1284
671	martes, 1 de noviembre de 2016	54484	61654.1284
672	miércoles, 2 de noviembre de 2016	34906	61654.1284
673	jueves, 3 de noviembre de 2016	63148	61654.1284
674	viernes, 4 de noviembre de 2016	62042	61654.1284
675	sábado, 5 de noviembre de 2016	43048	61654.1284
676	domingo, 6 de noviembre de 2016	26705	61654.1284
677	lunes, 7 de noviembre de 2016	65661	61654.1284
678	martes, 8 de noviembre de 2016	63164	61654.1284
679	miércoles, 9 de noviembre de 2016	61646	61654.1284
680	jueves, 10 de noviembre de 2016	61107	61654.1284
681	viernes, 11 de noviembre de 2016	61064	61654.1284
682	sábado, 12 de noviembre de 2016	42520	61654.1284
683	domingo, 13 de noviembre de 2016	25967	61654.1284
684	lunes, 14 de noviembre de 2016	64368	61654.1284
685	martes, 15 de noviembre de 2016	63622	61654.1284
686	miércoles, 16 de noviembre de 2016	60559	61654.1284
687	jueves, 17 de noviembre de 2016	63239	61654.1284
688	viernes, 18 de noviembre de 2016	61559	61654.1284
689	sábado, 19 de noviembre de 2016	45002	61654.1284
690	domingo, 20 de noviembre de 2016	26457	61654.1284
691	lunes, 21 de noviembre de 2016	29519	61654.1284
692	martes, 22 de noviembre de 2016	63215	61654.1284
693	miércoles, 23 de noviembre de 2016	65786	61654.1284
694	jueves, 24 de noviembre de 2016	62277	61654.1284
695	viernes, 25 de noviembre de 2016	60569	61654.1284
696	sábado, 26 de noviembre de 2016	40926	61654.1284
697	domingo, 27 de noviembre de 2016	26120	61654.1284
698	lunes, 28 de noviembre de 2016	63301	61654.1284
699	martes, 29 de noviembre de 2016	64133	61654.1284
700	miércoles, 30 de noviembre de 2016	63122	61654.1284
701	jueves, 1 de diciembre de 2016	63595	61654.1284
702	viernes, 2 de diciembre de 2016	60460	61654.1284
703	sábado, 3 de diciembre de 2016	44073	61654.1284
704	domingo, 4 de diciembre de 2016	24156	61654.1284
705	lunes, 5 de diciembre de 2016	63564	61654.1284
706	martes, 6 de diciembre de 2016	63044	61654.1284
707	miércoles, 7 de diciembre de 2016	61963	61654.1284
708	jueves, 8 de diciembre de 2016	61071	61654.1284
709	viernes, 9 de diciembre de 2016	57682	61654.1284



Análisis de la afluencia de un corredor de servicio de transporte concesionado en la Ciudad de México | 235

710	sábado, 10 de diciembre de 2016	42235	61654.1284
711	domingo, 11 de diciembre de 2016	22197	61654.1284
712	lunes, 12 de diciembre de 2016	53753	61654.1284
713	martes, 13 de diciembre de 2016	58651	61654.1284
714	miércoles, 14 de diciembre de 2016	58744	61654.1284
715	jueves, 15 de diciembre de 2016	55475	61654.1284
716	viernes, 16 de diciembre de 2016	56357	61654.1284
717	sábado, 17 de diciembre de 2016	42522	61654.1284
718	domingo, 18 de diciembre de 2016	24221	61654.1284
719	lunes, 19 de diciembre de 2016	53936	61654.1284
720	martes, 20 de diciembre de 2016	51620	61654.1284
721	miércoles, 21 de diciembre de 2016	52249	61654.1284
722	jueves, 22 de diciembre de 2016	50114	61654.1284
723	viernes, 23 de diciembre de 2016	49469	61654.1284
724	sábado, 24 de diciembre de 2016	21312	61654.1284
725	domingo, 25 de diciembre de 2016	15556	61654.1284
726	lunes, 26 de diciembre de 2016	44463	61654.1284
727	martes, 27 de diciembre de 2016	44414	61654.1284
728	miércoles, 28 de diciembre de 2016	44812	61654.1284
729	jueves, 29 de diciembre de 2016	43637	61654.1284
730	viernes, 30 de diciembre de 2016	41594	61654.1284
731	sábado, 31 de diciembre de 2016	21193	61654.1284
732	domingo, 1 de enero de 2017	11253	61654.1284
733	lunes, 2 de enero de 2017	45861	61654.1284
734	martes, 3 de enero de 2017	51701	61654.1284
735	miércoles, 4 de enero de 2017	51033	61654.1284
736	jueves, 5 de enero de 2017	55143	61654.1284
737	viernes, 6 de enero de 2017	50530	61654.1284
738	sábado, 7 de enero de 2017	37194	61654.1284
739	domingo, 8 de enero de 2017	24340	61654.1284
740	lunes, 9 de enero de 2017	59062	61654.1284
741	martes, 10 de enero de 2017	60084	61654.1284
742	miércoles, 11 de enero de 2017	60923	61654.1284
743	jueves, 12 de enero de 2017	61031	61654.1284
744	viernes, 13 de enero de 2017	59989	61654.1284
745	sábado, 14 de enero de 2017	40555	61654.1284
746	domingo, 15 de enero de 2017	22224	61654.1284
747	lunes, 16 de enero de 2017	62338	61654.1284
748	martes, 17 de enero de 2017	61683	61654.1284
749	miércoles, 18 de enero de 2017	62038	61654.1284
750	jueves, 19 de enero de 2017	62461	61654.1284
751	viernes, 20 de enero de 2017	61447	61654.1284
752	sábado, 21 de enero de 2017	42266	61654.1284
753	domingo, 22 de enero de 2017	23822	61654.1284
754	lunes, 23 de enero de 2017	63351	61654.1284
755	martes, 24 de enero de 2017	61874	61654.1284
756	miércoles, 25 de enero de 2017	64182	61654.1284
757	jueves, 26 de enero de 2017	63838	61654.1284
758	viernes, 27 de enero de 2017	61717	61654.1284
759	sábado, 28 de enero de 2017	40921	61654.1284
760	domingo, 29 de enero de 2017	24905	61654.1284
761	lunes, 30 de enero de 2017	64734	61654.1284
762	martes, 31 de enero de 2017	64446	61654.1284
763	miércoles, 1 de febrero de 2017	64763	61654.1284
764	jueves, 2 de febrero de 2017	63011	61654.1284
765	viernes, 3 de febrero de 2017	62535	61654.1284
766	sábado, 4 de febrero de 2017	40189	61654.1284
767	domingo, 5 de febrero de 2017	24073	61654.1284
768	lunes, 6 de febrero de 2017	28639	61654.1284
769	martes, 7 de febrero de 2017	68551	61654.1284
770	miércoles, 8 de febrero de 2017	64055	61654.1284
771	jueves, 9 de febrero de 2017	64571	61654.1284
772	viernes, 10 de febrero de 2017	62600	61654.1284
773	sábado, 11 de febrero de 2017	40962	61654.1284
774	domingo, 12 de febrero de 2017	25363	61654.1284
775	lunes, 13 de febrero de 2017	65938	61654.1284
776	martes, 14 de febrero de 2017	62882	61654.1284
777	miércoles, 15 de febrero de 2017	64377	61654.1284
778	jueves, 16 de febrero de 2017	63649	61654.1284
779	viernes, 17 de febrero de 2017	61565	61654.1284
780	sábado, 18 de febrero de 2017	42524	61654.1284

781	domingo, 19 de febrero de 2017	27076	61654.1284
782	lunes, 20 de febrero de 2017	63240	61654.1284
783	martes, 21 de febrero de 2017	64505	61654.1284
784	miércoles, 22 de febrero de 2017	65479	61654.1284
785	jueves, 23 de febrero de 2017	63725	61654.1284
786	viernes, 24 de febrero de 2017	62080	61654.1284
787	sábado, 25 de febrero de 2017	42388	61654.1284
788	domingo, 26 de febrero de 2017	23766	61654.1284
789	lunes, 27 de febrero de 2017	63459	61654.1284
790	martes, 28 de febrero de 2017	64773	61654.1284
791	miércoles, 1 de marzo de 2017	64889	61654.1284
792	jueves, 2 de marzo de 2017	63720	61654.1284
793	viernes, 3 de marzo de 2017	61823	61654.1284
794	sábado, 4 de marzo de 2017	42730	61654.1284
795	domingo, 5 de marzo de 2017	27024	61654.1284
796	lunes, 6 de marzo de 2017	63804	61654.1284
797	martes, 7 de marzo de 2017	65226	61654.1284
798	miércoles, 8 de marzo de 2017	63588	61654.1284
799	jueves, 9 de marzo de 2017	63329	61654.1284
800	viernes, 10 de marzo de 2017	62391	61654.1284
801	sábado, 11 de marzo de 2017	42374	61654.1284
802	domingo, 12 de marzo de 2017	26028	61654.1284
803	lunes, 13 de marzo de 2017	63651	61654.1284
804	martes, 14 de marzo de 2017	63411	61654.1284
805	miércoles, 15 de marzo de 2017	61304	61654.1284
806	jueves, 16 de marzo de 2017	62149	61654.1284
807	viernes, 17 de marzo de 2017	60419	61654.1284
808	sábado, 18 de marzo de 2017	41228	61654.1284
809	domingo, 19 de marzo de 2017	27116	61654.1284
810	lunes, 20 de marzo de 2017	25385	61654.1284
811	martes, 21 de marzo de 2017	66958	61654.1284
812	miércoles, 22 de marzo de 2017	65172	61654.1284
813	jueves, 23 de marzo de 2017	62960	61654.1284
814	viernes, 24 de marzo de 2017	60559	61654.1284
815	sábado, 25 de marzo de 2017	39822	61654.1284
816	domingo, 26 de marzo de 2017	25377	61654.1284
817	lunes, 27 de marzo de 2017	65456	61654.1284
818	martes, 28 de marzo de 2017	65043	61654.1284
819	miércoles, 29 de marzo de 2017	64546	61654.1284
820	jueves, 30 de marzo de 2017	65141	61654.1284
821	viernes, 31 de marzo de 2017	63084	61654.1284
822	sábado, 1 de abril de 2017	39921	61654.1284
823	domingo, 2 de abril de 2017	24571	61654.1284
824	lunes, 3 de abril de 2017	64015	61654.1284
825	martes, 4 de abril de 2017	63936	61654.1284
826	miércoles, 5 de abril de 2017	63465	61654.1284
827	jueves, 6 de abril de 2017	62436	61654.1284
828	viernes, 7 de abril de 2017	61517	61654.1284
829	sábado, 8 de abril de 2017	37885	61654.1284
830	domingo, 9 de abril de 2017	26837	61654.1284
831	lunes, 10 de abril de 2017	54848	61654.1284
832	martes, 11 de abril de 2017	53854	61654.1284
833	miércoles, 12 de abril de 2017	49734	61654.1284
834	jueves, 13 de abril de 2017	29406	61654.1284
835	viernes, 14 de abril de 2017	22677	61654.1284
836	sábado, 15 de abril de 2017	24519	61654.1284
837	domingo, 16 de abril de 2017	20537	61654.1284
838	lunes, 17 de abril de 2017	54415	61654.1284
839	martes, 18 de abril de 2017	58133	61654.1284
840	miércoles, 19 de abril de 2017	58144	61654.1284
841	jueves, 20 de abril de 2017	56650	61654.1284
842	viernes, 21 de abril de 2017	57026	61654.1284
843	sábado, 22 de abril de 2017	40268	61654.1284
844	domingo, 23 de abril de 2017	24941	61654.1284
845	lunes, 24 de abril de 2017	64433	61654.1284
846	martes, 25 de abril de 2017	61605	61654.1284
847	miércoles, 26 de abril de 2017	62203	61654.1284
848	jueves, 27 de abril de 2017	59646	61654.1284
849	viernes, 28 de abril de 2017	58454	61654.1284
850	sábado, 29 de abril de 2017	37257	61654.1284
851	domingo, 30 de abril de 2017	21984	61654.1284



852	lunes, 1 de mayo de 2017	23967	61654.1284
853	martes, 2 de mayo de 2017	61708	61654.1284
854	miércoles, 3 de mayo de 2017	60709	61654.1284
855	jueves, 4 de mayo de 2017	56288	61654.1284
856	viernes, 5 de mayo de 2017	50996	61654.1284
857	sábado, 6 de mayo de 2017	36678	61654.1284
858	domingo, 7 de mayo de 2017	25466	61654.1284
859	lunes, 8 de mayo de 2017	59215	61654.1284
860	martes, 9 de mayo de 2017	58513	61654.1284
861	miércoles, 10 de mayo de 2017	45660	61654.1284
862	jueves, 11 de mayo de 2017	59226	61654.1284
863	viernes, 12 de mayo de 2017	56796	61654.1284
864	sábado, 13 de mayo de 2017	37667	61654.1284
865	domingo, 14 de mayo de 2017	25125	61654.1284
866	lunes, 15 de mayo de 2017	55727	61654.1284
867	martes, 16 de mayo de 2017	61552	61654.1284
868	miércoles, 17 de mayo de 2017	63011	61654.1284
869	jueves, 18 de mayo de 2017	61606	61654.1284
870	viernes, 19 de mayo de 2017	60923	61654.1284
871	sábado, 20 de mayo de 2017	37676	61654.1284
872	domingo, 21 de mayo de 2017	25567	61654.1284
873	lunes, 22 de mayo de 2017	60560	61654.1284
874	martes, 23 de mayo de 2017	62177	61654.1284
875	miércoles, 24 de mayo de 2017	63834	61654.1284
876	jueves, 25 de mayo de 2017	54929	61654.1284
877	viernes, 26 de mayo de 2017	54735	61654.1284
878	sábado, 27 de mayo de 2017	39043	61654.1284
879	domingo, 28 de mayo de 2017	22734	61654.1284
880	lunes, 29 de mayo de 2017	54298	61654.1284
881	martes, 30 de mayo de 2017	55821	61654.1284
882	miércoles, 31 de mayo de 2017	55722	61654.1284
883	jueves, 1 de junio de 2017	55518	61654.1284
884	viernes, 2 de junio de 2017	53877	61654.1284
885	sábado, 3 de junio de 2017	38456	61654.1284
886	domingo, 4 de junio de 2017	23911	61654.1284
887	lunes, 5 de junio de 2017	56871	61654.1284
888	martes, 6 de junio de 2017	57570	61654.1284
889	miércoles, 7 de junio de 2017	56146	61654.1284
890	jueves, 8 de junio de 2017	56220	61654.1284
891	viernes, 9 de junio de 2017	54971	61654.1284
892	sábado, 10 de junio de 2017	37871	61654.1284
893	domingo, 11 de junio de 2017	23498	61654.1284
894	lunes, 12 de junio de 2017	56404	61654.1284
895	martes, 13 de junio de 2017	55515	61654.1284
896	miércoles, 14 de junio de 2017	56348	61654.1284
897	jueves, 15 de junio de 2017	54727	61654.1284
898	viernes, 16 de junio de 2017	54217	61654.1284
899	sábado, 17 de junio de 2017	39401	61654.1284
900	domingo, 18 de junio de 2017	19675	61654.1284
901	lunes, 19 de junio de 2017	55580	61654.1284
902	martes, 20 de junio de 2017	55186	61654.1284
903	miércoles, 21 de junio de 2017	55737	61654.1284
904	jueves, 22 de junio de 2017	56055	61654.1284
905	viernes, 23 de junio de 2017	54191	61654.1284
906	sábado, 24 de junio de 2017	41143	61654.1284
907	domingo, 25 de junio de 2017	26972	61654.1284
908	lunes, 26 de junio de 2017	53709	61654.1284
909	martes, 27 de junio de 2017	53851	61654.1284
910	miércoles, 28 de junio de 2017	52370	61654.1284
911	jueves, 29 de junio de 2017	53223	61654.1284
912	viernes, 30 de junio de 2017	51868	61654.1284
913	sábado, 1 de julio de 2017	36132	61654.1284
914	domingo, 2 de julio de 2017	20877	61654.1284
915	lunes, 3 de julio de 2017	55837	61654.1284
916	martes, 4 de julio de 2017	53025	61654.1284
917	miércoles, 5 de julio de 2017	54363	61654.1284
918	jueves, 6 de julio de 2017	53390	61654.1284
919	viernes, 7 de julio de 2017	52423	61654.1284
920	sábado, 8 de julio de 2017	35966	61654.1284
921	domingo, 9 de julio de 2017	21655	61654.1284
922	lunes, 10 de julio de 2017	53152	61654.1284

923	martes, 11 de julio de 2017	52513	61654.1284
924	miércoles, 12 de julio de 2017	53381	61654.1284
925	jueves, 13 de julio de 2017	52029	61654.1284
926	viernes, 14 de julio de 2017	50979	61654.1284
927	sábado, 15 de julio de 2017	36346	61654.1284
928	domingo, 16 de julio de 2017	20254	61654.1284
929	lunes, 17 de julio de 2017	53517	61654.1284
930	martes, 18 de julio de 2017	52036	61654.1284
931	miércoles, 19 de julio de 2017	52431	61654.1284
932	jueves, 20 de julio de 2017	51571	61654.1284
933	viernes, 21 de julio de 2017	49840	61654.1284
934	sábado, 22 de julio de 2017	35070	61654.1284
935	domingo, 23 de julio de 2017	20030	61654.1284
936	lunes, 24 de julio de 2017	51053	61654.1284
937	martes, 25 de julio de 2017	50059	61654.1284
938	miércoles, 26 de julio de 2017	50196	61654.1284
939	jueves, 27 de julio de 2017	50561	61654.1284
940	viernes, 28 de julio de 2017	50364	61654.1284
941	sábado, 29 de julio de 2017	34657	61654.1284
942	domingo, 30 de julio de 2017	22049	61654.1284
943	lunes, 31 de julio de 2017	52773	61654.1284
944	martes, 1 de agosto de 2017	53418	61654.1284
945	miércoles, 2 de agosto de 2017	53674	61654.1284
946	jueves, 3 de agosto de 2017	51966	61654.1284
947	viernes, 4 de agosto de 2017	51174	61654.1284
948	sábado, 5 de agosto de 2017	36936	61654.1284
949	domingo, 6 de agosto de 2017	24389	61654.1284
950	lunes, 7 de agosto de 2017	56823	61654.1284
951	martes, 8 de agosto de 2017	55870	61654.1284
952	miércoles, 9 de agosto de 2017	57145	61654.1284
953	jueves, 10 de agosto de 2017	50719	61654.1284
954	viernes, 11 de agosto de 2017	54891	61654.1284
955	sábado, 12 de agosto de 2017	34974	61654.1284
956	domingo, 13 de agosto de 2017	23375	61654.1284
957	lunes, 14 de agosto de 2017	59330	61654.1284
958	martes, 15 de agosto de 2017	58024	61654.1284
959	miércoles, 16 de agosto de 2017	58385	61654.1284
960	jueves, 17 de agosto de 2017	58465	61654.1284
961	viernes, 18 de agosto de 2017	54702	61654.1284
962	sábado, 19 de agosto de 2017	38036	61654.1284
963	domingo, 20 de agosto de 2017	23146	61654.1284
964	lunes, 21 de agosto de 2017	57487	61654.1284
965	martes, 22 de agosto de 2017	58478	61654.1284
966	miércoles, 23 de agosto de 2017	58265	61654.1284
967	jueves, 24 de agosto de 2017	58554	61654.1284
968	viernes, 25 de agosto de 2017	55466	61654.1284
969	sábado, 26 de agosto de 2017	38762	61654.1284
970	domingo, 27 de agosto de 2017	21724	61654.1284
971	lunes, 28 de agosto de 2017	54425	61654.1284
972	martes, 29 de agosto de 2017	55354	61654.1284
973	miércoles, 30 de agosto de 2017	53840	61654.1284
974	jueves, 31 de agosto de 2017	56392	61654.1284
975	viernes, 1 de septiembre de 2017	52305	61654.1284
976	sábado, 2 de septiembre de 2017	37226	61654.1284
977	domingo, 3 de septiembre de 2017	21647	61654.1284
978	lunes, 4 de septiembre de 2017	56528	61654.1284
979	martes, 5 de septiembre de 2017	57323	61654.1284
980	miércoles, 6 de septiembre de 2017	49641	61654.1284
981	jueves, 7 de septiembre de 2017	52307	61654.1284
982	viernes, 8 de septiembre de 2017	49654	61654.1284
983	sábado, 9 de septiembre de 2017	36573	61654.1284
984	domingo, 10 de septiembre de 2017	22336	61654.1284
985	lunes, 11 de septiembre de 2017	57524	61654.1284
986	martes, 12 de septiembre de 2017	58845	61654.1284
987	miércoles, 13 de septiembre de 2017	57966	61654.1284
988	jueves, 14 de septiembre de 2017	56772	61654.1284
989	viernes, 15 de septiembre de 2017	41630	61654.1284
990	sábado, 16 de septiembre de 2017	22229	61654.1284
991	domingo, 17 de septiembre de 2017	22730	61654.1284
992	lunes, 18 de septiembre de 2017	60340	61654.1284
993	martes, 19 de septiembre de 2017	46754	61654.1284



Análisis de la afluencia de un corredor de servicio de transporte concesionado en la Ciudad de México | 237

994	miércoles, 20 de septiembre de 2017	34677	61654.1284
995	jueves, 21 de septiembre de 2017	42225	61654.1284
996	viernes, 22 de septiembre de 2017	45587	61654.1284
997	sábado, 23 de septiembre de 2017	34414	61654.1284
998	domingo, 24 de septiembre de 2017	20548	61654.1284
999	lunes, 25 de septiembre de 2017	50119	61654.1284
1000	martes, 26 de septiembre de 2017	54335	61654.1284
1001	miércoles, 27 de septiembre de 2017	51349	61654.1284
1002	jueves, 28 de septiembre de 2017	52027	61654.1284
1003	viernes, 29 de septiembre de 2017	49407	61654.1284
1004	sábado, 30 de septiembre de 2017	34521	61654.1284
1005	domingo, 1 de octubre de 2017	19607	61654.1284
1006	lunes, 2 de octubre de 2017	54781	61654.1284
1007	martes, 3 de octubre de 2017	54747	61654.1284
1008	miércoles, 4 de octubre de 2017	53963	61654.1284
1009	jueves, 5 de octubre de 2017	54698	61654.1284
1010	viernes, 6 de octubre de 2017	54487	61654.1284
1011	sábado, 7 de octubre de 2017	38500	61654.1284
1012	domingo, 8 de octubre de 2017	22907	61654.1284
1013	lunes, 9 de octubre de 2017	57169	61654.1284
1014	martes, 10 de octubre de 2017	54622	61654.1284
1015	miércoles, 11 de octubre de 2017	56101	61654.1284
1016	jueves, 12 de octubre de 2017	54836	61654.1284
1017	viernes, 13 de octubre de 2017	54933	61654.1284
1018	sábado, 14 de octubre de 2017	38474	61654.1284
1019	domingo, 15 de octubre de 2017	22485	61654.1284
1020	lunes, 16 de octubre de 2017	56425	61654.1284
1021	martes, 17 de octubre de 2017	55609	61654.1284
1022	miércoles, 18 de octubre de 2017	56953	61654.1284
1023	jueves, 19 de octubre de 2017	55411	61654.1284
1024	viernes, 20 de octubre de 2017	54839	61654.1284
1025	sábado, 21 de octubre de 2017	38029	61654.1284
1026	domingo, 22 de octubre de 2017	23534	61654.1284
1027	lunes, 23 de octubre de 2017	5515	61654.1284
1028	martes, 24 de octubre de 2017	55366	61654.1284
1029	miércoles, 25 de octubre de 2017	56801	61654.1284
1030	jueves, 26 de octubre de 2017	55564	61654.1284
1031	viernes, 27 de octubre de 2017	54438	61654.1284
1032	sábado, 28 de octubre de 2017	36320	61654.1284
1033	domingo, 29 de octubre de 2017	22475	61654.1284
1034	lunes, 30 de octubre de 2017	55130	61654.1284
1035	martes, 31 de octubre de 2017	54258	61654.1284
1036	miércoles, 1 de noviembre de 2017	41348	61654.1284
1037	jueves, 2 de noviembre de 2017	35438	61654.1284
1038	viernes, 3 de noviembre de 2017	55443	61654.1284
1039	sábado, 4 de noviembre de 2017	37859	61654.1284
1040	domingo, 5 de noviembre de 2017	23172	61654.1284
1041	lunes, 6 de noviembre de 2017	56731	61654.1284
1042	martes, 7 de noviembre de 2017	56324	61654.1284
1043	miércoles, 8 de noviembre de 2017	56322	61654.1284
1044	jueves, 9 de noviembre de 2017	55476	61654.1284
1045	viernes, 10 de noviembre de 2017	55040	61654.1284
1046	sábado, 11 de noviembre de 2017	38716	61654.1284
1047	domingo, 12 de noviembre de 2017	22058	61654.1284
1048	lunes, 13 de noviembre de 2017	56608	61654.1284
1049	martes, 14 de noviembre de 2017	56545	61654.1284
1050	miércoles, 15 de noviembre de 2017	55465	61654.1284
1051	jueves, 16 de noviembre de 2017	55053	61654.1284
1052	viernes, 17 de noviembre de 2017	53690	61654.1284
1053	sábado, 18 de noviembre de 2017	37057	61654.1284
1054	domingo, 19 de noviembre de 2017	21533	61654.1284
1055	lunes, 20 de noviembre de 2017	27573	61654.1284
1056	martes, 21 de noviembre de 2017	55843	61654.1284
1057	miércoles, 22 de noviembre de 2017	54545	61654.1284
1058	jueves, 23 de noviembre de 2017	54430	61654.1284
1059	viernes, 24 de noviembre de 2017	54457	61654.1284
1060	sábado, 25 de noviembre de 2017	39416	61654.1284
1061	domingo, 26 de noviembre de 2017	21165	61654.1284
1062	lunes, 27 de noviembre de 2017	55502	61654.1284
1063	martes, 28 de noviembre de 2017	55089	61654.1284
1064	miércoles, 29 de noviembre de 2017	55900	61654.1284

1065	jueves, 30 de noviembre de 2017	53577	61654.1284
1066	viernes, 1 de diciembre de 2017	54147	61654.1284
1067	sábado, 2 de diciembre de 2017	37828	61654.1284
1068	domingo, 3 de diciembre de 2017	21884	61654.1284
1069	lunes, 4 de diciembre de 2017	56064	61654.1284
1070	martes, 5 de diciembre de 2017	53706	61654.1284
1071	miércoles, 6 de diciembre de 2017	52817	61654.1284
1072	jueves, 7 de diciembre de 2017	53806	61654.1284
1073	viernes, 8 de diciembre de 2017	52349	61654.1284
1074	sábado, 9 de diciembre de 2017	37000	61654.1284
1075	domingo, 10 de diciembre de 2017	21610	61654.1284
1076	lunes, 11 de diciembre de 2017	50624	61654.1284
1077	martes, 12 de diciembre de 2017	50624	61654.1284
1078	miércoles, 13 de diciembre de 2017	50624	61654.1284
1079	jueves, 14 de diciembre de 2017	49711	61654.1284
1080	viernes, 15 de diciembre de 2017	49224	61654.1284
1081	sábado, 16 de diciembre de 2017	35780	61654.1284
1082	domingo, 17 de diciembre de 2017	20070	61654.1284
1083	lunes, 18 de diciembre de 2017	51499	61654.1284
1084	martes, 19 de diciembre de 2017	46846	61654.1284
1085	miércoles, 20 de diciembre de 2017	47198	61654.1284
1086	jueves, 21 de diciembre de 2017	46890	61654.1284
1087	viernes, 22 de diciembre de 2017	43331	61654.1284
1088	sábado, 23 de diciembre de 2017	30769	61654.1284
1089	domingo, 24 de diciembre de 2017	15790	61654.1284
1090	lunes, 25 de diciembre de 2017	10078	61654.1284
1091	martes, 26 de diciembre de 2017	39470	61654.1284
1092	miércoles, 27 de diciembre de 2017	40456	61654.1284
1093	jueves, 28 de diciembre de 2017	40681	61654.1284
1094	viernes, 29 de diciembre de 2017	38569	61654.1284
1095	sábado, 30 de diciembre de 2017	27875	61654.1284
1096	domingo, 31 de diciembre de 2017	14429	61654.1284
1097	lunes, 1 de enero de 2018	10220	61654.1284
1098	martes, 2 de enero de 2018	40350	61654.1284
1099	miércoles, 3 de enero de 2018	44423	61654.1284
1100	jueves, 4 de enero de 2018	44975	61654.1284
1101	viernes, 5 de enero de 2018	39772	61654.1284
1102	sábado, 6 de enero de 2018	35715	61654.1284
1103	domingo, 7 de enero de 2018	21979	61654.1284
1104	lunes, 8 de enero de 2018	52324	61654.1284
1105	martes, 9 de enero de 2018	52517	61654.1284
1106	miércoles, 10 de enero de 2018	53225	61654.1284
1107	jueves, 11 de enero de 2018	52832	61654.1284
1108	viernes, 12 de enero de 2018	50920	61654.1284
1109	sábado, 13 de enero de 2018	35428	61654.1284
1110	domingo, 14 de enero de 2018	21057	61654.1284
1111	lunes, 15 de enero de 2018	54187	61654.1284
1112	martes, 16 de enero de 2018	54388	61654.1284
1113	miércoles, 17 de enero de 2018	53540	61654.1284
1114	jueves, 18 de enero de 2018	53105	61654.1284
1115	viernes, 19 de enero de 2018	53223	61654.1284
1116	sábado, 20 de enero de 2018	36248	61654.1284
1117	domingo, 21 de enero de 2018	21204	61654.1284
1118	lunes, 22 de enero de 2018	54978	61654.1284
1119	martes, 23 de enero de 2018	54809	61654.1284
1120	miércoles, 24 de enero de 2018	53835	61654.1284
1121	jueves, 25 de enero de 2018	53265	61654.1284
1122	viernes, 26 de enero de 2018	54219	61654.1284
1123	sábado, 27 de enero de 2018	35374	61654.1284
1124	domingo, 28 de enero de 2018	20045	61654.1284
1125	lunes, 29 de enero de 2018	54810	61654.1284
1126	martes, 30 de enero de 2018	54028	61654.1284
1127	miércoles, 31 de enero de 2018	52292	61654.1284
1128	jueves, 1 de febrero de 2018	54358	61654.1284
1129	viernes, 2 de febrero de 2018	53665	61654.1284
1130	sábado, 3 de febrero de 2018	34754	61654.1284
1131	domingo, 4 de febrero de 2018	20963	61654.1284
1132	lunes, 5 de febrero de 2018	25304	61654.1284
1133	martes, 6 de febrero de 2018	57593	61654.1284
1134	miércoles, 7 de febrero de 2018	56171	61654.1284
1135	jueves, 8 de febrero de 2018	55321	61654.1284



Análisis de la afluencia de un corredor de servicio de transporte concesionado en la Ciudad de México | 238

1136	viernes, 9 de febrero de 2018	53264	61654.1284
1137	sábado, 10 de febrero de 2018	38196	61654.1284
1138	domingo, 11 de febrero de 2018	20604	61654.1284
1139	lunes, 12 de febrero de 2018	57013	61654.1284
1140	martes, 13 de febrero de 2018	56043	61654.1284
1141	miércoles, 14 de febrero de 2018	55687	61654.1284
1142	jueves, 15 de febrero de 2018	54802	61654.1284
1143	viernes, 16 de febrero de 2018	53461	61654.1284
1144	sábado, 17 de febrero de 2018	38213	61654.1284
1145	domingo, 18 de febrero de 2018	21581	61654.1284
1146	lunes, 19 de febrero de 2018	55637	61654.1284
1147	martes, 20 de febrero de 2018	56038	61654.1284
1148	miércoles, 21 de febrero de 2018	55934	61654.1284
1149	jueves, 22 de febrero de 2018	56245	61654.1284
1150	viernes, 23 de febrero de 2018	52916	61654.1284
1151	sábado, 24 de febrero de 2018	40013	61654.1284
1152	domingo, 25 de febrero de 2018	21763	61654.1284
1153	lunes, 26 de febrero de 2018	56625	61654.1284
1154	martes, 27 de febrero de 2018	54796	61654.1284
1155	miércoles, 28 de febrero de 2018	57439	61654.1284
1156	jueves, 1 de marzo de 2018	54709	61654.1284
1157	viernes, 2 de marzo de 2018	53742	61654.1284
1158	sábado, 3 de marzo de 2018	39052	61654.1284
1159	domingo, 4 de marzo de 2018	21197	61654.1284
1160	lunes, 5 de marzo de 2018	56659	61654.1284
1161	martes, 6 de marzo de 2018	56837	61654.1284
1162	miércoles, 7 de marzo de 2018	56060	61654.1284
1163	jueves, 8 de marzo de 2018	55456	61654.1284
1164	viernes, 9 de marzo de 2018	54531	61654.1284
1165	sábado, 10 de marzo de 2018	38743	61654.1284
1166	domingo, 11 de marzo de 2018	21694	61654.1284
1167	lunes, 12 de marzo de 2018	56094	61654.1284
1168	martes, 13 de marzo de 2018	56094	61654.1284
1169	miércoles, 14 de marzo de 2018	55857	61654.1284
1170	jueves, 15 de marzo de 2018	55293	61654.1284
1171	viernes, 16 de marzo de 2018	54108	61654.1284
1172	sábado, 17 de marzo de 2018	38707	61654.1284
1173	domingo, 18 de marzo de 2018	21117	61654.1284
1174	lunes, 19 de marzo de 2018	23139	61654.1284
1175	martes, 20 de marzo de 2018	59522	61654.1284
1176	miércoles, 21 de marzo de 2018	55406	61654.1284
1177	jueves, 22 de marzo de 2018	55079	61654.1284
1178	viernes, 23 de marzo de 2018	55189	61654.1284
1179	sábado, 24 de marzo de 2018	36694	61654.1284
1180	domingo, 25 de marzo de 2018	20057	61654.1284
1181	lunes, 26 de marzo de 2018	50393	61654.1284
1182	martes, 27 de marzo de 2018	48235	61654.1284
1183	miércoles, 28 de marzo de 2018	46857	61654.1284
1184	jueves, 29 de marzo de 2018	28216	61654.1284
1185	viernes, 30 de marzo de 2018	19568	61654.1284
1186	sábado, 31 de marzo de 2018	19229	61654.1284
1187	domingo, 1 de abril de 2018	16318	61654.1284
1188	lunes, 2 de abril de 2018	52737	61654.1284
1189	martes, 3 de abril de 2018	52122	61654.1284
1190	miércoles, 4 de abril de 2018	48009	61654.1284
1191	jueves, 5 de abril de 2018	55997	61654.1284
1192	viernes, 6 de abril de 2018	50685	61654.1284
1193	sábado, 7 de abril de 2018	38440	61654.1284
1194	domingo, 8 de abril de 2018	19689	61654.1284
1195	lunes, 9 de abril de 2018	55331	61654.1284
1196	martes, 10 de abril de 2018	53565	61654.1284
1197	miércoles, 11 de abril de 2018	56647	61654.1284
1198	jueves, 12 de abril de 2018	53698	61654.1284
1199	viernes, 13 de abril de 2018	54325	61654.1284
1200	sábado, 14 de abril de 2018	36155	61654.1284
1201	domingo, 15 de abril de 2018	22123	61654.1284
1202	lunes, 16 de abril de 2018	55039	61654.1284
1203	martes, 17 de abril de 2018	53265	61654.1284
1204	miércoles, 18 de abril de 2018	55525	61654.1284
1205	jueves, 19 de abril de 2018	54012	61654.1284
1206	viernes, 20 de abril de 2018	50804	61654.1284

1207	sábado, 21 de abril de 2018	36401	61654.1284
1208	domingo, 22 de abril de 2018	20272	61654.1284
1209	lunes, 23 de abril de 2018	54718	61654.1284
1210	martes, 24 de abril de 2018	54335	61654.1284
1211	miércoles, 25 de abril de 2018	54872	61654.1284
1212	jueves, 26 de abril de 2018	54150	61654.1284
1213	viernes, 27 de abril de 2018	54426	61654.1284
1214	sábado, 28 de abril de 2018	36411	61654.1284
1215	domingo, 29 de abril de 2018	20478	61654.1284
1216	lunes, 30 de abril de 2018	51297	61654.1284
1217	martes, 1 de mayo de 2018	24956	61654.1284
1218	miércoles, 2 de mayo de 2018	56169	61654.1284
1219	jueves, 3 de mayo de 2018	53183	61654.1284
1220	viernes, 4 de mayo de 2018	52013	61654.1284
1221	sábado, 5 de mayo de 2018	35198	61654.1284
1222	domingo, 6 de mayo de 2018	20059	61654.1284
1223	lunes, 7 de mayo de 2018	53077	61654.1284
1224	martes, 8 de mayo de 2018	53433	61654.1284
1225	miércoles, 9 de mayo de 2018	53551	61654.1284
1226	jueves, 10 de mayo de 2018	37761	61654.1284
1227	viernes, 11 de mayo de 2018	54454	61654.1284
1228	sábado, 12 de mayo de 2018	36441	61654.1284
1229	domingo, 13 de mayo de 2018	20572	61654.1284
1230	lunes, 14 de mayo de 2018	54294	61654.1284
1231	martes, 15 de mayo de 2018	50160	61654.1284
1232	miércoles, 16 de mayo de 2018	52881	61654.1284
1233	jueves, 17 de mayo de 2018	51825	61654.1284
1234	viernes, 18 de mayo de 2018	52639	61654.1284
1235	sábado, 19 de mayo de 2018	34261	61654.1284
1236	domingo, 20 de mayo de 2018	22785	61654.1284
1237	lunes, 21 de mayo de 2018	51680	61654.1284
1238	martes, 22 de mayo de 2018	53862	61654.1284
1239	miércoles, 23 de mayo de 2018	53176	61654.1284
1240	jueves, 24 de mayo de 2018	51961	61654.1284
1241	viernes, 25 de mayo de 2018	51735	61654.1284
1242	sábado, 26 de mayo de 2018	34634	61654.1284
1243	domingo, 27 de mayo de 2018	20664	61654.1284
1244	lunes, 28 de mayo de 2018	53286	61654.1284
1245	martes, 29 de mayo de 2018	53490	61654.1284
1246	miércoles, 30 de mayo de 2018	53020	61654.1284
1247	jueves, 31 de mayo de 2018	52539	61654.1284
1248	viernes, 1 de junio de 2018	52118	61654.1284
1249	sábado, 2 de junio de 2018	36627	61654.1284
1250	domingo, 3 de junio de 2018	21499	61654.1284
1251	lunes, 4 de junio de 2018	53135	61654.1284
1252	martes, 5 de junio de 2018	53923	61654.1284
1253	miércoles, 6 de junio de 2018	53124	61654.1284
1254	jueves, 7 de junio de 2018	55432	61654.1284
1255	viernes, 8 de junio de 2018	52417	61654.1284
1256	sábado, 9 de junio de 2018	35309	61654.1284
1257	domingo, 10 de junio de 2018	23024	61654.1284
1258	lunes, 11 de junio de 2018	54076	61654.1284
1259	martes, 12 de junio de 2018	52056	61654.1284
1260	miércoles, 13 de junio de 2018	50024	61654.1284
1261	jueves, 14 de junio de 2018	49398	61654.1284
1262	viernes, 15 de junio de 2018	50620	61654.1284
1263	sábado, 16 de junio de 2018	36232	61654.1284
1264	domingo, 17 de junio de 2018	17683	61654.1284
1265	lunes, 18 de junio de 2018	49460	61654.1284
1266	martes, 19 de junio de 2018	52664	61654.1284
1267	miércoles, 20 de junio de 2018	52877	61654.1284
1268	jueves, 21 de junio de 2018	51071	61654.1284
1269	viernes, 22 de junio de 2018	51514	61654.1284
1270	sábado, 23 de junio de 2018	37105	61654.1284
1271	domingo, 24 de junio de 2018	25540	61654.1284
1272	lunes, 25 de junio de 2018	52387	61654.1284
1273	martes, 26 de junio de 2018	50482	61654.1284
1274	miércoles, 27 de junio de 2018	50756	61654.1284
1275	jueves, 28 de junio de 2018	50667	61654.1284
1276	viernes, 29 de junio de 2018	50909	61654.1284
1277	sábado, 30 de junio de 2018	35220	61654.1284



Análisis de la afluencia de un corredor de servicio de transporte concesionado en la Ciudad de México | 239

1278	domingo, 1 de julio de 2018	20123	61654.1284
1279	lunes, 2 de julio de 2018	49597	61654.1284
1280	martes, 3 de julio de 2018	51584	61654.1284
1281	miércoles, 4 de julio de 2018	50462	61654.1284
1282	jueves, 5 de julio de 2018	50880	61654.1284
1283	viernes, 6 de julio de 2018	48941	61654.1284
1284	sábado, 7 de julio de 2018	35000	61654.1284
1285	domingo, 8 de julio de 2018	20406	61654.1284
1286	lunes, 9 de julio de 2018	49609	61654.1284
1287	martes, 10 de julio de 2018	49949	61654.1284
1288	miércoles, 11 de julio de 2018	50407	61654.1284
1289	jueves, 12 de julio de 2018	48875	61654.1284
1290	viernes, 13 de julio de 2018	48061	61654.1284
1291	sábado, 14 de julio de 2018	34643	61654.1284
1292	domingo, 15 de julio de 2018	21064	61654.1284
1293	lunes, 16 de julio de 2018	48062	61654.1284
1294	martes, 17 de julio de 2018	49730	61654.1284
1295	miércoles, 18 de julio de 2018	49409	61654.1284
1296	jueves, 19 de julio de 2018	49592	61654.1284
1297	viernes, 20 de julio de 2018	48117	61654.1284
1298	sábado, 21 de julio de 2018	34570	61654.1284
1299	domingo, 22 de julio de 2018	22184	61654.1284
1300	lunes, 23 de julio de 2018	49619	61654.1284
1301	martes, 24 de julio de 2018	49900	61654.1284
1302	miércoles, 25 de julio de 2018	48979	61654.1284
1303	jueves, 26 de julio de 2018	49581	61654.1284
1304	viernes, 27 de julio de 2018	45519	61654.1284
1305	sábado, 28 de julio de 2018	36589	61654.1284
1306	domingo, 29 de julio de 2018	21620	61654.1284
1307	lunes, 30 de julio de 2018	51131	61654.1284
1308	martes, 31 de julio de 2018	50860	61654.1284
1309	miércoles, 1 de agosto de 2018	52096	61654.1284
1310	jueves, 2 de agosto de 2018	52120	61654.1284
1311	viernes, 3 de agosto de 2018	50923	61654.1284
1312	sábado, 4 de agosto de 2018	36167	61654.1284
1313	domingo, 5 de agosto de 2018	20499	61654.1284
1314	lunes, 6 de agosto de 2018	55640	61654.1284
1315	martes, 7 de agosto de 2018	55672	61654.1284
1316	miércoles, 8 de agosto de 2018	55474	61654.1284
1317	jueves, 9 de agosto de 2018	52286	61654.1284
1318	viernes, 10 de agosto de 2018	54956	61654.1284
1319	sábado, 11 de agosto de 2018	35071	61654.1284
1320	domingo, 12 de agosto de 2018	20503	61654.1284
1321	lunes, 13 de agosto de 2018	55095	61654.1284
1322	martes, 14 de agosto de 2018	56367	61654.1284
1323	miércoles, 15 de agosto de 2018	53853	61654.1284
1324	jueves, 16 de agosto de 2018	54840	61654.1284
1325	viernes, 17 de agosto de 2018	53877	61654.1284
1326	sábado, 18 de agosto de 2018	36080	61654.1284
1327	domingo, 19 de agosto de 2018	22104	61654.1284
1328	lunes, 20 de agosto de 2018	54290	61654.1284
1329	martes, 21 de agosto de 2018	54290	61654.1284
1330	miércoles, 22 de agosto de 2018	54754	61654.1284
1331	jueves, 23 de agosto de 2018	54462	61654.1284
1332	viernes, 24 de agosto de 2018	52767	61654.1284
1333	sábado, 25 de agosto de 2018	36115	61654.1284
1334	domingo, 26 de agosto de 2018	22507	61654.1284
1335	lunes, 27 de agosto de 2018	54871	61654.1284
1336	martes, 28 de agosto de 2018	52858	61654.1284
1337	miércoles, 29 de agosto de 2018	54541	61654.1284
1338	jueves, 30 de agosto de 2018	52107	61654.1284
1339	viernes, 31 de agosto de 2018	53089	61654.1284
1340	sábado, 1 de septiembre de 2018	35566	61654.1284
1341	domingo, 2 de septiembre de 2018	20821	61654.1284
1342	lunes, 3 de septiembre de 2018	55009	61654.1284
1343	martes, 4 de septiembre de 2018	54741	61654.1284
1344	miércoles, 5 de septiembre de 2018	54186	61654.1284
1345	jueves, 6 de septiembre de 2018	53411	61654.1284
1346	viernes, 7 de septiembre de 2018	53477	61654.1284
1347	sábado, 8 de septiembre de 2018	36870	61654.1284
1348	domingo, 9 de septiembre de 2018	21955	61654.1284

1349	lunes, 10 de septiembre de 2018	55649	61654.1284
1350	martes, 11 de septiembre de 2018	53873	61654.1284
1351	miércoles, 12 de septiembre de 2018	54599	61654.1284
1352	jueves, 13 de septiembre de 2018	52348	61654.1284
1353	viernes, 14 de septiembre de 2018	51498	61654.1284
1354	sábado, 15 de septiembre de 2018	29947	61654.1284
1355	domingo, 16 de septiembre de 2018	17883	61654.1284
1356	lunes, 17 de septiembre de 2018	56237	61654.1284
1357	martes, 18 de septiembre de 2018	55118	61654.1284
1358	miércoles, 19 de septiembre de 2018	54833	61654.1284
1359	jueves, 20 de septiembre de 2018	55704	61654.1284
1360	viernes, 21 de septiembre de 2018	55409	61654.1284
1361	sábado, 22 de septiembre de 2018	35137	61654.1284
1362	domingo, 23 de septiembre de 2018	22890	61654.1284
1363	lunes, 24 de septiembre de 2018	56143	61654.1284
1364	martes, 25 de septiembre de 2018	54865	61654.1284
1365	miércoles, 26 de septiembre de 2018	54260	61654.1284
1366	jueves, 27 de septiembre de 2018	55536	61654.1284
1367	viernes, 28 de septiembre de 2018	54277	61654.1284
1368	sábado, 29 de septiembre de 2018	35692	61654.1284
1369	domingo, 30 de septiembre de 2018	22013	61654.1284
1370	lunes, 1 de octubre de 2018	53832	61654.1284
1371	martes, 2 de octubre de 2018	55117	61654.1284
1372	miércoles, 3 de octubre de 2018	55708	61654.1284
1373	jueves, 4 de octubre de 2018	54908	61654.1284
1374	viernes, 5 de octubre de 2018	54776	61654.1284
1375	sábado, 6 de octubre de 2018	36548	61654.1284
1376	domingo, 7 de octubre de 2018	23884	61654.1284
1377	lunes, 8 de octubre de 2018	55495	61654.1284
1378	martes, 9 de octubre de 2018	55708	61654.1284
1379	miércoles, 10 de octubre de 2018	54593	61654.1284
1380	jueves, 11 de octubre de 2018	55144	61654.1284
1381	viernes, 12 de octubre de 2018	50956	61654.1284
1382	sábado, 13 de octubre de 2018	37920	61654.1284
1383	domingo, 14 de octubre de 2018	22706	61654.1284
1384	lunes, 15 de octubre de 2018	53924	61654.1284
1385	martes, 16 de octubre de 2018	55104	61654.1284
1386	miércoles, 17 de octubre de 2018	54204	61654.1284
1387	jueves, 18 de octubre de 2018	54723	61654.1284
1388	viernes, 19 de octubre de 2018	54004	61654.1284
1389	sábado, 20 de octubre de 2018	37441	61654.1284
1390	domingo, 21 de octubre de 2018	21883	61654.1284
1391	lunes, 22 de octubre de 2018	54645	61654.1284
1392	martes, 23 de octubre de 2018	55422	61654.1284
1393	miércoles, 24 de octubre de 2018	55219	61654.1284
1394	jueves, 25 de octubre de 2018	55844	61654.1284
1395	viernes, 26 de octubre de 2018	52956	61654.1284
1396	sábado, 27 de octubre de 2018	35055	61654.1284
1397	domingo, 28 de octubre de 2018	23465	61654.1284
1398	lunes, 29 de octubre de 2018	54837	61654.1284
1399	martes, 30 de octubre de 2018	53236	61654.1284
1400	miércoles, 31 de octubre de 2018	49214	61654.1284
1401	jueves, 1 de noviembre de 2018	41842	61654.1284
1402	viernes, 2 de noviembre de 2018	26551	61654.1284
1403	sábado, 3 de noviembre de 2018	29087	61654.1284
1404	domingo, 4 de noviembre de 2018	17321	61654.1284
1405	lunes, 5 de noviembre de 2018	54365	61654.1284
1406	martes, 6 de noviembre de 2018	53192	61654.1284
1407	miércoles, 7 de noviembre de 2018	55018	61654.1284
1408	jueves, 8 de noviembre de 2018	53236	61654.1284
1409	viernes, 9 de noviembre de 2018	51060	61654.1284
1410	sábado, 10 de noviembre de 2018	37131	61654.1284
1411	domingo, 11 de noviembre de 2018	22565	61654.1284
1412	lunes, 12 de noviembre de 2018	54099	61654.1284
1413	martes, 13 de noviembre de 2018	54782	61654.1284
1414	miércoles, 14 de noviembre de 2018	49650	61654.1284
1415	jueves, 15 de noviembre de 2018	52285	61654.1284
1416	viernes, 16 de noviembre de 2018	51657	61654.1284
1417	sábado, 17 de noviembre de 2018	36664	61654.1284
1418	domingo, 18 de noviembre de 2018	22256	61654.1284
1419	lunes, 19 de noviembre de 2018	24299	61654.1284



1420	martes, 20 de noviembre de 2018	56251	61654.1284
1421	miércoles, 21 de noviembre de 2018	53239	61654.1284
1422	jueves, 22 de noviembre de 2018	52863	61654.1284
1423	viernes, 23 de noviembre de 2018	51569	61654.1284
1424	sábado, 24 de noviembre de 2018	37402	61654.1284
1425	domingo, 25 de noviembre de 2018	22168	61654.1284
1426	lunes, 26 de noviembre de 2018	53935	61654.1284
1427	martes, 27 de noviembre de 2018	53708	61654.1284
1428	miércoles, 28 de noviembre de 2018	52149	61654.1284
1429	jueves, 29 de noviembre de 2018	53018	61654.1284
1430	viernes, 30 de noviembre de 2018	50500	61654.1284
1431	sábado, 1 de diciembre de 2018	28814	61654.1284
1432	domingo, 2 de diciembre de 2018	23075	61654.1284
1433	lunes, 3 de diciembre de 2018	52725	61654.1284
1434	martes, 4 de diciembre de 2018	51799	61654.1284
1435	miércoles, 5 de diciembre de 2018	52026	61654.1284
1436	jueves, 6 de diciembre de 2018	50270	61654.1284
1437	viernes, 7 de diciembre de 2018	48060	61654.1284
1438	sábado, 8 de diciembre de 2018	35460	61654.1284
1439	domingo, 9 de diciembre de 2018	21719	61654.1284
1440	lunes, 10 de diciembre de 2018	52079	61654.1284
1441	martes, 11 de diciembre de 2018	44464	61654.1284
1442	miércoles, 12 de diciembre de 2018	46467	61654.1284
1443	jueves, 13 de diciembre de 2018	52537	61654.1284
1444	viernes, 14 de diciembre de 2018	47845	61654.1284
1445	sábado, 15 de diciembre de 2018	34030	61654.1284
1446	domingo, 16 de diciembre de 2018	21344	61654.1284
1447	lunes, 17 de diciembre de 2018	46315	61654.1284
1448	martes, 18 de diciembre de 2018	47250	61654.1284
1449	miércoles, 19 de diciembre de 2018	47830	61654.1284
1450	jueves, 20 de diciembre de 2018	45617	61654.1284
1451	viernes, 21 de diciembre de 2018	42681	61654.1284
1452	sábado, 22 de diciembre de 2018	30993	61654.1284
1453	domingo, 23 de diciembre de 2018	20925	61654.1284
1454	lunes, 24 de diciembre de 2018	24983	61654.1284
1455	martes, 25 de diciembre de 2018	11490	61654.1284
1456	miércoles, 26 de diciembre de 2018	36837	61654.1284
1457	jueves, 27 de diciembre de 2018	37361	61654.1284
1458	viernes, 28 de diciembre de 2018	37635	61654.1284
1459	sábado, 29 de diciembre de 2018	25700	61654.1284
1460	domingo, 30 de diciembre de 2018	18118	61654.1284
1461	lunes, 31 de diciembre de 2018	20640	61654.1284
1462	martes, 1 de enero de 2019	10307	61654.1284
1463	miércoles, 2 de enero de 2019	37570	61654.1284
1464	jueves, 3 de enero de 2019	38703	61654.1284
1465	viernes, 4 de enero de 2019	40978	61654.1284
1466	sábado, 5 de enero de 2019	26301	61654.1284
1467	domingo, 6 de enero de 2019	17496	61654.1284
1468	lunes, 7 de enero de 2019	48759	61654.1284
1469	martes, 8 de enero de 2019	45412	61654.1284
1470	miércoles, 9 de enero de 2019	47576	61654.1284
1471	jueves, 10 de enero de 2019	48788	61654.1284
1472	viernes, 11 de enero de 2019	49414	61654.1284
1473	sábado, 12 de enero de 2019	32612	61654.1284
1474	domingo, 13 de enero de 2019	20526	61654.1284
1475	lunes, 14 de enero de 2019	50395	61654.1284
1476	martes, 15 de enero de 2019	51613	61654.1284
1477	miércoles, 16 de enero de 2019	51216	61654.1284
1478	jueves, 17 de enero de 2019	51498	61654.1284
1479	viernes, 18 de enero de 2019	50162	61654.1284
1480	sábado, 19 de enero de 2019	33493	61654.1284
1481	domingo, 20 de enero de 2019	20562	61654.1284
1482	lunes, 21 de enero de 2019	52815	61654.1284
1483	martes, 22 de enero de 2019	52823	61654.1284
1484	miércoles, 23 de enero de 2019	53409	61654.1284
1485	jueves, 24 de enero de 2019	51613	61654.1284
1486	viernes, 25 de enero de 2019	51311	61654.1284
1487	sábado, 26 de enero de 2019	33611	61654.1284
1488	domingo, 27 de enero de 2019	20794	61654.1284
1489	lunes, 28 de enero de 2019	52996	61654.1284
1490	martes, 29 de enero de 2019	51486	61654.1284

1491	miércoles, 30 de enero de 2019	52398	61654.1284
1492	jueves, 31 de enero de 2019	51883	61654.1284
1493	viernes, 1 de febrero de 2019	50038	61654.1284
1494	sábado, 2 de febrero de 2019	32211	61654.1284
1495	domingo, 3 de febrero de 2019	20709	61654.1284
1496	lunes, 4 de febrero de 2019	20575	61654.1284
1497	martes, 5 de febrero de 2019	54184	61654.1284
1498	miércoles, 6 de febrero de 2019	51905	61654.1284
1499	jueves, 7 de febrero de 2019	51702	61654.1284
1500	viernes, 8 de febrero de 2019	50661	61654.1284
1501	sábado, 9 de febrero de 2019	32462	61654.1284
1502	domingo, 10 de febrero de 2019	21370	61654.1284
1503	lunes, 11 de febrero de 2019	52006	61654.1284
1504	martes, 12 de febrero de 2019	52546	61654.1284
1505	miércoles, 13 de febrero de 2019	51961	61654.1284
1506	jueves, 14 de febrero de 2019	51351	61654.1284
1507	viernes, 15 de febrero de 2019	51197	61654.1284
1508	sábado, 16 de febrero de 2019	34443	61654.1284
1509	domingo, 17 de febrero de 2019	20811	61654.1284
1510	lunes, 18 de febrero de 2019	51440	61654.1284
1511	martes, 19 de febrero de 2019	50944	61654.1284
1512	miércoles, 20 de febrero de 2019	51982	61654.1284
1513	jueves, 21 de febrero de 2019	51738	61654.1284
1514	viernes, 22 de febrero de 2019	50613	61654.1284
1515	sábado, 23 de febrero de 2019	36801	61654.1284
1516	domingo, 24 de febrero de 2019	18691	61654.1284
1517	lunes, 25 de febrero de 2019	51250	61654.1284
1518	martes, 26 de febrero de 2019	50638	61654.1284
1519	miércoles, 27 de febrero de 2019	50966	61654.1284



ANEXO III: Afluencia sin tendencia (componente estacional). Este se puede acomodar diaria, semanal, mensual, anual, o en cualquier otra frecuencia de tiempo.

Dato	Fecha	Afluencia	Afluencia sin/Tendencia
1	jueves, 1 de enero de 2015	18569	0.3012
2	viernes, 2 de enero de 2015	46541	0.7550
3	sábado, 3 de enero de 2015	39694	0.6441
4	domingo, 4 de enero de 2015	24777	0.4021
5	lunes, 5 de enero de 2015	61415	0.9970
6	martes, 6 de enero de 2015	58397	0.9482
7	miércoles, 7 de enero de 2015	68392	1.1108
8	jueves, 8 de enero de 2015	68118	1.1066
9	viernes, 9 de enero de 2015	68131	1.1070
10	sábado, 10 de enero de 2015	47329	0.7692
11	domingo, 11 de enero de 2015	28388	0.4615
12	lunes, 12 de enero de 2015	72869	1.1848
13	martes, 13 de enero de 2015	71695	1.1660
14	miércoles, 14 de enero de 2015	71623	1.1651
15	jueves, 15 de enero de 2015	72164	1.1741
16	viernes, 16 de enero de 2015	71039	1.1561
17	sábado, 17 de enero de 2015	49558	0.8067
18	domingo, 18 de enero de 2015	27827	0.4531
19	lunes, 19 de enero de 2015	74484	1.2130
20	martes, 20 de enero de 2015	73973	1.2049
21	miércoles, 21 de enero de 2015	73793	1.2023
22	jueves, 22 de enero de 2015	73233	1.1934
23	viernes, 23 de enero de 2015	72430	1.1806
24	sábado, 24 de enero de 2015	49138	0.8011
25	domingo, 25 de enero de 2015	30916	0.5041
26	lunes, 26 de enero de 2015	76443	1.2468
27	martes, 27 de enero de 2015	74882	1.2217
28	miércoles, 28 de enero de 2015	72448	1.1822
29	jueves, 29 de enero de 2015	72785	1.1880
30	viernes, 30 de enero de 2015	71098	1.1607
31	sábado, 31 de enero de 2015	44541	0.7273
32	domingo, 1 de febrero de 2015	28320	0.4625
33	lunes, 2 de febrero de 2015	33588	0.5487
34	martes, 3 de febrero de 2015	75709	1.2371
35	miércoles, 4 de febrero de 2015	73616	1.2032
36	jueves, 5 de febrero de 2015	71398	1.1672
37	viernes, 6 de febrero de 2015	72649	1.1879
38	sábado, 7 de febrero de 2015	48767	0.7976
39	domingo, 8 de febrero de 2015	26514	0.4337
40	lunes, 9 de febrero de 2015	73327	1.1998
41	martes, 10 de febrero de 2015	74343	1.2167
42	miércoles, 11 de febrero de 2015	72148	1.1810
43	jueves, 12 de febrero de 2015	69693	1.1411
44	viernes, 13 de febrero de 2015	73392	1.2020
45	sábado, 14 de febrero de 2015	48920	0.8014
46	domingo, 15 de febrero de 2015	29397	0.4817
47	lunes, 16 de febrero de 2015	73697	1.2078
48	martes, 17 de febrero de 2015	72563	1.1895
49	miércoles, 18 de febrero de 2015	73960	1.2126
50	jueves, 19 de febrero de 2015	73140	1.1995
51	viernes, 20 de febrero de 2015	72630	1.1914
52	sábado, 21 de febrero de 2015	49169	0.8067
53	domingo, 22 de febrero de 2015	29005	0.4760
54	lunes, 23 de febrero de 2015	74876	1.2290
55	martes, 24 de febrero de 2015	71842	1.1795
56	miércoles, 25 de febrero de 2015	74128	1.2173
57	jueves, 26 de febrero de 2015	73326	1.2044
58	viernes, 27 de febrero de 2015	72617	1.1931
59	sábado, 28 de febrero de 2015	49325	0.8106
60	domingo, 1 de marzo de 2015	28708	0.4719
61	lunes, 2 de marzo de 2015	74459	1.2241
62	martes, 3 de marzo de 2015	73159	1.2030
63	miércoles, 4 de marzo de 2015	73490	1.2088
64	jueves, 5 de marzo de 2015	73186	1.2040
65	viernes, 6 de marzo de 2015	73122	1.2033
66	sábado, 7 de marzo de 2015	50110	0.8248
67	domingo, 8 de marzo de 2015	28495	0.4691
68	lunes, 9 de marzo de 2015	75286	1.2397
69	martes, 10 de marzo de 2015	73039	1.2030

70	miércoles, 11 de marzo de 2015	71668	1.1807
71	jueves, 12 de marzo de 2015	71332	1.1754
72	viernes, 13 de marzo de 2015	69593	1.1470
73	sábado, 14 de marzo de 2015	47921	0.7900
74	domingo, 15 de marzo de 2015	27196	0.4484
75	lunes, 16 de marzo de 2015	33789	0.5573
76	martes, 17 de marzo de 2015	74548	1.2298
77	miércoles, 18 de marzo de 2015	72125	1.1901
78	jueves, 19 de marzo de 2015	70646	1.1660
79	viernes, 20 de marzo de 2015	70467	1.1633
80	sábado, 21 de marzo de 2015	48851	0.8066
81	domingo, 22 de marzo de 2015	29469	0.4867
82	lunes, 23 de marzo de 2015	74462	1.2301
83	martes, 24 de marzo de 2015	72427	1.1967
84	miércoles, 25 de marzo de 2015	72875	1.2044
85	jueves, 26 de marzo de 2015	74023	1.2236
86	viernes, 27 de marzo de 2015	69508	1.1493
87	sábado, 28 de marzo de 2015	46184	0.7638
88	domingo, 29 de marzo de 2015	28125	0.4652
89	lunes, 30 de marzo de 2015	68765	1.1378
90	martes, 31 de marzo de 2015	65407	1.0824
91	miércoles, 1 de abril de 2015	57170	0.9464
92	jueves, 2 de abril de 2015	37375	0.6188
93	viernes, 3 de abril de 2015	25030	0.4145
94	sábado, 4 de abril de 2015	31346	0.5192
95	domingo, 5 de abril de 2015	23514	0.3896
96	lunes, 6 de abril de 2015	67082	1.1117
97	martes, 7 de abril de 2015	68133	1.1294
98	miércoles, 8 de abril de 2015	68241	1.1314
99	jueves, 9 de abril de 2015	68022	1.1280
100	viernes, 10 de abril de 2015	68035	1.1285
101	sábado, 11 de abril de 2015	47521	0.7884
102	domingo, 12 de abril de 2015	29391	0.4877
103	lunes, 13 de abril de 2015	75162	1.2476
104	martes, 14 de abril de 2015	73605	1.2220
105	miércoles, 15 de abril de 2015	73180	1.2153
106	jueves, 16 de abril de 2015	72590	1.2057
107	viernes, 17 de abril de 2015	71102	1.1813
108	sábado, 18 de abril de 2015	49171	0.8171
109	domingo, 19 de abril de 2015	30466	0.5064
110	lunes, 20 de abril de 2015	76139	1.2659
111	martes, 21 de abril de 2015	73812	1.2274
112	miércoles, 22 de abril de 2015	74097	1.2325
113	jueves, 23 de abril de 2015	71423	1.1883
114	viernes, 24 de abril de 2015	70005	1.1649
115	sábado, 25 de abril de 2015	49831	0.8294
116	domingo, 26 de abril de 2015	26541	0.4419
117	lunes, 27 de abril de 2015	76256	1.2698
118	martes, 28 de abril de 2015	73321	1.2212
119	miércoles, 29 de abril de 2015	71429	1.1900
120	jueves, 30 de abril de 2015	69274	1.1544
121	viernes, 1 de mayo de 2015	35153	0.5859
122	sábado, 2 de mayo de 2015	42699	0.7118
123	domingo, 3 de mayo de 2015	28699	0.4786
124	lunes, 4 de mayo de 2015	63698	1.0624
125	martes, 5 de mayo de 2015	67770	1.1306
126	miércoles, 6 de mayo de 2015	73956	1.2341
127	jueves, 7 de mayo de 2015	73059	1.2194
128	viernes, 8 de mayo de 2015	71395	1.1919
129	sábado, 9 de mayo de 2015	47723	0.7969
130	domingo, 10 de mayo de 2015	27896	0.4659
131	lunes, 11 de mayo de 2015	71330	1.1916
132	martes, 12 de mayo de 2015	69054	1.1539
133	miércoles, 13 de mayo de 2015	71706	1.1985
134	jueves, 14 de mayo de 2015	71458	1.1946
135	viernes, 15 de mayo de 2015	64905	1.0853
136	sábado, 16 de mayo de 2015	47377	0.7924
137	domingo, 17 de mayo de 2015	28420	0.4754
138	lunes, 18 de mayo de 2015	73695	1.2331
139	martes, 19 de mayo de 2015	72647	1.2159
140	miércoles, 20 de mayo de 2015	72358	1.2113



Análisis de la afluencia de un corredor de servicio de transporte concesionado en la Ciudad de México | 242

141	jueves, 21 de mayo de 2015	71983	1.2053
142	viernes, 22 de mayo de 2015	68711	1.1508
143	sábado, 23 de mayo de 2015	47837	0.8014
144	domingo, 24 de mayo de 2015	28598	0.4792
145	lunes, 25 de mayo de 2015	73262	1.2279
146	martes, 26 de mayo de 2015	72966	1.2232
147	miércoles, 27 de mayo de 2015	68510	1.1488
148	jueves, 28 de mayo de 2015	68360	1.1465
149	viernes, 29 de mayo de 2015	69862	1.1720
150	sábado, 30 de mayo de 2015	43951	0.7375
151	domingo, 31 de mayo de 2015	26241	0.4404
152	lunes, 1 de junio de 2015	73861	1.2399
153	martes, 2 de junio de 2015	70898	1.1905
154	miércoles, 3 de junio de 2015	72039	1.2099
155	jueves, 4 de junio de 2015	70909	1.1912
156	viernes, 5 de junio de 2015	69666	1.1706
157	sábado, 6 de junio de 2015	44276	0.7441
158	domingo, 7 de junio de 2015	28176	0.4737
159	lunes, 8 de junio de 2015	72705	1.2225
160	martes, 9 de junio de 2015	71285	1.1989
161	miércoles, 10 de junio de 2015	71383	1.2008
162	jueves, 11 de junio de 2015	71154	1.1973
163	viernes, 12 de junio de 2015	69761	1.1741
164	sábado, 13 de junio de 2015	46817	0.7881
165	domingo, 14 de junio de 2015	30858	0.5196
166	lunes, 15 de junio de 2015	73985	1.2461
167	martes, 16 de junio de 2015	71442	1.2035
168	miércoles, 17 de junio de 2015	70491	1.1878
169	jueves, 18 de junio de 2015	67936	1.1450
170	viernes, 19 de junio de 2015	69502	1.1717
171	sábado, 20 de junio de 2015	48217	0.8130
172	domingo, 21 de junio de 2015	25632	0.4323
173	lunes, 22 de junio de 2015	71185	1.2009
174	martes, 23 de junio de 2015	70776	1.1942
175	miércoles, 24 de junio de 2015	70447	1.1890
176	jueves, 25 de junio de 2015	70537	1.1908
177	viernes, 26 de junio de 2015	67582	1.1412
178	sábado, 27 de junio de 2015	49145	0.8300
179	domingo, 28 de junio de 2015	33197	0.5608
180	lunes, 29 de junio de 2015	70572	1.1925
181	martes, 30 de junio de 2015	67501	1.1408
182	miércoles, 1 de julio de 2015	69616	1.1769
183	jueves, 2 de julio de 2015	69596	1.1768
184	viernes, 3 de julio de 2015	69755	1.1798
185	sábado, 4 de julio de 2015	48202	0.8154
186	domingo, 5 de julio de 2015	29070	0.4919
187	lunes, 6 de julio de 2015	70741	1.1973
188	martes, 7 de julio de 2015	70802	1.1986
189	miércoles, 8 de julio de 2015	70791	1.1987
190	jueves, 9 de julio de 2015	69290	1.1736
191	viernes, 10 de julio de 2015	68123	1.1540
192	sábado, 11 de julio de 2015	45944	0.7785
193	domingo, 12 de julio de 2015	27182	0.4607
194	lunes, 13 de julio de 2015	70696	1.1985
195	martes, 14 de julio de 2015	66613	1.1295
196	miércoles, 15 de julio de 2015	68784	1.1666
197	jueves, 16 de julio de 2015	68895	1.1688
198	viernes, 17 de julio de 2015	67089	1.1384
199	sábado, 18 de julio de 2015	45035	0.7643
200	domingo, 19 de julio de 2015	27768	0.4714
201	lunes, 20 de julio de 2015	68736	1.1672
202	martes, 21 de julio de 2015	67802	1.1516
203	miércoles, 22 de julio de 2015	66021	1.1216
204	jueves, 23 de julio de 2015	64596	1.0976
205	viernes, 24 de julio de 2015	64881	1.1027
206	sábado, 25 de julio de 2015	45596	0.7752
207	domingo, 26 de julio de 2015	27144	0.4616
208	lunes, 27 de julio de 2015	69433	1.1809
209	martes, 28 de julio de 2015	67099	1.1415
210	miércoles, 29 de julio de 2015	67435	1.1475
211	jueves, 30 de julio de 2015	65686	1.1180

212	viernes, 31 de julio de 2015	65944	1.1227
213	sábado, 1 de agosto de 2015	45599	0.7765
214	domingo, 2 de agosto de 2015	30404	0.5179
215	lunes, 3 de agosto de 2015	69238	1.1796
216	martes, 4 de agosto de 2015	67976	1.1583
217	miércoles, 5 de agosto de 2015	67435	1.1494
218	jueves, 6 de agosto de 2015	67639	1.1531
219	viernes, 7 de agosto de 2015	67649	1.1536
220	sábado, 8 de agosto de 2015	45726	0.7799
221	domingo, 9 de agosto de 2015	30651	0.5229
222	lunes, 10 de agosto de 2015	75326	1.2854
223	martes, 11 de agosto de 2015	72044	1.2297
224	miércoles, 12 de agosto de 2015	71590	1.2222
225	jueves, 13 de agosto de 2015	70392	1.2021
226	viernes, 14 de agosto de 2015	70050	1.1965
227	sábado, 15 de agosto de 2015	46126	0.7880
228	domingo, 16 de agosto de 2015	28230	0.4824
229	lunes, 17 de agosto de 2015	71709	1.2257
230	martes, 18 de agosto de 2015	73520	1.2570
231	miércoles, 19 de agosto de 2015	73165	1.2512
232	jueves, 20 de agosto de 2015	72466	1.2395
233	viernes, 21 de agosto de 2015	70527	1.2066
234	sábado, 22 de agosto de 2015	46891	0.8024
235	domingo, 23 de agosto de 2015	29527	0.5054
236	lunes, 24 de agosto de 2015	72884	1.2478
237	martes, 25 de agosto de 2015	71302	1.2211
238	miércoles, 26 de agosto de 2015	70972	1.2157
239	jueves, 27 de agosto de 2015	70101	1.2010
240	viernes, 28 de agosto de 2015	68842	1.1798
241	sábado, 29 de agosto de 2015	42571	0.7297
242	domingo, 30 de agosto de 2015	26831	0.4600
243	lunes, 31 de agosto de 2015	74108	1.2709
244	martes, 1 de septiembre de 2015	72489	1.2434
245	miércoles, 2 de septiembre de 2015	71656	1.2294
246	jueves, 3 de septiembre de 2015	69541	1.1934
247	viernes, 4 de septiembre de 2015	71833	1.2331
248	sábado, 5 de septiembre de 2015	46078	0.7912
249	domingo, 6 de septiembre de 2015	31081	0.5338
250	lunes, 7 de septiembre de 2015	77311	1.3280
251	martes, 8 de septiembre de 2015	72674	1.2487
252	miércoles, 9 de septiembre de 2015	72701	1.2494
253	jueves, 10 de septiembre de 2015	73259	1.2593
254	viernes, 11 de septiembre de 2015	72957	1.2544
255	sábado, 12 de septiembre de 2015	49123	0.8448
256	domingo, 13 de septiembre de 2015	27038	0.4651
257	lunes, 14 de septiembre de 2015	72446	1.2465
258	martes, 15 de septiembre de 2015	54298	0.9345
259	miércoles, 16 de septiembre de 2015	25798	0.4441
260	jueves, 17 de septiembre de 2015	72357	1.2459
261	viernes, 18 de septiembre de 2015	71652	1.2340
262	sábado, 19 de septiembre de 2015	46775	0.8058
263	domingo, 20 de septiembre de 2015	30076	0.5182
264	lunes, 21 de septiembre de 2015	74098	1.2771
265	martes, 22 de septiembre de 2015	72092	1.2428
266	miércoles, 23 de septiembre de 2015	73548	1.2682
267	jueves, 24 de septiembre de 2015	71963	1.2412
268	viernes, 25 de septiembre de 2015	71827	1.2391
269	sábado, 26 de septiembre de 2015	47257	0.8155
270	domingo, 27 de septiembre de 2015	26838	0.4632
271	lunes, 28 de septiembre de 2015	70340	1.2143
272	martes, 29 de septiembre de 2015	67700	1.1691
273	miércoles, 30 de septiembre de 2015	72057	1.2446
274	jueves, 1 de octubre de 2015	69756	1.2051
275	viernes, 2 de octubre de 2015	70739	1.2224
276	sábado, 3 de octubre de 2015	46597	0.8054
277	domingo, 4 de octubre de 2015	31916	0.5518
278	lunes, 5 de octubre de 2015	69788	1.2068
279	martes, 6 de octubre de 2015	70917	1.2266
280	miércoles, 7 de octubre de 2015	71729	1.2410
281	jueves, 8 de octubre de 2015	70141	1.2138
282	viernes, 9 de octubre de 2015	72247	1.2505



Análisis de la afluencia de un corredor de servicio de transporte concesionado en la Ciudad de México | 243

283	sábado, 10 de octubre de 2015	46400	0.8033
284	domingo, 11 de octubre de 2015	30546	0.5290
285	lunes, 12 de octubre de 2015	69726	1.2078
286	martes, 13 de octubre de 2015	70095	1.2145
287	miércoles, 14 de octubre de 2015	69761	1.2090
288	jueves, 15 de octubre de 2015	71325	1.2364
289	viernes, 16 de octubre de 2015	68466	1.1871
290	sábado, 17 de octubre de 2015	49463	0.8578
291	domingo, 18 de octubre de 2015	29272	0.5078
292	lunes, 19 de octubre de 2015	72241	1.2534
293	martes, 20 de octubre de 2015	70561	1.2246
294	miércoles, 21 de octubre de 2015	71210	1.2361
295	jueves, 22 de octubre de 2015	71620	1.2436
296	viernes, 23 de octubre de 2015	68312	1.1864
297	sábado, 24 de octubre de 2015	47799	0.8304
298	domingo, 25 de octubre de 2015	30732	0.5340
299	lunes, 26 de octubre de 2015	69140	1.2016
300	martes, 27 de octubre de 2015	70069	1.2181
301	miércoles, 28 de octubre de 2015	68124	1.1846
302	jueves, 29 de octubre de 2015	66649	1.1592
303	viernes, 30 de octubre de 2015	68110	1.1849
304	sábado, 31 de octubre de 2015	42953	0.7474
305	domingo, 1 de noviembre de 2015	25795	0.4490
306	lunes, 2 de noviembre de 2015	50145	0.8730
307	martes, 3 de noviembre de 2015	66804	1.1633
308	miércoles, 4 de noviembre de 2015	68961	1.2011
309	jueves, 5 de noviembre de 2015	70620	1.2303
310	viernes, 6 de noviembre de 2015	67454	1.1755
311	sábado, 7 de noviembre de 2015	46496	0.8104
312	domingo, 8 de noviembre de 2015	28265	0.4928
313	lunes, 9 de noviembre de 2015	70529	1.2299
314	martes, 10 de noviembre de 2015	68310	1.1915
315	miércoles, 11 de noviembre de 2015	68153	1.1891
316	jueves, 12 de noviembre de 2015	68881	1.2021
317	viernes, 13 de noviembre de 2015	65463	1.1427
318	sábado, 14 de noviembre de 2015	44713	0.7807
319	domingo, 15 de noviembre de 2015	30286	0.5289
320	lunes, 16 de noviembre de 2015	35592	0.6217
321	martes, 17 de noviembre de 2015	67905	1.1865
322	miércoles, 18 de noviembre de 2015	66295	1.1586
323	jueves, 19 de noviembre de 2015	68157	1.1914
324	viernes, 20 de noviembre de 2015	65422	1.1439
325	sábado, 21 de noviembre de 2015	45207	0.7906
326	domingo, 22 de noviembre de 2015	28536	0.4992
327	lunes, 23 de noviembre de 2015	66785	1.1686
328	martes, 24 de noviembre de 2015	68161	1.1929
329	miércoles, 25 de noviembre de 2015	66864	1.1705
330	jueves, 26 de noviembre de 2015	65606	1.1488
331	viernes, 27 de noviembre de 2015	67929	1.1898
332	sábado, 28 de noviembre de 2015	44020	0.7712
333	domingo, 29 de noviembre de 2015	29000	0.5082
334	lunes, 30 de noviembre de 2015	64452	1.1297
335	martes, 1 de diciembre de 2015	64521	1.1312
336	miércoles, 2 de diciembre de 2015	64395	1.1292
337	jueves, 3 de diciembre de 2015	63642	1.1163
338	viernes, 4 de diciembre de 2015	61653	1.0817
339	sábado, 5 de diciembre de 2015	46152	0.8099
340	domingo, 6 de diciembre de 2015	27170	0.4769
341	lunes, 7 de diciembre de 2015	63351	1.1123
342	martes, 8 de diciembre de 2015	64930	1.1403
343	miércoles, 9 de diciembre de 2015	62249	1.0934
344	jueves, 10 de diciembre de 2015	62278	1.0942
345	viernes, 11 de diciembre de 2015	62189	1.0929
346	sábado, 12 de diciembre de 2015	37998	0.6679
347	domingo, 13 de diciembre de 2015	25686	0.4516
348	lunes, 14 de diciembre de 2015	60256	1.0597
349	martes, 15 de diciembre de 2015	60468	1.0637
350	miércoles, 16 de diciembre de 2015	59754	1.0514
351	jueves, 17 de diciembre de 2015	59011	1.0386
352	viernes, 18 de diciembre de 2015	54992	0.9681
353	sábado, 19 de diciembre de 2015	37538	0.6610

354	domingo, 20 de diciembre de 2015	28328	0.4989
355	lunes, 21 de diciembre de 2015	52739	0.9291
356	martes, 22 de diciembre de 2015	53313	0.9394
357	miércoles, 23 de diciembre de 2015	51084	0.9004
358	jueves, 24 de diciembre de 2015	33883	0.5973
359	viernes, 25 de diciembre de 2015	14727	0.2597
360	sábado, 26 de diciembre de 2015	29641	0.5228
361	domingo, 27 de diciembre de 2015	23337	0.4117
362	lunes, 28 de diciembre de 2015	46734	0.8247
363	martes, 29 de diciembre de 2015	46565	0.8219
364	miércoles, 30 de diciembre de 2015	44919	0.7931
365	jueves, 31 de diciembre de 2015	32441	0.5729
366	viernes, 1 de enero de 2016	12289	0.2171
367	sábado, 2 de enero de 2016	26759	0.4728
368	domingo, 3 de enero de 2016	24091	0.4257
369	lunes, 4 de enero de 2016	53166	0.9398
370	martes, 5 de enero de 2016	54001	0.9548
371	miércoles, 6 de enero de 2016	52647	0.9311
372	jueves, 7 de enero de 2016	57597	1.0189
373	viernes, 8 de enero de 2016	59205	1.0476
374	sábado, 9 de enero de 2016	40913	0.7241
375	domingo, 10 de enero de 2016	25243	0.4469
376	lunes, 11 de enero de 2016	61414	1.0875
377	martes, 12 de enero de 2016	63547	1.1255
378	miércoles, 13 de enero de 2016	56150	0.9948
379	jueves, 14 de enero de 2016	61553	1.0907
380	viernes, 15 de enero de 2016	61038	1.0819
381	sábado, 16 de enero de 2016	42387	0.7515
382	domingo, 17 de enero de 2016	23649	0.4194
383	lunes, 18 de enero de 2016	63251	1.1219
384	martes, 19 de enero de 2016	62703	1.1125
385	miércoles, 20 de enero de 2016	63707	1.1306
386	jueves, 21 de enero de 2016	62474	1.1090
387	viernes, 22 de enero de 2016	63056	1.1196
388	sábado, 23 de enero de 2016	43078	0.7650
389	domingo, 24 de enero de 2016	24968	0.4435
390	lunes, 25 de enero de 2016	63310	1.1249
391	martes, 26 de enero de 2016	64206	1.1411
392	miércoles, 27 de enero de 2016	62893	1.1180
393	jueves, 28 de enero de 2016	62361	1.1089
394	viernes, 29 de enero de 2016	60216	1.0710
395	sábado, 30 de enero de 2016	40472	0.7200
396	domingo, 31 de enero de 2016	23677	0.4213
397	lunes, 1 de febrero de 2016	30031	0.5345
398	martes, 2 de febrero de 2016	62004	1.1039
399	miércoles, 3 de febrero de 2016	64018	1.1400
400	jueves, 4 de febrero de 2016	63920	1.1385
401	viernes, 5 de febrero de 2016	61200	1.0904
402	sábado, 6 de febrero de 2016	43226	0.7703
403	domingo, 7 de febrero de 2016	26427	0.4711
404	lunes, 8 de febrero de 2016	64937	1.1578
405	martes, 9 de febrero de 2016	63671	1.1355
406	miércoles, 10 de febrero de 2016	65411	1.1668
407	jueves, 11 de febrero de 2016	63813	1.1386
408	viernes, 12 de febrero de 2016	64199	1.1458
409	sábado, 13 de febrero de 2016	44024	0.7859
410	domingo, 14 de febrero de 2016	25024	0.4468
411	lunes, 15 de febrero de 2016	64692	1.1554
412	martes, 16 de febrero de 2016	64552	1.1532
413	miércoles, 17 de febrero de 2016	64838	1.1586
414	jueves, 18 de febrero de 2016	65169	1.1648
415	viernes, 19 de febrero de 2016	63595	1.1369
416	sábado, 20 de febrero de 2016	43185	0.7723
417	domingo, 21 de febrero de 2016	27997	0.5008
418	lunes, 22 de febrero de 2016	63792	1.1413
419	martes, 23 de febrero de 2016	67299	1.2044
420	miércoles, 24 de febrero de 2016	64351	1.1519
421	jueves, 25 de febrero de 2016	66616	1.1927
422	viernes, 26 de febrero de 2016	64064	1.1473
423	sábado, 27 de febrero de 2016	44378	0.7950
424	domingo, 28 de febrero de 2016	9661	0.1731



Análisis de la afluencia de un corredor de servicio de transporte concesionado en la Ciudad de México | 244

425	lunes, 29 de febrero de 2016	63850	1.1443
426	martes, 1 de marzo de 2016	65586	1.1757
427	miércoles, 2 de marzo de 2016	63362	1.1361
428	jueves, 3 de marzo de 2016	65213	1.1696
429	viernes, 4 de marzo de 2016	64472	1.1566
430	sábado, 5 de marzo de 2016	44157	0.7924
431	domingo, 6 de marzo de 2016	24670	0.4428
432	lunes, 7 de marzo de 2016	64437	1.1569
433	martes, 8 de marzo de 2016	65574	1.1776
434	miércoles, 9 de marzo de 2016	55866	1.0035
435	jueves, 10 de marzo de 2016	57017	1.0244
436	viernes, 11 de marzo de 2016	63816	1.1468
437	sábado, 12 de marzo de 2016	42797	0.7693
438	domingo, 13 de marzo de 2016	27465	0.4938
439	lunes, 14 de marzo de 2016	63563	1.1432
440	martes, 15 de marzo de 2016	63537	1.1430
441	miércoles, 16 de marzo de 2016	68586	1.2341
442	jueves, 17 de marzo de 2016	69087	1.2434
443	viernes, 18 de marzo de 2016	62526	1.1256
444	sábado, 19 de marzo de 2016	41414	0.7457
445	domingo, 20 de marzo de 2016	28066	0.5055
446	lunes, 21 de marzo de 2016	33253	0.5991
447	martes, 22 de marzo de 2016	54113	0.9751
448	miércoles, 23 de marzo de 2016	52265	0.9421
449	jueves, 24 de marzo de 2016	31997	0.5769
450	viernes, 25 de marzo de 2016	20922	0.3773
451	sábado, 26 de marzo de 2016	25998	0.4690
452	domingo, 27 de marzo de 2016	22835	0.4120
453	lunes, 28 de marzo de 2016	60618	1.0940
454	martes, 29 de marzo de 2016	61781	1.1153
455	miércoles, 30 de marzo de 2016	64701	1.1683
456	jueves, 31 de marzo de 2016	63623	1.1491
457	viernes, 1 de abril de 2016	61873	1.1178
458	sábado, 2 de abril de 2016	42806	0.7735
459	domingo, 3 de abril de 2016	26213	0.4738
460	lunes, 4 de abril de 2016	65955	1.1924
461	martes, 5 de abril de 2016	70317	1.2716
462	miércoles, 6 de abril de 2016	72933	1.3192
463	jueves, 7 de abril de 2016	78104	1.4131
464	viernes, 8 de abril de 2016	79225	1.4337
465	sábado, 9 de abril de 2016	52195	0.9448
466	domingo, 10 de abril de 2016	31030	0.5618
467	lunes, 11 de abril de 2016	79045	1.4316
468	martes, 12 de abril de 2016	79170	1.4342
469	miércoles, 13 de abril de 2016	80280	1.4546
470	jueves, 14 de abril de 2016	78191	1.4171
471	viernes, 15 de abril de 2016	76686	1.3902
472	sábado, 16 de abril de 2016	44568	0.8082
473	domingo, 17 de abril de 2016	27508	0.4989
474	lunes, 18 de abril de 2016	66787	1.2117
475	martes, 19 de abril de 2016	70038	1.2710
476	miércoles, 20 de abril de 2016	70084	1.2721
477	jueves, 21 de abril de 2016	66786	1.2126
478	viernes, 22 de abril de 2016	68083	1.2364
479	sábado, 23 de abril de 2016	46382	0.8425
480	domingo, 24 de abril de 2016	25953	0.4716
481	lunes, 25 de abril de 2016	68671	1.2480
482	martes, 26 de abril de 2016	68901	1.2525
483	miércoles, 27 de abril de 2016	69791	1.2690
484	jueves, 28 de abril de 2016	70397	1.2804
485	viernes, 29 de abril de 2016	68336	1.2432
486	sábado, 30 de abril de 2016	47432	0.8631
487	domingo, 1 de mayo de 2016	27374	0.4983
488	lunes, 2 de mayo de 2016	67067	1.2210
489	martes, 3 de mayo de 2016	75439	1.3738
490	miércoles, 4 de mayo de 2016	76071	1.3857
491	jueves, 5 de mayo de 2016	65271	1.1892
492	viernes, 6 de mayo de 2016	68938	1.2564
493	sábado, 7 de mayo de 2016	46562	0.8488
494	domingo, 8 de mayo de 2016	25463	0.4643
495	lunes, 9 de mayo de 2016	69203	1.2621

496	martes, 10 de mayo de 2016	53327	0.9728
497	miércoles, 11 de mayo de 2016	67897	1.2390
498	jueves, 12 de mayo de 2016	68854	1.2567
499	viernes, 13 de mayo de 2016	67378	1.2301
500	sábado, 14 de mayo de 2016	45673	0.8340
501	domingo, 15 de mayo de 2016	27190	0.4967
502	lunes, 16 de mayo de 2016	68728	1.2557
503	martes, 17 de mayo de 2016	68779	1.2570
504	miércoles, 18 de mayo de 2016	69036	1.2620
505	jueves, 19 de mayo de 2016	69943	1.2789
506	viernes, 20 de mayo de 2016	66536	1.2169
507	sábado, 21 de mayo de 2016	49960	0.9139
508	domingo, 22 de mayo de 2016	25683	0.4699
509	lunes, 23 de mayo de 2016	66037	1.2087
510	martes, 24 de mayo de 2016	69911	1.2799
511	miércoles, 25 de mayo de 2016	68575	1.2558
512	jueves, 26 de mayo de 2016	67608	1.2384
513	viernes, 27 de mayo de 2016	66070	1.2105
514	sábado, 28 de mayo de 2016	49576	0.9085
515	domingo, 29 de mayo de 2016	28728	0.5266
516	lunes, 30 de mayo de 2016	67817	1.2435
517	martes, 31 de mayo de 2016	69717	1.2786
518	miércoles, 1 de junio de 2016	74163	1.3605
519	jueves, 2 de junio de 2016	67031	1.2300
520	viernes, 3 de junio de 2016	66276	1.2164
521	sábado, 4 de junio de 2016	46149	0.8472
522	domingo, 5 de junio de 2016	26919	0.4943
523	lunes, 6 de junio de 2016	68866	1.2649
524	martes, 7 de junio de 2016	68824	1.2645
525	miércoles, 8 de junio de 2016	68528	1.2594
526	jueves, 9 de junio de 2016	67418	1.2393
527	viernes, 10 de junio de 2016	65934	1.2123
528	sábado, 11 de junio de 2016	46750	0.8598
529	domingo, 12 de junio de 2016	25764	0.4739
530	lunes, 13 de junio de 2016	67306	1.2385
531	martes, 14 de junio de 2016	67006	1.2333
532	miércoles, 15 de junio de 2016	67198	1.2371
533	jueves, 16 de junio de 2016	67564	1.2442
534	viernes, 17 de junio de 2016	65608	1.2085
535	sábado, 18 de junio de 2016	44275	0.8157
536	domingo, 19 de junio de 2016	21740	0.4006
537	lunes, 20 de junio de 2016	66938	1.2339
538	martes, 21 de junio de 2016	67646	1.2473
539	miércoles, 22 de junio de 2016	67103	1.2376
540	jueves, 23 de junio de 2016	65146	1.2018
541	viernes, 24 de junio de 2016	64436	1.1890
542	sábado, 25 de junio de 2016	47662	0.8797
543	domingo, 26 de junio de 2016	30908	0.5706
544	lunes, 27 de junio de 2016	65339	1.2066
545	martes, 28 de junio de 2016	64025	1.1826
546	miércoles, 29 de junio de 2016	65105	1.2029
547	jueves, 30 de junio de 2016	64306	1.1884
548	viernes, 1 de julio de 2016	56263	1.0400
549	sábado, 2 de julio de 2016	44971	0.8315
550	domingo, 3 de julio de 2016	25292	0.4678
551	lunes, 4 de julio de 2016	61373	1.1354
552	martes, 5 de julio de 2016	62032	1.1478
553	miércoles, 6 de julio de 2016	61768	1.1433
554	jueves, 7 de julio de 2016	60856	1.1267
555	viernes, 8 de julio de 2016	60479	1.1200
556	sábado, 9 de julio de 2016	45178	0.8368
557	domingo, 10 de julio de 2016	26433	0.4897
558	lunes, 11 de julio de 2016	58297	1.0804
559	martes, 12 de julio de 2016	60919	1.1293
560	miércoles, 13 de julio de 2016	59813	1.1091
561	jueves, 14 de julio de 2016	59440	1.1024
562	viernes, 15 de julio de 2016	59537	1.1045
563	sábado, 16 de julio de 2016	39597	0.7348
564	domingo, 17 de julio de 2016	27024	0.5016
565	lunes, 18 de julio de 2016	58335	1.0830
566	martes, 19 de julio de 2016	58433	1.0851



Análisis de la afluencia de un corredor de servicio de transporte concesionado en la Ciudad de México | 245

567	miércoles, 20 de julio de 2016	59487	1.1050
568	jueves, 21 de julio de 2016	57553	1.0693
569	viernes, 22 de julio de 2016	57619	1.0708
570	sábado, 23 de julio de 2016	40487	0.7526
571	domingo, 24 de julio de 2016	26696	0.4964
572	lunes, 25 de julio de 2016	58394	1.0861
573	martes, 26 de julio de 2016	60532	1.1261
574	miércoles, 27 de julio de 2016	57993	1.0792
575	jueves, 28 de julio de 2016	59201	1.1019
576	viernes, 29 de julio de 2016	56487	1.0517
577	sábado, 30 de julio de 2016	40346	0.7514
578	domingo, 31 de julio de 2016	24821	0.4624
579	lunes, 1 de agosto de 2016	62060	1.1563
580	martes, 2 de agosto de 2016	59400	1.1071
581	miércoles, 3 de agosto de 2016	60187	1.1220
582	jueves, 4 de agosto de 2016	60971	1.1369
583	viernes, 5 de agosto de 2016	60224	1.1233
584	sábado, 6 de agosto de 2016	40790	0.7610
585	domingo, 7 de agosto de 2016	26575	0.4959
586	lunes, 8 de agosto de 2016	61231	1.1430
587	martes, 9 de agosto de 2016	64863	1.2111
588	miércoles, 10 de agosto de 2016	62488	1.1670
589	jueves, 11 de agosto de 2016	65690	1.2271
590	viernes, 12 de agosto de 2016	64233	1.2002
591	sábado, 13 de agosto de 2016	42865	0.8012
592	domingo, 14 de agosto de 2016	25671	0.4799
593	lunes, 15 de agosto de 2016	65953	1.2333
594	martes, 16 de agosto de 2016	65687	1.2287
595	miércoles, 17 de agosto de 2016	65772	1.2306
596	jueves, 18 de agosto de 2016	61788	1.1563
597	viernes, 19 de agosto de 2016	66232	1.2398
598	sábado, 20 de agosto de 2016	42549	0.7967
599	domingo, 21 de agosto de 2016	27662	0.5181
600	lunes, 22 de agosto de 2016	65769	1.2321
601	martes, 23 de agosto de 2016	66215	1.2408
602	miércoles, 24 de agosto de 2016	64367	1.2065
603	jueves, 25 de agosto de 2016	65045	1.2195
604	viernes, 26 de agosto de 2016	64181	1.2036
605	sábado, 27 de agosto de 2016	44737	0.8392
606	domingo, 28 de agosto de 2016	26939	0.5055
607	lunes, 29 de agosto de 2016	67372	1.2644
608	martes, 30 de agosto de 2016	66927	1.2564
609	miércoles, 31 de agosto de 2016	66348	1.2459
610	jueves, 1 de septiembre de 2016	64977	1.2204
611	viernes, 2 de septiembre de 2016	64639	1.2144
612	sábado, 3 de septiembre de 2016	41839	0.7863
613	domingo, 4 de septiembre de 2016	25647	0.4821
614	lunes, 5 de septiembre de 2016	67681	1.2725
615	martes, 6 de septiembre de 2016	65478	1.2314
616	miércoles, 7 de septiembre de 2016	65085	1.2244
617	jueves, 8 de septiembre de 2016	64558	1.2148
618	viernes, 9 de septiembre de 2016	65448	1.2318
619	sábado, 10 de septiembre de 2016	43932	0.8271
620	domingo, 11 de septiembre de 2016	26750	0.5037
621	lunes, 12 de septiembre de 2016	66112	1.2453
622	martes, 13 de septiembre de 2016	65322	1.2307
623	miércoles, 14 de septiembre de 2016	64774	1.2207
624	jueves, 15 de septiembre de 2016	37466	0.7063
625	viernes, 16 de septiembre de 2016	33485	0.6314
626	sábado, 17 de septiembre de 2016	40937	0.7721
627	domingo, 18 de septiembre de 2016	24586	0.4638
628	lunes, 19 de septiembre de 2016	64972	1.2261
629	martes, 20 de septiembre de 2016	64202	1.2118
630	miércoles, 21 de septiembre de 2016	64361	1.2152
631	jueves, 22 de septiembre de 2016	65014	1.2278
632	viernes, 23 de septiembre de 2016	63565	1.2008
633	sábado, 24 de septiembre de 2016	44268	0.8365
634	domingo, 25 de septiembre de 2016	24227	0.4579
635	lunes, 26 de septiembre de 2016	66061	1.2489
636	martes, 27 de septiembre de 2016	63273	1.1965
637	miércoles, 28 de septiembre de 2016	63036	1.1923

638	jueves, 29 de septiembre de 2016	62384	1.1803
639	viernes, 30 de septiembre de 2016	64037	1.2119
640	sábado, 1 de octubre de 2016	40849	0.7733
641	domingo, 2 de octubre de 2016	29896	0.5661
642	lunes, 3 de octubre de 2016	62311	1.1802
643	martes, 4 de octubre de 2016	68452	1.2968
644	miércoles, 5 de octubre de 2016	65207	1.2357
645	jueves, 6 de octubre de 2016	65275	1.2373
646	viernes, 7 de octubre de 2016	64952	1.2315
647	sábado, 8 de octubre de 2016	44483	0.8436
648	domingo, 9 de octubre de 2016	23736	0.4503
649	lunes, 10 de octubre de 2016	66577	1.2633
650	martes, 11 de octubre de 2016	64924	1.2322
651	miércoles, 12 de octubre de 2016	61855	1.1743
652	jueves, 13 de octubre de 2016	64992	1.2342
653	viernes, 14 de octubre de 2016	62904	1.1948
654	sábado, 15 de octubre de 2016	44825	0.8516
655	domingo, 16 de octubre de 2016	24756	0.4705
656	lunes, 17 de octubre de 2016	64699	1.2299
657	martes, 18 de octubre de 2016	65325	1.2421
658	miércoles, 19 de octubre de 2016	65442	1.2447
659	jueves, 20 de octubre de 2016	63941	1.2164
660	viernes, 21 de octubre de 2016	63156	1.2018
661	sábado, 22 de octubre de 2016	44528	0.8476
662	domingo, 23 de octubre de 2016	26943	0.5130
663	lunes, 24 de octubre de 2016	65180	1.2413
664	martes, 25 de octubre de 2016	64876	1.2359
665	miércoles, 26 de octubre de 2016	64581	1.2306
666	jueves, 27 de octubre de 2016	63414	1.2086
667	viernes, 28 de octubre de 2016	59676	1.1377
668	sábado, 29 de octubre de 2016	41341	0.7884
669	domingo, 30 de octubre de 2016	25196	0.4806
670	lunes, 31 de octubre de 2016	60352	1.1515
671	martes, 1 de noviembre de 2016	54484	1.0398
672	miércoles, 2 de noviembre de 2016	34906	0.6663
673	jueves, 3 de noviembre de 2016	63148	1.2058
674	viernes, 4 de noviembre de 2016	62042	1.1850
675	sábado, 5 de noviembre de 2016	43048	0.8224
676	domingo, 6 de noviembre de 2016	26705	0.5103
677	lunes, 7 de noviembre de 2016	65661	1.2551
678	martes, 8 de noviembre de 2016	63164	1.2077
679	miércoles, 9 de noviembre de 2016	61646	1.1790
680	jueves, 10 de noviembre de 2016	61107	1.1690
681	viernes, 11 de noviembre de 2016	61064	1.1685
682	sábado, 12 de noviembre de 2016	42520	0.8138
683	domingo, 13 de noviembre de 2016	25967	0.4971
684	lunes, 14 de noviembre de 2016	64368	1.2327
685	martes, 15 de noviembre de 2016	63622	1.2187
686	miércoles, 16 de noviembre de 2016	60559	1.1603
687	jueves, 17 de noviembre de 2016	63239	1.2120
688	viernes, 18 de noviembre de 2016	61559	1.1801
689	sábado, 19 de noviembre de 2016	45002	0.8629
690	domingo, 20 de noviembre de 2016	26457	0.5075
691	lunes, 21 de noviembre de 2016	29519	0.5663
692	martes, 22 de noviembre de 2016	63215	1.2131
693	miércoles, 23 de noviembre de 2016	65786	1.2628
694	jueves, 24 de noviembre de 2016	62277	1.1958
695	viernes, 25 de noviembre de 2016	60569	1.1633
696	sábado, 26 de noviembre de 2016	40926	0.7862
697	domingo, 27 de noviembre de 2016	26120	0.5019
698	lunes, 28 de noviembre de 2016	63301	1.2167
699	martes, 29 de noviembre de 2016	64133	1.2331
700	miércoles, 30 de noviembre de 2016	63122	1.2139
701	jueves, 1 de diciembre de 2016	63595	1.2234
702	viernes, 2 de diciembre de 2016	60460	1.1634
703	sábado, 3 de diciembre de 2016	44073	0.8483
704	domingo, 4 de diciembre de 2016	24156	0.4651
705	lunes, 5 de diciembre de 2016	63564	1.2241
706	martes, 6 de diciembre de 2016	63044	1.2144
707	miércoles, 7 de diciembre de 2016	61963	1.1939
708	jueves, 8 de diciembre de 2016	61071	1.1770



Análisis de la afluencia de un corredor de servicio de transporte concesionado en la Ciudad de México | 246

709	viernes, 9 de diciembre de 2016	57682	1.1120
710	sábado, 10 de diciembre de 2016	42235	0.8144
711	domingo, 11 de diciembre de 2016	22197	0.4281
712	lunes, 12 de diciembre de 2016	53753	1.0371
713	martes, 13 de diciembre de 2016	58651	1.1319
714	miércoles, 14 de diciembre de 2016	58744	1.1340
715	jueves, 15 de diciembre de 2016	55475	1.0712
716	viernes, 16 de diciembre de 2016	56357	1.0885
717	sábado, 17 de diciembre de 2016	42522	0.8215
718	domingo, 18 de diciembre de 2016	24221	0.4680
719	lunes, 19 de diciembre de 2016	53936	1.0425
720	martes, 20 de diciembre de 2016	51620	0.9980
721	miércoles, 21 de diciembre de 2016	52249	1.0105
722	jueves, 22 de diciembre de 2016	50114	0.9694
723	viernes, 23 de diciembre de 2016	49469	0.9572
724	sábado, 24 de diciembre de 2016	21312	0.4125
725	domingo, 25 de diciembre de 2016	15556	0.3012
726	lunes, 26 de diciembre de 2016	44463	0.8610
727	martes, 27 de diciembre de 2016	44414	0.8603
728	miércoles, 28 de diciembre de 2016	44812	0.8683
729	jueves, 29 de diciembre de 2016	43637	0.8457
730	viernes, 30 de diciembre de 2016	41594	0.8064
731	sábado, 31 de diciembre de 2016	21193	0.4110
732	domingo, 1 de enero de 2017	11253	0.2183
733	lunes, 2 de enero de 2017	45861	0.8898
734	martes, 3 de enero de 2017	51701	1.0034
735	miércoles, 4 de enero de 2017	51033	0.9907
736	jueves, 5 de enero de 2017	55143	1.0707
737	viernes, 6 de enero de 2017	50530	0.9814
738	sábado, 7 de enero de 2017	37194	0.7226
739	domingo, 8 de enero de 2017	24340	0.4730
740	lunes, 9 de enero de 2017	59062	1.1481
741	martes, 10 de enero de 2017	60084	1.1682
742	miércoles, 11 de enero de 2017	60923	1.1849
743	jueves, 12 de enero de 2017	61031	1.1873
744	viernes, 13 de enero de 2017	59989	1.1673
745	sábado, 14 de enero de 2017	40555	0.7894
746	domingo, 15 de enero de 2017	22224	0.4327
747	lunes, 16 de enero de 2017	62338	1.2140
748	martes, 17 de enero de 2017	61683	1.2016
749	miércoles, 18 de enero de 2017	62038	1.2088
750	jueves, 19 de enero de 2017	62461	1.2174
751	viernes, 20 de enero de 2017	61447	1.1980
752	sábado, 21 de enero de 2017	42266	0.8242
753	domingo, 22 de enero de 2017	23822	0.4647
754	lunes, 23 de enero de 2017	63351	1.2361
755	martes, 24 de enero de 2017	61874	1.2076
756	miércoles, 25 de enero de 2017	64182	1.2530
757	jueves, 26 de enero de 2017	63838	1.2466
758	viernes, 27 de enero de 2017	61717	1.2055
759	sábado, 28 de enero de 2017	40921	0.7995
760	domingo, 29 de enero de 2017	24905	0.4867
761	lunes, 30 de enero de 2017	64734	1.2655
762	martes, 31 de enero de 2017	64446	1.2602
763	miércoles, 1 de febrero de 2017	64763	1.2667
764	jueves, 2 de febrero de 2017	63011	1.2328
765	viernes, 3 de febrero de 2017	62535	1.2238
766	sábado, 4 de febrero de 2017	40189	0.7867
767	domingo, 5 de febrero de 2017	24073	0.4714
768	lunes, 6 de febrero de 2017	28639	0.5609
769	martes, 7 de febrero de 2017	68551	1.3430
770	miércoles, 8 de febrero de 2017	64055	1.2552
771	jueves, 9 de febrero de 2017	64571	1.2657
772	viernes, 10 de febrero de 2017	62600	1.2274
773	sábado, 11 de febrero de 2017	40962	0.8033
774	domingo, 12 de febrero de 2017	25363	0.4975
775	lunes, 13 de febrero de 2017	65938	1.2939
776	martes, 14 de febrero de 2017	62882	1.2343
777	miércoles, 15 de febrero de 2017	64377	1.2639
778	jueves, 16 de febrero de 2017	63649	1.2500
779	viernes, 17 de febrero de 2017	61565	1.2094

780	sábado, 18 de febrero de 2017	42524	0.8356
781	domingo, 19 de febrero de 2017	27076	0.5322
782	lunes, 20 de febrero de 2017	63240	1.2433
783	martes, 21 de febrero de 2017	64505	1.2685
784	miércoles, 22 de febrero de 2017	65479	1.2880
785	jueves, 23 de febrero de 2017	63725	1.2539
786	viernes, 24 de febrero de 2017	62080	1.2218
787	sábado, 25 de febrero de 2017	42388	0.8345
788	domingo, 26 de febrero de 2017	23766	0.4680
789	lunes, 27 de febrero de 2017	63459	1.2500
790	martes, 28 de febrero de 2017	64773	1.2762
791	miércoles, 1 de marzo de 2017	64889	1.2788
792	jueves, 2 de marzo de 2017	63720	1.2561
793	viernes, 3 de marzo de 2017	61823	1.2191
794	sábado, 4 de marzo de 2017	42730	0.8428
795	domingo, 5 de marzo de 2017	27024	0.5332
796	lunes, 6 de marzo de 2017	63804	1.2592
797	martes, 7 de marzo de 2017	65226	1.2876
798	miércoles, 8 de marzo de 2017	63588	1.2556
799	jueves, 9 de marzo de 2017	63329	1.2508
800	viernes, 10 de marzo de 2017	62391	1.2326
801	sábado, 11 de marzo de 2017	42374	0.8374
802	domingo, 12 de marzo de 2017	26028	0.5145
803	lunes, 13 de marzo de 2017	63651	1.2586
804	martes, 14 de marzo de 2017	63411	1.2542
805	miércoles, 15 de marzo de 2017	61304	1.2128
806	jueves, 16 de marzo de 2017	62149	1.2299
807	viernes, 17 de marzo de 2017	60419	1.1960
808	sábado, 18 de marzo de 2017	41228	0.8163
809	domingo, 19 de marzo de 2017	27116	0.5370
810	lunes, 20 de marzo de 2017	25385	0.5029
811	martes, 21 de marzo de 2017	66958	1.3268
812	miércoles, 22 de marzo de 2017	65172	1.2918
813	jueves, 23 de marzo de 2017	62960	1.2483
814	viernes, 24 de marzo de 2017	60559	1.2010
815	sábado, 25 de marzo de 2017	39822	0.7900
816	domingo, 26 de marzo de 2017	25377	0.5036
817	lunes, 27 de marzo de 2017	65456	1.2992
818	martes, 28 de marzo de 2017	65043	1.2914
819	miércoles, 29 de marzo de 2017	64546	1.2819
820	jueves, 30 de marzo de 2017	65141	1.2940
821	viernes, 31 de marzo de 2017	63084	1.2535
822	sábado, 1 de abril de 2017	39921	0.7935
823	domingo, 2 de abril de 2017	24571	0.4885
824	lunes, 3 de abril de 2017	64015	1.2731
825	martes, 4 de abril de 2017	63936	1.2718
826	miércoles, 5 de abril de 2017	63465	1.2628
827	jueves, 6 de abril de 2017	62436	1.2427
828	viernes, 7 de abril de 2017	61517	1.2247
829	sábado, 8 de abril de 2017	37885	0.7544
830	domingo, 9 de abril de 2017	26837	0.5346
831	lunes, 10 de abril de 2017	54848	1.0929
832	martes, 11 de abril de 2017	53854	1.0734
833	miércoles, 12 de abril de 2017	49734	0.9915
834	jueves, 13 de abril de 2017	29406	0.5864
835	viernes, 14 de abril de 2017	22677	0.4523
836	sábado, 15 de abril de 2017	24519	0.4892
837	domingo, 16 de abril de 2017	20537	0.4099
838	lunes, 17 de abril de 2017	54415	1.0863
839	martes, 18 de abril de 2017	58133	1.1609
840	miércoles, 19 de abril de 2017	58144	1.1614
841	jueves, 20 de abril de 2017	56650	1.1319
842	viernes, 21 de abril de 2017	57026	1.1397
843	sábado, 22 de abril de 2017	40268	0.8050
844	domingo, 23 de abril de 2017	24941	0.4987
845	lunes, 24 de abril de 2017	64433	1.2888
846	martes, 25 de abril de 2017	61605	1.2326
847	miércoles, 26 de abril de 2017	62203	1.2449
848	jueves, 27 de abril de 2017	59646	1.1940
849	viernes, 28 de abril de 2017	58454	1.1705
850	sábado, 29 de abril de 2017	37257	0.7463



Análisis de la afluencia de un corredor de servicio de transporte concesionado en la Ciudad de México | 247

851	domingo, 30 de abril de 2017	21984	0.4405
852	lunes, 1 de mayo de 2017	23967	0.4803
853	martes, 2 de mayo de 2017	61708	1.2370
854	miércoles, 3 de mayo de 2017	60709	1.2173
855	jueves, 4 de mayo de 2017	56288	1.1290
856	viernes, 5 de mayo de 2017	50996	1.0231
857	sábado, 6 de mayo de 2017	36678	0.7361
858	domingo, 7 de mayo de 2017	25466	0.5112
859	lunes, 8 de mayo de 2017	59215	1.1890
860	martes, 9 de mayo de 2017	58513	1.1753
861	miércoles, 10 de mayo de 2017	45660	0.9174
862	jueves, 11 de mayo de 2017	59226	1.1902
863	viernes, 12 de mayo de 2017	56796	1.1417
864	sábado, 13 de mayo de 2017	37667	0.7574
865	domingo, 14 de mayo de 2017	25125	0.5053
866	lunes, 15 de mayo de 2017	55727	1.1212
867	martes, 16 de mayo de 2017	61552	1.2387
868	miércoles, 17 de mayo de 2017	63011	1.2684
869	jueves, 18 de mayo de 2017	61606	1.2405
870	viernes, 19 de mayo de 2017	60923	1.2271
871	sábado, 20 de mayo de 2017	37676	0.7591
872	domingo, 21 de mayo de 2017	25567	0.5152
873	lunes, 22 de mayo de 2017	60560	1.2208
874	martes, 23 de mayo de 2017	62177	1.2537
875	miércoles, 24 de mayo de 2017	63834	1.2875
876	jueves, 25 de mayo de 2017	54929	1.1082
877	viernes, 26 de mayo de 2017	54735	1.1046
878	sábado, 27 de mayo de 2017	39043	0.7881
879	domingo, 28 de mayo de 2017	22734	0.4590
880	lunes, 29 de mayo de 2017	54298	1.0967
881	martes, 30 de mayo de 2017	55821	1.1278
882	miércoles, 31 de mayo de 2017	55722	1.1261
883	jueves, 1 de junio de 2017	55518	1.1223
884	viernes, 2 de junio de 2017	53877	1.0894
885	sábado, 3 de junio de 2017	38456	0.7778
886	domingo, 4 de junio de 2017	23911	0.4837
887	lunes, 5 de junio de 2017	56871	1.1509
888	martes, 6 de junio de 2017	57570	1.1654
889	miércoles, 7 de junio de 2017	56146	1.1369
890	jueves, 8 de junio de 2017	56220	1.1387
891	viernes, 9 de junio de 2017	54971	1.1137
892	sábado, 10 de junio de 2017	37871	0.7675
893	domingo, 11 de junio de 2017	23498	0.4763
894	lunes, 12 de junio de 2017	56404	1.1437
895	martes, 13 de junio de 2017	55515	1.1260
896	miércoles, 14 de junio de 2017	56348	1.1432
897	jueves, 15 de junio de 2017	54727	1.1106
898	viernes, 16 de junio de 2017	54217	1.1006
899	sábado, 17 de junio de 2017	39401	0.8000
900	domingo, 18 de junio de 2017	19675	0.3996
901	lunes, 19 de junio de 2017	55580	1.1292
902	martes, 20 de junio de 2017	55186	1.1215
903	miércoles, 21 de junio de 2017	55737	1.1330
904	jueves, 22 de junio de 2017	56055	1.1398
905	viernes, 23 de junio de 2017	54191	1.1022
906	sábado, 24 de junio de 2017	41143	0.8371
907	domingo, 25 de junio de 2017	26972	0.5489
908	lunes, 26 de junio de 2017	53709	1.0933
909	martes, 27 de junio de 2017	53851	1.0965
910	miércoles, 28 de junio de 2017	52370	1.0667
911	jueves, 29 de junio de 2017	53223	1.0844
912	viernes, 30 de junio de 2017	51868	1.0571
913	sábado, 1 de julio de 2017	36132	0.7366
914	domingo, 2 de julio de 2017	20877	0.4257
915	lunes, 3 de julio de 2017	55837	1.1389
916	martes, 4 de julio de 2017	53025	1.0818
917	miércoles, 5 de julio de 2017	54363	1.1095
918	jueves, 6 de julio de 2017	53390	1.0899
919	viernes, 7 de julio de 2017	52423	1.0705
920	sábado, 8 de julio de 2017	35966	0.7346
921	domingo, 9 de julio de 2017	21655	0.4424

922	lunes, 10 de julio de 2017	53152	1.0863
923	martes, 11 de julio de 2017	52513	1.0735
924	miércoles, 12 de julio de 2017	53381	1.0916
925	jueves, 13 de julio de 2017	52029	1.0642
926	viernes, 14 de julio de 2017	50979	1.0430
927	sábado, 15 de julio de 2017	36346	0.7439
928	domingo, 16 de julio de 2017	20254	0.4146
929	lunes, 17 de julio de 2017	53517	1.0959
930	martes, 18 de julio de 2017	52036	1.0659
931	miércoles, 19 de julio de 2017	52431	1.0743
932	jueves, 20 de julio de 2017	51571	1.0570
933	viernes, 21 de julio de 2017	49840	1.0218
934	sábado, 22 de julio de 2017	35070	0.7192
935	domingo, 23 de julio de 2017	20030	0.4109
936	lunes, 24 de julio de 2017	51053	1.0475
937	martes, 25 de julio de 2017	50059	1.0274
938	miércoles, 26 de julio de 2017	50196	1.0305
939	jueves, 27 de julio de 2017	50561	1.0383
940	viernes, 28 de julio de 2017	50364	1.0345
941	sábado, 29 de julio de 2017	34657	0.7121
942	domingo, 30 de julio de 2017	22049	0.4532
943	lunes, 31 de julio de 2017	52773	1.0850
944	martes, 1 de agosto de 2017	53418	1.0985
945	miércoles, 2 de agosto de 2017	53674	1.1041
946	jueves, 3 de agosto de 2017	51966	1.0693
947	viernes, 4 de agosto de 2017	51174	1.0533
948	sábado, 5 de agosto de 2017	36936	0.7605
949	domingo, 6 de agosto de 2017	24389	0.5023
950	lunes, 7 de agosto de 2017	56823	1.1705
951	martes, 8 de agosto de 2017	55870	1.1513
952	miércoles, 9 de agosto de 2017	57145	1.1779
953	jueves, 10 de agosto de 2017	50719	1.0457
954	viernes, 11 de agosto de 2017	54891	1.1320
955	sábado, 12 de agosto de 2017	34974	0.7215
956	domingo, 13 de agosto de 2017	23375	0.4823
957	lunes, 14 de agosto de 2017	59330	1.2246
958	martes, 15 de agosto de 2017	58024	1.1980
959	miércoles, 16 de agosto de 2017	58385	1.2058
960	jueves, 17 de agosto de 2017	58465	1.2078
961	viernes, 18 de agosto de 2017	54702	1.1304
962	sábado, 19 de agosto de 2017	38036	0.7862
963	domingo, 20 de agosto de 2017	23146	0.4786
964	lunes, 21 de agosto de 2017	57487	1.1890
965	martes, 22 de agosto de 2017	58478	1.2098
966	miércoles, 23 de agosto de 2017	58265	1.2058
967	jueves, 24 de agosto de 2017	58554	1.2121
968	viernes, 25 de agosto de 2017	55466	1.1485
969	sábado, 26 de agosto de 2017	38762	0.8028
970	domingo, 27 de agosto de 2017	21724	0.4501
971	lunes, 28 de agosto de 2017	54425	1.1279
972	martes, 29 de agosto de 2017	55354	1.1475
973	miércoles, 30 de agosto de 2017	53840	1.1164
974	jueves, 31 de agosto de 2017	56392	1.1697
975	viernes, 1 de septiembre de 2017	52305	1.0852
976	sábado, 2 de septiembre de 2017	37226	0.7726
977	domingo, 3 de septiembre de 2017	21647	0.4494
978	lunes, 4 de septiembre de 2017	56528	1.1738
979	martes, 5 de septiembre de 2017	57323	1.1907
980	miércoles, 6 de septiembre de 2017	49641	1.0314
981	jueves, 7 de septiembre de 2017	52307	1.0871
982	viernes, 8 de septiembre de 2017	49654	1.0323
983	sábado, 9 de septiembre de 2017	36573	0.7605
984	domingo, 10 de septiembre de 2017	22336	0.4646
985	lunes, 11 de septiembre de 2017	57524	1.1969
986	martes, 12 de septiembre de 2017	58845	1.2248
987	miércoles, 13 de septiembre de 2017	57966	1.2068
988	jueves, 14 de septiembre de 2017	56772	1.1823
989	viernes, 15 de septiembre de 2017	41630	0.8672
990	sábado, 16 de septiembre de 2017	22229	0.4632
991	domingo, 17 de septiembre de 2017	22730	0.4738
992	lunes, 18 de septiembre de 2017	60340	1.2580



Análisis de la afluencia de un corredor de servicio de transporte concesionado en la Ciudad de México | 248

993	martes, 19 de septiembre de 2017	46754	0.9751
994	miércoles, 20 de septiembre de 2017	34677	0.7234
995	jueves, 21 de septiembre de 2017	42225	0.8811
996	viernes, 22 de septiembre de 2017	45587	0.9515
997	sábado, 23 de septiembre de 2017	34414	0.7185
998	domingo, 24 de septiembre de 2017	20548	0.4291
999	lunes, 25 de septiembre de 2017	50119	1.0470
1000	martes, 26 de septiembre de 2017	54335	1.1355
1001	miércoles, 27 de septiembre de 2017	51349	1.0734
1002	jueves, 28 de septiembre de 2017	52027	1.0878
1003	viernes, 29 de septiembre de 2017	49407	1.0334
1004	sábado, 30 de septiembre de 2017	34521	0.7222
1005	domingo, 1 de octubre de 2017	19607	0.4103
1006	lunes, 2 de octubre de 2017	54781	1.1468
1007	martes, 3 de octubre de 2017	54747	1.1464
1008	miércoles, 4 de octubre de 2017	53963	1.1303
1009	jueves, 5 de octubre de 2017	54698	1.1460
1010	viernes, 6 de octubre de 2017	54487	1.1419
1011	sábado, 7 de octubre de 2017	38500	0.8071
1012	domingo, 8 de octubre de 2017	22907	0.4804
1013	lunes, 9 de octubre de 2017	57169	1.1992
1014	martes, 10 de octubre de 2017	54622	1.1461
1015	miércoles, 11 de octubre de 2017	56101	1.1775
1016	jueves, 12 de octubre de 2017	54836	1.1512
1017	viernes, 13 de octubre de 2017	54933	1.1536
1018	sábado, 14 de octubre de 2017	38474	0.8082
1019	domingo, 15 de octubre de 2017	22485	0.4725
1020	lunes, 16 de octubre de 2017	56425	1.1860
1021	martes, 17 de octubre de 2017	55609	1.1692
1022	miércoles, 18 de octubre de 2017	56953	1.1978
1023	jueves, 19 de octubre de 2017	55411	1.1657
1024	viernes, 20 de octubre de 2017	54839	1.1540
1025	sábado, 21 de octubre de 2017	38029	0.8005
1026	domingo, 22 de octubre de 2017	23534	0.4955
1027	lunes, 23 de octubre de 2017	5515	0.1162
1028	martes, 24 de octubre de 2017	55366	1.1664
1029	miércoles, 25 de octubre de 2017	56801	1.1970
1030	jueves, 26 de octubre de 2017	55564	1.1713
1031	viernes, 27 de octubre de 2017	54438	1.1479
1032	sábado, 28 de octubre de 2017	36320	0.7661
1033	domingo, 29 de octubre de 2017	22475	0.4742
1034	lunes, 30 de octubre de 2017	55130	1.1635
1035	martes, 31 de octubre de 2017	54258	1.1454
1036	miércoles, 1 de noviembre de 2017	41348	0.8731
1037	jueves, 2 de noviembre de 2017	35438	0.7485
1038	viernes, 3 de noviembre de 2017	55443	1.1715
1039	sábado, 4 de noviembre de 2017	37859	0.8002
1040	domingo, 5 de noviembre de 2017	23172	0.4899
1041	lunes, 6 de noviembre de 2017	56731	1.1997
1042	martes, 7 de noviembre de 2017	56324	1.1915
1043	miércoles, 8 de noviembre de 2017	56322	1.1918
1044	jueves, 9 de noviembre de 2017	55476	1.1742
1045	viernes, 10 de noviembre de 2017	55040	1.1653
1046	sábado, 11 de noviembre de 2017	38716	0.8199
1047	domingo, 12 de noviembre de 2017	22058	0.4673
1048	lunes, 13 de noviembre de 2017	56608	1.1996
1049	martes, 14 de noviembre de 2017	56545	1.1986
1050	miércoles, 15 de noviembre de 2017	55465	1.1761
1051	jueves, 16 de noviembre de 2017	55053	1.1676
1052	viernes, 17 de noviembre de 2017	53690	1.1391
1053	sábado, 18 de noviembre de 2017	37057	0.7864
1054	domingo, 19 de noviembre de 2017	21533	0.4571
1055	lunes, 20 de noviembre de 2017	27573	0.5855
1056	martes, 21 de noviembre de 2017	55843	1.1862
1057	miércoles, 22 de noviembre de 2017	54545	1.1589
1058	jueves, 23 de noviembre de 2017	54430	1.1568
1059	viernes, 24 de noviembre de 2017	54457	1.1577
1060	sábado, 25 de noviembre de 2017	39416	0.8382
1061	domingo, 26 de noviembre de 2017	21165	0.4502
1062	lunes, 27 de noviembre de 2017	55502	1.1810
1063	martes, 28 de noviembre de 2017	55089	1.1725

1064	miércoles, 29 de noviembre de 2017	55900	1.1902
1065	jueves, 30 de noviembre de 2017	53577	1.1410
1066	viernes, 1 de diciembre de 2017	54147	1.1535
1067	sábado, 2 de diciembre de 2017	37828	0.8061
1068	domingo, 3 de diciembre de 2017	21884	0.4665
1069	lunes, 4 de diciembre de 2017	56064	1.1954
1070	martes, 5 de diciembre de 2017	53706	1.1455
1071	miércoles, 6 de diciembre de 2017	52817	1.1268
1072	jueves, 7 de diciembre de 2017	53806	1.1483
1073	viernes, 8 de diciembre de 2017	52349	1.1175
1074	sábado, 9 de diciembre de 2017	37000	0.7901
1075	domingo, 10 de diciembre de 2017	21610	0.4616
1076	lunes, 11 de diciembre de 2017	50624	1.0816
1077	martes, 12 de diciembre de 2017	50624	1.0820
1078	miércoles, 13 de diciembre de 2017	50624	1.0823
1079	jueves, 14 de diciembre de 2017	49711	1.0631
1080	viernes, 15 de diciembre de 2017	49224	1.0530
1081	sábado, 16 de diciembre de 2017	35780	0.7656
1082	domingo, 17 de diciembre de 2017	20070	0.4296
1083	lunes, 18 de diciembre de 2017	51499	1.1026
1084	martes, 19 de diciembre de 2017	46846	1.0033
1085	miércoles, 20 de diciembre de 2017	47198	1.0111
1086	jueves, 21 de diciembre de 2017	46890	1.0048
1087	viernes, 22 de diciembre de 2017	43331	0.9288
1088	sábado, 23 de diciembre de 2017	30769	0.6598
1089	domingo, 24 de diciembre de 2017	15790	0.3387
1090	lunes, 25 de diciembre de 2017	10078	0.2162
1091	martes, 26 de diciembre de 2017	39470	0.8471
1092	miércoles, 27 de diciembre de 2017	40456	0.8685
1093	jueves, 28 de diciembre de 2017	40681	0.8736
1094	viernes, 29 de diciembre de 2017	38569	0.8285
1095	sábado, 30 de diciembre de 2017	27875	0.5989
1096	domingo, 31 de diciembre de 2017	14429	0.3101
1097	lunes, 1 de enero de 2018	10220	0.2197
1098	martes, 2 de enero de 2018	40350	0.8678
1099	miércoles, 3 de enero de 2018	44423	0.9556
1100	jueves, 4 de enero de 2018	44975	0.9678
1101	viernes, 5 de enero de 2018	39772	0.8561
1102	sábado, 6 de enero de 2018	35715	0.7690
1103	domingo, 7 de enero de 2018	21979	0.4734
1104	lunes, 8 de enero de 2018	52324	1.1273
1105	martes, 9 de enero de 2018	52517	1.1318
1106	miércoles, 10 de enero de 2018	53225	1.1474
1107	jueves, 11 de enero de 2018	52832	1.1392
1108	viernes, 12 de enero de 2018	50920	1.0983
1109	sábado, 13 de enero de 2018	35428	0.7644
1110	domingo, 14 de enero de 2018	21057	0.4545
1111	lunes, 15 de enero de 2018	54187	1.1699
1112	martes, 16 de enero de 2018	54388	1.1745
1113	miércoles, 17 de enero de 2018	53540	1.1566
1114	jueves, 18 de enero de 2018	53105	1.1475
1115	viernes, 19 de enero de 2018	53223	1.1504
1116	sábado, 20 de enero de 2018	36248	0.7837
1117	domingo, 21 de enero de 2018	21204	0.4586
1118	lunes, 22 de enero de 2018	54978	1.1894
1119	martes, 23 de enero de 2018	54809	1.1861
1120	miércoles, 24 de enero de 2018	53835	1.1654
1121	jueves, 25 de enero de 2018	53265	1.1534
1122	viernes, 26 de enero de 2018	54219	1.1744
1123	sábado, 27 de enero de 2018	35374	0.7664
1124	domingo, 28 de enero de 2018	20045	0.4344
1125	lunes, 29 de enero de 2018	54810	1.1883
1126	martes, 30 de enero de 2018	54028	1.1717
1127	miércoles, 31 de enero de 2018	52292	1.1344
1128	jueves, 1 de febrero de 2018	54358	1.1795
1129	viernes, 2 de febrero de 2018	53665	1.1648
1130	sábado, 3 de febrero de 2018	34754	0.7546
1131	domingo, 4 de febrero de 2018	20963	0.4553
1132	lunes, 5 de febrero de 2018	25304	0.5497
1133	martes, 6 de febrero de 2018	57593	1.2516
1134	miércoles, 7 de febrero de 2018	56171	1.2211



Análisis de la afluencia de un corredor de servicio de transporte concesionado en la Ciudad de México | 249

1135	jueves, 8 de febrero de 2018	55321	1.2030
1136	viernes, 9 de febrero de 2018	53264	1.1586
1137	sábado, 10 de febrero de 2018	38196	0.8311
1138	domingo, 11 de febrero de 2018	20604	0.4484
1139	lunes, 12 de febrero de 2018	57013	1.2412
1140	martes, 13 de febrero de 2018	56043	1.2205
1141	miércoles, 14 de febrero de 2018	55687	1.2131
1142	jueves, 15 de febrero de 2018	54802	1.1942
1143	viernes, 16 de febrero de 2018	53461	1.1653
1144	sábado, 17 de febrero de 2018	38213	0.8332
1145	domingo, 18 de febrero de 2018	21581	0.4707
1146	lunes, 19 de febrero de 2018	55637	1.2138
1147	martes, 20 de febrero de 2018	56038	1.2229
1148	miércoles, 21 de febrero de 2018	55934	1.2210
1149	jueves, 22 de febrero de 2018	56245	1.2282
1150	viernes, 23 de febrero de 2018	52916	1.1559
1151	sábado, 24 de febrero de 2018	40013	0.8743
1152	domingo, 25 de febrero de 2018	21763	0.4757
1153	lunes, 26 de febrero de 2018	56625	1.2380
1154	martes, 27 de febrero de 2018	54796	1.1984
1155	miércoles, 28 de febrero de 2018	57439	1.2565
1156	jueves, 1 de marzo de 2018	54709	1.1972
1157	viernes, 2 de marzo de 2018	53742	1.1764
1158	sábado, 3 de marzo de 2018	39052	0.8551
1159	domingo, 4 de marzo de 2018	21197	0.4643
1160	lunes, 5 de marzo de 2018	56659	1.2414
1161	martes, 6 de marzo de 2018	56837	1.2456
1162	miércoles, 7 de marzo de 2018	56060	1.2290
1163	jueves, 8 de marzo de 2018	55456	1.2161
1164	viernes, 9 de marzo de 2018	54531	1.1962
1165	sábado, 10 de marzo de 2018	38743	0.8501
1166	domingo, 11 de marzo de 2018	21694	0.4762
1167	lunes, 12 de marzo de 2018	56094	1.2316
1168	martes, 13 de marzo de 2018	56094	1.2320
1169	miércoles, 14 de marzo de 2018	55857	1.2271
1170	jueves, 15 de marzo de 2018	55293	1.2151
1171	viernes, 16 de marzo de 2018	54108	1.1894
1172	sábado, 17 de marzo de 2018	38707	0.8511
1173	domingo, 18 de marzo de 2018	21117	0.4645
1174	lunes, 19 de marzo de 2018	23139	0.5091
1175	martes, 20 de marzo de 2018	59522	1.3100
1176	miércoles, 21 de marzo de 2018	55406	1.2198
1177	jueves, 22 de marzo de 2018	55079	1.2130
1178	viernes, 23 de marzo de 2018	55189	1.2158
1179	sábado, 24 de marzo de 2018	36694	0.8086
1180	domingo, 25 de marzo de 2018	20057	0.4421
1181	lunes, 26 de marzo de 2018	50393	1.1111
1182	martes, 27 de marzo de 2018	48235	1.0639
1183	miércoles, 28 de marzo de 2018	46857	1.0338
1184	jueves, 29 de marzo de 2018	28216	0.6227
1185	viernes, 30 de marzo de 2018	19568	0.4320
1186	sábado, 31 de marzo de 2018	19229	0.4246
1187	domingo, 1 de abril de 2018	16318	0.3605
1188	lunes, 2 de abril de 2018	52737	1.1653
1189	martes, 3 de abril de 2018	52122	1.1521
1190	miércoles, 4 de abril de 2018	48009	1.0615
1191	jueves, 5 de abril de 2018	55997	1.2385
1192	viernes, 6 de abril de 2018	50685	1.1213
1193	sábado, 7 de abril de 2018	38440	0.8507
1194	domingo, 8 de abril de 2018	19689	0.4358
1195	lunes, 9 de abril de 2018	55331	1.2253
1196	martes, 10 de abril de 2018	53565	1.1865
1197	miércoles, 11 de abril de 2018	56647	1.2552
1198	jueves, 12 de abril de 2018	53698	1.1902
1199	viernes, 13 de abril de 2018	54325	1.2044
1200	sábado, 14 de abril de 2018	36155	0.8018
1201	domingo, 15 de abril de 2018	22123	0.4908
1202	lunes, 16 de abril de 2018	55039	1.2214
1203	martes, 17 de abril de 2018	53265	1.1824
1204	miércoles, 18 de abril de 2018	55525	1.2329
1205	jueves, 19 de abril de 2018	54012	1.1997

1206	viernes, 20 de abril de 2018	50804	1.1288
1207	sábado, 21 de abril de 2018	36401	0.8090
1208	domingo, 22 de abril de 2018	20272	0.4507
1209	lunes, 23 de abril de 2018	54718	1.2169
1210	martes, 24 de abril de 2018	54335	1.2087
1211	miércoles, 25 de abril de 2018	54872	1.2211
1212	jueves, 26 de abril de 2018	54150	1.2054
1213	viernes, 27 de abril de 2018	54426	1.2119
1214	sábado, 28 de abril de 2018	36411	0.8110
1215	domingo, 29 de abril de 2018	20478	0.4562
1216	lunes, 30 de abril de 2018	51297	1.1433
1217	martes, 1 de mayo de 2018	24956	0.5564
1218	miércoles, 2 de mayo de 2018	56169	1.2526
1219	jueves, 3 de mayo de 2018	53183	1.1864
1220	viernes, 4 de mayo de 2018	52013	1.1606
1221	sábado, 5 de mayo de 2018	35198	0.7857
1222	domingo, 6 de mayo de 2018	20059	0.4479
1223	lunes, 7 de mayo de 2018	53077	1.1855
1224	martes, 8 de mayo de 2018	53433	1.1938
1225	miércoles, 9 de mayo de 2018	53551	1.1968
1226	jueves, 10 de mayo de 2018	37761	0.8442
1227	viernes, 11 de mayo de 2018	54454	1.2178
1228	sábado, 12 de mayo de 2018	36441	0.8152
1229	domingo, 13 de mayo de 2018	20572	0.4603
1230	lunes, 14 de mayo de 2018	54294	1.2153
1231	martes, 15 de mayo de 2018	50160	1.1231
1232	miércoles, 16 de mayo de 2018	52881	1.1844
1233	jueves, 17 de mayo de 2018	51825	1.1611
1234	viernes, 18 de mayo de 2018	52639	1.1797
1235	sábado, 19 de mayo de 2018	34261	0.7681
1236	domingo, 20 de mayo de 2018	22785	0.5110
1237	lunes, 21 de mayo de 2018	51680	1.1593
1238	martes, 22 de mayo de 2018	53862	1.2086
1239	miércoles, 23 de mayo de 2018	53176	1.1936
1240	jueves, 24 de mayo de 2018	51961	1.1667
1241	viernes, 25 de mayo de 2018	51735	1.1620
1242	sábado, 26 de mayo de 2018	34634	0.7781
1243	domingo, 27 de mayo de 2018	20664	0.4644
1244	lunes, 28 de mayo de 2018	53286	1.1979
1245	martes, 29 de mayo de 2018	53490	1.2029
1246	miércoles, 30 de mayo de 2018	53020	1.1927
1247	jueves, 31 de mayo de 2018	52539	1.1822
1248	viernes, 1 de junio de 2018	52118	1.1731
1249	sábado, 2 de junio de 2018	36627	0.8247
1250	domingo, 3 de junio de 2018	21499	0.4842
1251	lunes, 4 de junio de 2018	53135	1.1971
1252	martes, 5 de junio de 2018	53923	1.2153
1253	miércoles, 6 de junio de 2018	53124	1.1976
1254	jueves, 7 de junio de 2018	55432	1.2501
1255	viernes, 8 de junio de 2018	52417	1.1824
1256	sábado, 9 de junio de 2018	35309	0.7967
1257	domingo, 10 de junio de 2018	23024	0.5197
1258	lunes, 11 de junio de 2018	54076	1.2210
1259	martes, 12 de junio de 2018	52056	1.1758
1260	miércoles, 13 de junio de 2018	50024	1.1302
1261	jueves, 14 de junio de 2018	49398	1.1164
1262	viernes, 15 de junio de 2018	50620	1.1444
1263	sábado, 16 de junio de 2018	36232	0.8194
1264	domingo, 17 de junio de 2018	17683	0.4000
1265	lunes, 18 de junio de 2018	49460	1.1192
1266	martes, 19 de junio de 2018	52664	1.1921
1267	miércoles, 20 de junio de 2018	52877	1.1973
1268	jueves, 21 de junio de 2018	51071	1.1567
1269	viernes, 22 de junio de 2018	51514	1.1672
1270	sábado, 23 de junio de 2018	37105	0.8409
1271	domingo, 24 de junio de 2018	25540	0.5790
1272	lunes, 25 de junio de 2018	52387	1.1880
1273	martes, 26 de junio de 2018	50482	1.1452
1274	miércoles, 27 de junio de 2018	50756	1.1518
1275	jueves, 28 de junio de 2018	50667	1.1501
1276	viernes, 29 de junio de 2018	50909	1.1560



Análisis de la afluencia de un corredor de servicio de transporte concesionado en la Ciudad de México | 250

1277	sábado, 30 de junio de 2018	35220	0.8000
1278	domingo, 1 de julio de 2018	20123	0.4572
1279	lunes, 2 de julio de 2018	49597	1.1272
1280	martes, 3 de julio de 2018	51584	1.1728
1281	miércoles, 4 de julio de 2018	50462	1.1476
1282	jueves, 5 de julio de 2018	50880	1.1575
1283	viernes, 6 de julio de 2018	48941	1.1137
1284	sábado, 7 de julio de 2018	35000	0.7967
1285	domingo, 8 de julio de 2018	20406	0.4647
1286	lunes, 9 de julio de 2018	49609	1.1300
1287	martes, 10 de julio de 2018	49949	1.1381
1288	miércoles, 11 de julio de 2018	50407	1.1489
1289	jueves, 12 de julio de 2018	48875	1.1143
1290	viernes, 13 de julio de 2018	48061	1.0961
1291	sábado, 14 de julio de 2018	34643	0.7903
1292	domingo, 15 de julio de 2018	21064	0.4807
1293	lunes, 16 de julio de 2018	48062	1.0972
1294	martes, 17 de julio de 2018	49730	1.1356
1295	miércoles, 18 de julio de 2018	49409	1.1286
1296	jueves, 19 de julio de 2018	49592	1.1332
1297	viernes, 20 de julio de 2018	48117	1.0998
1298	sábado, 21 de julio de 2018	34570	0.7904
1299	domingo, 22 de julio de 2018	22184	0.5074
1300	lunes, 23 de julio de 2018	49619	1.1352
1301	martes, 24 de julio de 2018	49900	1.1420
1302	miércoles, 25 de julio de 2018	48979	1.1213
1303	jueves, 26 de julio de 2018	49581	1.1354
1304	viernes, 27 de julio de 2018	45519	1.0427
1305	sábado, 28 de julio de 2018	36589	0.8384
1306	domingo, 29 de julio de 2018	21620	0.4956
1307	lunes, 30 de julio de 2018	51131	1.1724
1308	martes, 31 de julio de 2018	50860	1.1666
1309	miércoles, 1 de agosto de 2018	52096	1.1953
1310	jueves, 2 de agosto de 2018	52120	1.1962
1311	viernes, 3 de agosto de 2018	50923	1.1691
1312	sábado, 4 de agosto de 2018	36167	0.8306
1313	domingo, 5 de agosto de 2018	20499	0.4709
1314	lunes, 6 de agosto de 2018	55640	1.2786
1315	martes, 7 de agosto de 2018	55672	1.2798
1316	miércoles, 8 de agosto de 2018	55474	1.2756
1317	jueves, 9 de agosto de 2018	52286	1.2027
1318	viernes, 10 de agosto de 2018	54956	1.2645
1319	sábado, 11 de agosto de 2018	35071	0.8072
1320	domingo, 12 de agosto de 2018	20503	0.4721
1321	lunes, 13 de agosto de 2018	55095	1.2689
1322	martes, 14 de agosto de 2018	56367	1.2986
1323	miércoles, 15 de agosto de 2018	53853	1.2411
1324	jueves, 16 de agosto de 2018	54840	1.2643
1325	viernes, 17 de agosto de 2018	53877	1.2425
1326	sábado, 18 de agosto de 2018	36080	0.8323
1327	domingo, 19 de agosto de 2018	22104	0.5101
1328	lunes, 20 de agosto de 2018	54290	1.2532
1329	martes, 21 de agosto de 2018	54290	1.2536
1330	miércoles, 22 de agosto de 2018	54754	1.2647
1331	jueves, 23 de agosto de 2018	54462	1.2584
1332	viernes, 24 de agosto de 2018	52767	1.2196
1333	sábado, 25 de agosto de 2018	36115	0.8350
1334	domingo, 26 de agosto de 2018	22507	0.5205
1335	lunes, 27 de agosto de 2018	54871	1.2694
1336	martes, 28 de agosto de 2018	52858	1.2233
1337	miércoles, 29 de agosto de 2018	54541	1.2626
1338	jueves, 30 de agosto de 2018	52107	1.2066
1339	viernes, 31 de agosto de 2018	53089	1.2298
1340	sábado, 1 de septiembre de 2018	35566	0.8241
1341	domingo, 2 de septiembre de 2018	20821	0.4826
1342	lunes, 3 de septiembre de 2018	55009	1.2755
1343	martes, 4 de septiembre de 2018	54741	1.2697
1344	miércoles, 5 de septiembre de 2018	54186	1.2572
1345	jueves, 6 de septiembre de 2018	53411	1.2396
1346	viernes, 7 de septiembre de 2018	53477	1.2415
1347	sábado, 8 de septiembre de 2018	36870	0.8563

1348	domingo, 9 de septiembre de 2018	21955	0.5100
1349	lunes, 10 de septiembre de 2018	55649	1.2932
1350	martes, 11 de septiembre de 2018	53873	1.2523
1351	miércoles, 12 de septiembre de 2018	54599	1.2696
1352	jueves, 13 de septiembre de 2018	52348	1.2177
1353	viernes, 14 de septiembre de 2018	51498	1.1983
1354	sábado, 15 de septiembre de 2018	29947	0.6970
1355	domingo, 16 de septiembre de 2018	17883	0.4164
1356	lunes, 17 de septiembre de 2018	56237	1.3098
1357	martes, 18 de septiembre de 2018	55118	1.2842
1358	miércoles, 19 de septiembre de 2018	54833	1.2779
1359	jueves, 20 de septiembre de 2018	55704	1.2987
1360	viernes, 21 de septiembre de 2018	55409	1.2922
1361	sábado, 22 de septiembre de 2018	35137	0.8197
1362	domingo, 23 de septiembre de 2018	22890	0.5342
1363	lunes, 24 de septiembre de 2018	56143	1.3106
1364	martes, 25 de septiembre de 2018	54865	1.2812
1365	miércoles, 26 de septiembre de 2018	54260	1.2674
1366	jueves, 27 de septiembre de 2018	55536	1.2977
1367	viernes, 28 de septiembre de 2018	54277	1.2687
1368	sábado, 29 de septiembre de 2018	35692	0.8345
1369	domingo, 30 de septiembre de 2018	22013	0.5149
1370	lunes, 1 de octubre de 2018	53832	1.2595
1371	martes, 2 de octubre de 2018	55117	1.2900
1372	miércoles, 3 de octubre de 2018	55708	1.3042
1373	jueves, 4 de octubre de 2018	54908	1.2859
1374	viernes, 5 de octubre de 2018	54776	1.2832
1375	sábado, 6 de octubre de 2018	36548	0.8565
1376	domingo, 7 de octubre de 2018	23884	0.5599
1377	lunes, 8 de octubre de 2018	55495	1.3013
1378	martes, 9 de octubre de 2018	55708	1.3067
1379	miércoles, 10 de octubre de 2018	54593	1.2810
1380	jueves, 11 de octubre de 2018	55144	1.2944
1381	viernes, 12 de octubre de 2018	50956	1.1964
1382	sábado, 13 de octubre de 2018	37920	0.8907
1383	domingo, 14 de octubre de 2018	22706	0.5335
1384	lunes, 15 de octubre de 2018	53924	1.2674
1385	martes, 16 de octubre de 2018	55104	1.2955
1386	miércoles, 17 de octubre de 2018	54204	1.2748
1387	jueves, 18 de octubre de 2018	54723	1.2874
1388	viernes, 19 de octubre de 2018	54004	1.2709
1389	sábado, 20 de octubre de 2018	37441	0.8814
1390	domingo, 21 de octubre de 2018	21883	0.5153
1391	lunes, 22 de octubre de 2018	54645	1.2872
1392	martes, 23 de octubre de 2018	55422	1.3060
1393	miércoles, 24 de octubre de 2018	55219	1.3016
1394	jueves, 25 de octubre de 2018	55844	1.3168
1395	viernes, 26 de octubre de 2018	52956	1.2491
1396	sábado, 27 de octubre de 2018	35055	0.8271
1397	domingo, 28 de octubre de 2018	23465	0.5538
1398	lunes, 29 de octubre de 2018	54837	1.2947
1399	martes, 30 de octubre de 2018	53236	1.2573
1400	miércoles, 31 de octubre de 2018	49214	1.1627
1401	jueves, 1 de noviembre de 2018	41842	0.9889
1402	viernes, 2 de noviembre de 2018	26551	0.6277
1403	sábado, 3 de noviembre de 2018	29087	0.6879
1404	domingo, 4 de noviembre de 2018	17321	0.4097
1405	lunes, 5 de noviembre de 2018	54365	1.2865
1406	martes, 6 de noviembre de 2018	53192	1.2592
1407	miércoles, 7 de noviembre de 2018	55018	1.3028
1408	jueves, 8 de noviembre de 2018	53236	1.2610
1409	viernes, 9 de noviembre de 2018	51060	1.2099
1410	sábado, 10 de noviembre de 2018	37131	0.8801
1411	domingo, 11 de noviembre de 2018	22565	0.5350
1412	lunes, 12 de noviembre de 2018	54099	1.2831
1413	martes, 13 de noviembre de 2018	54782	1.2998
1414	miércoles, 14 de noviembre de 2018	49650	1.1784
1415	jueves, 15 de noviembre de 2018	52285	1.2413
1416	viernes, 16 de noviembre de 2018	51657	1.2268
1417	sábado, 17 de noviembre de 2018	36664	0.8710
1418	domingo, 18 de noviembre de 2018	22256	0.5289



Análisis de la afluencia de un corredor de servicio de transporte concesionado en la Ciudad de México | 251

1419	lunes, 19 de noviembre de 2018	24299	0.5777
1420	martes, 20 de noviembre de 2018	56251	1.3377
1421	miércoles, 21 de noviembre de 2018	53239	1.2665
1422	jueves, 22 de noviembre de 2018	52863	1.2579
1423	viernes, 23 de noviembre de 2018	51569	1.2276
1424	sábado, 24 de noviembre de 2018	37402	0.8906
1425	domingo, 25 de noviembre de 2018	22168	0.5280
1426	lunes, 26 de noviembre de 2018	53935	1.2851
1427	martes, 27 de noviembre de 2018	53708	1.2802
1428	miércoles, 28 de noviembre de 2018	52149	1.2434
1429	jueves, 29 de noviembre de 2018	53018	1.2645
1430	viernes, 30 de noviembre de 2018	50500	1.2049
1431	sábado, 1 de diciembre de 2018	28814	0.6877
1432	domingo, 2 de diciembre de 2018	23075	0.5509
1433	lunes, 3 de diciembre de 2018	52725	1.2592
1434	martes, 4 de diciembre de 2018	51799	1.2375
1435	miércoles, 5 de diciembre de 2018	52026	1.2433
1436	jueves, 6 de diciembre de 2018	50270	1.2018
1437	viernes, 7 de diciembre de 2018	48060	1.1493
1438	sábado, 8 de diciembre de 2018	35460	0.8483
1439	domingo, 9 de diciembre de 2018	21719	0.5197
1440	lunes, 10 de diciembre de 2018	52079	1.2467
1441	martes, 11 de diciembre de 2018	44464	1.0647
1442	miércoles, 12 de diciembre de 2018	46467	1.1131
1443	jueves, 13 de diciembre de 2018	52537	1.2589
1444	viernes, 14 de diciembre de 2018	47845	1.1468
1445	sábado, 15 de diciembre de 2018	34030	0.8160
1446	domingo, 16 de diciembre de 2018	21344	0.5119
1447	lunes, 17 de diciembre de 2018	46315	1.1113
1448	martes, 18 de diciembre de 2018	47250	1.1341
1449	miércoles, 19 de diciembre de 2018	47830	1.1484
1450	jueves, 20 de diciembre de 2018	45617	1.0956
1451	viernes, 21 de diciembre de 2018	42681	1.0254
1452	sábado, 22 de diciembre de 2018	30993	0.7449
1453	domingo, 23 de diciembre de 2018	20925	0.5031
1454	lunes, 24 de diciembre de 2018	24983	0.6008
1455	martes, 25 de diciembre de 2018	11490	0.2764
1456	miércoles, 26 de diciembre de 2018	36837	0.8865
1457	jueves, 27 de diciembre de 2018	37361	0.8994
1458	viernes, 28 de diciembre de 2018	37635	0.9063
1459	sábado, 29 de diciembre de 2018	25700	0.6191
1460	domingo, 30 de diciembre de 2018	18118	0.4366
1461	lunes, 31 de diciembre de 2018	20640	0.4975
1462	martes, 1 de enero de 2019	10307	0.2485
1463	miércoles, 2 de enero de 2019	37570	0.9063
1464	jueves, 3 de enero de 2019	38703	0.9339
1465	viernes, 4 de enero de 2019	40978	0.9891
1466	sábado, 5 de enero de 2019	26301	0.6351
1467	domingo, 6 de enero de 2019	17496	0.4226
1468	lunes, 7 de enero de 2019	48759	1.1781
1469	martes, 8 de enero de 2019	45412	1.0976
1470	miércoles, 9 de enero de 2019	47576	1.1503
1471	jueves, 10 de enero de 2019	48788	1.1800
1472	viernes, 11 de enero de 2019	49414	1.1955
1473	sábado, 12 de enero de 2019	32612	0.7893
1474	domingo, 13 de enero de 2019	20526	0.4969
1475	lunes, 14 de enero de 2019	50395	1.2205
1476	martes, 15 de enero de 2019	51613	1.2504
1477	miércoles, 16 de enero de 2019	51216	1.2412
1478	jueves, 17 de enero de 2019	51498	1.2485
1479	viernes, 18 de enero de 2019	50162	1.2165
1480	sábado, 19 de enero de 2019	33493	0.8125
1481	domingo, 20 de enero de 2019	20562	0.4990
1482	lunes, 21 de enero de 2019	52815	1.2821
1483	martes, 22 de enero de 2019	52823	1.2827
1484	miércoles, 23 de enero de 2019	53409	1.2974
1485	jueves, 24 de enero de 2019	51613	1.2542
1486	viernes, 25 de enero de 2019	51311	1.2473
1487	sábado, 26 de enero de 2019	33611	0.8173
1488	domingo, 27 de enero de 2019	20794	0.5058
1489	lunes, 28 de enero de 2019	52996	1.2895

1490	martes, 29 de enero de 2019	51486	1.2532
1491	miércoles, 30 de enero de 2019	52398	1.2758
1492	jueves, 31 de enero de 2019	51883	1.2637
1493	viernes, 1 de febrero de 2019	50038	1.2192
1494	sábado, 2 de febrero de 2019	32211	0.7851
1495	domingo, 3 de febrero de 2019	20709	0.5049
1496	lunes, 4 de febrero de 2019	20575	0.5018
1497	martes, 5 de febrero de 2019	54184	1.3220
1498	miércoles, 6 de febrero de 2019	51905	1.2668
1499	jueves, 7 de febrero de 2019	51702	1.2623
1500	viernes, 8 de febrero de 2019	50661	1.2373
1501	sábado, 9 de febrero de 2019	32462	0.7931
1502	domingo, 10 de febrero de 2019	21370	0.5223
1503	lunes, 11 de febrero de 2019	52006	1.2714
1504	martes, 12 de febrero de 2019	52546	1.2850
1505	miércoles, 13 de febrero de 2019	51961	1.2712
1506	jueves, 14 de febrero de 2019	51351	1.2567
1507	viernes, 15 de febrero de 2019	51197	1.2533
1508	sábado, 16 de febrero de 2019	34443	0.8435
1509	domingo, 17 de febrero de 2019	20811	0.5098
1510	lunes, 18 de febrero de 2019	51440	1.2606
1511	martes, 19 de febrero de 2019	50944	1.2488
1512	miércoles, 20 de febrero de 2019	51982	1.2747
1513	jueves, 21 de febrero de 2019	51738	1.2692
1514	viernes, 22 de febrero de 2019	50613	1.2420
1515	sábado, 23 de febrero de 2019	36801	0.9033
1516	domingo, 24 de febrero de 2019	18691	0.4590
1517	lunes, 25 de febrero de 2019	51250	1.2589
1518	martes, 26 de febrero de 2019	50638	1.2443
1519	miércoles, 27 de febrero de 2019	50966	1.2528



ANEXO IV: Afluencia sin tendencia (componente estacional) de la serie recortada.

(t)	Día (Periodo)	Fecha	Afluencia diaria	Afluencia sin/Tendencia
1	58	lunes, 27 de febrero de 2017	63459	0.674
2	59	martes, 28 de febrero de 2017	64773	0.661
3	60	miércoles, 1 de marzo de 2017	64889	0.660
4	61	jueves, 2 de marzo de 2017	63720	0.672
5	62	viernes, 3 de marzo de 2017	61823	0.692
6	63	sábado, 4 de marzo de 2017	42730	1.002
7	64	domingo, 5 de marzo de 2017	27024	1.584
8	65	lunes, 6 de marzo de 2017	63804	0.671
9	66	martes, 7 de marzo de 2017	65226	0.656
10	67	miércoles, 8 de marzo de 2017	63588	0.673
11	68	jueves, 9 de marzo de 2017	63329	0.676
12	69	viernes, 10 de marzo de 2017	62391	0.686
13	70	sábado, 11 de marzo de 2017	42374	1.010
14	71	domingo, 12 de marzo de 2017	26028	1.645
15	72	lunes, 13 de marzo de 2017	63651	0.673
16	73	martes, 14 de marzo de 2017	63411	0.675
17	74	miércoles, 15 de marzo de 2017	61304	0.698
18	75	jueves, 16 de marzo de 2017	62149	0.689
19	76	viernes, 17 de marzo de 2017	60419	0.709
20	77	sábado, 18 de marzo de 2017	41228	1.038
21	78	domingo, 19 de marzo de 2017	27116	1.579
22	79	lunes, 20 de marzo de 2017	25385	1.687
23	80	martes, 21 de marzo de 2017	66958	0.639
24	81	miércoles, 22 de marzo de 2017	65172	0.657
25	82	jueves, 23 de marzo de 2017	62960	0.680
26	83	viernes, 24 de marzo de 2017	60559	0.707
27	84	sábado, 25 de marzo de 2017	39822	1.075
28	85	domingo, 26 de marzo de 2017	25377	1.687
29	86	lunes, 27 de marzo de 2017	65456	0.654
30	87	martes, 28 de marzo de 2017	65043	0.658
31	88	miércoles, 29 de marzo de 2017	64546	0.663
32	89	jueves, 30 de marzo de 2017	65141	0.657
33	90	viernes, 31 de marzo de 2017	63084	0.679
34	91	sábado, 1 de abril de 2017	39921	1.073
35	92	domingo, 2 de abril de 2017	24571	1.743
36	93	lunes, 3 de abril de 2017	64015	0.669
37	94	martes, 4 de abril de 2017	63936	0.670
38	95	miércoles, 5 de abril de 2017	63465	0.675
39	96	jueves, 6 de abril de 2017	62436	0.686
40	97	viernes, 7 de abril de 2017	61517	0.696
41	98	sábado, 8 de abril de 2017	37885	1.131
42	99	domingo, 9 de abril de 2017	26837	1.596
43	100	lunes, 10 de abril de 2017	54848	0.781
44	101	martes, 11 de abril de 2017	53854	0.795
45	102	miércoles, 12 de abril de 2017	49734	0.861
46	103	jueves, 13 de abril de 2017	29406	1.457
47	104	viernes, 14 de abril de 2017	22677	1.889
48	105	sábado, 15 de abril de 2017	24519	1.747
49	106	domingo, 16 de abril de 2017	20537	2.086
50	107	lunes, 17 de abril de 2017	54415	0.787
51	108	martes, 18 de abril de 2017	58133	0.737
52	109	miércoles, 19 de abril de 2017	58144	0.737
53	110	jueves, 20 de abril de 2017	56650	0.756
54	111	viernes, 21 de abril de 2017	57026	0.751
55	112	sábado, 22 de abril de 2017	40268	1.064
56	113	domingo, 23 de abril de 2017	24941	1.718
57	114	lunes, 24 de abril de 2017	64433	0.665
58	115	martes, 25 de abril de 2017	61605	0.696
59	116	miércoles, 26 de abril de 2017	62203	0.689
60	117	jueves, 27 de abril de 2017	59646	0.718
61	118	viernes, 28 de abril de 2017	58454	0.733
62	119	sábado, 29 de abril de 2017	37257	1.150
63	120	domingo, 30 de abril de 2017	21984	1.949
64	121	lunes, 1 de mayo de 2017	23967	1.788
65	122	martes, 2 de mayo de 2017	61708	0.695
66	123	miércoles, 3 de mayo de 2017	60709	0.706
67	124	jueves, 4 de mayo de 2017	56288	0.761
68	125	viernes, 5 de mayo de 2017	50996	0.840
69	126	sábado, 6 de mayo de 2017	36678	1.169

70	127	domingo, 7 de mayo de 2017	25466	1.683
71	128	lunes, 8 de mayo de 2017	59215	0.724
72	129	martes, 9 de mayo de 2017	58513	0.733
73	130	miércoles, 10 de mayo de 2017	45660	0.939
74	131	jueves, 11 de mayo de 2017	59226	0.724
75	132	viernes, 12 de mayo de 2017	56796	0.755
76	133	sábado, 13 de mayo de 2017	37667	1.138
77	134	domingo, 14 de mayo de 2017	25125	1.706
78	135	lunes, 15 de mayo de 2017	55727	0.769
79	136	martes, 16 de mayo de 2017	61552	0.697
80	137	miércoles, 17 de mayo de 2017	63011	0.680
81	138	jueves, 18 de mayo de 2017	61606	0.696
82	139	viernes, 19 de mayo de 2017	60923	0.704
83	140	sábado, 20 de mayo de 2017	37676	1.138
84	141	domingo, 21 de mayo de 2017	25567	1.677
85	142	lunes, 22 de mayo de 2017	60560	0.708
86	143	martes, 23 de mayo de 2017	62177	0.690
87	144	miércoles, 24 de mayo de 2017	63834	0.672
88	145	jueves, 25 de mayo de 2017	54929	0.781
89	146	viernes, 26 de mayo de 2017	54735	0.783
90	147	sábado, 27 de mayo de 2017	39043	1.098
91	148	domingo, 28 de mayo de 2017	22734	1.886
92	149	lunes, 29 de mayo de 2017	54298	0.790
93	150	martes, 30 de mayo de 2017	55821	0.768
94	151	miércoles, 31 de mayo de 2017	55722	0.770
95	152	jueves, 1 de junio de 2017	55518	0.772
96	153	viernes, 2 de junio de 2017	53877	0.796
97	154	sábado, 3 de junio de 2017	38456	1.115
98	155	domingo, 4 de junio de 2017	23911	1.794
99	156	lunes, 5 de junio de 2017	56871	0.754
100	157	martes, 6 de junio de 2017	57570	0.745
101	158	miércoles, 7 de junio de 2017	56146	0.764
102	159	jueves, 8 de junio de 2017	56220	0.763
103	160	viernes, 9 de junio de 2017	54971	0.780
104	161	sábado, 10 de junio de 2017	37871	1.133
105	162	domingo, 11 de junio de 2017	23498	1.826
106	163	lunes, 12 de junio de 2017	56404	0.761
107	164	martes, 13 de junio de 2017	55515	0.773
108	165	miércoles, 14 de junio de 2017	56348	0.761
109	166	jueves, 15 de junio de 2017	54727	0.784
110	167	viernes, 16 de junio de 2017	54217	0.791
111	168	sábado, 17 de junio de 2017	39401	1.089
112	169	domingo, 18 de junio de 2017	19675	2.181
113	170	lunes, 19 de junio de 2017	55580	0.772
114	171	martes, 20 de junio de 2017	55186	0.777
115	172	miércoles, 21 de junio de 2017	55737	0.770
116	173	jueves, 22 de junio de 2017	56055	0.765
117	174	viernes, 23 de junio de 2017	54191	0.792
118	175	sábado, 24 de junio de 2017	41143	1.043
119	176	domingo, 25 de junio de 2017	26972	1.591
120	177	lunes, 26 de junio de 2017	53709	0.799
121	178	martes, 27 de junio de 2017	53851	0.797
122	179	miércoles, 28 de junio de 2017	52370	0.819
123	180	jueves, 29 de junio de 2017	53223	0.806
124	181	viernes, 30 de junio de 2017	51868	0.827
125	182	sábado, 1 de julio de 2017	36132	1.188
126	183	domingo, 2 de julio de 2017	20877	2.056
127	184	lunes, 3 de julio de 2017	55837	0.769
128	185	martes, 4 de julio de 2017	53025	0.809
129	186	miércoles, 5 de julio de 2017	54363	0.790
130	187	jueves, 6 de julio de 2017	53390	0.804
131	188	viernes, 7 de julio de 2017	52423	0.819
132	189	sábado, 8 de julio de 2017	35966	1.193
133	190	domingo, 9 de julio de 2017	21655	1.982
134	191	lunes, 10 de julio de 2017	53152	0.808
135	192	martes, 11 de julio de 2017	52513	0.817
136	193	miércoles, 12 de julio de 2017	53381	0.804
137	194	jueves, 13 de julio de 2017	52029	0.825
138	195	viernes, 14 de julio de 2017	50979	0.842
139	196	sábado, 15 de julio de 2017	36346	1.181
140	197	domingo, 16 de julio de 2017	20254	2.120



Análisis de la afluencia de un corredor de servicio de transporte concesionado en la Ciudad de México | 253

141	198	lunes, 17 de julio de 2017	53517	0.802
142	199	martes, 18 de julio de 2017	52036	0.825
143	200	miércoles, 19 de julio de 2017	52431	0.819
144	201	jueves, 20 de julio de 2017	51571	0.833
145	202	viernes, 21 de julio de 2017	49840	0.862
146	203	sábado, 22 de julio de 2017	35070	1.224
147	204	domingo, 23 de julio de 2017	20030	2.144
148	205	lunes, 24 de julio de 2017	51053	0.841
149	206	martes, 25 de julio de 2017	50059	0.858
150	207	miércoles, 26 de julio de 2017	50196	0.855
151	208	jueves, 27 de julio de 2017	50561	0.849
152	209	viernes, 28 de julio de 2017	50364	0.853
153	210	sábado, 29 de julio de 2017	34657	1.239
154	211	domingo, 30 de julio de 2017	22049	1.948
155	212	lunes, 31 de julio de 2017	52773	0.814
156	213	martes, 1 de agosto de 2017	53418	0.804
157	214	miércoles, 2 de agosto de 2017	53674	0.800
158	215	jueves, 3 de agosto de 2017	51966	0.827
159	216	viernes, 4 de agosto de 2017	51174	0.839
160	217	sábado, 5 de agosto de 2017	36936	1.163
161	218	domingo, 6 de agosto de 2017	24389	1.761
162	219	lunes, 7 de agosto de 2017	56823	0.756
163	220	martes, 8 de agosto de 2017	55870	0.769
164	221	miércoles, 9 de agosto de 2017	57145	0.752
165	222	jueves, 10 de agosto de 2017	50719	0.847
166	223	viernes, 11 de agosto de 2017	54891	0.783
167	224	sábado, 12 de agosto de 2017	34974	1.228
168	225	domingo, 13 de agosto de 2017	23375	1.838
169	226	lunes, 14 de agosto de 2017	59330	0.724
170	227	martes, 15 de agosto de 2017	58024	0.740
171	228	miércoles, 16 de agosto de 2017	58385	0.736
172	229	jueves, 17 de agosto de 2017	58465	0.735
173	230	viernes, 18 de agosto de 2017	54702	0.785
174	231	sábado, 19 de agosto de 2017	38036	1.130
175	232	domingo, 20 de agosto de 2017	23146	1.856
176	233	lunes, 21 de agosto de 2017	57487	0.747
177	234	martes, 22 de agosto de 2017	58478	0.735
178	235	miércoles, 23 de agosto de 2017	58265	0.737
179	236	jueves, 24 de agosto de 2017	58554	0.734
180	237	viernes, 25 de agosto de 2017	55466	0.775
181	238	sábado, 26 de agosto de 2017	38762	1.109
182	239	domingo, 27 de agosto de 2017	21724	1.978
183	240	lunes, 28 de agosto de 2017	54425	0.790
184	241	martes, 29 de agosto de 2017	55354	0.776
185	242	miércoles, 30 de agosto de 2017	53840	0.798
186	243	jueves, 31 de agosto de 2017	56392	0.762
187	244	viernes, 1 de septiembre de 2017	52305	0.822
188	245	sábado, 2 de septiembre de 2017	37226	1.155
189	246	domingo, 3 de septiembre de 2017	21647	1.986
190	247	lunes, 4 de septiembre de 2017	56528	0.760
191	248	martes, 5 de septiembre de 2017	57323	0.750
192	249	miércoles, 6 de septiembre de 2017	49641	0.866
193	250	jueves, 7 de septiembre de 2017	52307	0.822
194	251	viernes, 8 de septiembre de 2017	49654	0.866
195	252	sábado, 9 de septiembre de 2017	36573	1.175
196	253	domingo, 10 de septiembre de 2017	22336	1.925
197	254	lunes, 11 de septiembre de 2017	57524	0.747
198	255	martes, 12 de septiembre de 2017	58845	0.731
199	256	miércoles, 13 de septiembre de 2017	57966	0.742
200	257	jueves, 14 de septiembre de 2017	56772	0.757
201	258	viernes, 15 de septiembre de 2017	41630	1.033
202	259	sábado, 16 de septiembre de 2017	22229	1.934
203	260	domingo, 17 de septiembre de 2017	22730	1.892
204	261	lunes, 18 de septiembre de 2017	60340	0.713
205	262	martes, 19 de septiembre de 2017	46754	0.920
206	263	miércoles, 20 de septiembre de 2017	34677	1.240
207	264	jueves, 21 de septiembre de 2017	42225	1.018
208	265	viernes, 22 de septiembre de 2017	45587	0.943
209	266	sábado, 23 de septiembre de 2017	34414	1.250
210	267	domingo, 24 de septiembre de 2017	20548	2.093
211	268	lunes, 25 de septiembre de 2017	50119	0.858

212	269	martes, 26 de septiembre de 2017	54335	0.791
213	270	miércoles, 27 de septiembre de 2017	51349	0.838
214	271	jueves, 28 de septiembre de 2017	52027	0.827
215	272	viernes, 29 de septiembre de 2017	49407	0.870
216	273	sábado, 30 de septiembre de 2017	34521	1.246
217	274	domingo, 1 de octubre de 2017	19607	2.194
218	275	lunes, 2 de octubre de 2017	54781	0.785
219	276	martes, 3 de octubre de 2017	54747	0.786
220	277	miércoles, 4 de octubre de 2017	53963	0.797
221	278	jueves, 5 de octubre de 2017	54698	0.786
222	279	viernes, 6 de octubre de 2017	54487	0.789
223	280	sábado, 7 de octubre de 2017	38500	1.117
224	281	domingo, 8 de octubre de 2017	22907	1.878
225	282	lunes, 9 de octubre de 2017	57169	0.752
226	283	martes, 10 de octubre de 2017	54622	0.788
227	284	miércoles, 11 de octubre de 2017	56101	0.767
228	285	jueves, 12 de octubre de 2017	54836	0.785
229	286	viernes, 13 de octubre de 2017	54933	0.783
230	287	sábado, 14 de octubre de 2017	38474	1.118
231	288	domingo, 15 de octubre de 2017	22485	1.913
232	289	lunes, 16 de octubre de 2017	56425	0.763
233	290	martes, 17 de octubre de 2017	55609	0.774
234	291	miércoles, 18 de octubre de 2017	56953	0.755
235	292	jueves, 19 de octubre de 2017	55411	0.777
236	293	viernes, 20 de octubre de 2017	54839	0.785
237	294	sábado, 21 de octubre de 2017	38029	1.131
238	295	domingo, 22 de octubre de 2017	23534	1.828
239	296	lunes, 23 de octubre de 2017	5515	7.803
240	297	martes, 24 de octubre de 2017	55366	0.777
241	298	miércoles, 25 de octubre de 2017	56801	0.758
242	299	jueves, 26 de octubre de 2017	55564	0.774
243	300	viernes, 27 de octubre de 2017	54438	0.791
244	301	sábado, 28 de octubre de 2017	36320	1.185
245	302	domingo, 29 de octubre de 2017	22475	1.915
246	303	lunes, 30 de octubre de 2017	55130	0.781
247	304	martes, 31 de octubre de 2017	54258	0.793
248	305	miércoles, 1 de noviembre de 2017	41348	1.041
249	306	jueves, 2 de noviembre de 2017	53438	1.215
250	307	viernes, 3 de noviembre de 2017	55443	0.776
251	308	sábado, 4 de noviembre de 2017	37859	1.137
252	309	domingo, 5 de noviembre de 2017	23172	1.858
253	310	lunes, 6 de noviembre de 2017	56731	0.759
254	311	martes, 7 de noviembre de 2017	56324	0.764
255	312	miércoles, 8 de noviembre de 2017	56322	0.764
256	313	jueves, 9 de noviembre de 2017	55476	0.776
257	314	viernes, 10 de noviembre de 2017	55040	0.782
258	315	sábado, 11 de noviembre de 2017	38716	1.112
259	316	domingo, 12 de noviembre de 2017	22058	1.952
260	317	lunes, 13 de noviembre de 2017	56608	0.761
261	318	martes, 14 de noviembre de 2017	56545	0.761
262	319	miércoles, 15 de noviembre de 2017	55465	0.776
263	320	jueves, 16 de noviembre de 2017	55053	0.782
264	321	viernes, 17 de noviembre de 2017	53690	0.802
265	322	sábado, 18 de noviembre de 2017	37057	1.162
266	323	domingo, 19 de noviembre de 2017	21533	2.000
267	324	lunes, 20 de noviembre de 2017	27573	1.562
268	325	martes, 21 de noviembre de 2017	55843	0.771
269	326	miércoles, 22 de noviembre de 2017	54545	0.789
270	327	jueves, 23 de noviembre de 2017	54430	0.791
271	328	viernes, 24 de noviembre de 2017	54457	0.791
272	329	sábado, 25 de noviembre de 2017	39416	1.093
273	330	domingo, 26 de noviembre de 2017	21165	2.035
274	331	lunes, 27 de noviembre de 2017	55502	0.776
275	332	martes, 28 de noviembre de 2017	55089	0.782
276	333	miércoles, 29 de noviembre de 2017	55900	0.770
277	334	jueves, 30 de noviembre de 2017	53577	0.804
278	335	viernes, 1 de diciembre de 2017	54147	0.795
279	336	sábado, 2 de diciembre de 2017	37828	1.139
280	337	domingo, 3 de diciembre de 2017	21884	1.968
281	338	lunes, 4 de diciembre de 2017	56064	0.768
282	339	martes, 5 de diciembre de 2017	53706	0.802



Análisis de la afluencia de un corredor de servicio de transporte concesionado en la Ciudad de México | 254

283	340	miércoles, 6 de diciembre de 2017	52817	0.816	354	46	jueves, 15 de febrero de 2018	54802	0.787
284	341	jueves, 7 de diciembre de 2017	53806	0.801	355	47	viernes, 16 de febrero de 2018	53461	0.807
285	342	viernes, 8 de diciembre de 2017	52349	0.823	356	48	sábado, 17 de febrero de 2018	38213	1.129
286	343	sábado, 9 de diciembre de 2017	37000	1.164	357	49	domingo, 18 de febrero de 2018	21581	1.999
287	344	domingo, 10 de diciembre de 2017	21610	1.993	358	50	lunes, 19 de febrero de 2018	55637	0.776
288	345	lunes, 11 de diciembre de 2017	50624	0.851	359	51	martes, 20 de febrero de 2018	56038	0.770
289	346	martes, 12 de diciembre de 2017	50624	0.851	360	52	miércoles, 21 de febrero de 2018	55934	0.771
290	347	miércoles, 13 de diciembre de 2017	50624	0.851	361	53	jueves, 22 de febrero de 2018	56245	0.767
291	348	jueves, 14 de diciembre de 2017	49711	0.867	362	54	viernes, 23 de febrero de 2018	52916	0.816
292	349	viernes, 15 de diciembre de 2017	49224	0.875	363	55	sábado, 24 de febrero de 2018	40013	1.079
293	350	sábado, 16 de diciembre de 2017	35780	1.204	364	56	domingo, 25 de febrero de 2018	21763	1.983
294	351	domingo, 17 de diciembre de 2017	20070	2.147	365	57	lunes, 26 de febrero de 2018	56625	0.762
295	352	lunes, 18 de diciembre de 2017	51499	0.837	366	58	martes, 27 de febrero de 2018	54796	0.788
296	353	martes, 19 de diciembre de 2017	46846	0.920	367	59	miércoles, 28 de febrero de 2018	57439	0.751
297	354	miércoles, 20 de diciembre de 2017	47198	0.913	368	60	jueves, 1 de marzo de 2018	54709	0.789
298	355	jueves, 21 de diciembre de 2017	46890	0.919	369	61	viernes, 2 de marzo de 2018	53742	0.803
299	356	viernes, 22 de diciembre de 2017	43331	0.994	370	62	sábado, 3 de marzo de 2018	39052	1.105
300	357	sábado, 23 de diciembre de 2017	30769	1.401	371	63	domingo, 4 de marzo de 2018	21197	2.036
301	358	domingo, 24 de diciembre de 2017	15790	2.729	372	64	lunes, 5 de marzo de 2018	56659	0.762
302	359	lunes, 25 de diciembre de 2017	10078	4.276	373	65	martes, 6 de marzo de 2018	56837	0.759
303	360	martes, 26 de diciembre de 2017	39470	1.092	374	66	miércoles, 7 de marzo de 2018	56060	0.770
304	361	miércoles, 27 de diciembre de 2017	40456	1.065	375	67	jueves, 8 de marzo de 2018	55456	0.778
305	362	jueves, 28 de diciembre de 2017	40681	1.059	376	68	viernes, 9 de marzo de 2018	54531	0.792
306	363	viernes, 29 de diciembre de 2017	38569	1.117	377	69	sábado, 10 de marzo de 2018	38743	1.114
307	364	sábado, 30 de diciembre de 2017	27875	1.546	378	70	domingo, 11 de marzo de 2018	21694	1.990
308	365	domingo, 31 de diciembre de 2017	14429	2.987	379	71	lunes, 12 de marzo de 2018	56094	0.770
309	1	lunes, 1 de enero de 2018	10220	4.218	380	72	martes, 13 de marzo de 2018	56094	0.770
310	2	martes, 2 de enero de 2018	40350	1.068	381	73	miércoles, 14 de marzo de 2018	55857	0.773
311	3	miércoles, 3 de enero de 2018	44423	0.970	382	74	jueves, 15 de marzo de 2018	55293	0.781
312	4	jueves, 4 de enero de 2018	44975	0.958	383	75	viernes, 16 de marzo de 2018	54108	0.798
313	5	viernes, 5 de enero de 2018	39772	1.084	384	76	sábado, 17 de marzo de 2018	38707	1.115
314	6	sábado, 6 de enero de 2018	35715	1.207	385	77	domingo, 18 de marzo de 2018	21117	2.045
315	7	domingo, 7 de enero de 2018	21979	1.961	386	78	lunes, 19 de marzo de 2018	23139	1.866
316	8	lunes, 8 de enero de 2018	52324	0.824	387	79	martes, 20 de marzo de 2018	59522	0.725
317	9	martes, 9 de enero de 2018	52517	0.821	388	80	miércoles, 21 de marzo de 2018	55406	0.779
318	10	miércoles, 10 de enero de 2018	53225	0.810	389	81	jueves, 22 de marzo de 2018	55079	0.784
319	11	jueves, 11 de enero de 2018	52832	0.816	390	82	viernes, 23 de marzo de 2018	55189	0.782
320	12	viernes, 12 de enero de 2018	50920	0.847	391	83	sábado, 24 de marzo de 2018	36694	1.177
321	13	sábado, 13 de enero de 2018	35428	1.217	392	84	domingo, 25 de marzo de 2018	20057	2.153
322	14	domingo, 14 de enero de 2018	21057	2.047	393	85	lunes, 26 de marzo de 2018	50393	0.857
323	15	lunes, 15 de enero de 2018	54187	0.796	394	86	martes, 27 de marzo de 2018	48235	0.895
324	16	martes, 16 de enero de 2018	54388	0.793	395	87	miércoles, 28 de marzo de 2018	46857	0.922
325	17	miércoles, 17 de enero de 2018	53540	0.805	396	88	jueves, 29 de marzo de 2018	28216	1.531
326	18	jueves, 18 de enero de 2018	53105	0.812	397	89	viernes, 30 de marzo de 2018	19568	2.207
327	19	viernes, 19 de enero de 2018	53223	0.810	398	90	sábado, 31 de marzo de 2018	19229	2.246
328	20	sábado, 20 de enero de 2018	36248	1.190	399	91	domingo, 1 de abril de 2018	16318	2.647
329	21	domingo, 21 de enero de 2018	21204	2.034	400	92	lunes, 2 de abril de 2018	52737	0.819
330	22	lunes, 22 de enero de 2018	54978	0.784	401	93	martes, 3 de abril de 2018	52122	0.829
331	23	martes, 23 de enero de 2018	54809	0.787	402	94	miércoles, 4 de abril de 2018	48009	0.900
332	24	miércoles, 24 de enero de 2018	53835	0.801	403	95	jueves, 5 de abril de 2018	55997	0.771
333	25	jueves, 25 de enero de 2018	53265	0.810	404	96	viernes, 6 de abril de 2018	50685	0.852
334	26	viernes, 26 de enero de 2018	54219	0.795	405	97	sábado, 7 de abril de 2018	38440	1.124
335	27	sábado, 27 de enero de 2018	35374	1.219	406	98	domingo, 8 de abril de 2018	19689	2.194
336	28	domingo, 28 de enero de 2018	20045	2.152	407	99	lunes, 9 de abril de 2018	55331	0.781
337	29	lunes, 29 de enero de 2018	54810	0.787	408	100	martes, 10 de abril de 2018	53565	0.807
338	30	martes, 30 de enero de 2018	54028	0.798	409	101	miércoles, 11 de abril de 2018	56647	0.763
339	31	miércoles, 31 de enero de 2018	52292	0.825	410	102	jueves, 12 de abril de 2018	53698	0.805
340	32	jueves, 1 de febrero de 2018	54358	0.793	411	103	viernes, 13 de abril de 2018	54325	0.795
341	33	viernes, 2 de febrero de 2018	53665	0.804	412	104	sábado, 14 de abril de 2018	36155	1.195
342	34	sábado, 3 de febrero de 2018	34754	1.241	413	105	domingo, 15 de abril de 2018	22123	1.953
343	35	domingo, 4 de febrero de 2018	20963	2.058	414	106	lunes, 16 de abril de 2018	55039	0.785
344	36	lunes, 5 de febrero de 2018	25304	1.705	415	107	martes, 17 de abril de 2018	53265	0.811
345	37	martes, 6 de febrero de 2018	57593	0.749	416	108	miércoles, 18 de abril de 2018	55525	0.778
346	38	miércoles, 7 de febrero de 2018	56171	0.768	417	109	jueves, 19 de abril de 2018	54012	0.800
347	39	jueves, 8 de febrero de 2018	55321	0.780	418	110	viernes, 20 de abril de 2018	50804	0.851
348	40	viernes, 9 de febrero de 2018	53264	0.810	419	111	sábado, 21 de abril de 2018	36401	1.187
349	41	sábado, 10 de febrero de 2018	38196	1.129	420	112	domingo, 22 de abril de 2018	20272	2.132
350	42	domingo, 11 de febrero de 2018	20604	2.094	421	113	lunes, 23 de abril de 2018	54718	0.790
351	43	lunes, 12 de febrero de 2018	57013	0.757	422	114	martes, 24 de abril de 2018	54335	0.795
352	44	martes, 13 de febrero de 2018	56043	0.770	423	115	miércoles, 25 de abril de 2018	54872	0.788
353	45	miércoles, 14 de febrero de 2018	55687	0.775	424	116	jueves, 26 de abril de 2018	54150	0.798



Análisis de la afluencia de un corredor de servicio de transporte concesionado en la Ciudad de México | 255

425	117	viernes, 27 de abril de 2018	54426	0.794
426	118	sábado, 28 de abril de 2018	36411	1.187
427	119	domingo, 29 de abril de 2018	20478	2.111
428	120	lunes, 30 de abril de 2018	51297	0.843
429	121	martes, 1 de mayo de 2018	24956	1.732
430	122	miércoles, 2 de mayo de 2018	56169	0.770
431	123	jueves, 3 de mayo de 2018	53183	0.813
432	124	viernes, 4 de mayo de 2018	52013	0.831
433	125	sábado, 5 de mayo de 2018	35198	1.228
434	126	domingo, 6 de mayo de 2018	20059	2.155
435	127	lunes, 7 de mayo de 2018	53077	0.814
436	128	martes, 8 de mayo de 2018	53433	0.809
437	129	miércoles, 9 de mayo de 2018	53551	0.807
438	130	jueves, 10 de mayo de 2018	37761	1.145
439	131	viernes, 11 de mayo de 2018	54454	0.794
440	132	sábado, 12 de mayo de 2018	36441	1.186
441	133	domingo, 13 de mayo de 2018	20572	2.102
442	134	lunes, 14 de mayo de 2018	54294	0.796
443	135	martes, 15 de mayo de 2018	50160	0.862
444	136	miércoles, 16 de mayo de 2018	52881	0.818
445	137	jueves, 17 de mayo de 2018	51825	0.834
446	138	viernes, 18 de mayo de 2018	52639	0.821
447	139	sábado, 19 de mayo de 2018	34261	1.262
448	140	domingo, 20 de mayo de 2018	22785	1.898
449	141	lunes, 21 de mayo de 2018	51680	0.837
450	142	martes, 22 de mayo de 2018	53862	0.803
451	143	miércoles, 23 de mayo de 2018	53176	0.813
452	144	jueves, 24 de mayo de 2018	51961	0.832
453	145	viernes, 25 de mayo de 2018	51735	0.836
454	146	sábado, 26 de mayo de 2018	34634	1.249
455	147	domingo, 27 de mayo de 2018	20664	2.093
456	148	lunes, 28 de mayo de 2018	53286	0.812
457	149	martes, 29 de mayo de 2018	53490	0.809
458	150	miércoles, 30 de mayo de 2018	53020	0.816
459	151	jueves, 31 de mayo de 2018	52539	0.823
460	152	viernes, 1 de junio de 2018	52118	0.830
461	153	sábado, 2 de junio de 2018	36627	1.181
462	154	domingo, 3 de junio de 2018	21499	2.012
463	155	lunes, 4 de junio de 2018	53135	0.814
464	156	martes, 5 de junio de 2018	53923	0.802
465	157	miércoles, 6 de junio de 2018	53124	0.814
466	158	jueves, 7 de junio de 2018	55432	0.780
467	159	viernes, 8 de junio de 2018	52417	0.825
468	160	sábado, 9 de junio de 2018	35309	1.225
469	161	domingo, 10 de junio de 2018	23024	1.879
470	162	lunes, 11 de junio de 2018	54076	0.800
471	163	martes, 12 de junio de 2018	52056	0.831
472	164	miércoles, 13 de junio de 2018	50024	0.865
473	165	jueves, 14 de junio de 2018	49398	0.876
474	166	viernes, 15 de junio de 2018	50620	0.855
475	167	sábado, 16 de junio de 2018	36232	1.194
476	168	domingo, 17 de junio de 2018	17683	2.447
477	169	lunes, 18 de junio de 2018	49460	0.875
478	170	martes, 19 de junio de 2018	52664	0.822
479	171	miércoles, 20 de junio de 2018	52877	0.818
480	172	jueves, 21 de junio de 2018	51071	0.847
481	173	viernes, 22 de junio de 2018	51514	0.840
482	174	sábado, 23 de junio de 2018	37105	1.166
483	175	domingo, 24 de junio de 2018	25540	1.694
484	176	lunes, 25 de junio de 2018	52387	0.826
485	177	martes, 26 de junio de 2018	50482	0.857
486	178	miércoles, 27 de junio de 2018	50756	0.853
487	179	jueves, 28 de junio de 2018	50667	0.854
488	180	viernes, 29 de junio de 2018	50909	0.850
489	181	sábado, 30 de junio de 2018	35220	1.229
490	182	domingo, 1 de julio de 2018	20123	2.151
491	183	lunes, 2 de julio de 2018	49597	0.873
492	184	martes, 3 de julio de 2018	51584	0.839
493	185	miércoles, 4 de julio de 2018	50462	0.858
494	186	jueves, 5 de julio de 2018	50880	0.851
495	187	viernes, 6 de julio de 2018	48941	0.884

496	188	sábado, 7 de julio de 2018	35000	1.237
497	189	domingo, 8 de julio de 2018	20406	2.121
498	190	lunes, 9 de julio de 2018	49609	0.873
499	191	martes, 10 de julio de 2018	49949	0.867
500	192	miércoles, 11 de julio de 2018	50407	0.859
501	193	jueves, 12 de julio de 2018	48875	0.886
502	194	viernes, 13 de julio de 2018	48061	0.901
503	195	sábado, 14 de julio de 2018	34643	1.250
504	196	domingo, 15 de julio de 2018	21064	2.055
505	197	lunes, 16 de julio de 2018	48062	0.901
506	198	martes, 17 de julio de 2018	49730	0.871
507	199	miércoles, 18 de julio de 2018	49409	0.876
508	200	jueves, 19 de julio de 2018	49592	0.873
509	201	viernes, 20 de julio de 2018	48117	0.900
510	202	sábado, 21 de julio de 2018	34570	1.253
511	203	domingo, 22 de julio de 2018	22184	1.952
512	204	lunes, 23 de julio de 2018	49619	0.873
513	205	martes, 24 de julio de 2018	49900	0.868
514	206	miércoles, 25 de julio de 2018	48979	0.884
515	207	jueves, 26 de julio de 2018	49581	0.873
516	208	viernes, 27 de julio de 2018	45519	0.951
517	209	sábado, 28 de julio de 2018	36589	1.184
518	210	domingo, 29 de julio de 2018	21620	2.003
519	211	lunes, 30 de julio de 2018	51131	0.847
520	212	martes, 31 de julio de 2018	50860	0.852
521	213	miércoles, 1 de agosto de 2018	52096	0.831
522	214	jueves, 2 de agosto de 2018	52120	0.831
523	215	viernes, 3 de agosto de 2018	50923	0.851
524	216	sábado, 4 de agosto de 2018	36167	1.198
525	217	domingo, 5 de agosto de 2018	20499	2.113
526	218	lunes, 6 de agosto de 2018	55640	0.779
527	219	martes, 7 de agosto de 2018	55672	0.778
528	220	miércoles, 8 de agosto de 2018	55474	0.781
529	221	jueves, 9 de agosto de 2018	52286	0.829
530	222	viernes, 10 de agosto de 2018	54956	0.788
531	223	sábado, 11 de agosto de 2018	35071	1.235
532	224	domingo, 12 de agosto de 2018	20503	2.113
533	225	lunes, 13 de agosto de 2018	55095	0.786
534	226	martes, 14 de agosto de 2018	56367	0.769
535	227	miércoles, 15 de agosto de 2018	53853	0.805
536	228	jueves, 16 de agosto de 2018	54840	0.790
537	229	viernes, 17 de agosto de 2018	53877	0.804
538	230	sábado, 18 de agosto de 2018	36080	1.201
539	231	domingo, 19 de agosto de 2018	22104	1.960
540	232	lunes, 20 de agosto de 2018	54290	0.798
541	233	martes, 21 de agosto de 2018	54290	0.798
542	234	miércoles, 22 de agosto de 2018	54754	0.791
543	235	jueves, 23 de agosto de 2018	54462	0.796
544	236	viernes, 24 de agosto de 2018	52767	0.821
545	237	sábado, 25 de agosto de 2018	36115	1.200
546	238	domingo, 26 de agosto de 2018	22507	1.926
547	239	lunes, 27 de agosto de 2018	54871	0.790
548	240	martes, 28 de agosto de 2018	52858	0.820
549	241	miércoles, 29 de agosto de 2018	54541	0.795
550	242	jueves, 30 de agosto de 2018	52107	0.832
551	243	viernes, 31 de agosto de 2018	53089	0.816
552	244	sábado, 1 de septiembre de 2018	35566	1.219
553	245	domingo, 2 de septiembre de 2018	20821	2.082
554	246	lunes, 3 de septiembre de 2018	55009	0.788
555	247	martes, 4 de septiembre de 2018	54741	0.792
556	248	miércoles, 5 de septiembre de 2018	54186	0.800
557	249	jueves, 6 de septiembre de 2018	53411	0.812
558	250	viernes, 7 de septiembre de 2018	53477	0.811
559	251	sábado, 8 de septiembre de 2018	36870	1.176
560	252	domingo, 9 de septiembre de 2018	21955	1.975
561	253	lunes, 10 de septiembre de 2018	55649	0.779
562	254	martes, 11 de septiembre de 2018	53873	0.805
563	255	miércoles, 12 de septiembre de 2018	54599	0.794
564	256	jueves, 13 de septiembre de 2018	52348	0.828
565	257	viernes, 14 de septiembre de 2018	51498	0.842
566	258	sábado, 15 de septiembre de 2018	29947	1.448



Análisis de la afluencia de un corredor de servicio de transporte concesionado en la Ciudad de México | 256

567	259	domingo, 16 de septiembre de 2018	17883	2.425
568	260	lunes, 17 de septiembre de 2018	56237	0.771
569	261	martes, 18 de septiembre de 2018	55118	0.787
570	262	miércoles, 19 de septiembre de 2018	54833	0.791
571	263	jueves, 20 de septiembre de 2018	55704	0.778
572	264	viernes, 21 de septiembre de 2018	55409	0.783
573	265	sábado, 22 de septiembre de 2018	35137	1.234
574	266	domingo, 23 de septiembre de 2018	22890	1.895
575	267	lunes, 24 de septiembre de 2018	56143	0.772
576	268	martes, 25 de septiembre de 2018	54865	0.790
577	269	miércoles, 26 de septiembre de 2018	54260	0.799
578	270	jueves, 27 de septiembre de 2018	55536	0.781
579	271	viernes, 28 de septiembre de 2018	54277	0.799
580	272	sábado, 29 de septiembre de 2018	35692	1.215
581	273	domingo, 30 de septiembre de 2018	22013	1.970
582	274	lunes, 1 de octubre de 2018	53832	0.806
583	275	martes, 2 de octubre de 2018	55117	0.787
584	276	miércoles, 3 de octubre de 2018	55708	0.779
585	277	jueves, 4 de octubre de 2018	54908	0.790
586	278	viernes, 5 de octubre de 2018	54776	0.792
587	279	sábado, 6 de octubre de 2018	36548	1.187
588	280	domingo, 7 de octubre de 2018	23884	1.816
589	281	lunes, 8 de octubre de 2018	55495	0.782
590	282	martes, 9 de octubre de 2018	55708	0.779
591	283	miércoles, 10 de octubre de 2018	54593	0.795
592	284	jueves, 11 de octubre de 2018	55144	0.787
593	285	viernes, 12 de octubre de 2018	50956	0.851
594	286	sábado, 13 de octubre de 2018	37920	1.144
595	287	domingo, 14 de octubre de 2018	22706	1.911
596	288	lunes, 15 de octubre de 2018	53924	0.805
597	289	martes, 16 de octubre de 2018	55104	0.787
598	290	miércoles, 17 de octubre de 2018	54204	0.800
599	291	jueves, 18 de octubre de 2018	54723	0.793
600	292	viernes, 19 de octubre de 2018	54004	0.804
601	293	sábado, 20 de octubre de 2018	37441	1.159
602	294	domingo, 21 de octubre de 2018	21883	1.983
603	295	lunes, 22 de octubre de 2018	54645	0.794
604	296	martes, 23 de octubre de 2018	55422	0.783
605	297	miércoles, 24 de octubre de 2018	55219	0.786
606	298	jueves, 25 de octubre de 2018	55844	0.777
607	299	viernes, 26 de octubre de 2018	52956	0.820
608	300	sábado, 27 de octubre de 2018	35055	1.238
609	301	domingo, 28 de octubre de 2018	23465	1.850
610	302	lunes, 29 de octubre de 2018	54837	0.791
611	303	martes, 30 de octubre de 2018	53236	0.815
612	304	miércoles, 31 de octubre de 2018	49214	0.882
613	305	jueves, 1 de noviembre de 2018	41842	1.037
614	306	viernes, 2 de noviembre de 2018	26551	1.635
615	307	sábado, 3 de noviembre de 2018	29087	1.492
616	308	domingo, 4 de noviembre de 2018	17321	2.506
617	309	lunes, 5 de noviembre de 2018	54365	0.798
618	310	martes, 6 de noviembre de 2018	53192	0.816
619	311	miércoles, 7 de noviembre de 2018	55018	0.789
620	312	jueves, 8 de noviembre de 2018	53236	0.815
621	313	viernes, 9 de noviembre de 2018	51060	0.850
622	314	sábado, 10 de noviembre de 2018	37131	1.169
623	315	domingo, 11 de noviembre de 2018	22565	1.924
624	316	lunes, 12 de noviembre de 2018	54099	0.803
625	317	martes, 13 de noviembre de 2018	54782	0.793
626	318	miércoles, 14 de noviembre de 2018	49650	0.874
627	319	jueves, 15 de noviembre de 2018	52285	0.830
628	320	viernes, 16 de noviembre de 2018	51657	0.841
629	321	sábado, 17 de noviembre de 2018	36664	1.184
630	322	domingo, 18 de noviembre de 2018	22256	1.951
631	323	lunes, 19 de noviembre de 2018	24299	1.787
632	324	martes, 20 de noviembre de 2018	56251	0.772
633	325	miércoles, 21 de noviembre de 2018	53239	0.816
634	326	jueves, 22 de noviembre de 2018	52863	0.821
635	327	viernes, 23 de noviembre de 2018	51569	0.842
636	328	sábado, 24 de noviembre de 2018	37402	1.161
637	329	domingo, 25 de noviembre de 2018	22168	1.959

638	330	lunes, 26 de noviembre de 2018	53935	0.805
639	331	martes, 27 de noviembre de 2018	53708	0.809
640	332	miércoles, 28 de noviembre de 2018	52149	0.833
641	333	jueves, 29 de noviembre de 2018	53018	0.819
642	334	viernes, 30 de noviembre de 2018	50500	0.860
643	335	sábado, 1 de diciembre de 2018	28814	1.507
644	336	domingo, 2 de diciembre de 2018	23075	1.882
645	337	lunes, 3 de diciembre de 2018	52725	0.824
646	338	martes, 4 de diciembre de 2018	51799	0.839
647	339	miércoles, 5 de diciembre de 2018	52026	0.835
648	340	jueves, 6 de diciembre de 2018	50270	0.864
649	341	viernes, 7 de diciembre de 2018	48060	0.904
650	342	sábado, 8 de diciembre de 2018	35460	1.225
651	343	domingo, 9 de diciembre de 2018	21719	2.000
652	344	lunes, 10 de diciembre de 2018	52079	0.834
653	345	martes, 11 de diciembre de 2018	44464	0.977
654	346	miércoles, 12 de diciembre de 2018	46467	0.935
655	347	jueves, 13 de diciembre de 2018	52537	0.827
656	348	viernes, 14 de diciembre de 2018	47845	0.908
657	349	sábado, 15 de diciembre de 2018	34030	1.277
658	350	domingo, 16 de diciembre de 2018	21344	2.036
659	351	lunes, 17 de diciembre de 2018	46315	0.938
660	352	martes, 18 de diciembre de 2018	47250	0.920
661	353	miércoles, 19 de diciembre de 2018	47830	0.908
662	354	jueves, 20 de diciembre de 2018	45617	0.953
663	355	viernes, 21 de diciembre de 2018	42681	1.018
664	356	sábado, 22 de diciembre de 2018	30993	1.402
665	357	domingo, 23 de diciembre de 2018	20925	2.077
666	358	lunes, 24 de diciembre de 2018	24983	1.740
667	359	martes, 25 de diciembre de 2018	11490	3.782
668	360	miércoles, 26 de diciembre de 2018	36837	1.180
669	361	jueves, 27 de diciembre de 2018	37361	1.163
670	362	viernes, 28 de diciembre de 2018	37635	1.155
671	363	sábado, 29 de diciembre de 2018	25700	1.691
672	364	domingo, 30 de diciembre de 2018	18118	2.399
673	365	lunes, 31 de diciembre de 2018	20640	2.106
674	1	martes, 1 de enero de 2019	10307	4.217
675	2	miércoles, 2 de enero de 2019	37570	1.157
676	3	jueves, 3 de enero de 2019	38703	1.123
677	4	viernes, 4 de enero de 2019	40978	1.061
678	5	sábado, 5 de enero de 2019	26301	1.653
679	6	domingo, 6 de enero de 2019	17496	2.485
680	7	lunes, 7 de enero de 2019	48759	0.892
681	8	martes, 8 de enero de 2019	45412	0.957
682	9	miércoles, 9 de enero de 2019	47576	0.914
683	10	jueves, 10 de enero de 2019	48788	0.891
684	11	viernes, 11 de enero de 2019	49414	0.880
685	12	sábado, 12 de enero de 2019	32612	1.333
686	13	domingo, 13 de enero de 2019	20526	2.118
687	14	lunes, 14 de enero de 2019	50395	0.863
688	15	martes, 15 de enero de 2019	51613	0.842
689	16	miércoles, 16 de enero de 2019	51216	0.849
690	17	jueves, 17 de enero de 2019	51498	0.844
691	18	viernes, 18 de enero de 2019	50162	0.867
692	19	sábado, 19 de enero de 2019	33493	1.298
693	20	domingo, 20 de enero de 2019	20562	2.115
694	21	lunes, 21 de enero de 2019	52815	0.823
695	22	martes, 22 de enero de 2019	52823	0.823
696	23	miércoles, 23 de enero de 2019	53409	0.814
697	24	jueves, 24 de enero de 2019	51613	0.843
698	25	viernes, 25 de enero de 2019	51311	0.848
699	26	sábado, 26 de enero de 2019	33611	1.294
700	27	domingo, 27 de enero de 2019	20794	2.092
701	28	lunes, 28 de enero de 2019	52996	0.821
702	29	martes, 29 de enero de 2019	51486	0.845
703	30	miércoles, 30 de enero de 2019	52398	0.830
704	31	jueves, 31 de enero de 2019	51883	0.838
705	32	viernes, 1 de febrero de 2019	50038	0.869
706	33	sábado, 2 de febrero de 2019	32211	1.350
707	34	domingo, 3 de febrero de 2019	20709	2.101
708	35	lunes, 4 de febrero de 2019	20575	2.114



Análisis de la afluencia de un corredor de servicio de transporte concesionado en la Ciudad de México | 257

709	36	martes, 5 de febrero de 2019	54184	0.803
710	37	miércoles, 6 de febrero de 2019	51905	0.838
711	38	jueves, 7 de febrero de 2019	51702	0.841
712	39	viernes, 8 de febrero de 2019	50661	0.859
713	40	sábado, 9 de febrero de 2019	32462	1.340
714	41	domingo, 10 de febrero de 2019	21370	2.036
715	42	lunes, 11 de febrero de 2019	52006	0.837
716	43	martes, 12 de febrero de 2019	52546	0.828
717	44	miércoles, 13 de febrero de 2019	51961	0.837
718	45	jueves, 14 de febrero de 2019	51351	0.847
719	46	viernes, 15 de febrero de 2019	51197	0.850
720	47	sábado, 16 de febrero de 2019	34443	1.263
721	48	domingo, 17 de febrero de 2019	20811	2.091
722	49	lunes, 18 de febrero de 2019	51440	0.846
723	50	martes, 19 de febrero de 2019	50944	0.854
724	51	miércoles, 20 de febrero de 2019	51982	0.837
725	52	jueves, 21 de febrero de 2019	51738	0.841
726	53	viernes, 22 de febrero de 2019	50613	0.860
727	54	sábado, 23 de febrero de 2019	36801	1.183
728	55	domingo, 24 de febrero de 2019	18691	2.328
729	56	lunes, 25 de febrero de 2019	51250	0.849
730	57	martes, 26 de febrero de 2019	50638	0.859
731	58	miércoles, 27 de febrero de 2019	50966	0.854



ANEXO V: Pronósticos de la serie recortada.

(t)	Día	Fecha	Afluencia diaria	Pronóstico
1	58	lunes, 27 de febrero de 2017	63459	63446
2	59	martes, 28 de febrero de 2017	64773	64760
3	60	miércoles, 1 de marzo de 2017	64889	64876
4	61	jueves, 2 de marzo de 2017	63720	63706
5	62	viernes, 3 de marzo de 2017	61823	61810
6	63	sábado, 4 de marzo de 2017	42730	42722
7	64	domingo, 5 de marzo de 2017	27024	27018
8	65	lunes, 6 de marzo de 2017	63804	63791
9	66	martes, 7 de marzo de 2017	65226	65213
10	67	miércoles, 8 de marzo de 2017	63588	63575
11	68	jueves, 9 de marzo de 2017	63329	63316
12	69	viernes, 10 de marzo de 2017	62391	62378
13	70	sábado, 11 de marzo de 2017	42374	42366
14	71	domingo, 12 de marzo de 2017	26028	26022
15	72	lunes, 13 de marzo de 2017	63651	63638
16	73	martes, 14 de marzo de 2017	63411	63399
17	74	miércoles, 15 de marzo de 2017	61304	61292
18	75	jueves, 16 de marzo de 2017	62149	62137
19	76	viernes, 17 de marzo de 2017	60419	60407
20	77	sábado, 18 de marzo de 2017	41228	41220
21	78	domingo, 19 de marzo de 2017	27116	27110
22	79	lunes, 20 de marzo de 2017	25385	25380
23	80	martes, 21 de marzo de 2017	66958	66945
24	81	miércoles, 22 de marzo de 2017	65172	65159
25	82	jueves, 23 de marzo de 2017	62960	62948
26	83	viernes, 24 de marzo de 2017	60559	60547
27	84	sábado, 25 de marzo de 2017	39822	39815
28	85	domingo, 26 de marzo de 2017	25377	25372
29	86	lunes, 27 de marzo de 2017	65456	65443
30	87	martes, 28 de marzo de 2017	65043	65030
31	88	miércoles, 29 de marzo de 2017	64546	64533
32	89	jueves, 30 de marzo de 2017	65141	65127
33	90	viernes, 31 de marzo de 2017	63084	63071
34	91	sábado, 1 de abril de 2017	39921	39914
35	92	domingo, 2 de abril de 2017	24571	24567
36	93	lunes, 3 de abril de 2017	64015	64006
37	94	martes, 4 de abril de 2017	63936	63927
38	95	miércoles, 5 de abril de 2017	63465	63456
39	96	jueves, 6 de abril de 2017	62436	62428
40	97	viernes, 7 de abril de 2017	61517	61509
41	98	sábado, 8 de abril de 2017	37885	37880
42	99	domingo, 9 de abril de 2017	26837	26833
43	100	lunes, 10 de abril de 2017	54848	54842
44	101	martes, 11 de abril de 2017	53854	53848
45	102	miércoles, 12 de abril de 2017	49734	49729
46	103	jueves, 13 de abril de 2017	29406	29405
47	104	viernes, 14 de abril de 2017	22677	22677
48	105	sábado, 15 de abril de 2017	24519	24517
49	106	domingo, 16 de abril de 2017	20537	20534
50	107	lunes, 17 de abril de 2017	54415	54408
51	108	martes, 18 de abril de 2017	58133	58124
52	109	miércoles, 19 de abril de 2017	58144	58136
53	110	jueves, 20 de abril de 2017	56650	56642
54	111	viernes, 21 de abril de 2017	57026	57017
55	112	sábado, 22 de abril de 2017	40268	40262
56	113	domingo, 23 de abril de 2017	24941	24937
57	114	lunes, 24 de abril de 2017	64433	64424
58	115	martes, 25 de abril de 2017	61605	61596
59	116	miércoles, 26 de abril de 2017	62203	62194
60	117	jueves, 27 de abril de 2017	59646	59638
61	118	viernes, 28 de abril de 2017	58454	58446
62	119	sábado, 29 de abril de 2017	37257	37252
63	120	domingo, 30 de abril de 2017	21984	21981
64	121	lunes, 1 de mayo de 2017	23967	23966
65	122	martes, 2 de mayo de 2017	61708	61696
66	123	miércoles, 3 de mayo de 2017	60709	60701
67	124	jueves, 4 de mayo de 2017	56288	56281
68	125	viernes, 5 de mayo de 2017	50996	50989
69	126	sábado, 6 de mayo de 2017	36678	36673
70	127	domingo, 7 de mayo de 2017	25466	25462
71	128	lunes, 8 de mayo de 2017	59215	59207
72	129	martes, 9 de mayo de 2017	58513	58505
73	130	miércoles, 10 de mayo de 2017	45660	45655
74	131	jueves, 11 de mayo de 2017	59226	59216
75	132	viernes, 12 de mayo de 2017	56796	56789
76	133	sábado, 13 de mayo de 2017	37667	37662
77	134	domingo, 14 de mayo de 2017	25125	25121
78	135	lunes, 15 de mayo de 2017	55727	55720
79	136	martes, 16 de mayo de 2017	61552	61544
80	137	miércoles, 17 de mayo de 2017	63011	63002
81	138	jueves, 18 de mayo de 2017	61606	61598
82	139	viernes, 19 de mayo de 2017	60923	60915
83	140	sábado, 20 de mayo de 2017	37676	37671
84	141	domingo, 21 de mayo de 2017	25567	25564
85	142	lunes, 22 de mayo de 2017	60560	60552
86	143	martes, 23 de mayo de 2017	62177	62169
87	144	miércoles, 24 de mayo de 2017	63834	63826
88	145	jueves, 25 de mayo de 2017	54929	54923
89	146	viernes, 26 de mayo de 2017	54735	54729
90	147	sábado, 27 de mayo de 2017	39043	39038
91	148	domingo, 28 de mayo de 2017	22734	22731
92	149	lunes, 29 de mayo de 2017	54298	54292
93	150	martes, 30 de mayo de 2017	55821	55814
94	151	miércoles, 31 de mayo de 2017	55722	55715
95	152	jueves, 1 de junio de 2017	55518	55511
96	153	viernes, 2 de junio de 2017	53877	53870
97	154	sábado, 3 de junio de 2017	38456	38451
98	155	domingo, 4 de junio de 2017	23911	23908
99	156	lunes, 5 de junio de 2017	56871	56864
100	157	martes, 6 de junio de 2017	57570	57563
101	158	miércoles, 7 de junio de 2017	56146	56139
102	159	jueves, 8 de junio de 2017	56220	56213
103	160	viernes, 9 de junio de 2017	54971	54964
104	161	sábado, 10 de junio de 2017	37871	37866
105	162	domingo, 11 de junio de 2017	23498	23495
106	163	lunes, 12 de junio de 2017	56404	56397
107	164	martes, 13 de junio de 2017	55515	55508
108	165	miércoles, 14 de junio de 2017	56348	56341
109	166	jueves, 15 de junio de 2017	54727	54720
110	167	viernes, 16 de junio de 2017	54217	54210
111	168	sábado, 17 de junio de 2017	39401	39396
112	169	domingo, 18 de junio de 2017	19675	19672
113	170	lunes, 19 de junio de 2017	55580	55573
114	171	martes, 20 de junio de 2017	55186	55179
115	172	miércoles, 21 de junio de 2017	55737	55730
116	173	jueves, 22 de junio de 2017	56055	56048
117	174	viernes, 23 de junio de 2017	54191	54184
118	175	sábado, 24 de junio de 2017	41143	41137
119	176	domingo, 25 de junio de 2017	26972	26968
120	177	lunes, 26 de junio de 2017	53709	53703
121	178	martes, 27 de junio de 2017	53851	53844
122	179	miércoles, 28 de junio de 2017	52370	52364
123	180	jueves, 29 de junio de 2017	53223	53216
124	181	viernes, 30 de junio de 2017	51868	51862
125	182	sábado, 1 de julio de 2017	36132	36127
126	183	domingo, 2 de julio de 2017	20877	20874
127	184	lunes, 3 de julio de 2017	55837	55830
128	185	martes, 4 de julio de 2017	53025	53018
129	186	miércoles, 5 de julio de 2017	54363	54356
130	187	jueves, 6 de julio de 2017	53390	53383
131	188	viernes, 7 de julio de 2017	52423	52416
132	189	sábado, 8 de julio de 2017	35966	35962
133	190	domingo, 9 de julio de 2017	21655	21652
134	191	lunes, 10 de julio de 2017	53152	53145
135	192	martes, 11 de julio de 2017	52513	52506
136	193	miércoles, 12 de julio de 2017	53381	53374
137	194	jueves, 13 de julio de 2017	52029	52022
138	195	viernes, 14 de julio de 2017	50979	50972
139	196	sábado, 15 de julio de 2017	36346	36341
140	197	domingo, 16 de julio de 2017	20254	20251



Análisis de la afluencia de un corredor de servicio de transporte concesionado en la Ciudad de México | 259

141	198	lunes, 17 de julio de 2017	53517	53510
142	199	martes, 18 de julio de 2017	52036	52029
143	200	miércoles, 19 de julio de 2017	52431	52424
144	201	jueves, 20 de julio de 2017	51571	51564
145	202	viernes, 21 de julio de 2017	49840	49833
146	203	sábado, 22 de julio de 2017	35070	35065
147	204	domingo, 23 de julio de 2017	20030	20028
148	205	lunes, 24 de julio de 2017	51053	51046
149	206	martes, 25 de julio de 2017	50059	50052
150	207	miércoles, 26 de julio de 2017	50196	50189
151	208	jueves, 27 de julio de 2017	50561	50554
152	209	viernes, 28 de julio de 2017	50364	50356
153	210	sábado, 29 de julio de 2017	34657	34652
154	211	domingo, 30 de julio de 2017	22049	22045
155	212	lunes, 31 de julio de 2017	52773	52766
156	213	martes, 1 de agosto de 2017	53418	53410
157	214	miércoles, 2 de agosto de 2017	53674	53666
158	215	jueves, 3 de agosto de 2017	51966	51959
159	216	viernes, 4 de agosto de 2017	51174	51166
160	217	sábado, 5 de agosto de 2017	36936	36931
161	218	domingo, 6 de agosto de 2017	24389	24385
162	219	lunes, 7 de agosto de 2017	56823	56815
163	220	martes, 8 de agosto de 2017	55870	55862
164	221	miércoles, 9 de agosto de 2017	57145	57137
165	222	jueves, 10 de agosto de 2017	50719	50712
166	223	viernes, 11 de agosto de 2017	54891	54883
167	224	sábado, 12 de agosto de 2017	34974	34969
168	225	domingo, 13 de agosto de 2017	23375	23371
169	226	lunes, 14 de agosto de 2017	59330	59321
170	227	martes, 15 de agosto de 2017	58024	58015
171	228	miércoles, 16 de agosto de 2017	58385	58376
172	229	jueves, 17 de agosto de 2017	58465	58456
173	230	viernes, 18 de agosto de 2017	54702	54693
174	231	sábado, 19 de agosto de 2017	38036	38030
175	232	domingo, 20 de agosto de 2017	23146	23142
176	233	lunes, 21 de agosto de 2017	57487	57478
177	234	martes, 22 de agosto de 2017	58478	58469
178	235	miércoles, 23 de agosto de 2017	58265	58256
179	236	jueves, 24 de agosto de 2017	58554	58544
180	237	viernes, 25 de agosto de 2017	55466	55457
181	238	sábado, 26 de agosto de 2017	38762	38756
182	239	domingo, 27 de agosto de 2017	21724	21720
183	240	lunes, 28 de agosto de 2017	54425	54417
184	241	martes, 29 de agosto de 2017	55354	55345
185	242	miércoles, 30 de agosto de 2017	53840	53831
186	243	jueves, 31 de agosto de 2017	56392	56382
187	244	viernes, 1 de septiembre de 2017	52305	52297
188	245	sábado, 2 de septiembre de 2017	37226	37220
189	246	domingo, 3 de septiembre de 2017	21647	21643
190	247	lunes, 4 de septiembre de 2017	56528	56519
191	248	martes, 5 de septiembre de 2017	57323	57313
192	249	miércoles, 6 de septiembre de 2017	49641	49633
193	250	jueves, 7 de septiembre de 2017	52307	52299
194	251	viernes, 8 de septiembre de 2017	49654	49646
195	252	sábado, 9 de septiembre de 2017	36573	36567
196	253	domingo, 10 de septiembre de 2017	22336	22332
197	254	lunes, 11 de septiembre de 2017	57524	57514
198	255	martes, 12 de septiembre de 2017	58845	58835
199	256	miércoles, 13 de septiembre de 2017	57966	57956
200	257	jueves, 14 de septiembre de 2017	56772	56762
201	258	viernes, 15 de septiembre de 2017	41630	41624
202	259	sábado, 16 de septiembre de 2017	22229	22226
203	260	domingo, 17 de septiembre de 2017	22730	22726
204	261	lunes, 18 de septiembre de 2017	60340	60329
205	262	martes, 19 de septiembre de 2017	46754	46746
206	263	miércoles, 20 de septiembre de 2017	34677	34673
207	264	jueves, 21 de septiembre de 2017	42225	42219
208	265	viernes, 22 de septiembre de 2017	45587	45579
209	266	sábado, 23 de septiembre de 2017	34414	34408
210	267	domingo, 24 de septiembre de 2017	20548	20544
211	268	lunes, 25 de septiembre de 2017	50119	50110

212	269	martes, 26 de septiembre de 2017	54335	54325
213	270	miércoles, 27 de septiembre de 2017	51349	51340
214	271	jueves, 28 de septiembre de 2017	52027	52017
215	272	viernes, 29 de septiembre de 2017	49407	49397
216	273	sábado, 30 de septiembre de 2017	34521	34514
217	274	domingo, 1 de octubre de 2017	19607	19603
218	275	lunes, 2 de octubre de 2017	54781	54770
219	276	martes, 3 de octubre de 2017	54747	54736
220	277	miércoles, 4 de octubre de 2017	53963	53952
221	278	jueves, 5 de octubre de 2017	54698	54687
222	279	viernes, 6 de octubre de 2017	54487	54476
223	280	sábado, 7 de octubre de 2017	38500	38491
224	281	domingo, 8 de octubre de 2017	22907	22902
225	282	lunes, 9 de octubre de 2017	57169	57157
226	283	martes, 10 de octubre de 2017	54622	54611
227	284	miércoles, 11 de octubre de 2017	56101	56089
228	285	jueves, 12 de octubre de 2017	54836	54824
229	286	viernes, 13 de octubre de 2017	54933	54921
230	287	sábado, 14 de octubre de 2017	38474	38465
231	288	domingo, 15 de octubre de 2017	22485	22480
232	289	lunes, 16 de octubre de 2017	56425	56412
233	290	martes, 17 de octubre de 2017	55609	55597
234	291	miércoles, 18 de octubre de 2017	56953	56940
235	292	jueves, 19 de octubre de 2017	55411	55399
236	293	viernes, 20 de octubre de 2017	54839	54827
237	294	sábado, 21 de octubre de 2017	38029	38021
238	295	domingo, 22 de octubre de 2017	23534	23528
239	296	lunes, 23 de octubre de 2017	5515	5519
240	297	martes, 24 de octubre de 2017	55366	55353
241	298	miércoles, 25 de octubre de 2017	56801	56787
242	299	jueves, 26 de octubre de 2017	55564	55551
243	300	viernes, 27 de octubre de 2017	54438	54425
244	301	sábado, 28 de octubre de 2017	36320	36311
245	302	domingo, 29 de octubre de 2017	22475	22469
246	303	lunes, 30 de octubre de 2017	55130	55117
247	304	martes, 31 de octubre de 2017	54258	54245
248	305	miércoles, 1 de noviembre de 2017	41348	41339
249	306	jueves, 2 de noviembre de 2017	35438	35430
250	307	viernes, 3 de noviembre de 2017	55443	55427
251	308	sábado, 4 de noviembre de 2017	37859	37849
252	309	domingo, 5 de noviembre de 2017	23172	23166
253	310	lunes, 6 de noviembre de 2017	56731	56718
254	311	martes, 7 de noviembre de 2017	56324	56311
255	312	miércoles, 8 de noviembre de 2017	56322	56309
256	313	jueves, 9 de noviembre de 2017	55476	55463
257	314	viernes, 10 de noviembre de 2017	55040	55027
258	315	sábado, 11 de noviembre de 2017	38716	38707
259	316	domingo, 12 de noviembre de 2017	22058	22053
260	317	lunes, 13 de noviembre de 2017	56608	56595
261	318	martes, 14 de noviembre de 2017	56545	56531
262	319	miércoles, 15 de noviembre de 2017	55465	55452
263	320	jueves, 16 de noviembre de 2017	55053	55040
264	321	viernes, 17 de noviembre de 2017	53690	53677
265	322	sábado, 18 de noviembre de 2017	37057	37048
266	323	domingo, 19 de noviembre de 2017	21533	21528
267	324	lunes, 20 de noviembre de 2017	27573	27566
268	325	martes, 21 de noviembre de 2017	55843	55830
269	326	miércoles, 22 de noviembre de 2017	54545	54532
270	327	jueves, 23 de noviembre de 2017	54430	54417
271	328	viernes, 24 de noviembre de 2017	54457	54443
272	329	sábado, 25 de noviembre de 2017	39416	39406
273	330	domingo, 26 de noviembre de 2017	21165	21160
274	331	lunes, 27 de noviembre de 2017	55502	55489
275	332	martes, 28 de noviembre de 2017	55089	55076
276	333	miércoles, 29 de noviembre de 2017	55900	55886
277	334	jueves, 30 de noviembre de 2017	53577	53564
278	335	viernes, 1 de diciembre de 2017	54147	54133
279	336	sábado, 2 de diciembre de 2017	37828	37817
280	337	domingo, 3 de diciembre de 2017	21884	21879
281	338	lunes, 4 de diciembre de 2017	56064	56050
282	339	martes, 5 de diciembre de 2017	53706	53693



Análisis de la afluencia de un corredor de servicio de transporte concesionado en la Ciudad de México | 260

283	340	miércoles, 6 de diciembre de 2017	52817	52804
284	341	jueves, 7 de diciembre de 2017	53806	53793
285	342	viernes, 8 de diciembre de 2017	52349	52336
286	343	sábado, 9 de diciembre de 2017	37000	36990
287	344	domingo, 10 de diciembre de 2017	21610	21605
288	345	lunes, 11 de diciembre de 2017	50624	50612
289	346	martes, 12 de diciembre de 2017	50624	50611
290	347	miércoles, 13 de diciembre de 2017	50624	50611
291	348	jueves, 14 de diciembre de 2017	49711	49699
292	349	viernes, 15 de diciembre de 2017	49224	49211
293	350	sábado, 16 de diciembre de 2017	35780	35771
294	351	domingo, 17 de diciembre de 2017	20070	20065
295	352	lunes, 18 de diciembre de 2017	51499	51485
296	353	martes, 19 de diciembre de 2017	46846	46834
297	354	miércoles, 20 de diciembre de 2017	47198	47186
298	355	jueves, 21 de diciembre de 2017	46890	46878
299	356	viernes, 22 de diciembre de 2017	43331	43320
300	357	sábado, 23 de diciembre de 2017	30769	30761
301	358	domingo, 24 de diciembre de 2017	15790	15786
302	359	lunes, 25 de diciembre de 2017	10078	10077
303	360	martes, 26 de diciembre de 2017	39470	39457
304	361	miércoles, 27 de diciembre de 2017	40456	40445
305	362	jueves, 28 de diciembre de 2017	40681	40671
306	363	viernes, 29 de diciembre de 2017	38569	38559
307	364	sábado, 30 de diciembre de 2017	27875	27868
308	365	domingo, 31 de diciembre de 2017	14429	14425
309	1	lunes, 1 de enero de 2018	10220	10218
310	2	martes, 2 de enero de 2018	40350	40338
311	3	miércoles, 3 de enero de 2018	44423	44412
312	4	jueves, 4 de enero de 2018	44975	44964
313	5	viernes, 5 de enero de 2018	39772	39763
314	6	sábado, 6 de enero de 2018	35715	35706
315	7	domingo, 7 de enero de 2018	21979	21973
316	8	lunes, 8 de enero de 2018	52324	52312
317	9	martes, 9 de enero de 2018	52517	52504
318	10	miércoles, 10 de enero de 2018	53225	53213
319	11	jueves, 11 de enero de 2018	52832	52820
320	12	viernes, 12 de enero de 2018	50920	50908
321	13	sábado, 13 de enero de 2018	35428	35419
322	14	domingo, 14 de enero de 2018	21057	21052
323	15	lunes, 15 de enero de 2018	54187	54175
324	16	martes, 16 de enero de 2018	54388	54375
325	17	miércoles, 17 de enero de 2018	53540	53528
326	18	jueves, 18 de enero de 2018	53105	53093
327	19	viernes, 19 de enero de 2018	53223	53210
328	20	sábado, 20 de enero de 2018	36248	36239
329	21	domingo, 21 de enero de 2018	21204	21199
330	22	lunes, 22 de enero de 2018	54978	54965
331	23	martes, 23 de enero de 2018	54809	54796
332	24	miércoles, 24 de enero de 2018	53835	53822
333	25	jueves, 25 de enero de 2018	53265	53252
334	26	viernes, 26 de enero de 2018	54219	54206
335	27	sábado, 27 de enero de 2018	35374	35366
336	28	domingo, 28 de enero de 2018	20045	20040
337	29	lunes, 29 de enero de 2018	54810	54797
338	30	martes, 30 de enero de 2018	54028	54015
339	31	miércoles, 31 de enero de 2018	52292	52280
340	32	jueves, 1 de febrero de 2018	54358	54345
341	33	viernes, 2 de febrero de 2018	53665	53652
342	34	sábado, 3 de febrero de 2018	34754	34745
343	35	domingo, 4 de febrero de 2018	20963	20958
344	36	lunes, 5 de febrero de 2018	25304	25298
345	37	martes, 6 de febrero de 2018	57593	57579
346	38	miércoles, 7 de febrero de 2018	56171	56158
347	39	jueves, 8 de febrero de 2018	55321	55308
348	40	viernes, 9 de febrero de 2018	53264	53251
349	41	sábado, 10 de febrero de 2018	38196	38187
350	42	domingo, 11 de febrero de 2018	20604	20599
351	43	lunes, 12 de febrero de 2018	57013	56999
352	44	martes, 13 de febrero de 2018	56043	56030
353	45	miércoles, 14 de febrero de 2018	55687	55673

354	46	jueves, 15 de febrero de 2018	54802	54788
355	47	viernes, 16 de febrero de 2018	53461	53448
356	48	sábado, 17 de febrero de 2018	38213	38203
357	49	domingo, 18 de febrero de 2018	21581	21576
358	50	lunes, 19 de febrero de 2018	55637	55623
359	51	martes, 20 de febrero de 2018	56038	56024
360	52	miércoles, 21 de febrero de 2018	55934	55920
361	53	jueves, 22 de febrero de 2018	56245	56231
362	54	viernes, 23 de febrero de 2018	52916	52903
363	55	sábado, 24 de febrero de 2018	40013	40003
364	56	domingo, 25 de febrero de 2018	21763	21758
365	57	lunes, 26 de febrero de 2018	56625	56611
366	58	martes, 27 de febrero de 2018	54796	54783
367	59	miércoles, 28 de febrero de 2018	57439	57425
368	60	jueves, 1 de marzo de 2018	54709	54696
369	61	viernes, 2 de marzo de 2018	53742	53729
370	62	sábado, 3 de marzo de 2018	39052	39042
371	63	domingo, 4 de marzo de 2018	21197	21192
372	64	lunes, 5 de marzo de 2018	56659	56645
373	65	martes, 6 de marzo de 2018	56837	56823
374	66	miércoles, 7 de marzo de 2018	56060	56046
375	67	jueves, 8 de marzo de 2018	55456	55442
376	68	viernes, 9 de marzo de 2018	54531	54517
377	69	sábado, 10 de marzo de 2018	38743	38733
378	70	domingo, 11 de marzo de 2018	21694	21688
379	71	lunes, 12 de marzo de 2018	56094	56079
380	72	martes, 13 de marzo de 2018	56094	56079
381	73	miércoles, 14 de marzo de 2018	55857	55842
382	74	jueves, 15 de marzo de 2018	55293	55278
383	75	viernes, 16 de marzo de 2018	54108	54094
384	76	sábado, 17 de marzo de 2018	38707	38696
385	77	domingo, 18 de marzo de 2018	21117	21112
386	78	lunes, 19 de marzo de 2018	23139	23133
387	79	martes, 20 de marzo de 2018	59522	59507
388	80	miércoles, 21 de marzo de 2018	55406	55392
389	81	jueves, 22 de marzo de 2018	55079	55065
390	82	viernes, 23 de marzo de 2018	55189	55175
391	83	sábado, 24 de marzo de 2018	36694	36684
392	84	domingo, 25 de marzo de 2018	20057	20052
393	85	lunes, 26 de marzo de 2018	50393	50381
394	86	martes, 27 de marzo de 2018	48235	48223
395	87	miércoles, 28 de marzo de 2018	46857	46845
396	88	jueves, 29 de marzo de 2018	28216	28211
397	89	viernes, 30 de marzo de 2018	19568	19566
398	90	sábado, 31 de marzo de 2018	19229	19225
399	91	domingo, 1 de abril de 2018	16318	16313
400	92	lunes, 2 de abril de 2018	52737	52721
401	93	martes, 3 de abril de 2018	52122	52107
402	94	miércoles, 4 de abril de 2018	48009	47996
403	95	jueves, 5 de abril de 2018	55997	55980
404	96	viernes, 6 de abril de 2018	50685	50670
405	97	sábado, 7 de abril de 2018	38440	38428
406	98	domingo, 8 de abril de 2018	19689	19683
407	99	lunes, 9 de abril de 2018	55331	55314
408	100	martes, 10 de abril de 2018	53565	53548
409	101	miércoles, 11 de abril de 2018	56647	56629
410	102	jueves, 12 de abril de 2018	53698	53680
411	103	viernes, 13 de abril de 2018	54325	54306
412	104	sábado, 14 de abril de 2018	36155	36144
413	105	domingo, 15 de abril de 2018	22123	22116
414	106	lunes, 16 de abril de 2018	55039	55024
415	107	martes, 17 de abril de 2018	53265	53251
416	108	miércoles, 18 de abril de 2018	55525	55510
417	109	jueves, 19 de abril de 2018	54012	53997
418	110	viernes, 20 de abril de 2018	50804	50791
419	111	sábado, 21 de abril de 2018	36401	36391
420	112	domingo, 22 de abril de 2018	20272	20266
421	113	lunes, 23 de abril de 2018	54718	54703
422	114	martes, 24 de abril de 2018	54335	54320
423	115	miércoles, 25 de abril de 2018	54872	54858
424	116	jueves, 26 de abril de 2018	54150	54136



Análisis de la afluencia de un corredor de servicio de transporte concesionado en la Ciudad de México | 261

425	117	viernes, 27 de abril de 2018	54426	54411	496	188	sábado, 7 de julio de 2018	35000	34991
426	118	sábado, 28 de abril de 2018	36411	36401	497	189	domingo, 8 de julio de 2018	20406	20400
427	119	domingo, 29 de abril de 2018	20478	20472	498	190	lunes, 9 de julio de 2018	49609	49596
428	120	lunes, 30 de abril de 2018	51297	51281	499	191	martes, 10 de julio de 2018	49949	49936
429	121	martes, 1 de mayo de 2018	24956	24952	500	192	miércoles, 11 de julio de 2018	50407	50394
430	122	miércoles, 2 de mayo de 2018	56169	56154	501	193	jueves, 12 de julio de 2018	48875	48862
431	123	jueves, 3 de mayo de 2018	53183	53169	502	194	viernes, 13 de julio de 2018	48061	48048
432	124	viernes, 4 de mayo de 2018	52013	51999	503	195	sábado, 14 de julio de 2018	34643	34633
433	125	sábado, 5 de mayo de 2018	35198	35188	504	196	domingo, 15 de julio de 2018	21064	21058
434	126	domingo, 6 de mayo de 2018	20059	20054	505	197	lunes, 16 de julio de 2018	48062	48050
435	127	lunes, 7 de mayo de 2018	53077	53063	506	198	martes, 17 de julio de 2018	49730	49717
436	128	martes, 8 de mayo de 2018	53433	53419	507	199	miércoles, 18 de julio de 2018	49409	49396
437	129	miércoles, 9 de mayo de 2018	53551	53536	508	200	jueves, 19 de julio de 2018	49592	49579
438	130	jueves, 10 de mayo de 2018	37761	37752	509	201	viernes, 20 de julio de 2018	48117	48104
439	131	viernes, 11 de mayo de 2018	54454	54440	510	202	sábado, 21 de julio de 2018	34570	34561
440	132	sábado, 12 de mayo de 2018	36441	36431	511	203	domingo, 22 de julio de 2018	22184	22177
441	133	domingo, 13 de mayo de 2018	20572	20566	512	204	lunes, 23 de julio de 2018	49619	49606
442	134	lunes, 14 de mayo de 2018	54294	54280	513	205	martes, 24 de julio de 2018	49900	49887
443	135	martes, 15 de mayo de 2018	50160	50148	514	206	miércoles, 25 de julio de 2018	48979	48966
444	136	miércoles, 16 de mayo de 2018	52881	52867	515	207	jueves, 26 de julio de 2018	49581	49568
445	137	jueves, 17 de mayo de 2018	51825	51812	516	208	viernes, 27 de julio de 2018	45519	45507
446	138	viernes, 18 de mayo de 2018	52639	52625	517	209	sábado, 28 de julio de 2018	36589	36579
447	139	sábado, 19 de mayo de 2018	34261	34251	518	210	domingo, 29 de julio de 2018	21620	21614
448	140	domingo, 20 de mayo de 2018	22785	22779	519	211	lunes, 30 de julio de 2018	51131	51118
449	141	lunes, 21 de mayo de 2018	51680	51666	520	212	martes, 31 de julio de 2018	50860	50847
450	142	martes, 22 de mayo de 2018	53862	53848	521	213	miércoles, 1 de agosto de 2018	52096	52082
451	143	miércoles, 23 de mayo de 2018	53176	53162	522	214	jueves, 2 de agosto de 2018	52120	52106
452	144	jueves, 24 de mayo de 2018	51961	51946	523	215	viernes, 3 de agosto de 2018	50923	50910
453	145	viernes, 25 de mayo de 2018	51735	51721	524	216	sábado, 4 de agosto de 2018	36167	36158
454	146	sábado, 26 de mayo de 2018	34634	34625	525	217	domingo, 5 de agosto de 2018	20499	20494
455	147	domingo, 27 de mayo de 2018	20664	20658	526	218	lunes, 6 de agosto de 2018	55640	55626
456	148	lunes, 28 de mayo de 2018	53286	53271	527	219	martes, 7 de agosto de 2018	55672	55657
457	149	martes, 29 de mayo de 2018	53490	53475	528	220	miércoles, 8 de agosto de 2018	55474	55460
458	150	miércoles, 30 de mayo de 2018	53020	53005	529	221	jueves, 9 de agosto de 2018	52286	52272
459	151	jueves, 31 de mayo de 2018	52539	52525	530	222	viernes, 10 de agosto de 2018	54956	54942
460	152	viernes, 1 de junio de 2018	52118	52104	531	223	sábado, 11 de agosto de 2018	35071	35062
461	153	sábado, 2 de junio de 2018	36627	36617	532	224	domingo, 12 de agosto de 2018	20503	20498
462	154	domingo, 3 de junio de 2018	21499	21493	533	225	lunes, 13 de agosto de 2018	55095	55082
463	155	lunes, 4 de junio de 2018	53135	53120	534	226	martes, 14 de agosto de 2018	56367	56353
464	156	martes, 5 de junio de 2018	53923	53908	535	227	miércoles, 15 de agosto de 2018	53853	53840
465	157	miércoles, 6 de junio de 2018	53124	53109	536	228	jueves, 16 de agosto de 2018	54840	54827
466	158	jueves, 7 de junio de 2018	55432	55417	537	229	viernes, 17 de agosto de 2018	53877	53863
467	159	viernes, 8 de junio de 2018	52417	52402	538	230	sábado, 18 de agosto de 2018	36080	36071
468	160	sábado, 9 de junio de 2018	35309	35299	539	231	domingo, 19 de agosto de 2018	22104	22099
469	161	domingo, 10 de junio de 2018	23024	23017	540	232	lunes, 20 de agosto de 2018	54290	54277
470	162	lunes, 11 de junio de 2018	54076	54061	541	233	martes, 21 de agosto de 2018	54290	54277
471	163	martes, 12 de junio de 2018	52056	52042	542	234	miércoles, 22 de agosto de 2018	54754	54740
472	164	miércoles, 13 de junio de 2018	50024	50011	543	235	jueves, 23 de agosto de 2018	54462	54449
473	165	jueves, 14 de junio de 2018	49398	49385	544	236	viernes, 24 de agosto de 2018	52767	52754
474	166	viernes, 15 de junio de 2018	50620	50606	545	237	sábado, 25 de agosto de 2018	36115	36106
475	167	sábado, 16 de junio de 2018	36232	36222	546	238	domingo, 26 de agosto de 2018	22507	22501
476	168	domingo, 17 de junio de 2018	17683	17678	547	239	lunes, 27 de agosto de 2018	54871	54858
477	169	lunes, 18 de junio de 2018	49460	49447	548	240	martes, 28 de agosto de 2018	52858	52845
478	170	martes, 19 de junio de 2018	52664	52649	549	241	miércoles, 29 de agosto de 2018	54541	54527
479	171	miércoles, 20 de junio de 2018	52877	52862	550	242	jueves, 30 de agosto de 2018	52107	52094
480	172	jueves, 21 de junio de 2018	51071	51057	551	243	viernes, 31 de agosto de 2018	53089	53076
481	173	viernes, 22 de junio de 2018	51514	51500	552	244	sábado, 1 de septiembre de 2018	35566	35557
482	174	sábado, 23 de junio de 2018	37105	37095	553	245	domingo, 2 de septiembre de 2018	20821	20816
483	175	domingo, 24 de junio de 2018	25540	25533	554	246	lunes, 3 de septiembre de 2018	55009	54996
484	176	lunes, 25 de junio de 2018	52387	52373	555	247	martes, 4 de septiembre de 2018	54741	54728
485	177	martes, 26 de junio de 2018	50482	50468	556	248	miércoles, 5 de septiembre de 2018	54186	54172
486	178	miércoles, 27 de junio de 2018	50756	50742	557	249	jueves, 6 de septiembre de 2018	53411	53398
487	179	jueves, 28 de junio de 2018	50667	50653	558	250	viernes, 7 de septiembre de 2018	53477	53464
488	180	viernes, 29 de junio de 2018	50909	50895	559	251	sábado, 8 de septiembre de 2018	36870	36861
489	181	sábado, 30 de junio de 2018	35220	35210	560	252	domingo, 9 de septiembre de 2018	21955	21949
490	182	domingo, 1 de julio de 2018	20123	20117	561	253	lunes, 10 de septiembre de 2018	55649	55636
491	183	lunes, 2 de julio de 2018	49597	49584	562	254	martes, 11 de septiembre de 2018	53873	53861
492	184	martes, 3 de julio de 2018	51584	51570	563	255	miércoles, 12 de septiembre de 2018	54599	54586
493	185	miércoles, 4 de julio de 2018	50462	50448	564	256	jueves, 13 de septiembre de 2018	52348	52336
494	186	jueves, 5 de julio de 2018	50880	50867	565	257	viernes, 14 de septiembre de 2018	51498	51486
495	187	viernes, 6 de julio de 2018	48941	48928	566	258	sábado, 15 de septiembre de 2018	29947	29939



Análisis de la afluencia de un corredor de servicio de transporte concesionado en la Ciudad de México | 262

567	259	domingo, 16 de septiembre de 2018	17883	17879
568	260	lunes, 17 de septiembre de 2018	56237	56224
569	261	martes, 18 de septiembre de 2018	55118	55105
570	262	miércoles, 19 de septiembre de 2018	54833	54819
571	263	jueves, 20 de septiembre de 2018	55704	55691
572	264	viernes, 21 de septiembre de 2018	55409	55396
573	265	sábado, 22 de septiembre de 2018	35137	35129
574	266	domingo, 23 de septiembre de 2018	22890	22885
575	267	lunes, 24 de septiembre de 2018	56143	56132
576	268	martes, 25 de septiembre de 2018	54865	54854
577	269	miércoles, 26 de septiembre de 2018	54260	54249
578	270	jueves, 27 de septiembre de 2018	55536	55525
579	271	viernes, 28 de septiembre de 2018	54277	54266
580	272	sábado, 29 de septiembre de 2018	35692	35685
581	273	domingo, 30 de septiembre de 2018	22013	22008
582	274	lunes, 1 de octubre de 2018	53832	53822
583	275	martes, 2 de octubre de 2018	55117	55106
584	276	miércoles, 3 de octubre de 2018	55708	55698
585	277	jueves, 4 de octubre de 2018	54908	54898
586	278	viernes, 5 de octubre de 2018	54776	54766
587	279	sábado, 6 de octubre de 2018	36548	36541
588	280	domingo, 7 de octubre de 2018	23884	23880
589	281	lunes, 8 de octubre de 2018	55495	55485
590	282	martes, 9 de octubre de 2018	55708	55698
591	283	miércoles, 10 de octubre de 2018	54593	54584
592	284	jueves, 11 de octubre de 2018	55144	55134
593	285	viernes, 12 de octubre de 2018	50956	50947
594	286	sábado, 13 de octubre de 2018	37920	37914
595	287	domingo, 14 de octubre de 2018	22706	22702
596	288	lunes, 15 de octubre de 2018	53924	53915
597	289	martes, 16 de octubre de 2018	55104	55094
598	290	miércoles, 17 de octubre de 2018	54204	54195
599	291	jueves, 18 de octubre de 2018	54723	54713
600	292	viernes, 19 de octubre de 2018	54004	53995
601	293	sábado, 20 de octubre de 2018	37441	37435
602	294	domingo, 21 de octubre de 2018	21883	21880
603	295	lunes, 22 de octubre de 2018	54645	54637
604	296	martes, 23 de octubre de 2018	55422	55419
605	297	miércoles, 24 de octubre de 2018	55219	55216
606	298	jueves, 25 de octubre de 2018	55844	55840
607	299	viernes, 26 de octubre de 2018	52956	52953
608	300	sábado, 27 de octubre de 2018	35055	35053
609	301	domingo, 28 de octubre de 2018	23465	23464
610	302	lunes, 29 de octubre de 2018	54837	54834
611	303	martes, 30 de octubre de 2018	53236	53233
612	304	miércoles, 31 de octubre de 2018	49214	49211
613	305	jueves, 1 de noviembre de 2018	41842	41840
614	306	viernes, 2 de noviembre de 2018	26551	26552
615	307	sábado, 3 de noviembre de 2018	29087	29086
616	308	domingo, 4 de noviembre de 2018	17321	17320
617	309	lunes, 5 de noviembre de 2018	54365	54362
618	310	martes, 6 de noviembre de 2018	53192	53189
619	311	miércoles, 7 de noviembre de 2018	55018	55015
620	312	jueves, 8 de noviembre de 2018	53236	53233
621	313	viernes, 9 de noviembre de 2018	51060	51057
622	314	sábado, 10 de noviembre de 2018	37131	37129
623	315	domingo, 11 de noviembre de 2018	22565	22564
624	316	lunes, 12 de noviembre de 2018	54099	54096
625	317	martes, 13 de noviembre de 2018	54782	54779
626	318	miércoles, 14 de noviembre de 2018	49650	49648
627	319	jueves, 15 de noviembre de 2018	52285	52283
628	320	viernes, 16 de noviembre de 2018	51657	51654
629	321	sábado, 17 de noviembre de 2018	36664	36662
630	322	domingo, 18 de noviembre de 2018	22256	22255
631	323	lunes, 19 de noviembre de 2018	24299	24298
632	324	martes, 20 de noviembre de 2018	56251	56248
633	325	miércoles, 21 de noviembre de 2018	53239	53237
634	326	jueves, 22 de noviembre de 2018	52863	52860
635	327	viernes, 23 de noviembre de 2018	51569	51567
636	328	sábado, 24 de noviembre de 2018	37402	37400
637	329	domingo, 25 de noviembre de 2018	22168	22167

638	330	lunes, 26 de noviembre de 2018	53935	53933
639	331	martes, 27 de noviembre de 2018	53708	53706
640	332	miércoles, 28 de noviembre de 2018	52149	52147
641	333	jueves, 29 de noviembre de 2018	53018	53016
642	334	viernes, 30 de noviembre de 2018	50500	50498
643	335	sábado, 1 de diciembre de 2018	28814	28814
644	336	domingo, 2 de diciembre de 2018	23075	23074
645	337	lunes, 3 de diciembre de 2018	52725	52723
646	338	martes, 4 de diciembre de 2018	51799	51797
647	339	miércoles, 5 de diciembre de 2018	52026	52024
648	340	jueves, 6 de diciembre de 2018	50270	50268
649	341	viernes, 7 de diciembre de 2018	48060	48058
650	342	sábado, 8 de diciembre de 2018	35460	35458
651	343	domingo, 9 de diciembre de 2018	21719	21718
652	344	lunes, 10 de diciembre de 2018	52079	52077
653	345	martes, 11 de diciembre de 2018	44464	44463
654	346	miércoles, 12 de diciembre de 2018	46467	46466
655	347	jueves, 13 de diciembre de 2018	52537	52535
656	348	viernes, 14 de diciembre de 2018	47845	47843
657	349	sábado, 15 de diciembre de 2018	34030	34029
658	350	domingo, 16 de diciembre de 2018	21344	21343
659	351	lunes, 17 de diciembre de 2018	46315	46314
660	352	martes, 18 de diciembre de 2018	47250	47249
661	353	miércoles, 19 de diciembre de 2018	47830	47829
662	354	jueves, 20 de diciembre de 2018	45617	45615
663	355	viernes, 21 de diciembre de 2018	42681	42680
664	356	sábado, 22 de diciembre de 2018	30993	30992
665	357	domingo, 23 de diciembre de 2018	20925	20924
666	358	lunes, 24 de diciembre de 2018	24983	24981
667	359	martes, 25 de diciembre de 2018	11490	11492
668	360	miércoles, 26 de diciembre de 2018	36837	36836
669	361	jueves, 27 de diciembre de 2018	37361	37361
670	362	viernes, 28 de diciembre de 2018	37635	37634
671	363	sábado, 29 de diciembre de 2018	25700	25699
672	364	domingo, 30 de diciembre de 2018	18118	18117
673	365	lunes, 31 de diciembre de 2018	20640	20639
674	1	martes, 1 de enero de 2019	10307	10309
675	2	miércoles, 2 de enero de 2019	37570	37571
676	3	jueves, 3 de enero de 2019	38703	38703
677	4	viernes, 4 de enero de 2019	40978	40978
678	5	sábado, 5 de enero de 2019	26301	26302
679	6	domingo, 6 de enero de 2019	17496	17496
680	7	lunes, 7 de enero de 2019	48759	48759
681	8	martes, 8 de enero de 2019	45412	45412
682	9	miércoles, 9 de enero de 2019	47576	47576
683	10	jueves, 10 de enero de 2019	48788	48788
684	11	viernes, 11 de enero de 2019	49414	49414
685	12	sábado, 12 de enero de 2019	32612	32612
686	13	domingo, 13 de enero de 2019	20526	20525
687	14	lunes, 14 de enero de 2019	50395	50395
688	15	martes, 15 de enero de 2019	51613	51612
689	16	miércoles, 16 de enero de 2019	51216	51216
690	17	jueves, 17 de enero de 2019	51498	51498
691	18	viernes, 18 de enero de 2019	50162	50162
692	19	sábado, 19 de enero de 2019	33493	33493
693	20	domingo, 20 de enero de 2019	20562	20562
694	21	lunes, 21 de enero de 2019	52815	52814
695	22	martes, 22 de enero de 2019	52823	52822
696	23	miércoles, 23 de enero de 2019	53409	53409
697	24	jueves, 24 de enero de 2019	51613	51612
698	25	viernes, 25 de enero de 2019	51311	51311
699	26	sábado, 26 de enero de 2019	33611	33611
700	27	domingo, 27 de enero de 2019	20794	20793
701	28	lunes, 28 de enero de 2019	52996	52996
702	29	martes, 29 de enero de 2019	51486	51486
703	30	miércoles, 30 de enero de 2019	52398	52398
704	31	jueves, 31 de enero de 2019	51883	51883
705	32	viernes, 1 de febrero de 2019	50038	50038
706	33	sábado, 2 de febrero de 2019	32211	32211
707	34	domingo, 3 de febrero de 2019	20709	20709
708	35	lunes, 4 de febrero de 2019	20575	20575



709	36	martes, 5 de febrero de 2019	54184	54184
710	37	miércoles, 6 de febrero de 2019	51905	51905
711	38	jueves, 7 de febrero de 2019	51702	51702
712	39	viernes, 8 de febrero de 2019	50661	50661
713	40	sábado, 9 de febrero de 2019	32462	32462
714	41	domingo, 10 de febrero de 2019	21370	21370
715	42	lunes, 11 de febrero de 2019	52006	52006
716	43	martes, 12 de febrero de 2019	52546	52546
717	44	miércoles, 13 de febrero de 2019	51961	51961
718	45	jueves, 14 de febrero de 2019	51351	51351
719	46	viernes, 15 de febrero de 2019	51197	51197
720	47	sábado, 16 de febrero de 2019	34443	34443
721	48	domingo, 17 de febrero de 2019	20811	20811
722	49	lunes, 18 de febrero de 2019	51440	51440
723	50	martes, 19 de febrero de 2019	50944	50944
724	51	miércoles, 20 de febrero de 2019	51982	51982
725	52	jueves, 21 de febrero de 2019	51738	51738
726	53	viernes, 22 de febrero de 2019	50613	50613
727	54	sábado, 23 de febrero de 2019	36801	36801
728	55	domingo, 24 de febrero de 2019	18691	18691
729	56	lunes, 25 de febrero de 2019	51250	51250
730	57	martes, 26 de febrero de 2019	50638	50638
731	58	miércoles, 27 de febrero de 2019	50966	50966



ANEXO VI: Errores del pronóstico de la serie recortada.

Error del Pronóstico (Et)	Error al cuadrado del pronóstico	Desviación Estándar	Desviación Absoluta de la Media	Porcentaje de Error medio Absoluto	
12.9153	166.8052	4.9310	12.9153	0.0204	%
13.4393	180.6136	5.4550	13.4393	0.0207	%
13.1569	173.1035	5.1726	13.1569	0.0203	%
13.0478	170.2445	5.0635	13.0478	0.0205	%
12.5441	157.3552	4.5599	12.5441	0.0203	%
8.4592	71.5585	0.4750	8.4592	0.0198	%
5.6731	32.1844	-2.3111	5.6731	0.0210	%
12.6522	160.0786	4.6680	12.6522	0.0198	%
13.0070	169.1810	5.0227	13.0070	0.0199	%
12.5756	158.1451	4.5913	12.5756	0.0198	%
12.5256	156.8905	4.5413	12.5256	0.0198	%
12.3109	151.5586	4.3267	12.3109	0.0197	%
8.1721	66.7826	0.1878	8.1721	0.0193	%
5.2147	27.1926	-2.7696	5.2147	0.0200	%
12.3896	153.5018	4.4053	12.3896	0.0195	%
12.2884	151.0048	4.3041	12.2884	0.0194	%
11.6947	136.7663	3.7104	11.6947	0.0191	%
11.9730	143.3530	3.9887	11.9730	0.0193	%
11.5799	134.0950	3.5957	11.5799	0.0192	%
7.7165	59.5450	-0.2677	7.7165	0.0187	%
5.4865	30.1021	-2.4977	5.4865	0.0202	%
4.7689	22.7423	-3.2154	4.7689	0.0188	%
12.7123	161.6015	4.7280	12.7123	0.0190	%
12.5824	158.3163	4.5981	12.5824	0.0193	%
11.9481	142.7559	3.9638	11.9481	0.0190	%
11.2443	126.4350	3.2601	11.2443	0.0186	%
7.3494	54.0144	-0.6348	7.3494	0.0185	%
4.9942	24.9420	-2.9901	4.9942	0.0197	%
12.8792	165.8738	4.8949	12.8792	0.0197	%
12.8167	164.2665	4.8324	12.8167	0.0197	%
12.6296	159.5067	4.6453	12.6296	0.0196	%
13.9748	195.2953	5.9905	13.9748	0.0215	%
12.9677	168.1618	4.9835	12.9677	0.0206	%
7.0546	49.7668	-0.9297	7.0546	0.0177	%
3.7494	14.0577	-4.2349	3.7494	0.0153	%
8.5756	73.5407	0.5913	8.5756	0.0134	%
8.5281	72.7289	0.5439	8.5281	0.0133	%
8.7100	75.8639	0.7257	8.7100	0.0137	%
7.5995	57.7522	-0.3848	7.5995	0.0122	%
7.8885	62.2284	-0.0958	7.8885	0.0128	%
4.1146	16.9300	-3.8697	4.1146	0.0109	%
3.6519	13.3360	-4.3324	3.6519	0.0136	%
5.8831	34.6112	-2.1011	5.8831	0.0107	%
5.9019	34.8326	-2.0823	5.9019	0.0110	%
4.7790	22.8388	-3.2053	4.7790	0.0096	%
0.8033	0.6454	-7.1809	0.8033	0.0027	%
-0.6210	0.3857	-8.6053	0.6210	0.0027	%
1.8744	3.5132	-6.1099	1.8744	0.0076	%
2.4855	6.1779	-5.4987	2.4855	0.0121	%
7.0263	49.3685	-0.9580	7.0263	0.0129	%
8.1001	65.6118	0.1158	8.1001	0.0139	%
7.8800	62.0951	-0.1042	7.8800	0.0136	%
7.7072	59.4010	-0.2771	7.7072	0.0136	%
8.1212	65.9541	0.1370	8.1212	0.0142	%
5.6683	32.1302	-2.3159	5.6683	0.0141	%
3.7190	13.8313	-4.2652	3.7190	0.0149	%
9.2910	86.3231	1.3068	9.2910	0.0144	%
8.6327	74.5227	0.6484	8.6327	0.0140	%
8.6833	75.3996	0.6990	8.6833	0.0140	%
8.1495	66.4152	0.1653	8.1495	0.0137	%
7.8457	61.5546	-0.1386	7.8457	0.0134	%
4.8378	23.4039	-3.1465	4.8378	0.0130	%
2.9661	8.7976	-5.0182	2.9661	0.0135	%
0.2489	0.0619	-7.7354	0.2489	0.0010	%
11.3559	128.9557	3.3716	11.3559	0.0184	%
7.7489	60.0460	-0.2353	7.7489	0.0128	%
7.0802	50.1299	-0.9040	7.0802	0.0126	%
6.0544	36.6558	-1.9299	6.0544	0.0119	%
4.6104	21.2560	-3.3738	4.6104	0.0126	%
3.6269	13.1547	-4.3573	3.6269	0.0142	%
7.7171	59.5539	-0.2671	7.7171	0.0130	%
7.5128	56.4425	-0.4714	7.5128	0.0128	%
4.6872	21.9696	-3.2971	4.6872	0.0103	%
9.2202	85.0130	1.2360	9.2202	0.0156	%
6.8886	47.4534	-1.0956	6.8886	0.0121	%
4.5532	20.7319	-3.4310	4.5532	0.0121	%
3.4068	11.6064	-4.5774	3.4068	0.0136	%
6.6505	44.2288	-1.3338	6.6505	0.0119	%
8.3196	69.2165	0.3354	8.3196	0.0135	%
8.2816	68.5844	0.2973	8.2816	0.0131	%
8.0180	64.2881	0.0337	8.0180	0.0130	%
7.7333	59.8045	-0.2509	7.7333	0.0127	%
4.5918	21.0844	-3.3925	4.5918	0.0122	%
3.1568	9.9655	-4.8274	3.1568	0.0123	%
7.6725	58.8668	-0.3118	7.6725	0.0127	%
7.7463	60.0048	-0.2380	7.7463	0.0125	%
8.1078	65.7372	0.1236	8.1078	0.0127	%
6.3199	39.9411	-1.6644	6.3199	0.0115	%
6.3182	39.9200	-1.6660	6.3182	0.0115	%
4.7368	22.4377	-3.2474	4.7368	0.0121	%
2.7010	7.2954	-5.2833	2.7010	0.0119	%
6.0620	36.7477	-1.9223	6.0620	0.0112	%
6.3971	40.9228	-1.5872	6.3971	0.0115	%
6.4473	41.5677	-1.5370	6.4473	0.0116	%
6.4723	41.8903	-1.5120	6.4723	0.0117	%
6.1877	38.2879	-1.7965	6.1877	0.0115	%
4.4938	20.1942	-3.4905	4.4938	0.0117	%
2.9265	8.5647	-5.0577	2.9265	0.0122	%
6.7535	45.6099	-1.2307	6.7535	0.0119	%
6.8338	46.7006	-1.1505	6.8338	0.0119	%
6.6246	43.8858	-1.3596	6.6246	0.0118	%
6.4326	41.3789	-1.5516	6.4326	0.0114	%
6.5060	42.3284	-1.4782	6.5060	0.0118	%
4.5756	20.9364	-3.4086	4.5756	0.0121	%
2.7342	7.4756	-5.2501	2.7342	0.0116	%
6.7187	45.1411	-1.2656	6.7187	0.0119	%
6.7524	45.5945	-1.2319	6.7524	0.0122	%
7.1379	50.9494	-0.8464	7.1379	0.0127	%
6.8332	46.6924	-1.1511	6.8332	0.0125	%
6.5964	43.5131	-1.3878	6.5964	0.0122	%
4.8548	23.5691	-3.1295	4.8548	0.0123	%
2.4640	6.0714	-5.5202	2.4640	0.0125	%
6.9947	48.9253	-0.9896	6.9947	0.0126	%
6.5816	43.3170	-1.4027	6.5816	0.0119	%
6.7016	44.9115	-1.2827	6.7016	0.0120	%
6.9647	48.5076	-1.0195	6.9647	0.0124	%
6.5209	42.5228	-1.4633	6.5209	0.0120	%
5.1611	26.6368	-2.8232	5.1611	0.0125	%
3.2605	10.6306	-4.7238	3.2605	0.0121	%
6.3618	40.4727	-1.6225	6.3618	0.0118	%
6.6141	43.7462	-1.3702	6.6141	0.0123	%
6.2827	39.4721	-1.7016	6.2827	0.0120	%
6.5065	42.3351	-1.4777	6.5065	0.0122	%
6.2122	38.5914	-1.7721	6.2122	0.0120	%
4.3781	19.1674	-3.6062	4.3781	0.0121	%
2.5659	6.5838	-5.4184	2.5659	0.0123	%
7.3026	53.3283	-0.6816	7.3026	0.0131	%
6.4803	41.9945	-1.5039	6.4803	0.0122	%
6.9157	47.8263	-1.0686	6.9157	0.0127	%
6.6708	44.5001	-1.3134	6.6708	0.0125	%
6.6718	44.5128	-1.3125	6.6718	0.0127	%
4.4457	19.7644	-3.5385	4.4457	0.0124	%
2.7562	7.5966	-5.2281	2.7562	0.0127	%
6.8281	46.6232	-1.1561	6.8281	0.0128	%
6.6657	44.4310	-1.3186	6.6657	0.0127	%
6.8339	46.7023	-1.1504	6.8339	0.0128	%
6.7033	44.9340	-1.2810	6.7033	0.0129	%
6.5656	43.1067	-1.4187	6.5656	0.0129	%
4.6560	21.6781	-3.3283	4.6560	0.0128	%
2.4297	5.9034	-5.5546	2.4297	0.0120	%



Análisis de la afluencia de un corredor de servicio de transporte concesionado en la Ciudad de México | 265

7.2374	52.3796	-0.7469	7.2374	0.0135	%	10.1717	103.4633	2.1874	10.1717	0.0187	%
6.7345	45.3539	-1.2497	6.7345	0.0129	%	9.4293	88.9113	1.4450	9.4293	0.0184	%
6.8788	47.3180	-1.1055	6.8788	0.0131	%	9.5791	91.7594	1.5948	9.5791	0.0184	%
6.6854	44.6949	-1.2988	6.6854	0.0130	%	9.0241	81.4344	1.0398	9.0241	0.0183	%
6.4694	41.8532	-1.5149	6.4694	0.0130	%	6.5966	43.5148	-1.3877	6.5966	0.0191	%
4.5027	20.2745	-3.4815	4.5027	0.0128	%	3.5980	12.9453	-4.3863	3.5980	0.0184	%
2.3445	5.4968	-5.6397	2.3445	0.0117	%	10.9395	119.6735	2.9553	10.9395	0.0200	%
6.7653	45.7693	-1.2190	6.7653	0.0133	%	10.8480	117.6791	2.8637	10.8480	0.0198	%
6.5436	42.8185	-1.4407	6.5436	0.0131	%	10.6142	112.6608	2.6299	10.6142	0.0197	%
6.7124	45.0568	-1.2718	6.7124	0.0134	%	10.9876	120.7284	3.0034	10.9876	0.0201	%
6.7726	45.8680	-1.2117	6.7726	0.0134	%	10.9956	120.9034	3.0113	10.9956	0.0202	%
7.1620	51.2936	-0.8223	7.1620	0.0142	%	8.0240	64.3840	0.0397	8.0240	0.0208	%
4.4053	19.4067	-3.5790	4.4053	0.0127	%	4.5729	20.9115	-3.4114	4.5729	0.0200	%
3.0005	9.0030	-4.9838	3.0005	0.0136	%	11.9047	141.7213	3.9204	11.9047	0.0208	%
7.2824	53.0332	-0.7019	7.2824	0.0138	%	11.1472	124.2606	3.1630	11.1472	0.0204	%
7.4930	56.1456	-0.4912	7.4930	0.0140	%	11.7783	138.7283	3.7940	11.7783	0.0210	%
7.4557	55.5879	-0.5285	7.4557	0.0139	%	11.3769	129.4344	3.3927	11.3769	0.0207	%
7.0866	50.2206	-0.8976	7.0866	0.0136	%	11.8793	141.1177	3.8950	11.8793	0.0216	%
7.0694	49.9771	-0.9148	7.0694	0.0138	%	8.1093	65.7613	0.1251	8.1093	0.0211	%
5.1945	26.9832	-2.7897	5.1945	0.0141	%	4.7049	22.1365	-3.2793	4.7049	0.0209	%
3.7756	14.2555	-4.2086	3.7756	0.0155	%	12.1732	148.1876	4.1890	12.1732	0.0216	%
7.9783	63.6538	-0.0059	7.9783	0.0140	%	11.8348	140.0629	3.8506	11.8348	0.0213	%
7.7914	60.7056	-0.1929	7.7914	0.0139	%	12.3943	153.6198	4.4101	12.3943	0.0218	%
8.1676	66.7094	0.1833	8.1676	0.0143	%	11.8912	141.4014	3.9070	11.8912	0.0215	%
6.9806	48.7284	-1.0037	6.9806	0.0138	%	11.8335	140.0313	3.8492	11.8335	0.0216	%
7.7872	60.6408	-0.1970	7.7872	0.0142	%	8.2402	67.9017	0.2560	8.2402	0.0217	%
4.9907	24.9067	-2.9936	4.9907	0.0143	%	5.2464	27.5249	-2.7378	5.2464	0.0223	%
3.6458	13.2916	-4.3385	3.6458	0.0156	%	-4.1387	17.1285	-12.1229	4.1387	0.0750	%
8.9311	79.7646	0.9468	8.9311	0.0151	%	12.5373	157.1828	4.5530	12.5373	0.0226	%
8.5020	72.2835	0.5177	8.5020	0.0147	%	13.0842	171.1963	5.0999	13.0842	0.0230	%
8.8748	78.7623	0.8906	8.8748	0.0152	%	12.6598	160.2714	4.6756	12.6598	0.0228	%
8.8047	77.5232	0.8205	8.8047	0.0151	%	12.6365	159.6811	4.6522	12.6365	0.0232	%
8.0024	64.0382	0.0181	8.0024	0.0146	%	8.4854	72.0018	0.5011	8.4854	0.0234	%
5.7316	32.8513	-2.2527	5.7316	0.0151	%	5.0896	25.9043	-2.8946	5.0896	0.0226	%
3.4831	12.1322	-4.5011	3.4831	0.0150	%	12.8375	164.8023	4.8533	12.8375	0.0233	%
8.7395	76.3795	0.7553	8.7395	0.0152	%	12.7606	162.8342	4.7764	12.7606	0.0235	%
9.0040	81.0724	1.0198	9.0040	0.0154	%	8.8882	79.0007	0.9040	8.8882	0.0215	%
8.9179	79.5284	0.9336	8.9179	0.0153	%	7.7474	60.0228	-0.2368	7.7474	0.0219	%
9.0362	81.6533	1.0520	9.0362	0.0154	%	15.8218	250.3291	7.8375	15.8218	0.0285	%
8.4564	71.5110	0.4722	8.4564	0.0152	%	9.5258	90.7403	1.5415	9.5258	0.0252	%
6.0022	36.0261	-1.9821	6.0022	0.0155	%	5.8269	33.9524	-2.1574	5.8269	0.0251	%
3.1450	9.8907	-4.8393	3.1450	0.0145	%	12.9895	168.7272	5.0052	12.9895	0.0229	%
8.1036	65.6682	0.1193	8.1036	0.0149	%	13.0064	169.1673	5.0222	13.0064	0.0231	%
8.5926	73.8330	0.6084	8.5926	0.0155	%	12.8503	165.1298	4.8660	12.8503	0.0228	%
8.0756	65.2161	0.0914	8.0756	0.0150	%	12.7955	163.7253	4.8113	12.7955	0.0231	%
9.0162	81.2921	1.0320	9.0162	0.0160	%	12.9007	166.4282	4.9164	12.9007	0.0234	%
7.9017	62.4364	-0.0826	7.9017	0.0151	%	8.9646	80.3636	0.9803	8.9646	0.0232	%
5.8858	34.6429	-2.0984	5.8858	0.0158	%	4.9811	24.8110	-3.0032	4.9811	0.0226	%
3.4200	11.6963	-4.5643	3.4200	0.0158	%	13.2322	175.0916	5.2480	13.2322	0.0234	%
8.9013	79.2326	0.9170	8.9013	0.0157	%	13.1760	173.6059	5.1917	13.1760	0.0233	%
9.1699	84.0879	1.1857	9.1699	0.0160	%	13.3629	178.5666	5.3786	13.3629	0.0241	%
7.2907	53.1550	-0.6935	7.2907	0.0147	%	12.9617	168.0046	4.9774	12.9617	0.0235	%
8.1492	66.4103	0.1650	8.1492	0.0156	%	12.6020	158.8116	4.6178	12.6020	0.0235	%
7.5181	56.5212	-0.4662	7.5181	0.0151	%	8.6215	74.3311	0.6373	8.6215	0.0233	%
5.8528	34.2547	-2.1315	5.8528	0.0160	%	4.9353	24.3567	-3.0490	4.9353	0.0229	%
3.6544	13.3546	-4.3299	3.6544	0.0164	%	6.7701	45.8345	-1.2141	6.7701	0.0246	%
9.5473	91.1501	1.5630	9.5473	0.0166	%	13.0027	169.0690	5.0184	13.0027	0.0233	%
10.1045	102.1012	2.1203	10.1045	0.0172	%	12.9300	167.1852	4.9457	12.9300	0.0237	%
9.8074	96.1859	1.8232	9.8074	0.0169	%	12.9717	168.2656	4.9875	12.9717	0.0238	%
9.7365	94.7993	1.7522	9.7365	0.0172	%	13.1478	172.8657	5.1636	13.1478	0.0241	%
5.8269	33.9524	-2.1574	5.8269	0.0140	%	9.5274	90.7721	1.5432	9.5274	0.0242	%
2.9243	8.5518	-5.0599	2.9243	0.0132	%	4.9194	24.2000	-3.0649	4.9194	0.0232	%
4.3454	18.8827	-3.6388	4.3454	0.0191	%	13.4014	179.5979	5.4172	13.4014	0.0241	%
10.5912	112.1734	2.6069	10.5912	0.0176	%	13.3254	177.5664	5.3411	13.3254	0.0242	%
7.0616	49.8663	-0.9227	7.0616	0.0151	%	13.7957	190.3216	5.8114	13.7957	0.0247	%
3.8749	15.0145	-4.1094	3.8749	0.0112	%	12.9400	167.4440	4.9558	12.9400	0.0242	%
6.0779	36.9414	-1.9063	6.0779	0.0144	%	13.4311	180.3955	5.4469	13.4311	0.0248	%
7.2090	51.9702	-0.7752	7.2090	0.0158	%	10.0090	100.1803	2.0247	10.0090	0.0265	%
6.2176	38.6586	-1.7667	6.2176	0.0181	%	5.1235	26.2505	-2.8607	5.1235	0.0234	%
3.5454	12.5698	-4.4389	3.5454	0.0173	%	13.8470	191.7393	5.8627	13.8470	0.0247	%
8.7199	76.0359	0.7356	8.7199	0.0174	%	13.1590	173.1595	5.1747	13.1590	0.0245	%



Análisis de la afluencia de un corredor de servicio de transporte concesionado en la Ciudad de México | 266

12.8692	165.6160	4.8849	12.8692	0.0244	%	13.2090	174.4773	5.2247	13.2090	0.0241	%
13.4261	180.2610	5.4419	13.4261	0.0250	%	12.7958	163.7337	4.8116	12.7958	0.0239	%
13.1620	173.2392	5.1778	13.1620	0.0251	%	9.3780	87.9465	1.3937	9.3780	0.0245	%
9.1614	83.9319	1.1772	9.1614	0.0248	%	5.1616	26.6426	-2.8226	5.1616	0.0239	%
5.2641	27.7104	-2.7202	5.2641	0.0244	%	13.5594	183.8587	5.5752	13.5594	0.0244	%
12.2677	150.4960	4.2834	12.2677	0.0242	%	13.7520	189.1180	5.7678	13.7520	0.0245	%
13.0818	171.1341	5.0976	13.0818	0.0258	%	13.6167	185.4137	5.6324	13.6167	0.0243	%
12.8688	165.6052	4.8845	12.8688	0.0254	%	13.7580	189.2819	5.7737	13.7580	0.0245	%
11.9599	143.0384	3.9756	11.9599	0.0241	%	12.7615	162.8560	4.7772	12.7615	0.0241	%
12.3364	152.1871	4.3522	12.3364	0.0251	%	9.8159	96.3510	1.8316	9.8159	0.0245	%
9.0674	82.2184	1.0832	9.0674	0.0253	%	5.4695	29.9149	-2.5148	5.4695	0.0251	%
4.8724	23.7402	-3.1119	4.8724	0.0243	%	13.6532	186.4102	5.6690	13.6532	0.0241	%
13.4221	180.1525	5.4378	13.4221	0.0261	%	12.9600	167.9607	4.9757	12.9600	0.0237	%
11.7020	136.9369	3.7177	11.7020	0.0250	%	13.9039	193.3172	5.9196	13.9039	0.0242	%
11.8211	139.7384	3.8368	11.8211	0.0250	%	13.1180	172.0814	5.1337	13.1180	0.0240	%
11.9874	143.6987	4.0032	11.9874	0.0256	%	13.0039	169.1006	5.0196	13.0039	0.0242	%
11.0583	122.2867	3.0741	11.0583	0.0255	%	9.6663	93.4378	1.6821	9.6663	0.0248	%
7.8118	61.0249	-0.1724	7.8118	0.0254	%	4.9289	24.2939	-3.0554	4.9289	0.0233	%
3.5160	12.3622	-4.4683	3.5160	0.0223	%	13.9973	195.9241	6.0130	13.9973	0.0247	%
1.0446	1.0911	-6.9397	1.0446	0.0104	%	13.9741	195.2749	5.9898	13.9741	0.0246	%
12.5912	158.5380	4.6069	12.5912	0.0319	%	13.8921	192.9916	5.9079	13.8921	0.0248	%
10.1647	103.3202	2.1804	10.1647	0.0251	%	13.7457	188.9442	5.7614	13.7457	0.0248	%
10.1913	103.8634	2.2071	10.1913	0.0251	%	13.5487	183.5664	5.5644	13.5487	0.0248	%
9.4500	89.3025	1.4657	9.4500	0.0245	%	9.8202	96.4368	1.8360	9.8202	0.0253	%
6.9985	48.9787	-0.9858	6.9985	0.0251	%	5.3117	28.2140	-2.6726	5.3117	0.0245	%
3.1410	9.8656	-4.8433	3.1410	0.0218	%	14.1148	199.2267	6.1305	14.1148	0.0252	%
1.4343	2.0572	-6.5500	1.4343	0.0140	%	14.1744	200.9131	6.1901	14.1744	0.0253	%
12.2843	150.9052	4.3001	12.2843	0.0304	%	14.3054	204.6434	6.3211	14.3054	0.0256	%
10.6171	112.7225	2.6328	10.6171	0.0239	%	14.0575	197.6144	6.0733	14.0575	0.0254	%
10.6475	113.3701	2.6633	10.6475	0.0237	%	13.8221	191.0512	5.8379	13.8221	0.0255	%
8.7296	76.2057	0.7453	8.7296	0.0219	%	10.0741	101.4883	2.0899	10.0741	0.0260	%
8.8929	79.0832	0.9086	8.8929	0.0249	%	5.1058	26.0691	-2.8785	5.1058	0.0242	%
5.2939	28.0252	-2.6904	5.2939	0.0241	%	6.0061	36.0734	-1.9782	6.0061	0.0260	%
11.8397	140.1775	3.8554	11.8397	0.0226	%	15.3315	235.0546	7.3472	15.3315	0.0258	%
12.2384	149.7793	4.2542	12.2384	0.0233	%	14.0657	197.8434	6.0814	14.0657	0.0254	%
12.2233	149.4102	4.2391	12.2233	0.0230	%	14.1959	201.5241	6.2117	14.1959	0.0258	%
11.9709	143.3025	3.9866	11.9709	0.0227	%	14.4785	209.6280	6.4943	14.4785	0.0262	%
11.3120	127.9620	3.3278	11.3120	0.0222	%	9.6754	93.6128	1.6911	9.6754	0.0264	%
8.0687	65.1040	0.0844	8.0687	0.0228	%	4.9880	24.8800	-2.9963	4.9880	0.0249	%
4.6868	21.9658	-3.2975	4.6868	0.0223	%	12.4776	155.6905	4.4933	12.4776	0.0248	%
12.3396	152.2645	4.3553	12.3396	0.0228	%	11.8355	140.0798	3.8513	11.8355	0.0245	%
12.2980	151.2413	4.3138	12.2980	0.0226	%	11.4914	132.0522	3.5071	11.4914	0.0245	%
12.0916	146.2074	4.1074	12.0916	0.0226	%	4.6453	21.5792	-3.3389	4.6453	0.0165	%
11.9542	142.9028	3.9699	11.9542	0.0225	%	1.7041	2.9040	-6.2801	1.7041	0.0087	%
12.1606	147.8813	4.1764	12.1606	0.0228	%	3.8365	14.7189	-4.1477	3.8365	0.0200	%
8.3619	69.9219	0.3777	8.3619	0.0231	%	4.1766	17.4436	-3.8077	4.1766	0.0256	%
4.8004	23.0439	-3.1839	4.8004	0.0226	%	15.0048	225.1426	7.0205	15.0048	0.0285	%
12.5344	157.1105	4.5501	12.5344	0.0228	%	14.8463	220.4118	6.8620	14.8463	0.0285	%
12.5121	156.5517	4.5278	12.5121	0.0228	%	13.3557	178.3754	5.3715	13.3557	0.0278	%
12.1736	148.1972	4.1894	12.1736	0.0226	%	16.6842	278.3640	8.7000	16.6842	0.0298	%
12.2166	149.2447	4.2323	12.2166	0.0229	%	14.7071	216.2976	6.7228	14.7071	0.0290	%
12.5936	158.5990	4.6093	12.5936	0.0232	%	11.9341	142.4235	3.9499	11.9341	0.0310	%
8.2191	67.5543	0.2349	8.2191	0.0232	%	5.4707	29.9289	-2.5135	5.4707	0.0278	%
4.4940	20.1964	-3.4902	4.4940	0.0224	%	17.2390	297.1827	9.2547	17.2390	0.0312	%
12.7482	162.5164	4.7639	12.7482	0.0233	%	16.5818	274.9547	8.5975	16.5818	0.0310	%
12.6769	160.7041	4.6926	12.6769	0.0235	%	18.0687	326.4786	10.0845	18.0687	0.0319	%
12.0436	145.0488	4.0594	12.0436	0.0230	%	18.1981	331.1698	10.2138	18.1981	0.0339	%
12.8316	164.6502	4.8473	12.8316	0.0236	%	18.1086	327.9225	10.1244	18.1086	0.0333	%
12.8127	164.1662	4.8285	12.8127	0.0239	%	10.9405	119.6945	2.9562	10.9405	0.0303	%
8.3262	69.3264	0.3420	8.3262	0.0240	%	6.1425	37.7299	-1.8418	6.1425	0.0278	%
4.9011	24.0210	-3.0831	4.9011	0.0234	%	14.9230	222.6947	6.9387	14.9230	0.0271	%
6.3663	40.5300	-1.6179	6.3663	0.0252	%	13.9464	194.5010	5.9621	13.9464	0.0262	%
13.7072	187.8880	5.7230	13.7072	0.0238	%	14.7529	217.6477	6.7686	14.7529	0.0266	%
13.4822	181.7696	5.4979	13.4822	0.0240	%	14.3307	205.3693	6.3464	14.3307	0.0265	%
13.2315	175.0739	5.2473	13.2315	0.0239	%	13.1598	173.1811	5.1756	13.1598	0.0259	%
12.6698	160.5232	4.6855	12.6698	0.0238	%	9.4975	90.2019	1.5132	9.4975	0.0261	%
9.4787	89.8450	1.4944	9.4787	0.0248	%	5.0858	25.8652	-2.8985	5.0858	0.0251	%
4.7195	22.2733	-3.2648	4.7195	0.0229	%	14.0528	197.4820	6.0686	14.0528	0.0257	%
13.8416	191.5892	5.8573	13.8416	0.0243	%	14.2100	201.9251	6.2258	14.2100	0.0262	%
13.4695	181.4277	5.4852	13.4695	0.0240	%	14.3868	206.9805	6.4026	14.3868	0.0262	%
13.4275	180.2966	5.4432	13.4275	0.0241	%	14.3765	206.6824	6.3922	14.3765	0.0265	%



Análisis de la afluencia de un corredor de servicio de transporte concesionado en la Ciudad de México | 267

14.5909	212.8931	6.6066	14.5909	0.0268	%	9.3287	87.0253	1.3445	9.3287	0.0267	%
9.9137	98.2805	1.9294	9.9137	0.0272	%	5.3715	28.8529	-2.6128	5.3715	0.0263	%
5.4807	30.0380	-2.5036	5.4807	0.0268	%	13.0074	169.1919	5.0231	13.0074	0.0262	%
15.8630	251.6362	7.8788	15.8630	0.0309	%	13.1725	173.5140	5.1882	13.1725	0.0264	%
3.2383	10.4867	-4.7459	3.2383	0.0130	%	13.2457	175.4473	5.2614	13.2457	0.0263	%
14.5410	211.4393	6.5567	14.5410	0.0259	%	12.8094	164.0800	4.8251	12.8094	0.0262	%
13.8713	192.4117	5.8870	13.8713	0.0261	%	12.6021	158.8118	4.6178	12.6021	0.0262	%
13.8871	192.8523	5.9029	13.8871	0.0267	%	9.1080	82.9555	1.1237	9.1080	0.0263	%
9.1854	84.3712	1.2011	9.1854	0.0261	%	5.6775	32.2336	-2.3068	5.6775	0.0270	%
4.8475	23.4981	-3.1368	4.8475	0.0242	%	12.2996	151.2795	4.3153	12.2996	0.0256	%
13.6071	185.1545	5.6229	13.6071	0.0256	%	13.0132	169.3443	5.0290	13.0132	0.0262	%
13.8129	190.7959	5.8286	13.8129	0.0259	%	12.8508	165.1418	4.8665	12.8508	0.0260	%
14.8895	221.6968	6.9052	14.8895	0.0278	%	12.9721	168.2748	4.9878	12.9721	0.0262	%
8.1322	66.1322	0.1479	8.1322	0.0215	%	12.5794	158.2421	4.5952	12.5794	0.0261	%
14.3590	206.1795	6.3747	14.3590	0.0264	%	9.0791	82.4293	1.0948	9.0791	0.0263	%
9.6252	92.6443	1.6409	9.6252	0.0264	%	6.0027	36.0320	-1.9816	6.0027	0.0271	%
5.1047	26.0579	-2.8796	5.1047	0.0248	%	12.8237	164.4475	4.8394	12.8237	0.0258	%
14.4244	208.0644	6.4402	14.4244	0.0266	%	12.9687	168.1869	4.9844	12.9687	0.0260	%
12.4662	155.4057	4.4819	12.4662	0.0249	%	12.6000	158.7604	4.6158	12.6000	0.0257	%
13.3761	178.9188	5.3918	13.3761	0.0253	%	12.7429	162.3803	4.7586	12.7429	0.0257	%
13.1800	173.7119	5.1957	13.1800	0.0254	%	11.3477	128.7706	3.3635	11.3477	0.0249	%
13.5832	184.5036	5.5989	13.5832	0.0258	%	9.5954	92.0717	1.6111	9.5954	0.0262	%
9.0329	81.5925	1.0486	9.0329	0.0264	%	5.5104	30.3644	-2.4739	5.5104	0.0255	%
5.9714	35.6573	-2.0129	5.9714	0.0262	%	12.9453	167.5808	4.9610	12.9453	0.0253	%
13.3556	178.3710	5.3713	13.3556	0.0258	%	12.7734	163.1599	4.7891	12.7734	0.0251	%
14.0494	197.3855	6.0651	14.0494	0.0261	%	13.1480	172.8686	5.1637	13.1480	0.0252	%
13.7079	187.9069	5.7237	13.7079	0.0258	%	13.2607	175.8457	5.2764	13.2607	0.0254	%
14.0732	198.0558	6.0890	14.0732	0.0271	%	12.8735	165.7264	4.8892	12.8735	0.0253	%
13.9992	195.9773	6.0149	13.9992	0.0271	%	9.0635	82.1472	1.0792	9.0635	0.0251	%
9.1686	84.0629	1.1843	9.1686	0.0265	%	4.8411	23.4363	-3.1432	4.8411	0.0236	%
5.5276	30.5547	-2.4566	5.5276	0.0268	%	13.9592	194.8579	5.9749	13.9592	0.0251	%
14.6206	213.7612	6.6363	14.6206	0.0274	%	14.0059	196.1659	6.0217	14.0059	0.0252	%
14.5371	211.3277	6.5529	14.5371	0.0272	%	13.7874	190.0923	5.8031	13.7874	0.0249	%
14.3594	206.1930	6.3752	14.3594	0.0271	%	13.2121	174.5588	5.2278	13.2121	0.0253	%
14.1912	201.3901	6.2069	14.1912	0.0270	%	13.6877	187.3541	5.7035	13.6877	0.0249	%
14.1642	200.6242	6.1799	14.1642	0.0272	%	8.7047	75.7723	0.7205	8.7047	0.0248	%
9.8894	97.8010	1.9052	9.8894	0.0270	%	4.8320	23.3483	-3.1523	4.8320	0.0236	%
5.6894	32.3694	-2.2949	5.6894	0.0265	%	13.2975	176.8245	5.3133	13.2975	0.0241	%
14.2635	203.4468	6.2792	14.2635	0.0268	%	13.8140	190.8253	5.8297	13.8140	0.0245	%
14.4837	209.7766	6.4994	14.4837	0.0269	%	12.9269	167.1059	4.9427	12.9269	0.0240	%
14.3108	204.7991	6.3265	14.3108	0.0269	%	13.2425	175.3649	5.2583	13.2425	0.0241	%
15.1125	228.3870	7.1282	15.1125	0.0273	%	13.2173	174.6968	5.2330	13.2173	0.0245	%
14.1079	199.0333	6.1237	14.1079	0.0269	%	8.7104	75.8713	0.7262	8.7104	0.0241	%
9.4242	88.8159	1.4400	9.4242	0.0267	%	5.3412	28.5279	-2.6431	5.3412	0.0242	%
6.2412	38.9520	-1.7431	6.2412	0.0271	%	13.0438	170.1412	5.0596	13.0438	0.0240	%
14.5271	211.0369	6.5428	14.5271	0.0269	%	12.9473	167.6334	4.9631	12.9473	0.0238	%
13.8664	192.2783	5.8822	13.8664	0.0266	%	13.1098	171.8659	5.1255	13.1098	0.0239	%
13.0736	170.9188	5.0893	13.0736	0.0261	%	12.9781	168.4316	4.9939	12.9781	0.0238	%
13.0099	169.2578	5.0257	13.0099	0.0263	%	12.6695	160.5166	4.6853	12.6695	0.0240	%
13.4998	182.2458	5.5156	13.4998	0.0267	%	8.5928	73.8360	0.6085	8.5928	0.0238	%
9.6117	92.3846	1.6274	9.6117	0.0265	%	5.5452	30.7491	-2.4391	5.5452	0.0246	%
4.6562	21.6803	-3.3281	4.6562	0.0263	%	13.3251	177.5582	5.3408	13.3251	0.0243	%
12.9963	168.9030	5.0120	12.9963	0.0263	%	12.5457	157.3947	4.5614	12.5457	0.0237	%
14.1888	201.3210	6.2045	14.1888	0.0269	%	13.1815	173.7511	5.1972	13.1815	0.0242	%
14.2023	201.7052	6.2180	14.2023	0.0269	%	12.1372	147.3127	4.1530	12.1372	0.0233	%
13.5229	182.8693	5.5387	13.5229	0.0265	%	12.7740	163.1763	4.7898	12.7740	0.0241	%
13.8419	191.5995	5.8577	13.8419	0.0269	%	8.3419	69.5871	0.3576	8.3419	0.0235	%
9.7875	95.7944	1.8032	9.7875	0.0264	%	4.8858	23.8708	-3.0985	4.8858	0.0235	%
6.8546	46.9849	-1.1297	6.8546	0.0268	%	12.9324	167.2457	4.9481	12.9324	0.0235	%
14.1776	201.0048	6.1934	14.1776	0.0271	%	12.7469	162.4845	4.7627	12.7469	0.0233	%
13.4626	181.2423	5.4784	13.4626	0.0267	%	13.1511	172.9516	5.1668	13.1511	0.0243	%
13.6722	186.9299	5.6880	13.6722	0.0269	%	12.5871	158.4341	4.6028	12.5871	0.0236	%
13.5457	183.4865	5.5615	13.5457	0.0267	%	12.7465	162.4734	4.7622	12.7465	0.0238	%
13.7239	188.3457	5.7396	13.7239	0.0270	%	8.5339	72.8267	0.5496	8.5339	0.0231	%
9.4506	89.3129	1.4663	9.4506	0.0268	%	5.0131	25.1307	-2.9712	5.0131	0.0228	%
5.3687	28.8234	-2.6155	5.3687	0.0267	%	12.5900	158.5088	4.6058	12.5900	0.0226	%
12.8530	165.1986	4.8687	12.8530	0.0259	%	11.9014	141.6424	3.9171	11.9014	0.0221	%
13.8019	190.4922	5.8176	13.8019	0.0268	%	12.1984	148.8015	4.2142	12.1984	0.0223	%
13.2712	176.1240	5.2869	13.2712	0.0263	%	11.5837	134.1817	3.5994	11.5837	0.0221	%
13.4948	182.1102	5.5106	13.4948	0.0265	%	12.4923	156.0580	4.5081	12.4923	0.0243	%
12.8774	165.8265	4.8931	12.8774	0.0263	%	7.2869	53.0994	-0.6973	7.2869	0.0243	%



Análisis de la afluencia de un corredor de servicio de transporte concesionado en la Ciudad de México | 268

3.5166	12.3666	-4.4677	3.5166	0.0197	%	1.9745	3.8985	-6.0098	1.9745	0.0037	%
12.0661	145.5902	4.0818	12.0661	0.0215	%	1.9483	3.7960	-6.0359	1.9483	0.0036	%
12.7801	163.3319	4.7959	12.7801	0.0232	%	1.6625	2.7640	-6.3217	1.6625	0.0032	%
13.3473	178.1504	5.3630	13.3473	0.0243	%	1.9478	3.7938	-6.0365	1.9478	0.0037	%
12.6447	159.8892	4.6605	12.6447	0.0227	%	1.5615	2.4382	-6.4228	1.5615	0.0031	%
12.0469	145.1275	4.0626	12.0469	0.0217	%	0.3064	0.0939	-7.6779	0.3064	0.0011	%
7.0913	50.2870	-0.8929	7.0913	0.0202	%	0.9860	0.9723	-6.9982	0.9860	0.0043	%
4.7352	22.4226	-3.2490	4.7352	0.0207	%	1.6819	2.8287	-6.3024	1.6819	0.0032	%
11.4994	132.2355	3.5151	11.4994	0.0205	%	1.7536	3.0750	-6.2307	1.7536	0.0034	%
10.6853	114.1763	2.7011	10.6853	0.0195	%	1.8267	3.3368	-6.1576	1.8267	0.0035	%
10.6921	114.3212	2.7078	10.6921	0.0197	%	1.5023	2.2569	-6.4820	1.5023	0.0030	%
10.8891	118.5720	2.9048	10.8891	0.0196	%	1.3556	1.8377	-6.6286	1.3556	0.0028	%
10.6527	113.4790	2.6684	10.6527	0.0196	%	1.1361	1.2906	-6.8482	1.1361	0.0032	%
6.7680	45.8054	-1.2163	6.7680	0.0190	%	0.7721	0.5962	-7.2121	0.7721	0.0036	%
4.2722	18.2514	-3.7121	4.2722	0.0194	%	1.8965	3.5967	-6.0878	1.8965	0.0036	%
9.7792	95.6336	1.7950	9.7792	0.0182	%	0.9585	0.9187	-7.0258	0.9585	0.0022	%
10.0743	101.4918	2.0901	10.0743	0.0183	%	1.2171	1.4814	-6.7672	1.2171	0.0026	%
10.2286	104.6233	2.2443	10.2286	0.0184	%	1.9902	3.9609	-5.9941	1.9902	0.0038	%
9.8848	97.7096	1.9006	9.8848	0.0180	%	1.4192	2.0142	-6.5650	1.4192	0.0030	%
9.8085	96.2061	1.8242	9.8085	0.0179	%	0.9277	0.8606	-7.0566	0.9277	0.0027	%
6.3337	40.1157	-1.6506	6.3337	0.0173	%	0.7664	0.5874	-7.2178	0.7664	0.0036	%
4.3082	18.5603	-3.6761	4.3082	0.0180	%	0.9407	0.8849	-7.0436	0.9407	0.0020	%
9.6125	92.4002	1.6282	9.6125	0.0173	%	1.4412	2.0771	-6.5431	1.4412	0.0031	%
9.8317	96.6618	1.8474	9.8317	0.0176	%	1.4295	2.0436	-6.5547	1.4295	0.0030	%
9.3620	87.6462	1.3777	9.3620	0.0171	%	1.1639	1.3546	-6.8204	1.1639	0.0026	%
9.5638	91.4663	1.5795	9.5638	0.0173	%	1.1095	1.2310	-6.8747	1.1095	0.0026	%
8.4407	71.2461	0.4565	8.4407	0.0166	%	0.8404	0.7063	-7.1438	0.8404	0.0027	%
6.4695	41.8544	-1.5148	6.4695	0.0171	%	0.9303	0.8655	-7.0540	0.9303	0.0044	%
3.8985	15.1984	-4.0858	3.8985	0.0172	%	1.4600	2.1315	-6.5243	1.4600	0.0058	%
8.9559	80.2081	0.9716	8.9559	0.0166	%	-2.4798	6.1495	-10.4641	2.4798	0.0216	%
9.2893	86.2910	1.3050	9.2893	0.0169	%	0.0637	0.0041	-7.9205	0.0637	0.0002	%
8.9085	79.3617	0.9243	8.9085	0.0164	%	0.1018	0.0104	-7.8825	0.1018	0.0003	%
9.1373	83.4903	1.1530	9.1373	0.0167	%	0.3055	0.0933	-7.6788	0.3055	0.0008	%
8.9580	80.2465	0.9738	8.9580	0.0166	%	0.0677	0.0046	-7.9166	0.0677	0.0003	%
6.1789	38.1786	-1.8054	6.1789	0.0165	%	0.4628	0.2142	-7.5215	0.4628	0.0026	%
3.4883	12.1683	-4.4960	3.4883	0.0159	%	0.8360	0.6988	-7.1483	0.8360	0.0041	%
7.5800	57.4560	-0.4043	7.5800	0.0139	%	-2.7822	7.7406	-10.7665	2.7822	0.0270	%
3.0671	9.4069	-4.9172	3.0671	0.0055	%	-0.5401	0.2917	-8.5243	0.5401	0.0014	%
2.8676	8.2233	-5.1166	2.8676	0.0052	%	-0.4507	0.2031	-8.4350	0.4507	0.0012	%
3.0118	9.0709	-4.9725	3.0118	0.0054	%	0.2049	0.0420	-7.7793	0.2049	0.0005	%
2.6592	7.0714	-5.3251	2.6592	0.0050	%	-0.7568	0.5728	-8.7411	0.7568	0.0029	%
1.7134	2.9356	-6.2709	1.7134	0.0049	%	-0.3092	0.0956	-8.2935	0.3092	0.0018	%
1.2790	1.6359	-6.7053	1.2790	0.0055	%	-0.0298	0.0009	-8.0141	0.0298	0.0001	%
2.6974	7.2761	-5.2868	2.6974	0.0049	%	-0.3446	0.1187	-8.3288	0.3446	0.0008	%
2.5092	6.2963	-5.4750	2.5092	0.0047	%	-0.1722	0.0297	-8.1565	0.1722	0.0004	%
2.9650	8.7912	-5.0193	2.9650	0.0060	%	-0.0086	0.0001	-7.9929	0.0086	0.0000	%
2.3604	5.5717	-5.6238	2.3604	0.0056	%	0.2102	0.0442	-7.7741	0.2102	0.0004	%
-1.3880	1.9267	-9.3723	1.3880	0.0052	%	-0.0269	0.0007	-8.0112	0.0269	0.0001	%
0.6348	0.4030	-7.3494	0.6348	0.0022	%	0.0884	0.0078	-7.8958	0.0884	0.0004	%
0.3563	0.1270	-7.6279	0.3563	0.0021	%	-0.0137	0.0002	-7.9980	0.0137	0.0000	%
2.5622	6.5649	-5.4220	2.5622	0.0047	%	0.0794	0.0063	-7.9048	0.0794	0.0002	%
2.4149	5.8315	-5.5694	2.4149	0.0045	%	0.1044	0.0109	-7.8798	0.1044	0.0002	%
2.6366	6.9517	-5.3477	2.6366	0.0048	%	0.1506	0.0227	-7.8336	0.1506	0.0003	%
2.4346	5.9273	-5.5496	2.4346	0.0046	%	0.0014	0.0000	-7.9829	0.0014	0.0000	%
2.1610	4.6700	-5.8232	2.1610	0.0042	%	-0.0618	0.0038	-8.0460	0.0618	0.0002	%
1.6738	2.8018	-6.3104	1.6738	0.0045	%	0.0513	0.0026	-7.9329	0.0513	0.0002	%
1.1240	1.2634	-6.8603	1.1240	0.0050	%	0.0669	0.0045	-7.9174	0.0669	0.0001	%
2.3279	5.4191	-5.6564	2.3279	0.0043	%	0.0648	0.0042	-7.9195	0.0648	0.0001	%
2.3960	5.7410	-5.5882	2.3960	0.0044	%	0.1768	0.0313	-7.8075	0.1768	0.0003	%
1.7980	3.2328	-6.1863	1.7980	0.0036	%	0.0335	0.0011	-7.9508	0.0335	0.0001	%
2.1836	4.7680	-5.8007	2.1836	0.0042	%	-0.0923	0.0085	-8.0766	0.0923	0.0002	%
2.1954	4.8200	-5.7888	2.1954	0.0043	%	-0.0533	0.0028	-8.0376	0.0533	0.0002	%
1.6242	2.6381	-6.3600	1.6242	0.0044	%	0.1141	0.0130	-7.8702	0.1141	0.0005	%
1.0439	1.0898	-6.9403	1.0439	0.0047	%	-0.0781	0.0061	-8.0623	0.0781	0.0001	%
0.7767	0.6033	-7.2075	0.7767	0.0032	%	-0.1595	0.0254	-8.1438	0.1595	0.0003	%
2.4755	6.1279	-5.5088	2.4755	0.0044	%	0.0489	0.0024	-7.9354	0.0489	0.0001	%
2.1513	4.6280	-5.8330	2.1513	0.0040	%	-0.2050	0.0420	-8.1892	0.2050	0.0004	%
2.0790	4.3221	-5.9053	2.0790	0.0039	%	-0.3116	0.0971	-8.2959	0.3116	0.0006	%
1.8867	3.5597	-6.0976	1.8867	0.0037	%	-0.2163	0.0468	-8.2005	0.2163	0.0007	%
1.3633	1.8586	-6.6210	1.3633	0.0036	%	-0.0220	0.0005	-8.0063	0.0220	0.0001	%
0.9770	0.9546	-7.0072	0.9770	0.0044	%	-0.4118	0.1696	-8.3961	0.4118	0.0020	%



-0.2373	0.0563	-8.2216	0.2373	0.0004	%
-0.3129	0.0979	-8.2972	0.3129	0.0006	%
-0.2505	0.0627	-8.2347	0.2505	0.0005	%
-0.1647	0.0271	-8.1490	0.1647	0.0003	%
-0.4536	0.2057	-8.4379	0.4536	0.0014	%
0.1033	0.0107	-7.8810	0.1033	0.0005	%
-0.3786	0.1433	-8.3629	0.3786	0.0007	%
-0.2347	0.0551	-8.2190	0.2347	0.0004	%
-0.2535	0.0643	-8.2377	0.2535	0.0005	%
-0.2273	0.0517	-8.2115	0.2273	0.0004	%
-0.1268	0.0161	-8.1110	0.1268	0.0002	%
-0.2811	0.0790	-8.2654	0.2811	0.0008	%
-0.0338	0.0011	-8.0181	0.0338	0.0002	%
-0.2900	0.0841	-8.2743	0.2900	0.0006	%
-0.3565	0.1271	-8.3407	0.3565	0.0007	%
-0.2393	0.0573	-8.2236	0.2393	0.0005	%
-0.2792	0.0779	-8.2634	0.2792	0.0005	%
-0.0837	0.0070	-8.0679	0.0837	0.0002	%
-0.1963	0.0386	-8.1806	0.1963	0.0005	%
-0.2173	0.0472	-8.2015	0.2173	0.0012	%
-0.2857	0.0816	-8.2699	0.2857	0.0006	%
-0.1627	0.0265	-8.1469	0.1627	0.0003	%
-0.3464	0.1200	-8.3307	0.3464	0.0007	%



ANEXO VII: Datos de unidades diarias en servicio (1 enero 2017 al 27 de febrero 2019)

#	FECHA	CAMIONES
731	domingo, 1 de enero de 2017	30
732	lunes, 2 de enero de 2017	12
733	martes, 3 de enero de 2017	57
734	miércoles, 4 de enero de 2017	60
735	jueves, 5 de enero de 2017	60
736	viernes, 6 de enero de 2017	65
737	sábado, 7 de enero de 2017	60
738	domingo, 8 de enero de 2017	46
739	lunes, 9 de enero de 2017	25
740	martes, 10 de enero de 2017	72
741	miércoles, 11 de enero de 2017	73
742	jueves, 12 de enero de 2017	73
743	viernes, 13 de enero de 2017	74
744	sábado, 14 de enero de 2017	72
745	domingo, 15 de enero de 2017	47
746	lunes, 16 de enero de 2017	23
747	martes, 17 de enero de 2017	72
748	miércoles, 18 de enero de 2017	72
749	jueves, 19 de enero de 2017	74
750	viernes, 20 de enero de 2017	74
751	sábado, 21 de enero de 2017	74
752	domingo, 22 de enero de 2017	55
753	lunes, 23 de enero de 2017	28
754	martes, 24 de enero de 2017	74
755	miércoles, 25 de enero de 2017	74
756	jueves, 26 de enero de 2017	73
757	viernes, 27 de enero de 2017	74
758	sábado, 28 de enero de 2017	72
759	domingo, 29 de enero de 2017	50
760	lunes, 30 de enero de 2017	31
761	martes, 31 de enero de 2017	72
762	miércoles, 1 de febrero de 2017	74
763	jueves, 2 de febrero de 2017	73
764	viernes, 3 de febrero de 2017	75
765	sábado, 4 de febrero de 2017	74
766	domingo, 5 de febrero de 2017	52
767	lunes, 6 de febrero de 2017	30
768	martes, 7 de febrero de 2017	35
769	miércoles, 8 de febrero de 2017	74
770	jueves, 9 de febrero de 2017	74
771	viernes, 10 de febrero de 2017	74
772	sábado, 11 de febrero de 2017	72
773	domingo, 12 de febrero de 2017	49
774	lunes, 13 de febrero de 2017	32
775	martes, 14 de febrero de 2017	67
776	miércoles, 15 de febrero de 2017	70
777	jueves, 16 de febrero de 2017	74
778	viernes, 17 de febrero de 2017	71
779	sábado, 18 de febrero de 2017	72
780	domingo, 19 de febrero de 2017	50
781	lunes, 20 de febrero de 2017	27
782	martes, 21 de febrero de 2017	69
783	miércoles, 22 de febrero de 2017	71
784	jueves, 23 de febrero de 2017	74
785	viernes, 24 de febrero de 2017	73
786	sábado, 25 de febrero de 2017	67
787	domingo, 26 de febrero de 2017	50
788	lunes, 27 de febrero de 2017	30
789	martes, 28 de febrero de 2017	74
790	miércoles, 1 de marzo de 2017	74
791	jueves, 2 de marzo de 2017	74
792	viernes, 3 de marzo de 2017	74
793	sábado, 4 de marzo de 2017	74
794	domingo, 5 de marzo de 2017	51
795	lunes, 6 de marzo de 2017	30
796	martes, 7 de marzo de 2017	74
797	miércoles, 8 de marzo de 2017	74
798	jueves, 9 de marzo de 2017	74
799	viernes, 10 de marzo de 2017	75

800	sábado, 11 de marzo de 2017	74
801	domingo, 12 de marzo de 2017	49
802	lunes, 13 de marzo de 2017	31
803	martes, 14 de marzo de 2017	75
804	miércoles, 15 de marzo de 2017	74
805	jueves, 16 de marzo de 2017	75
806	viernes, 17 de marzo de 2017	74
807	sábado, 18 de marzo de 2017	70
808	domingo, 19 de marzo de 2017	49
809	lunes, 20 de marzo de 2017	32
810	martes, 21 de marzo de 2017	36
811	miércoles, 22 de marzo de 2017	72
812	jueves, 23 de marzo de 2017	75
813	viernes, 24 de marzo de 2017	74
814	sábado, 25 de marzo de 2017	74
815	domingo, 26 de marzo de 2017	50
816	lunes, 27 de marzo de 2017	30
817	martes, 28 de marzo de 2017	74
818	miércoles, 29 de marzo de 2017	74
819	jueves, 30 de marzo de 2017	74
820	viernes, 31 de marzo de 2017	75
821	sábado, 1 de abril de 2017	69
822	domingo, 2 de abril de 2017	47
823	lunes, 3 de abril de 2017	28
824	martes, 4 de abril de 2017	73
825	miércoles, 5 de abril de 2017	74
826	jueves, 6 de abril de 2017	72
827	viernes, 7 de abril de 2017	74
828	sábado, 8 de abril de 2017	73
829	domingo, 9 de abril de 2017	46
830	lunes, 10 de abril de 2017	31
831	martes, 11 de abril de 2017	66
832	miércoles, 12 de abril de 2017	65
833	jueves, 13 de abril de 2017	63
834	viernes, 14 de abril de 2017	40
835	sábado, 15 de abril de 2017	35
836	domingo, 16 de abril de 2017	32
837	lunes, 17 de abril de 2017	29
838	martes, 18 de abril de 2017	65
839	miércoles, 19 de abril de 2017	64
840	jueves, 20 de abril de 2017	66
841	viernes, 21 de abril de 2017	62
842	sábado, 22 de abril de 2017	64
843	domingo, 23 de abril de 2017	51
844	lunes, 24 de abril de 2017	30
845	martes, 25 de abril de 2017	72
846	miércoles, 26 de abril de 2017	73
847	jueves, 27 de abril de 2017	71
848	viernes, 28 de abril de 2017	70
849	sábado, 29 de abril de 2017	71
850	domingo, 30 de abril de 2017	47
851	lunes, 1 de mayo de 2017	30
852	martes, 2 de mayo de 2017	35
853	miércoles, 3 de mayo de 2017	70
854	jueves, 4 de mayo de 2017	74
855	viernes, 5 de mayo de 2017	72
856	sábado, 6 de mayo de 2017	72
857	domingo, 7 de mayo de 2017	50
858	lunes, 8 de mayo de 2017	27
859	martes, 9 de mayo de 2017	70
860	miércoles, 10 de mayo de 2017	71
861	jueves, 11 de mayo de 2017	71
862	viernes, 12 de mayo de 2017	71
863	sábado, 13 de mayo de 2017	71
864	domingo, 14 de mayo de 2017	50
865	lunes, 15 de mayo de 2017	30
866	martes, 16 de mayo de 2017	69
867	miércoles, 17 de mayo de 2017	65
868	jueves, 18 de mayo de 2017	75
869	viernes, 19 de mayo de 2017	69
870	sábado, 20 de mayo de 2017	71



Análisis de la afluencia de un corredor de servicio de transporte concesionado en la Ciudad de México | 271

871	domingo, 21 de mayo de 2017	53
872	lunes, 22 de mayo de 2017	32
873	martes, 23 de mayo de 2017	72
874	miércoles, 24 de mayo de 2017	74
875	jueves, 25 de mayo de 2017	73
876	viernes, 26 de mayo de 2017	67
877	sábado, 27 de mayo de 2017	71
878	domingo, 28 de mayo de 2017	49
879	lunes, 29 de mayo de 2017	25
880	martes, 30 de mayo de 2017	75
881	miércoles, 31 de mayo de 2017	70
882	jueves, 1 de junio de 2017	70
883	viernes, 2 de junio de 2017	71
884	sábado, 3 de junio de 2017	72
885	domingo, 4 de junio de 2017	52
886	lunes, 5 de junio de 2017	36
887	martes, 6 de junio de 2017	72
888	miércoles, 7 de junio de 2017	73
889	jueves, 8 de junio de 2017	73
890	viernes, 9 de junio de 2017	71
891	sábado, 10 de junio de 2017	68
892	domingo, 11 de junio de 2017	52
893	lunes, 12 de junio de 2017	30
894	martes, 13 de junio de 2017	67
895	miércoles, 14 de junio de 2017	72
896	jueves, 15 de junio de 2017	74
897	viernes, 16 de junio de 2017	72
898	sábado, 17 de junio de 2017	67
899	domingo, 18 de junio de 2017	54
900	lunes, 19 de junio de 2017	24
901	martes, 20 de junio de 2017	70
902	miércoles, 21 de junio de 2017	72
903	jueves, 22 de junio de 2017	71
904	viernes, 23 de junio de 2017	75
905	sábado, 24 de junio de 2017	73
906	domingo, 25 de junio de 2017	55
907	lunes, 26 de junio de 2017	34
908	martes, 27 de junio de 2017	71
909	miércoles, 28 de junio de 2017	73
910	jueves, 29 de junio de 2017	72
911	viernes, 30 de junio de 2017	72
912	sábado, 1 de julio de 2017	67
913	domingo, 2 de julio de 2017	49
914	lunes, 3 de julio de 2017	32
915	martes, 4 de julio de 2017	70
916	miércoles, 5 de julio de 2017	69
917	jueves, 6 de julio de 2017	70
918	viernes, 7 de julio de 2017	70
919	sábado, 8 de julio de 2017	70
920	domingo, 9 de julio de 2017	52
921	lunes, 10 de julio de 2017	35
922	martes, 11 de julio de 2017	68
923	miércoles, 12 de julio de 2017	70
924	jueves, 13 de julio de 2017	70
925	viernes, 14 de julio de 2017	70
926	sábado, 15 de julio de 2017	70
927	domingo, 16 de julio de 2017	50
928	lunes, 17 de julio de 2017	29
929	martes, 18 de julio de 2017	70
930	miércoles, 19 de julio de 2017	70
931	jueves, 20 de julio de 2017	70
932	viernes, 21 de julio de 2017	69
933	sábado, 22 de julio de 2017	68
934	domingo, 23 de julio de 2017	46
935	lunes, 24 de julio de 2017	26
936	martes, 25 de julio de 2017	69
937	miércoles, 26 de julio de 2017	69
938	jueves, 27 de julio de 2017	70
939	viernes, 28 de julio de 2017	69
940	sábado, 29 de julio de 2017	68
941	domingo, 30 de julio de 2017	53

942	lunes, 31 de julio de 2017	26
943	martes, 1 de agosto de 2017	68
944	miércoles, 2 de agosto de 2017	68
945	jueves, 3 de agosto de 2017	68
946	viernes, 4 de agosto de 2017	68
947	sábado, 5 de agosto de 2017	68
948	domingo, 6 de agosto de 2017	54
949	lunes, 7 de agosto de 2017	31
950	martes, 8 de agosto de 2017	70
951	miércoles, 9 de agosto de 2017	69
952	jueves, 10 de agosto de 2017	73
953	viernes, 11 de agosto de 2017	66
954	sábado, 12 de agosto de 2017	73
955	domingo, 13 de agosto de 2017	51
956	lunes, 14 de agosto de 2017	25
957	martes, 15 de agosto de 2017	72
958	miércoles, 16 de agosto de 2017	71
959	jueves, 17 de agosto de 2017	69
960	viernes, 18 de agosto de 2017	73
961	sábado, 19 de agosto de 2017	67
962	domingo, 20 de agosto de 2017	56
963	lunes, 21 de agosto de 2017	32
964	martes, 22 de agosto de 2017	73
965	miércoles, 23 de agosto de 2017	75
966	jueves, 24 de agosto de 2017	75
967	viernes, 25 de agosto de 2017	74
968	sábado, 26 de agosto de 2017	75
969	domingo, 27 de agosto de 2017	55
970	lunes, 28 de agosto de 2017	29
971	martes, 29 de agosto de 2017	66
972	miércoles, 30 de agosto de 2017	72
973	jueves, 31 de agosto de 2017	73
974	viernes, 1 de septiembre de 2017	76
975	sábado, 2 de septiembre de 2017	71
976	domingo, 3 de septiembre de 2017	50
977	lunes, 4 de septiembre de 2017	31
978	martes, 5 de septiembre de 2017	75
979	miércoles, 6 de septiembre de 2017	73
980	jueves, 7 de septiembre de 2017	75
981	viernes, 8 de septiembre de 2017	69
982	sábado, 9 de septiembre de 2017	73
983	domingo, 10 de septiembre de 2017	53
984	lunes, 11 de septiembre de 2017	31
985	martes, 12 de septiembre de 2017	74
986	miércoles, 13 de septiembre de 2017	74
987	jueves, 14 de septiembre de 2017	75
988	viernes, 15 de septiembre de 2017	75
989	sábado, 16 de septiembre de 2017	74
990	domingo, 17 de septiembre de 2017	33
991	lunes, 18 de septiembre de 2017	26
992	martes, 19 de septiembre de 2017	75
993	miércoles, 20 de septiembre de 2017	73
994	jueves, 21 de septiembre de 2017	67
995	viernes, 22 de septiembre de 2017	66
996	sábado, 23 de septiembre de 2017	65
997	domingo, 24 de septiembre de 2017	55
998	lunes, 25 de septiembre de 2017	31
999	martes, 26 de septiembre de 2017	71
1000	miércoles, 27 de septiembre de 2017	75
1001	jueves, 28 de septiembre de 2017	70
1002	viernes, 29 de septiembre de 2017	71
1003	sábado, 30 de septiembre de 2017	73
1004	domingo, 1 de octubre de 2017	52
1005	lunes, 2 de octubre de 2017	28
1006	martes, 3 de octubre de 2017	69
1007	miércoles, 4 de octubre de 2017	74
1008	jueves, 5 de octubre de 2017	73
1009	viernes, 6 de octubre de 2017	75
1010	sábado, 7 de octubre de 2017	75
1011	domingo, 8 de octubre de 2017	55
1012	lunes, 9 de octubre de 2017	33



1013	martes, 10 de octubre de 2017	72
1014	miércoles, 11 de octubre de 2017	68
1015	jueves, 12 de octubre de 2017	73
1016	viernes, 13 de octubre de 2017	73
1017	sábado, 14 de octubre de 2017	73
1018	domingo, 15 de octubre de 2017	50
1019	lunes, 16 de octubre de 2017	27
1020	martes, 17 de octubre de 2017	72
1021	miércoles, 18 de octubre de 2017	70
1022	jueves, 19 de octubre de 2017	73
1023	viernes, 20 de octubre de 2017	70
1024	sábado, 21 de octubre de 2017	73
1025	domingo, 22 de octubre de 2017	51
1026	lunes, 23 de octubre de 2017	34
1027	martes, 24 de octubre de 2017	73
1028	miércoles, 25 de octubre de 2017	72
1029	jueves, 26 de octubre de 2017	73
1030	viernes, 27 de octubre de 2017	73
1031	sábado, 28 de octubre de 2017	72
1032	domingo, 29 de octubre de 2017	47
1033	lunes, 30 de octubre de 2017	28
1034	martes, 31 de octubre de 2017	71
1035	miércoles, 1 de noviembre de 2017	72
1036	jueves, 2 de noviembre de 2017	62
1037	viernes, 3 de noviembre de 2017	53
1038	sábado, 4 de noviembre de 2017	67
1039	domingo, 5 de noviembre de 2017	55
1040	lunes, 6 de noviembre de 2017	32
1041	martes, 7 de noviembre de 2017	73
1042	miércoles, 8 de noviembre de 2017	73
1043	jueves, 9 de noviembre de 2017	73
1044	viernes, 10 de noviembre de 2017	74
1045	sábado, 11 de noviembre de 2017	73
1046	domingo, 12 de noviembre de 2017	49
1047	lunes, 13 de noviembre de 2017	26
1048	martes, 14 de noviembre de 2017	74
1049	miércoles, 15 de noviembre de 2017	73
1050	jueves, 16 de noviembre de 2017	71
1051	viernes, 17 de noviembre de 2017	72
1052	sábado, 18 de noviembre de 2017	71
1053	domingo, 19 de noviembre de 2017	50
1054	lunes, 20 de noviembre de 2017	25
1055	martes, 21 de noviembre de 2017	39
1056	miércoles, 22 de noviembre de 2017	72
1057	jueves, 23 de noviembre de 2017	72
1058	viernes, 24 de noviembre de 2017	72
1059	sábado, 25 de noviembre de 2017	70
1060	domingo, 26 de noviembre de 2017	55
1061	lunes, 27 de noviembre de 2017	24
1062	martes, 28 de noviembre de 2017	72
1063	miércoles, 29 de noviembre de 2017	70
1064	jueves, 30 de noviembre de 2017	70
1065	viernes, 1 de diciembre de 2017	69
1066	sábado, 2 de diciembre de 2017	71
1067	domingo, 3 de diciembre de 2017	51
1068	lunes, 4 de diciembre de 2017	28
1069	martes, 5 de diciembre de 2017	71
1070	miércoles, 6 de diciembre de 2017	71
1071	jueves, 7 de diciembre de 2017	73
1072	viernes, 8 de diciembre de 2017	73
1073	sábado, 9 de diciembre de 2017	70
1074	domingo, 10 de diciembre de 2017	50
1075	lunes, 11 de diciembre de 2017	24
1076	martes, 12 de diciembre de 2017	68
1077	miércoles, 13 de diciembre de 2017	65
1078	jueves, 14 de diciembre de 2017	65
1079	viernes, 15 de diciembre de 2017	65
1080	sábado, 16 de diciembre de 2017	65
1081	domingo, 17 de diciembre de 2017	43
1082	lunes, 18 de diciembre de 2017	22
1083	martes, 19 de diciembre de 2017	65

1084	miércoles, 20 de diciembre de 2017	65
1085	jueves, 21 de diciembre de 2017	63
1086	viernes, 22 de diciembre de 2017	56
1087	sábado, 23 de diciembre de 2017	55
1088	domingo, 24 de diciembre de 2017	31
1089	lunes, 25 de diciembre de 2017	21
1090	martes, 26 de diciembre de 2017	21
1091	miércoles, 27 de diciembre de 2017	51
1092	jueves, 28 de diciembre de 2017	51
1093	viernes, 29 de diciembre de 2017	50
1094	sábado, 30 de diciembre de 2017	50
1095	domingo, 31 de diciembre de 2017	44
1096	lunes, 1 de enero de 2018	22
1097	martes, 2 de enero de 2018	20
1098	miércoles, 3 de enero de 2018	54
1099	jueves, 4 de enero de 2018	60
1100	viernes, 5 de enero de 2018	60
1101	sábado, 6 de enero de 2018	63
1102	domingo, 7 de enero de 2018	40
1103	lunes, 8 de enero de 2018	25
1104	martes, 9 de enero de 2018	70
1105	miércoles, 10 de enero de 2018	70
1106	jueves, 11 de enero de 2018	69
1107	viernes, 12 de enero de 2018	73
1108	sábado, 13 de enero de 2018	63
1109	domingo, 14 de enero de 2018	51
1110	lunes, 15 de enero de 2018	28
1111	martes, 16 de enero de 2018	71
1112	miércoles, 17 de enero de 2018	70
1113	jueves, 18 de enero de 2018	70
1114	viernes, 19 de enero de 2018	72
1115	sábado, 20 de enero de 2018	69
1116	domingo, 21 de enero de 2018	52
1117	lunes, 22 de enero de 2018	32
1118	martes, 23 de enero de 2018	69
1119	miércoles, 24 de enero de 2018	73
1120	jueves, 25 de enero de 2018	71
1121	viernes, 26 de enero de 2018	73
1122	sábado, 27 de enero de 2018	68
1123	domingo, 28 de enero de 2018	51
1124	lunes, 29 de enero de 2018	28
1125	martes, 30 de enero de 2018	72
1126	miércoles, 31 de enero de 2018	73
1127	jueves, 1 de febrero de 2018	71
1128	viernes, 2 de febrero de 2018	73
1129	sábado, 3 de febrero de 2018	72
1130	domingo, 4 de febrero de 2018	51
1131	lunes, 5 de febrero de 2018	26
1132	martes, 6 de febrero de 2018	39
1133	miércoles, 7 de febrero de 2018	72
1134	jueves, 8 de febrero de 2018	73
1135	viernes, 9 de febrero de 2018	73
1136	sábado, 10 de febrero de 2018	71
1137	domingo, 11 de febrero de 2018	55
1138	lunes, 12 de febrero de 2018	29
1139	martes, 13 de febrero de 2018	71
1140	miércoles, 14 de febrero de 2018	73
1141	jueves, 15 de febrero de 2018	72
1142	viernes, 16 de febrero de 2018	70
1143	sábado, 17 de febrero de 2018	72
1144	domingo, 18 de febrero de 2018	55
1145	lunes, 19 de febrero de 2018	28
1146	martes, 20 de febrero de 2018	66
1147	miércoles, 21 de febrero de 2018	71
1148	jueves, 22 de febrero de 2018	71
1149	viernes, 23 de febrero de 2018	72
1150	sábado, 24 de febrero de 2018	70
1151	domingo, 25 de febrero de 2018	49
1152	lunes, 26 de febrero de 2018	27
1153	martes, 27 de febrero de 2018	70
1154	miércoles, 28 de febrero de 2018	71



Análisis de la afluencia de un corredor de servicio de transporte concesionado en la Ciudad de México | 273

1155	jueves, 1 de marzo de 2018	70
1156	viernes, 2 de marzo de 2018	70
1157	sábado, 3 de marzo de 2018	69
1158	domingo, 4 de marzo de 2018	52
1159	lunes, 5 de marzo de 2018	28
1160	martes, 6 de marzo de 2018	68
1161	miércoles, 7 de marzo de 2018	73
1162	jueves, 8 de marzo de 2018	73
1163	viernes, 9 de marzo de 2018	70
1164	sábado, 10 de marzo de 2018	73
1165	domingo, 11 de marzo de 2018	50
1166	lunes, 12 de marzo de 2018	29
1167	martes, 13 de marzo de 2018	71
1168	miércoles, 14 de marzo de 2018	72
1169	jueves, 15 de marzo de 2018	69
1170	viernes, 16 de marzo de 2018	72
1171	sábado, 17 de marzo de 2018	70
1172	domingo, 18 de marzo de 2018	53
1173	lunes, 19 de marzo de 2018	29
1174	martes, 20 de marzo de 2018	37
1175	miércoles, 21 de marzo de 2018	70
1176	jueves, 22 de marzo de 2018	70
1177	viernes, 23 de marzo de 2018	68
1178	sábado, 24 de marzo de 2018	70
1179	domingo, 25 de marzo de 2018	55
1180	lunes, 26 de marzo de 2018	23
1181	martes, 27 de marzo de 2018	62
1182	miércoles, 28 de marzo de 2018	60
1183	jueves, 29 de marzo de 2018	60
1184	viernes, 30 de marzo de 2018	38
1185	sábado, 31 de marzo de 2018	35
1186	domingo, 1 de abril de 2018	29
1187	lunes, 2 de abril de 2018	19
1188	martes, 3 de abril de 2018	62
1189	miércoles, 4 de abril de 2018	66
1190	jueves, 5 de abril de 2018	68
1191	viernes, 6 de abril de 2018	67
1192	sábado, 7 de abril de 2018	66
1193	domingo, 8 de abril de 2018	50
1194	lunes, 9 de abril de 2018	30
1195	martes, 10 de abril de 2018	63
1196	miércoles, 11 de abril de 2018	67
1197	jueves, 12 de abril de 2018	68
1198	viernes, 13 de abril de 2018	67
1199	sábado, 14 de abril de 2018	67
1200	domingo, 15 de abril de 2018	49
1201	lunes, 16 de abril de 2018	27
1202	martes, 17 de abril de 2018	67
1203	miércoles, 18 de abril de 2018	69
1204	jueves, 19 de abril de 2018	70
1205	viernes, 20 de abril de 2018	66
1206	sábado, 21 de abril de 2018	65
1207	domingo, 22 de abril de 2018	46
1208	lunes, 23 de abril de 2018	28
1209	martes, 24 de abril de 2018	68
1210	miércoles, 25 de abril de 2018	70
1211	jueves, 26 de abril de 2018	69
1212	viernes, 27 de abril de 2018	71
1213	sábado, 28 de abril de 2018	67
1214	domingo, 29 de abril de 2018	51
1215	lunes, 30 de abril de 2018	28
1216	martes, 1 de mayo de 2018	65
1217	miércoles, 2 de mayo de 2018	34
1218	jueves, 3 de mayo de 2018	67
1219	viernes, 4 de mayo de 2018	68
1220	sábado, 5 de mayo de 2018	64
1221	domingo, 6 de mayo de 2018	48
1222	lunes, 7 de mayo de 2018	29
1223	martes, 8 de mayo de 2018	67
1224	miércoles, 9 de mayo de 2018	70
1225	jueves, 10 de mayo de 2018	67

1226	viernes, 11 de mayo de 2018	63
1227	sábado, 12 de mayo de 2018	67
1228	domingo, 13 de mayo de 2018	52
1229	lunes, 14 de mayo de 2018	28
1230	martes, 15 de mayo de 2018	65
1231	miércoles, 16 de mayo de 2018	63
1232	jueves, 17 de mayo de 2018	65
1233	viernes, 18 de mayo de 2018	66
1234	sábado, 19 de mayo de 2018	65
1235	domingo, 20 de mayo de 2018	50
1236	lunes, 21 de mayo de 2018	29
1237	martes, 22 de mayo de 2018	63
1238	miércoles, 23 de mayo de 2018	68
1239	jueves, 24 de mayo de 2018	68
1240	viernes, 25 de mayo de 2018	65
1241	sábado, 26 de mayo de 2018	64
1242	domingo, 27 de mayo de 2018	50
1243	lunes, 28 de mayo de 2018	23
1244	martes, 29 de mayo de 2018	64
1245	miércoles, 30 de mayo de 2018	65
1246	jueves, 31 de mayo de 2018	69
1247	viernes, 1 de junio de 2018	69
1248	sábado, 2 de junio de 2018	66
1249	domingo, 3 de junio de 2018	50
1250	lunes, 4 de junio de 2018	27
1251	martes, 5 de junio de 2018	65
1252	miércoles, 6 de junio de 2018	69
1253	jueves, 7 de junio de 2018	68
1254	viernes, 8 de junio de 2018	70
1255	sábado, 9 de junio de 2018	70
1256	domingo, 10 de junio de 2018	50
1257	lunes, 11 de junio de 2018	34
1258	martes, 12 de junio de 2018	69
1259	miércoles, 13 de junio de 2018	68
1260	jueves, 14 de junio de 2018	68
1261	viernes, 15 de junio de 2018	68
1262	sábado, 16 de junio de 2018	68
1263	domingo, 17 de junio de 2018	48
1264	lunes, 18 de junio de 2018	26
1265	martes, 19 de junio de 2018	65
1266	miércoles, 20 de junio de 2018	67
1267	jueves, 21 de junio de 2018	68
1268	viernes, 22 de junio de 2018	68
1269	sábado, 23 de junio de 2018	68
1270	domingo, 24 de junio de 2018	49
1271	lunes, 25 de junio de 2018	32
1272	martes, 26 de junio de 2018	65
1273	miércoles, 27 de junio de 2018	65
1274	jueves, 28 de junio de 2018	65
1275	viernes, 29 de junio de 2018	66
1276	sábado, 30 de junio de 2018	66
1277	domingo, 1 de julio de 2018	51
1278	lunes, 2 de julio de 2018	28
1279	martes, 3 de julio de 2018	63
1280	miércoles, 4 de julio de 2018	65
1281	jueves, 5 de julio de 2018	65
1282	viernes, 6 de julio de 2018	67
1283	sábado, 7 de julio de 2018	65
1284	domingo, 8 de julio de 2018	50
1285	lunes, 9 de julio de 2018	32
1286	martes, 10 de julio de 2018	64
1287	miércoles, 11 de julio de 2018	66
1288	jueves, 12 de julio de 2018	65
1289	viernes, 13 de julio de 2018	65
1290	sábado, 14 de julio de 2018	66
1291	domingo, 15 de julio de 2018	54
1292	lunes, 16 de julio de 2018	30
1293	martes, 17 de julio de 2018	65
1294	miércoles, 18 de julio de 2018	65
1295	jueves, 19 de julio de 2018	64
1296	viernes, 20 de julio de 2018	65



1297	sábado, 21 de julio de 2018	65
1298	domingo, 22 de julio de 2018	44
1299	lunes, 23 de julio de 2018	30
1300	martes, 24 de julio de 2018	64
1301	miércoles, 25 de julio de 2018	64
1302	jueves, 26 de julio de 2018	65
1303	viernes, 27 de julio de 2018	65
1304	sábado, 28 de julio de 2018	63
1305	domingo, 29 de julio de 2018	51
1306	lunes, 30 de julio de 2018	32
1307	martes, 31 de julio de 2018	63
1308	miércoles, 1 de agosto de 2018	65
1309	jueves, 2 de agosto de 2018	65
1310	viernes, 3 de agosto de 2018	66
1311	sábado, 4 de agosto de 2018	65
1312	domingo, 5 de agosto de 2018	50
1313	lunes, 6 de agosto de 2018	34
1314	martes, 7 de agosto de 2018	67
1315	miércoles, 8 de agosto de 2018	68
1316	jueves, 9 de agosto de 2018	68
1317	viernes, 10 de agosto de 2018	66
1318	sábado, 11 de agosto de 2018	68
1319	domingo, 12 de agosto de 2018	49
1320	lunes, 13 de agosto de 2018	32
1321	martes, 14 de agosto de 2018	68
1322	miércoles, 15 de agosto de 2018	68
1323	jueves, 16 de agosto de 2018	69
1324	viernes, 17 de agosto de 2018	64
1325	sábado, 18 de agosto de 2018	66
1326	domingo, 19 de agosto de 2018	52
1327	lunes, 20 de agosto de 2018	33
1328	martes, 21 de agosto de 2018	67
1329	miércoles, 22 de agosto de 2018	67
1330	jueves, 23 de agosto de 2018	68
1331	viernes, 24 de agosto de 2018	67
1332	sábado, 25 de agosto de 2018	64
1333	domingo, 26 de agosto de 2018	55
1334	lunes, 27 de agosto de 2018	29
1335	martes, 28 de agosto de 2018	68
1336	miércoles, 29 de agosto de 2018	67
1337	jueves, 30 de agosto de 2018	66
1338	viernes, 31 de agosto de 2018	66
1339	sábado, 1 de septiembre de 2018	64
1340	domingo, 2 de septiembre de 2018	49
1341	lunes, 3 de septiembre de 2018	27
1342	martes, 4 de septiembre de 2018	66
1343	miércoles, 5 de septiembre de 2018	69
1344	jueves, 6 de septiembre de 2018	68
1345	viernes, 7 de septiembre de 2018	70
1346	sábado, 8 de septiembre de 2018	67
1347	domingo, 9 de septiembre de 2018	55
1348	lunes, 10 de septiembre de 2018	28
1349	martes, 11 de septiembre de 2018	70
1350	miércoles, 12 de septiembre de 2018	62
1351	jueves, 13 de septiembre de 2018	71
1352	viernes, 14 de septiembre de 2018	67
1353	sábado, 15 de septiembre de 2018	68
1354	domingo, 16 de septiembre de 2018	50
1355	lunes, 17 de septiembre de 2018	30
1356	martes, 18 de septiembre de 2018	65
1357	miércoles, 19 de septiembre de 2018	70
1358	jueves, 20 de septiembre de 2018	69
1359	viernes, 21 de septiembre de 2018	69
1360	sábado, 22 de septiembre de 2018	69
1361	domingo, 23 de septiembre de 2018	51
1362	lunes, 24 de septiembre de 2018	35
1363	martes, 25 de septiembre de 2018	68
1364	miércoles, 26 de septiembre de 2018	70
1365	jueves, 27 de septiembre de 2018	69
1366	viernes, 28 de septiembre de 2018	70
1367	sábado, 29 de septiembre de 2018	68

1368	domingo, 30 de septiembre de 2018	48
1369	lunes, 1 de octubre de 2018	30
1370	martes, 2 de octubre de 2018	66
1371	miércoles, 3 de octubre de 2018	70
1372	jueves, 4 de octubre de 2018	69
1373	viernes, 5 de octubre de 2018	68
1374	sábado, 6 de octubre de 2018	65
1375	domingo, 7 de octubre de 2018	49
1376	lunes, 8 de octubre de 2018	35
1377	martes, 9 de octubre de 2018	70
1378	miércoles, 10 de octubre de 2018	70
1379	jueves, 11 de octubre de 2018	68
1380	viernes, 12 de octubre de 2018	69
1381	sábado, 13 de octubre de 2018	62
1382	domingo, 14 de octubre de 2018	48
1383	lunes, 15 de octubre de 2018	35
1384	martes, 16 de octubre de 2018	66
1385	miércoles, 17 de octubre de 2018	68
1386	jueves, 18 de octubre de 2018	67
1387	viernes, 19 de octubre de 2018	66
1388	sábado, 20 de octubre de 2018	67
1389	domingo, 21 de octubre de 2018	54
1390	lunes, 22 de octubre de 2018	35
1391	martes, 23 de octubre de 2018	68
1392	miércoles, 24 de octubre de 2018	70
1393	jueves, 25 de octubre de 2018	70
1394	viernes, 26 de octubre de 2018	69
1395	sábado, 27 de octubre de 2018	64
1396	domingo, 28 de octubre de 2018	53
1397	lunes, 29 de octubre de 2018	33
1398	martes, 30 de octubre de 2018	68
1399	miércoles, 31 de octubre de 2018	65
1400	jueves, 1 de noviembre de 2018	65
1401	viernes, 2 de noviembre de 2018	57
1402	sábado, 3 de noviembre de 2018	46
1403	domingo, 4 de noviembre de 2018	43
1404	lunes, 5 de noviembre de 2018	28
1405	martes, 6 de noviembre de 2018	65
1406	miércoles, 7 de noviembre de 2018	66
1407	jueves, 8 de noviembre de 2018	67
1408	viernes, 9 de noviembre de 2018	67
1409	sábado, 10 de noviembre de 2018	66
1410	domingo, 11 de noviembre de 2018	53
1411	lunes, 12 de noviembre de 2018	27
1412	martes, 13 de noviembre de 2018	66
1413	miércoles, 14 de noviembre de 2018	67
1414	jueves, 15 de noviembre de 2018	67
1415	viernes, 16 de noviembre de 2018	65
1416	sábado, 17 de noviembre de 2018	67
1417	domingo, 18 de noviembre de 2018	50
1418	lunes, 19 de noviembre de 2018	35
1419	martes, 20 de noviembre de 2018	41
1420	miércoles, 21 de noviembre de 2018	66
1421	jueves, 22 de noviembre de 2018	64
1422	viernes, 23 de noviembre de 2018	66
1423	sábado, 24 de noviembre de 2018	64
1424	domingo, 25 de noviembre de 2018	55
1425	lunes, 26 de noviembre de 2018	30
1426	martes, 27 de noviembre de 2018	63
1427	miércoles, 28 de noviembre de 2018	66
1428	jueves, 29 de noviembre de 2018	67
1429	viernes, 30 de noviembre de 2018	68
1430	sábado, 1 de diciembre de 2018	66
1431	domingo, 2 de diciembre de 2018	47
1432	lunes, 3 de diciembre de 2018	29
1433	martes, 4 de diciembre de 2018	64
1434	miércoles, 5 de diciembre de 2018	68
1435	jueves, 6 de diciembre de 2018	70
1436	viernes, 7 de diciembre de 2018	65
1437	sábado, 8 de diciembre de 2018	69
1438	domingo, 9 de diciembre de 2018	51



Análisis de la afluencia de un corredor de servicio de transporte concesionado en la Ciudad de México | 275

1439	lunes, 10 de diciembre de 2018	27
1440	martes, 11 de diciembre de 2018	69
1441	miércoles, 12 de diciembre de 2018	67
1442	jueves, 13 de diciembre de 2018	60
1443	viernes, 14 de diciembre de 2018	62
1444	sábado, 15 de diciembre de 2018	64
1445	domingo, 16 de diciembre de 2018	49
1446	lunes, 17 de diciembre de 2018	25
1447	martes, 18 de diciembre de 2018	61
1448	miércoles, 19 de diciembre de 2018	60
1449	jueves, 20 de diciembre de 2018	62
1450	viernes, 21 de diciembre de 2018	61
1451	sábado, 22 de diciembre de 2018	61
1452	domingo, 23 de diciembre de 2018	43
1453	lunes, 24 de diciembre de 2018	24
1454	martes, 25 de diciembre de 2018	49
1455	miércoles, 26 de diciembre de 2018	23
1456	jueves, 27 de diciembre de 2018	45
1457	viernes, 28 de diciembre de 2018	46
1458	sábado, 29 de diciembre de 2018	50
1459	domingo, 30 de diciembre de 2018	35
1460	lunes, 31 de diciembre de 2018	25
1461	martes, 1 de enero de 2019	43
1462	miércoles, 2 de enero de 2019	17
1463	jueves, 3 de enero de 2019	49
1464	viernes, 4 de enero de 2019	43
1465	sábado, 5 de enero de 2019	50
1466	domingo, 6 de enero de 2019	40
1467	lunes, 7 de enero de 2019	18
1468	martes, 8 de enero de 2019	63
1469	miércoles, 9 de enero de 2019	60
1470	jueves, 10 de enero de 2019	61
1471	viernes, 11 de enero de 2019	59
1472	sábado, 12 de enero de 2019	59
1473	domingo, 13 de enero de 2019	41
1474	lunes, 14 de enero de 2019	22
1475	martes, 15 de enero de 2019	53
1476	miércoles, 16 de enero de 2019	63
1477	jueves, 17 de enero de 2019	65
1478	viernes, 18 de enero de 2019	61
1479	sábado, 19 de enero de 2019	63
1480	domingo, 20 de enero de 2019	43
1481	lunes, 21 de enero de 2019	28
1482	martes, 22 de enero de 2019	62
1483	miércoles, 23 de enero de 2019	66
1484	jueves, 24 de enero de 2019	67
1485	viernes, 25 de enero de 2019	65
1486	sábado, 26 de enero de 2019	64
1487	domingo, 27 de enero de 2019	48
1488	lunes, 28 de enero de 2019	29
1489	martes, 29 de enero de 2019	64
1490	miércoles, 30 de enero de 2019	64
1491	jueves, 31 de enero de 2019	64
1492	viernes, 1 de febrero de 2019	64
1493	sábado, 2 de febrero de 2019	64
1494	domingo, 3 de febrero de 2019	48
1495	lunes, 4 de febrero de 2019	32
1496	martes, 5 de febrero de 2019	35
1497	miércoles, 6 de febrero de 2019	59
1498	jueves, 7 de febrero de 2019	62
1499	viernes, 8 de febrero de 2019	63
1500	sábado, 9 de febrero de 2019	64
1501	domingo, 10 de febrero de 2019	46
1502	lunes, 11 de febrero de 2019	30
1503	martes, 12 de febrero de 2019	61
1504	miércoles, 13 de febrero de 2019	63
1505	jueves, 14 de febrero de 2019	62
1506	viernes, 15 de febrero de 2019	63
1507	sábado, 16 de febrero de 2019	64
1508	domingo, 17 de febrero de 2019	48
1509	lunes, 18 de febrero de 2019	34

1510	martes, 19 de febrero de 2019	64
1511	miércoles, 20 de febrero de 2019	64
1512	jueves, 21 de febrero de 2019	64
1513	viernes, 22 de febrero de 2019	63
1514	sábado, 23 de febrero de 2019	63
1515	domingo, 24 de febrero de 2019	54
1516	lunes, 25 de febrero de 2019	26
1517	martes, 26 de febrero de 2019	60
1518	miércoles, 27 de febrero de 2019	63



ANEXO VIII: Datos de asaltos diarios (1 enero 2017 al 27 de febrero 2019) y su gráfica

#	FECHA	ASALTOS DIARIOS
731	domingo, 1 de enero de 2017	0.2010
732	lunes, 2 de enero de 2017	0.0648
733	martes, 3 de enero de 2017	0.0648
734	miércoles, 4 de enero de 2017	0.0324
735	jueves, 5 de enero de 2017	0.0589
736	viernes, 6 de enero de 2017	0.0851
737	sábado, 7 de enero de 2017	0.1751
738	domingo, 8 de enero de 2017	0.2010
739	lunes, 9 de enero de 2017	0.0648
740	martes, 10 de enero de 2017	0.0648
741	miércoles, 11 de enero de 2017	0.0324
742	jueves, 12 de enero de 2017	0.0589
743	viernes, 13 de enero de 2017	0.0851
744	sábado, 14 de enero de 2017	0.1751
745	domingo, 15 de enero de 2017	0.2010
746	lunes, 16 de enero de 2017	0.0648
747	martes, 17 de enero de 2017	0.0648
748	miércoles, 18 de enero de 2017	0.0324
749	jueves, 19 de enero de 2017	0.0589
750	viernes, 20 de enero de 2017	0.0851
751	sábado, 21 de enero de 2017	0.1751
752	domingo, 22 de enero de 2017	0.2010
753	lunes, 23 de enero de 2017	0.0648
754	martes, 24 de enero de 2017	0.0648
755	miércoles, 25 de enero de 2017	0.0324
756	jueves, 26 de enero de 2017	0.0589
757	viernes, 27 de enero de 2017	0.0851
758	sábado, 28 de enero de 2017	0.1751
759	domingo, 29 de enero de 2017	0.2010
760	lunes, 30 de enero de 2017	0.0648
761	martes, 31 de enero de 2017	0.0648
762	miércoles, 1 de febrero de 2017	0.0598
763	jueves, 2 de febrero de 2017	0.1087
764	viernes, 3 de febrero de 2017	0.1570
765	sábado, 4 de febrero de 2017	0.3231
766	domingo, 5 de febrero de 2017	0.3709
767	lunes, 6 de febrero de 2017	0.1197
768	martes, 7 de febrero de 2017	0.1197
769	miércoles, 8 de febrero de 2017	0.0598
770	jueves, 9 de febrero de 2017	0.1087
771	viernes, 10 de febrero de 2017	0.1570
772	sábado, 11 de febrero de 2017	0.3231
773	domingo, 12 de febrero de 2017	0.3709
774	lunes, 13 de febrero de 2017	0.1197
775	martes, 14 de febrero de 2017	0.1197
776	miércoles, 15 de febrero de 2017	0.0598
777	jueves, 16 de febrero de 2017	0.1087
778	viernes, 17 de febrero de 2017	0.1570
779	sábado, 18 de febrero de 2017	0.3231
780	domingo, 19 de febrero de 2017	0.3709
781	lunes, 20 de febrero de 2017	0.1197
782	martes, 21 de febrero de 2017	0.1197
783	miércoles, 22 de febrero de 2017	0.0598
784	jueves, 23 de febrero de 2017	0.1087
785	viernes, 24 de febrero de 2017	0.1570
786	sábado, 25 de febrero de 2017	0.3231
787	domingo, 26 de febrero de 2017	0.3709
788	lunes, 27 de febrero de 2017	0.1197
789	martes, 28 de febrero de 2017	0.1197
790	miércoles, 1 de marzo de 2017	0.0865
791	jueves, 2 de marzo de 2017	0.1570
792	viernes, 3 de marzo de 2017	0.2268
793	sábado, 4 de marzo de 2017	0.4669
794	domingo, 5 de marzo de 2017	0.5361
795	lunes, 6 de marzo de 2017	0.1729
796	martes, 7 de marzo de 2017	0.1729
797	miércoles, 8 de marzo de 2017	0.0865
798	jueves, 9 de marzo de 2017	0.1570
799	viernes, 10 de marzo de 2017	0.2268

800	sábado, 11 de marzo de 2017	0.4669
801	domingo, 12 de marzo de 2017	0.5361
802	lunes, 13 de marzo de 2017	0.1729
803	martes, 14 de marzo de 2017	0.1729
804	miércoles, 15 de marzo de 2017	0.0865
805	jueves, 16 de marzo de 2017	0.1570
806	viernes, 17 de marzo de 2017	0.2268
807	sábado, 18 de marzo de 2017	0.4669
808	domingo, 19 de marzo de 2017	0.5361
809	lunes, 20 de marzo de 2017	0.1729
810	martes, 21 de marzo de 2017	0.1729
811	miércoles, 22 de marzo de 2017	0.0865
812	jueves, 23 de marzo de 2017	0.1570
813	viernes, 24 de marzo de 2017	0.2268
814	sábado, 25 de marzo de 2017	0.4669
815	domingo, 26 de marzo de 2017	0.5361
816	lunes, 27 de marzo de 2017	0.1729
817	martes, 28 de marzo de 2017	0.1729
818	miércoles, 29 de marzo de 2017	0.0865
819	jueves, 30 de marzo de 2017	0.1570
820	viernes, 31 de marzo de 2017	0.2268
821	sábado, 1 de abril de 2017	0.2412
822	domingo, 2 de abril de 2017	0.2770
823	lunes, 3 de abril de 2017	0.0893
824	martes, 4 de abril de 2017	0.0893
825	miércoles, 5 de abril de 2017	0.0447
826	jueves, 6 de abril de 2017	0.0811
827	viernes, 7 de abril de 2017	0.1172
828	sábado, 8 de abril de 2017	0.2412
829	domingo, 9 de abril de 2017	0.2770
830	lunes, 10 de abril de 2017	0.0893
831	martes, 11 de abril de 2017	0.0893
832	miércoles, 12 de abril de 2017	0.0447
833	jueves, 13 de abril de 2017	0.0811
834	viernes, 14 de abril de 2017	0.1172
835	sábado, 15 de abril de 2017	0.2412
836	domingo, 16 de abril de 2017	0.2770
837	lunes, 17 de abril de 2017	0.0893
838	martes, 18 de abril de 2017	0.0893
839	miércoles, 19 de abril de 2017	0.0447
840	jueves, 20 de abril de 2017	0.0811
841	viernes, 21 de abril de 2017	0.1172
842	sábado, 22 de abril de 2017	0.2412
843	domingo, 23 de abril de 2017	0.2770
844	lunes, 24 de abril de 2017	0.0893
845	martes, 25 de abril de 2017	0.0893
846	miércoles, 26 de abril de 2017	0.0447
847	jueves, 27 de abril de 2017	0.0811
848	viernes, 28 de abril de 2017	0.1172
849	sábado, 29 de abril de 2017	0.2412
850	domingo, 30 de abril de 2017	0.2770
851	lunes, 1 de mayo de 2017	0.0216
852	martes, 2 de mayo de 2017	0.0216
853	miércoles, 3 de mayo de 2017	0.0108
854	jueves, 4 de mayo de 2017	0.0196
855	viernes, 5 de mayo de 2017	0.0284
856	sábado, 6 de mayo de 2017	0.0584
857	domingo, 7 de mayo de 2017	0.0670
858	lunes, 8 de mayo de 2017	0.0216
859	martes, 9 de mayo de 2017	0.0216
860	miércoles, 10 de mayo de 2017	0.0108
861	jueves, 11 de mayo de 2017	0.0196
862	viernes, 12 de mayo de 2017	0.0284
863	sábado, 13 de mayo de 2017	0.0584
864	domingo, 14 de mayo de 2017	0.0670
865	lunes, 15 de mayo de 2017	0.0216
866	martes, 16 de mayo de 2017	0.0216
867	miércoles, 17 de mayo de 2017	0.0108
868	jueves, 18 de mayo de 2017	0.0196
869	viernes, 19 de mayo de 2017	0.0284
870	sábado, 20 de mayo de 2017	0.0584



Análisis de la afluencia de un corredor de servicio de transporte concesionado en la Ciudad de México | 277

871	domingo, 21 de mayo de 2017	0.0670
872	lunes, 22 de mayo de 2017	0.0216
873	martes, 23 de mayo de 2017	0.0216
874	miércoles, 24 de mayo de 2017	0.0108
875	jueves, 25 de mayo de 2017	0.0196
876	viernes, 26 de mayo de 2017	0.0284
877	sábado, 27 de mayo de 2017	0.0584
878	domingo, 28 de mayo de 2017	0.0670
879	lunes, 29 de mayo de 2017	0.0216
880	martes, 30 de mayo de 2017	0.0216
881	miércoles, 31 de mayo de 2017	0.0108
882	jueves, 1 de junio de 2017	0.0406
883	viernes, 2 de junio de 2017	0.0586
884	sábado, 3 de junio de 2017	0.1206
885	domingo, 4 de junio de 2017	0.1385
886	lunes, 5 de junio de 2017	0.0447
887	martes, 6 de junio de 2017	0.0447
888	miércoles, 7 de junio de 2017	0.0223
889	jueves, 8 de junio de 2017	0.0406
890	viernes, 9 de junio de 2017	0.0586
891	sábado, 10 de junio de 2017	0.1206
892	domingo, 11 de junio de 2017	0.1385
893	lunes, 12 de junio de 2017	0.0447
894	martes, 13 de junio de 2017	0.0447
895	miércoles, 14 de junio de 2017	0.0223
896	jueves, 15 de junio de 2017	0.0406
897	viernes, 16 de junio de 2017	0.0586
898	sábado, 17 de junio de 2017	0.1206
899	domingo, 18 de junio de 2017	0.1385
900	lunes, 19 de junio de 2017	0.0447
901	martes, 20 de junio de 2017	0.0447
902	miércoles, 21 de junio de 2017	0.0223
903	jueves, 22 de junio de 2017	0.0406
904	viernes, 23 de junio de 2017	0.0586
905	sábado, 24 de junio de 2017	0.1206
906	domingo, 25 de junio de 2017	0.1385
907	lunes, 26 de junio de 2017	0.0447
908	martes, 27 de junio de 2017	0.0447
909	miércoles, 28 de junio de 2017	0.0223
910	jueves, 29 de junio de 2017	0.0406
911	viernes, 30 de junio de 2017	0.0586
912	sábado, 1 de julio de 2017	0.2918
913	domingo, 2 de julio de 2017	0.3350
914	lunes, 3 de julio de 2017	0.1081
915	martes, 4 de julio de 2017	0.1081
916	miércoles, 5 de julio de 2017	0.0540
917	jueves, 6 de julio de 2017	0.0981
918	viernes, 7 de julio de 2017	0.1418
919	sábado, 8 de julio de 2017	0.2918
920	domingo, 9 de julio de 2017	0.3350
921	lunes, 10 de julio de 2017	0.1081
922	martes, 11 de julio de 2017	0.1081
923	miércoles, 12 de julio de 2017	0.0540
924	jueves, 13 de julio de 2017	0.0981
925	viernes, 14 de julio de 2017	0.1418
926	sábado, 15 de julio de 2017	0.2918
927	domingo, 16 de julio de 2017	0.3350
928	lunes, 17 de julio de 2017	0.1081
929	martes, 18 de julio de 2017	0.1081
930	miércoles, 19 de julio de 2017	0.0540
931	jueves, 20 de julio de 2017	0.0981
932	viernes, 21 de julio de 2017	0.1418
933	sábado, 22 de julio de 2017	0.2918
934	domingo, 23 de julio de 2017	0.3350
935	lunes, 24 de julio de 2017	0.1081
936	martes, 25 de julio de 2017	0.1081
937	miércoles, 26 de julio de 2017	0.0540
938	jueves, 27 de julio de 2017	0.0981
939	viernes, 28 de julio de 2017	0.1418
940	sábado, 29 de julio de 2017	0.2918
941	domingo, 30 de julio de 2017	0.3350

942	lunes, 31 de julio de 2017	0.1081
943	martes, 1 de agosto de 2017	0.0865
944	miércoles, 2 de agosto de 2017	0.0432
945	jueves, 3 de agosto de 2017	0.0785
946	viernes, 4 de agosto de 2017	0.1134
947	sábado, 5 de agosto de 2017	0.2334
948	domingo, 6 de agosto de 2017	0.2680
949	lunes, 7 de agosto de 2017	0.0865
950	martes, 8 de agosto de 2017	0.0865
951	miércoles, 9 de agosto de 2017	0.0432
952	jueves, 10 de agosto de 2017	0.0785
953	viernes, 11 de agosto de 2017	0.1134
954	sábado, 12 de agosto de 2017	0.2334
955	domingo, 13 de agosto de 2017	0.2680
956	lunes, 14 de agosto de 2017	0.0865
957	martes, 15 de agosto de 2017	0.0865
958	miércoles, 16 de agosto de 2017	0.0432
959	jueves, 17 de agosto de 2017	0.0785
960	viernes, 18 de agosto de 2017	0.1134
961	sábado, 19 de agosto de 2017	0.2334
962	domingo, 20 de agosto de 2017	0.2680
963	lunes, 21 de agosto de 2017	0.0865
964	martes, 22 de agosto de 2017	0.0865
965	miércoles, 23 de agosto de 2017	0.0432
966	jueves, 24 de agosto de 2017	0.0785
967	viernes, 25 de agosto de 2017	0.1134
968	sábado, 26 de agosto de 2017	0.2334
969	domingo, 27 de agosto de 2017	0.2680
970	lunes, 28 de agosto de 2017	0.0865
971	martes, 29 de agosto de 2017	0.0865
972	miércoles, 30 de agosto de 2017	0.0432
973	jueves, 31 de agosto de 2017	0.0785
974	viernes, 1 de septiembre de 2017	0.1172
975	sábado, 2 de septiembre de 2017	0.2412
976	domingo, 3 de septiembre de 2017	0.2770
977	lunes, 4 de septiembre de 2017	0.0893
978	martes, 5 de septiembre de 2017	0.0893
979	miércoles, 6 de septiembre de 2017	0.0447
980	jueves, 7 de septiembre de 2017	0.0811
981	viernes, 8 de septiembre de 2017	0.1172
982	sábado, 9 de septiembre de 2017	0.2412
983	domingo, 10 de septiembre de 2017	0.2770
984	lunes, 11 de septiembre de 2017	0.0893
985	martes, 12 de septiembre de 2017	0.0893
986	miércoles, 13 de septiembre de 2017	0.0447
987	jueves, 14 de septiembre de 2017	0.0811
988	viernes, 15 de septiembre de 2017	0.1172
989	sábado, 16 de septiembre de 2017	0.2412
990	domingo, 17 de septiembre de 2017	0.2770
991	lunes, 18 de septiembre de 2017	0.0893
992	martes, 19 de septiembre de 2017	0.0893
993	miércoles, 20 de septiembre de 2017	0.0447
994	jueves, 21 de septiembre de 2017	0.0811
995	viernes, 22 de septiembre de 2017	0.1172
996	sábado, 23 de septiembre de 2017	0.2412
997	domingo, 24 de septiembre de 2017	0.2770
998	lunes, 25 de septiembre de 2017	0.0893
999	martes, 26 de septiembre de 2017	0.0893
1000	miércoles, 27 de septiembre de 2017	0.0447
1001	jueves, 28 de septiembre de 2017	0.0811
1002	viernes, 29 de septiembre de 2017	0.1172
1003	sábado, 30 de septiembre de 2017	0.2412
1004	domingo, 1 de octubre de 2017	0.0670
1005	lunes, 2 de octubre de 2017	0.0216
1006	martes, 3 de octubre de 2017	0.0216
1007	miércoles, 4 de octubre de 2017	0.0108
1008	jueves, 5 de octubre de 2017	0.0196
1009	viernes, 6 de octubre de 2017	0.0284
1010	sábado, 7 de octubre de 2017	0.0584
1011	domingo, 8 de octubre de 2017	0.0670
1012	lunes, 9 de octubre de 2017	0.0216



1013	martes, 10 de octubre de 2017	0.0216
1014	miércoles, 11 de octubre de 2017	0.0108
1015	jueves, 12 de octubre de 2017	0.0196
1016	viernes, 13 de octubre de 2017	0.0284
1017	sábado, 14 de octubre de 2017	0.0584
1018	domingo, 15 de octubre de 2017	0.0670
1019	lunes, 16 de octubre de 2017	0.0216
1020	martes, 17 de octubre de 2017	0.0216
1021	miércoles, 18 de octubre de 2017	0.0108
1022	jueves, 19 de octubre de 2017	0.0196
1023	viernes, 20 de octubre de 2017	0.0284
1024	sábado, 21 de octubre de 2017	0.0584
1025	domingo, 22 de octubre de 2017	0.0670
1026	lunes, 23 de octubre de 2017	0.0216
1027	martes, 24 de octubre de 2017	0.0216
1028	miércoles, 25 de octubre de 2017	0.0108
1029	jueves, 26 de octubre de 2017	0.0196
1030	viernes, 27 de octubre de 2017	0.0284
1031	sábado, 28 de octubre de 2017	0.0584
1032	domingo, 29 de octubre de 2017	0.0670
1033	lunes, 30 de octubre de 2017	0.0216
1034	martes, 31 de octubre de 2017	0.0216
1035	miércoles, 1 de noviembre de 2017	0.0112
1036	jueves, 2 de noviembre de 2017	0.0203
1037	viernes, 3 de noviembre de 2017	0.0293
1038	sábado, 4 de noviembre de 2017	0.0603
1039	domingo, 5 de noviembre de 2017	0.0692
1040	lunes, 6 de noviembre de 2017	0.0223
1041	martes, 7 de noviembre de 2017	0.0223
1042	miércoles, 8 de noviembre de 2017	0.0112
1043	jueves, 9 de noviembre de 2017	0.0203
1044	viernes, 10 de noviembre de 2017	0.0293
1045	sábado, 11 de noviembre de 2017	0.0603
1046	domingo, 12 de noviembre de 2017	0.0692
1047	lunes, 13 de noviembre de 2017	0.0223
1048	martes, 14 de noviembre de 2017	0.0223
1049	miércoles, 15 de noviembre de 2017	0.0112
1050	jueves, 16 de noviembre de 2017	0.0203
1051	viernes, 17 de noviembre de 2017	0.0293
1052	sábado, 18 de noviembre de 2017	0.0603
1053	domingo, 19 de noviembre de 2017	0.0692
1054	lunes, 20 de noviembre de 2017	0.0223
1055	martes, 21 de noviembre de 2017	0.0223
1056	miércoles, 22 de noviembre de 2017	0.0112
1057	jueves, 23 de noviembre de 2017	0.0203
1058	viernes, 24 de noviembre de 2017	0.0293
1059	sábado, 25 de noviembre de 2017	0.0603
1060	domingo, 26 de noviembre de 2017	0.0692
1061	lunes, 27 de noviembre de 2017	0.0223
1062	martes, 28 de noviembre de 2017	0.0223
1063	miércoles, 29 de noviembre de 2017	0.0112
1064	jueves, 30 de noviembre de 2017	0.0203
1065	viernes, 1 de diciembre de 2017	0.0851
1066	sábado, 2 de diciembre de 2017	0.1751
1067	domingo, 3 de diciembre de 2017	0.2010
1068	lunes, 4 de diciembre de 2017	0.0648
1069	martes, 5 de diciembre de 2017	0.0648
1070	miércoles, 6 de diciembre de 2017	0.0324
1071	jueves, 7 de diciembre de 2017	0.0589
1072	viernes, 8 de diciembre de 2017	0.0851
1073	sábado, 9 de diciembre de 2017	0.1751
1074	domingo, 10 de diciembre de 2017	0.2010
1075	lunes, 11 de diciembre de 2017	0.0648
1076	martes, 12 de diciembre de 2017	0.0648
1077	miércoles, 13 de diciembre de 2017	0.0324
1078	jueves, 14 de diciembre de 2017	0.0589
1079	viernes, 15 de diciembre de 2017	0.0851
1080	sábado, 16 de diciembre de 2017	0.1751
1081	domingo, 17 de diciembre de 2017	0.2010
1082	lunes, 18 de diciembre de 2017	0.0648
1083	martes, 19 de diciembre de 2017	0.0648

1084	miércoles, 20 de diciembre de 2017	0.0324
1085	jueves, 21 de diciembre de 2017	0.0589
1086	viernes, 22 de diciembre de 2017	0.0851
1087	sábado, 23 de diciembre de 2017	0.1751
1088	domingo, 24 de diciembre de 2017	0.2010
1089	lunes, 25 de diciembre de 2017	0.0648
1090	martes, 26 de diciembre de 2017	0.0648
1091	miércoles, 27 de diciembre de 2017	0.0324
1092	jueves, 28 de diciembre de 2017	0.0589
1093	viernes, 29 de diciembre de 2017	0.0851
1094	sábado, 30 de diciembre de 2017	0.1751
1095	domingo, 31 de diciembre de 2017	0.2010
1096	lunes, 1 de enero de 2018	0.0218
1097	martes, 2 de enero de 2018	0.0218
1098	miércoles, 3 de enero de 2018	0.0087
1099	jueves, 4 de enero de 2018	0.0176
1100	viernes, 5 de enero de 2018	0.0308
1101	sábado, 6 de enero de 2018	0.0785
1102	domingo, 7 de enero de 2018	0.1003
1103	lunes, 8 de enero de 2018	0.0218
1104	martes, 9 de enero de 2018	0.0218
1105	miércoles, 10 de enero de 2018	0.0087
1106	jueves, 11 de enero de 2018	0.0176
1107	viernes, 12 de enero de 2018	0.0308
1108	sábado, 13 de enero de 2018	0.0785
1109	domingo, 14 de enero de 2018	0.1003
1110	lunes, 15 de enero de 2018	0.0218
1111	martes, 16 de enero de 2018	0.0218
1112	miércoles, 17 de enero de 2018	0.0087
1113	jueves, 18 de enero de 2018	0.0176
1114	viernes, 19 de enero de 2018	0.0308
1115	sábado, 20 de enero de 2018	0.0785
1116	domingo, 21 de enero de 2018	0.1003
1117	lunes, 22 de enero de 2018	0.0218
1118	martes, 23 de enero de 2018	0.0218
1119	miércoles, 24 de enero de 2018	0.0087
1120	jueves, 25 de enero de 2018	0.0176
1121	viernes, 26 de enero de 2018	0.0308
1122	sábado, 27 de enero de 2018	0.0785
1123	domingo, 28 de enero de 2018	0.1003
1124	lunes, 29 de enero de 2018	0.0218
1125	martes, 30 de enero de 2018	0.0218
1126	miércoles, 31 de enero de 2018	0.0087
1127	jueves, 1 de febrero de 2018	0.0292
1128	viernes, 2 de febrero de 2018	0.0512
1129	sábado, 3 de febrero de 2018	0.1304
1130	domingo, 4 de febrero de 2018	0.1666
1131	lunes, 5 de febrero de 2018	0.0362
1132	martes, 6 de febrero de 2018	0.0362
1133	miércoles, 7 de febrero de 2018	0.0145
1134	jueves, 8 de febrero de 2018	0.0292
1135	viernes, 9 de febrero de 2018	0.0512
1136	sábado, 10 de febrero de 2018	0.1304
1137	domingo, 11 de febrero de 2018	0.1666
1138	lunes, 12 de febrero de 2018	0.0362
1139	martes, 13 de febrero de 2018	0.0362
1140	miércoles, 14 de febrero de 2018	0.0145
1141	jueves, 15 de febrero de 2018	0.0292
1142	viernes, 16 de febrero de 2018	0.0512
1143	sábado, 17 de febrero de 2018	0.1304
1144	domingo, 18 de febrero de 2018	0.1666
1145	lunes, 19 de febrero de 2018	0.0362
1146	martes, 20 de febrero de 2018	0.0362
1147	miércoles, 21 de febrero de 2018	0.0145
1148	jueves, 22 de febrero de 2018	0.0292
1149	viernes, 23 de febrero de 2018	0.0512
1150	sábado, 24 de febrero de 2018	0.1304
1151	domingo, 25 de febrero de 2018	0.1666
1152	lunes, 26 de febrero de 2018	0.0362
1153	martes, 27 de febrero de 2018	0.0362
1154	miércoles, 28 de febrero de 2018	0.0145



Análisis de la afluencia de un corredor de servicio de transporte concesionado en la Ciudad de México | 279

1155	jueves, 1 de marzo de 2018	0.0440
1156	viernes, 2 de marzo de 2018	0.0770
1157	sábado, 3 de marzo de 2018	0.1963
1158	domingo, 4 de marzo de 2018	0.2508
1159	lunes, 5 de marzo de 2018	0.0545
1160	martes, 6 de marzo de 2018	0.0545
1161	miércoles, 7 de marzo de 2018	0.0218
1162	jueves, 8 de marzo de 2018	0.0440
1163	viernes, 9 de marzo de 2018	0.0770
1164	sábado, 10 de marzo de 2018	0.1963
1165	domingo, 11 de marzo de 2018	0.2508
1166	lunes, 12 de marzo de 2018	0.0545
1167	martes, 13 de marzo de 2018	0.0545
1168	miércoles, 14 de marzo de 2018	0.0218
1169	jueves, 15 de marzo de 2018	0.0440
1170	viernes, 16 de marzo de 2018	0.0770
1171	sábado, 17 de marzo de 2018	0.1963
1172	domingo, 18 de marzo de 2018	0.2508
1173	lunes, 19 de marzo de 2018	0.0545
1174	martes, 20 de marzo de 2018	0.0545
1175	miércoles, 21 de marzo de 2018	0.0218
1176	jueves, 22 de marzo de 2018	0.0440
1177	viernes, 23 de marzo de 2018	0.0770
1178	sábado, 24 de marzo de 2018	0.1963
1179	domingo, 25 de marzo de 2018	0.2508
1180	lunes, 26 de marzo de 2018	0.0545
1181	martes, 27 de marzo de 2018	0.0545
1182	miércoles, 28 de marzo de 2018	0.0218
1183	jueves, 29 de marzo de 2018	0.0440
1184	viernes, 30 de marzo de 2018	0.0770
1185	sábado, 31 de marzo de 2018	0.1963
1186	domingo, 1 de abril de 2018	0.4665
1187	lunes, 2 de abril de 2018	0.1014
1188	martes, 3 de abril de 2018	0.1014
1189	miércoles, 4 de abril de 2018	0.0406
1190	jueves, 5 de abril de 2018	0.0819
1191	viernes, 6 de abril de 2018	0.1433
1192	sábado, 7 de abril de 2018	0.3651
1193	domingo, 8 de abril de 2018	0.4665
1194	lunes, 9 de abril de 2018	0.1014
1195	martes, 10 de abril de 2018	0.1014
1196	miércoles, 11 de abril de 2018	0.0406
1197	jueves, 12 de abril de 2018	0.0819
1198	viernes, 13 de abril de 2018	0.1433
1199	sábado, 14 de abril de 2018	0.3651
1200	domingo, 15 de abril de 2018	0.4665
1201	lunes, 16 de abril de 2018	0.1014
1202	martes, 17 de abril de 2018	0.1014
1203	miércoles, 18 de abril de 2018	0.0406
1204	jueves, 19 de abril de 2018	0.0819
1205	viernes, 20 de abril de 2018	0.1433
1206	sábado, 21 de abril de 2018	0.3651
1207	domingo, 22 de abril de 2018	0.4665
1208	lunes, 23 de abril de 2018	0.1014
1209	martes, 24 de abril de 2018	0.1014
1210	miércoles, 25 de abril de 2018	0.0406
1211	jueves, 26 de abril de 2018	0.0819
1212	viernes, 27 de abril de 2018	0.1433
1213	sábado, 28 de abril de 2018	0.3651
1214	domingo, 29 de abril de 2018	0.4665
1215	lunes, 30 de abril de 2018	0.1014
1216	martes, 1 de mayo de 2018	0.0545
1217	miércoles, 2 de mayo de 2018	0.0218
1218	jueves, 3 de mayo de 2018	0.0440
1219	viernes, 4 de mayo de 2018	0.0770
1220	sábado, 5 de mayo de 2018	0.1963
1221	domingo, 6 de mayo de 2018	0.2508
1222	lunes, 7 de mayo de 2018	0.0545
1223	martes, 8 de mayo de 2018	0.0545
1224	miércoles, 9 de mayo de 2018	0.0218
1225	jueves, 10 de mayo de 2018	0.0440

1226	viernes, 11 de mayo de 2018	0.0770
1227	sábado, 12 de mayo de 2018	0.1963
1228	domingo, 13 de mayo de 2018	0.2508
1229	lunes, 14 de mayo de 2018	0.0545
1230	martes, 15 de mayo de 2018	0.0545
1231	miércoles, 16 de mayo de 2018	0.0218
1232	jueves, 17 de mayo de 2018	0.0440
1233	viernes, 18 de mayo de 2018	0.0770
1234	sábado, 19 de mayo de 2018	0.1963
1235	domingo, 20 de mayo de 2018	0.2508
1236	lunes, 21 de mayo de 2018	0.0545
1237	martes, 22 de mayo de 2018	0.0545
1238	miércoles, 23 de mayo de 2018	0.0218
1239	jueves, 24 de mayo de 2018	0.0440
1240	viernes, 25 de mayo de 2018	0.0770
1241	sábado, 26 de mayo de 2018	0.1963
1242	domingo, 27 de mayo de 2018	0.2508
1243	lunes, 28 de mayo de 2018	0.0545
1244	martes, 29 de mayo de 2018	0.0545
1245	miércoles, 30 de mayo de 2018	0.0218
1246	jueves, 31 de mayo de 2018	0.0440
1247	viernes, 1 de junio de 2018	0.0796
1248	sábado, 2 de junio de 2018	0.2028
1249	domingo, 3 de junio de 2018	0.2592
1250	lunes, 4 de junio de 2018	0.0563
1251	martes, 5 de junio de 2018	0.0563
1252	miércoles, 6 de junio de 2018	0.0225
1253	jueves, 7 de junio de 2018	0.0455
1254	viernes, 8 de junio de 2018	0.0796
1255	sábado, 9 de junio de 2018	0.2028
1256	domingo, 10 de junio de 2018	0.2592
1257	lunes, 11 de junio de 2018	0.0563
1258	martes, 12 de junio de 2018	0.0563
1259	miércoles, 13 de junio de 2018	0.0225
1260	jueves, 14 de junio de 2018	0.0455
1261	viernes, 15 de junio de 2018	0.0796
1262	sábado, 16 de junio de 2018	0.2028
1263	domingo, 17 de junio de 2018	0.2592
1264	lunes, 18 de junio de 2018	0.0563
1265	martes, 19 de junio de 2018	0.0563
1266	miércoles, 20 de junio de 2018	0.0225
1267	jueves, 21 de junio de 2018	0.0455
1268	viernes, 22 de junio de 2018	0.0796
1269	sábado, 23 de junio de 2018	0.2028
1270	domingo, 24 de junio de 2018	0.2592
1271	lunes, 25 de junio de 2018	0.0563
1272	martes, 26 de junio de 2018	0.0563
1273	miércoles, 27 de junio de 2018	0.0225
1274	jueves, 28 de junio de 2018	0.0455
1275	viernes, 29 de junio de 2018	0.0796
1276	sábado, 30 de junio de 2018	0.2028
1277	domingo, 1 de julio de 2018	0.2007
1278	lunes, 2 de julio de 2018	0.0436
1279	martes, 3 de julio de 2018	0.0436
1280	miércoles, 4 de julio de 2018	0.0174
1281	jueves, 5 de julio de 2018	0.0352
1282	viernes, 6 de julio de 2018	0.0616
1283	sábado, 7 de julio de 2018	0.1570
1284	domingo, 8 de julio de 2018	0.2007
1285	lunes, 9 de julio de 2018	0.0436
1286	martes, 10 de julio de 2018	0.0436
1287	miércoles, 11 de julio de 2018	0.0174
1288	jueves, 12 de julio de 2018	0.0352
1289	viernes, 13 de julio de 2018	0.0616
1290	sábado, 14 de julio de 2018	0.1570
1291	domingo, 15 de julio de 2018	0.2007
1292	lunes, 16 de julio de 2018	0.0436
1293	martes, 17 de julio de 2018	0.0436
1294	miércoles, 18 de julio de 2018	0.0174
1295	jueves, 19 de julio de 2018	0.0352
1296	viernes, 20 de julio de 2018	0.0616



Análisis de la afluencia de un corredor de servicio de transporte concesionado en la Ciudad de México | 280

1297	sábado, 21 de julio de 2018	0.1570
1298	domingo, 22 de julio de 2018	0.2007
1299	lunes, 23 de julio de 2018	0.0436
1300	martes, 24 de julio de 2018	0.0436
1301	miércoles, 25 de julio de 2018	0.0174
1302	jueves, 26 de julio de 2018	0.0352
1303	viernes, 27 de julio de 2018	0.0616
1304	sábado, 28 de julio de 2018	0.1570
1305	domingo, 29 de julio de 2018	0.2007
1306	lunes, 30 de julio de 2018	0.0436
1307	martes, 31 de julio de 2018	0.0436
1308	miércoles, 1 de agosto de 2018	0.0000
1309	jueves, 2 de agosto de 2018	0.0000
1310	viernes, 3 de agosto de 2018	0.0000
1311	sábado, 4 de agosto de 2018	0.0000
1312	domingo, 5 de agosto de 2018	0.0000
1313	lunes, 6 de agosto de 2018	0.0000
1314	martes, 7 de agosto de 2018	0.0000
1315	miércoles, 8 de agosto de 2018	0.0000
1316	jueves, 9 de agosto de 2018	0.0000
1317	viernes, 10 de agosto de 2018	0.0000
1318	sábado, 11 de agosto de 2018	0.0000
1319	domingo, 12 de agosto de 2018	0.0000
1320	lunes, 13 de agosto de 2018	0.0000
1321	martes, 14 de agosto de 2018	0.0000
1322	miércoles, 15 de agosto de 2018	0.0000
1323	jueves, 16 de agosto de 2018	0.0000
1324	viernes, 17 de agosto de 2018	0.0000
1325	sábado, 18 de agosto de 2018	0.0000
1326	domingo, 19 de agosto de 2018	0.0000
1327	lunes, 20 de agosto de 2018	0.0000
1328	martes, 21 de agosto de 2018	0.0000
1329	miércoles, 22 de agosto de 2018	0.0000
1330	jueves, 23 de agosto de 2018	0.0000
1331	viernes, 24 de agosto de 2018	0.0000
1332	sábado, 25 de agosto de 2018	0.0000
1333	domingo, 26 de agosto de 2018	0.0000
1334	lunes, 27 de agosto de 2018	0.0000
1335	martes, 28 de agosto de 2018	0.0000
1336	miércoles, 29 de agosto de 2018	0.0000
1337	jueves, 30 de agosto de 2018	0.0000
1338	viernes, 31 de agosto de 2018	0.0000
1339	sábado, 1 de septiembre de 2018	0.0811
1340	domingo, 2 de septiembre de 2018	0.1037
1341	lunes, 3 de septiembre de 2018	0.0225
1342	martes, 4 de septiembre de 2018	0.0225
1343	miércoles, 5 de septiembre de 2018	0.0090
1344	jueves, 6 de septiembre de 2018	0.0182
1345	viernes, 7 de septiembre de 2018	0.0318
1346	sábado, 8 de septiembre de 2018	0.0811
1347	domingo, 9 de septiembre de 2018	0.1037
1348	lunes, 10 de septiembre de 2018	0.0225
1349	martes, 11 de septiembre de 2018	0.0225
1350	miércoles, 12 de septiembre de 2018	0.0090
1351	jueves, 13 de septiembre de 2018	0.0182
1352	viernes, 14 de septiembre de 2018	0.0318
1353	sábado, 15 de septiembre de 2018	0.0811
1354	domingo, 16 de septiembre de 2018	0.1037
1355	lunes, 17 de septiembre de 2018	0.0225
1356	martes, 18 de septiembre de 2018	0.0225
1357	miércoles, 19 de septiembre de 2018	0.0090
1358	jueves, 20 de septiembre de 2018	0.0182
1359	viernes, 21 de septiembre de 2018	0.0318
1360	sábado, 22 de septiembre de 2018	0.0811
1361	domingo, 23 de septiembre de 2018	0.1037
1362	lunes, 24 de septiembre de 2018	0.0225
1363	martes, 25 de septiembre de 2018	0.0225
1364	miércoles, 26 de septiembre de 2018	0.0090
1365	jueves, 27 de septiembre de 2018	0.0182
1366	viernes, 28 de septiembre de 2018	0.0318
1367	sábado, 29 de septiembre de 2018	0.0811

1368	domingo, 30 de septiembre de 2018	0.1037
1369	lunes, 1 de octubre de 2018	0.0436
1370	martes, 2 de octubre de 2018	0.0436
1371	miércoles, 3 de octubre de 2018	0.0174
1372	jueves, 4 de octubre de 2018	0.0352
1373	viernes, 5 de octubre de 2018	0.0616
1374	sábado, 6 de octubre de 2018	0.1570
1375	domingo, 7 de octubre de 2018	0.2007
1376	lunes, 8 de octubre de 2018	0.0436
1377	martes, 9 de octubre de 2018	0.0436
1378	miércoles, 10 de octubre de 2018	0.0174
1379	jueves, 11 de octubre de 2018	0.0352
1380	viernes, 12 de octubre de 2018	0.0616
1381	sábado, 13 de octubre de 2018	0.1570
1382	domingo, 14 de octubre de 2018	0.2007
1383	lunes, 15 de octubre de 2018	0.0436
1384	martes, 16 de octubre de 2018	0.0436
1385	miércoles, 17 de octubre de 2018	0.0174
1386	jueves, 18 de octubre de 2018	0.0352
1387	viernes, 19 de octubre de 2018	0.0616
1388	sábado, 20 de octubre de 2018	0.1570
1389	domingo, 21 de octubre de 2018	0.2007
1390	lunes, 22 de octubre de 2018	0.0436
1391	martes, 23 de octubre de 2018	0.0436
1392	miércoles, 24 de octubre de 2018	0.0174
1393	jueves, 25 de octubre de 2018	0.0352
1394	viernes, 26 de octubre de 2018	0.0616
1395	sábado, 27 de octubre de 2018	0.1570
1396	domingo, 28 de octubre de 2018	0.2007
1397	lunes, 29 de octubre de 2018	0.0436
1398	martes, 30 de octubre de 2018	0.0436
1399	miércoles, 31 de octubre de 2018	0.0174
1400	jueves, 1 de noviembre de 2018	0.0364
1401	viernes, 2 de noviembre de 2018	0.0637
1402	sábado, 3 de noviembre de 2018	0.1623
1403	domingo, 4 de noviembre de 2018	0.2073
1404	lunes, 5 de noviembre de 2018	0.0451
1405	martes, 6 de noviembre de 2018	0.0451
1406	miércoles, 7 de noviembre de 2018	0.0180
1407	jueves, 8 de noviembre de 2018	0.0364
1408	viernes, 9 de noviembre de 2018	0.0637
1409	sábado, 10 de noviembre de 2018	0.1623
1410	domingo, 11 de noviembre de 2018	0.2073
1411	lunes, 12 de noviembre de 2018	0.0451
1412	martes, 13 de noviembre de 2018	0.0451
1413	miércoles, 14 de noviembre de 2018	0.0180
1414	jueves, 15 de noviembre de 2018	0.0364
1415	viernes, 16 de noviembre de 2018	0.0637
1416	sábado, 17 de noviembre de 2018	0.1623
1417	domingo, 18 de noviembre de 2018	0.2073
1418	lunes, 19 de noviembre de 2018	0.0451
1419	martes, 20 de noviembre de 2018	0.0451
1420	miércoles, 21 de noviembre de 2018	0.0180
1421	jueves, 22 de noviembre de 2018	0.0364
1422	viernes, 23 de noviembre de 2018	0.0637
1423	sábado, 24 de noviembre de 2018	0.1623
1424	domingo, 25 de noviembre de 2018	0.2073
1425	lunes, 26 de noviembre de 2018	0.0451
1426	martes, 27 de noviembre de 2018	0.0451
1427	miércoles, 28 de noviembre de 2018	0.0180
1428	jueves, 29 de noviembre de 2018	0.0364
1429	viernes, 30 de noviembre de 2018	0.0637
1430	sábado, 1 de diciembre de 2018	0.3926
1431	domingo, 2 de diciembre de 2018	0.5016
1432	lunes, 3 de diciembre de 2018	0.1090
1433	martes, 4 de diciembre de 2018	0.1090
1434	miércoles, 5 de diciembre de 2018	0.0436
1435	jueves, 6 de diciembre de 2018	0.0880
1436	viernes, 7 de diciembre de 2018	0.1541
1437	sábado, 8 de diciembre de 2018	0.3926
1438	domingo, 9 de diciembre de 2018	0.5016



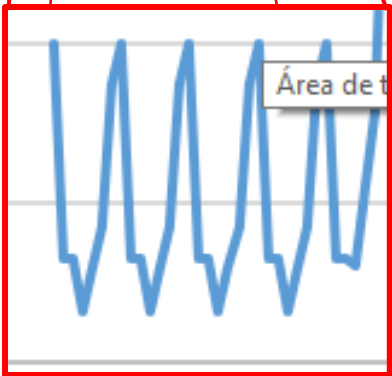
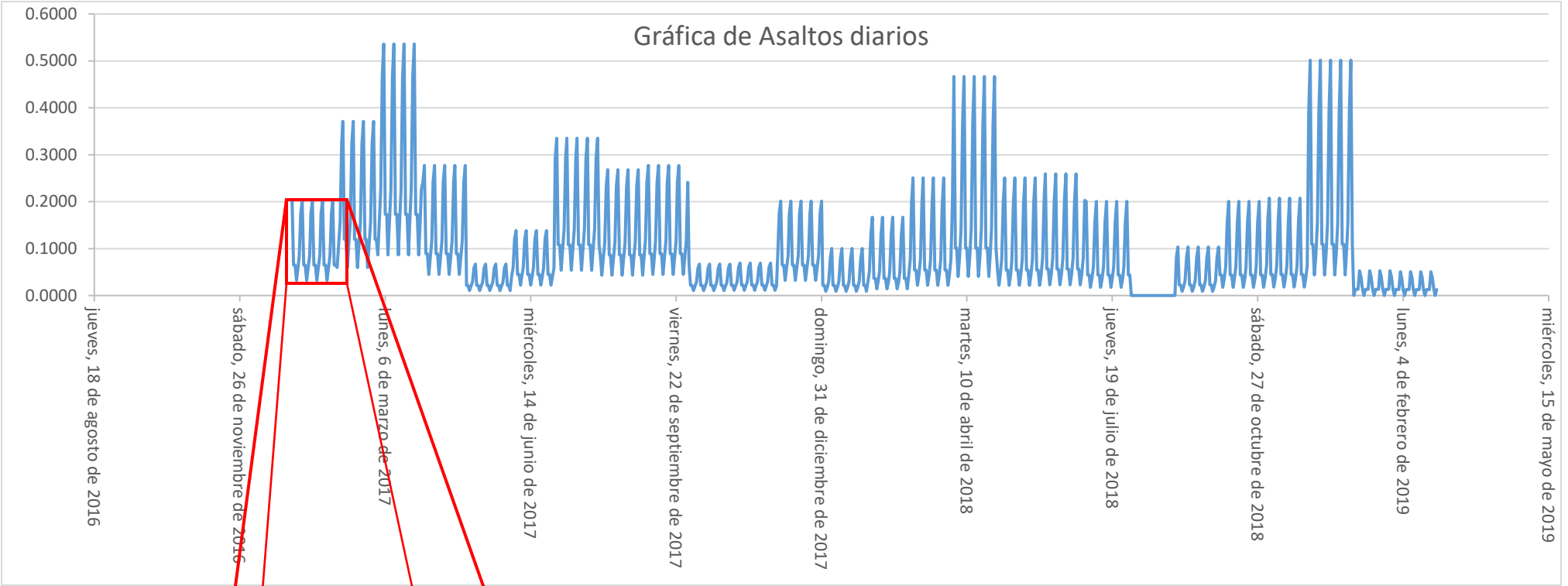
Análisis de la afluencia de un corredor de servicio de transporte concesionado en la Ciudad de México | 281

1439	lunes, 10 de diciembre de 2018	0.1090
1440	martes, 11 de diciembre de 2018	0.1090
1441	miércoles, 12 de diciembre de 2018	0.0436
1442	jueves, 13 de diciembre de 2018	0.0880
1443	viernes, 14 de diciembre de 2018	0.1541
1444	sábado, 15 de diciembre de 2018	0.3926
1445	domingo, 16 de diciembre de 2018	0.5016
1446	lunes, 17 de diciembre de 2018	0.1090
1447	martes, 18 de diciembre de 2018	0.1090
1448	miércoles, 19 de diciembre de 2018	0.0436
1449	jueves, 20 de diciembre de 2018	0.0880
1450	viernes, 21 de diciembre de 2018	0.1541
1451	sábado, 22 de diciembre de 2018	0.3926
1452	domingo, 23 de diciembre de 2018	0.5016
1453	lunes, 24 de diciembre de 2018	0.1090
1454	martes, 25 de diciembre de 2018	0.1090
1455	miércoles, 26 de diciembre de 2018	0.0436
1456	jueves, 27 de diciembre de 2018	0.0880
1457	viernes, 28 de diciembre de 2018	0.1541
1458	sábado, 29 de diciembre de 2018	0.3926
1459	domingo, 30 de diciembre de 2018	0.5016
1460	lunes, 31 de diciembre de 2018	0.1090
1461	martes, 1 de enero de 2019	0.0000
1462	miércoles, 2 de enero de 2019	0.0132
1463	jueves, 3 de enero de 2019	0.0133
1464	viernes, 4 de enero de 2019	0.0133
1465	sábado, 5 de enero de 2019	0.0528
1466	domingo, 6 de enero de 2019	0.0396
1467	lunes, 7 de enero de 2019	0.0132
1468	martes, 8 de enero de 2019	0.0000
1469	miércoles, 9 de enero de 2019	0.0132
1470	jueves, 10 de enero de 2019	0.0133
1471	viernes, 11 de enero de 2019	0.0133
1472	sábado, 12 de enero de 2019	0.0528
1473	domingo, 13 de enero de 2019	0.0396
1474	lunes, 14 de enero de 2019	0.0132
1475	martes, 15 de enero de 2019	0.0000
1476	miércoles, 16 de enero de 2019	0.0132
1477	jueves, 17 de enero de 2019	0.0133
1478	viernes, 18 de enero de 2019	0.0133
1479	sábado, 19 de enero de 2019	0.0528
1480	domingo, 20 de enero de 2019	0.0396
1481	lunes, 21 de enero de 2019	0.0132
1482	martes, 22 de enero de 2019	0.0000
1483	miércoles, 23 de enero de 2019	0.0132
1484	jueves, 24 de enero de 2019	0.0133
1485	viernes, 25 de enero de 2019	0.0133
1486	sábado, 26 de enero de 2019	0.0528
1487	domingo, 27 de enero de 2019	0.0396
1488	lunes, 28 de enero de 2019	0.0132
1489	martes, 29 de enero de 2019	0.0000
1490	miércoles, 30 de enero de 2019	0.0132
1491	jueves, 31 de enero de 2019	0.0133
1492	viernes, 1 de febrero de 2019	0.0128
1493	sábado, 2 de febrero de 2019	0.0505
1494	domingo, 3 de febrero de 2019	0.0379
1495	lunes, 4 de febrero de 2019	0.0126
1496	martes, 5 de febrero de 2019	0.0000
1497	miércoles, 6 de febrero de 2019	0.0126
1498	jueves, 7 de febrero de 2019	0.0128
1499	viernes, 8 de febrero de 2019	0.0128
1500	sábado, 9 de febrero de 2019	0.0505
1501	domingo, 10 de febrero de 2019	0.0379
1502	lunes, 11 de febrero de 2019	0.0126
1503	martes, 12 de febrero de 2019	0.0000
1504	miércoles, 13 de febrero de 2019	0.0126
1505	jueves, 14 de febrero de 2019	0.0128
1506	viernes, 15 de febrero de 2019	0.0128
1507	sábado, 16 de febrero de 2019	0.0505
1508	domingo, 17 de febrero de 2019	0.0379
1509	lunes, 18 de febrero de 2019	0.0126

1510	martes, 19 de febrero de 2019	0.0000
1511	miércoles, 20 de febrero de 2019	0.0126
1512	jueves, 21 de febrero de 2019	0.0128
1513	viernes, 22 de febrero de 2019	0.0128
1514	sábado, 23 de febrero de 2019	0.0505
1515	domingo, 24 de febrero de 2019	0.0379
1516	lunes, 25 de febrero de 2019	0.0126
1517	martes, 26 de febrero de 2019	0.0000
1518	miércoles, 27 de febrero de 2019	0.0126



Gráfica de Asaltos diarios



ANEXO IX: Datos de accidentes diarios (1 enero 2017 al 27 de febrero 2019) y su gráfica

#	FECHA	ACCIDENTES
731	domingo, 1 de enero de 2017	1.8937
732	lunes, 2 de enero de 2017	5.7396
733	martes, 3 de enero de 2017	6.7353
734	miércoles, 4 de enero de 2017	5.6811
735	jueves, 5 de enero de 2017	6.0469
736	viernes, 6 de enero de 2017	5.6530
737	sábado, 7 de enero de 2017	3.2500
738	domingo, 8 de enero de 2017	1.8937
739	lunes, 9 de enero de 2017	5.7396
740	martes, 10 de enero de 2017	6.7353
741	miércoles, 11 de enero de 2017	5.6811
742	jueves, 12 de enero de 2017	6.0469
743	viernes, 13 de enero de 2017	5.6530
744	sábado, 14 de enero de 2017	3.2500
745	domingo, 15 de enero de 2017	1.8937
746	lunes, 16 de enero de 2017	5.7396
747	martes, 17 de enero de 2017	6.7353
748	miércoles, 18 de enero de 2017	5.6811
749	jueves, 19 de enero de 2017	6.0469
750	viernes, 20 de enero de 2017	5.6530
751	sábado, 21 de enero de 2017	3.2500
752	domingo, 22 de enero de 2017	1.8937
753	lunes, 23 de enero de 2017	5.7396
754	martes, 24 de enero de 2017	6.7353
755	miércoles, 25 de enero de 2017	5.6811
756	jueves, 26 de enero de 2017	6.0469
757	viernes, 27 de enero de 2017	5.6530
758	sábado, 28 de enero de 2017	3.2500
759	domingo, 29 de enero de 2017	1.8937
760	lunes, 30 de enero de 2017	5.7396
761	martes, 31 de enero de 2017	6.7353
762	miércoles, 1 de febrero de 2017	5.8028
763	jueves, 2 de febrero de 2017	6.1765
764	viernes, 3 de febrero de 2017	5.7741
765	sábado, 4 de febrero de 2017	3.3196
766	domingo, 5 de febrero de 2017	1.9343
767	lunes, 6 de febrero de 2017	5.8626
768	martes, 7 de febrero de 2017	6.8796
769	miércoles, 8 de febrero de 2017	5.8028
770	jueves, 9 de febrero de 2017	6.1765
771	viernes, 10 de febrero de 2017	5.7741
772	sábado, 11 de febrero de 2017	3.3196
773	domingo, 12 de febrero de 2017	1.9343
774	lunes, 13 de febrero de 2017	5.8626
775	martes, 14 de febrero de 2017	6.8796
776	miércoles, 15 de febrero de 2017	5.8028
777	jueves, 16 de febrero de 2017	6.1765
778	viernes, 17 de febrero de 2017	5.7741
779	sábado, 18 de febrero de 2017	3.3196
780	domingo, 19 de febrero de 2017	1.9343
781	lunes, 20 de febrero de 2017	5.8626
782	martes, 21 de febrero de 2017	6.8796
783	miércoles, 22 de febrero de 2017	5.8028
784	jueves, 23 de febrero de 2017	6.1765
785	viernes, 24 de febrero de 2017	5.7741
786	sábado, 25 de febrero de 2017	3.3196
787	domingo, 26 de febrero de 2017	1.9343
788	lunes, 27 de febrero de 2017	5.8626
789	martes, 28 de febrero de 2017	6.8796
790	miércoles, 1 de marzo de 2017	5.9376
791	jueves, 2 de marzo de 2017	6.3200
792	viernes, 3 de marzo de 2017	5.9083
793	sábado, 4 de marzo de 2017	3.3968
794	domingo, 5 de marzo de 2017	1.9792
795	lunes, 6 de marzo de 2017	5.9988
796	martes, 7 de marzo de 2017	7.0395
797	miércoles, 8 de marzo de 2017	5.9376
798	jueves, 9 de marzo de 2017	6.3200
799	viernes, 10 de marzo de 2017	5.9083

800	sábado, 11 de marzo de 2017	3.3968
801	domingo, 12 de marzo de 2017	1.9792
802	lunes, 13 de marzo de 2017	5.9988
803	martes, 14 de marzo de 2017	7.0395
804	miércoles, 15 de marzo de 2017	5.9376
805	jueves, 16 de marzo de 2017	6.3200
806	viernes, 17 de marzo de 2017	5.9083
807	sábado, 18 de marzo de 2017	3.3968
808	domingo, 19 de marzo de 2017	1.9792
809	lunes, 20 de marzo de 2017	5.9988
810	martes, 21 de marzo de 2017	7.0395
811	miércoles, 22 de marzo de 2017	5.9376
812	jueves, 23 de marzo de 2017	6.3200
813	viernes, 24 de marzo de 2017	5.9083
814	sábado, 25 de marzo de 2017	3.3968
815	domingo, 26 de marzo de 2017	1.9792
816	lunes, 27 de marzo de 2017	5.9988
817	martes, 28 de marzo de 2017	7.0395
818	miércoles, 29 de marzo de 2017	5.9376
819	jueves, 30 de marzo de 2017	6.3200
820	viernes, 31 de marzo de 2017	5.9083
821	sábado, 1 de abril de 2017	2.7733
822	domingo, 2 de abril de 2017	1.6159
823	lunes, 3 de abril de 2017	4.8978
824	martes, 4 de abril de 2017	5.7474
825	miércoles, 5 de abril de 2017	4.8478
826	jueves, 6 de abril de 2017	5.1600
827	viernes, 7 de abril de 2017	4.8239
828	sábado, 8 de abril de 2017	2.7733
829	domingo, 9 de abril de 2017	1.6159
830	lunes, 10 de abril de 2017	4.8978
831	martes, 11 de abril de 2017	5.7474
832	miércoles, 12 de abril de 2017	4.8478
833	jueves, 13 de abril de 2017	5.1600
834	viernes, 14 de abril de 2017	4.8239
835	sábado, 15 de abril de 2017	2.7733
836	domingo, 16 de abril de 2017	1.6159
837	lunes, 17 de abril de 2017	4.8978
838	martes, 18 de abril de 2017	5.7474
839	miércoles, 19 de abril de 2017	4.8478
840	jueves, 20 de abril de 2017	5.1600
841	viernes, 21 de abril de 2017	4.8239
842	sábado, 22 de abril de 2017	2.7733
843	domingo, 23 de abril de 2017	1.6159
844	lunes, 24 de abril de 2017	4.8978
845	martes, 25 de abril de 2017	5.7474
846	miércoles, 26 de abril de 2017	4.8478
847	jueves, 27 de abril de 2017	5.1600
848	viernes, 28 de abril de 2017	4.8239
849	sábado, 29 de abril de 2017	2.7733
850	domingo, 30 de abril de 2017	1.6159
851	lunes, 1 de mayo de 2017	5.7026
852	martes, 2 de mayo de 2017	6.6918
853	miércoles, 3 de mayo de 2017	5.6444
854	jueves, 4 de mayo de 2017	6.0079
855	viernes, 5 de mayo de 2017	5.6165
856	sábado, 6 de mayo de 2017	3.2290
857	domingo, 7 de mayo de 2017	1.8815
858	lunes, 8 de mayo de 2017	5.7026
859	martes, 9 de mayo de 2017	6.6918
860	miércoles, 10 de mayo de 2017	5.6444
861	jueves, 11 de mayo de 2017	6.0079
862	viernes, 12 de mayo de 2017	5.6165
863	sábado, 13 de mayo de 2017	3.2290
864	domingo, 14 de mayo de 2017	1.8815
865	lunes, 15 de mayo de 2017	5.7026
866	martes, 16 de mayo de 2017	6.6918
867	miércoles, 17 de mayo de 2017	5.6444
868	jueves, 18 de mayo de 2017	6.0079
869	viernes, 19 de mayo de 2017	5.6165
870	sábado, 20 de mayo de 2017	3.2290

Análisis de la afluencia de un corredor de servicio de transporte concesionado en la Ciudad de México | 284

871	domingo, 21 de mayo de 2017	1.8815
872	lunes, 22 de mayo de 2017	5.7026
873	martes, 23 de mayo de 2017	6.6918
874	miércoles, 24 de mayo de 2017	5.6444
875	jueves, 25 de mayo de 2017	6.0079
876	viernes, 26 de mayo de 2017	5.6165
877	sábado, 27 de mayo de 2017	3.2290
878	domingo, 28 de mayo de 2017	1.8815
879	lunes, 29 de mayo de 2017	5.7026
880	martes, 30 de mayo de 2017	6.6918
881	miércoles, 31 de mayo de 2017	5.6444
882	jueves, 1 de junio de 2017	5.9260
883	viernes, 2 de junio de 2017	5.5399
884	sábado, 3 de junio de 2017	3.1850
885	domingo, 4 de junio de 2017	1.8558
886	lunes, 5 de junio de 2017	5.6248
887	martes, 6 de junio de 2017	6.6006
888	miércoles, 7 de junio de 2017	5.5674
889	jueves, 8 de junio de 2017	5.9260
890	viernes, 9 de junio de 2017	5.5399
891	sábado, 10 de junio de 2017	3.1850
892	domingo, 11 de junio de 2017	1.8558
893	lunes, 12 de junio de 2017	5.6248
894	martes, 13 de junio de 2017	6.6006
895	miércoles, 14 de junio de 2017	5.5674
896	jueves, 15 de junio de 2017	5.9260
897	viernes, 16 de junio de 2017	5.5399
898	sábado, 17 de junio de 2017	3.1850
899	domingo, 18 de junio de 2017	1.8558
900	lunes, 19 de junio de 2017	5.6248
901	martes, 20 de junio de 2017	6.6006
902	miércoles, 21 de junio de 2017	5.5674
903	jueves, 22 de junio de 2017	5.9260
904	viernes, 23 de junio de 2017	5.5399
905	sábado, 24 de junio de 2017	3.1850
906	domingo, 25 de junio de 2017	1.8558
907	lunes, 26 de junio de 2017	5.6248
908	martes, 27 de junio de 2017	6.6006
909	miércoles, 28 de junio de 2017	5.5674
910	jueves, 29 de junio de 2017	5.9260
911	viernes, 30 de junio de 2017	5.5399
912	sábado, 1 de julio de 2017	2.7887
913	domingo, 2 de julio de 2017	1.6249
914	lunes, 3 de julio de 2017	4.9250
915	martes, 4 de julio de 2017	5.7793
916	miércoles, 5 de julio de 2017	4.8747
917	jueves, 6 de julio de 2017	5.1887
918	viernes, 7 de julio de 2017	4.8506
919	sábado, 8 de julio de 2017	2.7887
920	domingo, 9 de julio de 2017	1.6249
921	lunes, 10 de julio de 2017	4.9250
922	martes, 11 de julio de 2017	5.7793
923	miércoles, 12 de julio de 2017	4.8747
924	jueves, 13 de julio de 2017	5.1887
925	viernes, 14 de julio de 2017	4.8506
926	sábado, 15 de julio de 2017	2.7887
927	domingo, 16 de julio de 2017	1.6249
928	lunes, 17 de julio de 2017	4.9250
929	martes, 18 de julio de 2017	5.7793
930	miércoles, 19 de julio de 2017	4.8747
931	jueves, 20 de julio de 2017	5.1887
932	viernes, 21 de julio de 2017	4.8506
933	sábado, 22 de julio de 2017	2.7887
934	domingo, 23 de julio de 2017	1.6249
935	lunes, 24 de julio de 2017	4.9250
936	martes, 25 de julio de 2017	5.7793
937	miércoles, 26 de julio de 2017	4.8747
938	jueves, 27 de julio de 2017	5.1887
939	viernes, 28 de julio de 2017	4.8506
940	sábado, 29 de julio de 2017	2.7887
941	domingo, 30 de julio de 2017	1.6249

942	lunes, 31 de julio de 2017	4.9250
943	martes, 1 de agosto de 2017	6.0835
944	miércoles, 2 de agosto de 2017	5.1313
945	jueves, 3 de agosto de 2017	5.4617
946	viernes, 4 de agosto de 2017	5.1059
947	sábado, 5 de agosto de 2017	2.9355
948	domingo, 6 de agosto de 2017	1.7104
949	lunes, 7 de agosto de 2017	5.1842
950	martes, 8 de agosto de 2017	6.0835
951	miércoles, 9 de agosto de 2017	5.1313
952	jueves, 10 de agosto de 2017	5.4617
953	viernes, 11 de agosto de 2017	5.1059
954	sábado, 12 de agosto de 2017	2.9355
955	domingo, 13 de agosto de 2017	1.7104
956	lunes, 14 de agosto de 2017	5.1842
957	martes, 15 de agosto de 2017	6.0835
958	miércoles, 16 de agosto de 2017	5.1313
959	jueves, 17 de agosto de 2017	5.4617
960	viernes, 18 de agosto de 2017	5.1059
961	sábado, 19 de agosto de 2017	2.9355
962	domingo, 20 de agosto de 2017	1.7104
963	lunes, 21 de agosto de 2017	5.1842
964	martes, 22 de agosto de 2017	6.0835
965	miércoles, 23 de agosto de 2017	5.1313
966	jueves, 24 de agosto de 2017	5.4617
967	viernes, 25 de agosto de 2017	5.1059
968	sábado, 26 de agosto de 2017	2.9355
969	domingo, 27 de agosto de 2017	1.7104
970	lunes, 28 de agosto de 2017	5.1842
971	martes, 29 de agosto de 2017	6.0835
972	miércoles, 30 de agosto de 2017	5.1313
973	jueves, 31 de agosto de 2017	5.4617
974	viernes, 1 de septiembre de 2017	5.4269
975	sábado, 2 de septiembre de 2017	3.1200
976	domingo, 3 de septiembre de 2017	1.8179
977	lunes, 4 de septiembre de 2017	5.5100
978	martes, 5 de septiembre de 2017	6.4659
979	miércoles, 6 de septiembre de 2017	5.4538
980	jueves, 7 de septiembre de 2017	5.8051
981	viernes, 8 de septiembre de 2017	5.4269
982	sábado, 9 de septiembre de 2017	3.1200
983	domingo, 10 de septiembre de 2017	1.8179
984	lunes, 11 de septiembre de 2017	5.5100
985	martes, 12 de septiembre de 2017	6.4659
986	miércoles, 13 de septiembre de 2017	5.4538
987	jueves, 14 de septiembre de 2017	5.8051
988	viernes, 15 de septiembre de 2017	5.4269
989	sábado, 16 de septiembre de 2017	3.1200
990	domingo, 17 de septiembre de 2017	1.8179
991	lunes, 18 de septiembre de 2017	5.5100
992	martes, 19 de septiembre de 2017	6.4659
993	miércoles, 20 de septiembre de 2017	5.4538
994	jueves, 21 de septiembre de 2017	5.8051
995	viernes, 22 de septiembre de 2017	5.4269
996	sábado, 23 de septiembre de 2017	3.1200
997	domingo, 24 de septiembre de 2017	1.8179
998	lunes, 25 de septiembre de 2017	5.5100
999	martes, 26 de septiembre de 2017	6.4659
1000	miércoles, 27 de septiembre de 2017	5.4538
1001	jueves, 28 de septiembre de 2017	5.8051
1002	viernes, 29 de septiembre de 2017	5.4269
1003	sábado, 30 de septiembre de 2017	3.1200
1004	domingo, 1 de octubre de 2017	2.1258
1005	lunes, 2 de octubre de 2017	6.4432
1006	martes, 3 de octubre de 2017	7.5609
1007	miércoles, 4 de octubre de 2017	6.3774
1008	jueves, 5 de octubre de 2017	6.7882
1009	viernes, 6 de octubre de 2017	6.3459
1010	sábado, 7 de octubre de 2017	3.6484
1011	domingo, 8 de octubre de 2017	2.1258
1012	lunes, 9 de octubre de 2017	6.4432



Análisis de la afluencia de un corredor de servicio de transporte concesionado en la Ciudad de México | 285

1013	martes, 10 de octubre de 2017	7.5609
1014	miércoles, 11 de octubre de 2017	6.3774
1015	jueves, 12 de octubre de 2017	6.7882
1016	viernes, 13 de octubre de 2017	6.3459
1017	sábado, 14 de octubre de 2017	3.6484
1018	domingo, 15 de octubre de 2017	2.1258
1019	lunes, 16 de octubre de 2017	6.4432
1020	martes, 17 de octubre de 2017	7.5609
1021	miércoles, 18 de octubre de 2017	6.3774
1022	jueves, 19 de octubre de 2017	6.7882
1023	viernes, 20 de octubre de 2017	6.3459
1024	sábado, 21 de octubre de 2017	3.6484
1025	domingo, 22 de octubre de 2017	2.1258
1026	lunes, 23 de octubre de 2017	6.4432
1027	martes, 24 de octubre de 2017	7.5609
1028	miércoles, 25 de octubre de 2017	6.3774
1029	jueves, 26 de octubre de 2017	6.7882
1030	viernes, 27 de octubre de 2017	6.3459
1031	sábado, 28 de octubre de 2017	3.6484
1032	domingo, 29 de octubre de 2017	2.1258
1033	lunes, 30 de octubre de 2017	6.4432
1034	martes, 31 de octubre de 2017	7.5609
1035	miércoles, 1 de noviembre de 2017	6.7794
1036	jueves, 2 de noviembre de 2017	7.2160
1037	viernes, 3 de noviembre de 2017	6.7459
1038	sábado, 4 de noviembre de 2017	3.8783
1039	domingo, 5 de noviembre de 2017	2.2598
1040	lunes, 6 de noviembre de 2017	6.8493
1041	martes, 7 de noviembre de 2017	8.0374
1042	miércoles, 8 de noviembre de 2017	6.7794
1043	jueves, 9 de noviembre de 2017	7.2160
1044	viernes, 10 de noviembre de 2017	6.7459
1045	sábado, 11 de noviembre de 2017	3.8783
1046	domingo, 12 de noviembre de 2017	2.2598
1047	lunes, 13 de noviembre de 2017	6.8493
1048	martes, 14 de noviembre de 2017	8.0374
1049	miércoles, 15 de noviembre de 2017	6.7794
1050	jueves, 16 de noviembre de 2017	7.2160
1051	viernes, 17 de noviembre de 2017	6.7459
1052	sábado, 18 de noviembre de 2017	3.8783
1053	domingo, 19 de noviembre de 2017	2.2598
1054	lunes, 20 de noviembre de 2017	6.8493
1055	martes, 21 de noviembre de 2017	8.0374
1056	miércoles, 22 de noviembre de 2017	6.7794
1057	jueves, 23 de noviembre de 2017	7.2160
1058	viernes, 24 de noviembre de 2017	6.7459
1059	sábado, 25 de noviembre de 2017	3.8783
1060	domingo, 26 de noviembre de 2017	2.2598
1061	lunes, 27 de noviembre de 2017	6.8493
1062	martes, 28 de noviembre de 2017	8.0374
1063	miércoles, 29 de noviembre de 2017	6.7794
1064	jueves, 30 de noviembre de 2017	7.2160
1065	viernes, 1 de diciembre de 2017	5.0695
1066	sábado, 2 de diciembre de 2017	2.9145
1067	domingo, 3 de diciembre de 2017	1.6982
1068	lunes, 4 de diciembre de 2017	5.1471
1069	martes, 5 de diciembre de 2017	6.0400
1070	miércoles, 6 de diciembre de 2017	5.0946
1071	jueves, 7 de diciembre de 2017	5.4227
1072	viernes, 8 de diciembre de 2017	5.0695
1073	sábado, 9 de diciembre de 2017	2.9145
1074	domingo, 10 de diciembre de 2017	1.6982
1075	lunes, 11 de diciembre de 2017	5.1471
1076	martes, 12 de diciembre de 2017	6.0400
1077	miércoles, 13 de diciembre de 2017	5.0946
1078	jueves, 14 de diciembre de 2017	5.4227
1079	viernes, 15 de diciembre de 2017	5.0695
1080	sábado, 16 de diciembre de 2017	2.9145
1081	domingo, 17 de diciembre de 2017	1.6982
1082	lunes, 18 de diciembre de 2017	5.1471
1083	martes, 19 de diciembre de 2017	6.0400

1084	miércoles, 20 de diciembre de 2017	5.0946
1085	jueves, 21 de diciembre de 2017	5.4227
1086	viernes, 22 de diciembre de 2017	5.0695
1087	sábado, 23 de diciembre de 2017	2.9145
1088	domingo, 24 de diciembre de 2017	1.6982
1089	lunes, 25 de diciembre de 2017	5.1471
1090	martes, 26 de diciembre de 2017	6.0400
1091	miércoles, 27 de diciembre de 2017	5.0946
1092	jueves, 28 de diciembre de 2017	5.4227
1093	viernes, 29 de diciembre de 2017	5.0695
1094	sábado, 30 de diciembre de 2017	2.9145
1095	domingo, 31 de diciembre de 2017	1.6982
1096	lunes, 1 de enero de 2018	2.5561
1097	martes, 2 de enero de 2018	2.9164
1098	miércoles, 3 de enero de 2018	2.5218
1099	jueves, 4 de enero de 2018	2.8388
1100	viernes, 5 de enero de 2018	2.3888
1101	sábado, 6 de enero de 2018	1.4540
1102	domingo, 7 de enero de 2018	0.7377
1103	lunes, 8 de enero de 2018	2.5561
1104	martes, 9 de enero de 2018	2.9164
1105	miércoles, 10 de enero de 2018	2.5218
1106	jueves, 11 de enero de 2018	2.8388
1107	viernes, 12 de enero de 2018	2.3888
1108	sábado, 13 de enero de 2018	1.4540
1109	domingo, 14 de enero de 2018	0.7377
1110	lunes, 15 de enero de 2018	2.5561
1111	martes, 16 de enero de 2018	2.9164
1112	miércoles, 17 de enero de 2018	2.5218
1113	jueves, 18 de enero de 2018	2.8388
1114	viernes, 19 de enero de 2018	2.3888
1115	sábado, 20 de enero de 2018	1.4540
1116	domingo, 21 de enero de 2018	0.7377
1117	lunes, 22 de enero de 2018	2.5561
1118	martes, 23 de enero de 2018	2.9164
1119	miércoles, 24 de enero de 2018	2.5218
1120	jueves, 25 de enero de 2018	2.8388
1121	viernes, 26 de enero de 2018	2.3888
1122	sábado, 27 de enero de 2018	1.4540
1123	domingo, 28 de enero de 2018	0.7377
1124	lunes, 29 de enero de 2018	2.5561
1125	martes, 30 de enero de 2018	2.9164
1126	miércoles, 31 de enero de 2018	2.5218
1127	jueves, 1 de febrero de 2018	2.7705
1128	viernes, 2 de febrero de 2018	2.3313
1129	sábado, 3 de febrero de 2018	1.4190
1130	domingo, 4 de febrero de 2018	0.7199
1131	lunes, 5 de febrero de 2018	2.4946
1132	martes, 6 de febrero de 2018	2.8462
1133	miércoles, 7 de febrero de 2018	2.4611
1134	jueves, 8 de febrero de 2018	2.7705
1135	viernes, 9 de febrero de 2018	2.3313
1136	sábado, 10 de febrero de 2018	1.4190
1137	domingo, 11 de febrero de 2018	0.7199
1138	lunes, 12 de febrero de 2018	2.4946
1139	martes, 13 de febrero de 2018	2.8462
1140	miércoles, 14 de febrero de 2018	2.4611
1141	jueves, 15 de febrero de 2018	2.7705
1142	viernes, 16 de febrero de 2018	2.3313
1143	sábado, 17 de febrero de 2018	1.4190
1144	domingo, 18 de febrero de 2018	0.7199
1145	lunes, 19 de febrero de 2018	2.4946
1146	martes, 20 de febrero de 2018	2.8462
1147	miércoles, 21 de febrero de 2018	2.4611
1148	jueves, 22 de febrero de 2018	2.7705
1149	viernes, 23 de febrero de 2018	2.3313
1150	sábado, 24 de febrero de 2018	1.4190
1151	domingo, 25 de febrero de 2018	0.7199
1152	lunes, 26 de febrero de 2018	2.4946
1153	martes, 27 de febrero de 2018	2.8462
1154	miércoles, 28 de febrero de 2018	2.4611



Análisis de la afluencia de un corredor de servicio de transporte concesionado en la Ciudad de México | 286

1155	jueves, 1 de marzo de 2018	2.4183
1156	viernes, 2 de marzo de 2018	2.0349
1157	sábado, 3 de marzo de 2018	1.2386
1158	domingo, 4 de marzo de 2018	0.6284
1159	lunes, 5 de marzo de 2018	2.1775
1160	martes, 6 de marzo de 2018	2.4843
1161	miércoles, 7 de marzo de 2018	2.1482
1162	jueves, 8 de marzo de 2018	2.4183
1163	viernes, 9 de marzo de 2018	2.0349
1164	sábado, 10 de marzo de 2018	1.2386
1165	domingo, 11 de marzo de 2018	0.6284
1166	lunes, 12 de marzo de 2018	2.1775
1167	martes, 13 de marzo de 2018	2.4843
1168	miércoles, 14 de marzo de 2018	2.1482
1169	jueves, 15 de marzo de 2018	2.4183
1170	viernes, 16 de marzo de 2018	2.0349
1171	sábado, 17 de marzo de 2018	1.2386
1172	domingo, 18 de marzo de 2018	0.6284
1173	lunes, 19 de marzo de 2018	2.1775
1174	martes, 20 de marzo de 2018	2.4843
1175	miércoles, 21 de marzo de 2018	2.1482
1176	jueves, 22 de marzo de 2018	2.4183
1177	viernes, 23 de marzo de 2018	2.0349
1178	sábado, 24 de marzo de 2018	1.2386
1179	domingo, 25 de marzo de 2018	0.6284
1180	lunes, 26 de marzo de 2018	2.1775
1181	martes, 27 de marzo de 2018	2.4843
1182	miércoles, 28 de marzo de 2018	2.1482
1183	jueves, 29 de marzo de 2018	2.4183
1184	viernes, 30 de marzo de 2018	2.0349
1185	sábado, 31 de marzo de 2018	1.2386
1186	domingo, 1 de abril de 2018	0.6437
1187	lunes, 2 de abril de 2018	2.2305
1188	martes, 3 de abril de 2018	2.5448
1189	miércoles, 4 de abril de 2018	2.2005
1190	jueves, 5 de abril de 2018	2.4771
1191	viernes, 6 de abril de 2018	2.0844
1192	sábado, 7 de abril de 2018	1.2688
1193	domingo, 8 de abril de 2018	0.6437
1194	lunes, 9 de abril de 2018	2.2305
1195	martes, 10 de abril de 2018	2.5448
1196	miércoles, 11 de abril de 2018	2.2005
1197	jueves, 12 de abril de 2018	2.4771
1198	viernes, 13 de abril de 2018	2.0844
1199	sábado, 14 de abril de 2018	1.2688
1200	domingo, 15 de abril de 2018	0.6437
1201	lunes, 16 de abril de 2018	2.2305
1202	martes, 17 de abril de 2018	2.5448
1203	miércoles, 18 de abril de 2018	2.2005
1204	jueves, 19 de abril de 2018	2.4771
1205	viernes, 20 de abril de 2018	2.0844
1206	sábado, 21 de abril de 2018	1.2688
1207	domingo, 22 de abril de 2018	0.6437
1208	lunes, 23 de abril de 2018	2.2305
1209	martes, 24 de abril de 2018	2.5448
1210	miércoles, 25 de abril de 2018	2.2005
1211	jueves, 26 de abril de 2018	2.4771
1212	viernes, 27 de abril de 2018	2.0844
1213	sábado, 28 de abril de 2018	1.2688
1214	domingo, 29 de abril de 2018	0.6437
1215	lunes, 30 de abril de 2018	2.2305
1216	martes, 1 de mayo de 2018	3.5429
1217	miércoles, 2 de mayo de 2018	3.0636
1218	jueves, 3 de mayo de 2018	3.4486
1219	viernes, 4 de mayo de 2018	2.9019
1220	sábado, 5 de mayo de 2018	1.7664
1221	domingo, 6 de mayo de 2018	0.8961
1222	lunes, 7 de mayo de 2018	3.1052
1223	martes, 8 de mayo de 2018	3.5429
1224	miércoles, 9 de mayo de 2018	3.0636
1225	jueves, 10 de mayo de 2018	3.4486

1226	viernes, 11 de mayo de 2018	2.9019
1227	sábado, 12 de mayo de 2018	1.7664
1228	domingo, 13 de mayo de 2018	0.8961
1229	lunes, 14 de mayo de 2018	3.1052
1230	martes, 15 de mayo de 2018	3.5429
1231	miércoles, 16 de mayo de 2018	3.0636
1232	jueves, 17 de mayo de 2018	3.4486
1233	viernes, 18 de mayo de 2018	2.9019
1234	sábado, 19 de mayo de 2018	1.7664
1235	domingo, 20 de mayo de 2018	0.8961
1236	lunes, 21 de mayo de 2018	3.1052
1237	martes, 22 de mayo de 2018	3.5429
1238	miércoles, 23 de mayo de 2018	3.0636
1239	jueves, 24 de mayo de 2018	3.4486
1240	viernes, 25 de mayo de 2018	2.9019
1241	sábado, 26 de mayo de 2018	1.7664
1242	domingo, 27 de mayo de 2018	0.8961
1243	lunes, 28 de mayo de 2018	3.1052
1244	martes, 29 de mayo de 2018	3.5429
1245	miércoles, 30 de mayo de 2018	3.0636
1246	jueves, 31 de mayo de 2018	3.4486
1247	viernes, 1 de junio de 2018	2.4135
1248	sábado, 2 de junio de 2018	1.4691
1249	domingo, 3 de junio de 2018	0.7453
1250	lunes, 4 de junio de 2018	2.5827
1251	martes, 5 de junio de 2018	2.9466
1252	miércoles, 6 de junio de 2018	2.5480
1253	jueves, 7 de junio de 2018	2.8683
1254	viernes, 8 de junio de 2018	2.4135
1255	sábado, 9 de junio de 2018	1.4691
1256	domingo, 10 de junio de 2018	0.7453
1257	lunes, 11 de junio de 2018	2.5827
1258	martes, 12 de junio de 2018	2.9466
1259	miércoles, 13 de junio de 2018	2.5480
1260	jueves, 14 de junio de 2018	2.8683
1261	viernes, 15 de junio de 2018	2.4135
1262	sábado, 16 de junio de 2018	1.4691
1263	domingo, 17 de junio de 2018	0.7453
1264	lunes, 18 de junio de 2018	2.5827
1265	martes, 19 de junio de 2018	2.9466
1266	miércoles, 20 de junio de 2018	2.5480
1267	jueves, 21 de junio de 2018	2.8683
1268	viernes, 22 de junio de 2018	2.4135
1269	sábado, 23 de junio de 2018	1.4691
1270	domingo, 24 de junio de 2018	0.7453
1271	lunes, 25 de junio de 2018	2.5827
1272	martes, 26 de junio de 2018	2.9466
1273	miércoles, 27 de junio de 2018	2.5480
1274	jueves, 28 de junio de 2018	2.8683
1275	viernes, 29 de junio de 2018	2.4135
1276	sábado, 30 de junio de 2018	1.4691
1277	domingo, 1 de julio de 2018	0.6229
1278	lunes, 2 de julio de 2018	2.1585
1279	martes, 3 de julio de 2018	2.4627
1280	miércoles, 4 de julio de 2018	2.1295
1281	jueves, 5 de julio de 2018	2.3972
1282	viernes, 6 de julio de 2018	2.0172
1283	sábado, 7 de julio de 2018	1.2278
1284	domingo, 8 de julio de 2018	0.6229
1285	lunes, 9 de julio de 2018	2.1585
1286	martes, 10 de julio de 2018	2.4627
1287	miércoles, 11 de julio de 2018	2.1295
1288	jueves, 12 de julio de 2018	2.3972
1289	viernes, 13 de julio de 2018	2.0172
1290	sábado, 14 de julio de 2018	1.2278
1291	domingo, 15 de julio de 2018	0.6229
1292	lunes, 16 de julio de 2018	2.1585
1293	martes, 17 de julio de 2018	2.4627
1294	miércoles, 18 de julio de 2018	2.1295
1295	jueves, 19 de julio de 2018	2.3972
1296	viernes, 20 de julio de 2018	2.0172



Análisis de la afluencia de un corredor de servicio de transporte concesionado en la Ciudad de México | 287

1297	sábado, 21 de julio de 2018	1.2278
1298	domingo, 22 de julio de 2018	0.6229
1299	lunes, 23 de julio de 2018	2.1585
1300	martes, 24 de julio de 2018	2.4627
1301	miércoles, 25 de julio de 2018	2.1295
1302	jueves, 26 de julio de 2018	2.3972
1303	viernes, 27 de julio de 2018	2.0172
1304	sábado, 28 de julio de 2018	1.2278
1305	domingo, 29 de julio de 2018	0.6229
1306	lunes, 30 de julio de 2018	2.1585
1307	martes, 31 de julio de 2018	2.4627
1308	miércoles, 1 de agosto de 2018	2.8954
1309	jueves, 2 de agosto de 2018	3.2594
1310	viernes, 3 de agosto de 2018	2.7427
1311	sábado, 4 de agosto de 2018	1.6694
1312	domingo, 5 de agosto de 2018	0.8470
1313	lunes, 6 de agosto de 2018	2.9348
1314	martes, 7 de agosto de 2018	3.3485
1315	miércoles, 8 de agosto de 2018	2.8954
1316	jueves, 9 de agosto de 2018	3.2594
1317	viernes, 10 de agosto de 2018	2.7427
1318	sábado, 11 de agosto de 2018	1.6694
1319	domingo, 12 de agosto de 2018	0.8470
1320	lunes, 13 de agosto de 2018	2.9348
1321	martes, 14 de agosto de 2018	3.3485
1322	miércoles, 15 de agosto de 2018	2.8954
1323	jueves, 16 de agosto de 2018	3.2594
1324	viernes, 17 de agosto de 2018	2.7427
1325	sábado, 18 de agosto de 2018	1.6694
1326	domingo, 19 de agosto de 2018	0.8470
1327	lunes, 20 de agosto de 2018	2.9348
1328	martes, 21 de agosto de 2018	3.3485
1329	miércoles, 22 de agosto de 2018	2.8954
1330	jueves, 23 de agosto de 2018	3.2594
1331	viernes, 24 de agosto de 2018	2.7427
1332	sábado, 25 de agosto de 2018	1.6694
1333	domingo, 26 de agosto de 2018	0.8470
1334	lunes, 27 de agosto de 2018	2.9348
1335	martes, 28 de agosto de 2018	3.3485
1336	miércoles, 29 de agosto de 2018	2.8954
1337	jueves, 30 de agosto de 2018	3.2594
1338	viernes, 31 de agosto de 2018	2.7427
1339	sábado, 1 de septiembre de 2018	1.5915
1340	domingo, 2 de septiembre de 2018	0.8074
1341	lunes, 3 de septiembre de 2018	2.7979
1342	martes, 4 de septiembre de 2018	3.1922
1343	miércoles, 5 de septiembre de 2018	2.7603
1344	jueves, 6 de septiembre de 2018	3.1073
1345	viernes, 7 de septiembre de 2018	2.6147
1346	sábado, 8 de septiembre de 2018	1.5915
1347	domingo, 9 de septiembre de 2018	0.8074
1348	lunes, 10 de septiembre de 2018	2.7979
1349	martes, 11 de septiembre de 2018	3.1922
1350	miércoles, 12 de septiembre de 2018	2.7603
1351	jueves, 13 de septiembre de 2018	3.1073
1352	viernes, 14 de septiembre de 2018	2.6147
1353	sábado, 15 de septiembre de 2018	1.5915
1354	domingo, 16 de septiembre de 2018	0.8074
1355	lunes, 17 de septiembre de 2018	2.7979
1356	martes, 18 de septiembre de 2018	3.1922
1357	miércoles, 19 de septiembre de 2018	2.7603
1358	jueves, 20 de septiembre de 2018	3.1073
1359	viernes, 21 de septiembre de 2018	2.6147
1360	sábado, 22 de septiembre de 2018	1.5915
1361	domingo, 23 de septiembre de 2018	0.8074
1362	lunes, 24 de septiembre de 2018	2.7979
1363	martes, 25 de septiembre de 2018	3.1922
1364	miércoles, 26 de septiembre de 2018	2.7603
1365	jueves, 27 de septiembre de 2018	3.1073
1366	viernes, 28 de septiembre de 2018	2.6147
1367	sábado, 29 de septiembre de 2018	1.5915

1368	domingo, 30 de septiembre de 2018	0.8074
1369	lunes, 1 de octubre de 2018	2.8023
1370	martes, 2 de octubre de 2018	3.1972
1371	miércoles, 3 de octubre de 2018	2.7647
1372	jueves, 4 de octubre de 2018	3.1122
1373	viernes, 5 de octubre de 2018	2.6188
1374	sábado, 6 de octubre de 2018	1.5940
1375	domingo, 7 de octubre de 2018	0.8087
1376	lunes, 8 de octubre de 2018	2.8023
1377	martes, 9 de octubre de 2018	3.1972
1378	miércoles, 10 de octubre de 2018	2.7647
1379	jueves, 11 de octubre de 2018	3.1122
1380	viernes, 12 de octubre de 2018	2.6188
1381	sábado, 13 de octubre de 2018	1.5940
1382	domingo, 14 de octubre de 2018	0.8087
1383	lunes, 15 de octubre de 2018	2.8023
1384	martes, 16 de octubre de 2018	3.1972
1385	miércoles, 17 de octubre de 2018	2.7647
1386	jueves, 18 de octubre de 2018	3.1122
1387	viernes, 19 de octubre de 2018	2.6188
1388	sábado, 20 de octubre de 2018	1.5940
1389	domingo, 21 de octubre de 2018	0.8087
1390	lunes, 22 de octubre de 2018	2.8023
1391	martes, 23 de octubre de 2018	3.1972
1392	miércoles, 24 de octubre de 2018	2.7647
1393	jueves, 25 de octubre de 2018	3.1122
1394	viernes, 26 de octubre de 2018	2.6188
1395	sábado, 27 de octubre de 2018	1.5940
1396	domingo, 28 de octubre de 2018	0.8087
1397	lunes, 29 de octubre de 2018	2.8023
1398	martes, 30 de octubre de 2018	3.1972
1399	miércoles, 31 de octubre de 2018	2.7647
1400	jueves, 1 de noviembre de 2018	2.7379
1401	viernes, 2 de noviembre de 2018	2.3038
1402	sábado, 3 de noviembre de 2018	1.4023
1403	domingo, 4 de noviembre de 2018	0.7115
1404	lunes, 5 de noviembre de 2018	2.4653
1405	martes, 6 de noviembre de 2018	2.8127
1406	miércoles, 7 de noviembre de 2018	2.4322
1407	jueves, 8 de noviembre de 2018	2.7379
1408	viernes, 9 de noviembre de 2018	2.3038
1409	sábado, 10 de noviembre de 2018	1.4023
1410	domingo, 11 de noviembre de 2018	0.7115
1411	lunes, 12 de noviembre de 2018	2.4653
1412	martes, 13 de noviembre de 2018	2.8127
1413	miércoles, 14 de noviembre de 2018	2.4322
1414	jueves, 15 de noviembre de 2018	2.7379
1415	viernes, 16 de noviembre de 2018	2.3038
1416	sábado, 17 de noviembre de 2018	1.4023
1417	domingo, 18 de noviembre de 2018	0.7115
1418	lunes, 19 de noviembre de 2018	2.4653
1419	martes, 20 de noviembre de 2018	2.8127
1420	miércoles, 21 de noviembre de 2018	2.4322
1421	jueves, 22 de noviembre de 2018	2.7379
1422	viernes, 23 de noviembre de 2018	2.3038
1423	sábado, 24 de noviembre de 2018	1.4023
1424	domingo, 25 de noviembre de 2018	0.7115
1425	lunes, 26 de noviembre de 2018	2.4653
1426	martes, 27 de noviembre de 2018	2.8127
1427	miércoles, 28 de noviembre de 2018	2.4322
1428	jueves, 29 de noviembre de 2018	2.7379
1429	viernes, 30 de noviembre de 2018	2.3038
1430	sábado, 1 de diciembre de 2018	1.1094
1431	domingo, 2 de diciembre de 2018	0.5628
1432	lunes, 3 de diciembre de 2018	1.9502
1433	martes, 4 de diciembre de 2018	2.2251
1434	miércoles, 5 de diciembre de 2018	1.9241
1435	jueves, 6 de diciembre de 2018	2.1659
1436	viernes, 7 de diciembre de 2018	1.8225
1437	sábado, 8 de diciembre de 2018	1.1094
1438	domingo, 9 de diciembre de 2018	0.5628



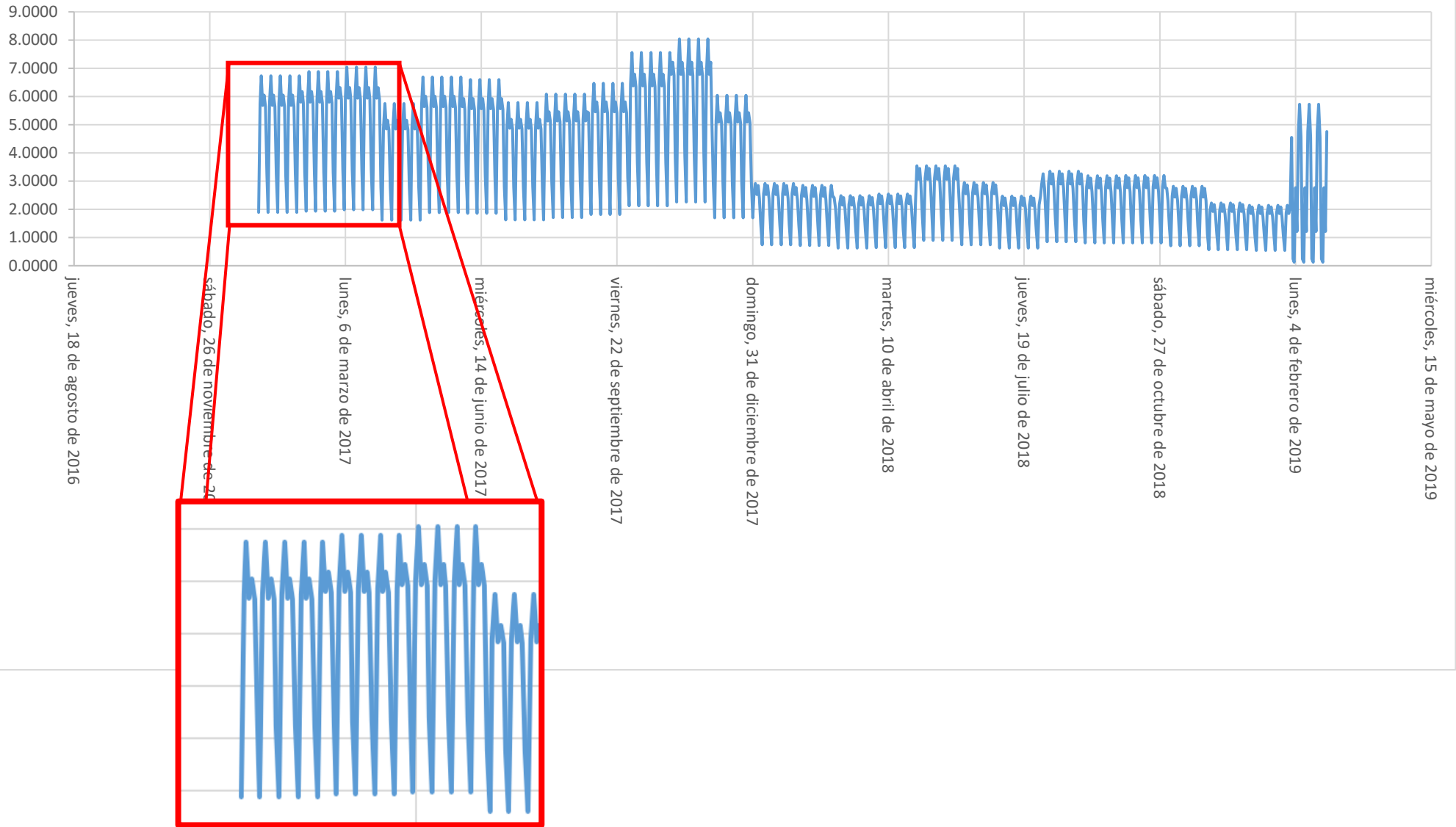
Análisis de la afluencia de un corredor de servicio de transporte concesionado en la Ciudad de México | 288

1439	lunes, 10 de diciembre de 2018	1.9502
1440	martes, 11 de diciembre de 2018	2.2251
1441	miércoles, 12 de diciembre de 2018	1.9241
1442	jueves, 13 de diciembre de 2018	2.1659
1443	viernes, 14 de diciembre de 2018	1.8225
1444	sábado, 15 de diciembre de 2018	1.1094
1445	domingo, 16 de diciembre de 2018	0.5628
1446	lunes, 17 de diciembre de 2018	1.9502
1447	martes, 18 de diciembre de 2018	2.2251
1448	miércoles, 19 de diciembre de 2018	1.9241
1449	jueves, 20 de diciembre de 2018	2.1659
1450	viernes, 21 de diciembre de 2018	1.8225
1451	sábado, 22 de diciembre de 2018	1.1094
1452	domingo, 23 de diciembre de 2018	0.5628
1453	lunes, 24 de diciembre de 2018	1.9502
1454	martes, 25 de diciembre de 2018	2.2251
1455	miércoles, 26 de diciembre de 2018	1.9241
1456	jueves, 27 de diciembre de 2018	2.1659
1457	viernes, 28 de diciembre de 2018	1.8225
1458	sábado, 29 de diciembre de 2018	1.1094
1459	domingo, 30 de diciembre de 2018	0.5628
1460	lunes, 31 de diciembre de 2018	1.9502
1461	martes, 1 de enero de 2019	2.1387
1462	miércoles, 2 de enero de 2019	1.8493
1463	jueves, 3 de enero de 2019	2.0818
1464	viernes, 4 de enero de 2019	1.7518
1465	sábado, 5 de enero de 2019	1.0663
1466	domingo, 6 de enero de 2019	0.5410
1467	lunes, 7 de enero de 2019	1.8745
1468	martes, 8 de enero de 2019	2.1387
1469	miércoles, 9 de enero de 2019	1.8493
1470	jueves, 10 de enero de 2019	2.0818
1471	viernes, 11 de enero de 2019	1.7518
1472	sábado, 12 de enero de 2019	1.0663
1473	domingo, 13 de enero de 2019	0.5410
1474	lunes, 14 de enero de 2019	1.8745
1475	martes, 15 de enero de 2019	2.1387
1476	miércoles, 16 de enero de 2019	1.8493
1477	jueves, 17 de enero de 2019	2.0818
1478	viernes, 18 de enero de 2019	1.7518
1479	sábado, 19 de enero de 2019	1.0663
1480	domingo, 20 de enero de 2019	0.5410
1481	lunes, 21 de enero de 2019	1.8745
1482	martes, 22 de enero de 2019	2.1387
1483	miércoles, 23 de enero de 2019	1.8493
1484	jueves, 24 de enero de 2019	2.0818
1485	viernes, 25 de enero de 2019	1.7518
1486	sábado, 26 de enero de 2019	1.0663
1487	domingo, 27 de enero de 2019	0.5410
1488	lunes, 28 de enero de 2019	1.8745
1489	martes, 29 de enero de 2019	2.1387
1490	miércoles, 30 de enero de 2019	1.8493
1491	jueves, 31 de enero de 2019	2.0818
1492	viernes, 1 de febrero de 2019	4.5523
1493	sábado, 2 de febrero de 2019	0.2374
1494	domingo, 3 de febrero de 2019	0.1245
1495	lunes, 4 de febrero de 2019	2.7677
1496	martes, 5 de febrero de 2019	1.2178
1497	miércoles, 6 de febrero de 2019	4.7604
1498	jueves, 7 de febrero de 2019	5.7253
1499	viernes, 8 de febrero de 2019	4.5523
1500	sábado, 9 de febrero de 2019	0.2374
1501	domingo, 10 de febrero de 2019	0.1245
1502	lunes, 11 de febrero de 2019	2.7677
1503	martes, 12 de febrero de 2019	1.2178
1504	miércoles, 13 de febrero de 2019	4.7604
1505	jueves, 14 de febrero de 2019	5.7253
1506	viernes, 15 de febrero de 2019	4.5523
1507	sábado, 16 de febrero de 2019	0.2374
1508	domingo, 17 de febrero de 2019	0.1245
1509	lunes, 18 de febrero de 2019	2.7677

1510	martes, 19 de febrero de 2019	1.2178
1511	miércoles, 20 de febrero de 2019	4.7604
1512	jueves, 21 de febrero de 2019	5.7253
1513	viernes, 22 de febrero de 2019	4.5523
1514	sábado, 23 de febrero de 2019	0.2374
1515	domingo, 24 de febrero de 2019	0.1245
1516	lunes, 25 de febrero de 2019	2.7677
1517	martes, 26 de febrero de 2019	1.2178
1518	miércoles, 27 de febrero de 2019	4.7604



Gráfica de Accidentes diarios



ANEXO X: Datos de Afluencia competencia diarios (1 enero 2017 al 27 de febrero 2019) y su gráfica

#	FECHA	COMPETENCIA
731	domingo, 1 de enero de 2017	9899
732	lunes, 2 de enero de 2017	28642
733	martes, 3 de enero de 2017	29748
734	miércoles, 4 de enero de 2017	24846
735	jueves, 5 de enero de 2017	13885
736	viernes, 6 de enero de 2017	28729
737	sábado, 7 de enero de 2017	23944
738	domingo, 8 de enero de 2017	27090
739	lunes, 9 de enero de 2017	31027
740	martes, 10 de enero de 2017	12296
741	miércoles, 11 de enero de 2017	29252
742	jueves, 12 de enero de 2017	32467
743	viernes, 13 de enero de 2017	28220
744	sábado, 14 de enero de 2017	24158
745	domingo, 15 de enero de 2017	15286
746	lunes, 16 de enero de 2017	26706
747	martes, 17 de enero de 2017	27826
748	miércoles, 18 de enero de 2017	27867
749	jueves, 19 de enero de 2017	27897
750	viernes, 20 de enero de 2017	28826
751	sábado, 21 de enero de 2017	23272
752	domingo, 22 de enero de 2017	14624
753	lunes, 23 de enero de 2017	26843
754	martes, 24 de enero de 2017	27502
755	miércoles, 25 de enero de 2017	28209
756	jueves, 26 de enero de 2017	28261
757	viernes, 27 de enero de 2017	28940
758	sábado, 28 de enero de 2017	23502
759	domingo, 29 de enero de 2017	14736
760	lunes, 30 de enero de 2017	27617
761	martes, 31 de enero de 2017	29648
762	miércoles, 1 de febrero de 2017	21677
763	jueves, 2 de febrero de 2017	28472
764	viernes, 3 de febrero de 2017	29781
765	sábado, 4 de febrero de 2017	15751
766	domingo, 5 de febrero de 2017	29102
767	lunes, 6 de febrero de 2017	29638
768	martes, 7 de febrero de 2017	15831
769	miércoles, 8 de febrero de 2017	26658
770	jueves, 9 de febrero de 2017	25120
771	viernes, 10 de febrero de 2017	25307
772	sábado, 11 de febrero de 2017	20236
773	domingo, 12 de febrero de 2017	26289
774	lunes, 13 de febrero de 2017	29227
775	martes, 14 de febrero de 2017	30992
776	miércoles, 15 de febrero de 2017	29645
777	jueves, 16 de febrero de 2017	29665
778	viernes, 17 de febrero de 2017	30467
779	sábado, 18 de febrero de 2017	25953
780	domingo, 19 de febrero de 2017	15590
781	lunes, 20 de febrero de 2017	28792
782	martes, 21 de febrero de 2017	29206
783	miércoles, 22 de febrero de 2017	29380
784	jueves, 23 de febrero de 2017	29562
785	viernes, 24 de febrero de 2017	30621
786	sábado, 25 de febrero de 2017	23173
787	domingo, 26 de febrero de 2017	14217
788	lunes, 27 de febrero de 2017	28358
789	martes, 28 de febrero de 2017	29913
790	miércoles, 1 de marzo de 2017	23811
791	jueves, 2 de marzo de 2017	29321
792	viernes, 3 de marzo de 2017	30522
793	sábado, 4 de marzo de 2017	28990
794	domingo, 5 de marzo de 2017	29190
795	lunes, 6 de marzo de 2017	24197
796	martes, 7 de marzo de 2017	26976
797	miércoles, 8 de marzo de 2017	26443
798	jueves, 9 de marzo de 2017	16100
799	viernes, 10 de marzo de 2017	25775

800	sábado, 11 de marzo de 2017	28995
801	domingo, 12 de marzo de 2017	18676
802	lunes, 13 de marzo de 2017	28547
803	martes, 14 de marzo de 2017	29212
804	miércoles, 15 de marzo de 2017	29018
805	jueves, 16 de marzo de 2017	30354
806	viernes, 17 de marzo de 2017	30419
807	sábado, 18 de marzo de 2017	24242
808	domingo, 19 de marzo de 2017	15973
809	lunes, 20 de marzo de 2017	15140
810	martes, 21 de marzo de 2017	30705
811	miércoles, 22 de marzo de 2017	29571
812	jueves, 23 de marzo de 2017	29503
813	viernes, 24 de marzo de 2017	29995
814	sábado, 25 de marzo de 2017	23562
815	domingo, 26 de marzo de 2017	14633
816	lunes, 27 de marzo de 2017	28724
817	martes, 28 de marzo de 2017	29553
818	miércoles, 29 de marzo de 2017	29602
819	jueves, 30 de marzo de 2017	29860
820	viernes, 31 de marzo de 2017	31501
821	sábado, 1 de abril de 2017	27495
822	domingo, 2 de abril de 2017	23391
823	lunes, 3 de abril de 2017	23786
824	martes, 4 de abril de 2017	29568
825	miércoles, 5 de abril de 2017	28960
826	jueves, 6 de abril de 2017	15162
827	viernes, 7 de abril de 2017	27141
828	sábado, 8 de abril de 2017	26627
829	domingo, 9 de abril de 2017	29346
830	lunes, 10 de abril de 2017	25781
831	martes, 11 de abril de 2017	23526
832	miércoles, 12 de abril de 2017	30956
833	jueves, 13 de abril de 2017	16454
834	viernes, 14 de abril de 2017	12243
835	sábado, 15 de abril de 2017	14313
836	domingo, 16 de abril de 2017	13023
837	lunes, 17 de abril de 2017	25704
838	martes, 18 de abril de 2017	27270
839	miércoles, 19 de abril de 2017	26981
840	jueves, 20 de abril de 2017	27365
841	viernes, 21 de abril de 2017	27668
842	sábado, 22 de abril de 2017	23655
843	domingo, 23 de abril de 2017	18390
844	lunes, 24 de abril de 2017	27864
845	martes, 25 de abril de 2017	29088
846	miércoles, 26 de abril de 2017	29019
847	jueves, 27 de abril de 2017	29286
848	viernes, 28 de abril de 2017	30042
849	sábado, 29 de abril de 2017	23761
850	domingo, 30 de abril de 2017	19588
851	lunes, 1 de mayo de 2017	28208
852	martes, 2 de mayo de 2017	14488
853	miércoles, 3 de mayo de 2017	14965
854	jueves, 4 de mayo de 2017	29733
855	viernes, 5 de mayo de 2017	27116
856	sábado, 6 de mayo de 2017	28129
857	domingo, 7 de mayo de 2017	27744
858	lunes, 8 de mayo de 2017	21786
859	martes, 9 de mayo de 2017	30273
860	miércoles, 10 de mayo de 2017	26056
861	jueves, 11 de mayo de 2017	15318
862	viernes, 12 de mayo de 2017	31628
863	sábado, 13 de mayo de 2017	23505
864	domingo, 14 de mayo de 2017	14512
865	lunes, 15 de mayo de 2017	26304
866	martes, 16 de mayo de 2017	29133
867	miércoles, 17 de mayo de 2017	29047
868	jueves, 18 de mayo de 2017	29272
869	viernes, 19 de mayo de 2017	29783
870	sábado, 20 de mayo de 2017	23484

Análisis de la afluencia de un corredor de servicio de transporte concesionado en la Ciudad de México | 291

871	domingo, 21 de mayo de 2017	15036
872	lunes, 22 de mayo de 2017	27934
873	martes, 23 de mayo de 2017	29412
874	miércoles, 24 de mayo de 2017	28999
875	jueves, 25 de mayo de 2017	28654
876	viernes, 26 de mayo de 2017	30072
877	sábado, 27 de mayo de 2017	23975
878	domingo, 28 de mayo de 2017	14553
879	lunes, 29 de mayo de 2017	27421
880	martes, 30 de mayo de 2017	28636
881	miércoles, 31 de mayo de 2017	28796
882	jueves, 1 de junio de 2017	25251
883	viernes, 2 de junio de 2017	14795
884	sábado, 3 de junio de 2017	28714
885	domingo, 4 de junio de 2017	29677
886	lunes, 5 de junio de 2017	23064
887	martes, 6 de junio de 2017	28804
888	miércoles, 7 de junio de 2017	27878
889	jueves, 8 de junio de 2017	14451
890	viernes, 9 de junio de 2017	29466
891	sábado, 10 de junio de 2017	26549
892	domingo, 11 de junio de 2017	30397
893	lunes, 12 de junio de 2017	31479
894	martes, 13 de junio de 2017	28793
895	miércoles, 14 de junio de 2017	28614
896	jueves, 15 de junio de 2017	29443
897	viernes, 16 de junio de 2017	29481
898	sábado, 17 de junio de 2017	24834
899	domingo, 18 de junio de 2017	14671
900	lunes, 19 de junio de 2017	27399
901	martes, 20 de junio de 2017	28180
902	miércoles, 21 de junio de 2017	28343
903	jueves, 22 de junio de 2017	28513
904	viernes, 23 de junio de 2017	29169
905	sábado, 24 de junio de 2017	23764
906	domingo, 25 de junio de 2017	15653
907	lunes, 26 de junio de 2017	26940
908	martes, 27 de junio de 2017	27571
909	miércoles, 28 de junio de 2017	27830
910	jueves, 29 de junio de 2017	27394
911	viernes, 30 de junio de 2017	28432
912	sábado, 1 de julio de 2017	22240
913	domingo, 2 de julio de 2017	29826
914	lunes, 3 de julio de 2017	29156
915	martes, 4 de julio de 2017	29872
916	miércoles, 5 de julio de 2017	14508
917	jueves, 6 de julio de 2017	29039
918	viernes, 7 de julio de 2017	28237
919	sábado, 8 de julio de 2017	26749
920	domingo, 9 de julio de 2017	30080
921	lunes, 10 de julio de 2017	20643
922	martes, 11 de julio de 2017	32057
923	miércoles, 12 de julio de 2017	31677
924	jueves, 13 de julio de 2017	27536
925	viernes, 14 de julio de 2017	28512
926	sábado, 15 de julio de 2017	24203
927	domingo, 16 de julio de 2017	15482
928	lunes, 17 de julio de 2017	26645
929	martes, 18 de julio de 2017	26812
930	miércoles, 19 de julio de 2017	27049
931	jueves, 20 de julio de 2017	29252
932	viernes, 21 de julio de 2017	27797
933	sábado, 22 de julio de 2017	22677
934	domingo, 23 de julio de 2017	14438
935	lunes, 24 de julio de 2017	25979
936	martes, 25 de julio de 2017	26501
937	miércoles, 26 de julio de 2017	26945
938	jueves, 27 de julio de 2017	27068
939	viernes, 28 de julio de 2017	28825
940	sábado, 29 de julio de 2017	23178
941	domingo, 30 de julio de 2017	15199

942	lunes, 31 de julio de 2017	26964
943	martes, 1 de agosto de 2017	14059
944	miércoles, 2 de agosto de 2017	28933
945	jueves, 3 de agosto de 2017	28858
946	viernes, 4 de agosto de 2017	23943
947	sábado, 5 de agosto de 2017	27988
948	domingo, 6 de agosto de 2017	28791
949	lunes, 7 de agosto de 2017	22532
950	martes, 8 de agosto de 2017	26923
951	miércoles, 9 de agosto de 2017	26691
952	jueves, 10 de agosto de 2017	14570
953	viernes, 11 de agosto de 2017	31187
954	sábado, 12 de agosto de 2017	32194
955	domingo, 13 de agosto de 2017	14608
956	lunes, 14 de agosto de 2017	27455
957	martes, 15 de agosto de 2017	29430
958	miércoles, 16 de agosto de 2017	28670
959	jueves, 17 de agosto de 2017	28374
960	viernes, 18 de agosto de 2017	28658
961	sábado, 19 de agosto de 2017	23123
962	domingo, 20 de agosto de 2017	14996
963	lunes, 21 de agosto de 2017	27741
964	martes, 22 de agosto de 2017	28203
965	miércoles, 23 de agosto de 2017	28373
966	jueves, 24 de agosto de 2017	28272
967	viernes, 25 de agosto de 2017	28783
968	sábado, 26 de agosto de 2017	21838
969	domingo, 27 de agosto de 2017	14113
970	lunes, 28 de agosto de 2017	28212
971	martes, 29 de agosto de 2017	27857
972	miércoles, 30 de agosto de 2017	28450
973	jueves, 31 de agosto de 2017	30117
974	viernes, 1 de septiembre de 2017	25451
975	sábado, 2 de septiembre de 2017	29205
976	domingo, 3 de septiembre de 2017	29046
977	lunes, 4 de septiembre de 2017	16196
978	martes, 5 de septiembre de 2017	28886
979	miércoles, 6 de septiembre de 2017	29419
980	jueves, 7 de septiembre de 2017	14130
981	viernes, 8 de septiembre de 2017	26868
982	sábado, 9 de septiembre de 2017	22872
983	domingo, 10 de septiembre de 2017	25490
984	lunes, 11 de septiembre de 2017	31344
985	martes, 12 de septiembre de 2017	26732
986	miércoles, 13 de septiembre de 2017	31131
987	jueves, 14 de septiembre de 2017	31376
988	viernes, 15 de septiembre de 2017	27684
989	sábado, 16 de septiembre de 2017	14054
990	domingo, 17 de septiembre de 2017	14961
991	lunes, 18 de septiembre de 2017	30100
992	martes, 19 de septiembre de 2017	17743
993	miércoles, 20 de septiembre de 2017	0
994	jueves, 21 de septiembre de 2017	0
995	viernes, 22 de septiembre de 2017	0
996	sábado, 23 de septiembre de 2017	0
997	domingo, 24 de septiembre de 2017	0
998	lunes, 25 de septiembre de 2017	0
999	martes, 26 de septiembre de 2017	0
1000	miércoles, 27 de septiembre de 2017	0
1001	jueves, 28 de septiembre de 2017	24392
1002	viernes, 29 de septiembre de 2017	24679
1003	sábado, 30 de septiembre de 2017	18516
1004	domingo, 1 de octubre de 2017	26953
1005	lunes, 2 de octubre de 2017	22464
1006	martes, 3 de octubre de 2017	29783
1007	miércoles, 4 de octubre de 2017	24338
1008	jueves, 5 de octubre de 2017	24766
1009	viernes, 6 de octubre de 2017	23517
1010	sábado, 7 de octubre de 2017	26543
1011	domingo, 8 de octubre de 2017	27202
1012	lunes, 9 de octubre de 2017	14854



Análisis de la afluencia de un corredor de servicio de transporte concesionado en la Ciudad de México | 292

1013	martes, 10 de octubre de 2017	26389
1014	miércoles, 11 de octubre de 2017	31809
1015	jueves, 12 de octubre de 2017	18420
1016	viernes, 13 de octubre de 2017	27370
1017	sábado, 14 de octubre de 2017	21611
1018	domingo, 15 de octubre de 2017	13663
1019	lunes, 16 de octubre de 2017	26491
1020	martes, 17 de octubre de 2017	28046
1021	miércoles, 18 de octubre de 2017	26950
1022	jueves, 19 de octubre de 2017	27429
1023	viernes, 20 de octubre de 2017	27643
1024	sábado, 21 de octubre de 2017	21097
1025	domingo, 22 de octubre de 2017	13371
1026	lunes, 23 de octubre de 2017	26318
1027	martes, 24 de octubre de 2017	26964
1028	miércoles, 25 de octubre de 2017	27460
1029	jueves, 26 de octubre de 2017	27958
1030	viernes, 27 de octubre de 2017	28202
1031	sábado, 28 de octubre de 2017	22569
1032	domingo, 29 de octubre de 2017	13607
1033	lunes, 30 de octubre de 2017	29399
1034	martes, 31 de octubre de 2017	31810
1035	miércoles, 1 de noviembre de 2017	23944
1036	jueves, 2 de noviembre de 2017	23570
1037	viernes, 3 de noviembre de 2017	23586
1038	sábado, 4 de noviembre de 2017	24516
1039	domingo, 5 de noviembre de 2017	28348
1040	lunes, 6 de noviembre de 2017	14676
1041	martes, 7 de noviembre de 2017	27152
1042	miércoles, 8 de noviembre de 2017	27866
1043	jueves, 9 de noviembre de 2017	30188
1044	viernes, 10 de noviembre de 2017	26404
1045	sábado, 11 de noviembre de 2017	25153
1046	domingo, 12 de noviembre de 2017	30437
1047	lunes, 13 de noviembre de 2017	30420
1048	martes, 14 de noviembre de 2017	31118
1049	miércoles, 15 de noviembre de 2017	31841
1050	jueves, 16 de noviembre de 2017	32534
1051	viernes, 17 de noviembre de 2017	33213
1052	sábado, 18 de noviembre de 2017	26359
1053	domingo, 19 de noviembre de 2017	17025
1054	lunes, 20 de noviembre de 2017	16500
1055	martes, 21 de noviembre de 2017	33006
1056	miércoles, 22 de noviembre de 2017	31373
1057	jueves, 23 de noviembre de 2017	31770
1058	viernes, 24 de noviembre de 2017	32456
1059	sábado, 25 de noviembre de 2017	25692
1060	domingo, 26 de noviembre de 2017	16335
1061	lunes, 27 de noviembre de 2017	31424
1062	martes, 28 de noviembre de 2017	31845
1063	miércoles, 29 de noviembre de 2017	31888
1064	jueves, 30 de noviembre de 2017	31888
1065	viernes, 1 de diciembre de 2017	26928
1066	sábado, 2 de diciembre de 2017	14871
1067	domingo, 3 de diciembre de 2017	15264
1068	lunes, 4 de diciembre de 2017	24592
1069	martes, 5 de diciembre de 2017	28830
1070	miércoles, 6 de diciembre de 2017	27819
1071	jueves, 7 de diciembre de 2017	28123
1072	viernes, 8 de diciembre de 2017	23113
1073	sábado, 9 de diciembre de 2017	30546
1074	domingo, 10 de diciembre de 2017	28084
1075	lunes, 11 de diciembre de 2017	15710
1076	martes, 12 de diciembre de 2017	26433
1077	miércoles, 13 de diciembre de 2017	30664
1078	jueves, 14 de diciembre de 2017	31754
1079	viernes, 15 de diciembre de 2017	33062
1080	sábado, 16 de diciembre de 2017	29121
1081	domingo, 17 de diciembre de 2017	18782
1082	lunes, 18 de diciembre de 2017	31344
1083	martes, 19 de diciembre de 2017	31036

1084	miércoles, 20 de diciembre de 2017	32049
1085	jueves, 21 de diciembre de 2017	31363
1086	viernes, 22 de diciembre de 2017	33068
1087	sábado, 23 de diciembre de 2017	27356
1088	domingo, 24 de diciembre de 2017	15805
1089	lunes, 25 de diciembre de 2017	9335
1090	martes, 26 de diciembre de 2017	22079
1091	miércoles, 27 de diciembre de 2017	22995
1092	jueves, 28 de diciembre de 2017	24550
1093	viernes, 29 de diciembre de 2017	25048
1094	sábado, 30 de diciembre de 2017	21122
1095	domingo, 31 de diciembre de 2017	14235
1096	lunes, 1 de enero de 2018	8893
1097	martes, 2 de enero de 2018	16907
1098	miércoles, 3 de enero de 2018	32273
1099	jueves, 4 de enero de 2018	14502
1100	viernes, 5 de enero de 2018	19551
1101	sábado, 6 de enero de 2018	33511
1102	domingo, 7 de enero de 2018	3968
1103	lunes, 8 de enero de 2018	33548
1104	martes, 9 de enero de 2018	30543
1105	miércoles, 10 de enero de 2018	34193
1106	jueves, 11 de enero de 2018	32921
1107	viernes, 12 de enero de 2018	29896
1108	sábado, 13 de enero de 2018	23896
1109	domingo, 14 de enero de 2018	15710
1110	lunes, 15 de enero de 2018	28999
1111	martes, 16 de enero de 2018	29725
1112	miércoles, 17 de enero de 2018	28805
1113	jueves, 18 de enero de 2018	29310
1114	viernes, 19 de enero de 2018	29876
1115	sábado, 20 de enero de 2018	24586
1116	domingo, 21 de enero de 2018	15651
1117	lunes, 22 de enero de 2018	29743
1118	martes, 23 de enero de 2018	29780
1119	miércoles, 24 de enero de 2018	29623
1120	jueves, 25 de enero de 2018	29943
1121	viernes, 26 de enero de 2018	31046
1122	sábado, 27 de enero de 2018	24578
1123	domingo, 28 de enero de 2018	14767
1124	lunes, 29 de enero de 2018	29270
1125	martes, 30 de enero de 2018	29915
1126	miércoles, 31 de enero de 2018	30612
1127	jueves, 1 de febrero de 2018	23961
1128	viernes, 2 de febrero de 2018	31668
1129	sábado, 3 de febrero de 2018	33115
1130	domingo, 4 de febrero de 2018	28682
1131	lunes, 5 de febrero de 2018	32924
1132	martes, 6 de febrero de 2018	27140
1133	miércoles, 7 de febrero de 2018	29655
1134	jueves, 8 de febrero de 2018	32842
1135	viernes, 9 de febrero de 2018	21249
1136	sábado, 10 de febrero de 2018	34291
1137	domingo, 11 de febrero de 2018	24578
1138	lunes, 12 de febrero de 2018	25902
1139	martes, 13 de febrero de 2018	32316
1140	miércoles, 14 de febrero de 2018	32614
1141	jueves, 15 de febrero de 2018	32331
1142	viernes, 16 de febrero de 2018	31854
1143	sábado, 17 de febrero de 2018	25791
1144	domingo, 18 de febrero de 2018	16748
1145	lunes, 19 de febrero de 2018	30390
1146	martes, 20 de febrero de 2018	31847
1147	miércoles, 21 de febrero de 2018	31471
1148	jueves, 22 de febrero de 2018	32070
1149	viernes, 23 de febrero de 2018	9
1150	sábado, 24 de febrero de 2018	25928
1151	domingo, 25 de febrero de 2018	16927
1152	lunes, 26 de febrero de 2018	31299
1153	martes, 27 de febrero de 2018	31864
1154	miércoles, 28 de febrero de 2018	26336



Análisis de la afluencia de un corredor de servicio de transporte concesionado en la Ciudad de México | 293

1155	jueves, 1 de marzo de 2018	26359
1156	viernes, 2 de marzo de 2018	24319
1157	sábado, 3 de marzo de 2018	26719
1158	domingo, 4 de marzo de 2018	30392
1159	lunes, 5 de marzo de 2018	33077
1160	martes, 6 de marzo de 2018	17822
1161	miércoles, 7 de marzo de 2018	31221
1162	jueves, 8 de marzo de 2018	33702
1163	viernes, 9 de marzo de 2018	33436
1164	sábado, 10 de marzo de 2018	35363
1165	domingo, 11 de marzo de 2018	26170
1166	lunes, 12 de marzo de 2018	35536
1167	martes, 13 de marzo de 2018	32198
1168	miércoles, 14 de marzo de 2018	32484
1169	jueves, 15 de marzo de 2018	32497
1170	viernes, 16 de marzo de 2018	33802
1171	sábado, 17 de marzo de 2018	26892
1172	domingo, 18 de marzo de 2018	16938
1173	lunes, 19 de marzo de 2018	16294
1174	martes, 20 de marzo de 2018	32246
1175	miércoles, 21 de marzo de 2018	31907
1176	jueves, 22 de marzo de 2018	32491
1177	viernes, 23 de marzo de 2018	32771
1178	sábado, 24 de marzo de 2018	25737
1179	domingo, 25 de marzo de 2018	16328
1180	lunes, 26 de marzo de 2018	26455
1181	martes, 27 de marzo de 2018	29504
1182	miércoles, 28 de marzo de 2018	27351
1183	jueves, 29 de marzo de 2018	19343
1184	viernes, 30 de marzo de 2018	13432
1185	sábado, 31 de marzo de 2018	15841
1186	domingo, 1 de abril de 2018	28713
1187	lunes, 2 de abril de 2018	16110
1188	martes, 3 de abril de 2018	16622
1189	miércoles, 4 de abril de 2018	29909
1190	jueves, 5 de abril de 2018	33347
1191	viernes, 6 de abril de 2018	31425
1192	sábado, 7 de abril de 2018	31767
1193	domingo, 8 de abril de 2018	28505
1194	lunes, 9 de abril de 2018	34208
1195	martes, 10 de abril de 2018	35114
1196	miércoles, 11 de abril de 2018	19473
1197	jueves, 12 de abril de 2018	36328
1198	viernes, 13 de abril de 2018	32785
1199	sábado, 14 de abril de 2018	26494
1200	domingo, 15 de abril de 2018	18049
1201	lunes, 16 de abril de 2018	32640
1202	martes, 17 de abril de 2018	32499
1203	miércoles, 18 de abril de 2018	32290
1204	jueves, 19 de abril de 2018	32520
1205	viernes, 20 de abril de 2018	34388
1206	sábado, 21 de abril de 2018	26961
1207	domingo, 22 de abril de 2018	21629
1208	lunes, 23 de abril de 2018	32352
1209	martes, 24 de abril de 2018	33837
1210	miércoles, 25 de abril de 2018	32814
1211	jueves, 26 de abril de 2018	32834
1212	viernes, 27 de abril de 2018	34115
1213	sábado, 28 de abril de 2018	27725
1214	domingo, 29 de abril de 2018	24566
1215	lunes, 30 de abril de 2018	30721
1216	martes, 1 de mayo de 2018	31053
1217	miércoles, 2 de mayo de 2018	15724
1218	jueves, 3 de mayo de 2018	31326
1219	viernes, 4 de mayo de 2018	30389
1220	sábado, 5 de mayo de 2018	27575
1221	domingo, 6 de mayo de 2018	32324
1222	lunes, 7 de mayo de 2018	32106
1223	martes, 8 de mayo de 2018	20040
1224	miércoles, 9 de mayo de 2018	33544
1225	jueves, 10 de mayo de 2018	36935

1226	viernes, 11 de mayo de 2018	35112
1227	sábado, 12 de mayo de 2018	35599
1228	domingo, 13 de mayo de 2018	16921
1229	lunes, 14 de mayo de 2018	30728
1230	martes, 15 de mayo de 2018	30870
1231	miércoles, 16 de mayo de 2018	31583
1232	jueves, 17 de mayo de 2018	32188
1233	viernes, 18 de mayo de 2018	32716
1234	sábado, 19 de mayo de 2018	26131
1235	domingo, 20 de mayo de 2018	17185
1236	lunes, 21 de mayo de 2018	32813
1237	martes, 22 de mayo de 2018	31860
1238	miércoles, 23 de mayo de 2018	31873
1239	jueves, 24 de mayo de 2018	32253
1240	viernes, 25 de mayo de 2018	33181
1241	sábado, 26 de mayo de 2018	26252
1242	domingo, 27 de mayo de 2018	16818
1243	lunes, 28 de mayo de 2018	30964
1244	martes, 29 de mayo de 2018	31770
1245	miércoles, 30 de mayo de 2018	32123
1246	jueves, 31 de mayo de 2018	32094
1247	viernes, 1 de junio de 2018	22208
1248	sábado, 2 de junio de 2018	30964
1249	domingo, 3 de junio de 2018	32525
1250	lunes, 4 de junio de 2018	30340
1251	martes, 5 de junio de 2018	16899
1252	miércoles, 6 de junio de 2018	31884
1253	jueves, 7 de junio de 2018	32323
1254	viernes, 8 de junio de 2018	33045
1255	sábado, 9 de junio de 2018	33180
1256	domingo, 10 de junio de 2018	31399
1257	lunes, 11 de junio de 2018	36325
1258	martes, 12 de junio de 2018	36367
1259	miércoles, 13 de junio de 2018	31848
1260	jueves, 14 de junio de 2018	31318
1261	viernes, 15 de junio de 2018	33993
1262	sábado, 16 de junio de 2018	28788
1263	domingo, 17 de junio de 2018	17864
1264	lunes, 18 de junio de 2018	30550
1265	martes, 19 de junio de 2018	32321
1266	miércoles, 20 de junio de 2018	32027
1267	jueves, 21 de junio de 2018	32239
1268	viernes, 22 de junio de 2018	33369
1269	sábado, 23 de junio de 2018	27135
1270	domingo, 24 de junio de 2018	20702
1271	lunes, 25 de junio de 2018	30497
1272	martes, 26 de junio de 2018	31692
1273	miércoles, 27 de junio de 2018	31683
1274	jueves, 28 de junio de 2018	32148
1275	viernes, 29 de junio de 2018	33670
1276	sábado, 30 de junio de 2018	29285
1277	domingo, 1 de julio de 2018	15091
1278	lunes, 2 de julio de 2018	31717
1279	martes, 3 de julio de 2018	32343
1280	miércoles, 4 de julio de 2018	25435
1281	jueves, 5 de julio de 2018	31814
1282	viernes, 6 de julio de 2018	32995
1283	sábado, 7 de julio de 2018	27690
1284	domingo, 8 de julio de 2018	34066
1285	lunes, 9 de julio de 2018	34778
1286	martes, 10 de julio de 2018	20881
1287	miércoles, 11 de julio de 2018	35439
1288	jueves, 12 de julio de 2018	38686
1289	viernes, 13 de julio de 2018	32815
1290	sábado, 14 de julio de 2018	28772
1291	domingo, 15 de julio de 2018	20208
1292	lunes, 16 de julio de 2018	30346
1293	martes, 17 de julio de 2018	31282
1294	miércoles, 18 de julio de 2018	30979
1295	jueves, 19 de julio de 2018	32415
1296	viernes, 20 de julio de 2018	32269



1297	sábado, 21 de julio de 2018	28872
1298	domingo, 22 de julio de 2018	19752
1299	lunes, 23 de julio de 2018	30122
1300	martes, 24 de julio de 2018	30760
1301	miércoles, 25 de julio de 2018	31206
1302	jueves, 26 de julio de 2018	30970
1303	viernes, 27 de julio de 2018	31663
1304	sábado, 28 de julio de 2018	27642
1305	domingo, 29 de julio de 2018	19648
1306	lunes, 30 de julio de 2018	30350
1307	martes, 31 de julio de 2018	32243
1308	miércoles, 1 de agosto de 2018	28452
1309	jueves, 2 de agosto de 2018	32012
1310	viernes, 3 de agosto de 2018	29804
1311	sábado, 4 de agosto de 2018	16353
1312	domingo, 5 de agosto de 2018	32357
1313	lunes, 6 de agosto de 2018	34884
1314	martes, 7 de agosto de 2018	18089
1315	miércoles, 8 de agosto de 2018	33827
1316	jueves, 9 de agosto de 2018	29690
1317	viernes, 10 de agosto de 2018	34020
1318	sábado, 11 de agosto de 2018	35252
1319	domingo, 12 de agosto de 2018	35293
1320	lunes, 13 de agosto de 2018	32935
1321	martes, 14 de agosto de 2018	34283
1322	miércoles, 15 de agosto de 2018	34812
1323	jueves, 16 de agosto de 2018	33994
1324	viernes, 17 de agosto de 2018	35026
1325	sábado, 18 de agosto de 2018	29818
1326	domingo, 19 de agosto de 2018	20666
1327	lunes, 20 de agosto de 2018	32685
1328	martes, 21 de agosto de 2018	33407
1329	miércoles, 22 de agosto de 2018	33812
1330	jueves, 23 de agosto de 2018	33633
1331	viernes, 24 de agosto de 2018	35147
1332	sábado, 25 de agosto de 2018	28653
1333	domingo, 26 de agosto de 2018	19553
1334	lunes, 27 de agosto de 2018	32266
1335	martes, 28 de agosto de 2018	33318
1336	miércoles, 29 de agosto de 2018	33503
1337	jueves, 30 de agosto de 2018	33991
1338	viernes, 31 de agosto de 2018	35364
1339	sábado, 1 de septiembre de 2018	29172
1340	domingo, 2 de septiembre de 2018	32075
1341	lunes, 3 de septiembre de 2018	32658
1342	martes, 4 de septiembre de 2018	31014
1343	miércoles, 5 de septiembre de 2018	33217
1344	jueves, 6 de septiembre de 2018	27344
1345	viernes, 7 de septiembre de 2018	29539
1346	sábado, 8 de septiembre de 2018	33437
1347	domingo, 9 de septiembre de 2018	20306
1348	lunes, 10 de septiembre de 2018	35114
1349	martes, 11 de septiembre de 2018	38663
1350	miércoles, 12 de septiembre de 2018	24105
1351	jueves, 13 de septiembre de 2018	34261
1352	viernes, 14 de septiembre de 2018	35747
1353	sábado, 15 de septiembre de 2018	25862
1354	domingo, 16 de septiembre de 2018	16270
1355	lunes, 17 de septiembre de 2018	32994
1356	martes, 18 de septiembre de 2018	34720
1357	miércoles, 19 de septiembre de 2018	33764
1358	jueves, 20 de septiembre de 2018	34695
1359	viernes, 21 de septiembre de 2018	36826
1360	sábado, 22 de septiembre de 2018	29317
1361	domingo, 23 de septiembre de 2018	20172
1362	lunes, 24 de septiembre de 2018	33418
1363	martes, 25 de septiembre de 2018	32684
1364	miércoles, 26 de septiembre de 2018	32294
1365	jueves, 27 de septiembre de 2018	34985
1366	viernes, 28 de septiembre de 2018	37004
1367	sábado, 29 de septiembre de 2018	30937

1368	domingo, 30 de septiembre de 2018	21386
1369	lunes, 1 de octubre de 2018	29494
1370	martes, 2 de octubre de 2018	25420
1371	miércoles, 3 de octubre de 2018	26893
1372	jueves, 4 de octubre de 2018	31904
1373	viernes, 5 de octubre de 2018	28165
1374	sábado, 6 de octubre de 2018	18938
1375	domingo, 7 de octubre de 2018	30880
1376	lunes, 8 de octubre de 2018	35525
1377	martes, 9 de octubre de 2018	33520
1378	miércoles, 10 de octubre de 2018	35977
1379	jueves, 11 de octubre de 2018	33112
1380	viernes, 12 de octubre de 2018	35189
1381	sábado, 13 de octubre de 2018	31279
1382	domingo, 14 de octubre de 2018	21499
1383	lunes, 15 de octubre de 2018	34706
1384	martes, 16 de octubre de 2018	35723
1385	miércoles, 17 de octubre de 2018	35615
1386	jueves, 18 de octubre de 2018	35449
1387	viernes, 19 de octubre de 2018	36755
1388	sábado, 20 de octubre de 2018	31119
1389	domingo, 21 de octubre de 2018	20645
1390	lunes, 22 de octubre de 2018	34453
1391	martes, 23 de octubre de 2018	35629
1392	miércoles, 24 de octubre de 2018	34966
1393	jueves, 25 de octubre de 2018	35787
1394	viernes, 26 de octubre de 2018	37212
1395	sábado, 27 de octubre de 2018	31841
1396	domingo, 28 de octubre de 2018	21561
1397	lunes, 29 de octubre de 2018	34880
1398	martes, 30 de octubre de 2018	35530
1399	miércoles, 31 de octubre de 2018	34504
1400	jueves, 1 de noviembre de 2018	29417
1401	viernes, 2 de noviembre de 2018	15783
1402	sábado, 3 de noviembre de 2018	16571
1403	domingo, 4 de noviembre de 2018	32017
1404	lunes, 5 de noviembre de 2018	31962
1405	martes, 6 de noviembre de 2018	33577
1406	miércoles, 7 de noviembre de 2018	30193
1407	jueves, 8 de noviembre de 2018	28496
1408	viernes, 9 de noviembre de 2018	34223
1409	sábado, 10 de noviembre de 2018	34967
1410	domingo, 11 de noviembre de 2018	22653
1411	lunes, 12 de noviembre de 2018	36149
1412	martes, 13 de noviembre de 2018	36096
1413	miércoles, 14 de noviembre de 2018	36618
1414	jueves, 15 de noviembre de 2018	32903
1415	viernes, 16 de noviembre de 2018	40387
1416	sábado, 17 de noviembre de 2018	37075
1417	domingo, 18 de noviembre de 2018	26287
1418	lunes, 19 de noviembre de 2018	26431
1419	martes, 20 de noviembre de 2018	35387
1420	miércoles, 21 de noviembre de 2018	35297
1421	jueves, 22 de noviembre de 2018	36053
1422	viernes, 23 de noviembre de 2018	36951
1423	sábado, 24 de noviembre de 2018	31732
1424	domingo, 25 de noviembre de 2018	22672
1425	lunes, 26 de noviembre de 2018	34220
1426	martes, 27 de noviembre de 2018	49
1427	miércoles, 28 de noviembre de 2018	35114
1428	jueves, 29 de noviembre de 2018	35977
1429	viernes, 30 de noviembre de 2018	34967
1430	sábado, 1 de diciembre de 2018	30159
1431	domingo, 2 de diciembre de 2018	31531
1432	lunes, 3 de diciembre de 2018	31273
1433	martes, 4 de diciembre de 2018	31990
1434	miércoles, 5 de diciembre de 2018	26287
1435	jueves, 6 de diciembre de 2018	31486
1436	viernes, 7 de diciembre de 2018	31434
1437	sábado, 8 de diciembre de 2018	19834
1438	domingo, 9 de diciembre de 2018	34279



Análisis de la afluencia de un corredor de servicio de transporte concesionado en la Ciudad de México | 295

1439	lunes, 10 de diciembre de 2018	36691
1440	martes, 11 de diciembre de 2018	34240
1441	miércoles, 12 de diciembre de 2018	31963
1442	jueves, 13 de diciembre de 2018	35817
1443	viernes, 14 de diciembre de 2018	37540
1444	sábado, 15 de diciembre de 2018	35102
1445	domingo, 16 de diciembre de 2018	28303
1446	lunes, 17 de diciembre de 2018	35165
1447	martes, 18 de diciembre de 2018	35366
1448	miércoles, 19 de diciembre de 2018	36366
1449	jueves, 20 de diciembre de 2018	36341
1450	viernes, 21 de diciembre de 2018	38413
1451	sábado, 22 de diciembre de 2018	34592
1452	domingo, 23 de diciembre de 2018	29062
1453	lunes, 24 de diciembre de 2018	27560
1454	martes, 25 de diciembre de 2018	15225
1455	miércoles, 26 de diciembre de 2018	28724
1456	jueves, 27 de diciembre de 2018	30656
1457	viernes, 28 de diciembre de 2018	31414
1458	sábado, 29 de diciembre de 2018	28543
1459	domingo, 30 de diciembre de 2018	60
1460	lunes, 31 de diciembre de 2018	28873
1461	martes, 1 de enero de 2019	13568
1462	miércoles, 2 de enero de 2019	36355
1463	jueves, 3 de enero de 2019	38351
1464	viernes, 4 de enero de 2019	35160
1465	sábado, 5 de enero de 2019	25944
1466	domingo, 6 de enero de 2019	30946
1467	lunes, 7 de enero de 2019	31698
1468	martes, 8 de enero de 2019	36071
1469	miércoles, 9 de enero de 2019	22852
1470	jueves, 10 de enero de 2019	37313
1471	viernes, 11 de enero de 2019	37372
1472	sábado, 12 de enero de 2019	27849
1473	domingo, 13 de enero de 2019	23689
1474	lunes, 14 de enero de 2019	34410
1475	martes, 15 de enero de 2019	34798
1476	miércoles, 16 de enero de 2019	34836
1477	jueves, 17 de enero de 2019	34196
1478	viernes, 18 de enero de 2019	36144
1479	sábado, 19 de enero de 2019	31154
1480	domingo, 20 de enero de 2019	22219
1481	lunes, 21 de enero de 2019	33553
1482	martes, 22 de enero de 2019	34182
1483	miércoles, 23 de enero de 2019	34621
1484	jueves, 24 de enero de 2019	34330
1485	viernes, 25 de enero de 2019	36063
1486	sábado, 26 de enero de 2019	29833
1487	domingo, 27 de enero de 2019	21276
1488	lunes, 28 de enero de 2019	34065
1489	martes, 29 de enero de 2019	34530
1490	miércoles, 30 de enero de 2019	34756
1491	jueves, 31 de enero de 2019	35820
1492	viernes, 1 de febrero de 2019	29109
1493	sábado, 2 de febrero de 2019	30712
1494	domingo, 3 de febrero de 2019	30595
1495	lunes, 4 de febrero de 2019	37627
1496	martes, 5 de febrero de 2019	35254
1497	miércoles, 6 de febrero de 2019	22883
1498	jueves, 7 de febrero de 2019	34470
1499	viernes, 8 de febrero de 2019	36795
1500	sábado, 9 de febrero de 2019	35981
1501	domingo, 10 de febrero de 2019	32107
1502	lunes, 11 de febrero de 2019	27340
1503	martes, 12 de febrero de 2019	39139
1504	miércoles, 13 de febrero de 2019	35926
1505	jueves, 14 de febrero de 2019	38850
1506	viernes, 15 de febrero de 2019	37613
1507	sábado, 16 de febrero de 2019	31281
1508	domingo, 17 de febrero de 2019	21955
1509	lunes, 18 de febrero de 2019	34879

1510	martes, 19 de febrero de 2019	34253
1511	miércoles, 20 de febrero de 2019	34933
1512	jueves, 21 de febrero de 2019	36279
1513	viernes, 22 de febrero de 2019	36983
1514	sábado, 23 de febrero de 2019	30627
1515	domingo, 24 de febrero de 2019	19527
1516	lunes, 25 de febrero de 2019	33632
1517	martes, 26 de febrero de 2019	35498
1518	miércoles, 27 de febrero de 2019	44428



ANEXO XI: Datos de las variables dummy diarios (1 enero 2017 al 27 de febrero 2019)

#	FECHA	Dom	Lun	Mar	Mier	Jue	Vie	Sab
731	domingo, 1 de enero de 2017	1	0	0	0	0	0	0
732	lunes, 2 de enero de 2017	0	1	0	0	0	0	0
733	martes, 3 de enero de 2017	0	0	1	0	0	0	0
734	miércoles, 4 de enero de 2017	0	0	0	1	0	0	0
735	jueves, 5 de enero de 2017	0	0	0	0	1	0	0
736	viernes, 6 de enero de 2017	0	0	0	0	0	1	0
737	sábado, 7 de enero de 2017	0	0	0	0	0	0	1
738	domingo, 8 de enero de 2017	1	0	0	0	0	0	0
739	lunes, 9 de enero de 2017	0	1	0	0	0	0	0
740	martes, 10 de enero de 2017	0	0	1	0	0	0	0
741	miércoles, 11 de enero de 2017	0	0	0	1	0	0	0
742	jueves, 12 de enero de 2017	0	0	0	0	1	0	0
743	viernes, 13 de enero de 2017	0	0	0	0	0	1	0
744	sábado, 14 de enero de 2017	0	0	0	0	0	0	1
745	domingo, 15 de enero de 2017	1	0	0	0	0	0	0
746	lunes, 16 de enero de 2017	0	1	0	0	0	0	0
747	martes, 17 de enero de 2017	0	0	1	0	0	0	0
748	miércoles, 18 de enero de 2017	0	0	0	1	0	0	0
749	jueves, 19 de enero de 2017	0	0	0	0	1	0	0
750	viernes, 20 de enero de 2017	0	0	0	0	0	1	0
751	sábado, 21 de enero de 2017	0	0	0	0	0	0	1
752	domingo, 22 de enero de 2017	1	0	0	0	0	0	0
753	lunes, 23 de enero de 2017	0	1	0	0	0	0	0
754	martes, 24 de enero de 2017	0	0	1	0	0	0	0
755	miércoles, 25 de enero de 2017	0	0	0	1	0	0	0
756	jueves, 26 de enero de 2017	0	0	0	0	1	0	0
757	viernes, 27 de enero de 2017	0	0	0	0	0	1	0
758	sábado, 28 de enero de 2017	0	0	0	0	0	0	1
759	domingo, 29 de enero de 2017	1	0	0	0	0	0	0
760	lunes, 30 de enero de 2017	0	1	0	0	0	0	0
761	martes, 31 de enero de 2017	0	0	1	0	0	0	0
762	miércoles, 1 de febrero de 2017	0	0	0	1	0	0	0
763	jueves, 2 de febrero de 2017	0	0	0	0	1	0	0
764	viernes, 3 de febrero de 2017	0	0	0	0	0	1	0
765	sábado, 4 de febrero de 2017	0	0	0	0	0	0	1
766	domingo, 5 de febrero de 2017	1	0	0	0	0	0	0
767	lunes, 6 de febrero de 2017	0	1	0	0	0	0	0
768	martes, 7 de febrero de 2017	0	0	1	0	0	0	0
769	miércoles, 8 de febrero de 2017	0	0	0	1	0	0	0
770	jueves, 9 de febrero de 2017	0	0	0	0	1	0	0
771	viernes, 10 de febrero de 2017	0	0	0	0	0	1	0
772	sábado, 11 de febrero de 2017	0	0	0	0	0	0	1
773	domingo, 12 de febrero de 2017	1	0	0	0	0	0	0
774	lunes, 13 de febrero de 2017	0	1	0	0	0	0	0
775	martes, 14 de febrero de 2017	0	0	1	0	0	0	0
776	#####	0	0	0	1	0	0	0
777	jueves, 16 de febrero de 2017	0	0	0	0	1	0	0
778	viernes, 17 de febrero de 2017	0	0	0	0	0	1	0
779	sábado, 18 de febrero de 2017	0	0	0	0	0	0	1
780	domingo, 19 de febrero de 2017	1	0	0	0	0	0	0
781	lunes, 20 de febrero de 2017	0	1	0	0	0	0	0
782	martes, 21 de febrero de 2017	0	0	1	0	0	0	0
783	#####	0	0	0	1	0	0	0
784	jueves, 23 de febrero de 2017	0	0	0	0	1	0	0
785	viernes, 24 de febrero de 2017	0	0	0	0	0	1	0
786	sábado, 25 de febrero de 2017	0	0	0	0	0	0	1
787	domingo, 26 de febrero de 2017	1	0	0	0	0	0	0
788	lunes, 27 de febrero de 2017	0	1	0	0	0	0	0
789	martes, 28 de febrero de 2017	0	0	1	0	0	0	0
790	miércoles, 1 de marzo de 2017	0	0	0	1	0	0	0
791	jueves, 2 de marzo de 2017	0	0	0	0	1	0	0
792	viernes, 3 de marzo de 2017	0	0	0	0	0	1	0
793	sábado, 4 de marzo de 2017	0	0	0	0	0	0	1
794	domingo, 5 de marzo de 2017	1	0	0	0	0	0	0
795	lunes, 6 de marzo de 2017	0	1	0	0	0	0	0
796	martes, 7 de marzo de 2017	0	0	1	0	0	0	0
797	miércoles, 8 de marzo de 2017	0	0	0	1	0	0	0
798	jueves, 9 de marzo de 2017	0	0	0	0	1	0	0
799	viernes, 10 de marzo de 2017	0	0	0	0	0	1	0
800	sábado, 11 de marzo de 2017	0	0	0	0	0	0	1
801	domingo, 12 de marzo de 2017	1	0	0	0	0	0	0
802	lunes, 13 de marzo de 2017	0	1	0	0	0	0	0
803	martes, 14 de marzo de 2017	0	0	1	0	0	0	0
804	miércoles, 15 de marzo de 2017	0	0	0	1	0	0	0
805	jueves, 16 de marzo de 2017	0	0	0	0	1	0	0
806	viernes, 17 de marzo de 2017	0	0	0	0	0	1	0
807	sábado, 18 de marzo de 2017	0	0	0	0	0	0	1
808	domingo, 19 de marzo de 2017	1	0	0	0	0	0	0
809	lunes, 20 de marzo de 2017	0	1	0	0	0	0	0
810	martes, 21 de marzo de 2017	0	0	1	0	0	0	0
811	miércoles, 22 de marzo de 2017	0	0	0	1	0	0	0
812	jueves, 23 de marzo de 2017	0	0	0	0	1	0	0
813	viernes, 24 de marzo de 2017	0	0	0	0	0	1	0
814	sábado, 25 de marzo de 2017	0	0	0	0	0	0	1
815	domingo, 26 de marzo de 2017	1	0	0	0	0	0	0
816	lunes, 27 de marzo de 2017	0	1	0	0	0	0	0
817	martes, 28 de marzo de 2017	0	0	1	0	0	0	0
818	miércoles, 29 de marzo de 2017	0	0	0	1	0	0	0
819	jueves, 30 de marzo de 2017	0	0	0	0	1	0	0
820	viernes, 31 de marzo de 2017	0	0	0	0	0	1	0
821	sábado, 1 de abril de 2017	0	0	0	0	0	0	1
822	domingo, 2 de abril de 2017	1	0	0	0	0	0	0
823	lunes, 3 de abril de 2017	0	1	0	0	0	0	0
824	martes, 4 de abril de 2017	0	0	1	0	0	0	0
825	miércoles, 5 de abril de 2017	0	0	0	1	0	0	0
826	jueves, 6 de abril de 2017	0	0	0	0	1	0	0
827	viernes, 7 de abril de 2017	0	0	0	0	0	1	0
828	sábado, 8 de abril de 2017	0	0	0	0	0	0	1
829	domingo, 9 de abril de 2017	1	0	0	0	0	0	0
830	lunes, 10 de abril de 2017	0	1	0	0	0	0	0
831	martes, 11 de abril de 2017	0	0	1	0	0	0	0
832	miércoles, 12 de abril de 2017	0	0	0	1	0	0	0
833	jueves, 13 de abril de 2017	0	0	0	0	1	0	0
834	viernes, 14 de abril de 2017	0	0	0	0	0	1	0
835	sábado, 15 de abril de 2017	0	0	0	0	0	0	1
836	domingo, 16 de abril de 2017	1	0	0	0	0	0	0
837	lunes, 17 de abril de 2017	0	1	0	0	0	0	0
838	martes, 18 de abril de 2017	0	0	1	0	0	0	0
839	miércoles, 19 de abril de 2017	0	0	0	1	0	0	0
840	jueves, 20 de abril de 2017	0	0	0	0	1	0	0
841	viernes, 21 de abril de 2017	0	0	0	0	0	1	0
842	sábado, 22 de abril de 2017	0	0	0	0	0	0	1
843	domingo, 23 de abril de 2017	1	0	0	0	0	0	0
844	lunes, 24 de abril de 2017	0	1	0	0	0	0	0
845	martes, 25 de abril de 2017	0	0	1	0	0	0	0
846	miércoles, 26 de abril de 2017	0	0	0	1	0	0	0
847	jueves, 27 de abril de 2017	0	0	0	0	1	0	0
848	viernes, 28 de abril de 2017	0	0	0	0	0	1	0
849	sábado, 29 de abril de 2017	0	0	0	0	0	0	1
850	domingo, 30 de abril de 2017	1	0	0	0	0	0	0
851	lunes, 1 de mayo de 2017	0	1	0	0	0	0	0
852	martes, 2 de mayo de 2017	0	0	1	0	0	0	0
853	miércoles, 3 de mayo de 2017	0	0	0	1	0	0	0
854	jueves, 4 de mayo de 2017	0	0	0	0	1	0	0
855	viernes, 5 de mayo de 2017	0	0	0	0	0	1	0
856	sábado, 6 de mayo de 2017	0	0	0	0	0	0	1
857	domingo, 7 de mayo de 2017	1	0	0	0	0	0	0
858	lunes, 8 de mayo de 2017	0	1	0	0	0	0	0
859	martes, 9 de mayo de 2017	0	0	1	0	0	0	0
860	miércoles, 10 de mayo de 2017	0	0	0	1	0	0	0
861	jueves, 11 de mayo de 2017	0	0	0	0	1	0	0
862	viernes, 12 de mayo de 2017	0	0	0	0	0	1	0
863	sábado, 13 de mayo de 2017	0	0	0	0	0	0	1
864	domingo, 14 de mayo de 2017	1	0	0	0	0	0	0
865	lunes, 15 de mayo de 2017	0	1	0	0	0	0	0
866	martes, 16 de mayo de 2017	0	0	1	0	0	0	0
867	miércoles, 17 de mayo de 2017	0	0	0	1	0	0	0
868	jueves, 18 de mayo de 2017	0	0	0	0	1	0	0
869	viernes, 19 de mayo de 2017	0	0	0	0	0	1	0
870	sábado, 20 de mayo de 2017	0	0	0	0	0	0	1



Análisis de la afluencia de un corredor de servicio de transporte concesionado en la Ciudad de México | 298

###	martes, 10 de octubre de 2017	0	0	1	0	0	0	0	###	#####	0	0	0	1	0	0	0
###	#####	0	0	0	1	0	0	0	###	jueves, 21 de diciembre de 2017	0	0	0	0	1	0	0
###	jueves, 12 de octubre de 2017	0	0	0	0	1	0	0	###	#####	0	0	0	0	0	1	0
###	viernes, 13 de octubre de 2017	0	0	0	0	0	1	0	###	sábado, 23 de diciembre de 2017	0	0	0	0	0	0	1
###	sábado, 14 de octubre de 2017	0	0	0	0	0	0	1	###	#####	1	0	0	0	0	0	0
###	domingo, 15 de octubre de 2017	1	0	0	0	0	0	0	###	lunes, 25 de diciembre de 2017	0	1	0	0	0	0	0
###	lunes, 16 de octubre de 2017	0	1	0	0	0	0	0	###	martes, 26 de diciembre de 2017	0	0	1	0	0	0	0
###	martes, 17 de octubre de 2017	0	0	1	0	0	0	0	###	#####	0	0	0	1	0	0	0
###	#####	0	0	0	1	0	0	0	###	jueves, 28 de diciembre de 2017	0	0	0	0	0	1	0
###	jueves, 19 de octubre de 2017	0	0	0	0	1	0	0	###	#####	0	0	0	0	0	1	0
###	viernes, 20 de octubre de 2017	0	0	0	0	0	1	0	###	sábado, 30 de diciembre de 2017	0	0	0	0	0	0	1
###	sábado, 21 de octubre de 2017	0	0	0	0	0	0	1	###	#####	1	0	0	0	0	0	0
###	domingo, 22 de octubre de 2017	1	0	0	0	0	0	0	###	lunes, 1 de enero de 2018	0	1	0	0	0	0	0
###	lunes, 23 de octubre de 2017	0	1	0	0	0	0	0	###	martes, 2 de enero de 2018	0	0	1	0	0	0	0
###	martes, 24 de octubre de 2017	0	0	1	0	0	0	0	###	miércoles, 3 de enero de 2018	0	0	0	1	0	0	0
###	#####	0	0	0	1	0	0	0	###	jueves, 4 de enero de 2018	0	0	0	0	1	0	0
###	jueves, 26 de octubre de 2017	0	0	0	0	1	0	0	###	viernes, 5 de enero de 2018	0	0	0	0	0	1	0
###	viernes, 27 de octubre de 2017	0	0	0	0	0	1	0	###	sábado, 6 de enero de 2018	0	0	0	0	0	0	1
###	sábado, 28 de octubre de 2017	0	0	0	0	0	0	1	###	domingo, 7 de enero de 2018	1	0	0	0	0	0	0
###	domingo, 29 de octubre de 2017	1	0	0	0	0	0	0	###	lunes, 8 de enero de 2018	0	1	0	0	0	0	0
###	lunes, 30 de octubre de 2017	0	1	0	0	0	0	0	###	martes, 9 de enero de 2018	0	0	1	0	0	0	0
###	martes, 31 de octubre de 2017	0	0	1	0	0	0	0	###	miércoles, 10 de enero de 2018	0	0	0	1	0	0	0
###	#####	0	0	0	1	0	0	0	###	jueves, 11 de enero de 2018	0	0	0	0	1	0	0
###	jueves, 2 de noviembre de 2017	0	0	0	0	1	0	0	###	viernes, 12 de enero de 2018	0	0	0	0	0	1	0
###	viernes, 3 de noviembre de 2017	0	0	0	0	0	1	0	###	sábado, 13 de enero de 2018	0	0	0	0	0	0	1
###	sábado, 4 de noviembre de 2017	0	0	0	0	0	0	1	###	domingo, 14 de enero de 2018	1	0	0	0	0	0	0
###	domingo, 5 de noviembre de 2017	1	0	0	0	0	0	0	###	lunes, 15 de enero de 2018	0	1	0	0	0	0	0
###	lunes, 6 de noviembre de 2017	0	1	0	0	0	0	0	###	martes, 16 de enero de 2018	0	0	1	0	0	0	0
###	martes, 7 de noviembre de 2017	0	0	1	0	0	0	0	###	miércoles, 17 de enero de 2018	0	0	0	1	0	0	0
###	#####	0	0	0	1	0	0	0	###	jueves, 18 de enero de 2018	0	0	0	0	1	0	0
###	jueves, 9 de noviembre de 2017	0	0	0	0	1	0	0	###	viernes, 19 de enero de 2018	0	0	0	0	0	1	0
###	#####	0	0	0	0	0	1	0	###	sábado, 20 de enero de 2018	0	0	0	0	0	0	1
###	sábado, 11 de noviembre de 2017	0	0	0	0	0	0	1	###	domingo, 21 de enero de 2018	1	0	0	0	0	0	0
###	#####	1	0	0	0	0	0	0	###	lunes, 22 de enero de 2018	0	1	0	0	0	0	0
###	lunes, 13 de noviembre de 2017	0	1	0	0	0	0	0	###	martes, 23 de enero de 2018	0	0	1	0	0	0	0
###	martes, 14 de noviembre de 2017	0	0	1	0	0	0	0	###	miércoles, 24 de enero de 2018	0	0	0	1	0	0	0
###	#####	0	0	0	1	0	0	0	###	jueves, 25 de enero de 2018	0	0	0	0	1	0	0
###	jueves, 16 de noviembre de 2017	0	0	0	0	1	0	0	###	viernes, 26 de enero de 2018	0	0	0	0	0	1	0
###	#####	0	0	0	0	0	1	0	###	sábado, 27 de enero de 2018	0	0	0	0	0	0	1
###	sábado, 18 de noviembre de 2017	0	0	0	0	0	0	1	###	domingo, 28 de enero de 2018	1	0	0	0	0	0	0
###	#####	1	0	0	0	0	0	0	###	lunes, 29 de enero de 2018	0	1	0	0	0	0	0
###	lunes, 20 de noviembre de 2017	0	1	0	0	0	0	0	###	martes, 30 de enero de 2018	0	0	1	0	0	0	0
###	martes, 21 de noviembre de 2017	0	0	1	0	0	0	0	###	miércoles, 31 de enero de 2018	0	0	0	1	0	0	0
###	#####	0	0	0	1	0	0	0	###	jueves, 1 de febrero de 2018	0	0	0	0	1	0	0
###	jueves, 23 de noviembre de 2017	0	0	0	0	1	0	0	###	viernes, 2 de febrero de 2018	0	0	0	0	0	1	0
###	#####	0	0	0	0	0	1	0	###	sábado, 3 de febrero de 2018	0	0	0	0	0	0	1
###	sábado, 25 de noviembre de 2017	0	0	0	0	0	0	1	###	domingo, 4 de febrero de 2018	1	0	0	0	0	0	0
###	#####	1	0	0	0	0	0	0	###	lunes, 5 de febrero de 2018	0	1	0	0	0	0	0
###	lunes, 27 de noviembre de 2017	0	1	0	0	0	0	0	###	martes, 6 de febrero de 2018	0	0	1	0	0	0	0
###	martes, 28 de noviembre de 2017	0	0	1	0	0	0	0	###	miércoles, 7 de febrero de 2018	0	0	0	1	0	0	0
###	#####	0	0	0	1	0	0	0	###	jueves, 8 de febrero de 2018	0	0	0	0	1	0	0
###	jueves, 30 de noviembre de 2017	0	0	0	0	1	0	0	###	viernes, 9 de febrero de 2018	0	0	0	0	0	1	0
###	viernes, 1 de diciembre de 2017	0	0	0	0	0	1	0	###	sábado, 10 de febrero de 2018	0	0	0	0	0	0	1
###	sábado, 2 de diciembre de 2017	0	0	0	0	0	0	1	###	domingo, 11 de febrero de 2018	1	0	0	0	0	0	0
###	domingo, 3 de diciembre de 2017	1	0	0	0	0	0	0	###	lunes, 12 de febrero de 2018	0	1	0	0	0	0	0
###	lunes, 4 de diciembre de 2017	0	1	0	0	0	0	0	###	martes, 13 de febrero de 2018	0	0	1	0	0	0	0
###	martes, 5 de diciembre de 2017	0	0	1	0	0	0	0	###	#####	0	0	0	1	0	0	0
###	#####	0	0	0	1	0	0	0	###	jueves, 15 de febrero de 2018	0	0	0	0	1	0	0
###	jueves, 7 de diciembre de 2017	0	0	0	0	1	0	0	###	viernes, 16 de febrero de 2018	0	0	0	0	0	1	0
###	viernes, 8 de diciembre de 2017	0	0	0	0	0	1	0	###	sábado, 17 de febrero de 2018	0	0	0	0	0	0	1
###	sábado, 9 de diciembre de 2017	0	0	0	0	0	0	1	###	domingo, 18 de febrero de 2018	1	0	0	0	0	0	0
###	#####	1	0	0	0	0	0	0	###	lunes, 19 de febrero de 2018	0	1	0	0	0	0	0
###	lunes, 11 de diciembre de 2017	0	1	0	0	0	0	0	###	martes, 20 de febrero de 2018	0	0	1	0	0	0	0
###	martes, 12 de diciembre de 2017	0	0	1	0	0	0	0	###	#####	0	0	0	1	0	0	0
###	#####	0	0	0	1	0	0	0	###	jueves, 22 de febrero de 2018	0	0	0	0	1	0	0
###	jueves, 14 de diciembre de 2017	0	0	0	0	1	0	0	###	viernes, 23 de febrero de 2018	0	0	0	0	0	1	0
###	#####	0	0	0	0	0	1	0	###	sábado, 24 de febrero de 2018	0	0	0	0	0	0	1
###	sábado, 16 de diciembre de 2017	0	0	0	0	0	0	1	###	domingo, 25 de febrero de 2018	1	0	0	0	0	0	0
###	#####	1	0	0	0	0	0	0	###	lunes, 26 de febrero de 2018	0	1	0	0	0	0	0
###	lunes, 18 de diciembre de 2017	0	1	0	0	0	0	0	###	martes, 27 de febrero de 2018	0	0	1	0	0	0	0
###	martes, 19 de diciembre de 2017	0	0	1	0	0	0	0	###	#####	0	0	0	1	0	0	0



Análisis de la afluencia de un corredor de servicio de transporte concesionado en la Ciudad de México | 300

###	sábado, 21 de julio de 2018	0	0	0	0	0	0	1	###	#####	1	0	0	0	0	0	0
###	domingo, 22 de julio de 2018	1	0	0	0	0	0	0	###	lunes, 1 de octubre de 2018	0	1	0	0	0	0	0
###	lunes, 23 de julio de 2018	0	1	0	0	0	0	0	###	martes, 2 de octubre de 2018	0	0	1	0	0	0	0
###	martes, 24 de julio de 2018	0	0	1	0	0	0	0	###	miércoles, 3 de octubre de 2018	0	0	0	1	0	0	0
###	miércoles, 25 de julio de 2018	0	0	0	1	0	0	0	###	jueves, 4 de octubre de 2018	0	0	0	0	1	0	0
###	jueves, 26 de julio de 2018	0	0	0	0	1	0	0	###	viernes, 5 de octubre de 2018	0	0	0	0	0	1	0
###	viernes, 27 de julio de 2018	0	0	0	0	0	1	0	###	sábado, 6 de octubre de 2018	0	0	0	0	0	0	1
###	sábado, 28 de julio de 2018	0	0	0	0	0	0	1	###	domingo, 7 de octubre de 2018	1	0	0	0	0	0	0
###	domingo, 29 de julio de 2018	1	0	0	0	0	0	0	###	lunes, 8 de octubre de 2018	0	1	0	0	0	0	0
###	lunes, 30 de julio de 2018	0	1	0	0	0	0	0	###	martes, 9 de octubre de 2018	0	0	1	0	0	0	0
###	martes, 31 de julio de 2018	0	0	1	0	0	0	0	###	#####	0	0	0	1	0	0	0
###	miércoles, 1 de agosto de 2018	0	0	0	1	0	0	0	###	jueves, 11 de octubre de 2018	0	0	0	0	1	0	0
###	jueves, 2 de agosto de 2018	0	0	0	0	1	0	0	###	viernes, 12 de octubre de 2018	0	0	0	0	0	1	0
###	viernes, 3 de agosto de 2018	0	0	0	0	0	1	0	###	sábado, 13 de octubre de 2018	0	0	0	0	0	0	1
###	sábado, 4 de agosto de 2018	0	0	0	0	0	0	1	###	domingo, 14 de octubre de 2018	1	0	0	0	0	0	0
###	domingo, 5 de agosto de 2018	1	0	0	0	0	0	0	###	lunes, 15 de octubre de 2018	0	1	0	0	0	0	0
###	lunes, 6 de agosto de 2018	0	1	0	0	0	0	0	###	martes, 16 de octubre de 2018	0	0	1	0	0	0	0
###	martes, 7 de agosto de 2018	0	0	1	0	0	0	0	###	#####	0	0	0	1	0	0	0
###	miércoles, 8 de agosto de 2018	0	0	0	1	0	0	0	###	jueves, 18 de octubre de 2018	0	0	0	0	1	0	0
###	jueves, 9 de agosto de 2018	0	0	0	0	1	0	0	###	viernes, 19 de octubre de 2018	0	0	0	0	0	1	0
###	viernes, 10 de agosto de 2018	0	0	0	0	0	1	0	###	sábado, 20 de octubre de 2018	0	0	0	0	0	0	1
###	sábado, 11 de agosto de 2018	0	0	0	0	0	0	1	###	domingo, 21 de octubre de 2018	1	0	0	0	0	0	0
###	domingo, 12 de agosto de 2018	1	0	0	0	0	0	0	###	lunes, 22 de octubre de 2018	0	1	0	0	0	0	0
###	lunes, 13 de agosto de 2018	0	1	0	0	0	0	0	###	martes, 23 de octubre de 2018	0	0	1	0	0	0	0
###	martes, 14 de agosto de 2018	0	0	1	0	0	0	0	###	#####	0	0	0	1	0	0	0
###	miércoles, 15 de agosto de 2018	0	0	0	1	0	0	0	###	jueves, 25 de octubre de 2018	0	0	0	0	1	0	0
###	jueves, 16 de agosto de 2018	0	0	0	0	1	0	0	###	viernes, 26 de octubre de 2018	0	0	0	0	0	1	0
###	viernes, 17 de agosto de 2018	0	0	0	0	0	1	0	###	sábado, 27 de octubre de 2018	0	0	0	0	0	0	1
###	sábado, 18 de agosto de 2018	0	0	0	0	0	0	1	###	domingo, 28 de octubre de 2018	1	0	0	0	0	0	0
###	domingo, 19 de agosto de 2018	1	0	0	0	0	0	0	###	lunes, 29 de octubre de 2018	0	1	0	0	0	0	0
###	lunes, 20 de agosto de 2018	0	1	0	0	0	0	0	###	martes, 30 de octubre de 2018	0	0	1	0	0	0	0
###	martes, 21 de agosto de 2018	0	0	1	0	0	0	0	###	#####	0	0	0	1	0	0	0
###	miércoles, 22 de agosto de 2018	0	0	0	1	0	0	0	###	jueves, 1 de noviembre de 2018	0	0	0	0	1	0	0
###	jueves, 23 de agosto de 2018	0	0	0	0	1	0	0	###	viernes, 2 de noviembre de 2018	0	0	0	0	0	1	0
###	viernes, 24 de agosto de 2018	0	0	0	0	0	1	0	###	sábado, 3 de noviembre de 2018	0	0	0	0	0	0	1
###	sábado, 25 de agosto de 2018	0	0	0	0	0	0	1	###	domingo, 4 de noviembre de 2018	1	0	0	0	0	0	0
###	domingo, 26 de agosto de 2018	1	0	0	0	0	0	0	###	lunes, 5 de noviembre de 2018	0	1	0	0	0	0	0
###	lunes, 27 de agosto de 2018	0	1	0	0	0	0	0	###	martes, 6 de noviembre de 2018	0	0	1	0	0	0	0
###	martes, 28 de agosto de 2018	0	0	1	0	0	0	0	###	#####	0	0	0	1	0	0	0
###	miércoles, 29 de agosto de 2018	0	0	0	1	0	0	0	###	jueves, 8 de noviembre de 2018	0	0	0	0	1	0	0
###	jueves, 30 de agosto de 2018	0	0	0	0	1	0	0	###	viernes, 9 de noviembre de 2018	0	0	0	0	0	1	0
###	viernes, 31 de agosto de 2018	0	0	0	0	0	1	0	###	sábado, 10 de noviembre de 2018	0	0	0	0	0	0	1
###	sábado, 1 de septiembre de 2018	0	0	0	0	0	0	1	###	#####	1	0	0	0	0	0	0
###	#####	1	0	0	0	0	0	0	###	lunes, 12 de noviembre de 2018	0	1	0	0	0	0	0
###	lunes, 3 de septiembre de 2018	0	1	0	0	0	0	0	###	martes, 13 de noviembre de 2018	0	0	1	0	0	0	0
###	martes, 4 de septiembre de 2018	0	0	1	0	0	0	0	###	#####	0	0	0	1	0	0	0
###	#####	0	0	0	1	0	0	0	###	jueves, 15 de noviembre de 2018	0	0	0	0	1	0	0
###	jueves, 6 de septiembre de 2018	0	0	0	0	1	0	0	###	#####	0	0	0	0	0	1	0
###	#####	0	0	0	0	0	1	0	###	sábado, 17 de noviembre de 2018	0	0	0	0	0	0	1
###	sábado, 8 de septiembre de 2018	0	0	0	0	0	0	1	###	#####	1	0	0	0	0	0	0
###	#####	1	0	0	0	0	0	0	###	lunes, 19 de noviembre de 2018	0	1	0	0	0	0	0
###	lunes, 10 de septiembre de 2018	0	1	0	0	0	0	0	###	martes, 20 de noviembre de 2018	0	0	1	0	0	0	0
###	#####	0	0	1	0	0	0	0	###	#####	0	0	0	1	0	0	0
###	#####	0	0	0	1	0	0	0	###	jueves, 22 de noviembre de 2018	0	0	0	0	1	0	0
###	#####	0	0	0	0	1	0	0	###	#####	0	0	0	0	0	1	0
###	#####	0	0	0	0	0	1	0	###	sábado, 24 de noviembre de 2018	0	0	0	0	0	0	1
###	#####	0	0	0	0	0	0	1	###	#####	1	0	0	0	0	0	0
###	#####	1	0	0	0	0	0	0	###	lunes, 26 de noviembre de 2018	0	1	0	0	0	0	0
###	lunes, 17 de septiembre de 2018	0	1	0	0	0	0	0	###	martes, 27 de noviembre de 2018	0	0	1	0	0	0	0
###	#####	0	0	1	0	0	0	0	###	#####	0	0	0	1	0	0	0
###	#####	0	0	0	1	0	0	0	###	jueves, 29 de noviembre de 2018	0	0	0	0	1	0	0
###	#####	0	0	0	0	1	0	0	###	#####	0	0	0	0	0	1	0
###	#####	0	0	0	0	0	1	0	###	sábado, 1 de diciembre de 2018	0	0	0	0	0	0	1
###	#####	0	0	0	0	0	0	1	###	domingo, 2 de diciembre de 2018	1	0	0	0	0	0	0
###	#####	1	0	0	0	0	0	0	###	lunes, 3 de diciembre de 2018	0	1	0	0	0	0	0
###	lunes, 24 de septiembre de 2018	0	1	0	0	0	0	0	###	martes, 4 de diciembre de 2018	0	0	1	0	0	0	0
###	#####	0	0	1	0	0	0	0	###	#####	0	0	0	1	0	0	0
###	#####	0	0	0	1	0	0	0	###	jueves, 6 de diciembre de 2018	0	0	0	0	1	0	0
###	#####	0	0	0	0	1	0	0	###	viernes, 7 de diciembre de 2018	0	0	0	0	0	1	0
###	#####	0	0	0	0	0	1	0	###	sábado, 8 de diciembre de 2018	0	0	0	0	0	0	1
###	#####	0	0	0	0	0	0	1	###	domingo, 9 de diciembre de 2018	1	0	0	0	0	0	0



Análisis de la afluencia de un corredor de servicio de transporte concesionado en la Ciudad de México | 301

###	lunes, 10 de diciembre de 2018	0	1	0	0	0	0	0	###	martes, 19 de febrero de 2019	0	0	1	0	0	0	0
###	martes, 11 de diciembre de 2018	0	0	1	0	0	0	0	###	#####	0	0	0	1	0	0	0
###	#####	0	0	0	1	0	0	0	###	jueves, 21 de febrero de 2019	0	0	0	0	1	0	0
###	jueves, 13 de diciembre de 2018	0	0	0	0	1	0	0	###	viernes, 22 de febrero de 2019	0	0	0	0	0	1	0
###	#####	0	0	0	0	0	1	0	###	sábado, 23 de febrero de 2019	0	0	0	0	0	0	1
###	sábado, 15 de diciembre de 2018	0	0	0	0	0	0	1	###	domingo, 24 de febrero de 2019	1	0	0	0	0	0	0
###	#####	1	0	0	0	0	0	0	###	lunes, 25 de febrero de 2019	0	1	0	0	0	0	0
###	lunes, 17 de diciembre de 2018	0	1	0	0	0	0	0	###	martes, 26 de febrero de 2019	0	0	1	0	0	0	0
###	martes, 18 de diciembre de 2018	0	0	1	0	0	0	0	###	#####	0	0	0	1	0	0	0
###	#####	0	0	0	1	0	0	0									
###	jueves, 20 de diciembre de 2018	0	0	0	0	1	0	0									
###	#####	0	0	0	0	0	1	0									
###	sábado, 22 de diciembre de 2018	0	0	0	0	0	0	1									
###	#####	1	0	0	0	0	0	0									
###	lunes, 24 de diciembre de 2018	0	1	0	0	0	0	0									
###	martes, 25 de diciembre de 2018	0	0	1	0	0	0	0									
###	#####	0	0	0	1	0	0	0									
###	jueves, 27 de diciembre de 2018	0	0	0	0	1	0	0									
###	#####	0	0	0	0	0	1	0									
###	sábado, 29 de diciembre de 2018	0	0	0	0	0	0	1									
###	#####	1	0	0	0	0	0	0									
###	lunes, 31 de diciembre de 2018	0	1	0	0	0	0	0									
###	martes, 1 de enero de 2019	0	0	1	0	0	0	0									
###	miércoles, 2 de enero de 2019	0	0	0	1	0	0	0									
###	jueves, 3 de enero de 2019	0	0	0	0	1	0	0									
###	viernes, 4 de enero de 2019	0	0	0	0	0	1	0									
###	sábado, 5 de enero de 2019	0	0	0	0	0	0	1									
###	domingo, 6 de enero de 2019	1	0	0	0	0	0	0									
###	lunes, 7 de enero de 2019	0	1	0	0	0	0	0									
###	martes, 8 de enero de 2019	0	0	1	0	0	0	0									
###	miércoles, 9 de enero de 2019	0	0	0	1	0	0	0									
###	jueves, 10 de enero de 2019	0	0	0	0	1	0	0									
###	viernes, 11 de enero de 2019	0	0	0	0	0	1	0									
###	sábado, 12 de enero de 2019	0	0	0	0	0	0	1									
###	domingo, 13 de enero de 2019	1	0	0	0	0	0	0									
###	lunes, 14 de enero de 2019	0	1	0	0	0	0	0									
###	martes, 15 de enero de 2019	0	0	1	0	0	0	0									
###	miércoles, 16 de enero de 2019	0	0	0	1	0	0	0									
###	jueves, 17 de enero de 2019	0	0	0	0	1	0	0									
###	viernes, 18 de enero de 2019	0	0	0	0	0	1	0									
###	sábado, 19 de enero de 2019	0	0	0	0	0	0	1									
###	domingo, 20 de enero de 2019	1	0	0	0	0	0	0									
###	lunes, 21 de enero de 2019	0	1	0	0	0	0	0									
###	martes, 22 de enero de 2019	0	0	1	0	0	0	0									
###	miércoles, 23 de enero de 2019	0	0	0	1	0	0	0									
###	jueves, 24 de enero de 2019	0	0	0	0	1	0	0									
###	viernes, 25 de enero de 2019	0	0	0	0	0	1	0									
###	sábado, 26 de enero de 2019	0	0	0	0	0	0	1									
###	domingo, 27 de enero de 2019	1	0	0	0	0	0	0									
###	lunes, 28 de enero de 2019	0	1	0	0	0	0	0									
###	martes, 29 de enero de 2019	0	0	1	0	0	0	0									
###	miércoles, 30 de enero de 2019	0	0	0	1	0	0	0									
###	jueves, 31 de enero de 2019	0	0	0	0	1	0	0									
###	viernes, 1 de febrero de 2019	0	0	0	0	0	1	0									
###	sábado, 2 de febrero de 2019	0	0	0	0	0	0	1									
###	domingo, 3 de febrero de 2019	1	0	0	0	0	0	0									
###	lunes, 4 de febrero de 2019	0	1	0	0	0	0	0									
###	martes, 5 de febrero de 2019	0	0	1	0	0	0	0									
###	miércoles, 6 de febrero de 2019	0	0	0	1	0	0	0									
###	jueves, 7 de febrero de 2019	0	0	0	0	1	0	0									
###	viernes, 8 de febrero de 2019	0	0	0	0	0	1	0									
###	sábado, 9 de febrero de 2019	0	0	0	0	0	0	1									
###	domingo, 10 de febrero de 2019	1	0	0	0	0	0	0									
###	lunes, 11 de febrero de 2019	0	1	0	0	0	0	0									
###	martes, 12 de febrero de 2019	0	0	1	0	0	0	0									
###	#####	0	0	0	1	0	0	0									
###	jueves, 14 de febrero de 2019	0	0	0	0	1	0	0									
###	viernes, 15 de febrero de 2019	0	0	0	0	0	1	0									
###	sábado, 16 de febrero de 2019	0	0	0	0	0	0	1									
###	domingo, 17 de febrero de 2019	1	0	0	0	0	0	0									
###	lunes, 18 de febrero de 2019	0	1	0	0	0	0	0									



ANEXO XII: Afluencia de la competencia diaria (1 enero 2017 al 27 de febrero 2019)

#	FECHA	COMPETENCIA
731	domingo, 1 de enero de 2017	9899
732	lunes, 2 de enero de 2017	28642
733	martes, 3 de enero de 2017	29748
734	miércoles, 4 de enero de 2017	24846
735	jueves, 5 de enero de 2017	13885
736	viernes, 6 de enero de 2017	28729
737	sábado, 7 de enero de 2017	23944
738	domingo, 8 de enero de 2017	27090
739	lunes, 9 de enero de 2017	31027
740	martes, 10 de enero de 2017	12296
741	miércoles, 11 de enero de 2017	29252
742	jueves, 12 de enero de 2017	32467
743	viernes, 13 de enero de 2017	28220
744	sábado, 14 de enero de 2017	24158
745	domingo, 15 de enero de 2017	15286
746	lunes, 16 de enero de 2017	26706
747	martes, 17 de enero de 2017	27826
748	miércoles, 18 de enero de 2017	27867
749	jueves, 19 de enero de 2017	27897
750	viernes, 20 de enero de 2017	28826
751	sábado, 21 de enero de 2017	23272
752	domingo, 22 de enero de 2017	14624
753	lunes, 23 de enero de 2017	26843
754	martes, 24 de enero de 2017	27502
755	miércoles, 25 de enero de 2017	28209
756	jueves, 26 de enero de 2017	28261
757	viernes, 27 de enero de 2017	28940
758	sábado, 28 de enero de 2017	23502
759	domingo, 29 de enero de 2017	14736
760	lunes, 30 de enero de 2017	27617
761	martes, 31 de enero de 2017	29648
762	miércoles, 1 de febrero de 2017	21677
763	jueves, 2 de febrero de 2017	28472
764	viernes, 3 de febrero de 2017	29781
765	sábado, 4 de febrero de 2017	15751
766	domingo, 5 de febrero de 2017	29102
767	lunes, 6 de febrero de 2017	29638
768	martes, 7 de febrero de 2017	15831
769	miércoles, 8 de febrero de 2017	26658
770	jueves, 9 de febrero de 2017	25120
771	viernes, 10 de febrero de 2017	25307
772	sábado, 11 de febrero de 2017	20236
773	domingo, 12 de febrero de 2017	26289
774	lunes, 13 de febrero de 2017	29227
775	martes, 14 de febrero de 2017	30992
776	miércoles, 15 de febrero de 2017	29645
777	jueves, 16 de febrero de 2017	29665
778	viernes, 17 de febrero de 2017	30467
779	sábado, 18 de febrero de 2017	25953
780	domingo, 19 de febrero de 2017	15590
781	lunes, 20 de febrero de 2017	28792
782	martes, 21 de febrero de 2017	29206
783	miércoles, 22 de febrero de 2017	29380
784	jueves, 23 de febrero de 2017	29562
785	viernes, 24 de febrero de 2017	30621
786	sábado, 25 de febrero de 2017	23173
787	domingo, 26 de febrero de 2017	14217
788	lunes, 27 de febrero de 2017	28358
789	martes, 28 de febrero de 2017	29913
790	miércoles, 1 de marzo de 2017	23811
791	jueves, 2 de marzo de 2017	29321
792	viernes, 3 de marzo de 2017	30522
793	sábado, 4 de marzo de 2017	28990
794	domingo, 5 de marzo de 2017	29190
795	lunes, 6 de marzo de 2017	24197
796	martes, 7 de marzo de 2017	26976
797	miércoles, 8 de marzo de 2017	26443
798	jueves, 9 de marzo de 2017	16100
799	viernes, 10 de marzo de 2017	25775

800	sábado, 11 de marzo de 2017	28995
801	domingo, 12 de marzo de 2017	18676
802	lunes, 13 de marzo de 2017	28547
803	martes, 14 de marzo de 2017	29212
804	miércoles, 15 de marzo de 2017	29018
805	jueves, 16 de marzo de 2017	30354
806	viernes, 17 de marzo de 2017	30419
807	sábado, 18 de marzo de 2017	24242
808	domingo, 19 de marzo de 2017	15973
809	lunes, 20 de marzo de 2017	15140
810	martes, 21 de marzo de 2017	30705
811	miércoles, 22 de marzo de 2017	29571
812	jueves, 23 de marzo de 2017	29503
813	viernes, 24 de marzo de 2017	29995
814	sábado, 25 de marzo de 2017	23562
815	domingo, 26 de marzo de 2017	14633
816	lunes, 27 de marzo de 2017	28724
817	martes, 28 de marzo de 2017	29553
818	miércoles, 29 de marzo de 2017	29602
819	jueves, 30 de marzo de 2017	29860
820	viernes, 31 de marzo de 2017	31501
821	sábado, 1 de abril de 2017	27495
822	domingo, 2 de abril de 2017	23391
823	lunes, 3 de abril de 2017	23786
824	martes, 4 de abril de 2017	29568
825	miércoles, 5 de abril de 2017	28960
826	jueves, 6 de abril de 2017	15162
827	viernes, 7 de abril de 2017	27141
828	sábado, 8 de abril de 2017	26627
829	domingo, 9 de abril de 2017	29346
830	lunes, 10 de abril de 2017	25781
831	martes, 11 de abril de 2017	23526
832	miércoles, 12 de abril de 2017	30956
833	jueves, 13 de abril de 2017	16454
834	viernes, 14 de abril de 2017	12243
835	sábado, 15 de abril de 2017	14313
836	domingo, 16 de abril de 2017	13023
837	lunes, 17 de abril de 2017	25704
838	martes, 18 de abril de 2017	27270
839	miércoles, 19 de abril de 2017	26981
840	jueves, 20 de abril de 2017	27365
841	viernes, 21 de abril de 2017	27668
842	sábado, 22 de abril de 2017	23655
843	domingo, 23 de abril de 2017	18390
844	lunes, 24 de abril de 2017	27864
845	martes, 25 de abril de 2017	29088
846	miércoles, 26 de abril de 2017	29019
847	jueves, 27 de abril de 2017	29286
848	viernes, 28 de abril de 2017	30042
849	sábado, 29 de abril de 2017	23761
850	domingo, 30 de abril de 2017	19588
851	lunes, 1 de mayo de 2017	28208
852	martes, 2 de mayo de 2017	14488
853	miércoles, 3 de mayo de 2017	14965
854	jueves, 4 de mayo de 2017	29733
855	viernes, 5 de mayo de 2017	27116
856	sábado, 6 de mayo de 2017	28129
857	domingo, 7 de mayo de 2017	27744
858	lunes, 8 de mayo de 2017	21786
859	martes, 9 de mayo de 2017	30273
860	miércoles, 10 de mayo de 2017	26056
861	jueves, 11 de mayo de 2017	15318
862	viernes, 12 de mayo de 2017	31628
863	sábado, 13 de mayo de 2017	23505
864	domingo, 14 de mayo de 2017	14512
865	lunes, 15 de mayo de 2017	26304
866	martes, 16 de mayo de 2017	29133
867	miércoles, 17 de mayo de 2017	29047
868	jueves, 18 de mayo de 2017	29272
869	viernes, 19 de mayo de 2017	29783
870	sábado, 20 de mayo de 2017	23484



Análisis de la afluencia de un corredor de servicio de transporte concesionado en la Ciudad de México | 303

871	domingo, 21 de mayo de 2017	15036
872	lunes, 22 de mayo de 2017	27934
873	martes, 23 de mayo de 2017	29412
874	miércoles, 24 de mayo de 2017	28999
875	jueves, 25 de mayo de 2017	28654
876	viernes, 26 de mayo de 2017	30072
877	sábado, 27 de mayo de 2017	23975
878	domingo, 28 de mayo de 2017	14553
879	lunes, 29 de mayo de 2017	27421
880	martes, 30 de mayo de 2017	28636
881	miércoles, 31 de mayo de 2017	28796
882	jueves, 1 de junio de 2017	25251
883	viernes, 2 de junio de 2017	14795
884	sábado, 3 de junio de 2017	28714
885	domingo, 4 de junio de 2017	29677
886	lunes, 5 de junio de 2017	23064
887	martes, 6 de junio de 2017	28804
888	miércoles, 7 de junio de 2017	27878
889	jueves, 8 de junio de 2017	14451
890	viernes, 9 de junio de 2017	29466
891	sábado, 10 de junio de 2017	26549
892	domingo, 11 de junio de 2017	30397
893	lunes, 12 de junio de 2017	31479
894	martes, 13 de junio de 2017	28793
895	miércoles, 14 de junio de 2017	28614
896	jueves, 15 de junio de 2017	29443
897	viernes, 16 de junio de 2017	29481
898	sábado, 17 de junio de 2017	24834
899	domingo, 18 de junio de 2017	14671
900	lunes, 19 de junio de 2017	27399
901	martes, 20 de junio de 2017	28180
902	miércoles, 21 de junio de 2017	28343
903	jueves, 22 de junio de 2017	28513
904	viernes, 23 de junio de 2017	29169
905	sábado, 24 de junio de 2017	23764
906	domingo, 25 de junio de 2017	15653
907	lunes, 26 de junio de 2017	26940
908	martes, 27 de junio de 2017	27571
909	miércoles, 28 de junio de 2017	27830
910	jueves, 29 de junio de 2017	27394
911	viernes, 30 de junio de 2017	28432
912	sábado, 1 de julio de 2017	22240
913	domingo, 2 de julio de 2017	29826
914	lunes, 3 de julio de 2017	29156
915	martes, 4 de julio de 2017	29872
916	miércoles, 5 de julio de 2017	14508
917	jueves, 6 de julio de 2017	29039
918	viernes, 7 de julio de 2017	28237
919	sábado, 8 de julio de 2017	26749
920	domingo, 9 de julio de 2017	30080
921	lunes, 10 de julio de 2017	20643
922	martes, 11 de julio de 2017	32057
923	miércoles, 12 de julio de 2017	31677
924	jueves, 13 de julio de 2017	27536
925	viernes, 14 de julio de 2017	28512
926	sábado, 15 de julio de 2017	24203
927	domingo, 16 de julio de 2017	15482
928	lunes, 17 de julio de 2017	26645
929	martes, 18 de julio de 2017	26812
930	miércoles, 19 de julio de 2017	27049
931	jueves, 20 de julio de 2017	29252
932	viernes, 21 de julio de 2017	27797
933	sábado, 22 de julio de 2017	22677
934	domingo, 23 de julio de 2017	14438
935	lunes, 24 de julio de 2017	25979
936	martes, 25 de julio de 2017	26501
937	miércoles, 26 de julio de 2017	26945
938	jueves, 27 de julio de 2017	27068
939	viernes, 28 de julio de 2017	28825
940	sábado, 29 de julio de 2017	23178
941	domingo, 30 de julio de 2017	15199

942	lunes, 31 de julio de 2017	26964
943	martes, 1 de agosto de 2017	14059
944	miércoles, 2 de agosto de 2017	28933
945	jueves, 3 de agosto de 2017	28858
946	viernes, 4 de agosto de 2017	23943
947	sábado, 5 de agosto de 2017	27988
948	domingo, 6 de agosto de 2017	28791
949	lunes, 7 de agosto de 2017	22532
950	martes, 8 de agosto de 2017	26923
951	miércoles, 9 de agosto de 2017	26691
952	jueves, 10 de agosto de 2017	14570
953	viernes, 11 de agosto de 2017	31187
954	sábado, 12 de agosto de 2017	32194
955	domingo, 13 de agosto de 2017	14608
956	lunes, 14 de agosto de 2017	27455
957	martes, 15 de agosto de 2017	29430
958	miércoles, 16 de agosto de 2017	28670
959	jueves, 17 de agosto de 2017	28374
960	viernes, 18 de agosto de 2017	28658
961	sábado, 19 de agosto de 2017	23123
962	domingo, 20 de agosto de 2017	14996
963	lunes, 21 de agosto de 2017	27741
964	martes, 22 de agosto de 2017	28203
965	miércoles, 23 de agosto de 2017	28373
966	jueves, 24 de agosto de 2017	28272
967	viernes, 25 de agosto de 2017	28783
968	sábado, 26 de agosto de 2017	21838
969	domingo, 27 de agosto de 2017	14113
970	lunes, 28 de agosto de 2017	28212
971	martes, 29 de agosto de 2017	27857
972	miércoles, 30 de agosto de 2017	28450
973	jueves, 31 de agosto de 2017	30117
974	viernes, 1 de septiembre de 2017	25451
975	sábado, 2 de septiembre de 2017	29205
976	domingo, 3 de septiembre de 2017	29046
977	lunes, 4 de septiembre de 2017	16196
978	martes, 5 de septiembre de 2017	28886
979	miércoles, 6 de septiembre de 2017	29419
980	jueves, 7 de septiembre de 2017	14130
981	viernes, 8 de septiembre de 2017	26868
982	sábado, 9 de septiembre de 2017	22872
983	domingo, 10 de septiembre de 2017	25490
984	lunes, 11 de septiembre de 2017	31344
985	martes, 12 de septiembre de 2017	26732
986	miércoles, 13 de septiembre de 2017	31131
987	jueves, 14 de septiembre de 2017	31376
988	viernes, 15 de septiembre de 2017	27684
989	sábado, 16 de septiembre de 2017	14054
990	domingo, 17 de septiembre de 2017	14961
991	lunes, 18 de septiembre de 2017	30100
992	martes, 19 de septiembre de 2017	17743
993	miércoles, 20 de septiembre de 2017	0
994	jueves, 21 de septiembre de 2017	0
995	viernes, 22 de septiembre de 2017	0
996	sábado, 23 de septiembre de 2017	0
997	domingo, 24 de septiembre de 2017	0
998	lunes, 25 de septiembre de 2017	0
999	martes, 26 de septiembre de 2017	0
1000	miércoles, 27 de septiembre de 2017	0
1001	jueves, 28 de septiembre de 2017	24392
1002	viernes, 29 de septiembre de 2017	24679
1003	sábado, 30 de septiembre de 2017	18516
1004	domingo, 1 de octubre de 2017	26953
1005	lunes, 2 de octubre de 2017	22464
1006	martes, 3 de octubre de 2017	29783
1007	miércoles, 4 de octubre de 2017	24338
1008	jueves, 5 de octubre de 2017	24766
1009	viernes, 6 de octubre de 2017	23517
1010	sábado, 7 de octubre de 2017	26543
1011	domingo, 8 de octubre de 2017	27202
1012	lunes, 9 de octubre de 2017	14854



1013	martes, 10 de octubre de 2017	26389
1014	miércoles, 11 de octubre de 2017	31809
1015	jueves, 12 de octubre de 2017	18420
1016	viernes, 13 de octubre de 2017	27370
1017	sábado, 14 de octubre de 2017	21611
1018	domingo, 15 de octubre de 2017	13663
1019	lunes, 16 de octubre de 2017	26491
1020	martes, 17 de octubre de 2017	28046
1021	miércoles, 18 de octubre de 2017	26950
1022	jueves, 19 de octubre de 2017	27429
1023	viernes, 20 de octubre de 2017	27643
1024	sábado, 21 de octubre de 2017	21097
1025	domingo, 22 de octubre de 2017	13371
1026	lunes, 23 de octubre de 2017	26318
1027	martes, 24 de octubre de 2017	26964
1028	miércoles, 25 de octubre de 2017	27460
1029	jueves, 26 de octubre de 2017	27958
1030	viernes, 27 de octubre de 2017	28202
1031	sábado, 28 de octubre de 2017	22569
1032	domingo, 29 de octubre de 2017	13607
1033	lunes, 30 de octubre de 2017	29399
1034	martes, 31 de octubre de 2017	31810
1035	miércoles, 1 de noviembre de 2017	23944
1036	jueves, 2 de noviembre de 2017	23570
1037	viernes, 3 de noviembre de 2017	23586
1038	sábado, 4 de noviembre de 2017	24516
1039	domingo, 5 de noviembre de 2017	28348
1040	lunes, 6 de noviembre de 2017	14676
1041	martes, 7 de noviembre de 2017	27152
1042	miércoles, 8 de noviembre de 2017	27866
1043	jueves, 9 de noviembre de 2017	30188
1044	viernes, 10 de noviembre de 2017	26404
1045	sábado, 11 de noviembre de 2017	25153
1046	domingo, 12 de noviembre de 2017	30437
1047	lunes, 13 de noviembre de 2017	30420
1048	martes, 14 de noviembre de 2017	31118
1049	miércoles, 15 de noviembre de 2017	31841
1050	jueves, 16 de noviembre de 2017	32534
1051	viernes, 17 de noviembre de 2017	33213
1052	sábado, 18 de noviembre de 2017	26359
1053	domingo, 19 de noviembre de 2017	17025
1054	lunes, 20 de noviembre de 2017	16500
1055	martes, 21 de noviembre de 2017	33006
1056	miércoles, 22 de noviembre de 2017	31373
1057	jueves, 23 de noviembre de 2017	31770
1058	viernes, 24 de noviembre de 2017	32456
1059	sábado, 25 de noviembre de 2017	25692
1060	domingo, 26 de noviembre de 2017	16335
1061	lunes, 27 de noviembre de 2017	31424
1062	martes, 28 de noviembre de 2017	31845
1063	miércoles, 29 de noviembre de 2017	31888
1064	jueves, 30 de noviembre de 2017	31888
1065	viernes, 1 de diciembre de 2017	26928
1066	sábado, 2 de diciembre de 2017	14871
1067	domingo, 3 de diciembre de 2017	15264
1068	lunes, 4 de diciembre de 2017	24592
1069	martes, 5 de diciembre de 2017	28830
1070	miércoles, 6 de diciembre de 2017	27819
1071	jueves, 7 de diciembre de 2017	28123
1072	viernes, 8 de diciembre de 2017	23113
1073	sábado, 9 de diciembre de 2017	30546
1074	domingo, 10 de diciembre de 2017	28084
1075	lunes, 11 de diciembre de 2017	15710
1076	martes, 12 de diciembre de 2017	26433
1077	miércoles, 13 de diciembre de 2017	30664
1078	jueves, 14 de diciembre de 2017	31754
1079	viernes, 15 de diciembre de 2017	33062
1080	sábado, 16 de diciembre de 2017	29121
1081	domingo, 17 de diciembre de 2017	18782
1082	lunes, 18 de diciembre de 2017	31344
1083	martes, 19 de diciembre de 2017	31036

1084	miércoles, 20 de diciembre de 2017	32049
1085	jueves, 21 de diciembre de 2017	31363
1086	viernes, 22 de diciembre de 2017	33068
1087	sábado, 23 de diciembre de 2017	27356
1088	domingo, 24 de diciembre de 2017	15805
1089	lunes, 25 de diciembre de 2017	9335
1090	martes, 26 de diciembre de 2017	22079
1091	miércoles, 27 de diciembre de 2017	22995
1092	jueves, 28 de diciembre de 2017	24550
1093	viernes, 29 de diciembre de 2017	25048
1094	sábado, 30 de diciembre de 2017	21122
1095	domingo, 31 de diciembre de 2017	14235
1096	lunes, 1 de enero de 2018	8893
1097	martes, 2 de enero de 2018	16907
1098	miércoles, 3 de enero de 2018	32273
1099	jueves, 4 de enero de 2018	14502
1100	viernes, 5 de enero de 2018	19551
1101	sábado, 6 de enero de 2018	33511
1102	domingo, 7 de enero de 2018	3968
1103	lunes, 8 de enero de 2018	33548
1104	martes, 9 de enero de 2018	30543
1105	miércoles, 10 de enero de 2018	34193
1106	jueves, 11 de enero de 2018	32921
1107	viernes, 12 de enero de 2018	29896
1108	sábado, 13 de enero de 2018	23896
1109	domingo, 14 de enero de 2018	15710
1110	lunes, 15 de enero de 2018	28999
1111	martes, 16 de enero de 2018	29725
1112	miércoles, 17 de enero de 2018	28805
1113	jueves, 18 de enero de 2018	29310
1114	viernes, 19 de enero de 2018	29876
1115	sábado, 20 de enero de 2018	24586
1116	domingo, 21 de enero de 2018	15651
1117	lunes, 22 de enero de 2018	29743
1118	martes, 23 de enero de 2018	29780
1119	miércoles, 24 de enero de 2018	29623
1120	jueves, 25 de enero de 2018	29943
1121	viernes, 26 de enero de 2018	31046
1122	sábado, 27 de enero de 2018	24578
1123	domingo, 28 de enero de 2018	14767
1124	lunes, 29 de enero de 2018	29270
1125	martes, 30 de enero de 2018	29915
1126	miércoles, 31 de enero de 2018	30612
1127	jueves, 1 de febrero de 2018	23961
1128	viernes, 2 de febrero de 2018	31668
1129	sábado, 3 de febrero de 2018	33115
1130	domingo, 4 de febrero de 2018	28682
1131	lunes, 5 de febrero de 2018	32924
1132	martes, 6 de febrero de 2018	27140
1133	miércoles, 7 de febrero de 2018	29655
1134	jueves, 8 de febrero de 2018	32842
1135	viernes, 9 de febrero de 2018	21249
1136	sábado, 10 de febrero de 2018	34291
1137	domingo, 11 de febrero de 2018	24578
1138	lunes, 12 de febrero de 2018	25902
1139	martes, 13 de febrero de 2018	32316
1140	miércoles, 14 de febrero de 2018	32614
1141	jueves, 15 de febrero de 2018	32331
1142	viernes, 16 de febrero de 2018	31854
1143	sábado, 17 de febrero de 2018	25791
1144	domingo, 18 de febrero de 2018	16748
1145	lunes, 19 de febrero de 2018	30390
1146	martes, 20 de febrero de 2018	31847
1147	miércoles, 21 de febrero de 2018	31471
1148	jueves, 22 de febrero de 2018	32070
1149	viernes, 23 de febrero de 2018	9
1150	sábado, 24 de febrero de 2018	25928
1151	domingo, 25 de febrero de 2018	16927
1152	lunes, 26 de febrero de 2018	31299
1153	martes, 27 de febrero de 2018	31864
1154	miércoles, 28 de febrero de 2018	26336



Análisis de la afluencia de un corredor de servicio de transporte concesionado en la Ciudad de México | 305

1155	jueves, 1 de marzo de 2018	26359
1156	viernes, 2 de marzo de 2018	24319
1157	sábado, 3 de marzo de 2018	26719
1158	domingo, 4 de marzo de 2018	30392
1159	lunes, 5 de marzo de 2018	33077
1160	martes, 6 de marzo de 2018	17822
1161	miércoles, 7 de marzo de 2018	31221
1162	jueves, 8 de marzo de 2018	33702
1163	viernes, 9 de marzo de 2018	33436
1164	sábado, 10 de marzo de 2018	35363
1165	domingo, 11 de marzo de 2018	26170
1166	lunes, 12 de marzo de 2018	35536
1167	martes, 13 de marzo de 2018	32198
1168	miércoles, 14 de marzo de 2018	32484
1169	jueves, 15 de marzo de 2018	32497
1170	viernes, 16 de marzo de 2018	33802
1171	sábado, 17 de marzo de 2018	26892
1172	domingo, 18 de marzo de 2018	16938
1173	lunes, 19 de marzo de 2018	16294
1174	martes, 20 de marzo de 2018	32246
1175	miércoles, 21 de marzo de 2018	31907
1176	jueves, 22 de marzo de 2018	32491
1177	viernes, 23 de marzo de 2018	32771
1178	sábado, 24 de marzo de 2018	25737
1179	domingo, 25 de marzo de 2018	16328
1180	lunes, 26 de marzo de 2018	26455
1181	martes, 27 de marzo de 2018	29504
1182	miércoles, 28 de marzo de 2018	27351
1183	jueves, 29 de marzo de 2018	19343
1184	viernes, 30 de marzo de 2018	13432
1185	sábado, 31 de marzo de 2018	15841
1186	domingo, 1 de abril de 2018	28713
1187	lunes, 2 de abril de 2018	16110
1188	martes, 3 de abril de 2018	16622
1189	miércoles, 4 de abril de 2018	29909
1190	jueves, 5 de abril de 2018	33347
1191	viernes, 6 de abril de 2018	31425
1192	sábado, 7 de abril de 2018	31767
1193	domingo, 8 de abril de 2018	28505
1194	lunes, 9 de abril de 2018	34208
1195	martes, 10 de abril de 2018	35114
1196	miércoles, 11 de abril de 2018	19473
1197	jueves, 12 de abril de 2018	36328
1198	viernes, 13 de abril de 2018	32785
1199	sábado, 14 de abril de 2018	26494
1200	domingo, 15 de abril de 2018	18049
1201	lunes, 16 de abril de 2018	32640
1202	martes, 17 de abril de 2018	32499
1203	miércoles, 18 de abril de 2018	32290
1204	jueves, 19 de abril de 2018	32520
1205	viernes, 20 de abril de 2018	34388
1206	sábado, 21 de abril de 2018	26961
1207	domingo, 22 de abril de 2018	21629
1208	lunes, 23 de abril de 2018	32352
1209	martes, 24 de abril de 2018	33837
1210	miércoles, 25 de abril de 2018	32814
1211	jueves, 26 de abril de 2018	32834
1212	viernes, 27 de abril de 2018	34115
1213	sábado, 28 de abril de 2018	27725
1214	domingo, 29 de abril de 2018	24566
1215	lunes, 30 de abril de 2018	30721
1216	martes, 1 de mayo de 2018	31053
1217	miércoles, 2 de mayo de 2018	15724
1218	jueves, 3 de mayo de 2018	31326
1219	viernes, 4 de mayo de 2018	30389
1220	sábado, 5 de mayo de 2018	27575
1221	domingo, 6 de mayo de 2018	32324
1222	lunes, 7 de mayo de 2018	32106
1223	martes, 8 de mayo de 2018	20040
1224	miércoles, 9 de mayo de 2018	33544
1225	jueves, 10 de mayo de 2018	36935

1226	viernes, 11 de mayo de 2018	35112
1227	sábado, 12 de mayo de 2018	35599
1228	domingo, 13 de mayo de 2018	16921
1229	lunes, 14 de mayo de 2018	30728
1230	martes, 15 de mayo de 2018	30870
1231	miércoles, 16 de mayo de 2018	31583
1232	jueves, 17 de mayo de 2018	32188
1233	viernes, 18 de mayo de 2018	32716
1234	sábado, 19 de mayo de 2018	26131
1235	domingo, 20 de mayo de 2018	17185
1236	lunes, 21 de mayo de 2018	32813
1237	martes, 22 de mayo de 2018	31860
1238	miércoles, 23 de mayo de 2018	31873
1239	jueves, 24 de mayo de 2018	32253
1240	viernes, 25 de mayo de 2018	33181
1241	sábado, 26 de mayo de 2018	26252
1242	domingo, 27 de mayo de 2018	16818
1243	lunes, 28 de mayo de 2018	30964
1244	martes, 29 de mayo de 2018	31770
1245	miércoles, 30 de mayo de 2018	32123
1246	jueves, 31 de mayo de 2018	32094
1247	viernes, 1 de junio de 2018	22208
1248	sábado, 2 de junio de 2018	30964
1249	domingo, 3 de junio de 2018	32525
1250	lunes, 4 de junio de 2018	30340
1251	martes, 5 de junio de 2018	16899
1252	miércoles, 6 de junio de 2018	31884
1253	jueves, 7 de junio de 2018	32323
1254	viernes, 8 de junio de 2018	33045
1255	sábado, 9 de junio de 2018	33180
1256	domingo, 10 de junio de 2018	31399
1257	lunes, 11 de junio de 2018	36325
1258	martes, 12 de junio de 2018	36367
1259	miércoles, 13 de junio de 2018	31848
1260	jueves, 14 de junio de 2018	31318
1261	viernes, 15 de junio de 2018	33993
1262	sábado, 16 de junio de 2018	28788
1263	domingo, 17 de junio de 2018	17864
1264	lunes, 18 de junio de 2018	30550
1265	martes, 19 de junio de 2018	32321
1266	miércoles, 20 de junio de 2018	32027
1267	jueves, 21 de junio de 2018	32239
1268	viernes, 22 de junio de 2018	33369
1269	sábado, 23 de junio de 2018	27135
1270	domingo, 24 de junio de 2018	20702
1271	lunes, 25 de junio de 2018	30497
1272	martes, 26 de junio de 2018	31692
1273	miércoles, 27 de junio de 2018	31683
1274	jueves, 28 de junio de 2018	32148
1275	viernes, 29 de junio de 2018	33670
1276	sábado, 30 de junio de 2018	29285
1277	domingo, 1 de julio de 2018	15091
1278	lunes, 2 de julio de 2018	31717
1279	martes, 3 de julio de 2018	32343
1280	miércoles, 4 de julio de 2018	25435
1281	jueves, 5 de julio de 2018	31814
1282	viernes, 6 de julio de 2018	32995
1283	sábado, 7 de julio de 2018	27690
1284	domingo, 8 de julio de 2018	34066
1285	lunes, 9 de julio de 2018	34778
1286	martes, 10 de julio de 2018	20881
1287	miércoles, 11 de julio de 2018	35439
1288	jueves, 12 de julio de 2018	38686
1289	viernes, 13 de julio de 2018	32815
1290	sábado, 14 de julio de 2018	28772
1291	domingo, 15 de julio de 2018	20208
1292	lunes, 16 de julio de 2018	30346
1293	martes, 17 de julio de 2018	31282
1294	miércoles, 18 de julio de 2018	30979
1295	jueves, 19 de julio de 2018	32415
1296	viernes, 20 de julio de 2018	32269



Análisis de la afluencia de un corredor de servicio de transporte concesionado en la Ciudad de México | 306

1297	sábado, 21 de julio de 2018	28872
1298	domingo, 22 de julio de 2018	19752
1299	lunes, 23 de julio de 2018	30122
1300	martes, 24 de julio de 2018	30760
1301	miércoles, 25 de julio de 2018	31206
1302	jueves, 26 de julio de 2018	30970
1303	viernes, 27 de julio de 2018	31663
1304	sábado, 28 de julio de 2018	27642
1305	domingo, 29 de julio de 2018	19648
1306	lunes, 30 de julio de 2018	30350
1307	martes, 31 de julio de 2018	32243
1308	miércoles, 1 de agosto de 2018	28452
1309	jueves, 2 de agosto de 2018	32012
1310	viernes, 3 de agosto de 2018	29804
1311	sábado, 4 de agosto de 2018	16353
1312	domingo, 5 de agosto de 2018	32357
1313	lunes, 6 de agosto de 2018	34884
1314	martes, 7 de agosto de 2018	18089
1315	miércoles, 8 de agosto de 2018	33827
1316	jueves, 9 de agosto de 2018	29690
1317	viernes, 10 de agosto de 2018	34020
1318	sábado, 11 de agosto de 2018	35252
1319	domingo, 12 de agosto de 2018	35293
1320	lunes, 13 de agosto de 2018	32935
1321	martes, 14 de agosto de 2018	34283
1322	miércoles, 15 de agosto de 2018	34812
1323	jueves, 16 de agosto de 2018	33994
1324	viernes, 17 de agosto de 2018	35026
1325	sábado, 18 de agosto de 2018	29818
1326	domingo, 19 de agosto de 2018	20666
1327	lunes, 20 de agosto de 2018	32685
1328	martes, 21 de agosto de 2018	33407
1329	miércoles, 22 de agosto de 2018	33812
1330	jueves, 23 de agosto de 2018	33633
1331	viernes, 24 de agosto de 2018	35147
1332	sábado, 25 de agosto de 2018	28653
1333	domingo, 26 de agosto de 2018	19553
1334	lunes, 27 de agosto de 2018	32266
1335	martes, 28 de agosto de 2018	33318
1336	miércoles, 29 de agosto de 2018	33503
1337	jueves, 30 de agosto de 2018	33991
1338	viernes, 31 de agosto de 2018	35364
1339	sábado, 1 de septiembre de 2018	29172
1340	domingo, 2 de septiembre de 2018	32075
1341	lunes, 3 de septiembre de 2018	32658
1342	martes, 4 de septiembre de 2018	31014
1343	miércoles, 5 de septiembre de 2018	33217
1344	jueves, 6 de septiembre de 2018	27344
1345	viernes, 7 de septiembre de 2018	29539
1346	sábado, 8 de septiembre de 2018	33437
1347	domingo, 9 de septiembre de 2018	20306
1348	lunes, 10 de septiembre de 2018	35114
1349	martes, 11 de septiembre de 2018	38663
1350	miércoles, 12 de septiembre de 2018	24105
1351	jueves, 13 de septiembre de 2018	34261
1352	viernes, 14 de septiembre de 2018	35747
1353	sábado, 15 de septiembre de 2018	25862
1354	domingo, 16 de septiembre de 2018	16270
1355	lunes, 17 de septiembre de 2018	32994
1356	martes, 18 de septiembre de 2018	34720
1357	miércoles, 19 de septiembre de 2018	33764
1358	jueves, 20 de septiembre de 2018	34695
1359	viernes, 21 de septiembre de 2018	36826
1360	sábado, 22 de septiembre de 2018	29317
1361	domingo, 23 de septiembre de 2018	20172
1362	lunes, 24 de septiembre de 2018	33418
1363	martes, 25 de septiembre de 2018	32684
1364	miércoles, 26 de septiembre de 2018	32294
1365	jueves, 27 de septiembre de 2018	34985
1366	viernes, 28 de septiembre de 2018	37004
1367	sábado, 29 de septiembre de 2018	30937

1368	domingo, 30 de septiembre de 2018	21386
1369	lunes, 1 de octubre de 2018	29494
1370	martes, 2 de octubre de 2018	25420
1371	miércoles, 3 de octubre de 2018	26893
1372	jueves, 4 de octubre de 2018	31904
1373	viernes, 5 de octubre de 2018	28165
1374	sábado, 6 de octubre de 2018	18938
1375	domingo, 7 de octubre de 2018	30880
1376	lunes, 8 de octubre de 2018	35525
1377	martes, 9 de octubre de 2018	33520
1378	miércoles, 10 de octubre de 2018	35977
1379	jueves, 11 de octubre de 2018	33112
1380	viernes, 12 de octubre de 2018	35189
1381	sábado, 13 de octubre de 2018	31279
1382	domingo, 14 de octubre de 2018	21499
1383	lunes, 15 de octubre de 2018	34706
1384	martes, 16 de octubre de 2018	35723
1385	miércoles, 17 de octubre de 2018	35615
1386	jueves, 18 de octubre de 2018	35449
1387	viernes, 19 de octubre de 2018	36755
1388	sábado, 20 de octubre de 2018	31119
1389	domingo, 21 de octubre de 2018	20645
1390	lunes, 22 de octubre de 2018	34453
1391	martes, 23 de octubre de 2018	35629
1392	miércoles, 24 de octubre de 2018	34966
1393	jueves, 25 de octubre de 2018	35787
1394	viernes, 26 de octubre de 2018	37212
1395	sábado, 27 de octubre de 2018	31841
1396	domingo, 28 de octubre de 2018	21561
1397	lunes, 29 de octubre de 2018	34880
1398	martes, 30 de octubre de 2018	35530
1399	miércoles, 31 de octubre de 2018	34504
1400	jueves, 1 de noviembre de 2018	29417
1401	viernes, 2 de noviembre de 2018	15783
1402	sábado, 3 de noviembre de 2018	16571
1403	domingo, 4 de noviembre de 2018	32017
1404	lunes, 5 de noviembre de 2018	31962
1405	martes, 6 de noviembre de 2018	33577
1406	miércoles, 7 de noviembre de 2018	30193
1407	jueves, 8 de noviembre de 2018	28496
1408	viernes, 9 de noviembre de 2018	34223
1409	sábado, 10 de noviembre de 2018	34967
1410	domingo, 11 de noviembre de 2018	22653
1411	lunes, 12 de noviembre de 2018	36149
1412	martes, 13 de noviembre de 2018	36096
1413	miércoles, 14 de noviembre de 2018	36618
1414	jueves, 15 de noviembre de 2018	32903
1415	viernes, 16 de noviembre de 2018	40387
1416	sábado, 17 de noviembre de 2018	37075
1417	domingo, 18 de noviembre de 2018	26287
1418	lunes, 19 de noviembre de 2018	26431
1419	martes, 20 de noviembre de 2018	35387
1420	miércoles, 21 de noviembre de 2018	35297
1421	jueves, 22 de noviembre de 2018	36053
1422	viernes, 23 de noviembre de 2018	36951
1423	sábado, 24 de noviembre de 2018	31732
1424	domingo, 25 de noviembre de 2018	22672
1425	lunes, 26 de noviembre de 2018	34220
1426	martes, 27 de noviembre de 2018	49
1427	miércoles, 28 de noviembre de 2018	35114
1428	jueves, 29 de noviembre de 2018	35977
1429	viernes, 30 de noviembre de 2018	34967
1430	sábado, 1 de diciembre de 2018	30159
1431	domingo, 2 de diciembre de 2018	31531
1432	lunes, 3 de diciembre de 2018	31273
1433	martes, 4 de diciembre de 2018	31990
1434	miércoles, 5 de diciembre de 2018	26287
1435	jueves, 6 de diciembre de 2018	31486
1436	viernes, 7 de diciembre de 2018	31434
1437	sábado, 8 de diciembre de 2018	19834
1438	domingo, 9 de diciembre de 2018	34279



Análisis de la afluencia de un corredor de servicio de transporte concesionado en la Ciudad de México | 307

1439	lunes, 10 de diciembre de 2018	36691
1440	martes, 11 de diciembre de 2018	34240
1441	miércoles, 12 de diciembre de 2018	31963
1442	jueves, 13 de diciembre de 2018	35817
1443	viernes, 14 de diciembre de 2018	37540
1444	sábado, 15 de diciembre de 2018	35102
1445	domingo, 16 de diciembre de 2018	28303
1446	lunes, 17 de diciembre de 2018	35165
1447	martes, 18 de diciembre de 2018	35366
1448	miércoles, 19 de diciembre de 2018	36366
1449	jueves, 20 de diciembre de 2018	36341
1450	viernes, 21 de diciembre de 2018	38413
1451	sábado, 22 de diciembre de 2018	34592
1452	domingo, 23 de diciembre de 2018	29062
1453	lunes, 24 de diciembre de 2018	27560
1454	martes, 25 de diciembre de 2018	15225
1455	miércoles, 26 de diciembre de 2018	28724
1456	jueves, 27 de diciembre de 2018	30656
1457	viernes, 28 de diciembre de 2018	31414
1458	sábado, 29 de diciembre de 2018	28543
1459	domingo, 30 de diciembre de 2018	60
1460	lunes, 31 de diciembre de 2018	28873
1461	martes, 1 de enero de 2019	13568
1462	miércoles, 2 de enero de 2019	36355
1463	jueves, 3 de enero de 2019	38351
1464	viernes, 4 de enero de 2019	35160
1465	sábado, 5 de enero de 2019	25944
1466	domingo, 6 de enero de 2019	30946
1467	lunes, 7 de enero de 2019	31698
1468	martes, 8 de enero de 2019	36071
1469	miércoles, 9 de enero de 2019	22852
1470	jueves, 10 de enero de 2019	37313
1471	viernes, 11 de enero de 2019	37372
1472	sábado, 12 de enero de 2019	27849
1473	domingo, 13 de enero de 2019	23689
1474	lunes, 14 de enero de 2019	34410
1475	martes, 15 de enero de 2019	34798
1476	miércoles, 16 de enero de 2019	34836
1477	jueves, 17 de enero de 2019	34196
1478	viernes, 18 de enero de 2019	36144
1479	sábado, 19 de enero de 2019	31154
1480	domingo, 20 de enero de 2019	22219
1481	lunes, 21 de enero de 2019	33553
1482	martes, 22 de enero de 2019	34182
1483	miércoles, 23 de enero de 2019	34621
1484	jueves, 24 de enero de 2019	34330
1485	viernes, 25 de enero de 2019	36063
1486	sábado, 26 de enero de 2019	29833
1487	domingo, 27 de enero de 2019	21276
1488	lunes, 28 de enero de 2019	34065
1489	martes, 29 de enero de 2019	34530
1490	miércoles, 30 de enero de 2019	34756
1491	jueves, 31 de enero de 2019	35820
1492	viernes, 1 de febrero de 2019	29109
1493	sábado, 2 de febrero de 2019	30712
1494	domingo, 3 de febrero de 2019	30595
1495	lunes, 4 de febrero de 2019	37627
1496	martes, 5 de febrero de 2019	35254
1497	miércoles, 6 de febrero de 2019	22883
1498	jueves, 7 de febrero de 2019	34470
1499	viernes, 8 de febrero de 2019	36795
1500	sábado, 9 de febrero de 2019	35981
1501	domingo, 10 de febrero de 2019	32107
1502	lunes, 11 de febrero de 2019	27340
1503	martes, 12 de febrero de 2019	39139
1504	miércoles, 13 de febrero de 2019	35926
1505	jueves, 14 de febrero de 2019	38850
1506	viernes, 15 de febrero de 2019	37613
1507	sábado, 16 de febrero de 2019	31281
1508	domingo, 17 de febrero de 2019	21955
1509	lunes, 18 de febrero de 2019	34879

1510	martes, 19 de febrero de 2019	34253
1511	miércoles, 20 de febrero de 2019	34933
1512	jueves, 21 de febrero de 2019	36279
1513	viernes, 22 de febrero de 2019	36983
1514	sábado, 23 de febrero de 2019	30627
1515	domingo, 24 de febrero de 2019	19527
1516	lunes, 25 de febrero de 2019	33632
1517	martes, 26 de febrero de 2019	35498
1518	miércoles, 27 de febrero de 2019	44428



ANEXO XIII: Camiones necesarios (28 febrero 2019 al 31 de diciembre 2019)

(t)	DÍA	FECHA	CAMIONES NECESARIOS
732	59	jueves, 28 de febrero de 2019	52
733	60	viernes, 1 de marzo de 2019	49
734	61	sábado, 2 de marzo de 2019	48
735	62	domingo, 3 de marzo de 2019	35
736	63	lunes, 4 de marzo de 2019	19
737	64	martes, 5 de marzo de 2019	51
738	65	miércoles, 6 de marzo de 2019	51
739	66	jueves, 7 de marzo de 2019	51
740	67	viernes, 8 de marzo de 2019	50
741	68	sábado, 9 de marzo de 2019	49
742	69	domingo, 10 de marzo de 2019	35
743	70	lunes, 11 de marzo de 2019	20
744	71	martes, 12 de marzo de 2019	51
745	72	miércoles, 13 de marzo de 2019	51
746	73	jueves, 14 de marzo de 2019	51
747	74	viernes, 15 de marzo de 2019	50
748	75	sábado, 16 de marzo de 2019	49
749	76	domingo, 17 de marzo de 2019	35
750	77	lunes, 18 de marzo de 2019	19
751	78	martes, 19 de marzo de 2019	21
752	79	miércoles, 20 de marzo de 2019	54
753	80	jueves, 21 de marzo de 2019	50
754	81	viernes, 22 de marzo de 2019	50
755	82	sábado, 23 de marzo de 2019	50
756	83	domingo, 24 de marzo de 2019	33
757	84	lunes, 25 de marzo de 2019	18
758	85	martes, 26 de marzo de 2019	46
759	86	miércoles, 27 de marzo de 2019	44
760	87	jueves, 28 de marzo de 2019	43
761	88	viernes, 29 de marzo de 2019	26
762	89	sábado, 30 de marzo de 2019	18
763	90	domingo, 31 de marzo de 2019	17
764	91	lunes, 1 de abril de 2019	15
765	92	martes, 2 de abril de 2019	48
766	93	miércoles, 3 de abril de 2019	47
767	94	jueves, 4 de abril de 2019	44
768	95	viernes, 5 de abril de 2019	51
769	96	sábado, 6 de abril de 2019	46
770	97	domingo, 7 de abril de 2019	35
771	98	lunes, 8 de abril de 2019	18
772	99	martes, 9 de abril de 2019	50
773	100	miércoles, 10 de abril de 2019	49
774	101	jueves, 11 de abril de 2019	52
775	102	viernes, 12 de abril de 2019	49
776	103	sábado, 13 de abril de 2019	50
777	104	domingo, 14 de abril de 2019	33
778	105	lunes, 15 de abril de 2019	20
779	106	martes, 16 de abril de 2019	50
780	107	miércoles, 17 de abril de 2019	49
781	108	jueves, 18 de abril de 2019	51
782	109	viernes, 19 de abril de 2019	49
783	110	sábado, 20 de abril de 2019	46
784	111	domingo, 21 de abril de 2019	33
785	112	lunes, 22 de abril de 2019	19
786	113	martes, 23 de abril de 2019	50
787	114	miércoles, 24 de abril de 2019	50
788	115	jueves, 25 de abril de 2019	50
789	116	viernes, 26 de abril de 2019	50
790	117	sábado, 27 de abril de 2019	50
791	118	domingo, 28 de abril de 2019	33
792	119	lunes, 29 de abril de 2019	19
793	120	martes, 30 de abril de 2019	47
794	121	miércoles, 1 de mayo de 2019	23
795	122	jueves, 2 de mayo de 2019	51
796	123	viernes, 3 de mayo de 2019	49
797	124	sábado, 4 de mayo de 2019	48
798	125	domingo, 5 de mayo de 2019	32
799	126	lunes, 6 de mayo de 2019	18
800	127	martes, 7 de mayo de 2019	49
801	128	miércoles, 8 de mayo de 2019	49

802	129	jueves, 9 de mayo de 2019	49
803	130	viernes, 10 de mayo de 2019	35
804	131	sábado, 11 de mayo de 2019	50
805	132	domingo, 12 de mayo de 2019	33
806	133	lunes, 13 de mayo de 2019	19
807	134	martes, 14 de mayo de 2019	50
808	135	miércoles, 15 de mayo de 2019	46
809	136	jueves, 16 de mayo de 2019	49
810	137	viernes, 17 de mayo de 2019	48
811	138	sábado, 18 de mayo de 2019	48
812	139	domingo, 19 de mayo de 2019	32
813	140	lunes, 20 de mayo de 2019	21
814	141	martes, 21 de mayo de 2019	48
815	142	miércoles, 22 de mayo de 2019	50
816	143	jueves, 23 de mayo de 2019	49
817	144	viernes, 24 de mayo de 2019	48
818	145	sábado, 25 de mayo de 2019	48
819	146	domingo, 26 de mayo de 2019	32
820	147	lunes, 27 de mayo de 2019	19
821	148	martes, 28 de mayo de 2019	49
822	149	miércoles, 29 de mayo de 2019	49
823	150	jueves, 30 de mayo de 2019	49
824	151	viernes, 31 de mayo de 2019	49
825	152	sábado, 1 de junio de 2019	48
826	153	domingo, 2 de junio de 2019	34
827	154	lunes, 3 de junio de 2019	20
828	155	martes, 4 de junio de 2019	49
829	156	miércoles, 5 de junio de 2019	50
830	157	jueves, 6 de junio de 2019	49
831	158	viernes, 7 de junio de 2019	51
832	159	sábado, 8 de junio de 2019	49
833	160	domingo, 9 de junio de 2019	33
834	161	lunes, 10 de junio de 2019	21
835	162	martes, 11 de junio de 2019	50
836	163	miércoles, 12 de junio de 2019	48
837	164	jueves, 13 de junio de 2019	46
838	165	viernes, 14 de junio de 2019	46
839	166	sábado, 15 de junio de 2019	47
840	167	domingo, 16 de junio de 2019	34
841	168	lunes, 17 de junio de 2019	16
842	169	martes, 18 de junio de 2019	46
843	170	miércoles, 19 de junio de 2019	49
844	171	jueves, 20 de junio de 2019	49
845	172	viernes, 21 de junio de 2019	47
846	173	sábado, 22 de junio de 2019	48
847	174	domingo, 23 de junio de 2019	34
848	175	lunes, 24 de junio de 2019	24
849	176	martes, 25 de junio de 2019	49
850	177	miércoles, 26 de junio de 2019	47
851	178	jueves, 27 de junio de 2019	47
852	179	viernes, 28 de junio de 2019	47
853	180	sábado, 29 de junio de 2019	47
854	181	domingo, 30 de junio de 2019	33
855	182	lunes, 1 de julio de 2019	19
856	183	martes, 2 de julio de 2019	46
857	184	miércoles, 3 de julio de 2019	48
858	185	jueves, 4 de julio de 2019	47
859	186	viernes, 5 de julio de 2019	47
860	187	sábado, 6 de julio de 2019	46
861	188	domingo, 7 de julio de 2019	33
862	189	lunes, 8 de julio de 2019	19
863	190	martes, 9 de julio de 2019	46
864	191	miércoles, 10 de julio de 2019	47
865	192	jueves, 11 de julio de 2019	47
866	193	viernes, 12 de julio de 2019	46
867	194	sábado, 13 de julio de 2019	45
868	195	domingo, 14 de julio de 2019	32
869	196	lunes, 15 de julio de 2019	20
870	197	martes, 16 de julio de 2019	45
871	198	miércoles, 17 de julio de 2019	47
872	199	jueves, 18 de julio de 2019	46



Análisis de la afluencia de un corredor de servicio de transporte concesionado en la Ciudad de México | 309

873	200	viernes, 19 de julio de 2019	46
874	201	sábado, 20 de julio de 2019	45
875	202	domingo, 21 de julio de 2019	32
876	203	lunes, 22 de julio de 2019	21
877	204	martes, 23 de julio de 2019	46
878	205	miércoles, 24 de julio de 2019	47
879	206	jueves, 25 de julio de 2019	46
880	207	viernes, 26 de julio de 2019	46
881	208	sábado, 27 de julio de 2019	43
882	209	domingo, 28 de julio de 2019	34
883	210	lunes, 29 de julio de 2019	20
884	211	martes, 30 de julio de 2019	48
885	212	miércoles, 31 de julio de 2019	48
886	213	jueves, 1 de agosto de 2019	49
887	214	viernes, 2 de agosto de 2019	49
888	215	sábado, 3 de agosto de 2019	48
889	216	domingo, 4 de agosto de 2019	34
890	217	lunes, 5 de agosto de 2019	19
891	218	martes, 6 de agosto de 2019	52
892	219	miércoles, 7 de agosto de 2019	52
893	220	jueves, 8 de agosto de 2019	52
894	221	viernes, 9 de agosto de 2019	49
895	222	sábado, 10 de agosto de 2019	52
896	223	domingo, 11 de agosto de 2019	33
897	224	lunes, 12 de agosto de 2019	19
898	225	martes, 13 de agosto de 2019	52
899	226	miércoles, 14 de agosto de 2019	53
900	227	jueves, 15 de agosto de 2019	51
901	228	viernes, 16 de agosto de 2019	52
902	229	sábado, 17 de agosto de 2019	51
903	230	domingo, 18 de agosto de 2019	34
904	231	lunes, 19 de agosto de 2019	21
905	232	martes, 20 de agosto de 2019	51
906	233	miércoles, 21 de agosto de 2019	51
907	234	jueves, 22 de agosto de 2019	52
908	235	viernes, 23 de agosto de 2019	51
909	236	sábado, 24 de agosto de 2019	50
910	237	domingo, 25 de agosto de 2019	34
911	238	lunes, 26 de agosto de 2019	21
912	239	martes, 27 de agosto de 2019	52
913	240	miércoles, 28 de agosto de 2019	50
914	241	jueves, 29 de agosto de 2019	52
915	242	viernes, 30 de agosto de 2019	49
916	243	sábado, 31 de agosto de 2019	50
917	244	domingo, 1 de septiembre de 2019	34
918	245	lunes, 2 de septiembre de 2019	20
919	246	martes, 3 de septiembre de 2019	52
920	247	miércoles, 4 de septiembre de 2019	52
921	248	jueves, 5 de septiembre de 2019	51
922	249	viernes, 6 de septiembre de 2019	51
923	250	sábado, 7 de septiembre de 2019	51
924	251	domingo, 8 de septiembre de 2019	35
925	252	lunes, 9 de septiembre de 2019	21
926	253	martes, 10 de septiembre de 2019	53
927	254	miércoles, 11 de septiembre de 2019	51
928	255	jueves, 12 de septiembre de 2019	52
929	256	viernes, 13 de septiembre de 2019	50
930	257	sábado, 14 de septiembre de 2019	49
931	258	domingo, 15 de septiembre de 2019	28
932	259	lunes, 16 de septiembre de 2019	17
933	260	martes, 17 de septiembre de 2019	53
934	261	miércoles, 18 de septiembre de 2019	52
935	262	jueves, 19 de septiembre de 2019	52
936	263	viernes, 20 de septiembre de 2019	53
937	264	sábado, 21 de septiembre de 2019	53
938	265	domingo, 22 de septiembre de 2019	33
939	266	lunes, 23 de septiembre de 2019	22
940	267	martes, 24 de septiembre de 2019	53
941	268	miércoles, 25 de septiembre de 2019	52
942	269	jueves, 26 de septiembre de 2019	52
943	270	viernes, 27 de septiembre de 2019	53

944	271	sábado, 28 de septiembre de 2019	52
945	272	domingo, 29 de septiembre de 2019	34
946	273	lunes, 30 de septiembre de 2019	21
947	274	martes, 1 de octubre de 2019	51
948	275	miércoles, 2 de octubre de 2019	52
949	276	jueves, 3 de octubre de 2019	53
950	277	viernes, 4 de octubre de 2019	52
951	278	sábado, 5 de octubre de 2019	52
952	279	domingo, 6 de octubre de 2019	35
953	280	lunes, 7 de octubre de 2019	23
954	281	martes, 8 de octubre de 2019	53
955	282	miércoles, 9 de octubre de 2019	53
956	283	jueves, 10 de octubre de 2019	52
957	284	viernes, 11 de octubre de 2019	53
958	285	sábado, 12 de octubre de 2019	49
959	286	domingo, 13 de octubre de 2019	36
960	287	lunes, 14 de octubre de 2019	22
961	288	martes, 15 de octubre de 2019	51
962	289	miércoles, 16 de octubre de 2019	53
963	290	jueves, 17 de octubre de 2019	52
964	291	viernes, 18 de octubre de 2019	52
965	292	sábado, 19 de octubre de 2019	51
966	293	domingo, 20 de octubre de 2019	36
967	294	lunes, 21 de octubre de 2019	21
968	295	martes, 22 de octubre de 2019	52
969	296	miércoles, 23 de octubre de 2019	53
970	297	jueves, 24 de octubre de 2019	53
971	298	viernes, 25 de octubre de 2019	53
972	299	sábado, 26 de octubre de 2019	50
973	300	domingo, 27 de octubre de 2019	33
974	301	lunes, 28 de octubre de 2019	22
975	302	martes, 29 de octubre de 2019	52
976	303	miércoles, 30 de octubre de 2019	51
977	304	jueves, 31 de octubre de 2019	47
978	305	viernes, 1 de noviembre de 2019	40
979	306	sábado, 2 de noviembre de 2019	25
980	307	domingo, 3 de noviembre de 2019	28
981	308	lunes, 4 de noviembre de 2019	17
982	309	martes, 5 de noviembre de 2019	52
983	310	miércoles, 6 de noviembre de 2019	51
984	311	jueves, 7 de noviembre de 2019	52
985	312	viernes, 8 de noviembre de 2019	51
986	313	sábado, 9 de noviembre de 2019	49
987	314	domingo, 10 de noviembre de 2019	35
988	315	lunes, 11 de noviembre de 2019	22
989	316	martes, 12 de noviembre de 2019	52
990	317	miércoles, 13 de noviembre de 2019	52
991	318	jueves, 14 de noviembre de 2019	47
992	319	viernes, 15 de noviembre de 2019	50
993	320	sábado, 16 de noviembre de 2019	49
994	321	domingo, 17 de noviembre de 2019	35
995	322	lunes, 18 de noviembre de 2019	21
996	323	martes, 19 de noviembre de 2019	23
997	324	miércoles, 20 de noviembre de 2019	54
998	325	jueves, 21 de noviembre de 2019	51
999	326	viernes, 22 de noviembre de 2019	50
1000	327	sábado, 23 de noviembre de 2019	49
1001	328	domingo, 24 de noviembre de 2019	36
1002	329	lunes, 25 de noviembre de 2019	21
1003	330	martes, 26 de noviembre de 2019	51
1004	331	miércoles, 27 de noviembre de 2019	51
1005	332	jueves, 28 de noviembre de 2019	50
1006	333	viernes, 29 de noviembre de 2019	51
1007	334	sábado, 30 de noviembre de 2019	48
1008	335	domingo, 1 de diciembre de 2019	27
1009	336	lunes, 2 de diciembre de 2019	22
1010	337	martes, 3 de diciembre de 2019	50
1011	338	miércoles, 4 de diciembre de 2019	49
1012	339	jueves, 5 de diciembre de 2019	50
1013	340	viernes, 6 de diciembre de 2019	48
1014	341	sábado, 7 de diciembre de 2019	46



1015	342	domingo, 8 de diciembre de 2019	34
1016	343	lunes, 9 de diciembre de 2019	21
1017	344	martes, 10 de diciembre de 2019	50
1018	345	miércoles, 11 de diciembre de 2019	42
1019	346	jueves, 12 de diciembre de 2019	44
1020	347	viernes, 13 de diciembre de 2019	50
1021	348	sábado, 14 de diciembre de 2019	46
1022	349	domingo, 15 de diciembre de 2019	32
1023	350	lunes, 16 de diciembre de 2019	20
1024	351	martes, 17 de diciembre de 2019	44
1025	352	miércoles, 18 de diciembre de 2019	45
1026	353	jueves, 19 de diciembre de 2019	46
1027	354	viernes, 20 de diciembre de 2019	44
1028	355	sábado, 21 de diciembre de 2019	41
1029	356	domingo, 22 de diciembre de 2019	30
1030	357	lunes, 23 de diciembre de 2019	20
1031	358	martes, 24 de diciembre de 2019	24
1032	359	miércoles, 25 de diciembre de 2019	11
1033	360	jueves, 26 de diciembre de 2019	35
1034	361	viernes, 27 de diciembre de 2019	36
1035	362	sábado, 28 de diciembre de 2019	36
1036	363	domingo, 29 de diciembre de 2019	25
1037	364	lunes, 30 de diciembre de 2019	17
1038	364	martes, 31 de diciembre de 2019	20



ANEXO XIII: Diésel (Lt) para los camiones necesarios (28 febrero 2019 al 31 de diciembre 2019)

(t)	DÍA	FECHA	CAMIONES NECESARIOS	DIÉSEL (Lt)
732	59	jueves, 28 de febrero de 2019	52	3290
733	60	viernes, 1 de marzo de 2019	49	3135
734	61	sábado, 2 de marzo de 2019	48	3080
735	62	domingo, 3 de marzo de 2019	35	2239
736	63	lunes, 4 de marzo de 2019	19	1216
737	64	martes, 5 de marzo de 2019	51	3250
738	65	miércoles, 6 de marzo de 2019	51	3261
739	66	jueves, 7 de marzo de 2019	51	3217
740	67	viernes, 8 de marzo de 2019	50	3184
741	68	sábado, 9 de marzo de 2019	49	3131
742	69	domingo, 10 de marzo de 2019	35	2225
743	70	lunes, 11 de marzo de 2019	20	1246
744	71	martes, 12 de marzo de 2019	51	3223
745	72	miércoles, 13 de marzo de 2019	51	3224
746	73	jueves, 14 de marzo de 2019	51	3212
747	74	viernes, 15 de marzo de 2019	50	3180
748	75	sábado, 16 de marzo de 2019	49	3113
749	76	domingo, 17 de marzo de 2019	35	2227
750	77	lunes, 18 de marzo de 2019	19	1215
751	78	martes, 19 de marzo de 2019	21	1332
752	79	miércoles, 20 de marzo de 2019	54	3428
753	80	jueves, 21 de marzo de 2019	50	3192
754	81	viernes, 22 de marzo de 2019	50	3174
755	82	sábado, 23 de marzo de 2019	50	3181
756	83	domingo, 24 de marzo de 2019	33	2115
757	84	lunes, 25 de marzo de 2019	18	1157
758	85	martes, 26 de marzo de 2019	46	2907
759	86	miércoles, 27 de marzo de 2019	44	2783
760	87	jueves, 28 de marzo de 2019	43	2705
761	88	viernes, 29 de marzo de 2019	26	1629
762	89	sábado, 30 de marzo de 2019	18	1130
763	90	domingo, 31 de marzo de 2019	17	1111
764	91	lunes, 1 de abril de 2019	15	943
765	92	martes, 2 de abril de 2019	48	3049
766	93	miércoles, 3 de abril de 2019	47	3014
767	94	jueves, 4 de abril de 2019	44	2777
768	95	viernes, 5 de abril de 2019	51	3241
769	96	sábado, 6 de abril de 2019	46	2934
770	97	domingo, 7 de abril de 2019	35	2226
771	98	lunes, 8 de abril de 2019	18	1140
772	99	martes, 9 de abril de 2019	50	3206
773	100	miércoles, 10 de abril de 2019	49	3104
774	101	jueves, 11 de abril de 2019	52	3284
775	102	viernes, 12 de abril de 2019	49	3114
776	103	sábado, 13 de abril de 2019	50	3150
777	104	domingo, 14 de abril de 2019	33	2097
778	105	lunes, 15 de abril de 2019	20	1283
779	106	martes, 16 de abril de 2019	50	3194
780	107	miércoles, 17 de abril de 2019	49	3092
781	108	jueves, 18 de abril de 2019	51	3224
782	109	viernes, 19 de abril de 2019	49	3137
783	110	sábado, 20 de abril de 2019	46	2951
784	111	domingo, 21 de abril de 2019	33	2115
785	112	lunes, 22 de abril de 2019	19	1178
786	113	martes, 23 de abril de 2019	50	3181
787	114	miércoles, 24 de abril de 2019	50	3160
788	115	jueves, 25 de abril de 2019	50	3192
789	116	viernes, 26 de abril de 2019	50	3151
790	117	sábado, 27 de abril de 2019	50	3168
791	118	domingo, 28 de abril de 2019	33	2120
792	119	lunes, 29 de abril de 2019	19	1192
793	120	martes, 30 de abril de 2019	47	2987
794	121	miércoles, 1 de mayo de 2019	23	1454
795	122	jueves, 2 de mayo de 2019	51	3273
796	123	viernes, 3 de mayo de 2019	49	3100
797	124	sábado, 4 de mayo de 2019	48	3032
798	125	domingo, 5 de mayo de 2019	32	2053
799	126	lunes, 6 de mayo de 2019	18	1170
800	127	martes, 7 de mayo de 2019	49	3097

801	128	miércoles, 8 de mayo de 2019	49	3119
802	129	jueves, 9 de mayo de 2019	49	3126
803	130	viernes, 10 de mayo de 2019	35	2205
804	131	sábado, 11 de mayo de 2019	50	3181
805	132	domingo, 12 de mayo de 2019	33	2129
806	133	lunes, 13 de mayo de 2019	19	1202
807	134	martes, 14 de mayo de 2019	50	3174
808	135	miércoles, 15 de mayo de 2019	46	2933
809	136	jueves, 16 de mayo de 2019	49	3093
810	137	viernes, 17 de mayo de 2019	48	3032
811	138	sábado, 18 de mayo de 2019	48	3080
812	139	domingo, 19 de mayo de 2019	32	2005
813	140	lunes, 20 de mayo de 2019	21	1334
814	141	martes, 21 de mayo de 2019	48	3027
815	142	miércoles, 22 de mayo de 2019	50	3155
816	143	jueves, 23 de mayo de 2019	49	3116
817	144	viernes, 24 de mayo de 2019	48	3046
818	145	sábado, 25 de mayo de 2019	48	3033
819	146	domingo, 26 de mayo de 2019	32	2031
820	147	lunes, 27 de mayo de 2019	19	1212
821	148	martes, 28 de mayo de 2019	49	3127
822	149	miércoles, 29 de mayo de 2019	49	3140
823	150	jueves, 30 de mayo de 2019	49	3113
824	151	viernes, 31 de mayo de 2019	49	3085
825	152	sábado, 1 de junio de 2019	48	3061
826	153	domingo, 2 de junio de 2019	34	2152
827	154	lunes, 3 de junio de 2019	20	1264
828	155	martes, 4 de junio de 2019	49	3124
829	156	miércoles, 5 de junio de 2019	50	3171
830	157	jueves, 6 de junio de 2019	49	3125
831	158	viernes, 7 de junio de 2019	51	3261
832	159	sábado, 8 de junio de 2019	49	3085
833	160	domingo, 9 de junio de 2019	33	2078
834	161	lunes, 10 de junio de 2019	21	1356
835	162	martes, 11 de junio de 2019	50	3185
836	163	miércoles, 12 de junio de 2019	48	3067
837	164	jueves, 13 de junio de 2019	46	2948
838	165	viernes, 14 de junio de 2019	46	2912
839	166	sábado, 15 de junio de 2019	47	2984
840	167	domingo, 16 de junio de 2019	34	2137
841	168	lunes, 17 de junio de 2019	16	1043
842	169	martes, 18 de junio de 2019	46	2918
843	170	miércoles, 19 de junio de 2019	49	3108
844	171	jueves, 20 de junio de 2019	49	3122
845	172	viernes, 21 de junio de 2019	47	3016
846	173	sábado, 22 de junio de 2019	48	3043
847	174	domingo, 23 de junio de 2019	34	2192
848	175	lunes, 24 de junio de 2019	24	1509
849	176	martes, 25 de junio de 2019	49	3097
850	177	miércoles, 26 de junio de 2019	47	2985
851	178	jueves, 27 de junio de 2019	47	3002
852	179	viernes, 28 de junio de 2019	47	2998
853	180	sábado, 29 de junio de 2019	47	3013
854	181	domingo, 30 de junio de 2019	33	2085
855	182	lunes, 1 de julio de 2019	19	1191
856	183	martes, 2 de julio de 2019	46	2937
857	184	miércoles, 3 de julio de 2019	48	3056
858	185	jueves, 4 de julio de 2019	47	2990
859	186	viernes, 5 de julio de 2019	47	3016
860	187	sábado, 6 de julio de 2019	46	2901
861	188	domingo, 7 de julio de 2019	33	2075
862	189	lunes, 8 de julio de 2019	19	1210
863	190	martes, 9 de julio de 2019	46	2943
864	191	miércoles, 10 de julio de 2019	47	2964
865	192	jueves, 11 de julio de 2019	47	2992
866	193	viernes, 12 de julio de 2019	46	2902
867	194	sábado, 13 de julio de 2019	45	2854
868	195	domingo, 14 de julio de 2019	32	2058
869	196	lunes, 15 de julio de 2019	20	1252
870	197	martes, 16 de julio de 2019	45	2857
871	198	miércoles, 17 de julio de 2019	47	2956



Análisis de la afluencia de un corredor de servicio de transporte concesionado en la Ciudad de México | 312

872	199	jueves, 18 de julio de 2019	46	2938
873	200	viernes, 19 de julio de 2019	46	2950
874	201	sábado, 20 de julio de 2019	45	2863
875	202	domingo, 21 de julio de 2019	32	2057
876	203	lunes, 22 de julio de 2019	21	1320
877	204	martes, 23 de julio de 2019	46	2954
878	205	miércoles, 24 de julio de 2019	47	2972
879	206	jueves, 25 de julio de 2019	46	2918
880	207	viernes, 26 de julio de 2019	46	2954
881	208	sábado, 27 de julio de 2019	43	2713
882	209	domingo, 28 de julio de 2019	34	2181
883	210	lunes, 29 de julio de 2019	20	1289
884	211	martes, 30 de julio de 2019	48	3049
885	212	miércoles, 31 de julio de 2019	48	3034
886	213	jueves, 1 de agosto de 2019	49	3108
887	214	viernes, 2 de agosto de 2019	49	3111
888	215	sábado, 3 de agosto de 2019	48	3040
889	216	domingo, 4 de agosto de 2019	34	2160
890	217	lunes, 5 de agosto de 2019	19	1224
891	218	martes, 6 de agosto de 2019	52	3324
892	219	miércoles, 7 de agosto de 2019	52	3327
893	220	jueves, 8 de agosto de 2019	52	3316
894	221	viernes, 9 de agosto de 2019	49	3126
895	222	sábado, 10 de agosto de 2019	52	3286
896	223	domingo, 11 de agosto de 2019	33	2098
897	224	lunes, 12 de agosto de 2019	19	1227
898	225	martes, 13 de agosto de 2019	52	3297
899	226	miércoles, 14 de agosto de 2019	53	3374
900	227	jueves, 15 de agosto de 2019	51	3224
901	228	viernes, 16 de agosto de 2019	52	3284
902	229	sábado, 17 de agosto de 2019	51	3227
903	230	domingo, 18 de agosto de 2019	34	2162
904	231	lunes, 19 de agosto de 2019	21	1325
905	232	martes, 20 de agosto de 2019	51	3254
906	233	miércoles, 21 de agosto de 2019	51	3255
907	234	jueves, 22 de agosto de 2019	52	3283
908	235	viernes, 23 de agosto de 2019	51	3267
909	236	sábado, 24 de agosto de 2019	50	3166
910	237	domingo, 25 de agosto de 2019	34	2167
911	238	lunes, 26 de agosto de 2019	21	1351
912	239	martes, 27 de agosto de 2019	52	3294
913	240	miércoles, 28 de agosto de 2019	50	3174
914	241	jueves, 29 de agosto de 2019	52	3276
915	242	viernes, 30 de agosto de 2019	49	3130
916	243	sábado, 31 de agosto de 2019	50	3190
917	244	domingo, 1 de septiembre de 2019	34	2138
918	245	lunes, 2 de septiembre de 2019	20	1252
919	246	martes, 3 de septiembre de 2019	52	3308
920	247	miércoles, 4 de septiembre de 2019	52	3292
921	248	jueves, 5 de septiembre de 2019	51	3259
922	249	viernes, 6 de septiembre de 2019	51	3214
923	250	sábado, 7 de septiembre de 2019	51	3218
924	251	domingo, 8 de septiembre de 2019	35	2219
925	252	lunes, 9 de septiembre de 2019	21	1322
926	253	martes, 10 de septiembre de 2019	53	3351
927	254	miércoles, 11 de septiembre de 2019	51	3245
928	255	jueves, 12 de septiembre de 2019	52	3289
929	256	viernes, 13 de septiembre de 2019	50	3154
930	257	sábado, 14 de septiembre de 2019	49	3104
931	258	domingo, 15 de septiembre de 2019	28	1805
932	259	lunes, 16 de septiembre de 2019	17	1078
933	260	martes, 17 de septiembre de 2019	53	3391
934	261	miércoles, 18 de septiembre de 2019	52	3324
935	262	jueves, 19 de septiembre de 2019	52	3307
936	263	viernes, 20 de septiembre de 2019	53	3361
937	264	sábado, 21 de septiembre de 2019	53	3343
938	265	domingo, 22 de septiembre de 2019	33	2120
939	266	lunes, 23 de septiembre de 2019	22	1382
940	267	martes, 24 de septiembre de 2019	53	3389
941	268	miércoles, 25 de septiembre de 2019	52	3313
942	269	jueves, 26 de septiembre de 2019	52	3277

943	270	viernes, 27 de septiembre de 2019	53	3354
944	271	sábado, 28 de septiembre de 2019	52	3279
945	272	domingo, 29 de septiembre de 2019	34	2156
946	273	lunes, 30 de septiembre de 2019	21	1330
947	274	martes, 1 de octubre de 2019	51	3254
948	275	miércoles, 2 de octubre de 2019	52	3332
949	276	jueves, 3 de octubre de 2019	53	3368
950	277	viernes, 4 de octubre de 2019	52	3320
951	278	sábado, 5 de octubre de 2019	52	3313
952	279	domingo, 6 de octubre de 2019	35	2211
953	280	lunes, 7 de octubre de 2019	23	1445
954	281	martes, 8 de octubre de 2019	53	3358
955	282	miércoles, 9 de octubre de 2019	53	3371
956	283	jueves, 10 de octubre de 2019	52	3304
957	284	viernes, 11 de octubre de 2019	53	3338
958	285	sábado, 12 de octubre de 2019	49	3085
959	286	domingo, 13 de octubre de 2019	36	2296
960	287	lunes, 14 de octubre de 2019	22	1375
961	288	martes, 15 de octubre de 2019	51	3266
962	289	miércoles, 16 de octubre de 2019	53	3338
963	290	jueves, 17 de octubre de 2019	52	3284
964	291	viernes, 18 de octubre de 2019	52	3316
965	292	sábado, 19 de octubre de 2019	51	3273
966	293	domingo, 20 de octubre de 2019	36	2270
967	294	lunes, 21 de octubre de 2019	21	1327
968	295	martes, 22 de octubre de 2019	52	3309
969	296	miércoles, 23 de octubre de 2019	53	3357
970	297	jueves, 24 de octubre de 2019	53	3345
971	298	viernes, 25 de octubre de 2019	53	3383
972	299	sábado, 26 de octubre de 2019	50	3208
973	300	domingo, 27 de octubre de 2019	33	2123
974	301	lunes, 28 de octubre de 2019	22	1421
975	302	martes, 29 de octubre de 2019	52	3322
976	303	miércoles, 30 de octubre de 2019	51	3225
977	304	jueves, 31 de octubre de 2019	47	2981
978	305	viernes, 1 de noviembre de 2019	40	2535
979	306	sábado, 2 de noviembre de 2019	25	1609
980	307	domingo, 3 de noviembre de 2019	28	1762
981	308	lunes, 4 de noviembre de 2019	17	1050
982	309	martes, 5 de noviembre de 2019	52	3294
983	310	miércoles, 6 de noviembre de 2019	51	3223
984	311	jueves, 7 de noviembre de 2019	52	3334
985	312	viernes, 8 de noviembre de 2019	51	3226
986	313	sábado, 9 de noviembre de 2019	49	3095
987	314	domingo, 10 de noviembre de 2019	35	2250
988	315	lunes, 11 de noviembre de 2019	22	1368
989	316	martes, 12 de noviembre de 2019	52	3279
990	317	miércoles, 13 de noviembre de 2019	52	3321
991	318	jueves, 14 de noviembre de 2019	47	3010
992	319	viernes, 15 de noviembre de 2019	50	3170
993	320	sábado, 16 de noviembre de 2019	49	3132
994	321	domingo, 17 de noviembre de 2019	35	2223
995	322	lunes, 18 de noviembre de 2019	21	1349
996	323	martes, 19 de noviembre de 2019	23	1473
997	324	miércoles, 20 de noviembre de 2019	54	3410
998	325	jueves, 21 de noviembre de 2019	51	3228
999	326	viernes, 22 de noviembre de 2019	50	3205
1000	327	sábado, 23 de noviembre de 2019	49	3127
1001	328	domingo, 24 de noviembre de 2019	36	2268
1002	329	lunes, 25 de noviembre de 2019	21	1344
1003	330	martes, 26 de noviembre de 2019	51	3271
1004	331	miércoles, 27 de noviembre de 2019	51	3257
1005	332	jueves, 28 de noviembre de 2019	50	3162
1006	333	viernes, 29 de noviembre de 2019	51	3215
1007	334	sábado, 30 de noviembre de 2019	48	3063
1008	335	domingo, 1 de diciembre de 2019	27	1748
1009	336	lunes, 2 de diciembre de 2019	22	1399
1010	337	martes, 3 de diciembre de 2019	50	3198
1011	338	miércoles, 4 de diciembre de 2019	49	3142
1012	339	jueves, 5 de diciembre de 2019	50	3156
1013	340	viernes, 6 de diciembre de 2019	48	3049



1014	341	sábado, 7 de diciembre de 2019	46	2915
1015	342	domingo, 8 de diciembre de 2019	34	2151
1016	343	lunes, 9 de diciembre de 2019	21	1317
1017	344	martes, 10 de diciembre de 2019	50	3159
1018	345	miércoles, 11 de diciembre de 2019	42	2697
1019	346	jueves, 12 de diciembre de 2019	44	2819
1020	347	viernes, 13 de diciembre de 2019	50	3187
1021	348	sábado, 14 de diciembre de 2019	46	2903
1022	349	domingo, 15 de diciembre de 2019	32	2065
1023	350	lunes, 16 de diciembre de 2019	20	1295
1024	351	martes, 17 de diciembre de 2019	44	2810
1025	352	miércoles, 18 de diciembre de 2019	45	2867
1026	353	jueves, 19 de diciembre de 2019	46	2902
1027	354	viernes, 20 de diciembre de 2019	44	2768
1028	355	sábado, 21 de diciembre de 2019	41	2590
1029	356	domingo, 22 de diciembre de 2019	30	1880
1030	357	lunes, 23 de diciembre de 2019	20	1270
1031	358	martes, 24 de diciembre de 2019	24	1515
1032	359	miércoles, 25 de diciembre de 2019	11	697
1033	360	jueves, 26 de diciembre de 2019	35	2235
1034	361	viernes, 27 de diciembre de 2019	36	2267
1035	362	sábado, 28 de diciembre de 2019	36	2283
1036	363	domingo, 29 de diciembre de 2019	25	1559
1037	364	lunes, 30 de diciembre de 2019	17	1099
1038	364	martes, 31 de diciembre de 2019	20	1252



ANEXO XIV: Días para solicitar llenado del tanque estacionario de diésel (28 febrero 2019 al 31 de diciembre 2019)

(t)	DÍA	FECHA	DIÉSEL EN EL TANQUE (Lt)
732	59	jueves, 28 de febrero de 2019	46710
733	60	viernes, 1 de marzo de 2019	43575
734	61	sábado, 2 de marzo de 2019	40494
735	62	domingo, 3 de marzo de 2019	38255
736	63	lunes, 4 de marzo de 2019	37040
737	64	martes, 5 de marzo de 2019	33790
738	65	miércoles, 6 de marzo de 2019	30529
739	66	jueves, 7 de marzo de 2019	27312
740	67	viernes, 8 de marzo de 2019	24128
741	68	sábado, 9 de marzo de 2019	20997
742	69	domingo, 10 de marzo de 2019	18772
743	70	lunes, 11 de marzo de 2019	17525
744	71	martes, 12 de marzo de 2019	14302
745	72	miércoles, 13 de marzo de 2019	11077
746	73	jueves, 14 de marzo de 2019	7866
747	74	viernes, 15 de marzo de 2019	4686
748	75	sábado, 16 de marzo de 2019	1573
749	76	domingo, 17 de marzo de 2019	47773
750	77	lunes, 18 de marzo de 2019	46557
751	78	martes, 19 de marzo de 2019	45225
752	79	miércoles, 20 de marzo de 2019	41797
753	80	jueves, 21 de marzo de 2019	38606
754	81	viernes, 22 de marzo de 2019	35432
755	82	sábado, 23 de marzo de 2019	32251
756	83	domingo, 24 de marzo de 2019	30136
757	84	lunes, 25 de marzo de 2019	28979
758	85	martes, 26 de marzo de 2019	26072
759	86	miércoles, 27 de marzo de 2019	23289
760	87	jueves, 28 de marzo de 2019	20584
761	88	viernes, 29 de marzo de 2019	18955
762	89	sábado, 30 de marzo de 2019	17825
763	90	domingo, 31 de marzo de 2019	16714
764	91	lunes, 1 de abril de 2019	15770
765	92	martes, 2 de abril de 2019	12721
766	93	miércoles, 3 de abril de 2019	9707
767	94	jueves, 4 de abril de 2019	6929
768	95	viernes, 5 de abril de 2019	3689
769	96	sábado, 6 de abril de 2019	755
770	97	domingo, 7 de abril de 2019	47774
771	98	lunes, 8 de abril de 2019	46634
772	99	martes, 9 de abril de 2019	43428
773	100	miércoles, 10 de abril de 2019	40323
774	101	jueves, 11 de abril de 2019	37039
775	102	viernes, 12 de abril de 2019	33926
776	103	sábado, 13 de abril de 2019	30776
777	104	domingo, 14 de abril de 2019	28679
778	105	lunes, 15 de abril de 2019	27395
779	106	martes, 16 de abril de 2019	24201
780	107	miércoles, 17 de abril de 2019	21109
781	108	jueves, 18 de abril de 2019	17886
782	109	viernes, 19 de abril de 2019	14749
783	110	sábado, 20 de abril de 2019	11797
784	111	domingo, 21 de abril de 2019	9682
785	112	lunes, 22 de abril de 2019	8504
786	113	martes, 23 de abril de 2019	5323
787	114	miércoles, 24 de abril de 2019	2163
788	115	jueves, 25 de abril de 2019	46808
789	116	viernes, 26 de abril de 2019	43657
790	117	sábado, 27 de abril de 2019	40489
791	118	domingo, 28 de abril de 2019	38370
792	119	lunes, 29 de abril de 2019	37177
793	120	martes, 30 de abril de 2019	34190
794	121	miércoles, 1 de mayo de 2019	32736
795	122	jueves, 2 de mayo de 2019	29463
796	123	viernes, 3 de mayo de 2019	26363
797	124	sábado, 4 de mayo de 2019	23330

798	125	domingo, 5 de mayo de 2019	21277
799	126	lunes, 6 de mayo de 2019	20107
800	127	martes, 7 de mayo de 2019	17010
801	128	miércoles, 8 de mayo de 2019	13892
802	129	jueves, 9 de mayo de 2019	10766
803	130	viernes, 10 de mayo de 2019	8560
804	131	sábado, 11 de mayo de 2019	5380
805	132	domingo, 12 de mayo de 2019	3251
806	133	lunes, 13 de mayo de 2019	2048
807	134	martes, 14 de mayo de 2019	46826
808	135	miércoles, 15 de mayo de 2019	43893
809	136	jueves, 16 de mayo de 2019	40800
810	137	viernes, 17 de mayo de 2019	37768
811	138	sábado, 18 de mayo de 2019	34688
812	139	domingo, 19 de mayo de 2019	32682
813	140	lunes, 20 de mayo de 2019	31348
814	141	martes, 21 de mayo de 2019	28321
815	142	miércoles, 22 de mayo de 2019	25166
816	143	jueves, 23 de mayo de 2019	22050
817	144	viernes, 24 de mayo de 2019	19004
818	145	sábado, 25 de mayo de 2019	15971
819	146	domingo, 26 de mayo de 2019	13939
820	147	lunes, 27 de mayo de 2019	12727
821	148	martes, 28 de mayo de 2019	9600
822	149	miércoles, 29 de mayo de 2019	6461
823	150	jueves, 30 de mayo de 2019	3348
824	151	viernes, 31 de mayo de 2019	263
825	152	sábado, 1 de junio de 2019	46939
826	153	domingo, 2 de junio de 2019	44786
827	154	lunes, 3 de junio de 2019	43523
828	155	martes, 4 de junio de 2019	40399
829	156	miércoles, 5 de junio de 2019	37228
830	157	jueves, 6 de junio de 2019	34104
831	158	viernes, 7 de junio de 2019	30842
832	159	sábado, 8 de junio de 2019	27758
833	160	domingo, 9 de junio de 2019	25679
834	161	lunes, 10 de junio de 2019	24324
835	162	martes, 11 de junio de 2019	21139
836	163	miércoles, 12 de junio de 2019	18072
837	164	jueves, 13 de junio de 2019	15124
838	165	viernes, 14 de junio de 2019	12213
839	166	sábado, 15 de junio de 2019	9228
840	167	domingo, 16 de junio de 2019	7091
841	168	lunes, 17 de junio de 2019	6048
842	169	martes, 18 de junio de 2019	3130
843	170	miércoles, 19 de junio de 2019	21
844	171	jueves, 20 de junio de 2019	46878
845	172	viernes, 21 de junio de 2019	43862
846	173	sábado, 22 de junio de 2019	40820
847	174	domingo, 23 de junio de 2019	38627
848	175	lunes, 24 de junio de 2019	37118
849	176	martes, 25 de junio de 2019	34021
850	177	miércoles, 26 de junio de 2019	31036
851	178	jueves, 27 de junio de 2019	28034
852	179	viernes, 28 de junio de 2019	25037
853	180	sábado, 29 de junio de 2019	22024
854	181	domingo, 30 de junio de 2019	19939
855	182	lunes, 1 de julio de 2019	18748
856	183	martes, 2 de julio de 2019	15811
857	184	miércoles, 3 de julio de 2019	12755
858	185	jueves, 4 de julio de 2019	9765
859	186	viernes, 5 de julio de 2019	6749
860	187	sábado, 6 de julio de 2019	3848
861	188	domingo, 7 de julio de 2019	1772
862	189	lunes, 8 de julio de 2019	562
863	190	martes, 9 de julio de 2019	47057
864	191	miércoles, 10 de julio de 2019	44092
865	192	jueves, 11 de julio de 2019	41100
866	193	viernes, 12 de julio de 2019	38198
867	194	sábado, 13 de julio de 2019	35344
868	195	domingo, 14 de julio de 2019	33286



Análisis de la afluencia de un corredor de servicio de transporte concesionado en la Ciudad de México | 315

869	196	lunes, 15 de julio de 2019	32034
870	197	martes, 16 de julio de 2019	29178
871	198	miércoles, 17 de julio de 2019	26221
872	199	jueves, 18 de julio de 2019	23283
873	200	viernes, 19 de julio de 2019	20333
874	201	sábado, 20 de julio de 2019	17471
875	202	domingo, 21 de julio de 2019	15413
876	203	lunes, 22 de julio de 2019	14093
877	204	martes, 23 de julio de 2019	11139
878	205	miércoles, 24 de julio de 2019	8167
879	206	jueves, 25 de julio de 2019	5249
880	207	viernes, 26 de julio de 2019	2295
881	208	sábado, 27 de julio de 2019	47287
882	209	domingo, 28 de julio de 2019	45106
883	210	lunes, 29 de julio de 2019	43817
884	211	martes, 30 de julio de 2019	40768
885	212	miércoles, 31 de julio de 2019	37734
886	213	jueves, 1 de agosto de 2019	34625
887	214	viernes, 2 de agosto de 2019	31514
888	215	sábado, 3 de agosto de 2019	28475
889	216	domingo, 4 de agosto de 2019	26315
890	217	lunes, 5 de agosto de 2019	25091
891	218	martes, 6 de agosto de 2019	21767
892	219	miércoles, 7 de agosto de 2019	18440
893	220	jueves, 8 de agosto de 2019	15125
894	221	viernes, 9 de agosto de 2019	11999
895	222	sábado, 10 de agosto de 2019	8713
896	223	domingo, 11 de agosto de 2019	6615
897	224	lunes, 12 de agosto de 2019	5389
898	225	martes, 13 de agosto de 2019	2092
899	226	miércoles, 14 de agosto de 2019	46626
900	227	jueves, 15 de agosto de 2019	43402
901	228	viernes, 16 de agosto de 2019	40118
902	229	sábado, 17 de agosto de 2019	36891
903	230	domingo, 18 de agosto de 2019	34730
904	231	lunes, 19 de agosto de 2019	33405
905	232	martes, 20 de agosto de 2019	30151
906	233	miércoles, 21 de agosto de 2019	26897
907	234	jueves, 22 de agosto de 2019	23613
908	235	viernes, 23 de agosto de 2019	20347
909	236	sábado, 24 de agosto de 2019	17181
910	237	domingo, 25 de agosto de 2019	15014
911	238	lunes, 26 de agosto de 2019	13663
912	239	martes, 27 de agosto de 2019	10369
913	240	miércoles, 28 de agosto de 2019	7195
914	241	jueves, 29 de agosto de 2019	3919
915	242	viernes, 30 de agosto de 2019	789
916	243	sábado, 31 de agosto de 2019	46810
917	244	domingo, 1 de septiembre de 2019	44672
918	245	lunes, 2 de septiembre de 2019	43421
919	246	martes, 3 de septiembre de 2019	40113
920	247	miércoles, 4 de septiembre de 2019	36821
921	248	jueves, 5 de septiembre de 2019	33562
922	249	viernes, 6 de septiembre de 2019	30348
923	250	sábado, 7 de septiembre de 2019	27130
924	251	domingo, 8 de septiembre de 2019	24911
925	252	lunes, 9 de septiembre de 2019	23589
926	253	martes, 10 de septiembre de 2019	20238
927	254	miércoles, 11 de septiembre de 2019	16993
928	255	jueves, 12 de septiembre de 2019	13704
929	256	viernes, 13 de septiembre de 2019	10550
930	257	sábado, 14 de septiembre de 2019	7446
931	258	domingo, 15 de septiembre de 2019	5641
932	259	lunes, 16 de septiembre de 2019	4563
933	260	martes, 17 de septiembre de 2019	1172
934	261	miércoles, 18 de septiembre de 2019	46676
935	262	jueves, 19 de septiembre de 2019	43368
936	263	viernes, 20 de septiembre de 2019	40008
937	264	sábado, 21 de septiembre de 2019	36664
938	265	domingo, 22 de septiembre de 2019	34544
939	266	lunes, 23 de septiembre de 2019	33162

940	267	martes, 24 de septiembre de 2019	29773
941	268	miércoles, 25 de septiembre de 2019	26460
942	269	jueves, 26 de septiembre de 2019	23183
943	270	viernes, 27 de septiembre de 2019	19829
944	271	sábado, 28 de septiembre de 2019	16550
945	272	domingo, 29 de septiembre de 2019	14394
946	273	lunes, 30 de septiembre de 2019	13064
947	274	martes, 1 de octubre de 2019	9810
948	275	miércoles, 2 de octubre de 2019	6478
949	276	jueves, 3 de octubre de 2019	3110
950	277	viernes, 4 de octubre de 2019	46680
951	278	sábado, 5 de octubre de 2019	43367
952	279	domingo, 6 de octubre de 2019	41156
953	280	lunes, 7 de octubre de 2019	39712
954	281	martes, 8 de octubre de 2019	36354
955	282	miércoles, 9 de octubre de 2019	32983
956	283	jueves, 10 de octubre de 2019	29678
957	284	viernes, 11 de octubre de 2019	26340
958	285	sábado, 12 de octubre de 2019	23255
959	286	domingo, 13 de octubre de 2019	20959
960	287	lunes, 14 de octubre de 2019	19584
961	288	martes, 15 de octubre de 2019	16317
962	289	miércoles, 16 de octubre de 2019	12979
963	290	jueves, 17 de octubre de 2019	9695
964	291	viernes, 18 de octubre de 2019	6379
965	292	sábado, 19 de octubre de 2019	3105
966	293	domingo, 20 de octubre de 2019	836
967	294	lunes, 21 de octubre de 2019	48673
968	295	martes, 22 de octubre de 2019	45364
969	296	miércoles, 23 de octubre de 2019	42007
970	297	jueves, 24 de octubre de 2019	38663
971	298	viernes, 25 de octubre de 2019	35280
972	299	sábado, 26 de octubre de 2019	32072
973	300	domingo, 27 de octubre de 2019	29949
974	301	lunes, 28 de octubre de 2019	28528
975	302	martes, 29 de octubre de 2019	25206
976	303	miércoles, 30 de octubre de 2019	21980
977	304	jueves, 31 de octubre de 2019	18999
978	305	viernes, 1 de noviembre de 2019	16464
979	306	sábado, 2 de noviembre de 2019	14855
980	307	domingo, 3 de noviembre de 2019	13093
981	308	lunes, 4 de noviembre de 2019	12043
982	309	martes, 5 de noviembre de 2019	8749
983	310	miércoles, 6 de noviembre de 2019	5526
984	311	jueves, 7 de noviembre de 2019	2191
985	312	viernes, 8 de noviembre de 2019	46774
986	313	sábado, 9 de noviembre de 2019	43679
987	314	domingo, 10 de noviembre de 2019	41429
988	315	lunes, 11 de noviembre de 2019	40061
989	316	martes, 12 de noviembre de 2019	36782
990	317	miércoles, 13 de noviembre de 2019	33461
991	318	jueves, 14 de noviembre de 2019	30452
992	319	viernes, 15 de noviembre de 2019	27282
993	320	sábado, 16 de noviembre de 2019	24151
994	321	domingo, 17 de noviembre de 2019	21928
995	322	lunes, 18 de noviembre de 2019	20579
996	323	martes, 19 de noviembre de 2019	19105
997	324	miércoles, 20 de noviembre de 2019	15695
998	325	jueves, 21 de noviembre de 2019	12467
999	326	viernes, 22 de noviembre de 2019	9262
1000	327	sábado, 23 de noviembre de 2019	6135
1001	328	domingo, 24 de noviembre de 2019	3867
1002	329	lunes, 25 de noviembre de 2019	2523
1003	330	martes, 26 de noviembre de 2019	46729
1004	331	miércoles, 27 de noviembre de 2019	43473
1005	332	jueves, 28 de noviembre de 2019	40310
1006	333	viernes, 29 de noviembre de 2019	37095
1007	334	sábado, 30 de noviembre de 2019	34032
1008	335	domingo, 1 de diciembre de 2019	32285
1009	336	lunes, 2 de diciembre de 2019	30885
1010	337	martes, 3 de diciembre de 2019	27687



1011	338	miércoles, 4 de diciembre de 2019	24546
1012	339	jueves, 5 de diciembre de 2019	21390
1013	340	viernes, 6 de diciembre de 2019	18341
1014	341	sábado, 7 de diciembre de 2019	15426
1015	342	domingo, 8 de diciembre de 2019	13275
1016	343	lunes, 9 de diciembre de 2019	11957
1017	344	martes, 10 de diciembre de 2019	8798
1018	345	miércoles, 11 de diciembre de 2019	6101
1019	346	jueves, 12 de diciembre de 2019	3282
1020	347	viernes, 13 de diciembre de 2019	95
1021	348	sábado, 14 de diciembre de 2019	47097
1022	349	domingo, 15 de diciembre de 2019	45033
1023	350	lunes, 16 de diciembre de 2019	43738
1024	351	martes, 17 de diciembre de 2019	40928
1025	352	miércoles, 18 de diciembre de 2019	38061
1026	353	jueves, 19 de diciembre de 2019	35159
1027	354	viernes, 20 de diciembre de 2019	32392
1028	355	sábado, 21 de diciembre de 2019	29802
1029	356	domingo, 22 de diciembre de 2019	27922
1030	357	lunes, 23 de diciembre de 2019	26652
1031	358	martes, 24 de diciembre de 2019	25137
1032	359	miércoles, 25 de diciembre de 2019	24440
1033	360	jueves, 26 de diciembre de 2019	22205
1034	361	viernes, 27 de diciembre de 2019	19938
1035	362	sábado, 28 de diciembre de 2019	17655
1036	363	domingo, 29 de diciembre de 2019	16096
1037	364	lunes, 30 de diciembre de 2019	14997
1038	364	martes, 31 de diciembre de 2019	13745



ANEXO XV: Calendario diario 2019, con indicadores.

2019		enero				
DOMINGO	LUNES	MARTES	MIÉRCOLES	JUEVES	VIERNES	SÁBADO
30	31	01 	02 	03 	04 	05
06 	07 	08 	09 	10 	11 	12
13 	14 	15 	16 	17 	18 	19
20 	21 	22 	23 	24 	25 	26
27 	28 	29 	30 	31 	01	02
03	04	Notas:				

2019		febrero				
DOMINGO	LUNES	MARTES	MIÉRCOLES	JUEVES	VIERNES	SÁBADO
27	28	29	30	31	01 	02
03 	04 	05 	06 	07 	08 	09
10 	11 	12 	13 	14 	15 	16
17 	18 	19 	20 	21 	22 	23
24 	25 	26 	27 	28 	01	02
03	04	Notas:				

2019		marzo !				
DOMINGO	LUNES	MARTES	MIÉRCOLES	JUEVES	VIERNES	SÁBADO
24	25	26	27	28	01	02
03	04	05	06	07	08	09
10	11	12	13	14	15	16
17	18	19	20	21	22	23
24	25	26	27	28	29	30
31	01	Notas:				

2019		abril !				
DOMINGO	LUNES	MARTES	MIÉRCOLES	JUEVES	VIERNES	SÁBADO
31	01	02	03	04	05	06
07	08	09	10	11	12	13
14	15	16	17	18	19	20
21	22	23	24	25	26	27
28	29	30	01	02	03	04
05	06	Notas:				



2019		mayo !				
DOMINGO	LUNES	MARTES	MIÉRCOLES	JUEVES	VIERNES	SÁBADO
28	29	30	01	02	03	04
			!	☆	↓	↓
05	06	07	08	09	10	11
↓	!	↻	↻	↑	↓	↓
12	13	14	15	16	17	18
↓	!	↻	↻	↑	↓	↓
19	20	21	22	23	24	25
↓	!	↻	↻	↑	↓	↓
26	27	28	29	30	31	01
↓	!	↻	↻	↑	↓	
02	03	Notas:				

2019		junio !				
DOMINGO	LUNES	MARTES	MIÉRCOLES	JUEVES	VIERNES	SÁBADO
26	27	28	29	30	31	01
						↓
02	03	04	05	06	07	08
↓	!	↻	↻	↑	↓	↓
09	10	11	12	13	14	15
↓	!	↻	↻	↑	↓	↓
16	17	18	19	20	21	22
↓	!	↻	↻ ↓	↑	↓	↓
23	24	25	26	27	28	29
↓	↓	↻	↻	↑	↓	↓
30	01	Notas:				
↓						



2019

julio !

DOMINGO	LUNES	MARTES	MIÉRCOLES	JUEVES	VIERNES	SÁBADO
30	01 !	02 ↻	03 ↻	04 ↕	05 ⬇	06 ⬇
07 ⬇	08 ! ⬇	09 ↻	10 ↻	11 ↕	12 ⬇	13 ⬇
14 ⬇	15 !	16 ↻	17 ↻	18 ↕	19 ⬇	20 ⬇
21 ⬇	22 !	23 ↻	24 ↻	25 ↕	26 ⬇ ⬇	27 ⬇
28 ⬇	29 !	30 ↻	31 ↻	01	02	03
04	05	Notas:				

2019






























agosto !

DOMINGO	LUNES	MARTES	MIÉRCOLES	JUEVES	VIERNES	SÁBADO
28	29	30	31	01 ↕	02 ⬇	03 ⬇
04 ⬇	05 !	06 ☆ ↻	07 ☆ ↻	08 ☆ ↕	09 ⬇	10 ☆
11 ⬇	12 !	13 ☆ ↻ ⬇	14 ☆ ↻	15 ↕	16 ☆	17 ⬇
18 ⬇	19 !	20 ↻	21 ↻	22 ☆ ↕	23 ⬇	24 ⬇
25 ⬇	26 !	27 ☆ ↻	28 ↻	29 ☆ ↕	30 ⬇ ⬇	31 ⬇
01	02	Notas:				

2019		septiembre !				
DOMINGO	LUNES	MARTES	MIÉRCOLES	JUEVES	VIERNES	SÁBADO
01	02	03	04	05	06	07
08	09	10	11	12	13	14
15	16	17	18	19	20	21
22	23	24	25	26	27	28
29	30	01	02	03	04	05
06	07	Notas:				

2019		octubre ☆				
DOMINGO	LUNES	MARTES	MIÉRCOLES	JUEVES	VIERNES	SÁBADO
29	30	01	02	03	04	05
06	07	08	09	10	11	12
13	14	15	16	17	18	19
20	21	22	23	24	25	26
27	28	29	30	31	01	02
03	04	Notas:				



2019		noviembre 				
DOMINGO	LUNES	MARTES	MIÉRCOLES	JUEVES	VIERNES	SÁBADO
27	28	29	30	31	01	02
						
03	04	05	06	07	08	09
		 		  		
10	11	12	13	14	15	16
		 	 			
17	18	19	20	21	22	23
			 			
24	25	26	27	28	29	30
	  					
01	02	Notas:				

2019		diciembre 				
DOMINGO	LUNES	MARTES	MIÉRCOLES	JUEVES	VIERNES	SÁBADO
01	02	03	04	05	06	07
						
08	09	10	11	12	13	14
					 	
15	16	17	18	19	20	21
						
22	23	24	25	26	27	28
						
29	30	31	01	02	03	04
						
05	06	Notas:				

